

INTERVENTI DI MIGLIORAMENTO DELLA DIGA DROVE DI CEPPARELLO



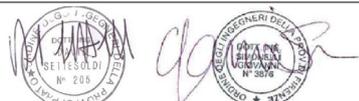
PROGETTO DEFINITIVO

Codice elaborato: ET09.04	Nome Elaborato: TABULATI DI CALCOLO CANALI FUGATORI FONDAZIONI PALI	Scala: -
		Data: 30/10/2020

Settore:  INGEGNERIE TOSCANE	Sede Firenze Via de Sanctis, 49 Cod. Fiscale e P.I. 06111950488
<small>Organizzazione dotata di Sistema di Gestione Integrato certificato in conformità alla normativa ISO9001 - ISO14001 - OHSAS18001 - SA8000</small>	

PROGETTAZIONE :	COLLABORATORI :
PROGETTISTA : ING. GIOVANNI SIMONELLI	GEOL. CARLO FERRI
GEOLOGO : GEOL. FILIPPO LANDINI	PER. AGR. DAVIDE MORETTI
ESPROPRI : GEOM. ANDREA PATRIARCHI	GEOM. ANDREA BERNARDINI

CONSULENTI TECNICI :  WEST Systems PROGETTISTA OPERE IDRAULICHE E STRUTTURALI :ING. DAVID SETTESOLDI	COMMESSA I.T. : INGT-TPLPD-ACQAC159
---	--

	RESPONSABILE COMMITTENTE : GEOM. ALESSANDRO PIOLI
---	--

DELEGATO DEL DIRETTORE TECNICO: ING. GIOVANNI SIMONELLI	RESPONSABILE DEL PROCEDIMENTO :  ING. ROBERTO CECCHINI
--	--

Rev.	Data	Descrizione / Motivo della revisione	Redatto	Controllato / Approvato
02	30 / 10 / 2020	Seconda Emissione (Richieste pervenute e revisione costi)	Pinelli/Remorini	Settesoldi
01	18 / 04 / 2019	Prima Emissione	Pinelli/Remorini	Settesoldi

TABULATI DI CALCOLO

SISMICAD 12.13

CANALI FUGATORI CON FONDAZIONI PROFONDE -VERIFICA VASCA IN C.A.-

DATI DI INPUT E DI OUTPUT

Sommario

Copertina	Errore. Il segnalibro non è definito.
1 Descrizione del software	4
2 Dati generali	5
2.1 Materiali	5
2.1.1 Materiali c.a.	5
2.1.2 Curve di materiali c.a.	5
2.1.3 Armature	6
2.1.4 Acciai	6
2.1.4.1 Proprietà acciai base	6
2.1.4.2 Proprietà acciai CNR 10011	6
2.1.4.3 Proprietà acciai CNR 10022	6
2.1.4.4 Proprietà acciai EC3	7
2.2 Sezioni	7
2.2.1 Sezioni C.A.	7
2.2.1.1 Sezioni rettangolari C.A.	7
2.2.1.2 Caratteristiche inerziali sezioni C.A.	7
2.2.2 Sezioni in acciaio	7
2.2.2.1 Profili singoli in acciaio	7
2.2.2.1.1 Tubi tondi	7
2.2.2.2 Caratteristiche inerziali sezioni in acciaio	8
2.2.2.2.1 Caratteristiche inerziali principali sezioni in acciaio	8
2.2.2.2.2 Caratteristiche inerziali momenti sezioni in acciaio	8
2.2.2.2.3 Caratteristiche inerziali taglio sezioni in acciaio	8
2.3 Fondazioni	8
2.3.1 Pali	8
2.3.1.1 Micropali	8
2.4 Terreni	8
3 Dati di definizione	10
3.1 Preferenze commessa	10
3.1.1 Preferenze di analisi	10
3.1.2 Spettri D.M. 17-01-18	10
3.1.3 Preferenze di verifica	19
3.1.3.1 Normativa di verifica in uso	19
3.1.3.2 Normativa di verifica C.A.	19
3.1.3.3 Normativa di verifica legno	19
3.1.3.4 Normativa di verifica acciaio	19
3.1.4 Preferenze FEM	20
3.1.5 Moltiplicatori inerziali	20
3.1.6 Preferenze di analisi non lineare FEM	20
3.1.7 Preferenze di analisi carichi superficiali	20
3.1.8 Preferenze del suolo	20
3.1.9 Preferenze progetto muratura	21
3.2 Azioni e carichi	21
3.2.1 Condizioni elementari di carico	21
3.2.2 Combinazioni di carico	21
3.2.3 Definizioni di carichi superficiali	24
3.2.4 Definizioni di carichi potenziali	25
3.3 Quote	25
3.3.1 Livelli	25
3.3.2 Tronchi	25
3.4 Elementi di input	25
3.4.1 Fili fissi	25

3.4.1.1 Fili fissi di piano	25
3.4.2 Travi C.A.	26
3.4.2.1 Travi C.A. di piano	26
3.4.3 Piastre C.A.	27
3.4.3.1 Piastre C.A. di piano	27
3.4.4 Pareti C.A.	28
3.4.5 Fondazioni profonde	28
3.4.6 Pali	29
3.4.6.1 Pali di piano	29
3.4.7 Carichi terreno	36
3.4.7.1 Carichi terreno di piano	36
3.4.8 Vincoli	37
3.4.8.1 Vincoli di piano	37
4 Dati di modellazione	38
4.1 Nodi	38
4.1.1 Nodi di definizione	38
4.2 Carichi concentrati	45
4.3 Carichi concentrati sismici	108
4.4 Aste	134
4.4.1 Caratteristiche meccaniche aste	134
4.4.2 Definizioni aste	134
4.5 Masse	136
4.6 Masse di piano	141
4.7 Gusci	141
4.7.1 Caratteristiche meccaniche gusci	141
4.7.2 Definizioni gusci	141
4.8 Accelerazioni spettrali	149
5 Risultati numerici	156
5.1 Spostamenti nodali estremi	156
5.2 Reazioni nodali estreme	156
5.3 Tagli ai livelli	157
5.4 Risposta modale	169
5.5 Equilibrio globale forze	169
5.6 Risposta di spettro	171
5.7 Statistiche soluzione	171
6 Verifiche	172
6.1 Verifiche pareti C.A.	172
6.2 Verifiche piastre C.A.	179
6.3 Verifiche pali	186

1 Descrizione del software

Descrizione del programma Sismicad

Si tratta di un programma di calcolo strutturale che nella versione più estesa è dedicato al progetto e verifica degli elementi in cemento armato, acciaio, muratura e legno di opere civili. Il programma utilizza come analizzatore e solutore del modello strutturale un proprio solutore agli elementi finiti tridimensionale fornito col pacchetto. Il programma è sostanzialmente diviso in tre moduli: un pre processore che consente l'introduzione della geometria e dei carichi e crea il file dati di input al solutore; il solutore agli elementi finiti; un post processore che a soluzione avvenuta elabora i risultati eseguendo il progetto e la verifica delle membrature e producendo i grafici ed i tabulati di output.

Specifiche tecniche

Denominazione del software: Sismicad 12.13

Produttore del software: Concrete

Concrete srl, via della Pieve, 15, 35121 PADOVA - Italy

<http://www.concrete.it>

Rivenditore: CONCRETE SRL - Via della Pieve 19 - 35121 Padova - tel.049-8754720

Versione: 12.13

Identificatore licenza: SW-7851662

Intestatario della licenza: PINELLI ING. ROBERTO - VIA LUNGOMONTE, 218 A - MONTECALVOLI (PI)

Versione regolarmente licenziata

Schematizzazione strutturale e criteri di calcolo delle sollecitazioni

Il programma schematizza la struttura attraverso l'introduzione nell'ordine di fondazioni, poste anche a quote diverse, platee, platee nervate, plinti e travi di fondazione poggianti tutte su suolo elastico alla Winkler, di elementi verticali, pilastri e pareti in c.a. anche con fori, di orizzontamenti costituiti da solai orizzontali e inclinati (falde), e relative travi di piano e di falda; è ammessa anche l'introduzione di elementi prismatici in c.a. di interpiano con possibilità di collegamento in inclinato a solai posti a quote diverse. I nodi strutturali possono essere connessi solo a travi, pilastri e pareti, simulando così impalcati infinitamente deformabili nel piano, oppure a elementi lastra di spessore dichiarato dall'utente simulando in tal modo impalcati a rigidezza finita. I nodi appartenenti agli impalcati orizzontali possono essere connessi rigidamente ad uno o più nodi principali giacenti nel piano dell'impalcato; generalmente un nodo principale coincide con il baricentro delle masse. Tale opzione, oltre a ridurre significativamente i tempi di elaborazione, elimina le approssimazioni numeriche connesse all'utilizzo di elementi lastra quando si richiede l'analisi a impalcati infinitamente rigidi. Per quanto concerne i carichi, in fase di immissione dati, vengono definite, in numero a scelta dell'utente, condizioni di carico elementari le quali, in aggiunta alle azioni sismiche e variazioni termiche, vengono combinate attraverso coefficienti moltiplicativi per fornire le combinazioni richieste per le verifiche successive. L'effetto di disassamento delle forze orizzontali, indotto ad esempio dai torcenti di piano per costruzioni in zona sismica, viene simulato attraverso l'introduzione di eccentricità planari aggiuntive le quali costituiscono ulteriori condizioni elementari di carico da cumulare e combinare secondo i criteri del paragrafo precedente. Tipologicamente sono ammessi sulle travi e sulle pareti carichi uniformemente distribuiti e carichi trapezoidali; lungo le aste e nei nodi di incrocio delle membrature sono anche definibili componenti di forze e coppie concentrate comunque dirette nello spazio. Sono previste distribuzioni di temperatura, di intensità a scelta dell'utente, agenti anche su singole porzioni di struttura. Il calcolo delle sollecitazioni si basa sulle seguenti ipotesi e modalità: - travi e pilastri deformabili a sforzo normale, flessione deviata, taglio deviato e momento torcente. Sono previsti coefficienti riduttivi dei momenti di inerzia a scelta dell'utente per considerare la riduzione della rigidezza flessionale e torsionale per effetto della fessurazione del conglomerato cementizio. E' previsto un moltiplicatore della rigidezza assiale dei pilastri per considerare, se pure in modo approssimato, l'accorciamento dei pilastri per sforzo normale durante la costruzione. - le travi di fondazione su suolo alla Winkler sono risolte in forma chiusa tramite uno specifico elemento finito; - le pareti in c.a. sono analizzate schematizzandole come elementi lastra-piastra discretizzati con passo massimo assegnato in fase di immissione dati; - le pareti in muratura possono essere schematizzate con elementi lastra-piastra con spessore flessionale ridotto rispetto allo spessore membranale. - I plinti su suolo alla Winkler sono modellati con la introduzione di molle verticali elastoplastiche. La traslazione orizzontale a scelta dell'utente è bloccata o gestita da molle orizzontali di modulo di reazione proporzionale al verticale. - I pali sono modellati suddividendo l'asta in più aste immerse in terreni di stratigrafia definita dall'utente. Nei nodi di divisione tra le aste vengono inserite molle assialsimmetriche elastoplastiche precaricate dalla spinta a riposo che hanno come pressione limite minima la spinta attiva e come pressione limite massima la spinta passiva modificabile attraverso opportuni coefficienti. - i plinti su pali sono modellati attraverso aste di rigidezza elevata che collegano un punto della struttura in elevazione con le aste che simulano la presenza dei pali; - le piastre sono discretizzate in un numero finito di elementi lastra-piastra con passo massimo assegnato in fase di immissione dati; nel caso di platee di fondazione i nodi sono collegati al suolo da molle aventi rigidezze alla traslazione verticale ed richiesta anche orizzontale. - La deformabilità nel proprio piano di piani dichiarati non infinitamente rigidi e di falde (piani inclinati) può essere controllata attraverso la introduzione di elementi membranali nelle zone di solaio. - I disassamenti tra elementi asta sono gestiti automaticamente dal programma attraverso la introduzione di collegamenti rigidi locali. - Alle estremità di elementi asta è possibile inserire svincolamenti tradizionali così come cerniere parziali (che trasmettono una quota di ciò che trasmetterebbero in condizioni di collegamento rigido) o cerniere plastiche. - Alle estremità di elementi bidimensionali è possibile inserire svincolamenti con cerniere parziali del momento flettente avente come asse il bordo dell'elemento. - Il calcolo degli effetti del sisma è condotto, a scelta dell'utente, con analisi statica lineare, con analisi dinamica modale o con analisi statica non lineare, in accordo alle varie normative adottate. Le masse, nel caso di impalcati dichiarati rigidi sono concentrate nei nodi principali di piano altrimenti vengono considerate diffuse nei nodi giacenti sull'impalcato stesso. Nel caso di analisi sismica vengono anche controllati gli spostamenti di interpiano.

Verifiche delle membrature in cemento armato

Nel caso più generale le verifiche degli elementi in c.a. possono essere condotte col metodo delle tensioni ammissibili (D.M. 14-1-92) o agli stati limite in accordo al D.M. 09-01-96, al D.M. 14-01-08, al D.M. 17-01-18 o secondo Eurocodice 2. Le travi sono progettate e verificate a flessione retta e taglio; a richiesta è possibile la verifica per le sei componenti della sollecitazione. I pilastri ed i pali sono verificati per le sei componenti della sollecitazione. Per gli elementi bidimensionali giacenti in un medesimo piano è disponibile la modalità di verifica che consente di analizzare lo stato di verifica nei singoli nodi degli elementi. Nelle verifiche (a presso flessione e punzonamento) è ammessa la introduzione dei momenti di calcolo modificati in base alle direttive dell'EC2, Appendice A.2.8. I plinti superficiali sono verificati assumendo lo schema statico di mensole con incastri posti a filo o in asse pilastro. Gli ancoraggi delle armature delle membrature in c.a. sono calcolati sulla base della effettiva tensione normale che ogni barra assume nella sezione di verifica distinguendo le zone di ancoraggio in zone di buona o cattiva aderenza. In particolare il programma valuta la tensione normale che ciascuna barra può assumere in una sezione sviluppando l'aderenza sulla superficie cilindrica posta a sinistra o a destra della sezione considerata; se in una sezione una barra assume per effetto dell'aderenza una tensione normale minore di quella ammissibile, il suo contributo all'area complessiva viene ridotto dal programma nel rapporto tra la tensione normale che la barra può assumere per effetto dell'aderenza e quella ammissibile. Le verifiche sono effettuate a partire dalle aree di acciaio equivalenti così calcolate che vengono evidenziate in relazione. A seguito di analisi inelastiche eseguite in accordo a OPCM 3431 o D.M. 14-01-08, al D.M. 17-01-18 vengono condotte verifiche di resistenza per i meccanismi fragili (nodi e taglio) e verifiche di deformabilità per i meccanismi duttili.

2 Dati generali

2.1 Materiali

2.1.1 Materiali c.a.

Descrizione: descrizione o nome assegnato all'elemento.

Rck: resistenza caratteristica cubica; valore medio nel caso di edificio esistente. [daN/cm²]

E: modulo di elasticità longitudinale del materiale per edifici o materiali nuovi. [daN/cm²]

G: modulo di elasticità tangenziale del materiale, viene impiegato nella modellazione di aste e di elementi guscio a comportamento ortotropo. [daN/cm²]

v: coefficiente di Poisson. Il valore è adimensionale.

γ: peso specifico del materiale. [daN/cm³]

α: coefficiente longitudinale di dilatazione termica. [°C⁻¹]

Descrizione	Rck	E	G	v	γ	α
C32/40	400	336428	Default (152921.72)	0.1	0.0025	0.00001
C25/30	300	314472	Default (142941.64)	0.1	0.0025	0.00001

2.1.2 Curve di materiali c.a.

Descrizione: descrizione o nome assegnato all'elemento.

Curva: curva caratteristica.

Reaz.traz.: reagisce a trazione.

Comp.frag.: ha comportamento fragile.

E.compr.: modulo di elasticità a compressione. [daN/cm²]

Incr.compr.: incrudimento di compressione. Il valore è adimensionale.

EpsEc: ε elastico a compressione. Il valore è adimensionale.

EpsUc: ε ultimo a compressione. Il valore è adimensionale.

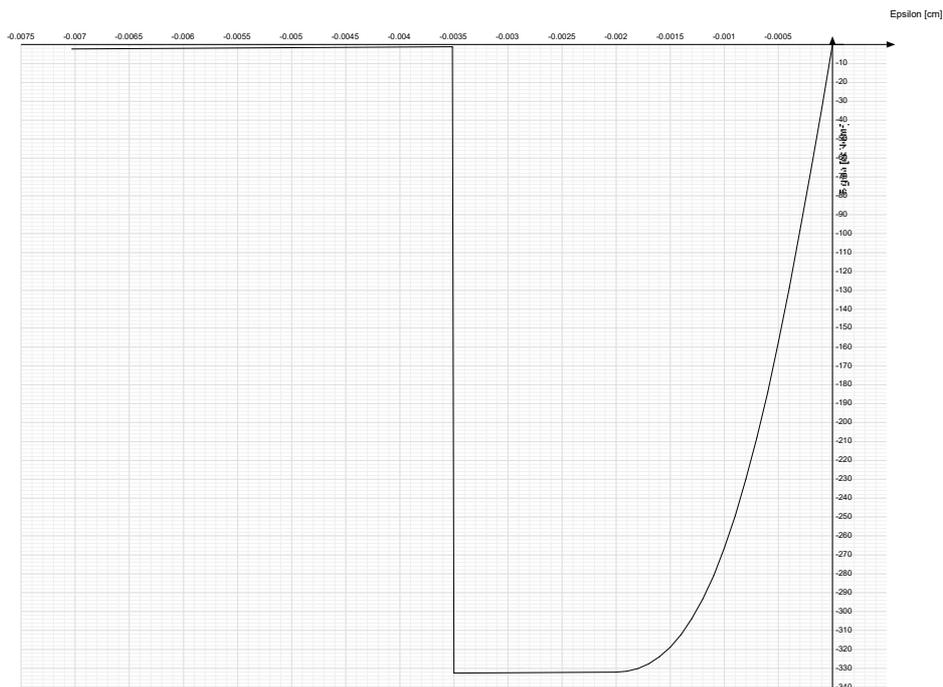
E.traz.: modulo di elasticità a trazione. [daN/cm²]

Incr.traz.: incrudimento di trazione. Il valore è adimensionale.

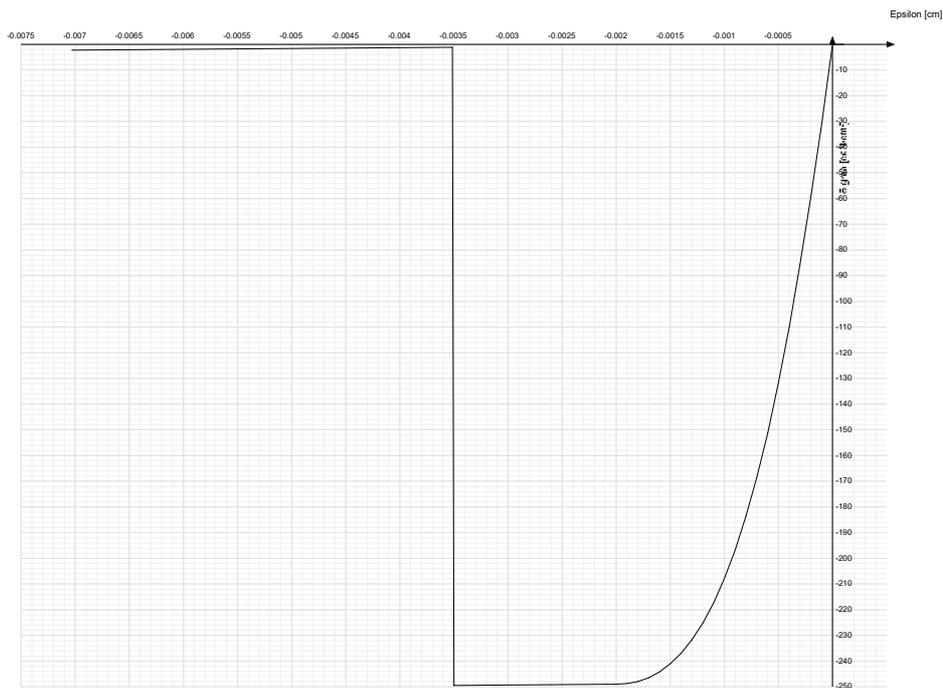
EpsEt: ε elastico a trazione. Il valore è adimensionale.

EpsUt: ε ultimo a trazione. Il valore è adimensionale.

Descrizione	Curva									
	Reaz.traz.	Comp.frag.	E.compr.	Incr.compr.	EpsEc	EpsUc	E.traz.	Incr.traz.	EpsEt	EpsUt
C32/40	No	Si	336427.78	0.001	-0.002	-0.0035	336427.78	0.001	0.0000645	0.0000709



Descrizione	Curva									
	Reaz.traz.	Comp.frag.	E.compr.	Incr.compr.	EpsEc	EpsUc	E.traz.	Incr.traz.	EpsEt	EpsUt
C25/30	No	Si	314471.61	0.001	-0.002	-0.0035	314471.61	0.001	0.0000569	0.0000626



2.1.3 Armature

Descrizione: descrizione o nome assegnato all'elemento.

fyk: resistenza caratteristica. [daN/cm²]

σamm.: tensione ammissibile. [daN/cm²]

Tipo: tipo di barra.

E: modulo di elasticità longitudinale del materiale per edifici o materiali nuovi. [daN/cm²]

γ: peso specifico del materiale. [daN/cm³]

v: coefficiente di Poisson. Il valore è adimensionale.

α: coefficiente longitudinale di dilatazione termica. [°C⁻¹]

Livello di conoscenza: indica se il materiale è nuovo o esistente, e in tal caso il livello di conoscenza secondo Circ.617 02/02/09 §C8A. Informazione impiegata solo in analisi D.M. 14-01-08 (N.T.C.) e D.M. 17-01-18 (N.T.C.).

Descrizione	fyk	σamm.	Tipo	E	γ	v	α	Livello di conoscenza
B450C	4500	2550	Aderenza migliorata	2060000	0.00785	0.3	0.000012	Nuovo
FeB 44 k aderenza migliorata	4300	2550	Aderenza migliorata	2060000	0.00785	0.3	0.000012	Nuovo

2.1.4 Acciai

2.1.4.1 Proprietà acciai base

Descrizione: descrizione o nome assegnato all'elemento.

E: modulo di elasticità longitudinale del materiale per edifici o materiali nuovi. [daN/cm²]

G: modulo di elasticità tangenziale del materiale, viene impiegato nella modellazione di aste e di elementi guscio a comportamento ortotropo. [daN/cm²]

v: coefficiente di Poisson. Il valore è adimensionale.

γ: peso specifico del materiale. [daN/cm³]

α: coefficiente longitudinale di dilatazione termica. [°C⁻¹]

Descrizione	E	G	v	γ	α
S355	2100000	Default (807692.31)	0.3	0.00785	0.000012

2.1.4.2 Proprietà acciai CNR 10011

Descrizione: descrizione o nome assegnato all'elemento.

Tipo: descrizione per norma.

fy(s<=40 mm): resistenza di snervamento fy per spessori <=40 mm. [daN/cm²]

fy(s>40 mm): resistenza di snervamento fy per spessori >40 mm. [daN/cm²]

fu(s<=40 mm): resistenza di rottura per trazione fu per spessori <=40 mm. [daN/cm²]

fu(s>40 mm): resistenza di rottura per trazione fu per spessori >40 mm. [daN/cm²]

Prosp. Omega: prospetto per coefficienti Omega.

σ amm.(s<=40 mm): σ ammissibile per spessori <=40 mm. [daN/cm²]

σ amm.(s>40 mm): σ ammissibile per spessori >40 mm. [daN/cm²]

fd(s<=40 mm): resistenza di progetto fd per spessori <=40 mm. [daN/cm²]

fd(s>40 mm): resistenza di progetto fd per spessori >40 mm. [daN/cm²]

Descrizione	Tipo	fy(s<=40 mm)	fy(s>40 mm)	fu(s<=40 mm)	fu(s>40 mm)	Prosp. Omega	σ amm.(s<=40 mm)	σ amm.(s>40 mm)	fd(s<=40 mm)	fd(s>40 mm)
S355	FE510	3550	3350	5100	4900	VI	2400	2100	3550	3150

2.1.4.3 Proprietà acciai CNR 10022

Descrizione: descrizione o nome assegnato all'elemento.

Tipo: descrizione per norma.

fy: resistenza di snervamento fy. [daN/cm²]

fu: resistenza di rottura fu. [daN/cm²]

fd: resistenza di progetto fd. [daN/cm²]

Prospetto omega sag.fr.(s<3mm): prospetto coeff. omega per spessori < 3 mm.

Prospetto omega sag.fr.(s>=3mm): prospetto coeff. omega per spessori >= 3 mm.

Prospetti σ crit. Eulero: prospetti σ critiche euleriane.

Descrizione	Tipo	fy	fu	fd	Prospetto omega sag.fr.(s<3mm)	Prospetto omega sag.fr.(s>=3mm)	Prospetti σ crit. Eulero
S355	FE510	3550	5100	3550	f	g	I

2.1.4.4 Proprietà acciai EC3

Descrizione: descrizione o nome assegnato all'elemento.

Tipo: descrizione per norma.

fy(s<=40 mm): resistenza di snervamento fy per spessori <=40 mm. [daN/cm²]

fy(s>40 mm): resistenza di snervamento fy per spessori >40 mm. [daN/cm²]

fu(s<=40 mm): resistenza di rottura per trazione fu per spessori <=40 mm. [daN/cm²]

fu(s>40 mm): resistenza di rottura per trazione fu per spessori >40 mm. [daN/cm²]

Descrizione	Tipo	fy(s<=40 mm)	fy(s>40 mm)	fu(s<=40 mm)	fu(s>40 mm)
S355	S355	3550	3350	5100	4700

2.2 Sezioni

2.2.1 Sezioni C.A.

2.2.1.1 Sezioni rettangolari C.A.



Descrizione: descrizione o nome assegnato all'elemento.

Area Tx FEM: area di taglio in direzione X per l'analisi FEM. [cm²]

Area Ty FEM: area di taglio in direzione Y per l'analisi FEM. [cm²]

JxFEM: momento di inerzia attorno all'asse X per l'analisi FEM. [cm⁴]

JyFEM: momento di inerzia attorno all'asse Y per l'analisi FEM. [cm⁴]

JtFEM: momento d'inerzia torsionale corretto con il fattore di forma per l'analisi FEM. [cm⁴]

H: altezza della sezione. [cm]

B: larghezza della sezione. [cm]

c.s.: copriferro superiore della sezione. [cm]

c.i.: copriferro inferiore della sezione. [cm]

c.l.: copriferro laterale della sezione. [cm]

Descrizione	Area Tx FEM	Area Ty FEM	JxFEM	JyFEM	JtFEM	H	B	c.s.	c.i.	c.l.
60x60 5	3000	3000	1080000	1080000	1598400	60	60	5	5	5

2.2.1.2 Caratteristiche inerziali sezioni C.A.

Descrizione: descrizione o nome assegnato all'elemento.

Xg: ascissa del baricentro definita rispetto al sistema geometrico in cui sono definiti i vertici del poligono. [cm]

Yg: ordinata del baricentro definita rispetto al sistema geometrico in cui sono definiti i vertici del poligono. [cm]

Area: area inerziale nel sistema geometrico centrato nel baricentro. [cm²]

Jx: momento d'inerzia attorno all'asse orizzontale baricentrico di definizione della sezione. [cm⁴]

Jy: momento d'inerzia attorno all'asse verticale baricentrico di definizione della sezione. [cm⁴]

Jxy: momento centrifugo rispetto al sistema di riferimento baricentrico di definizione della sezione. [cm⁴]

Jm: momento d'inerzia attorno all'asse baricentrico principale M. [cm⁴]

Jn: momento d'inerzia attorno all'asse baricentrico principale N. [cm⁴]

α: angolo tra gli assi del sistema di riferimento geometrico di definizione e quelli del sistema di riferimento principale. [deg]

Area Tx FEM: area di taglio in direzione X per l'analisi FEM. [cm²]

Area Ty FEM: area di taglio in direzione Y per l'analisi FEM. [cm²]

JxFEM: momento di inerzia attorno all'asse X per l'analisi FEM. [cm⁴]

JyFEM: momento di inerzia attorno all'asse Y per l'analisi FEM. [cm⁴]

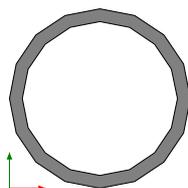
JtFEM: momento d'inerzia torsionale corretto con il fattore di forma per l'analisi FEM. [cm⁴]

Descrizione	Xg	Yg	Area	Jx	Jy	Jxy	Jm	Jn	α	Area Tx FEM	Area Ty FEM	JxFEM	JyFEM	JtFEM
60x60 5	30	30	3600	1.1E6	1.1E6	0	1.1E6	1.1E6	0	3000	3000	1080000	1080000	1598400

2.2.2 Sezioni in acciaio

2.2.2.1 Profili singoli in acciaio

2.2.2.1.1 Tubi tondi



Descrizione: descrizione o nome assegnato all'elemento.

Sup.: superficie bagnata per unità di lunghezza. [mm]

Area Tx FEM: area di taglio in direzione X per l'analisi FEM. [mm²]

Area Ty FEM: area di taglio in direzione Y per l'analisi FEM. [mm²]

JxFEM: momento di inerzia attorno all'asse X per l'analisi FEM. [mm⁴]

Interventi di miglioramento della diga di Cepparello nel Comune di Poggibonsi (SI)

ET.09.4 – Tabulati di calcolo_Canali fugadori con fondazioni su pali

JyFEM: momento di inerzia attorno all'asse Y per l'analisi FEM. [mm⁴]

JtFEM: momento d'inerzia torsionale corretto con il fattore di forma per l'analisi FEM. [mm⁴]

d: diametro del tondo. [mm]

s: spessore. [mm]

Categoria: categoria, basata sulla tecnologia costruttiva.

Formatura: tipo di formatura a freddo del sagomato.

Descrizione	Sup.	Area Tx FEM	Area Ty FEM	JxFEM	JyFEM	JtFEM	d	s	Categoria	Formatura
EN10219 139.7x10	438.9	1880	1880	8618940	8618940	17237880	139.7	10	Sagomato a freddo conforme UNI 10219	A rullo

2.2.2.2 Caratteristiche inerziali sezioni in acciaio

2.2.2.2.1 Caratteristiche inerziali principali sezioni in acciaio

Descrizione: descrizione o nome assegnato all'elemento.

Xg: coordinata X del baricentro. [cm]

Yg: coordinata Y del baricentro. [cm]

Area: area inerziale nel sistema geometrico centrato nel baricentro. [cm²]

Jx: momento d'inerzia attorno all'asse orizzontale baricentrico di definizione della sezione. [cm⁴]

Jy: momento d'inerzia attorno all'asse verticale baricentrico di definizione della sezione. [cm⁴]

Jxy: momento centrifugo rispetto al sistema di riferimento baricentrico di definizione della sezione. [cm⁴]

Jm: momento d'inerzia attorno all'asse baricentrico principale M. [cm⁴]

Jn: momento d'inerzia attorno all'asse baricentrico principale N. [cm⁴]

α X su M: angolo tra gli assi del sistema di riferimento geometrico di definizione e quelli del sistema di riferimento principale. [deg]

Jt: momento d'inerzia torsionale corretto con il fattore di forma. [cm⁴]

Descrizione	Xg	Yg	Area	Jx	Jy	Jxy	Jm	Jn	α X su M	Jt
EN10219 139.7x10	6.99	6.99	40.75	861.89	861.89	0	861.89	861.89	0	1723.79

2.2.2.2.2 Caratteristiche inerziali momenti sezioni in acciaio

Descrizione: descrizione o nome assegnato all'elemento.

ix: raggio di inerzia relativo all'asse x. [cm]

iy: raggio di inerzia relativo all'asse y. [cm]

im: raggio di inerzia relativo all'asse principale m. [cm]

in: raggio di inerzia relativo all'asse principale n. [cm]

Sx: momento statico relativo all'asse x. [cm³]

Sy: momento statico relativo all'asse y. [cm³]

Wx: modulo di resistenza elastico minimo relativo all'asse x. [cm³]

Wy: modulo di resistenza elastico minimo relativo all'asse y. [cm³]

Wm: modulo di resistenza elastico minimo relativo all'asse principale m. [cm³]

Wn: modulo di resistenza elastico minimo relativo all'asse principale n. [cm³]

Wplx: modulo di resistenza plastico relativo all'asse x. [cm³]

Wply: modulo di resistenza plastico relativo all'asse y. [cm³]

Descrizione	ix	iy	im	in	Sx	Sy	Wx	Wy	Wm	Wn	Wplx	Wply
EN10219 139.7x10	4.6	4.6	4.6	4.6	81.07	81.07	123.39	123.39	123.39	123.39	168.55	168.55

2.2.2.2.3 Caratteristiche inerziali taglio sezioni in acciaio

Descrizione: descrizione o nome assegnato all'elemento.

Atx: area a taglio lungo x. [cm²]

Aty: area a taglio lungo y. [cm²]

Descrizione	Atx	Aty
EN10219 139.7x10	40.75	40.75

2.3 Fondazioni

2.3.1 Pali

2.3.1.1 Micropali

Descrizione: descrizione o nome assegnato all'elemento.

Calcestruzzo: calcestruzzo iniettato.

Acciaio: materiale del tubo.

Tubo in acciaio circolare: sezione del tubo definito nel database delle sezioni in acciaio.

Diametro perforazione: diametro di perforazione. [cm]

Descrizione	Calcestruzzo	Acciaio	Tubo in acciaio circolare	Diametro perforazione
Micropalo D139.7x10 perf 220	C25/30	S355	EN10219 139.7x10	22

2.4 Terreni

Descrizione: descrizione o nome assegnato all'elemento.

Coesione: coesione efficace del terreno. [daN/cm²]

Coesione non drenata: coesione non drenata (Cu) del terreno, per terreni eminentemente coesivi. [daN/cm²]

Attrito interno: angolo di attrito interno del terreno. [deg]

δ: angolo di attrito all'interfaccia terreno-cls. [deg]

Coeff. di Adesione: coeff. di adesione della coesione all'interfaccia terreno-cls, compreso tra 0 ed 1. Il valore è adimensionale.

Coeff. di spinta K0: coefficiente di spinta a riposo del terreno. Il valore è adimensionale.

y naturale: peso specifico naturale del terreno in sito, assegnato alle zone non immerse. [daN/cm³]

y saturo: peso specifico saturo del terreno in sito, assegnato alle zone immerse. [daN/cm³]

E: modulo elastico longitudinale del terreno. [daN/cm²]

v: coefficiente di Poisson del terreno. Il valore è adimensionale.

Rqd: rock quality degree. Per roccia assume valori nell'intervallo (0;1]. Il valore convenzionale 0 indica che si tratta di un terreno sciolto. Il valore è adimensionale.

Permeabilità Kh: permeabilità orizzontale. Permeabilità orizzontale del terreno. [cm/s]

Permeabilità Kv: permeabilità verticale. Permeabilità verticale del terreno. [cm/s]

Interventi di miglioramento della diga di Cepparello nel Comune di Poggibonsi (SI)

ET.09.4 – Tabulati di calcolo_Canali fugatori con fondazioni su pali

Descrizione	Coesione	Coesione non drenata	Attrito interno	δ	Coeff. di Adesione	Coeff. di spinta K0	γ naturale	γ saturo	E	ν	Rqd	Permeabilità Kh	Permeabilità Kv
2.Roccia alterata	2	0	36	24	0.75	0.41	0.002	0.0024	900	0.3	0	0.1	0.01
3.Rinfianco ridotto	0.1	0	28	19	0.75	0.53	0.002	0.0021	900	0.3	0	0.1	0.01
3.Rinfianco parametri nulli	0	0	1	1	0.75	0.98	0.002	0.0021	900	0.3	0	0.1	0.01

3 Dati di definizione

3.1 Preferenze commessa

3.1.1 Preferenze di analisi

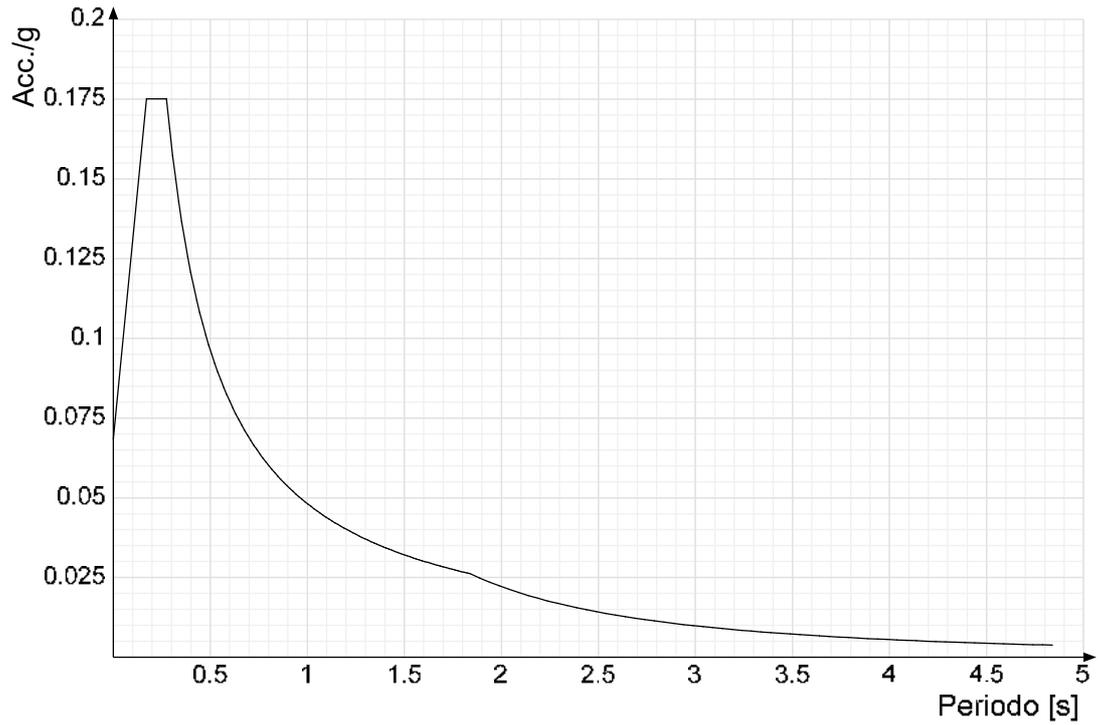
Metodo di analisi	D.M. 17-01-18 (N.T.C.)	
Tipo di costruzione	2 - Costruzioni con livelli di prestazioni ordinari	
Vn	50	
Classe d'uso	IV	
Vr	100	
Tipo di analisi	Lineare dinamica	
Località	Siena, Poggibonsi, Diga Drove; Latitudine ED50 43,4906° (43° 29' 26''); Longitudine ED50 11,1916° (11° 11' 30''); Altitudine s.l.m. 173,98 m.	
Categoria del suolo	A - Ammassi rocciosi affioranti o terreni molto rigidi	
Categoria topografica	T1 - Superficie pianeggiante, pendii e rilievi isolati con inclinazione media $i \leq 15^\circ$	
Ss orizzontale SLO	1.148	
Tb orizzontale SLO	0.172	[s]
Tc orizzontale SLO	0.275	[s]
Td orizzontale SLO	1.839	[s]
Ss orizzontale SLD	1.108	
Tb orizzontale SLD	0.105	[s]
Tc orizzontale SLD	0.3	[s]
Td orizzontale SLD	1.895	[s]
Ss orizzontale SLV	1.11	
Tb orizzontale SLV	0.105	[s]
Tc orizzontale SLV	0.317	[s]
Td orizzontale SLV	2.253	[s]
Ss verticale	1	
Tb verticale	0.05	[s]
Tc verticale	0.15	[s]
Td verticale	1	[s]
St	1	
PVr SLO (%)	81	
Tr SLO	60.21	
Ag/g SLO	0.0597	
Fo SLO	2.557	
Tc* SLO	0.258	[s]
PVr SLD (%)	63	
Tr SLD	101	
Ag/g SLD	0.0737	
Fo SLD	2.535	
Tc* SLD	0.268	[s]
PVr SLV (%)	10	
Tr SLV	949.12	
Ag/g SLV	0.1633	
Fo SLV	2.518	
Tc* SLV	0.288	[s]
Smorzamento viscoso (%)	5	
Classe di duttilità	CD"B"	
Rotazione del sisma	0	[deg]
Quota dello '0' sismico	0	[cm]
Regolarità in pianta	No	
Regolarità in elevazione	No	
Edificio C.A.	Si	
Tipologia C.A.	Strutture a pareti non accoppiate $q_0=3.0$	
Kw	0.5	
Edificio esistente	No	
T1,x	0.14478	[s]
T1,y	0.3095	[s]
λ SLO,x	0.85	
λ SLO,y	0.85	
λ SLD,x	0.85	
λ SLD,y	0.85	
λ SLV,x	0.85	
λ SLV,y	0.85	
Numero modi	30	
Metodo di Ritz	applicato	
Limite spostamenti interpiano	0.0033	
Fattore di comportamento per sisma SLD X	1	
Fattore di comportamento per sisma SLD Y	1	
Fattore di comportamento per sisma SLV X	1.5	
Fattore di comportamento per sisma SLV Y	1.5	
Coefficiente di sicurezza per carico limite (fondazioni superficiali)	2.3	
Coefficiente di sicurezza per scorrimento (fondazioni superficiali)	1.1	
Coefficiente di sicurezza portanza verticale pali infissi, punta	1.15	
Coefficiente di sicurezza portanza verticale pali infissi, laterale compressione	1.15	
Coefficiente di sicurezza portanza verticale pali infissi, laterale trazione	1.25	
Coefficiente di sicurezza portanza verticale pali trivellati, punta	1.35	
Coefficiente di sicurezza portanza verticale pali trivellati, laterale compressione	1.15	
Coefficiente di sicurezza portanza verticale pali trivellati, laterale trazione	1.25	
Coefficiente di sicurezza portanza verticale micropali, punta	1.35	
Coefficiente di sicurezza portanza verticale micropali, laterale compressione	1.15	
Coefficiente di sicurezza portanza verticale micropali, laterale trazione	1.25	
Coefficiente di sicurezza portanza trasversale pali	1.3	
Fattore di correlazione resistenza caratteristica dei pali in base alle verticali indagate	1.7	
Coefficiente di sicurezza per ribaltamento (plinti superficiali)	1.15	

3.1.2 Spettri D.M. 17-01-18

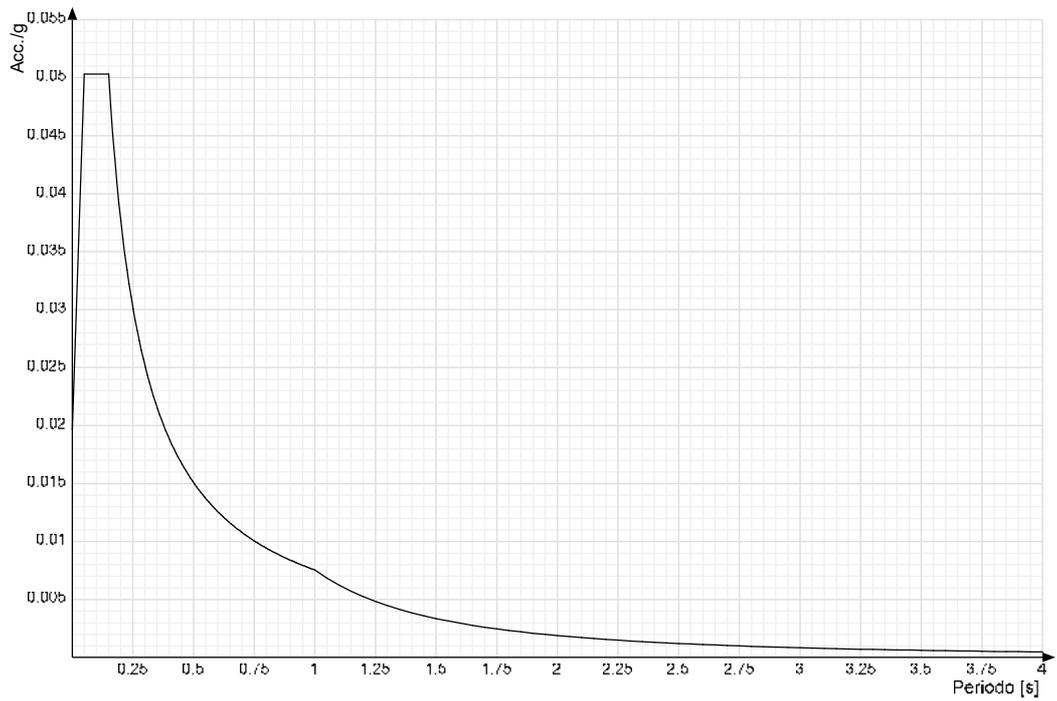
Acc./g: Accelerazione spettrale normalizzata ottenuta dividendo l'accelerazione spettrale per l'accelerazione di gravità.

Periodo: Periodo di vibrazione.

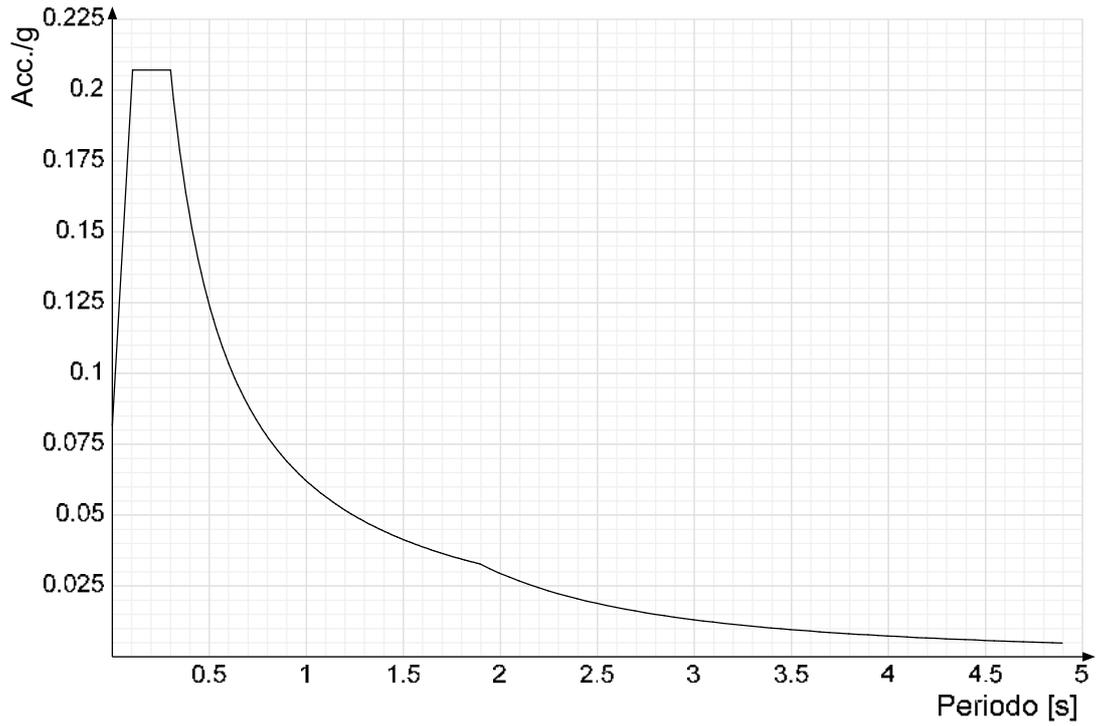
Spettro di risposta elastico in accelerazione delle componenti orizzontali SLO § 3.2.3.2.1 [3.2.2]



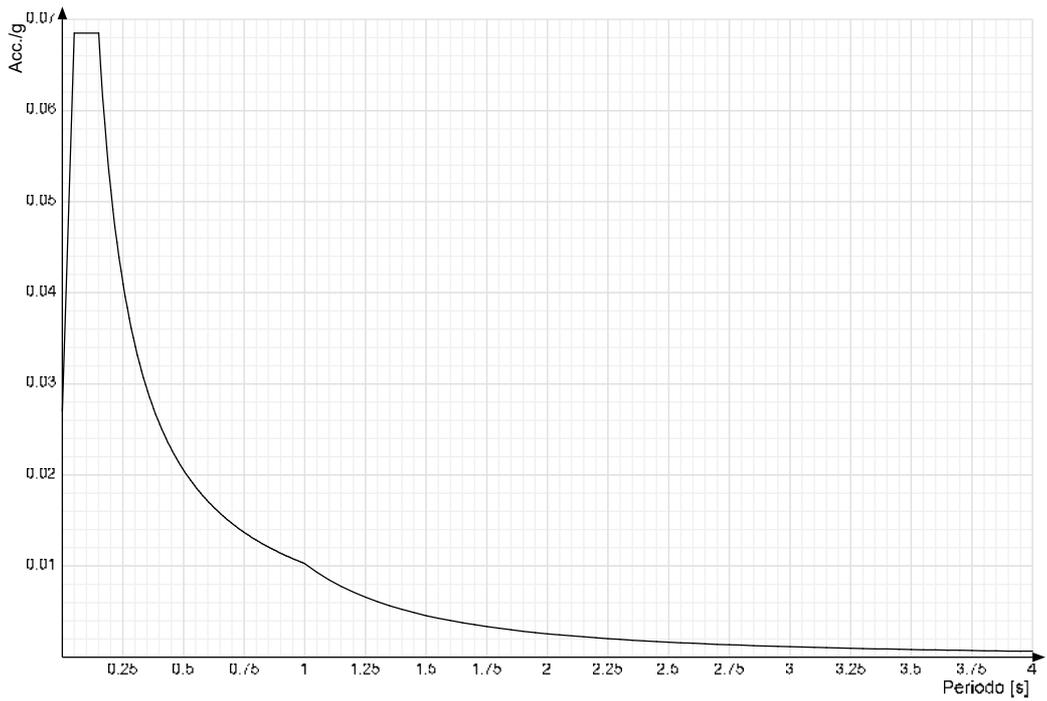
Spettro di risposta elastico in accelerazione della componente verticale SLO § 3.2.3.2.2 [3.2.8]



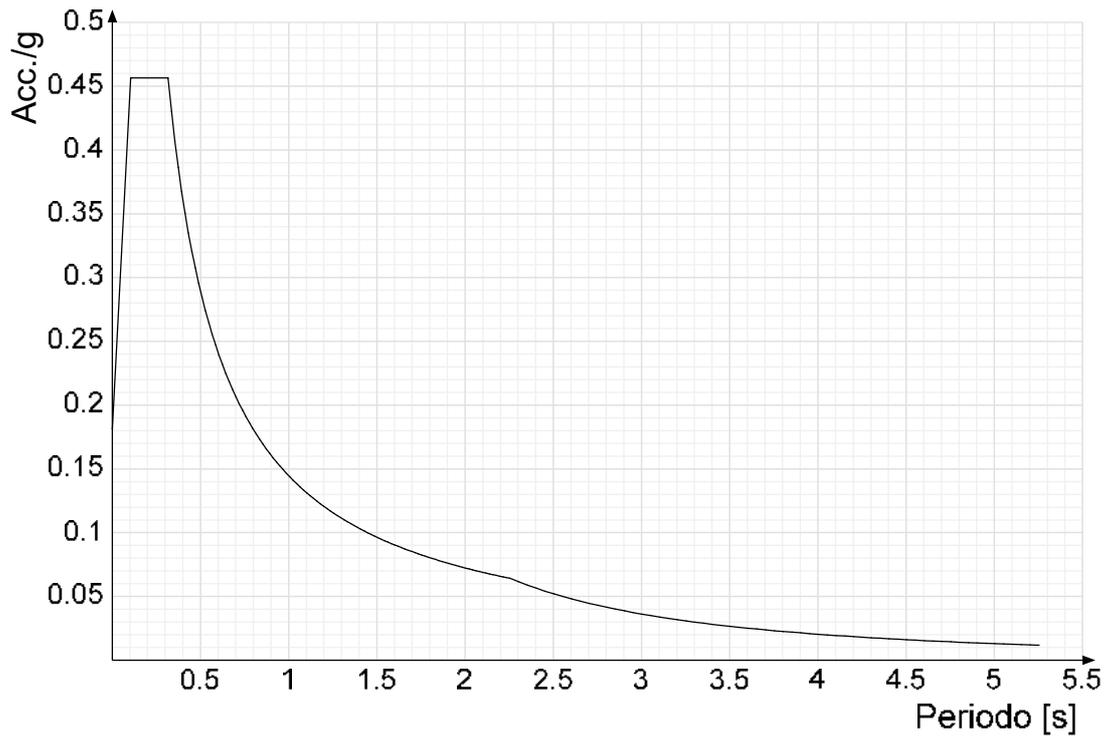
Spettro di risposta elastico in accelerazione delle componenti orizzontali SLD § 3.2.3.2.1 [3.2.2]



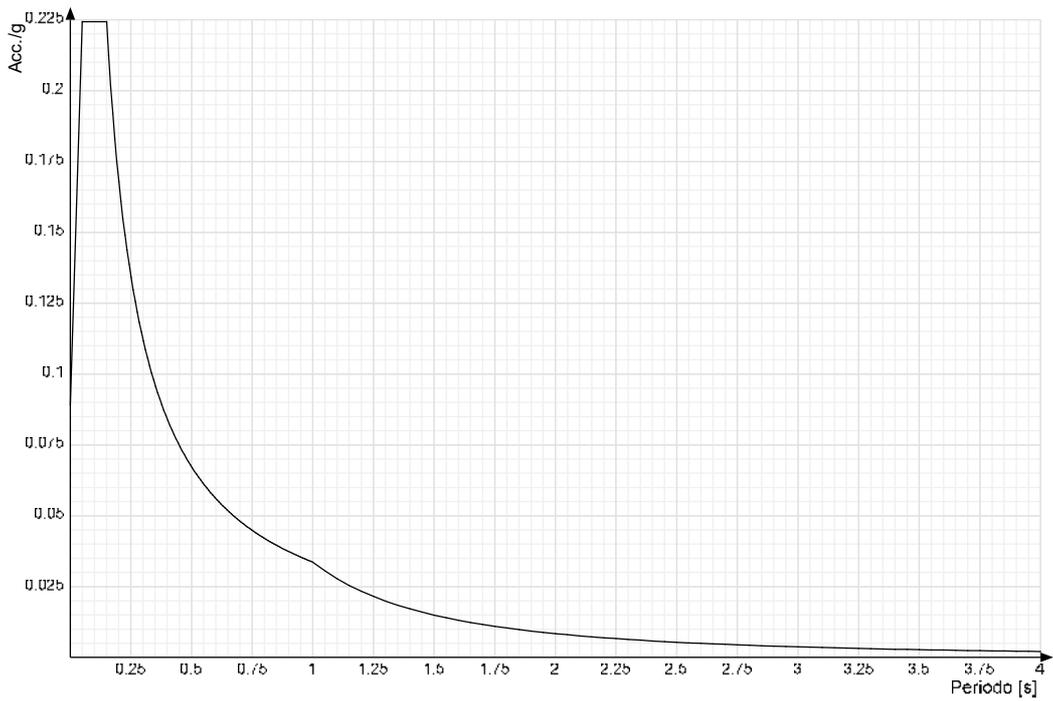
Spettro di risposta elastico in accelerazione della componente verticale SLD § 3.2.3.2.2 [3.2.8]



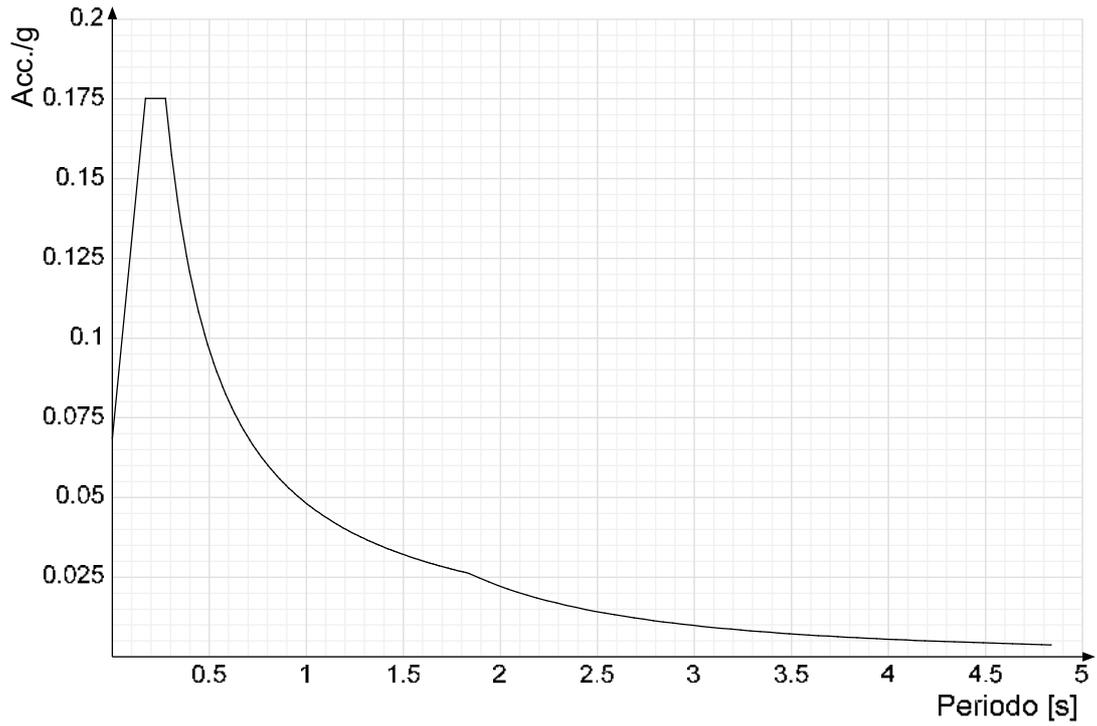
Spettro di risposta elastico in accelerazione delle componenti orizzontali SLV § 3.2.3.2.1 [3.2.2]



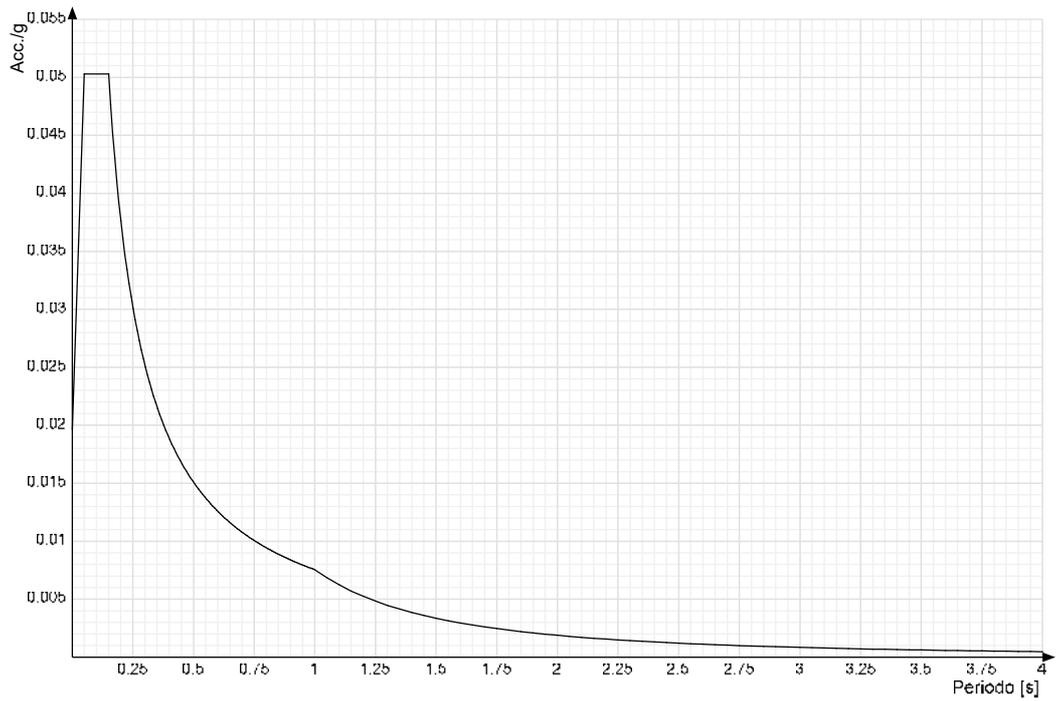
Spettro di risposta elastico in accelerazione della componente verticale SLV § 3.2.3.2.2 [3.2.8]



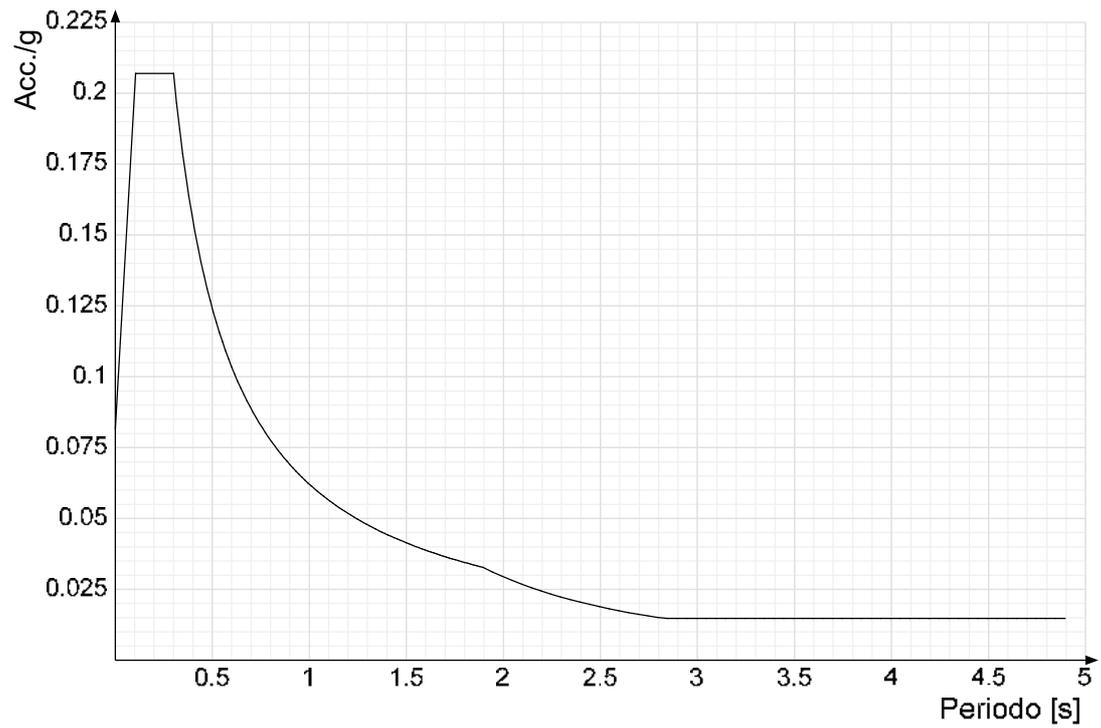
Spettro di risposta di progetto in accelerazione delle componenti orizzontali SLO § 3.2.3.4



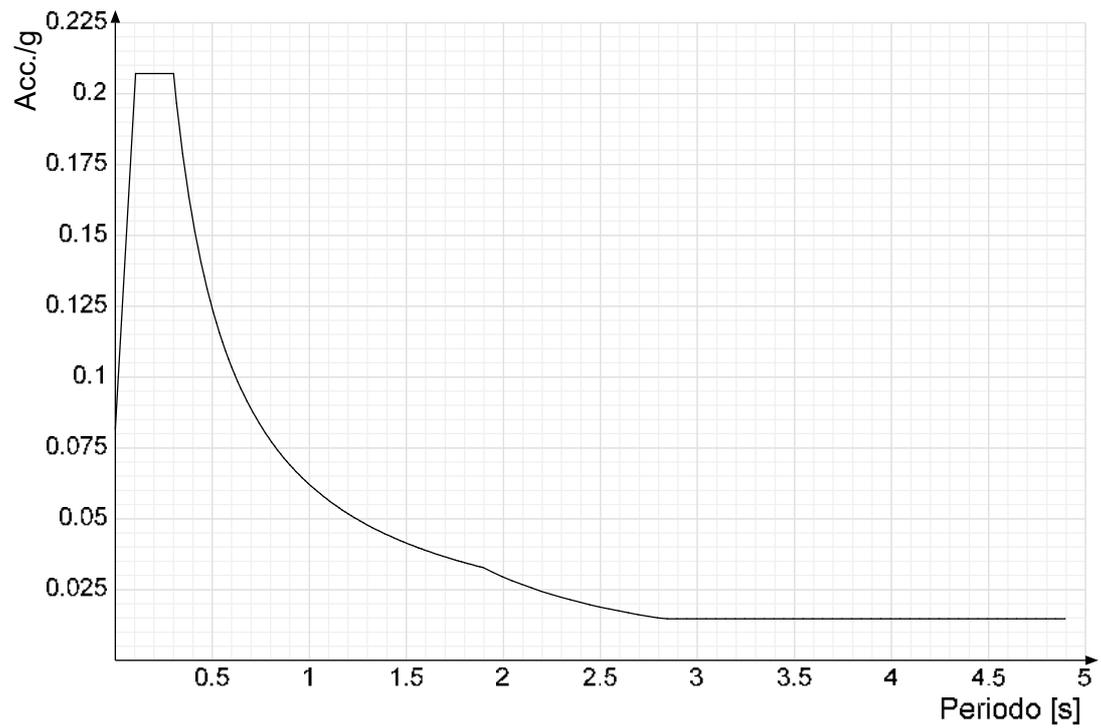
Spettro di risposta di progetto in accelerazione della componente verticale SLO § 3.2.3.4



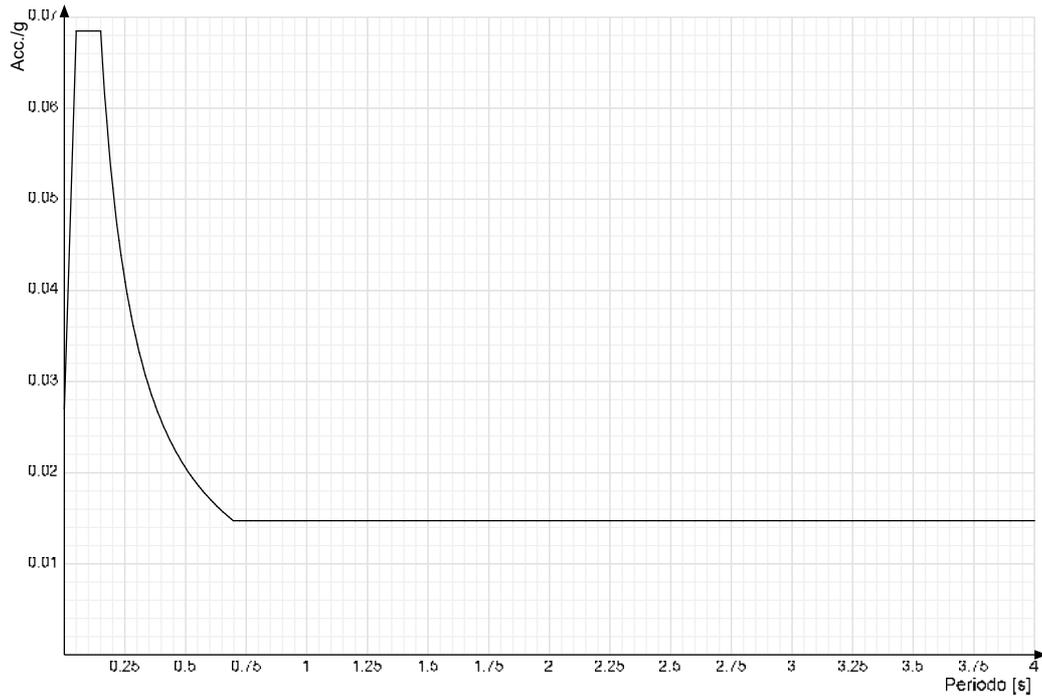
Spettro di risposta di progetto in accelerazione della componente X SLD § 3.2.3.5



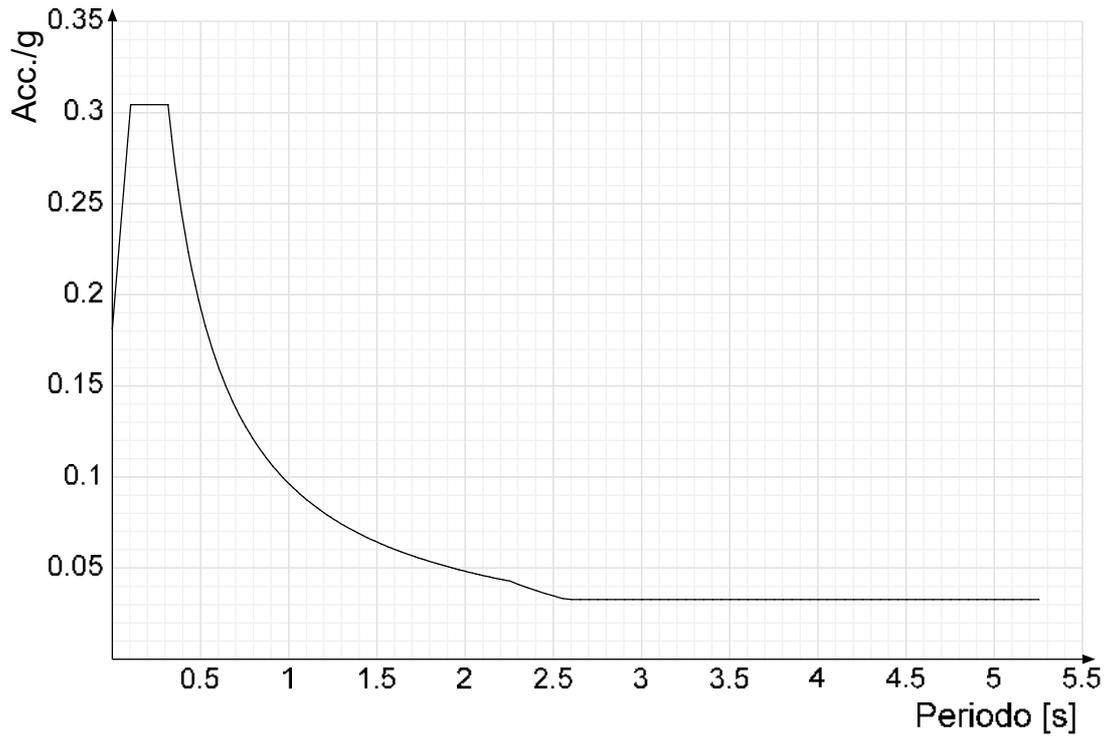
Spettro di risposta di progetto in accelerazione della componente Y SLD § 3.2.3.5



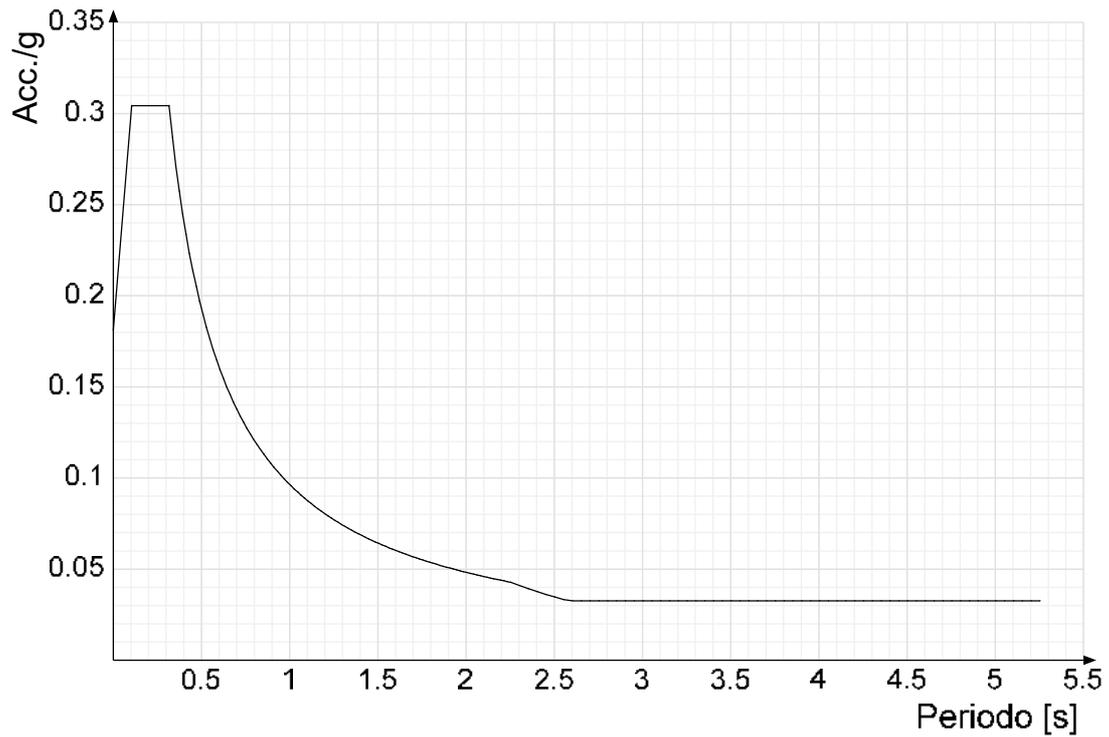
Spettro di risposta di progetto in accelerazione della componente verticale SLD § 3.2.3.5



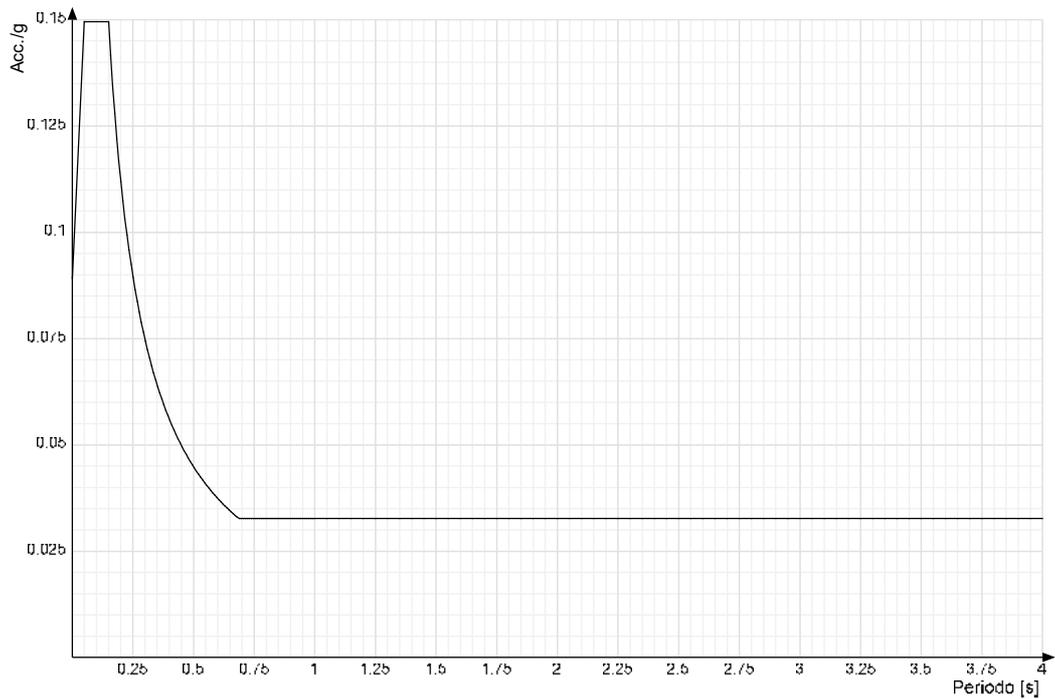
Spettro di risposta di progetto in accelerazione della componente X SLV § 3.2.3.5



Spettro di risposta di progetto in accelerazione della componente Y SLV § 3.2.3.5

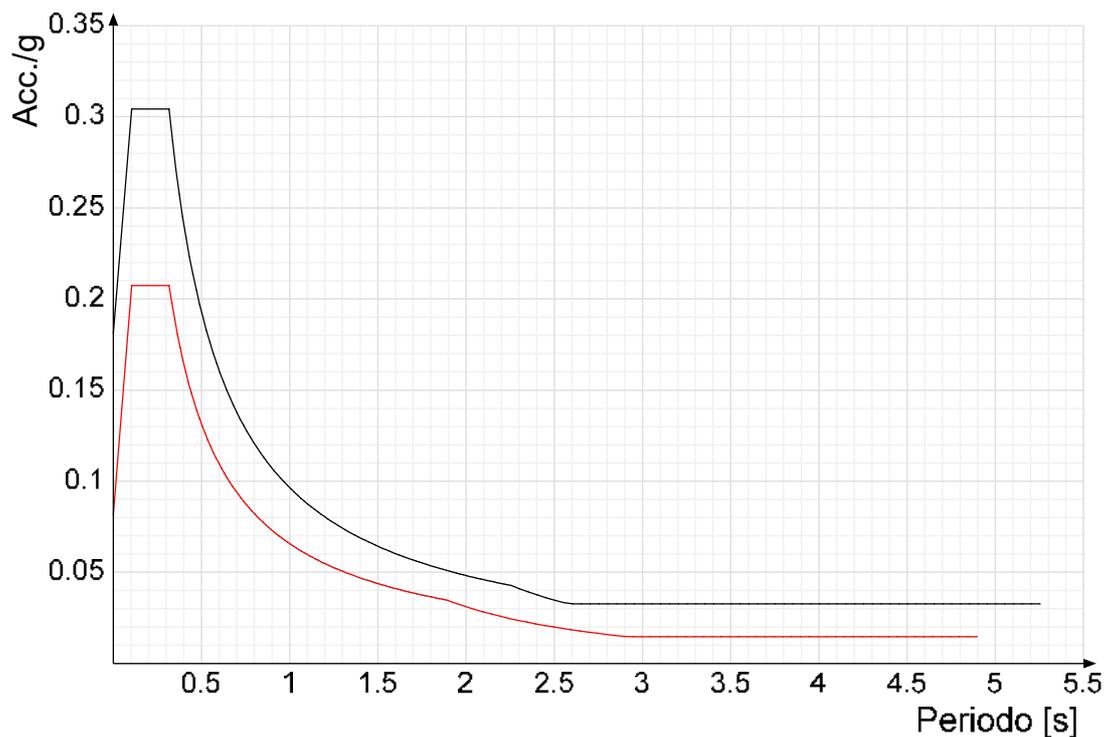


Spettro di risposta di progetto in accelerazione della componente verticale SLV § 3.2.3.5

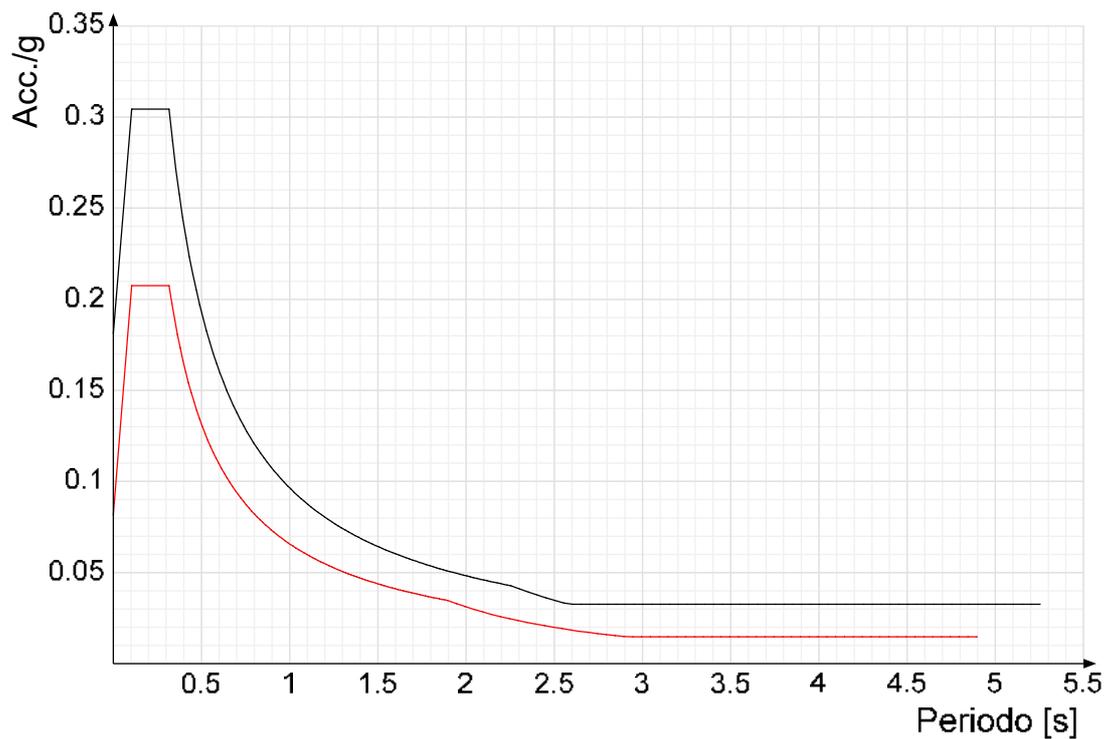


Confronti spettri SLV-SLD

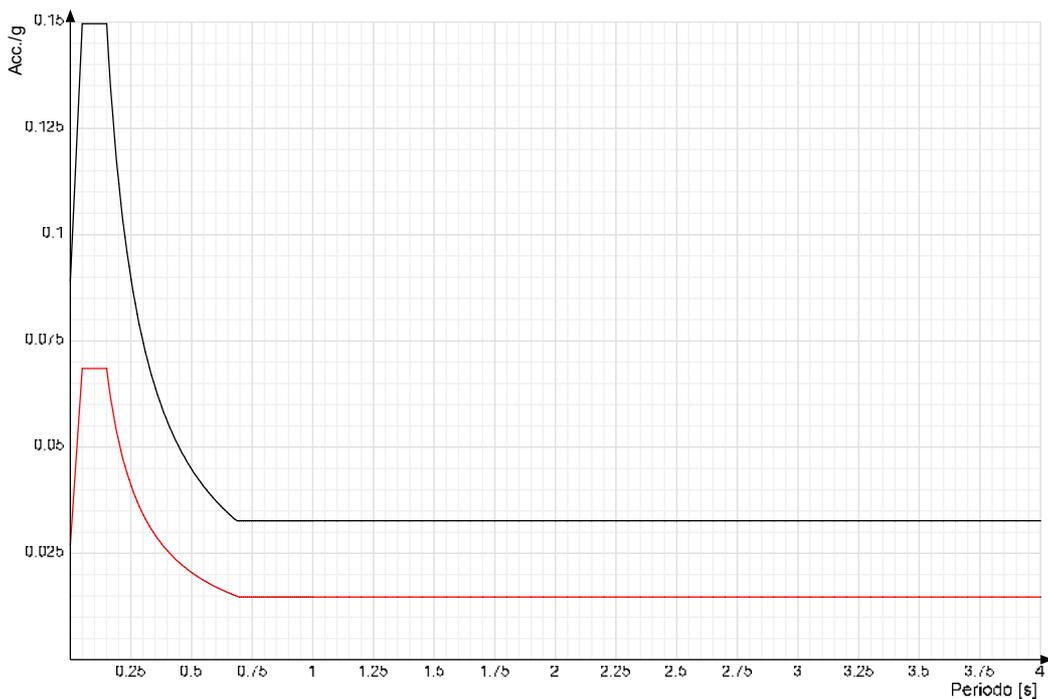
Vengono confrontati lo spettro Spettro di risposta di progetto in accelerazione della componente X SLD § 3.2.3.5 (di colore rosso) e Spettro di risposta di progetto in accelerazione della componente X SLV § 3.2.3.5 (di colore nero).



Vengono confrontati lo spettro Spettro di risposta di progetto in accelerazione della componente Y SLD § 3.2.3.5 (di colore rosso) e Spettro di risposta di progetto in accelerazione della componente Y SLV § 3.2.3.5 (di colore nero).



Vengono confrontati lo spettro Spettro di risposta di progetto in accelerazione della componente verticale SLD § 3.2.3.5 (di colore rosso) e Spettro di risposta di progetto in accelerazione della componente verticale SLV § 3.2.3.5 (di colore nero).



3.1.3 Preferenze di verifica

3.1.3.1 Normativa di verifica in uso

Norma di verifica
Cemento armato
Legno
Acciaio
Alluminio
Pannelli in gessofibra

D.M. 17-01-18 (N.T.C.)
Preferenze analisi di verifica in stato limite
Preferenze di verifica legno D.M. 17-01-18 (N.T.C.)
Preferenze di verifica acciaio D.M. 17-01-18 (N.T.C.)
Preferenze di verifica alluminio EC9
Preferenze di verifica pannelli gessofibra D.M. 17-01-18 (N.T.C.)

3.1.3.2 Normativa di verifica C.A.

Coefficiente di omogeneizzazione
 γ_s (fattore di sicurezza parziale per l'acciaio)
 γ_c (fattore di sicurezza parziale per il calcestruzzo)
Limite σ_c/f_{ck} in combinazione rara
Limite σ_c/f_{ck} in combinazione quasi permanente
Limite σ_s/f_{yk} in combinazione rara
Coefficiente di riduzione della τ per cattiva aderenza
Dimensione limite fessure w_1 §4.1.2.2.4
Dimensione limite fessure w_2 §4.1.2.2.4
Dimensione limite fessure w_3 §4.1.2.2.4
Fattori parziali di sicurezza unitari per meccanismi duttili di strutture esistenti con fattore η
Copriferro secondo EC2

15
1.15
1.5
0.6
0.45
0.8
0.7
0.02 [cm]
0.03 [cm]
0.04 [cm]
No
No

3.1.3.3 Normativa di verifica legno

γ combinazioni fondamentali massiccio
 γ combinazioni fondamentali lamellare
 γ combinazioni fondamentali unioni
 γ combinazioni eccezionali
 γ combinazioni esercizio
Kmod durata istantaneo, classe 1
Kmod durata istantaneo, classe 2
Kmod durata istantaneo, classe 3
Kmod durata breve, classe 1
Kmod durata breve, classe 2
Kmod durata breve, classe 3
Kmod durata media, classe 1
Kmod durata media, classe 2
Kmod durata media, classe 3
Kmod durata lunga, classe 1
Kmod durata lunga, classe 2
Kmod durata lunga, classe 3
Kmod durata permanente, classe 1
Kmod durata permanente, classe 2
Kmod durata permanente, classe 3
Kdef classe 1
Kdef classe 2
Kdef classe 3

1.5
1.45
1.5
1
1
1.1
1.1
0.9
0.9
0.9
0.7
0.8
0.8
0.65
0.7
0.7
0.55
0.6
0.6
0.6
0.5
0.6
0.8
2

3.1.3.4 Normativa di verifica acciaio

γ_{m0}
 γ_{m1}
 γ_{m2}
Coefficiente riduttivo per effetto vettoriale
Calcolo coefficienti C1, C2, C3 per Mcr
Coefficienti α , β per flessione deviata
Verifica semplificata conservativa
 L/ϵ_0 iniziale per profili accoppiati compressi
Metodo semplificato formula (4.2.82)
Escludi 6.2.6.7 e 6.2.6.8 in 7.5.4.3 e 7.5.4.5

1.05
1.05
1.25
0.7
automatico
unitari
si
500
si
si

Interventi di miglioramento della diga di Cepparello nel Comune di Poggibonsi (SI)

ET.09.4 – Tabulati di calcolo_Canali fugatori con fondazioni su pali

Applica Nota 1 del prospetto 6.2	si	
Riduzione fy per tubi tondi di classe 4	no	
Effettua la verifica secondo 6.2.8 con irrigidimenti superiori (piastra di base)	si	
Limite spostamento relativo interpiano e monopiano colonne	0.00333	
Limite spostamento relativo complessivo multipiano colonne	0.002	
Considera taglio resistente estremità sagomati	no	
Fattori parziali di sicurezza unitari per meccanismi duttili di strutture esistenti con fattore q	no	
3.1.4 Preferenze FEM		
Dimensione massima ottimale mesh pareti (default)	80	[cm]
Dimensione massima ottimale mesh piastre (default)	80	[cm]
Tipo di mesh dei gusci (default)	Quadrilateri o triangoli	
Tipo di mesh imposta ai gusci	Specifico dell'elemento	
Metodo P-Delta	non utilizzato	
Analisi buckling	non utilizzata	
Rapporto spessore flessionale/membranale gusci muratura verticali	0.2	
Spessori membranale e flessionale pareti XLAM da sole tavole verticali	No	
Moltiplicatore rigidità connettori pannelli pareti legno a diaframma	1	
Tolleranza di parallelismo	4.99	[deg]
Tolleranza di unicità punti	10	[cm]
Tolleranza generazione nodi di aste	1	[cm]
Tolleranza di parallelismo in suddivisione aste	4.99	[deg]
Tolleranza generazione nodi di gusci	4	[cm]
Tolleranza eccentricità carichi concentrati	100	[cm]
Considera deformabilità a taglio negli elementi guscio	No	
Modello elastico pareti in muratura	Gusci	
Concentra masse pareti nei vertici	No	
Segno risultati analisi spettrale	Analisi statica	
Memoria utilizzabile dal solutore	8000000	
Metodo di risoluzione della matrice	AspenTech MA57	
Scrivi commenti nel file di input	No	
Scrivi file di output in formato testo	No	
Solidi colle e corpi ruvidi (default)	Solidi reali	
Moltiplicatore rigidità molla torsionale applicata ad aste di fondazione	1	
Modello trave su suolo alla Winkler nel caso di modellazione lineare	Deformata cubica	

3.1.5 Moltiplicatori inerziali

Tipologia: tipo di entità a cui si riferiscono i moltiplicatori inerziali.

J2: moltiplicatore inerziale di J2. Il valore è adimensionale.

J3: moltiplicatore inerziale di J3. Il valore è adimensionale.

Jt: moltiplicatore inerziale di Jt. Il valore è adimensionale.

A: moltiplicatore dell'area della sezione. Il valore è adimensionale.

A2: moltiplicatore dell'area a taglio in direzione 2. Il valore è adimensionale.

A3: moltiplicatore dell'area a taglio in direzione 3. Il valore è adimensionale.

Conci rigidi: fattore di riduzione dei tronchi rigidi. Il valore è adimensionale.

Tipologia	J2	J3	Jt	A	A2	A3	Conci rigidi
Trave C.A.	1	1	0.01	1	1	1	1
Pilastro C.A.	1	1	0.01	1	1	1	1
Trave di fondazione	1	1	0.01	1	1	1	1
Palo	1	1	0.01	1	1	1	0
Trave in legno	1	1	1	1	1	1	1
Colonna in legno	1	1	1	1	1	1	1
Trave in acciaio	1	1	1	1	1	1	1
Colonna in acciaio	1	1	1	1	1	1	1
Trave di reticolare in acciaio	1	1	1	1	1	1	1
Maschio in muratura	0	1	0	1	1	1	1
Trave di accoppiamento in muratura	0	1	0	1	1	1	1
Trave di scala C.A. nervata	1	1	1	1	1	1	0.5
Trave tralicciata	1	1	0.01	1	1	1	0.5

3.1.6 Preferenze di analisi non lineare FEM

Metodo iterativo	Secante
Tolleranza iterazione	0.0001
Numero massimo iterazioni	50

3.1.7 Preferenze di analisi carichi superficiali

Detrazione peso proprio soletti nelle zone di sovrapposizione	applicata
Metodo di ripartizione	a zone d'influenza
Percentuale carico calcolato a trave continua	0
Esegui smoothing diagrammi di carico	applicata
Tolleranza smoothing altezza trapezi	0.001 [daN/cm]
Tolleranza smoothing altezza media trapezi	0.001 [daN/cm]

3.1.8 Preferenze del suolo

Fondazioni non modellate e struttura bloccata alla base	no
Fondazioni bloccate orizzontalmente	no
Considera peso sismico delle fondazioni	no
Fondazioni superficiali e profonde su suolo elastoplastico	no
Coefficiente di sottofondo verticale per fondazioni superficiali (default)	10 [daN/cm³]
Rapporto di coefficiente sottofondo orizzontale/verticale	0.5
Pressione verticale limite sul terreno per abbassamento (default)	1 [daN/cm²]
Pressione verticale limite sul terreno per innalzamento (default)	1 [daN/cm²]
Metodo di calcolo della K verticale	Vesic
Metodo di calcolo della portanza e della pressione limite	Terzaghi
Terreno laterale di riporto da piano posa fondazioni (default)	3.Rinfilanco ridotto
Dimensione massima della discretizzazione del palo (default)	200 [cm]
Moltiplicatore coesione per pressione orizzontale limite nei pali	1
Moltiplicatore spinta passiva per pressione orizzontale pali	1
K punta palo (default)	10 [daN/cm³]
Pressione limite punta palo (default)	150 [daN/cm²]
Pressione per verifica schiacciamento fondazioni superficiali	25 [daN/cm²]
Calcola cedimenti fondazioni superficiali	no
Spessore massimo strato	100 [cm]
Profondità massima	3000 [cm]
Cedimento assoluto ammissibile	5 [cm]
Cedimento differenziale ammissibile	5 [cm]
Cedimento relativo ammissibile	5 [cm]

ET.09.4 – Tabulati di calcolo_Canali fagatori con fondazioni su pali

Rapporto di inflessione F/L ammissibile	0.003333	
Rotazione rigida ammissibile	0.191	[deg]
Rotazione assoluta ammissibile	0.191	[deg]
Distorsione positiva ammissibile	0.191	[deg]
Distorsione negativa ammissibile	0.095	[deg]
Considera fondazioni compensate	no	
Coefficiente di riduzione della a Max attesa	0.3	
Condizione per la valutazione della spinta su pareti	Lungo termine	
Considera l'azione sismica del terreno anche su pareti sotto lo zero sismico	si	
Calcola cedimenti teorici pali	si	
Considera accorciamento del palo	si	
Distanza influenza cedimento palo	1000	[cm]
Distribuzione attrito laterale	Attrito laterale uniforme	
Ripartizione del carico	Ripartizione come da modello FEM	
Scelta terreno laterale	Media pesata degli strati coinvolti	
Scelta terreno punta	Media pesata degli strati coinvolti	
Cedimento assoluto ammissibile	5	[cm]
Cedimento medio ammissibile	5	[cm]
Cedimento differenziale ammissibile	5	[cm]
Rotazione rigida ammissibile	0.191	[deg]
Trascura la coesione efficace in verifica allo scorrimento	si	
Considera inclinazione spinta del terreno contro pareti	si	
Esegui verifica a liquefazione	no	
Metodo di verifica liquefazione	Seed-Idriss (1982)	
Coeff. di sicurezza minimo a liquefazione	1.3	
Magnitudo scaling factor per liquefazione	1	

3.1.9 Preferenze progetto muratura

Forza minima aggancio al piano (default)	0	[daN/cm]
Denominatore per momento ortogonale (default)	8	
Minima resistenza trazione travi (default)	30000	[daN]
Angolo cuneo verifica ribaltamento (default)	30	[deg]
Considera d = 0.8 * h nei maschi senza fibre compresse	si	
Verifica pressoflessione deviata	No	
Considera effetto piastra in presenza di irrigidimenti	si	

3.2 Azioni e carichi

3.2.1 Condizioni elementari di carico

Descrizione: nome assegnato alla condizione elementare.
Nome breve: nome breve assegnato alla condizione elementare.
Durata: descrive la durata della condizione (necessario per strutture in legno).
ψ0: coefficiente moltiplicatore ψ0. Il valore è adimensionale.
ψ1: coefficiente moltiplicatore ψ1. Il valore è adimensionale.
ψ2: coefficiente moltiplicatore ψ2. Il valore è adimensionale.
Con segno: descrive se la condizione elementare ha la possibilità di variare di segno.

Descrizione	Nome breve	Durata	ψ0	ψ1	ψ2	Con segno
Pesi strutturali	Pesi	Permanente				
Permanententi portati	Port.	Permanente				
Variabile da traffico	Variabile da traffico	Media	0.4	0.4	0	
Spinta idrostatica	Spinta idrostatica	Media	1	1	0	
Acqua canale	Acqua canale	Media	1	1	0	
ΔT	ΔT	Media	0.6	0.5	0	No
Sisma X SLV	X SLV					
Sisma Y SLV	Y SLV					
Sisma Z SLV	Z SLV					
Eccentricità Y per sisma X SLV	EY SLV					
Eccentricità X per sisma Y SLV	EX SLV					
Sisma X SLD	X SLD					
Sisma Y SLD	Y SLD					
Sisma Z SLD	Z SLD					
Eccentricità Y per sisma X SLD	EY SLD					
Eccentricità X per sisma Y SLD	EX SLD					
Sisma X SLO	X SLO					
Sisma Y SLO	Y SLO					
Sisma Z SLO	Z SLO					
Eccentricità Y per sisma X SLO	EY SLO					
Eccentricità X per sisma Y SLO	EX SLO					
Terreno sisma X SLV	Tr x SLV					
Terreno sisma Y SLV	Tr y SLV					
Terreno sisma Z SLV	Tr z SLV					
Terreno sisma X SLD	Tr x SLD					
Terreno sisma Y SLD	Tr y SLD					
Terreno sisma Z SLD	Tr z SLD					
Terreno sisma X SLO	Tr x SLO					
Terreno sisma Y SLO	Tr y SLO					
Terreno sisma Z SLO	Tr z SLO					
Rig. Ux	R Ux					
Rig. Uy	R Uy					
Rig. Rz	R Rz					

3.2.2 Combinazioni di carico

Nome: E' il nome esteso che contraddistingue la condizione elementare di carico.
Nome breve: E' il nome compatto della condizione elementare di carico, che viene utilizzato altrove nella relazione.
Pesi: Pesi strutturali
Port.: Permanententi portati
Variabile da traffico: Variabile da traffico
Spinta idrostatica: Spinta idrostatica
Acqua canale: Acqua canale
ΔT: ΔT
X SLO: Sisma X SLO
Y SLO: Sisma Y SLO
Z SLO: Sisma Z SLO

Interventi di miglioramento della diga di Cepparello nel Comune di Poggibonsi (SI)

ET.09.4 – Tabulati di calcolo_Canali fuggatori con fondazioni su pali

EY SLO: Eccentricità Y per sisma X SLO

EX SLO: Eccentricità X per sisma Y SLO

Tr x SLO: Terreno sisma X SLO

Tr y SLO: Terreno sisma Y SLO

Tr z SLO: Terreno sisma Z SLO

X SLD: Sisma X SLD

Y SLD: Sisma Y SLD

Z SLD: Sisma Z SLD

EY SLD: Eccentricità Y per sisma X SLD

EX SLD: Eccentricità X per sisma Y SLD

Tr x SLD: Terreno sisma X SLD

Tr y SLD: Terreno sisma Y SLD

Tr z SLD: Terreno sisma Z SLD

X SLV: Sisma X SLV

Y SLV: Sisma Y SLV

Z SLV: Sisma Z SLV

EY SLV: Eccentricità Y per sisma X SLV

EX SLV: Eccentricità X per sisma Y SLV

Tr x SLV: Terreno sisma X SLV

Tr y SLV: Terreno sisma Y SLV

Tr z SLV: Terreno sisma Z SLV

R Ux: Rig. Ux

R Uy: Rig. Uy

R Rz: Rig. Rz

Tutte le combinazioni di carico vengono raggruppate per famiglia di appartenenza. Le celle di una riga contengono i coefficienti moltiplicatori della i-esima combinazione, dove il valore della prima cella è da intendersi come moltiplicatore associato alla prima condizione elementare, la seconda cella si riferisce alla seconda condizione elementare e così via.

Famiglia SLU

Il nome compatto della famiglia è SLU.

Nome	Nome breve	Pesi	Port.	Variabile da traffico	Spinta idrostatica	Acqua canale	ΔT
1	SLU 1	1	0.8	0	0	0	0
2	SLU 2	1	0.8	0	0	1.5	0
3	SLU 3	1	0.8	0	1.5	0	0
4	SLU 4	1	0.8	0.6	1.5	0	0
5	SLU 5	1	0.8	1.5	0	0	0
6	SLU 6	1	0.8	1.5	1.5	0	0
7	SLU 7	1	1.5	0	0	0	0
8	SLU 8	1	1.5	0	0	1.5	0
9	SLU 9	1	1.5	0	1.5	0	0
10	SLU 10	1	1.5	0.6	1.5	0	0
11	SLU 11	1	1.5	1.5	0	0	0
12	SLU 12	1	1.5	1.5	1.5	0	0
13	SLU 13	1.3	0.8	0	0	0	0
14	SLU 14	1.3	0.8	0	0	1.5	0
15	SLU 15	1.3	0.8	0	1.5	0	0
16	SLU 16	1.3	0.8	0.6	1.5	0	0
17	SLU 17	1.3	0.8	1.5	0	0	0
18	SLU 18	1.3	0.8	1.5	1.5	0	0
19	SLU 19	1.3	1.5	0	0	0	0
20	SLU 20	1.3	1.5	0	0	1.5	0
21	SLU 21	1.3	1.5	0	1.5	0	0
22	SLU 22	1.3	1.5	0.6	1.5	0	0
23	SLU 23	1.3	1.5	1.5	0	0	0
24	SLU 24	1.3	1.5	1.5	1.5	0	0

Famiglia SLE rara

Il nome compatto della famiglia è SLE RA.

Nome	Nome breve	Pesi	Port.	Variabile da traffico	Spinta idrostatica	Acqua canale	ΔT
1	SLE RA 1	1	1	0	0	0	0
2	SLE RA 2	1	1	0	0	1	0
3	SLE RA 3	1	1	0	1	0	0
4	SLE RA 4	1	1	0.4	1	0	0
5	SLE RA 5	1	1	1	0	0	0
6	SLE RA 6	1	1	1	1	0	0

Famiglia SLE frequente

Il nome compatto della famiglia è SLE FR.

Nome	Nome breve	Pesi	Port.	Variabile da traffico	Spinta idrostatica	Acqua canale	ΔT
1	SLE FR 1	1	1	0	0	0	0
2	SLE FR 2	1	1	0	0	1	0
3	SLE FR 3	1	1	0	1	0	0
4	SLE FR 4	1	1	0.4	0	0	0

Famiglia SLE quasi permanente

Il nome compatto della famiglia è SLE QP.

Nome	Nome breve	Pesi	Port.	Variabile da traffico	Spinta idrostatica	Acqua canale	ΔT
1	SLE QP 1	1	1	0	0	0	0

Famiglia SLU eccezionale

Il nome compatto della famiglia è SLU EX.

Nome	Nome breve	Pesi	Port.	Variabile da traffico	Spinta idrostatica	Acqua canale	ΔT
1	SLU EX 1	1	1	0	0	0	0

Famiglia SLO

Il nome compatto della famiglia è SLO.

Poiché il numero di condizioni elementari previste per le combinazioni di questa famiglia è cospicuo, la tabella verrà spezzata in più parti.

Nome	Nome breve	Pesi	Port.	Variabile da traffico	Spinta idrostatica	Acqua canale	ΔT	X SLO
1	SLO 1	1	1	0	0	0	0	-1
2	SLO 2	1	1	0	0	0	0	-1
3	SLO 3	1	1	0	0	0	0	-1
4	SLO 4	1	1	0	0	0	0	-1
5	SLO 5	1	1	0	0	0	0	-0.3
6	SLO 6	1	1	0	0	0	0	-0.3
7	SLO 7	1	1	0	0	0	0	-0.3

Interventi di miglioramento della diga di Cepparello nel Comune di Poggibonsi (SI)

ET.09.4 – Tabulati di calcolo_Canali fagatori con fondazioni su pali

Nome	Nome breve	Pesi	Port.	Variabile da traffico	Spinta idrostatica	Acqua canale	ΔT	X SLO
8	SLO 8	1	1	0	0	0	0	-0.3
9	SLO 9	1	1	0	0	0	0	0.3
10	SLO 10	1	1	0	0	0	0	0.3
11	SLO 11	1	1	0	0	0	0	0.3
12	SLO 12	1	1	0	0	0	0	0.3
13	SLO 13	1	1	0	0	0	0	1
14	SLO 14	1	1	0	0	0	0	1
15	SLO 15	1	1	0	0	0	0	1
16	SLO 16	1	1	0	0	0	0	1

Nome	Nome breve	Y SLO	Z SLO	EY SLO	EX SLO	Tr x SLO	Tr y SLO	Tr z SLO
1	SLO 1	-0.3	0	-1	0.3	-1	-0.3	0
2	SLO 2	-0.3	0	1	-0.3	-1	-0.3	0
3	SLO 3	0.3	0	-1	0.3	-1	0.3	0
4	SLO 4	0.3	0	1	-0.3	-1	0.3	0
5	SLO 5	-1	0	-0.3	1	-0.3	-1	0
6	SLO 6	-1	0	0.3	-1	-0.3	-1	0
7	SLO 7	1	0	-0.3	1	-0.3	1	0
8	SLO 8	1	0	0.3	-1	-0.3	1	0
9	SLO 9	-1	0	-0.3	1	0.3	-1	0
10	SLO 10	-1	0	0.3	-1	0.3	-1	0
11	SLO 11	1	0	-0.3	1	0.3	1	0
12	SLO 12	1	0	0.3	-1	0.3	1	0
13	SLO 13	-0.3	0	-1	0.3	1	-0.3	0
14	SLO 14	-0.3	0	1	-0.3	1	-0.3	0
15	SLO 15	0.3	0	-1	0.3	1	0.3	0
16	SLO 16	0.3	0	1	-0.3	1	0.3	0

Famiglia SLD

Il nome compatto della famiglia è SLD.

Poiché il numero di condizioni elementari previste per le combinazioni di questa famiglia è cospicuo, la tabella verrà spezzata in più parti.

Nome	Nome breve	Pesi	Port.	Variabile da traffico	Spinta idrostatica	Acqua canale	ΔT	X SLD
1	SLD 1	1	1	0	0	0	0	-1
2	SLD 2	1	1	0	0	0	0	-1
3	SLD 3	1	1	0	0	0	0	-1
4	SLD 4	1	1	0	0	0	0	-1
5	SLD 5	1	1	0	0	0	0	-0.3
6	SLD 6	1	1	0	0	0	0	-0.3
7	SLD 7	1	1	0	0	0	0	-0.3
8	SLD 8	1	1	0	0	0	0	-0.3
9	SLD 9	1	1	0	0	0	0	0.3
10	SLD 10	1	1	0	0	0	0	0.3
11	SLD 11	1	1	0	0	0	0	0.3
12	SLD 12	1	1	0	0	0	0	0.3
13	SLD 13	1	1	0	0	0	0	1
14	SLD 14	1	1	0	0	0	0	1
15	SLD 15	1	1	0	0	0	0	1
16	SLD 16	1	1	0	0	0	0	1

Nome	Nome breve	Y SLD	Z SLD	EY SLD	EX SLD	Tr x SLD	Tr y SLD	Tr z SLD
1	SLD 1	-0.3	0	-1	0.3	-1	-0.3	0
2	SLD 2	-0.3	0	1	-0.3	-1	-0.3	0
3	SLD 3	0.3	0	-1	0.3	-1	0.3	0
4	SLD 4	0.3	0	1	-0.3	-1	0.3	0
5	SLD 5	-1	0	-0.3	1	-0.3	-1	0
6	SLD 6	-1	0	0.3	-1	-0.3	-1	0
7	SLD 7	1	0	-0.3	1	-0.3	1	0
8	SLD 8	1	0	0.3	-1	-0.3	1	0
9	SLD 9	-1	0	-0.3	1	0.3	-1	0
10	SLD 10	-1	0	0.3	-1	0.3	-1	0
11	SLD 11	1	0	-0.3	1	0.3	1	0
12	SLD 12	1	0	0.3	-1	0.3	1	0
13	SLD 13	-0.3	0	-1	0.3	1	-0.3	0
14	SLD 14	-0.3	0	1	-0.3	1	-0.3	0
15	SLD 15	0.3	0	-1	0.3	1	0.3	0
16	SLD 16	0.3	0	1	-0.3	1	0.3	0

Famiglia SLV

Il nome compatto della famiglia è SLV.

Poiché il numero di condizioni elementari previste per le combinazioni di questa famiglia è cospicuo, la tabella verrà spezzata in più parti.

Nome	Nome breve	Pesi	Port.	Variabile da traffico	Spinta idrostatica	Acqua canale	ΔT	X SLV
1	SLV 1	1	1	0	0	0	0	-1
2	SLV 2	1	1	0	0	0	0	-1
3	SLV 3	1	1	0	0	0	0	-1
4	SLV 4	1	1	0	0	0	0	-1
5	SLV 5	1	1	0	0	0	0	-0.3
6	SLV 6	1	1	0	0	0	0	-0.3
7	SLV 7	1	1	0	0	0	0	-0.3
8	SLV 8	1	1	0	0	0	0	-0.3
9	SLV 9	1	1	0	0	0	0	0.3
10	SLV 10	1	1	0	0	0	0	0.3
11	SLV 11	1	1	0	0	0	0	0.3
12	SLV 12	1	1	0	0	0	0	0.3
13	SLV 13	1	1	0	0	0	0	1
14	SLV 14	1	1	0	0	0	0	1
15	SLV 15	1	1	0	0	0	0	1
16	SLV 16	1	1	0	0	0	0	1

Nome	Nome breve	Y SLV	Z SLV	EY SLV	EX SLV	Tr x SLV	Tr y SLV	Tr z SLV
1	SLV 1	-0.3	0	-1	0.3	-1	-0.3	0
2	SLV 2	-0.3	0	1	-0.3	-1	-0.3	0
3	SLV 3	0.3	0	-1	0.3	-1	0.3	0
4	SLV 4	0.3	0	1	-0.3	-1	0.3	0
5	SLV 5	-1	0	-0.3	1	-0.3	-1	0

ET.09.4 – Tabulati di calcolo_Canali fagatori con fondazioni su pali

Nome	Nome breve	Y SLV	Z SLV	EY SLV	EX SLV	Tr x SLV	Tr y SLV	Tr z SLV
6	SLV 6	-1	0	0.3	-1	-0.3	-1	0
7	SLV 7	1	0	-0.3	1	-0.3	1	0
8	SLV 8	1	0	0.3	-1	-0.3	1	0
9	SLV 9	-1	0	-0.3	1	0.3	-1	0
10	SLV 10	-1	0	0.3	-1	0.3	-1	0
11	SLV 11	1	0	-0.3	1	0.3	1	0
12	SLV 12	1	0	0.3	-1	0.3	1	0
13	SLV 13	-0.3	0	-1	0.3	1	-0.3	0
14	SLV 14	-0.3	0	1	-0.3	1	-0.3	0
15	SLV 15	0.3	0	-1	0.3	1	0.3	0
16	SLV 16	0.3	0	1	-0.3	1	0.3	0

Famiglia SLV fondazioni

Il nome compatto della famiglia è SLV FO.

Poiché il numero di condizioni elementari previste per le combinazioni di questa famiglia è cospicuo, la tabella verrà spezzata in più parti.

Nome	Nome breve	Pesi	Port.	Variabile da traffico	Spinta idrostatica	Acqua canale	ΔT	X SLV
1	SLV FO 1	1	1	0	0	0	0	-1.1
2	SLV FO 2	1	1	0	0	0	0	-1.1
3	SLV FO 3	1	1	0	0	0	0	-1.1
4	SLV FO 4	1	1	0	0	0	0	-1.1
5	SLV FO 5	1	1	0	0	0	0	-0.33
6	SLV FO 6	1	1	0	0	0	0	-0.33
7	SLV FO 7	1	1	0	0	0	0	-0.33
8	SLV FO 8	1	1	0	0	0	0	-0.33
9	SLV FO 9	1	1	0	0	0	0	0.33
10	SLV FO 10	1	1	0	0	0	0	0.33
11	SLV FO 11	1	1	0	0	0	0	0.33
12	SLV FO 12	1	1	0	0	0	0	0.33
13	SLV FO 13	1	1	0	0	0	0	1.1
14	SLV FO 14	1	1	0	0	0	0	1.1
15	SLV FO 15	1	1	0	0	0	0	1.1
16	SLV FO 16	1	1	0	0	0	0	1.1

Nome	Nome breve	Y SLV	Z SLV	EY SLV	EX SLV	Tr x SLV	Tr y SLV	Tr z SLV
1	SLV FO 1	-0.33	0	-1.1	0.33	-1.1	-0.33	0
2	SLV FO 2	-0.33	0	1.1	-0.33	-1.1	-0.33	0
3	SLV FO 3	0.33	0	-1.1	0.33	-1.1	0.33	0
4	SLV FO 4	0.33	0	1.1	-0.33	-1.1	0.33	0
5	SLV FO 5	-1.1	0	-0.33	1.1	-0.33	-1.1	0
6	SLV FO 6	-1.1	0	0.33	-1.1	-0.33	-1.1	0
7	SLV FO 7	1.1	0	-0.33	1.1	-0.33	1.1	0
8	SLV FO 8	1.1	0	0.33	-1.1	-0.33	1.1	0
9	SLV FO 9	-1.1	0	-0.33	1.1	0.33	-1.1	0
10	SLV FO 10	-1.1	0	0.33	-1.1	0.33	-1.1	0
11	SLV FO 11	1.1	0	-0.33	1.1	0.33	1.1	0
12	SLV FO 12	1.1	0	0.33	-1.1	0.33	1.1	0
13	SLV FO 13	-0.33	0	-1.1	0.33	1.1	-0.33	0
14	SLV FO 14	-0.33	0	1.1	-0.33	1.1	-0.33	0
15	SLV FO 15	0.33	0	-1.1	0.33	1.1	0.33	0
16	SLV FO 16	0.33	0	1.1	-0.33	1.1	0.33	0

Famiglia Calcolo rigidezza torsionale/flessionale di piano

Il nome compatto della famiglia è CRTFP.

Nome	Nome breve	R Ux	R Uy	R Rz
Rig. Ux+	CRTFP Ux+	1	0	0
Rig. Ux-	CRTFP Ux-	-1	0	0
Rig. Uy+	CRTFP Uy+	0	1	0
Rig. Uy-	CRTFP Uy-	0	-1	0
Rig. Rz+	CRTFP Rz+	0	0	1
Rig. Rz-	CRTFP Rz-	0	0	-1

3.2.3 Definizioni di carichi superficiali

Nome: nome identificativo della definizione di carico.**Valori:** valori associati alle condizioni di carico.**Condizione:** condizione di carico a cui sono associati i valori.**Descrizione:** nome assegnato alla condizione elementare.**Valore:** modulo del carico superficiale applicato alla superficie. [daN/cm²]**Applicazione:** modalità con cui il carico è applicato alla superficie.

Nome	Valori		
	Condizione	Valore	Applicazione
Carico di esercizio su terreno	Descrizione		
	Pesi strutturali	0	Verticale
	Permanententi portati	0	Verticale
	Variabile da traffico	0.2	Verticale
	Spinta idrostatica	0	Verticale
Spinta idrostatica fino a quota +100 o acqua nel canale di valle sx	Acqua canale	0	Verticale
	Pesi strutturali	0	Verticale
	Permanententi portati	0	Verticale
	Variabile da traffico	0	Verticale
	Spinta idrostatica	-0.16	Verticale
Spinta idrostatica fino a quota +100 o acqua nel canale intermedio	Acqua canale	0.43	Verticale
	Pesi strutturali	0	Verticale
	Permanententi portati	0	Verticale
	Variabile da traffico	0	Verticale
	Spinta idrostatica	-0.16	Verticale
Spinta idrostatica fino a quota +100 o acqua nel canale di valle dx	Acqua canale	0.37	Verticale
	Pesi strutturali	0	Verticale
	Permanententi portati	0	Verticale
	Variabile da traffico	0	Verticale

ET.09.4 – Tabulati di calcolo_Canali fuggatori con fondazioni su pali

Nome	Valori		
	Condizione	Valore	Applicazione
	Spinta idrostatica	-0.16	Verticale
	Acqua canale	0.5	Verticale
Spinta idrostatica fino a quota +100 o acqua nel canale di monte	Pesi strutturali	0	Verticale
	Permanenti portati	0	Verticale
	Variabile da traffico	0	Verticale
	Spinta idrostatica	-0.16	Verticale
	Acqua canale	0.33	Verticale

3.2.4 Definizioni di carichi potenziali

Nome: nome identificativo della definizione di carico.

Valori: valori associati alle condizioni di carico.

Condizione: condizione di carico a cui sono associati i valori.

Descrizione: nome assegnato alla condizione elementare.

Valore i.: valore del carico pressorio alla quota iniziale. [daN/cm²]

Quota i.: quota assoluta in cui il carico pressorio assume il valore iniziale. [cm]

Valore f.: valore del carico pressorio alla quota finale. [daN/cm²]

Quota f.: quota assoluta in cui il carico pressorio assume il valore finale. [cm]

Nome	Condizione	Valori			
		Valore i.	Quota i.	Valore f.	Quota f.
Canale di valle sx pieno	Pesi strutturali	0	430	0	0
	Permanenti portati	0	430	0	0
	Variabile da traffico	0	430	0	0
	Spinta idrostatica	0	430	0	0
Canale intermedio pieno	Acqua canale	0	430	0.43	0
	Pesi strutturali	0	370	0	0
	Permanenti portati	0	370	0	0
	Variabile da traffico	0	370	0	0
Canale di valle dx pieno	Spinta idrostatica	0	370	0	0
	Acqua canale	0	370	0.37	0
	Pesi strutturali	0	500	0	0
	Permanenti portati	0	500	0	0
Canale di monte pieno	Variabile da traffico	0	500	0	0
	Spinta idrostatica	0	500	0	0
	Acqua canale	0	500	0.5	0
	Pesi strutturali	0	330	0	0
	Permanenti portati	0	330	0	0
	Variabile da traffico	0	330	0	0
	Spinta idrostatica	0	330	0	0
	Acqua canale	0	330	0.33	0

3.3 Quote**3.3.1 Livelli**

Descrizione breve: nome sintetico assegnato al livello.

Descrizione: nome assegnato al livello.

Quota: quota superiore espressa nel sistema di riferimento assoluto. [cm]

Spessore: spessore del livello. [cm]

Descrizione breve	Descrizione	Quota	Spessore
L1	Fondazione	0	60
L2	Quota terreno lato diga	100	0
L3	Testa muro di monte	330	0
L4	Testa muro intermedio	370	0
L5	Testa muro di valle sx	430	0
L6	Testa muro di valle dx	500	0

3.3.2 Tronchi

Descrizione breve: nome sintetico assegnato al tronco.

Descrizione: nome assegnato al tronco.

Quota 1: riferimento della prima quota di definizione del tronco. esprimibile come livello, falda, piano orizzontale alla Z specificata. [cm]

Quota 2: riferimento della seconda quota di definizione del tronco. esprimibile come livello, falda, piano orizzontale alla Z specificata. [cm]

Descrizione breve	Descrizione	Quota 1	Quota 2
T1	Fondazione - Testa muro di valle sx	Fondazione	Testa muro di valle sx
T2	Fondazione - Testa muro intermedio	Fondazione	Testa muro intermedio
T3	Fondazione - Testa muro di valle dx	Fondazione	Testa muro di valle dx
T4	Fondazione - Testa muro di monte	Fondazione	Testa muro di monte

3.4 Elementi di input**3.4.1 Fili fissi****3.4.1.1 Fili fissi di piano**

Livello: quota di inserimento espressa con notazione breve esprimibile come livello, falda, piano orizzontale alla Z specificata. [cm]

Punto: punto di inserimento.

X: coordinata X. [cm]

Y: coordinata Y. [cm]

Estradosso: distanza dalla quota di inserimento misurata in direzione ortogonale al piano della quota e con verso positivo verso l'alto. [cm]

Angolo: angolo misurato dal semiasse positivo delle ascisse in verso antiorario. [deg]

Tipo: tipo di simbolo.

T.c.: testo completo visualizzato accanto al filo fisso, costituito dalla concatenazione del prefisso e del testo.

sistema globale.

Sovr.: aliquota di sovrarresistenza da assicurare in verifica.**S.Z.:** indica se l'elemento deve essere verificato considerando il sisma verticale.**C.i.:** svincolo o cerniera da applicare al relativo estremo dell'asta nel modello.**C.f.:** svincolo o cerniera da applicare al relativo estremo dell'asta nel modello.**P.lin.:** peso per unità di lunghezza. [daN/cm]

Sezione	P.i.	Liv.	Punto i.		Punto f.		Estr.	Mat.	Car.lin.	Sovr.	S.Z.	C.i.	C.f.	P.lin.
			X	Y	X	Y								
60x60_5	CA	L3	-30	350.1	-30	590.1	-60	C32/40	Nessuno; G	0	No	Svincolo: M2, M3	Svincolo: M2, M3	9
60x60_5	CA	L3	-30	590.1	-30	830.1	-60	C32/40	Nessuno; G	0	No	Svincolo: M2, M3	Svincolo: M2, M3	9
60x60_5	CA	L3	-30	830.1	-30	1070.1	-60	C32/40	Nessuno; G	0	No	Svincolo: M2, M3	Svincolo: M2, M3	9
60x60_5	CA	L3	-30	1070.1	-30	1310.1	-60	C32/40	Nessuno; G	0	No	Svincolo: M2, M3	Svincolo: M2, M3	9
60x60_5	CA	L3	-30	1310.1	-30	1550.1	-60	C32/40	Nessuno; G	0	No	Svincolo: M2, M3	Svincolo: M2, M3	9
60x60_5	CA	L3	3766.9	350.1	3766.9	590.1	-60	C32/40	Nessuno; G	0	No	Svincolo: M2, M3	Svincolo: M2, M3	9
60x60_5	CA	L3	3766.9	590.1	3766.9	830.1	-60	C32/40	Nessuno; G	0	No	Svincolo: M2, M3	Svincolo: M2, M3	9
60x60_5	CA	L3	3766.9	830.1	3766.9	1070.1	-60	C32/40	Nessuno; G	0	No	Svincolo: M2, M3	Svincolo: M2, M3	9
60x60_5	CA	L3	3766.9	1070.1	3766.9	1310.1	-60	C32/40	Nessuno; G	0	No	Svincolo: M2, M3	Svincolo: M2, M3	9
60x60_5	CA	L3	3766.9	1310.1	3766.9	1550.1	-60	C32/40	Nessuno; G	0	No	Svincolo: M2, M3	Svincolo: M2, M3	9

3.4.3 Piastre C.A.**3.4.3.1 Piastre C.A. di piano****Livello:** quota di inserimento espressa con notazione breve esprimibile come livello, falda, piano orizzontale alla Z specificata. [cm]**Sp.:** spessore misurato in direzione ortogonale al piano medio dell'elemento. [cm]**Punti:** punti di definizione in pianta.**I.:** indice del punto corrente nell'insieme dei punti di definizione dell'elemento.**X:** coordinata X. [cm]**Y:** coordinata Y. [cm]**Estr.:** distanza dalla quota di inserimento misurata in direzione ortogonale al piano della quota e con verso positivo verso l'alto. [cm]**Mat.:** riferimento ad una definizione di calcestruzzo.**Car.sup.:** riferimento alla definizione di un carico superficiale. Accetta anche il valore "Nessuno".**Car.pot.:** riferimento alla definizione di un carico potenziale. Accetta anche il valore "Nessuno".**DeltaT:** riferimento alla definizione di una variazione termica. Accetta anche il valore "Nessuno".**Sovr.:** aliquota di sovrarresistenza da assicurare in verifica.**S.Z.:** indica se l'elemento deve essere verificato considerando il sisma verticale.**P.sup.:** peso per unità di superficie. [daN/cm²]**Fond.:** riferimento alla fondazione sottostante l'elemento.**Fori:** riferimenti a tutti gli elementi che forano la piastra.

Livello	Sp.	I.	Punti		Estr.	Mat.	Car.sup.	Car.pot.	DeltaT	Sovr.	S.Z.	P.sup.	Fond.	Fori
			X	Y										
L1	60	1	-60	300.1	0	C32/40	Spinta idrostatica fino a quota +100 o acqua nel canale di monte			0	No	0.15		
		2	1055	300.1										
		3	1055	1600.1										
		4	-60	1600.1										
L1	60	1	110	1650.1	0	C32/40	Spinta idrostatica fino a quota +100 o acqua nel canale intermedio			0	No	0.15		
		2	890	1650.1										
		3	890	2200.1										
		4	110	2200.1										
L1	60	1	3036.9	1650.1	0	C32/40	Spinta idrostatica fino a quota +100 o acqua nel canale intermedio			0	No	0.15		
		2	3666.9	1650.1										
		3	3666.9	2200.1										
		4	3036.9	2200.1										
L1	60	1	3796.9	1600.1	0	C32/40	Spinta idrostatica fino a quota +100 o acqua nel canale di monte			0	No	0.15		
		2	2906.9	1600.1										
		3	2906.9	300.1										
		4	3796.9	300.1										

Interventi di miglioramento della diga di Cepparello nel Comune di Poggibonsi (SI)

ET.09.4 – Tabulati di calcolo_Canali fagatori con fondazioni su pali

Livello	Sp.	Punti			Estr.	Mat.	Car.sup.	Car.pot.	DeltaT	Sovr.	S.Z	P.sup.	Fond.	Fori
		I.	X	Y										
L1	60	1	110	2300.1	0	C32/40	Spinta idrostatica fino a quota +100 o acqua nel canale di valle sx			0	No	0.15		
		2	890	2300.1										
		3	890	2800.1										
		4	110	2800.1										
L1	60	1	3036.9	2300.1	0	C32/40	Spinta idrostatica fino a quota +100 o acqua nel canale di valle dx			0	No	0.15		
		2	3666.9	2300.1										
		3	3666.9	2800.1										
		4	3036.9	2800.1										

3.4.4 Pareti C.A.

Tr.: riferimento al tronco indicante la quota inferiore e superiore.

Sp.: spessore misurato in direzione ortogonale al piano medio dell'elemento. [cm]

P.i.: posizione del punto di inserimento rispetto ad una sezione verticale, vista dal punto iniziale verso il punto finale.

Punto i.: punto iniziale in pianta.

X: coordinata X. [cm]

Y: coordinata Y. [cm]

Punto f.: punto finale in pianta.

X: coordinata X. [cm]

Y: coordinata Y. [cm]

Mat.: riferimento ad una definizione di calcestruzzo.

Car.pot.: riferimento alla definizione di un carico potenziale. Accetta anche il valore "Nessuno".

DeltaT: riferimento alla definizione di una variazione termica. Accetta anche il valore "Nessuno".

Sovr.: aliquota di sovrarresistenza da assicurare in verifica.

S.Z: indica se l'elemento deve essere verificato considerando il sisma verticale.

Aperture: Riferimenti a tutti gli elementi che forano la parete.

Tr.	Sp.	P.i.	Punto i.		Punto f.		Mat.	Car.pot.	DeltaT	Sovr.	S.Z	Aperture
			X	Y	X	Y						
T4	60	Destra	-60	1600.1	-60	300.1	C32/40	Canale di monte pieno		0	No	
T4	50	Destra	1055	300.1	1055	1600.1	C32/40	Canale di monte pieno		0	No	
T1	50	Destra	110	2800.1	110	2300.1	C32/40	Canale di valle sx pieno		0	No	
T2	50	Destra	890	1650.1	890	2200.1	C32/40	Canale intermedio pieno		0	No	
T3	50	Destra	3036.9	2800.1	3036.9	2300.1	C32/40	Canale di valle dx pieno		0	No	
T2	50	Destra	3666.9	1650.1	3666.9	2200.1	C32/40	Canale intermedio pieno		0	No	
T4	60	Destra	3796.9	300.1	3796.9	1600.1	C32/40	Canale di monte pieno		0	No	
T4	50	Destra	2906.9	1600.1	2906.9	300.1	C32/40	Canale di monte pieno		0	No	
T2	50	Destra	110	2200.1	110	1650.1	C32/40	Canale intermedio pieno		0	No	
T1	50	Destra	890	2300.1	890	2800.1	C32/40	Canale di valle sx pieno		0	No	
T2	50	Destra	3036.9	2200.1	3036.9	1650.1	C32/40	Canale intermedio pieno		0	No	
T3	50	Destra	3666.9	2300.1	3666.9	2800.1	C32/40	Canale di valle dx pieno		0	No	

3.4.5 Fondazioni profonde

Descrizione breve: descrizione breve usata nelle tabelle dei capitoli dei pali e plinti su pali.

Stratigrafia: stratigrafia del terreno nel punto medio in pianta dell'elemento.

Sondaggio: è possibile indicare esplicitamente un sondaggio definito nelle preferenze oppure richiedere di estrapolare il sondaggio dalla definizione del sito espressa nelle preferenze.

Estradosso: distanza dalla quota superiore del sondaggio misurata in verticale con verso positivo verso l'alto. [cm]

Deformazione volumetrica: valore della deformazione volumetrica impiegato nel calcolo della pressione limite a rottura con la formula di Vesic. Il valore è adimensionale. Accetta anche il valore di default espresso nelle preferenze.

K punta: coefficiente di sottofondo verticale del terreno in punta palo. [daN/cm³]

Pressione limite punta: valore limite di pressione del terreno in punta palo. [daN/cm²]

Descrizione breve	Stratigrafia		Deformazione volumetrica	K punta	Pressione limite punta
	Sondaggio	Estradosso			
FPP1	Sondaggio fila 4 (lato diga)	0	Default (0.099)	Default (10)	Default (150)

3.4.6 Pali**3.4.6.1 Pali di piano****Palo:** riferimento ad una definizione di palo.**Liv.:** quota di inserimento espressa con notazione breve esprimibile come livello, falda, piano orizzontale alla Z specificata. [cm]**Punto:** punto di inserimento.**X:** coordinata X. [cm]**Y:** coordinata Y. [cm]**Estr.:** distanza dalla quota di inserimento misurata in direzione ortogonale al piano della quota e con verso positivo verso l'alto. [cm]**Lungh.:** lunghezza del palo. [cm]**Coll. testa:** tipo di collegamento fra la testa del palo e l'eventuale sovrastruttura.**Capacità portante palo:** capacità portante ultima palo singolo, somma di quella laterale e quella alla punta; ciascuna delle due capacità può essere calcolata in automatico con formule statiche oppure può esserne specificato direttamente il valore numerico.**Fond.:** riferimento alla fondazione sottostante l'elemento.

Palo	Liv.	Punto		Estr.	Lungh.	Coll. testa	Capacità portante palo	Fond.
		X	Y					
Micropalo D139.7x10 perf 220	L1	1030	350.1	0	900	Cerniera	117629 = Default (60609) + Default (57020); 117629 = Default (60609) + Default (57020)	FPP1
Micropalo D139.7x10 perf 220	L1	3448.9	2450.1	0	750	Cerniera	116949 = Default (59929) + Default (57020); 116949 = Default (59929) + Default (57020)	FPP1
Micropalo D139.7x10 perf 220	L1	3254.9	2450.1	0	750	Cerniera	116949 = Default (59929) + Default (57020); 116949 = Default (59929) + Default (57020)	FPP1
Micropalo D139.7x10 perf 220	L1	3061.9	2450.1	0	750	Cerniera	116949 = Default (59929) + Default (57020); 116949 = Default (59929) + Default (57020)	FPP1
Micropalo D139.7x10 perf 220	L1	3641.9	2450.1	0	750	Cerniera	116949 = Default (59929) + Default (57020); 116949 = Default (59929) + Default (57020)	FPP1
Micropalo D139.7x10 perf 220	L1	3641.9	2550.1	0	750	Cerniera	116949 = Default (59929) + Default (57020); 116949 = Default (59929) + Default (57020)	FPP1
Micropalo D139.7x10 perf 220	L1	3061.9	2550.1	0	750	Cerniera	116949 = Default (59929) + Default (57020); 116949 = Default (59929) + Default (57020)	FPP1
Micropalo D139.7x10 perf 220	L1	3254.9	2350.1	0	750	Cerniera	116949 = Default (59929) + Default (57020); 116949 = Default (59929) + Default (57020)	FPP1
Micropalo D139.7x10 perf 220	L1	3641.9	2650.1	0	750	Cerniera	116949 = Default (59929) + Default (57020); 116949 = Default (59929) + Default (57020)	FPP1
Micropalo D139.7x10 perf 220	L1	3641.9	2750.1	0	750	Cerniera	116949 = Default (59929) + Default (57020); 116949 = Default (59929) + Default (57020)	FPP1
Micropalo D139.7x10 perf 220	L1	3061.9	2750.1	0	750	Cerniera	116949 = Default (59929) + Default (57020); 116949 = Default (59929) + Default (57020)	FPP1
Micropalo D139.7x10 perf 220	L1	3448.9	2550.1	0	750	Cerniera	116949 = Default (59929) + Default (57020); 116949 = Default (59929) + Default (57020)	FPP1
Micropalo D139.7x10 perf 220	L1	3254.9	2550.1	0	750	Cerniera	116949 = Default (59929) + Default (57020); 116949 = Default (59929) + Default (57020)	FPP1
Micropalo D139.7x10 perf 220	L1	3448.9	2650.1	0	750	Cerniera	116949 = Default (59929) + Default (57020); 116949 = Default (59929) + Default (57020)	FPP1
Micropalo D139.7x10 perf 220	L1	3254.9	2650.1	0	750	Cerniera	116949 = Default (59929) + Default (57020); 116949 = Default (59929) + Default (57020)	FPP1
Micropalo D139.7x10 perf 220	L1	3061.9	2650.1	0	750	Cerniera	116949 = Default (59929) + Default (57020); 116949 = Default (59929) + Default (57020)	FPP1

Interventi di miglioramento della diga di Cepparello nel Comune di Poggibonsi (SI)

ET.09.4 – Tabulati di calcolo_Canali fuggatori con fondazioni su pali

Palo	Liv.	Punto		Estr.	Lungh.	Coll. testa	Capacità portante palo	Fond.
		X	Y					
Micropalo D139.7x10 perf 220	L1	3448.9	2750.1	0	750	Cerniera	116949 = Default (59929) + Default (57020); 116949 = Default (59929) + Default (57020)	FPP1
Micropalo D139.7x10 perf 220	L1	3448.9	2350.1	0	750	Cerniera	116949 = Default (59929) + Default (57020); 116949 = Default (59929) + Default (57020)	FPP1
Micropalo D139.7x10 perf 220	L1	3641.9	2350.1	0	750	Cerniera	116949 = Default (59929) + Default (57020); 116949 = Default (59929) + Default (57020)	FPP1
Micropalo D139.7x10 perf 220	L1	3448.9	1700.1	0	750	Cerniera	116949 = Default (59929) + Default (57020); 116949 = Default (59929) + Default (57020)	FPP1
Micropalo D139.7x10 perf 220	L1	3254.9	1700.1	0	750	Cerniera	116949 = Default (59929) + Default (57020); 116949 = Default (59929) + Default (57020)	FPP1
Micropalo D139.7x10 perf 220	L1	3641.9	1850.1	0	750	Cerniera	116949 = Default (59929) + Default (57020); 116949 = Default (59929) + Default (57020)	FPP1
Micropalo D139.7x10 perf 220	L1	3061.9	1850.1	0	750	Cerniera	116949 = Default (59929) + Default (57020); 116949 = Default (59929) + Default (57020)	FPP1
Micropalo D139.7x10 perf 220	L1	3448.9	1850.1	0	750	Cerniera	116949 = Default (59929) + Default (57020); 116949 = Default (59929) + Default (57020)	FPP1
Micropalo D139.7x10 perf 220	L1	3254.9	1850.1	0	750	Cerniera	116949 = Default (59929) + Default (57020); 116949 = Default (59929) + Default (57020)	FPP1
Micropalo D139.7x10 perf 220	L1	3061.9	2350.1	0	750	Cerniera	116949 = Default (59929) + Default (57020); 116949 = Default (59929) + Default (57020)	FPP1
Micropalo D139.7x10 perf 220	L1	3641.9	2000.1	0	750	Cerniera	116949 = Default (59929) + Default (57020); 116949 = Default (59929) + Default (57020)	FPP1
Micropalo D139.7x10 perf 220	L1	3448.9	2000.1	0	750	Cerniera	116949 = Default (59929) + Default (57020); 116949 = Default (59929) + Default (57020)	FPP1
Micropalo D139.7x10 perf 220	L1	3254.9	2000.1	0	750	Cerniera	116949 = Default (59929) + Default (57020); 116949 = Default (59929) + Default (57020)	FPP1
Micropalo D139.7x10 perf 220	L1	3641.9	2150.1	0	750	Cerniera	116949 = Default (59929) + Default (57020); 116949 = Default (59929) + Default (57020)	FPP1
Micropalo D139.7x10 perf 220	L1	3061.9	2150.1	0	750	Cerniera	116949 = Default (59929) + Default (57020); 116949 = Default (59929) + Default (57020)	FPP1
Micropalo D139.7x10 perf 220	L1	3448.9	2150.1	0	750	Cerniera	116949 = Default (59929) + Default (57020); 116949 = Default (59929) + Default (57020)	FPP1
Micropalo D139.7x10 perf 220	L1	3254.9	2150.1	0	750	Cerniera	116949 = Default (59929) + Default (57020); 116949 = Default (59929) + Default (57020)	FPP1
Micropalo D139.7x10 perf 220	L1	3061.9	2000.1	0	750	Cerniera	116949 = Default (59929) + Default (57020); 116949 = Default (59929) + Default (57020)	FPP1
Micropalo D139.7x10 perf 220	L1	3061.9	1700.1	0	750	Cerniera	116949 = Default (59929) + Default (57020); 116949 = Default (59929) + Default (57020)	FPP1
Micropalo D139.7x10 perf 220	L1	3254.9	2750.1	0	750	Cerniera	116949 = Default (59929) + Default (57020); 116949 = Default (59929) + Default (57020)	FPP1

Interventi di miglioramento della diga di Cepparello nel Comune di Poggibonsi (SI)

ET.09.4 – Tabulati di calcolo_Canali fugadori con fondazioni su pali

Palo	Liv.	Punto		Estr.	Lungh.	Coll. testa	Capacità portante palo	Fond.
		X	Y					
Micropalo D139.7x10 perf 220	L1	3766.9	350.1	0	600	Cerniera	117147 = Default (60128) + Default (57020); 117147 = Default (60128) + Default (57020)	FPP1
Micropalo D139.7x10 perf 220	L1	3209.9	1100.1	0	750	Cerniera	116949 = Default (59929) + Default (57020); 116949 = Default (59929) + Default (57020)	FPP1
Micropalo D139.7x10 perf 220	L1	3488.9	1100.1	0	750	Cerniera	116949 = Default (59929) + Default (57020); 116949 = Default (59929) + Default (57020)	FPP1
Micropalo D139.7x10 perf 220	L1	3766.9	1100.1	0	600	Cerniera	117147 = Default (60128) + Default (57020); 117147 = Default (60128) + Default (57020)	FPP1
Micropalo D139.7x10 perf 220	L1	2931.9	1100.1	0	750	Cerniera	116949 = Default (59929) + Default (57020); 116949 = Default (59929) + Default (57020)	FPP1
Micropalo D139.7x10 perf 220	L1	2931.9	1250.1	0	750	Cerniera	116949 = Default (59929) + Default (57020); 116949 = Default (59929) + Default (57020)	FPP1
Micropalo D139.7x10 perf 220	L1	3766.9	1250.1	0	600	Cerniera	117147 = Default (60128) + Default (57020); 117147 = Default (60128) + Default (57020)	FPP1
Micropalo D139.7x10 perf 220	L1	3488.9	950.1	0	750	Cerniera	116949 = Default (59929) + Default (57020); 116949 = Default (59929) + Default (57020)	FPP1
Micropalo D139.7x10 perf 220	L1	2931.9	1400.1	0	750	Cerniera	116949 = Default (59929) + Default (57020); 116949 = Default (59929) + Default (57020)	FPP1
Micropalo D139.7x10 perf 220	L1	2931.9	1550.1	0	750	Cerniera	116949 = Default (59929) + Default (57020); 116949 = Default (59929) + Default (57020)	FPP1
Micropalo D139.7x10 perf 220	L1	3766.9	1550.1	0	600	Cerniera	117147 = Default (60128) + Default (57020); 117147 = Default (60128) + Default (57020)	FPP1
Micropalo D139.7x10 perf 220	L1	3209.9	1250.1	0	750	Cerniera	116949 = Default (59929) + Default (57020); 116949 = Default (59929) + Default (57020)	FPP1
Micropalo D139.7x10 perf 220	L1	3488.9	1250.1	0	750	Cerniera	116949 = Default (59929) + Default (57020); 116949 = Default (59929) + Default (57020)	FPP1
Micropalo D139.7x10 perf 220	L1	3209.9	1400.1	0	750	Cerniera	116949 = Default (59929) + Default (57020); 116949 = Default (59929) + Default (57020)	FPP1
Micropalo D139.7x10 perf 220	L1	3488.9	1400.1	0	750	Cerniera	116949 = Default (59929) + Default (57020); 116949 = Default (59929) + Default (57020)	FPP1
Micropalo D139.7x10 perf 220	L1	3766.9	1400.1	0	600	Cerniera	117147 = Default (60128) + Default (57020); 117147 = Default (60128) + Default (57020)	FPP1
Micropalo D139.7x10 perf 220	L1	2931.9	350.1	0	750	Cerniera	116949 = Default (59929) + Default (57020); 116949 = Default (59929) + Default (57020)	FPP1
Micropalo D139.7x10 perf 220	L1	3209.9	950.1	0	750	Cerniera	116949 = Default (59929) + Default (57020); 116949 = Default (59929) + Default (57020)	FPP1
Micropalo D139.7x10 perf 220	L1	2931.9	950.1	0	750	Cerniera	116949 = Default (59929) + Default (57020); 116949 = Default (59929) + Default (57020)	FPP1
Micropalo D139.7x10 perf 220	L1	3209.9	350.1	0	750	Cerniera	116949 = Default (59929) + Default (57020); 116949 = Default (59929) + Default (57020)	FPP1

Interventi di miglioramento della diga di Cepparello nel Comune di Poggibonsi (SI)

ET.09.4 – Tabulati di calcolo_Canali fuggatori con fondazioni su pali

Palo	Liv.	Punto		Estr.	Lungh.	Coll. testa	Capacità portante palo	Fond.
		X	Y					
Micropalo D139.7x10 perf 220	L1	3488.9	350.1	0	750	Cerniera	116949 = Default (59929) + Default (57020); 116949 = Default (59929) + Default (57020)	FPP1
Micropalo D139.7x10 perf 220	L1	2931.9	500.1	0	750	Cerniera	116949 = Default (59929) + Default (57020); 116949 = Default (59929) + Default (57020)	FPP1
Micropalo D139.7x10 perf 220	L1	3766.9	500.1	0	600	Cerniera	117147 = Default (60128) + Default (57020); 117147 = Default (60128) + Default (57020)	FPP1
Micropalo D139.7x10 perf 220	L1	3209.9	500.1	0	750	Cerniera	116949 = Default (59929) + Default (57020); 116949 = Default (59929) + Default (57020)	FPP1
Micropalo D139.7x10 perf 220	L1	3488.9	500.1	0	750	Cerniera	116949 = Default (59929) + Default (57020); 116949 = Default (59929) + Default (57020)	FPP1
Micropalo D139.7x10 perf 220	L1	3766.9	950.1	0	600	Cerniera	117147 = Default (60128) + Default (57020); 117147 = Default (60128) + Default (57020)	FPP1
Micropalo D139.7x10 perf 220	L1	2931.9	650.1	0	750	Cerniera	116949 = Default (59929) + Default (57020); 116949 = Default (59929) + Default (57020)	FPP1
Micropalo D139.7x10 perf 220	L1	3209.9	650.1	0	750	Cerniera	116949 = Default (59929) + Default (57020); 116949 = Default (59929) + Default (57020)	FPP1
Micropalo D139.7x10 perf 220	L1	3488.9	650.1	0	750	Cerniera	116949 = Default (59929) + Default (57020); 116949 = Default (59929) + Default (57020)	FPP1
Micropalo D139.7x10 perf 220	L1	2931.9	800.1	0	750	Cerniera	116949 = Default (59929) + Default (57020); 116949 = Default (59929) + Default (57020)	FPP1
Micropalo D139.7x10 perf 220	L1	3766.9	800.1	0	600	Cerniera	117147 = Default (60128) + Default (57020); 117147 = Default (60128) + Default (57020)	FPP1
Micropalo D139.7x10 perf 220	L1	3209.9	800.1	0	750	Cerniera	116949 = Default (59929) + Default (57020); 116949 = Default (59929) + Default (57020)	FPP1
Micropalo D139.7x10 perf 220	L1	3488.9	800.1	0	750	Cerniera	116949 = Default (59929) + Default (57020); 116949 = Default (59929) + Default (57020)	FPP1
Micropalo D139.7x10 perf 220	L1	3766.9	650.1	0	600	Cerniera	117147 = Default (60128) + Default (57020); 117147 = Default (60128) + Default (57020)	FPP1
Micropalo D139.7x10 perf 220	L1	3641.9	1700.1	0	750	Cerniera	116949 = Default (59929) + Default (57020); 116949 = Default (59929) + Default (57020)	FPP1
Micropalo D139.7x10 perf 220	L1	378	2750.1	0	600	Cerniera	117147 = Default (60128) + Default (57020); 117147 = Default (60128) + Default (57020)	FPP1
Micropalo D139.7x10 perf 220	L1	622	2750.1	0	750	Cerniera	116949 = Default (59929) + Default (57020); 116949 = Default (59929) + Default (57020)	FPP1
Micropalo D139.7x10 perf 220	L1	323	950.1	0	500	Cerniera	114003 = Default (56983) + Default (57020); 114003 = Default (56983) + Default (57020)	FPP1
Micropalo D139.7x10 perf 220	L1	677	1100.1	0	750	Cerniera	116949 = Default (59929) + Default (57020); 116949 = Default (59929) + Default (57020)	FPP1
Micropalo D139.7x10 perf 220	L1	323	1100.1	0	500	Cerniera	114003 = Default (56983) + Default (57020); 114003 = Default (56983) + Default (57020)	FPP1

Interventi di miglioramento della diga di Cepparello nel Comune di Poggibonsi (SI)

ET.09.4 – Tabulati di calcolo_Canali fugadori con fondazioni su pali

Palo	Liv.	Punto		Estr.	Lungh.	Coll. testa	Capacità portante palo	Fond.
		X	Y					
Micropalo D139.7x10 perf 220	L1	-30	1100.1	0	500	Cerniera	114003 = Default (56983) + Default (57020); 114003 = Default (56983) + Default (57020)	FPP1
Micropalo D139.7x10 perf 220	L1	1030	1100.1	0	900	Cerniera	117629 = Default (60609) + Default (57020); 117629 = Default (60609) + Default (57020)	FPP1
Micropalo D139.7x10 perf 220	L1	1030	1250.1	0	900	Cerniera	117629 = Default (60609) + Default (57020); 117629 = Default (60609) + Default (57020)	FPP1
Micropalo D139.7x10 perf 220	L1	677	950.1	0	750	Cerniera	116949 = Default (59929) + Default (57020); 116949 = Default (59929) + Default (57020)	FPP1
Micropalo D139.7x10 perf 220	L1	-30	1250.1	0	500	Cerniera	114003 = Default (56983) + Default (57020); 114003 = Default (56983) + Default (57020)	FPP1
Micropalo D139.7x10 perf 220	L1	-30	1400.1	0	500	Cerniera	114003 = Default (56983) + Default (57020); 114003 = Default (56983) + Default (57020)	FPP1
Micropalo D139.7x10 perf 220	L1	1030	1550.1	0	900	Cerniera	117629 = Default (60609) + Default (57020); 117629 = Default (60609) + Default (57020)	FPP1
Micropalo D139.7x10 perf 220	L1	-30	1550.1	0	500	Cerniera	114003 = Default (56983) + Default (57020); 114003 = Default (56983) + Default (57020)	FPP1
Micropalo D139.7x10 perf 220	L1	677	1250.1	0	750	Cerniera	116949 = Default (59929) + Default (57020); 116949 = Default (59929) + Default (57020)	FPP1
Micropalo D139.7x10 perf 220	L1	323	1250.1	0	500	Cerniera	114003 = Default (56983) + Default (57020); 114003 = Default (56983) + Default (57020)	FPP1
Micropalo D139.7x10 perf 220	L1	677	1400.1	0	750	Cerniera	116949 = Default (59929) + Default (57020); 116949 = Default (59929) + Default (57020)	FPP1
Micropalo D139.7x10 perf 220	L1	1030	1400.1	0	900	Cerniera	117629 = Default (60609) + Default (57020); 117629 = Default (60609) + Default (57020)	FPP1
Micropalo D139.7x10 perf 220	L1	323	1400.1	0	500	Cerniera	114003 = Default (56983) + Default (57020); 114003 = Default (56983) + Default (57020)	FPP1
Micropalo D139.7x10 perf 220	L1	-30	950.1	0	500	Cerniera	114003 = Default (56983) + Default (57020); 114003 = Default (56983) + Default (57020)	FPP1
Micropalo D139.7x10 perf 220	L1	323	800.1	0	500	Cerniera	114003 = Default (56983) + Default (57020); 114003 = Default (56983) + Default (57020)	FPP1
Micropalo D139.7x10 perf 220	L1	-30	350.1	0	500	Cerniera	114003 = Default (56983) + Default (57020); 114003 = Default (56983) + Default (57020)	FPP1
Micropalo D139.7x10 perf 220	L1	677	350.1	0	750	Cerniera	116949 = Default (59929) + Default (57020); 116949 = Default (59929) + Default (57020)	FPP1
Micropalo D139.7x10 perf 220	L1	323	350.1	0	500	Cerniera	114003 = Default (56983) + Default (57020); 114003 = Default (56983) + Default (57020)	FPP1
Micropalo D139.7x10 perf 220	L1	1030	500.1	0	900	Cerniera	117629 = Default (60609) + Default (57020); 117629 = Default (60609) + Default (57020)	FPP1
Micropalo D139.7x10 perf 220	L1	-30	500.1	0	500	Cerniera	114003 = Default (56983) + Default (57020); 114003 = Default (56983) + Default (57020)	FPP1

Interventi di miglioramento della diga di Cepparello nel Comune di Poggibonsi (SI)

ET.09.4 – Tabulati di calcolo_Canali fuggatori con fondazioni su pali

Palo	Liv.	Punto		Estr.	Lungh.	Coll. testa	Capacità portante palo	Fond.
		X	Y					
Micropalo D139.7x10 perf 220	L1	677	500.1	0	750	Cerniera	116949 = Default (59929) + Default (57020); 116949 = Default (59929) + Default (57020)	FPP1
Micropalo D139.7x10 perf 220	L1	1030	950.1	0	900	Cerniera	117629 = Default (60609) + Default (57020); 117629 = Default (60609) + Default (57020)	FPP1
Micropalo D139.7x10 perf 220	L1	323	500.1	0	500	Cerniera	114003 = Default (56983) + Default (57020); 114003 = Default (56983) + Default (57020)	FPP1
Micropalo D139.7x10 perf 220	L1	-30	650.1	0	500	Cerniera	114003 = Default (56983) + Default (57020); 114003 = Default (56983) + Default (57020)	FPP1
Micropalo D139.7x10 perf 220	L1	677	650.1	0	750	Cerniera	116949 = Default (59929) + Default (57020); 116949 = Default (59929) + Default (57020)	FPP1
Micropalo D139.7x10 perf 220	L1	323	650.1	0	500	Cerniera	114003 = Default (56983) + Default (57020); 114003 = Default (56983) + Default (57020)	FPP1
Micropalo D139.7x10 perf 220	L1	1030	800.1	0	900	Cerniera	117629 = Default (60609) + Default (57020); 117629 = Default (60609) + Default (57020)	FPP1
Micropalo D139.7x10 perf 220	L1	-30	800.1	0	500	Cerniera	114003 = Default (56983) + Default (57020); 114003 = Default (56983) + Default (57020)	FPP1
Micropalo D139.7x10 perf 220	L1	677	800.1	0	750	Cerniera	116949 = Default (59929) + Default (57020); 116949 = Default (59929) + Default (57020)	FPP1
Micropalo D139.7x10 perf 220	L1	1030	650.1	0	900	Cerniera	117629 = Default (60609) + Default (57020); 117629 = Default (60609) + Default (57020)	FPP1
Micropalo D139.7x10 perf 220	L1	677	1550.1	0	750	Cerniera	116949 = Default (59929) + Default (57020); 116949 = Default (59929) + Default (57020)	FPP1
Micropalo D139.7x10 perf 220	L1	323	1550.1	0	500	Cerniera	114003 = Default (56983) + Default (57020); 114003 = Default (56983) + Default (57020)	FPP1
Micropalo D139.7x10 perf 220	L1	865	1700.1	0	900	Cerniera	117629 = Default (60609) + Default (57020); 117629 = Default (60609) + Default (57020)	FPP1
Micropalo D139.7x10 perf 220	L1	622	2450.1	0	750	Cerniera	116949 = Default (59929) + Default (57020); 116949 = Default (59929) + Default (57020)	FPP1
Micropalo D139.7x10 perf 220	L1	378	2450.1	0	600	Cerniera	117147 = Default (60128) + Default (57020); 117147 = Default (60128) + Default (57020)	FPP1
Micropalo D139.7x10 perf 220	L1	135	2450.1	0	500	Cerniera	114003 = Default (56983) + Default (57020); 114003 = Default (56983) + Default (57020)	FPP1
Micropalo D139.7x10 perf 220	L1	865	2450.1	0	900	Cerniera	117629 = Default (60609) + Default (57020); 117629 = Default (60609) + Default (57020)	FPP1
Micropalo D139.7x10 perf 220	L1	865	2550.1	0	900	Cerniera	117629 = Default (60609) + Default (57020); 117629 = Default (60609) + Default (57020)	FPP1
Micropalo D139.7x10 perf 220	L1	135	2550.1	0	500	Cerniera	114003 = Default (56983) + Default (57020); 114003 = Default (56983) + Default (57020)	FPP1
Micropalo D139.7x10 perf 220	L1	378	2350.1	0	600	Cerniera	117147 = Default (60128) + Default (57020); 117147 = Default (60128) + Default (57020)	FPP1

Interventi di miglioramento della diga di Cepparello nel Comune di Poggibonsi (SI)

ET.09.4 – Tabulati di calcolo_Canali fugatori con fondazioni su pali

Palo	Liv.	Punto		Estr.	Lungh.	Coll. testa	Capacità portante palo	Fond.
		X	Y					
Micropalo D139.7x10 perf 220	L1	865	2650.1	0	900	Cerniera	117629 = Default (60609) + Default (57020); 117629 = Default (60609) + Default (57020)	FPP1
Micropalo D139.7x10 perf 220	L1	865	2750.1	0	900	Cerniera	117629 = Default (60609) + Default (57020); 117629 = Default (60609) + Default (57020)	FPP1
Micropalo D139.7x10 perf 220	L1	135	2750.1	0	500	Cerniera	114003 = Default (56983) + Default (57020); 114003 = Default (56983) + Default (57020)	FPP1
Micropalo D139.7x10 perf 220	L1	622	2550.1	0	750	Cerniera	116949 = Default (59929) + Default (57020); 116949 = Default (59929) + Default (57020)	FPP1
Micropalo D139.7x10 perf 220	L1	378	2550.1	0	600	Cerniera	117147 = Default (60128) + Default (57020); 117147 = Default (60128) + Default (57020)	FPP1
Micropalo D139.7x10 perf 220	L1	622	2650.1	0	750	Cerniera	116949 = Default (59929) + Default (57020); 116949 = Default (59929) + Default (57020)	FPP1
Micropalo D139.7x10 perf 220	L1	378	2650.1	0	600	Cerniera	117147 = Default (60128) + Default (57020); 117147 = Default (60128) + Default (57020)	FPP1
Micropalo D139.7x10 perf 220	L1	135	2650.1	0	500	Cerniera	114003 = Default (56983) + Default (57020); 114003 = Default (56983) + Default (57020)	FPP1
Micropalo D139.7x10 perf 220	L1	622	2350.1	0	750	Cerniera	116949 = Default (59929) + Default (57020); 116949 = Default (59929) + Default (57020)	FPP1
Micropalo D139.7x10 perf 220	L1	135	2350.1	0	500	Cerniera	114003 = Default (56983) + Default (57020); 114003 = Default (56983) + Default (57020)	FPP1
Micropalo D139.7x10 perf 220	L1	865	2350.1	0	900	Cerniera	117629 = Default (60609) + Default (57020); 117629 = Default (60609) + Default (57020)	FPP1
Micropalo D139.7x10 perf 220	L1	135	1700.1	0	500	Cerniera	114003 = Default (56983) + Default (57020); 114003 = Default (56983) + Default (57020)	FPP1
Micropalo D139.7x10 perf 220	L1	622	1700.1	0	750	Cerniera	116949 = Default (59929) + Default (57020); 116949 = Default (59929) + Default (57020)	FPP1
Micropalo D139.7x10 perf 220	L1	378	1700.1	0	600	Cerniera	117147 = Default (60128) + Default (57020); 117147 = Default (60128) + Default (57020)	FPP1
Micropalo D139.7x10 perf 220	L1	865	1850.1	0	900	Cerniera	117629 = Default (60609) + Default (57020); 117629 = Default (60609) + Default (57020)	FPP1
Micropalo D139.7x10 perf 220	L1	135	1850.1	0	500	Cerniera	114003 = Default (56983) + Default (57020); 114003 = Default (56983) + Default (57020)	FPP1
Micropalo D139.7x10 perf 220	L1	622	1850.1	0	750	Cerniera	116949 = Default (59929) + Default (57020); 116949 = Default (59929) + Default (57020)	FPP1
Micropalo D139.7x10 perf 220	L1	378	1850.1	0	600	Cerniera	117147 = Default (60128) + Default (57020); 117147 = Default (60128) + Default (57020)	FPP1
Micropalo D139.7x10 perf 220	L1	865	2000.1	0	900	Cerniera	117629 = Default (60609) + Default (57020); 117629 = Default (60609) + Default (57020)	FPP1
Micropalo D139.7x10 perf 220	L1	135	2000.1	0	500	Cerniera	114003 = Default (56983) + Default (57020); 114003 = Default (56983) + Default (57020)	FPP1

ET.09.4 – Tabulati di calcolo_Canali fagatori con fondazioni su pali

Palo	Liv.	Punto		Estr.	Lungh.	Coll. testa	Capacità portante palo	Fond.
		X	Y					
Micropalo D139.7x10 perf 220	L1	622	2000.1	0	750	Cerniera	116949 = Default (59929) + Default (57020); 116949 = Default (59929) + Default (57020)	FPP1
Micropalo D139.7x10 perf 220	L1	378	2000.1	0	600	Cerniera	117147 = Default (60128) + Default (57020); 117147 = Default (60128) + Default (57020)	FPP1
Micropalo D139.7x10 perf 220	L1	865	2150.1	0	900	Cerniera	117629 = Default (60609) + Default (57020); 117629 = Default (60609) + Default (57020)	FPP1
Micropalo D139.7x10 perf 220	L1	135	2150.1	0	500	Cerniera	114003 = Default (56983) + Default (57020); 114003 = Default (56983) + Default (57020)	FPP1
Micropalo D139.7x10 perf 220	L1	622	2150.1	0	750	Cerniera	116949 = Default (59929) + Default (57020); 116949 = Default (59929) + Default (57020)	FPP1
Micropalo D139.7x10 perf 220	L1	378	2150.1	0	600	Cerniera	117147 = Default (60128) + Default (57020); 117147 = Default (60128) + Default (57020)	FPP1
Micropalo D139.7x10 perf 220	L1	3209.9	1550.1	0	750	Cerniera	116949 = Default (59929) + Default (57020); 116949 = Default (59929) + Default (57020)	FPP1
Micropalo D139.7x10 perf 220	L1	3488.9	1550.1	0	750	Cerniera	116949 = Default (59929) + Default (57020); 116949 = Default (59929) + Default (57020)	FPP1

3.4.7 Carichi terreno

3.4.7.1 Carichi terreno di piano

Liv.: quota superiore del punto di inserimento iniziale. esprimibile come livello, falda, piano orizzontale alla Z specificata. [cm]

Q. lim. inf.: quota limite inferiore del diagramma di spinta. esprimibile come livello, falda, piano orizzontale alla Z specificata. [cm]

P.ini.: punto di inserimento iniziale.

X: coordinata X. [cm]

Y: coordinata Y. [cm]

P.fin.: punto di inserimento finale.

X: coordinata X. [cm]

Y: coordinata Y. [cm]

Dim.: dimensione del simbolo. [cm]

Pos.: posizione del terreno rispetto ai due punti di definizione.

Ang.: angolo di inclinazione, rispetto l'orizzontale, del profilo superiore del terreno nella direzione normale alla parete. [deg]

Terreno: riferimento alla definizione di un terreno.

Metodo spinta terra: metodo di valutazione della spinta del terreno: "Spinta a riposo Ko + Wood" per muri rigidamente vincolati; "Mononobe-Okabe" per muri liberi al piede.

Distr. sp. sism.: distribuzione della spinta sismica del terreno: "Costante" per muri rigidamente vincolati; "Litostatico", "Litostatico inverso" per muri liberi al piede.

Coeff. Bm: coefficiente di riduzione dell'accelerazione massima attesa al sito. Per muri che non siano in grado di subire spostamenti relativi rispetto al terreno o in presenza di terreni non coesivi saturi, il coefficiente assume valore unitario. Il valore è adimensionale.

Falda: permette di definire l'eventuale falda freatica.

Sovr.: riferimento alla definizione di un carico di superficie, pensato uniformemente distribuito al di sopra del terreno. Accetta anche il valore "Nessuno".

Liv.	Q. lim. inf.	P.ini.		P.fin.		Dim.	Pos.	Ang.	Terreno	Metodo spinta terra	Distr. sp. sism.	Coeff. Bm	Falda	Sovr.
		X	Y	X	Y									
L2		865	1650.1	865	2200.1	Default (100)	Destra	0	3.Rinfianco ridotto	Spinta a riposo Ko + Wood	Costante	1	Si; 100; 1	Carico di esercizio su terreno
L2		3061.9	1650.1	3061.9	2200.1	Default (100)	Sinistra	0	3.Rinfianco ridotto	Spinta a riposo Ko + Wood	Costante	1	Si; 100; 1	Carico di esercizio su terreno
L2		1030	300.1	1030	1600.1	Default (100)	Destra	0	3.Rinfianco ridotto	Spinta a riposo Ko + Wood	Costante	1	Si; 100; 1	Carico di esercizio su terreno
L2		2931.9	300.1	2931.9	1600.1	Default (100)	Sinistra	0	3.Rinfianco ridotto	Spinta a riposo Ko + Wood	Costante	1	Si; 100; 1	Carico di esercizio su terreno
L3		-30	300.1	-30	1600.1	Default (100)	Sinistra	0	3.Rinfianco ridotto	Spinta a riposo Ko + Wood	Costante	1	Si; 100; 1	Carico di esercizio su terreno
L3		3766.9	300.1	3766.9	1600.1	Default (100)	Destra	0	3.Rinfianco ridotto	Spinta a riposo Ko + Wood	Costante	1	Si; 100; 1	Carico di esercizio su terreno
L4		135	1650.1	135	2200.1	Default (100)	Sinistra	0	3.Rinfianco ridotto	Spinta a riposo Ko + Wood	Costante	1	Si; 100; 1	Carico di esercizio su terreno

ET.09.4 – Tabulati di calcolo_Canali fagatori con fondazioni su pali

Liv.	Q. lim. inf.	P.ini.		P.fin.		Dim.	Pos.	Ang.	Terreno	Metodo spinta terra	Distr. sp. sism.	Coeff. Bm	Falda	Sovr.
		X	Y	X	Y									
L4		3641.9	1650.1	3641.9	2200.1	Default (100)	Destra	0	3.Rinfianco ridotto	Spinta a riposo Ko + Wood	Costante	1	Si; 100; 1	Carico di esercizio su terreno
L5		865	2300.1	865	2800.1	Default (100)	Destra	0	3.Rinfianco ridotto	Spinta a riposo Ko + Wood	Costante	1	Si; 100; 1	Carico di esercizio su terreno
L5		135	2300.1	135	2800.1	Default (100)	Sinistra	0	3.Rinfianco ridotto	Spinta a riposo Ko + Wood	Costante	1	Si; 100; 1	Carico di esercizio su terreno
L6		3061.9	2300.1	3061.9	2800.1	Default (100)	Sinistra	0	3.Rinfianco ridotto	Spinta a riposo Ko + Wood	Costante	1	Si; 100; 1	Carico di esercizio su terreno
L6		3641.9	2300.1	3641.9	2800.1	Default (100)	Destra	0	3.Rinfianco ridotto	Spinta a riposo Ko + Wood	Costante	1	Si; 100; 1	Carico di esercizio su terreno

3.4.8 Vincoli**3.4.8.1 Vincoli di piano**

Livello: quota di inserimento espressa con notazione breve esprimibile come livello, falda, piano orizzontale alla Z specificata. [cm]

Punto: punto di inserimento.

X: coordinata X. [cm]

Y: coordinata Y. [cm]

Estr.: distanza dalla quota di inserimento misurata in direzione ortogonale al piano della quota e con verso positivo verso l'alto. [cm]

Ux: limitazione al GDL oppure rigidezza della molla elastica-lineare. [daN/cm]

Uy: limitazione al GDL oppure rigidezza della molla elastica-lineare. [daN/cm]

Uz: limitazione al GDL oppure rigidezza della molla elastica-lineare. [daN/cm]

Rx: limitazione al GDL oppure rigidezza della molla elastica-lineare. [daN*cm/deg]

Ry: limitazione al GDL oppure rigidezza della molla elastica-lineare. [daN*cm/deg]

Rz: limitazione al GDL oppure rigidezza della molla elastica-lineare. [daN*cm/deg]

Livello	Punto		Estr.	Ux	Uy	Uz	Rx	Ry	Rz
	X	Y							
L3	-30	1070.1	-60	Bloccato	Libero	Libero	Libero	Libero	Libero
L3	-30	830.1	-60	Bloccato	Libero	Libero	Libero	Libero	Libero
L3	-30	590.1	-60	Bloccato	Libero	Libero	Libero	Libero	Libero
L3	-30	350.1	-60	Bloccato	Libero	Libero	Libero	Libero	Libero
L3	-30	1550.1	-60	Bloccato	Libero	Libero	Libero	Libero	Libero
L3	-30	1310.1	-60	Bloccato	Libero	Libero	Libero	Libero	Libero
L3	3766.9	1070.1	-60	Bloccato	Libero	Libero	Libero	Libero	Libero
L3	3766.9	830.1	-60	Bloccato	Libero	Libero	Libero	Libero	Libero
L3	3766.9	590.1	-60	Bloccato	Libero	Libero	Libero	Libero	Libero
L3	3766.9	350.1	-60	Bloccato	Libero	Libero	Libero	Libero	Libero
L3	3766.9	1550.1	-60	Bloccato	Libero	Libero	Libero	Libero	Libero
L3	3766.9	1310.1	-60	Bloccato	Libero	Libero	Libero	Libero	Libero

Indice	Posizione			Indice	Posizione			Indice	Posizione			Indice	Posizione		
	X	Y	Z		X	Y	Z		X	Y	Z		X	Y	Z
2690	3061.9	2550.1	451.8	2691	3061.9	2600.1	451.8	2692	3061.9	2650.1	451.8	2693	3061.9	2700.1	451.8
2694	3061.9	2750.1	451.8	2695	3061.9	2800.1	451.8	2696	3061.9	2300.1	500	2697	3641.9	2300.1	500
2698	3061.9	2350.1	500	2699	3641.9	2383.4	500	2700	3061.9	2400.1	500	2701	3061.9	2450.1	500
2702	3641.9	2466.8	500	2703	3061.9	2500.1	500	2704	3061.9	2550.1	500	2705	3641.9	2550.1	500
2706	3061.9	2600.1	500	2707	3641.9	2633.4	500	2708	3061.9	2650.1	500	2709	3061.9	2700.1	500
2710	3641.9	2716.8	500	2711	3061.9	2750.1	500	2712	3061.9	2800.1	500	2713	3641.9	2800.1	500

4.2 Carichi concentrati

Indice: numero dell'elemento nell'insieme che lo contiene.

Nodo: nodo su cui agisce il carico.

Condizione: condizione elementare mappata nella quale agisce il carico.

Fx: componente della forza lungo l'asse X. [daN]

Fy: componente della forza lungo l'asse Y. [daN]

Fz: componente della forza lungo l'asse Z. [daN]

Mx: componente del momento attorno all'asse X. [daN*cm]

My: componente del momento attorno all'asse Y. [daN*cm]

Mz: componente del momento attorno all'asse Z. [daN*cm]

Indice	Nodo	Condizione	Fx	Fy	Fz	Mx	My	Mz	Indice	Nodo	Condizione	Fx	Fy	Fz	Mx	My	Mz
1	812	Spinta idrostatica	0	0	161.2	0	0	0	2	814	Spinta idrostatica	0	0	364.5	0	0	0
3	863	Spinta idrostatica	0	0	770.5	0	0	0	4	843	Spinta idrostatica	0	0	402.2	0	0	0
5	812	Acqua canale	0	0	-3.3E2	0	0	0	6	814	Acqua canale	0	0	-7.5E2	0	0	0
7	863	Acqua canale	0	0	-1.6E3	0	0	0	8	843	Acqua canale	0	0	-8.3E2	0	0	0
9	890	Spinta idrostatica	0	0	882.8	0	0	0	10	874	Spinta idrostatica	0	0	443.3	0	0	0
11	890	Acqua canale	0	0	-1.8E3	0	0	0	12	874	Acqua canale	0	0	-9.1E2	0	0	0
13	921	Spinta idrostatica	0	0	903.3	0	0	0	14	905	Spinta idrostatica	0	0	452.8	0	0	0
15	921	Acqua canale	0	0	-1863	0	0	0	16	905	Acqua canale	0	0	-9.3E2	0	0	0
17	952	Spinta idrostatica	0	0	913.8	0	0	0	18	936	Spinta idrostatica	0	0	457.2	0	0	0
19	952	Acqua canale	0	0	-1.9E3	0	0	0	20	936	Acqua canale	0	0	-9.4E2	0	0	0
21	983	Spinta idrostatica	0	0	918.1	0	0	0	22	967	Spinta idrostatica	0	0	459	0	0	0
23	983	Acqua canale	0	0	-1.9E3	0	0	0	24	967	Acqua canale	0	0	-9.5E2	0	0	0
25	1014	Spinta idrostatica	0	0	919.6	0	0	0	26	998	Spinta idrostatica	0	0	459.6	0	0	0
27	1014	Acqua canale	0	0	-1.9E3	0	0	0	28	998	Acqua canale	0	0	-9.5E2	0	0	0
29	1043	Spinta idrostatica	0	0	919.9	0	0	0	30	1029	Spinta idrostatica	0	0	459.7	0	0	0
31	1043	Acqua canale	0	0	-1.9E3	0	0	0	32	1029	Acqua canale	0	0	-9.5E2	0	0	0
33	1072	Spinta idrostatica	0	0	920	0	0	0	34	1060	Spinta idrostatica	0	0	459.8	0	0	0
35	1072	Acqua canale	0	0	-1.9E3	0	0	0	36	1060	Acqua canale	0	0	-9.5E2	0	0	0
37	1093	Spinta idrostatica	0	0	920	0	0	0	38	1091	Spinta idrostatica	0	0	459.8	0	0	0
39	1093	Acqua canale	0	0	-1.9E3	0	0	0	40	1091	Acqua canale	0	0	-9.5E2	0	0	0
41	1122	Spinta idrostatica	0	0	920	0	0	0	42	1141	Spinta idrostatica	0	0	459.8	0	0	0
43	1122	Acqua canale	0	0	-1.9E3	0	0	0	44	1141	Acqua canale	0	0	-9.5E2	0	0	0
45	1160	Spinta idrostatica	0	0	919.9	0	0	0	46	1172	Spinta idrostatica	0	0	459.8	0	0	0
47	1160	Acqua canale	0	0	-1.9E3	0	0	0	48	1172	Acqua canale	0	0	-9.5E2	0	0	0
49	1197	Spinta idrostatica	0	0	919.5	0	0	0	50	1207	Spinta idrostatica	0	0	459.7	0	0	0
51	1197	Acqua canale	0	0	-1.9E3	0	0	0	52	1207	Acqua canale	0	0	-9.5E2	0	0	0
53	1228	Spinta idrostatica	0	0	917.7	0	0	0	54	1234	Spinta idrostatica	0	0	459.3	0	0	0
55	1228	Acqua canale	0	0	-1.9E3	0	0	0	56	1234	Acqua canale	0	0	-9.5E2	0	0	0
57	1259	Spinta idrostatica	0	0	912.7	0	0	0	58	1269	Spinta idrostatica	0	0	458.2	0	0	0
59	1259	Acqua canale	0	0	-1.9E3	0	0	0	60	1269	Acqua canale	0	0	-9.5E2	0	0	0
61	1290	Spinta idrostatica	0	0	900.3	0	0	0	62	1296	Spinta idrostatica	0	0	455.3	0	0	0
63	1290	Acqua canale	0	0	-1.9E3	0	0	0	64	1296	Acqua canale	0	0	-9.4E2	0	0	0
65	1321	Spinta idrostatica	0	0	874.8	0	0	0	66	1331	Spinta idrostatica	0	0	448.8	0	0	0
67	1321	Acqua canale	0	0	-1.8E3	0	0	0	68	1331	Acqua canale	0	0	-9.3E2	0	0	0
69	1348	Spinta idrostatica	0	0	802.6	0	0	0	70	1358	Spinta idrostatica	0	0	376.7	0	0	0
71	1348	Acqua canale	0	0	-1.7E3	0	0	0	72	1358	Acqua canale	0	0	-7.8E2	0	0	0
73	1372	Spinta idrostatica	0	0	345	0	0	0	74	1370	Spinta idrostatica	0	0	177.1	0	0	0
75	1372	Acqua canale	0	0	-7.1E2	0	0	0	76	1370	Acqua canale	0	0	-3.7E2	0	0	0
77	815	Spinta idrostatica	0	0	386	0	0	0	78	870	Spinta idrostatica	0	0	795.7	0	0	0
79	815	Acqua canale	0	0	-796	0	0	0	80	870	Acqua canale	0	0	-1.6E3	0	0	0
81	901	Spinta idrostatica	0	0	858.6	0	0	0	82	901	Acqua canale	0	0	-1.8E3	0	0	0
83	932	Spinta idrostatica	0	0	892.1	0	0	0	84	932	Acqua canale	0	0	-1840	0	0	0
85	963	Spinta idrostatica	0	0	909.5	0	0	0	86	963	Acqua canale	0	0	-1.9E3	0	0	0
87	994	Spinta idrostatica	0	0	918	0	0	0	88	994	Acqua canale	0	0	-1.9E3	0	0	0
89	1025	Spinta idrostatica	0	0	920.8	0	0	0	90	1025	Acqua canale	0	0	-1.9E3	0	0	0
91	1056	Spinta idrostatica	0	0	921.1	0	0	0	92	1056	Acqua canale	0	0	-1.9E3	0	0	0
93	1084	Spinta idrostatica	0	0	921.5	0	0	0	94	1084	Acqua canale	0	0	-1.9E3	0	0	0
95	1094	Spinta idrostatica	0	0	921.3	0	0	0	96	1094	Acqua canale	0	0	-1.9E3	0	0	0
97	1123	Spinta idrostatica	0	0	921.5	0	0	0	98	1123	Acqua canale	0	0	-1.9E3	0	0	0

Interventi di miglioramento della diga di Cepparello nel Comune di Poggibonsi (SI)

ET.09.4 – Tabulati di calcolo_Canali fagatori con fondazioni su pali

Indice	Nodo	Condizione	Fx	Fy	Fz	Mx	My	Mz	Indice	Nodo	Condizione	Fx	Fy	Fz	Mx	My	Mz
99	1153	Spinta idrostatica	0	0	921.1	0	0	0	100	1153	Acqua canale	0	0	-1.9E3	0	0	0
101	1186	Spinta idrostatica	0	0	920.7	0	0	0	102	1186	Acqua canale	0	0	-1.9E3	0	0	0
103	1217	Spinta idrostatica	0	0	917.7	0	0	0	104	1217	Acqua canale	0	0	-1.9E3	0	0	0
105	1248	Spinta idrostatica	0	0	909.9	0	0	0	106	1248	Acqua canale	0	0	-1.9E3	0	0	0
107	1279	Spinta idrostatica	0	0	890.6	0	0	0	108	1279	Acqua canale	0	0	-1.8E3	0	0	0
109	1310	Spinta idrostatica	0	0	856.2	0	0	0	110	1310	Acqua canale	0	0	-1766	0	0	0
111	1341	Spinta idrostatica	0	0	805.9	0	0	0	112	1341	Acqua canale	0	0	-1.7E3	0	0	0
113	1373	Spinta idrostatica	0	0	379.3	0	0	0	114	1373	Acqua canale	0	0	-7.8E2	0	0	0
115	816	Spinta idrostatica	0	0	386.2	0	0	0	116	872	Spinta idrostatica	0	0	801.9	0	0	0
117	816	Acqua canale	0	0	-8.0E2	0	0	0	118	872	Acqua canale	0	0	-1.7E3	0	0	0
119	903	Spinta idrostatica	0	0	861	0	0	0	120	903	Acqua canale	0	0	-1.8E3	0	0	0
121	934	Spinta idrostatica	0	0	888.7	0	0	0	122	934	Acqua canale	0	0	-1833	0	0	0
123	965	Spinta idrostatica	0	0	913	0	0	0	124	965	Acqua canale	0	0	-1.9E3	0	0	0
125	996	Spinta idrostatica	0	0	919.8	0	0	0	126	996	Acqua canale	0	0	-1897	0	0	0
127	1027	Spinta idrostatica	0	0	924.1	0	0	0	128	1027	Acqua canale	0	0	-1.9E3	0	0	0
129	1057	Spinta idrostatica	0	0	923.1	0	0	0	130	1057	Acqua canale	0	0	-1904	0	0	0
131	1085	Spinta idrostatica	0	0	924.9	0	0	0	132	1085	Acqua canale	0	0	-1.9E3	0	0	0
133	1095	Spinta idrostatica	0	0	923.3	0	0	0	134	1095	Acqua canale	0	0	-1.9E3	0	0	0
135	1124	Spinta idrostatica	0	0	924.9	0	0	0	136	1124	Acqua canale	0	0	-1.9E3	0	0	0
137	1154	Spinta idrostatica	0	0	923.1	0	0	0	138	1154	Acqua canale	0	0	-1904	0	0	0
139	1184	Spinta idrostatica	0	0	924	0	0	0	140	1184	Acqua canale	0	0	-1.9E3	0	0	0
141	1215	Spinta idrostatica	0	0	919.6	0	0	0	142	1215	Acqua canale	0	0	-1.9E3	0	0	0
143	1246	Spinta idrostatica	0	0	912.9	0	0	0	144	1246	Acqua canale	0	0	-1.9E3	0	0	0
145	1277	Spinta idrostatica	0	0	889.1	0	0	0	146	1277	Acqua canale	0	0	-1.8E3	0	0	0
147	1308	Spinta idrostatica	0	0	860.1	0	0	0	148	1308	Acqua canale	0	0	-1774	0	0	0
149	1339	Spinta idrostatica	0	0	807.5	0	0	0	150	1339	Acqua canale	0	0	-1.7E3	0	0	0
151	1374	Spinta idrostatica	0	0	381.8	0	0	0	152	1374	Acqua canale	0	0	-7.9E2	0	0	0
153	817	Spinta idrostatica	0	0	364.9	0	0	0	154	865	Spinta idrostatica	0	0	789	0	0	0
155	817	Acqua canale	0	0	-7.5E2	0	0	0	156	865	Acqua canale	0	0	-1.6E3	0	0	0
157	896	Spinta idrostatica	0	0	890.8	0	0	0	158	896	Acqua canale	0	0	-1.8E3	0	0	0
159	927	Spinta idrostatica	0	0	896.5	0	0	0	160	927	Acqua canale	0	0	-1849	0	0	0
161	958	Spinta idrostatica	0	0	923	0	0	0	162	958	Acqua canale	0	0	-1.9E3	0	0	0
163	989	Spinta idrostatica	0	0	919.9	0	0	0	164	989	Acqua canale	0	0	-1.9E3	0	0	0
165	1020	Spinta idrostatica	0	0	931.6	0	0	0	166	1020	Acqua canale	0	0	-1.9E3	0	0	0
167	1046	Spinta idrostatica	0	0	922.5	0	0	0	168	1046	Acqua canale	0	0	-1.9E3	0	0	0
169	1073	Spinta idrostatica	0	0	932.1	0	0	0	170	1073	Acqua canale	0	0	-1.9E3	0	0	0
171	1096	Spinta idrostatica	0	0	922.6	0	0	0	172	1096	Acqua canale	0	0	-1.9E3	0	0	0
173	1125	Spinta idrostatica	0	0	932.1	0	0	0	174	1125	Acqua canale	0	0	-1.9E3	0	0	0
175	1161	Spinta idrostatica	0	0	922.5	0	0	0	176	1161	Acqua canale	0	0	-1.9E3	0	0	0
177	1191	Spinta idrostatica	0	0	931.5	0	0	0	178	1191	Acqua canale	0	0	-1.9E3	0	0	0
179	1222	Spinta idrostatica	0	0	920	0	0	0	180	1222	Acqua canale	0	0	-1.9E3	0	0	0
181	1253	Spinta idrostatica	0	0	923.7	0	0	0	182	1253	Acqua canale	0	0	-1.9E3	0	0	0
183	1284	Spinta idrostatica	0	0	895.9	0	0	0	184	1284	Acqua canale	0	0	-1.8E3	0	0	0
185	1315	Spinta idrostatica	0	0	882.7	0	0	0	186	1315	Acqua canale	0	0	-1.8E3	0	0	0
187	1346	Spinta idrostatica	0	0	807.4	0	0	0	188	1346	Acqua canale	0	0	-1.7E3	0	0	0
189	1375	Spinta idrostatica	0	0	355.4	0	0	0	190	1375	Acqua canale	0	0	-733	0	0	0
191	818	Spinta idrostatica	0	0	347.3	0	0	0	192	845	Spinta idrostatica	0	0	885.8	0	0	0
193	818	Acqua canale	0	0	-7.2E2	0	0	0	194	845	Acqua canale	0	0	-1827	0	0	0
195	884	Spinta idrostatica	0	0	942.2	0	0	0	196	884	Acqua canale	0	0	-1.9E3	0	0	0
197	907	Spinta idrostatica	0	0	970.2	0	0	0	198	907	Acqua canale	0	0	-2001	0	0	0
199	946	Spinta idrostatica	0	0	980.2	0	0	0	200	946	Acqua canale	0	0	-2.0E3	0	0	0
201	969	Spinta idrostatica	0	0	989.7	0	0	0	202	969	Acqua canale	0	0	-2.0E3	0	0	0

Interventi di miglioramento della diga di Cepparello nel Comune di Poggibonsi (SI)

ET.09.4 – Tabulati di calcolo_Canali fuggatori con fondazioni su pali

Indice	Nodo	Condizione	Fx	Fy	Fz	Mx	My	Mz	Indice	Nodo	Condizione	Fx	Fy	Fz	Mx	My	Mz
203	1008	Spinta idrostatica	0	0	987	0	0	0	204	1008	Acqua canale	0	0	-2.0E3	0	0	0
205	1031	Spinta idrostatica	0	0	991.9	0	0	0	206	1031	Acqua canale	0	0	-2.0E3	0	0	0
207	1062	Spinta idrostatica	0	0	987.5	0	0	0	208	1062	Acqua canale	0	0	-2.0E3	0	0	0
209	1097	Spinta idrostatica	0	0	992	0	0	0	210	1097	Acqua canale	0	0	-2046	0	0	0
211	1143	Spinta idrostatica	0	0	987.6	0	0	0	212	1143	Acqua canale	0	0	-2.0E3	0	0	0
213	1174	Spinta idrostatica	0	0	991.9	0	0	0	214	1174	Acqua canale	0	0	-2.0E3	0	0	0
215	1203	Spinta idrostatica	0	0	987.3	0	0	0	216	1203	Acqua canale	0	0	-2.0E3	0	0	0
217	1236	Spinta idrostatica	0	0	990.1	0	0	0	218	1236	Acqua canale	0	0	-2.0E3	0	0	0
219	1265	Spinta idrostatica	0	0	984.4	0	0	0	220	1265	Acqua canale	0	0	-2.0E3	0	0	0
221	1298	Spinta idrostatica	0	0	970.3	0	0	0	222	1298	Acqua canale	0	0	-2.0E3	0	0	0
223	1327	Spinta idrostatica	0	0	967.8	0	0	0	224	1327	Acqua canale	0	0	-2.0E3	0	0	0
225	1360	Spinta idrostatica	0	0	813.9	0	0	0	226	1360	Acqua canale	0	0	-1.7E3	0	0	0
227	1376	Spinta idrostatica	0	0	389.5	0	0	0	228	1376	Acqua canale	0	0	-8.0E2	0	0	0
229	819	Spinta idrostatica	0	0	419.7	0	0	0	230	861	Spinta idrostatica	0	0	888.8	0	0	0
231	819	Acqua canale	0	0	-8.7E2	0	0	0	232	861	Acqua canale	0	0	-1.8E3	0	0	0
233	894	Spinta idrostatica	0	0	1.0E3	0	0	0	234	894	Acqua canale	0	0	-2084	0	0	0
235	925	Spinta idrostatica	0	0	1.0E3	0	0	0	236	925	Acqua canale	0	0	-2.1E3	0	0	0
237	956	Spinta idrostatica	0	0	1.0E3	0	0	0	238	956	Acqua canale	0	0	-2.1E3	0	0	0
239	987	Spinta idrostatica	0	0	1.1E3	0	0	0	240	987	Acqua canale	0	0	-2.2E3	0	0	0
241	1016	Spinta idrostatica	0	0	1.0E3	0	0	0	242	1016	Acqua canale	0	0	-2.2E3	0	0	0
243	1047	Spinta idrostatica	0	0	1.1E3	0	0	0	244	1047	Acqua canale	0	0	-2.2E3	0	0	0
245	1074	Spinta idrostatica	0	0	1.0E3	0	0	0	246	1074	Acqua canale	0	0	-2.2E3	0	0	0
247	1098	Spinta idrostatica	0	0	1.1E3	0	0	0	248	1098	Acqua canale	0	0	-2.2E3	0	0	0
249	1126	Spinta idrostatica	0	0	1.0E3	0	0	0	250	1126	Acqua canale	0	0	-2.2E3	0	0	0
251	1162	Spinta idrostatica	0	0	1.1E3	0	0	0	252	1162	Acqua canale	0	0	-2.2E3	0	0	0
253	1193	Spinta idrostatica	0	0	1.0E3	0	0	0	254	1193	Acqua canale	0	0	-2.2E3	0	0	0
255	1224	Spinta idrostatica	0	0	1.1E3	0	0	0	256	1224	Acqua canale	0	0	-2.2E3	0	0	0
257	1255	Spinta idrostatica	0	0	1.0E3	0	0	0	258	1255	Acqua canale	0	0	-2.1E3	0	0	0
259	1286	Spinta idrostatica	0	0	1.0E3	0	0	0	260	1286	Acqua canale	0	0	-2.1E3	0	0	0
261	1317	Spinta idrostatica	0	0	994.5	0	0	0	262	1317	Acqua canale	0	0	-2.1E3	0	0	0
263	1350	Spinta idrostatica	0	0	928.5	0	0	0	264	1350	Acqua canale	0	0	-1.9E3	0	0	0
265	1377	Spinta idrostatica	0	0	396.3	0	0	0	266	1377	Acqua canale	0	0	-8.2E2	0	0	0
267	820	Spinta idrostatica	0	0	438.2	0	0	0	268	869	Spinta idrostatica	0	0	908.8	0	0	0
269	820	Acqua canale	0	0	-9.0E2	0	0	0	270	869	Acqua canale	0	0	-1.9E3	0	0	0
271	900	Spinta idrostatica	0	0	986.1	0	0	0	272	900	Acqua canale	0	0	-2.0E3	0	0	0
273	931	Spinta idrostatica	0	0	1.0E3	0	0	0	274	931	Acqua canale	0	0	-2.1E3	0	0	0
275	962	Spinta idrostatica	0	0	1.0E3	0	0	0	276	962	Acqua canale	0	0	-2.1E3	0	0	0
277	993	Spinta idrostatica	0	0	1.0E3	0	0	0	278	993	Acqua canale	0	0	-2.2E3	0	0	0
279	1024	Spinta idrostatica	0	0	1.0E3	0	0	0	280	1024	Acqua canale	0	0	-2.2E3	0	0	0
281	1053	Spinta idrostatica	0	0	1053	0	0	0	282	1053	Acqua canale	0	0	-2.2E3	0	0	0
283	1075	Spinta idrostatica	0	0	1.1E3	0	0	0	284	1075	Acqua canale	0	0	-2.2E3	0	0	0
285	1099	Spinta idrostatica	0	0	1.1E3	0	0	0	286	1099	Acqua canale	0	0	-2172	0	0	0
287	1127	Spinta idrostatica	0	0	1.1E3	0	0	0	288	1127	Acqua canale	0	0	-2.2E3	0	0	0
289	1157	Spinta idrostatica	0	0	1.1E3	0	0	0	290	1157	Acqua canale	0	0	-2.2E3	0	0	0
291	1188	Spinta idrostatica	0	0	1.0E3	0	0	0	292	1188	Acqua canale	0	0	-2.2E3	0	0	0
293	1219	Spinta idrostatica	0	0	1.0E3	0	0	0	294	1219	Acqua canale	0	0	-2.2E3	0	0	0
295	1250	Spinta idrostatica	0	0	1.0E3	0	0	0	296	1250	Acqua canale	0	0	-2.1E3	0	0	0
297	1281	Spinta idrostatica	0	0	1022	0	0	0	298	1281	Acqua canale	0	0	-2.1E3	0	0	0
299	1312	Spinta idrostatica	0	0	982.8	0	0	0	300	1312	Acqua canale	0	0	-2.0E3	0	0	0
301	1343	Spinta idrostatica	0	0	923.1	0	0	0	302	1343	Acqua canale	0	0	-1.9E3	0	0	0
303	1378	Spinta idrostatica	0	0	428.3	0	0	0	304	1378	Acqua canale	0	0	-8.8E2	0	0	0
305	821	Spinta idrostatica	0	0	419.7	0	0	0	306	862	Spinta idrostatica	0	0	900	0	0	0

Interventi di miglioramento della diga di Cepparello nel Comune di Poggibonsi (SI)

ET.09.4 – Tabulati di calcolo_Canali fuggatori con fondazioni su pali

Indice	Nodo	Condizione	Fx	Fy	Fz	Mx	My	Mz	Indice	Nodo	Condizione	Fx	Fy	Fz	Mx	My	Mz
307	821	Acqua canale	0	0	-8.7E2	0	0	0	308	862	Acqua canale	0	0	-1.9E3	0	0	0
309	895	Spinta idrostatica	0	0	1.0E3	0	0	0	310	895	Acqua canale	0	0	-2.1E3	0	0	0
311	926	Spinta idrostatica	0	0	1.0E3	0	0	0	312	926	Acqua canale	0	0	-2.1E3	0	0	0
313	957	Spinta idrostatica	0	0	1.0E3	0	0	0	314	957	Acqua canale	0	0	-2.1E3	0	0	0
315	988	Spinta idrostatica	0	0	1.1E3	0	0	0	316	988	Acqua canale	0	0	-2.2E3	0	0	0
317	1017	Spinta idrostatica	0	0	1.0E3	0	0	0	318	1017	Acqua canale	0	0	-2.2E3	0	0	0
319	1048	Spinta idrostatica	0	0	1.1E3	0	0	0	320	1048	Acqua canale	0	0	-2.2E3	0	0	0
321	1076	Spinta idrostatica	0	0	1.0E3	0	0	0	322	1076	Acqua canale	0	0	-2.2E3	0	0	0
323	1100	Spinta idrostatica	0	0	1056	0	0	0	324	1100	Acqua canale	0	0	-2.2E3	0	0	0
325	1128	Spinta idrostatica	0	0	1.0E3	0	0	0	326	1128	Acqua canale	0	0	-2.2E3	0	0	0
327	1163	Spinta idrostatica	0	0	1.1E3	0	0	0	328	1163	Acqua canale	0	0	-2.2E3	0	0	0
329	1194	Spinta idrostatica	0	0	1.0E3	0	0	0	330	1194	Acqua canale	0	0	-2155	0	0	0
331	1225	Spinta idrostatica	0	0	1.1E3	0	0	0	332	1225	Acqua canale	0	0	-2.2E3	0	0	0
333	1256	Spinta idrostatica	0	0	1.0E3	0	0	0	334	1256	Acqua canale	0	0	-2.1E3	0	0	0
335	1287	Spinta idrostatica	0	0	1.0E3	0	0	0	336	1287	Acqua canale	0	0	-2.1E3	0	0	0
337	1318	Spinta idrostatica	0	0	990.5	0	0	0	338	1318	Acqua canale	0	0	-2043	0	0	0
339	1351	Spinta idrostatica	0	0	921.8	0	0	0	340	1351	Acqua canale	0	0	-1.9E3	0	0	0
341	1379	Spinta idrostatica	0	0	407.1	0	0	0	342	1379	Acqua canale	0	0	-8.4E2	0	0	0
343	822	Spinta idrostatica	0	0	345.2	0	0	0	344	846	Spinta idrostatica	0	0	881.3	0	0	0
345	822	Acqua canale	0	0	-712	0	0	0	346	846	Acqua canale	0	0	-1.8E3	0	0	0
347	885	Spinta idrostatica	0	0	939.3	0	0	0	348	885	Acqua canale	0	0	-1.9E3	0	0	0
349	908	Spinta idrostatica	0	0	960.2	0	0	0	350	908	Acqua canale	0	0	-2.0E3	0	0	0
351	947	Spinta idrostatica	0	0	978.8	0	0	0	352	947	Acqua canale	0	0	-2.0E3	0	0	0
353	970	Spinta idrostatica	0	0	979.2	0	0	0	354	970	Acqua canale	0	0	-2.0E3	0	0	0
355	1009	Spinta idrostatica	0	0	985.7	0	0	0	356	1009	Acqua canale	0	0	-2033	0	0	0
357	1032	Spinta idrostatica	0	0	981.4	0	0	0	358	1032	Acqua canale	0	0	-2.0E3	0	0	0
359	1063	Spinta idrostatica	0	0	986.2	0	0	0	360	1063	Acqua canale	0	0	-2034	0	0	0
361	1101	Spinta idrostatica	0	0	981.5	0	0	0	362	1101	Acqua canale	0	0	-2.0E3	0	0	0
363	1144	Spinta idrostatica	0	0	986.2	0	0	0	364	1144	Acqua canale	0	0	-2.0E3	0	0	0
365	1175	Spinta idrostatica	0	0	981.4	0	0	0	366	1175	Acqua canale	0	0	-2.0E3	0	0	0
367	1204	Spinta idrostatica	0	0	986	0	0	0	368	1204	Acqua canale	0	0	-2.0E3	0	0	0
369	1237	Spinta idrostatica	0	0	979.6	0	0	0	370	1237	Acqua canale	0	0	-2.0E3	0	0	0
371	1266	Spinta idrostatica	0	0	983.1	0	0	0	372	1266	Acqua canale	0	0	-2.0E3	0	0	0
373	1299	Spinta idrostatica	0	0	960	0	0	0	374	1299	Acqua canale	0	0	-1980	0	0	0
375	1328	Spinta idrostatica	0	0	966.6	0	0	0	376	1328	Acqua canale	0	0	-2.0E3	0	0	0
377	1361	Spinta idrostatica	0	0	804.5	0	0	0	378	1361	Acqua canale	0	0	-1.7E3	0	0	0
379	1380	Spinta idrostatica	0	0	388.6	0	0	0	380	1380	Acqua canale	0	0	-8.0E2	0	0	0
381	823	Spinta idrostatica	0	0	360.1	0	0	0	382	866	Spinta idrostatica	0	0	769	0	0	0
383	823	Acqua canale	0	0	-7.4E2	0	0	0	384	866	Acqua canale	0	0	-1.6E3	0	0	0
385	897	Spinta idrostatica	0	0	886	0	0	0	386	897	Acqua canale	0	0	-1.8E3	0	0	0
387	928	Spinta idrostatica	0	0	888.1	0	0	0	388	928	Acqua canale	0	0	-1.8E3	0	0	0
389	959	Spinta idrostatica	0	0	912.1	0	0	0	390	959	Acqua canale	0	0	-1.9E3	0	0	0
391	990	Spinta idrostatica	0	0	910.4	0	0	0	392	990	Acqua canale	0	0	-1.9E3	0	0	0
393	1021	Spinta idrostatica	0	0	918.8	0	0	0	394	1021	Acqua canale	0	0	-1.9E3	0	0	0
395	1049	Spinta idrostatica	0	0	912.8	0	0	0	396	1049	Acqua canale	0	0	-1.9E3	0	0	0
397	1077	Spinta idrostatica	0	0	919.3	0	0	0	398	1077	Acqua canale	0	0	-1896	0	0	0
399	1102	Spinta idrostatica	0	0	912.9	0	0	0	400	1102	Acqua canale	0	0	-1.9E3	0	0	0
401	1129	Spinta idrostatica	0	0	919.3	0	0	0	402	1129	Acqua canale	0	0	-1896	0	0	0
403	1164	Spinta idrostatica	0	0	912.8	0	0	0	404	1164	Acqua canale	0	0	-1.9E3	0	0	0
405	1192	Spinta idrostatica	0	0	918.7	0	0	0	406	1192	Acqua canale	0	0	-1.9E3	0	0	0
407	1223	Spinta idrostatica	0	0	910.4	0	0	0	408	1223	Acqua canale	0	0	-1.9E3	0	0	0
409	1254	Spinta idrostatica	0	0	911.2	0	0	0	410	1254	Acqua canale	0	0	-1.9E3	0	0	0

Interventi di miglioramento della diga di Cepparello nel Comune di Poggibonsi (SI)

ET.09.4 – Tabulati di calcolo_Canali fagatori con fondazioni su pali

Indice	Nodo	Condizione	Fx	Fy	Fz	Mx	My	Mz	Indice	Nodo	Condizione	Fx	Fy	Fz	Mx	My	Mz
411	1285	Spinta idrostatica	0	0	887.8	0	0	0	412	1285	Acqua canale	0	0	-1.8E3	0	0	0
413	1316	Spinta idrostatica	0	0	872.2	0	0	0	414	1316	Acqua canale	0	0	-1799	0	0	0
415	1347	Spinta idrostatica	0	0	805.6	0	0	0	416	1347	Acqua canale	0	0	-1.7E3	0	0	0
417	1381	Spinta idrostatica	0	0	340.4	0	0	0	418	1381	Acqua canale	0	0	-7.0E2	0	0	0
419	824	Spinta idrostatica	0	0	381.2	0	0	0	420	873	Spinta idrostatica	0	0	789.4	0	0	0
421	824	Acqua canale	0	0	-7.9E2	0	0	0	422	873	Acqua canale	0	0	-1.6E3	0	0	0
423	904	Spinta idrostatica	0	0	851.6	0	0	0	424	904	Acqua canale	0	0	-1.8E3	0	0	0
425	935	Spinta idrostatica	0	0	878	0	0	0	426	935	Acqua canale	0	0	-1.8E3	0	0	0
427	966	Spinta idrostatica	0	0	901.6	0	0	0	428	966	Acqua canale	0	0	-1.9E3	0	0	0
429	997	Spinta idrostatica	0	0	908.6	0	0	0	430	997	Acqua canale	0	0	-1874	0	0	0
431	1028	Spinta idrostatica	0	0	912.3	0	0	0	432	1028	Acqua canale	0	0	-1.9E3	0	0	0
433	1058	Spinta idrostatica	0	0	911.8	0	0	0	434	1058	Acqua canale	0	0	-1.9E3	0	0	0
435	1086	Spinta idrostatica	0	0	913	0	0	0	436	1086	Acqua canale	0	0	-1.9E3	0	0	0
437	1103	Spinta idrostatica	0	0	912	0	0	0	438	1103	Acqua canale	0	0	-1.9E3	0	0	0
439	1130	Spinta idrostatica	0	0	913	0	0	0	440	1130	Acqua canale	0	0	-1.9E3	0	0	0
441	1155	Spinta idrostatica	0	0	911.8	0	0	0	442	1155	Acqua canale	0	0	-1.9E3	0	0	0
443	1185	Spinta idrostatica	0	0	912.2	0	0	0	444	1185	Acqua canale	0	0	-1.9E3	0	0	0
445	1216	Spinta idrostatica	0	0	908.4	0	0	0	446	1216	Acqua canale	0	0	-1.9E3	0	0	0
447	1247	Spinta idrostatica	0	0	901.3	0	0	0	448	1247	Acqua canale	0	0	-1.9E3	0	0	0
449	1278	Spinta idrostatica	0	0	878.6	0	0	0	450	1278	Acqua canale	0	0	-1.8E3	0	0	0
451	1309	Spinta idrostatica	0	0	849.2	0	0	0	452	1309	Acqua canale	0	0	-1.8E3	0	0	0
453	1340	Spinta idrostatica	0	0	799	0	0	0	454	1340	Acqua canale	0	0	-1648	0	0	0
455	1382	Spinta idrostatica	0	0	374.8	0	0	0	456	1382	Acqua canale	0	0	-773	0	0	0
457	825	Spinta idrostatica	0	0	380.9	0	0	0	458	871	Spinta idrostatica	0	0	787.6	0	0	0
459	825	Acqua canale	0	0	-7.9E2	0	0	0	460	871	Acqua canale	0	0	-1.6E3	0	0	0
461	902	Spinta idrostatica	0	0	847	0	0	0	462	902	Acqua canale	0	0	-1747	0	0	0
463	933	Spinta idrostatica	0	0	879.9	0	0	0	464	933	Acqua canale	0	0	-1.8E3	0	0	0
465	964	Spinta idrostatica	0	0	897	0	0	0	466	964	Acqua canale	0	0	-1.9E3	0	0	0
467	995	Spinta idrostatica	0	0	906.1	0	0	0	468	995	Acqua canale	0	0	-1.9E3	0	0	0
469	1026	Spinta idrostatica	0	0	908.9	0	0	0	470	1026	Acqua canale	0	0	-1.9E3	0	0	0
471	1059	Spinta idrostatica	0	0	909.4	0	0	0	472	1059	Acqua canale	0	0	-1.9E3	0	0	0
473	1087	Spinta idrostatica	0	0	909.7	0	0	0	474	1087	Acqua canale	0	0	-1.9E3	0	0	0
475	1104	Spinta idrostatica	0	0	909.5	0	0	0	476	1104	Acqua canale	0	0	-1.9E3	0	0	0
477	1131	Spinta idrostatica	0	0	909.7	0	0	0	478	1131	Acqua canale	0	0	-1.9E3	0	0	0
479	1156	Spinta idrostatica	0	0	909.4	0	0	0	480	1156	Acqua canale	0	0	-1.9E3	0	0	0
481	1187	Spinta idrostatica	0	0	908.8	0	0	0	482	1187	Acqua canale	0	0	-1.9E3	0	0	0
483	1218	Spinta idrostatica	0	0	905.9	0	0	0	484	1218	Acqua canale	0	0	-1.9E3	0	0	0
485	1249	Spinta idrostatica	0	0	898	0	0	0	486	1249	Acqua canale	0	0	-1.9E3	0	0	0
487	1280	Spinta idrostatica	0	0	878.8	0	0	0	488	1280	Acqua canale	0	0	-1.8E3	0	0	0
489	1311	Spinta idrostatica	0	0	844	0	0	0	490	1311	Acqua canale	0	0	-1.7E3	0	0	0
491	1342	Spinta idrostatica	0	0	795.2	0	0	0	492	1342	Acqua canale	0	0	-1640	0	0	0
493	1383	Spinta idrostatica	0	0	376.6	0	0	0	494	1383	Acqua canale	0	0	-7.8E2	0	0	0
495	826	Spinta idrostatica	0	0	359.7	0	0	0	496	864	Spinta idrostatica	0	0	770.5	0	0	0
497	826	Acqua canale	0	0	-7.4E2	0	0	0	498	864	Acqua canale	0	0	-1.6E3	0	0	0
499	891	Spinta idrostatica	0	0	865.7	0	0	0	500	891	Acqua canale	0	0	-1.8E3	0	0	0
501	922	Spinta idrostatica	0	0	888.7	0	0	0	502	922	Acqua canale	0	0	-1.8E3	0	0	0
503	953	Spinta idrostatica	0	0	900.7	0	0	0	504	953	Acqua canale	0	0	-1.9E3	0	0	0
505	984	Spinta idrostatica	0	0	905.8	0	0	0	506	984	Acqua canale	0	0	-1.9E3	0	0	0
507	1015	Spinta idrostatica	0	0	907.5	0	0	0	508	1015	Acqua canale	0	0	-1.9E3	0	0	0
509	1050	Spinta idrostatica	0	0	907.9	0	0	0	510	1050	Acqua canale	0	0	-1.9E3	0	0	0
511	1078	Spinta idrostatica	0	0	908.1	0	0	0	512	1078	Acqua canale	0	0	-1.9E3	0	0	0
513	1105	Spinta idrostatica	0	0	908	0	0	0	514	1105	Acqua canale	0	0	-1.9E3	0	0	0

Interventi di miglioramento della diga di Cepparello nel Comune di Poggibonsi (SI)

ET.09.4 – Tabulati di calcolo_Canali fagatori con fondazioni su pali

Indice	Nodo	Condizione	Fx	Fy	Fz	Mx	My	Mz	Indice	Nodo	Condizione	Fx	Fy	Fz	Mx	My	Mz
515	1132	Spinta idrostatica	0	0	908.1	0	0	0	516	1132	Acqua canale	0	0	-1.9E3	0	0	0
517	1165	Spinta idrostatica	0	0	907.9	0	0	0	518	1165	Acqua canale	0	0	-1.9E3	0	0	0
519	1198	Spinta idrostatica	0	0	907.5	0	0	0	520	1198	Acqua canale	0	0	-1.9E3	0	0	0
521	1229	Spinta idrostatica	0	0	905.7	0	0	0	522	1229	Acqua canale	0	0	-1.9E3	0	0	0
523	1260	Spinta idrostatica	0	0	900.4	0	0	0	524	1260	Acqua canale	0	0	-1.9E3	0	0	0
525	1291	Spinta idrostatica	0	0	887.5	0	0	0	526	1291	Acqua canale	0	0	-1.8E3	0	0	0
527	1322	Spinta idrostatica	0	0	860.6	0	0	0	528	1322	Acqua canale	0	0	-1.8E3	0	0	0
529	1349	Spinta idrostatica	0	0	786.6	0	0	0	530	1349	Acqua canale	0	0	-1.6E3	0	0	0
531	1384	Spinta idrostatica	0	0	350.6	0	0	0	532	1384	Acqua canale	0	0	-7.2E2	0	0	0
533	828	Spinta idrostatica	0	0	159.1	0	0	0	534	848	Spinta idrostatica	0	0	404.8	0	0	0
535	828	Acqua canale	0	0	-3.3E2	0	0	0	536	848	Acqua canale	0	0	-8.3E2	0	0	0
537	877	Spinta idrostatica	0	0	432.8	0	0	0	538	877	Acqua canale	0	0	-8.9E2	0	0	0
539	910	Spinta idrostatica	0	0	444.8	0	0	0	540	910	Acqua canale	0	0	-9.2E2	0	0	0
541	939	Spinta idrostatica	0	0	450.4	0	0	0	542	939	Acqua canale	0	0	-929	0	0	0
543	972	Spinta idrostatica	0	0	452.8	0	0	0	544	972	Acqua canale	0	0	-9.3E2	0	0	0
545	1001	Spinta idrostatica	0	0	453.6	0	0	0	546	1001	Acqua canale	0	0	-9.4E2	0	0	0
547	1034	Spinta idrostatica	0	0	453.8	0	0	0	548	1034	Acqua canale	0	0	-9.4E2	0	0	0
549	1065	Spinta idrostatica	0	0	453.8	0	0	0	550	1065	Acqua canale	0	0	-936	0	0	0
551	1107	Spinta idrostatica	0	0	453.8	0	0	0	552	1107	Acqua canale	0	0	-936	0	0	0
553	1146	Spinta idrostatica	0	0	453.8	0	0	0	554	1146	Acqua canale	0	0	-936	0	0	0
555	1177	Spinta idrostatica	0	0	453.8	0	0	0	556	1177	Acqua canale	0	0	-9.4E2	0	0	0
557	1210	Spinta idrostatica	0	0	453.7	0	0	0	558	1210	Acqua canale	0	0	-9.4E2	0	0	0
559	1239	Spinta idrostatica	0	0	453.3	0	0	0	560	1239	Acqua canale	0	0	-935	0	0	0
561	1272	Spinta idrostatica	0	0	452	0	0	0	562	1272	Acqua canale	0	0	-9.3E2	0	0	0
563	1301	Spinta idrostatica	0	0	448.6	0	0	0	564	1301	Acqua canale	0	0	-9.3E2	0	0	0
565	1334	Spinta idrostatica	0	0	440.9	0	0	0	566	1334	Acqua canale	0	0	-9.1E2	0	0	0
567	1363	Spinta idrostatica	0	0	367.1	0	0	0	568	1363	Acqua canale	0	0	-7.6E2	0	0	0
569	1386	Spinta idrostatica	0	0	182.7	0	0	0	570	1386	Acqua canale	0	0	-3.8E2	0	0	0
571	1371	Acqua canale	-242	0	0	0	0	0	572	2000	Acqua canale	-5.6E2	0	0	0	0	0
573	1999	Acqua canale	-1.2E3	0	0	0	0	0	574	1359	Acqua canale	-5.8E2	0	0	0	0	0
575	1371	Pesi strutturali	339.6	0	-72.3	0	0	0	576	2000	Pesi strutturali	475.9	0	-1.3E2	0	0	0
577	1359	Pesi strutturali	816	0	-1.7E2	0	0	0	578	1999	Pesi strutturali	1.0E3	0	-2.7E2	0	0	0
579	1371	Variabile da traffico	117.6	0	-39.7	0	0	0	580	2000	Variabile da traffico	258.6	0	-87.4	0	0	0
581	1359	Variabile da traffico	282.1	0	-95.3	0	0	0	582	1999	Variabile da traffico	560.9	0	-1.9E2	0	0	0
583	1371	Terreno sisma X SLV	150.4	0	0	0	0	0	584	2000	Terreno sisma X SLV	307.8	0	0	0	0	0
585	1359	Terreno sisma X SLV	360.9	0	0	0	0	0	586	1999	Terreno sisma X SLV	668.2	0	0	0	0	0
587	1371	Terreno sisma X SLO	56.8	0	0	0	0	0	588	2000	Terreno sisma X SLO	116.3	0	0	0	0	0
589	1359	Terreno sisma X SLO	136.3	0	0	0	0	0	590	1999	Terreno sisma X SLO	252.4	0	0	0	0	0
591	1371	Terreno sisma X SLD	67.7	0	0	0	0	0	592	2000	Terreno sisma X SLD	138.6	0	0	0	0	0
593	1359	Terreno sisma X SLD	162.6	0	0	0	0	0	594	1999	Terreno sisma X SLD	301	0	0	0	0	0
595	1997	Acqua canale	-1.3E3	0	0	0	0	0	596	1332	Acqua canale	-6.3E2	0	0	0	0	0
597	1332	Pesi strutturali	958.1	0	-2.0E2	0	0	0	598	1997	Pesi strutturali	1.1E3	0	-3.0E2	0	0	0
599	1332	Variabile da traffico	330.9	0	-1.1E2	0	0	0	600	1997	Variabile da traffico	617.7	0	-2.1E2	0	0	0
601	1332	Terreno sisma X SLV	423.4	0	0	0	0	0	602	1997	Terreno sisma X SLV	736.3	0	0	0	0	0
603	1332	Terreno sisma X SLO	160	0	0	0	0	0	604	1997	Terreno sisma X SLO	278.1	0	0	0	0	0
605	1332	Terreno sisma X SLD	190.7	0	0	0	0	0	606	1997	Terreno sisma X SLD	331.7	0	0	0	0	0
607	1995	Acqua canale	-1.3E3	0	0	0	0	0	608	1297	Acqua canale	-6.4E2	0	0	0	0	0
609	1297	Pesi strutturali	966.1	0	-2.1E2	0	0	0	610	1995	Pesi strutturali	1.2E3	0	-3.1E2	0	0	0
611	1297	Variabile da traffico	333.8	0	-1.1E2	0	0	0	612	1995	Variabile da traffico	638.2	0	-2.2E2	0	0	0
613	1297	Terreno sisma X SLV	427.1	0	0	0	0	0	614	1995	Terreno sisma X SLV	760.5	0	0	0	0	0
615	1297	Terreno sisma X SLO	161.3	0	0	0	0	0	616	1995	Terreno sisma X SLO	287.3	0	0	0	0	0
617	1297	Terreno sisma X SLD	192.4	0	0	0	0	0	618	1995	Terreno sisma X SLD	342.6	0	0	0	0	0
619	1993	Acqua canale	-1.4E3	0	0	0	0	0	620	1270	Acqua canale	-6.5E2	0	0	0	0	0
621	1270	Pesi strutturali	971.3	0	-2.1E2	0	0	0	622	1993	Pesi strutturali	1209	0	-3.2E2	0	0	0

Interventi di miglioramento della diga di Cepparello nel Comune di Poggibonsi (SI)

ET.09.4 – Tabulati di calcolo_Canali fuggatori con fondazioni su pali

Indice	Nodo	Condizione	Fx	Fy	Fz	Mx	My	Mz	Indice	Nodo	Condizione	Fx	Fy	Fz	Mx	My	Mz
623	1270	Variabile da traffico	335.7	0	-1.1E2	0	0	0	624	1993	Variabile da traffico	652.1	0	-2.2E2	0	0	0
625	1270	Terreno sisma X SLV	429.5	0	0	0	0	0	626	1993	Terreno sisma X SLV	777	0	0	0	0	0
627	1270	Terreno sisma X SLO	162.2	0	0	0	0	0	628	1993	Terreno sisma X SLO	293.5	0	0	0	0	0
629	1270	Terreno sisma X SLD	193.5	0	0	0	0	0	630	1993	Terreno sisma X SLD	350	0	0	0	0	0
631	1991	Acqua canale	-1406	0	0	0	0	0	632	1235	Acqua canale	-6.6E2	0	0	0	0	0
633	1235	Pesi strutturali	975.9	0	-2.1E2	0	0	0	634	1991	Pesi strutturali	1.2E3	0	-3.3E2	0	0	0
635	1235	Variabile da traffico	337.4	0	-114	0	0	0	636	1991	Variabile da traffico	665.4	0	-2.2E2	0	0	0
637	1235	Terreno sisma X SLV	431.6	0	0	0	0	0	638	1991	Terreno sisma X SLV	792.6	0	0	0	0	0
639	1235	Terreno sisma X SLO	163	0	0	0	0	0	640	1991	Terreno sisma X SLO	299.4	0	0	0	0	0
641	1235	Terreno sisma X SLD	194.4	0	0	0	0	0	642	1991	Terreno sisma X SLD	357.1	0	0	0	0	0
643	1989	Acqua canale	-1.4E3	0	0	0	0	0	644	1208	Acqua canale	-6.7E2	0	0	0	0	0
645	1208	Pesi strutturali	979.8	0	-2.1E2	0	0	0	646	1989	Pesi strutturali	1.3E3	0	-3.3E2	0	0	0
647	1208	Variabile da traffico	338.8	0	-1.1E2	0	0	0	648	1989	Variabile da traffico	676.8	0	-2.3E2	0	0	0
649	1208	Terreno sisma X SLV	433.4	0	0	0	0	0	650	1989	Terreno sisma X SLV	806.1	0	0	0	0	0
651	1208	Terreno sisma X SLO	163.7	0	0	0	0	0	652	1989	Terreno sisma X SLO	304.5	0	0	0	0	0
653	1208	Terreno sisma X SLD	195.2	0	0	0	0	0	654	1989	Terreno sisma X SLD	363.1	0	0	0	0	0
655	1987	Acqua canale	-1.4E3	0	0	0	0	0	656	1173	Acqua canale	-6.8E2	0	0	0	0	0
657	1173	Pesi strutturali	982.2	0	-2.1E2	0	0	0	658	1987	Pesi strutturali	1.3E3	0	-3.3E2	0	0	0
659	1173	Variabile da traffico	339.6	0	-1.1E2	0	0	0	660	1987	Variabile da traffico	683.7	0	-231	0	0	0
661	1173	Terreno sisma X SLV	434.5	0	0	0	0	0	662	1987	Terreno sisma X SLV	814.3	0	0	0	0	0
663	1173	Terreno sisma X SLO	164.1	0	0	0	0	0	664	1987	Terreno sisma X SLO	307.6	0	0	0	0	0
665	1173	Terreno sisma X SLD	195.7	0	0	0	0	0	666	1987	Terreno sisma X SLD	366.8	0	0	0	0	0
667	1985	Acqua canale	-1.5E3	0	0	0	0	0	668	1142	Acqua canale	-6.8E2	0	0	0	0	0
669	1142	Pesi strutturali	983.5	0	-2.1E2	0	0	0	670	1985	Pesi strutturali	1.3E3	0	-3.4E2	0	0	0
671	1142	Variabile da traffico	340.1	0	-1.1E2	0	0	0	672	1985	Variabile da traffico	687.2	0	-2.3E2	0	0	0
673	1142	Terreno sisma X SLV	435	0	0	0	0	0	674	1985	Terreno sisma X SLV	818.4	0	0	0	0	0
675	1142	Terreno sisma X SLO	164.3	0	0	0	0	0	676	1985	Terreno sisma X SLO	309.1	0	0	0	0	0
677	1142	Terreno sisma X SLD	196	0	0	0	0	0	678	1985	Terreno sisma X SLD	368.7	0	0	0	0	0
679	1983	Acqua canale	-1.5E3	0	0	0	0	0	680	1092	Acqua canale	-6.8E2	0	0	0	0	0
681	1092	Pesi strutturali	984	0	-2.1E2	0	0	0	682	1983	Pesi strutturali	1.3E3	0	-3.4E2	0	0	0
683	1092	Variabile da traffico	340.3	0	-115	0	0	0	684	1983	Variabile da traffico	688.6	0	-2.3E2	0	0	0
685	1092	Terreno sisma X SLV	435.3	0	0	0	0	0	686	1983	Terreno sisma X SLV	820	0	0	0	0	0
687	1092	Terreno sisma X SLO	164.4	0	0	0	0	0	688	1983	Terreno sisma X SLO	309.8	0	0	0	0	0
689	1092	Terreno sisma X SLD	196.1	0	0	0	0	0	690	1983	Terreno sisma X SLD	369.4	0	0	0	0	0
691	1981	Acqua canale	-1.5E3	0	0	0	0	0	692	1061	Acqua canale	-6.8E2	0	0	0	0	0
693	1061	Pesi strutturali	984.1	0	-2.1E2	0	0	0	694	1981	Pesi strutturali	1.3E3	0	-3.4E2	0	0	0
695	1061	Variabile da traffico	340.3	0	-115	0	0	0	696	1981	Variabile da traffico	689	0	-2.3E2	0	0	0
697	1061	Terreno sisma X SLV	435.3	0	0	0	0	0	698	1981	Terreno sisma X SLV	820.5	0	0	0	0	0
699	1061	Terreno sisma X SLO	164.4	0	0	0	0	0	700	1981	Terreno sisma X SLO	310	0	0	0	0	0
701	1061	Terreno sisma X SLD	196.1	0	0	0	0	0	702	1981	Terreno sisma X SLD	369.6	0	0	0	0	0
703	1979	Acqua canale	-1.5E3	0	0	0	0	0	704	1030	Acqua canale	-683	0	0	0	0	0
705	1030	Pesi strutturali	984.1	0	-2.1E2	0	0	0	706	1979	Pesi strutturali	1.3E3	0	-3.4E2	0	0	0
707	1030	Variabile da traffico	340.3	0	-115	0	0	0	708	1979	Variabile da traffico	689	0	-2.3E2	0	0	0
709	1030	Terreno sisma X SLV	435.3	0	0	0	0	0	710	1979	Terreno sisma X SLV	820.6	0	0	0	0	0
711	1030	Terreno sisma X SLO	164.5	0	0	0	0	0	712	1979	Terreno sisma X SLO	310	0	0	0	0	0
713	1030	Terreno sisma X SLD	196.1	0	0	0	0	0	714	1979	Terreno sisma X SLD	369.7	0	0	0	0	0
715	1977	Acqua canale	-1.5E3	0	0	0	0	0	716	999	Acqua canale	-6.8E2	0	0	0	0	0
717	999	Pesi strutturali	984	0	-2.1E2	0	0	0	718	1977	Pesi strutturali	1.3E3	0	-3.4E2	0	0	0
719	999	Variabile da traffico	340.3	0	-115	0	0	0	720	1977	Variabile da traffico	688.7	0	-2.3E2	0	0	0
721	999	Terreno sisma X SLV	435.3	0	0	0	0	0	722	1977	Terreno sisma X SLV	820.2	0	0	0	0	0
723	999	Terreno sisma X SLO	164.4	0	0	0	0	0	724	1977	Terreno sisma X SLO	309.8	0	0	0	0	0
725	999	Terreno sisma X SLD	196.1	0	0	0	0	0	726	1977	Terreno sisma X SLD	369.5	0	0	0	0	0
727	1975	Acqua canale	-1.5E3	0	0	0	0	0	728	968	Acqua canale	-682	0	0	0	0	0
729	968	Pesi strutturali	983.5	0	-2.1E2	0	0	0	730	1975	Pesi strutturali	1.3E3	0	-3.4E2	0	0	0
731	968	Variabile da traffico	340.1	0	-1.1E2	0	0	0	732	1975	Variabile da traffico	687.4	0	-2.3E2	0	0	0

Interventi di miglioramento della diga di Cepparello nel Comune di Poggibonsi (SI)

ET.09.4 – Tabulati di calcolo_Canali fagatori con fondazioni su pali

Indice	Nodo	Condizione	Fx	Fy	Fz	Mx	My	Mz	Indice	Nodo	Condizione	Fx	Fy	Fz	Mx	My	Mz
733	968	Terreno sisma X SLV	435.1	0	0	0	0	0	734	1975	Terreno sisma X SLV	818.6	0	0	0	0	0
735	968	Terreno sisma X SLO	164.3	0	0	0	0	0	736	1975	Terreno sisma X SLO	309.2	0	0	0	0	0
737	968	Terreno sisma X SLD	196	0	0	0	0	0	738	1975	Terreno sisma X SLD	368.8	0	0	0	0	0
739	1973	Acqua canale	-1.4E3	0	0	0	0	0	740	937	Acqua canale	-6.8E2	0	0	0	0	0
741	937	Pesi strutturali	982	0	-209	0	0	0	742	1973	Pesi strutturali	1.3E3	0	-3.3E2	0	0	0
743	937	Variabile da traffico	339.6	0	-1.1E2	0	0	0	744	1973	Variabile da traffico	683.4	0	-2.3E2	0	0	0
745	937	Terreno sisma X SLV	434.4	0	0	0	0	0	746	1973	Terreno sisma X SLV	813.9	0	0	0	0	0
747	937	Terreno sisma X SLO	164.1	0	0	0	0	0	748	1973	Terreno sisma X SLO	307.4	0	0	0	0	0
749	937	Terreno sisma X SLD	195.7	0	0	0	0	0	750	1973	Terreno sisma X SLD	366.6	0	0	0	0	0
751	1971	Acqua canale	-1.4E3	0	0	0	0	0	752	906	Acqua canale	-6.7E2	0	0	0	0	0
753	906	Pesi strutturali	978.2	0	-2.1E2	0	0	0	754	1971	Pesi strutturali	1.2E3	0	-3.3E2	0	0	0
755	906	Variabile da traffico	338.2	0	-1.1E2	0	0	0	756	1971	Variabile da traffico	673.2	0	-2.3E2	0	0	0
757	906	Terreno sisma X SLV	432.6	0	0	0	0	0	758	1971	Terreno sisma X SLV	801.9	0	0	0	0	0
759	906	Terreno sisma X SLO	163.4	0	0	0	0	0	760	1971	Terreno sisma X SLO	302.9	0	0	0	0	0
761	906	Terreno sisma X SLD	194.9	0	0	0	0	0	762	1971	Terreno sisma X SLD	361.2	0	0	0	0	0
763	1969	Acqua canale	-1.4E3	0	0	0	0	0	764	875	Acqua canale	-657	0	0	0	0	0
765	875	Pesi strutturali	969.5	0	-2.1E2	0	0	0	766	1969	Pesi strutturali	1.2E3	0	-3.2E2	0	0	0
767	875	Variabile da traffico	335	0	-1.1E2	0	0	0	768	1969	Variabile da traffico	650.8	0	-2.2E2	0	0	0
769	875	Terreno sisma X SLV	428.6	0	0	0	0	0	770	1969	Terreno sisma X SLV	775.3	0	0	0	0	0
771	875	Terreno sisma X SLO	161.9	0	0	0	0	0	772	1969	Terreno sisma X SLO	292.9	0	0	0	0	0
773	875	Terreno sisma X SLD	193.1	0	0	0	0	0	774	1969	Terreno sisma X SLD	349.3	0	0	0	0	0
775	1967	Acqua canale	-1.3E3	0	0	0	0	0	776	844	Acqua canale	-5.6E2	0	0	0	0	0
777	844	Pesi strutturali	825.5	0	-1.8E2	0	0	0	778	1967	Pesi strutturali	1.1E3	0	-2.9E2	0	0	0
779	844	Variabile da traffico	285.6	0	-96.5	0	0	0	780	1967	Variabile da traffico	588.3	0	-2.0E2	0	0	0
781	844	Terreno sisma X SLV	365.3	0	0	0	0	0	782	1967	Terreno sisma X SLV	700.5	0	0	0	0	0
783	844	Terreno sisma X SLO	138	0	0	0	0	0	784	1967	Terreno sisma X SLO	264.6	0	0	0	0	0
785	844	Terreno sisma X SLD	164.5	0	0	0	0	0	786	1967	Terreno sisma X SLD	315.6	0	0	0	0	0
787	1962	Acqua canale	-5.5E2	0	0	0	0	0	788	813	Acqua canale	-273	0	0	0	0	0
789	813	Pesi strutturali	343.8	0	-73.2	0	0	0	790	1962	Pesi strutturali	496.7	0	-1.3E2	0	0	0
791	813	Variabile da traffico	119.1	0	-40.2	0	0	0	792	1962	Variabile da traffico	270.5	0	-91.4	0	0	0
793	813	Terreno sisma X SLV	152.3	0	0	0	0	0	794	1962	Terreno sisma X SLV	321.9	0	0	0	0	0
795	813	Terreno sisma X SLO	57.5	0	0	0	0	0	796	1962	Terreno sisma X SLO	121.6	0	0	0	0	0
797	813	Terreno sisma X SLD	68.6	0	0	0	0	0	798	1962	Terreno sisma X SLD	145	0	0	0	0	0
799	2204	Acqua canale	-4.7E2	0	0	0	0	0	800	2203	Acqua canale	-9.8E2	0	0	0	0	0
801	2204	Pesi strutturali	193	0	-65.2	0	0	0	802	2203	Pesi strutturali	401.3	0	-1.4E2	0	0	0
803	2204	Variabile da traffico	263.7	0	-89.1	0	0	0	804	2203	Variabile da traffico	547.5	0	-185	0	0	0
805	2204	Terreno sisma X SLV	287.1	0	0	0	0	0	806	2203	Terreno sisma X SLV	596	0	0	0	0	0
807	2204	Terreno sisma X SLO	108.4	0	0	0	0	0	808	2203	Terreno sisma X SLO	225.2	0	0	0	0	0
809	2204	Terreno sisma X SLD	129.3	0	0	0	0	0	810	2203	Terreno sisma X SLD	268.5	0	0	0	0	0
811	2201	Acqua canale	-1.1E3	0	0	0	0	0	812	2201	Pesi strutturali	426.8	0	-1.4E2	0	0	0
813	2201	Variabile da traffico	581.2	0	-2.0E2	0	0	0	814	2201	Terreno sisma X SLV	632.8	0	0	0	0	0
815	2201	Terreno sisma X SLO	239	0	0	0	0	0	816	2201	Terreno sisma X SLD	285.1	0	0	0	0	0
817	2199	Acqua canale	-1.1E3	0	0	0	0	0	818	2199	Pesi strutturali	444.3	0	-1.5E2	0	0	0
819	2199	Variabile da traffico	605	0	-2.0E2	0	0	0	820	2199	Terreno sisma X SLV	658.7	0	0	0	0	0
821	2199	Terreno sisma X SLO	248.8	0	0	0	0	0	822	2199	Terreno sisma X SLD	296.7	0	0	0	0	0
823	2197	Acqua canale	-1132	0	0	0	0	0	824	2197	Pesi strutturali	459.6	0	-1.6E2	0	0	0
825	2197	Variabile da traffico	626.4	0	-2.1E2	0	0	0	826	2197	Terreno sisma X SLV	681.9	0	0	0	0	0
827	2197	Terreno sisma X SLO	257.6	0	0	0	0	0	828	2197	Terreno sisma X SLD	307.2	0	0	0	0	0
829	2195	Acqua canale	-1.2E3	0	0	0	0	0	830	2195	Pesi strutturali	478.4	0	-1.6E2	0	0	0
831	2195	Variabile da traffico	653.7	0	-2.2E2	0	0	0	832	2195	Terreno sisma X SLV	711.6	0	0	0	0	0
833	2195	Terreno sisma X SLO	268.8	0	0	0	0	0	834	2195	Terreno sisma X SLD	320.6	0	0	0	0	0
835	2193	Acqua canale	-1.2E3	0	0	0	0	0	836	2193	Pesi strutturali	495.4	0	-1.7E2	0	0	0
837	2193	Variabile da traffico	678.6	0	-2.3E2	0	0	0	838	2193	Terreno sisma X SLV	738.8	0	0	0	0	0
839	2193	Terreno sisma X SLO	279.1	0	0	0	0	0	840	2193	Terreno sisma X SLD	332.8	0	0	0	0	0

Interventi di miglioramento della diga di Cepparello nel Comune di Poggibonsi (SI)

ET.09.4 – Tabulati di calcolo_Canali fuggatori con fondazioni su pali

Indice	Nodo	Condizione	Fx	Fy	Fz	Mx	My	Mz	Indice	Nodo	Condizione	Fx	Fy	Fz	Mx	My	Mz
841	2191	Acqua canale	-1.2E3	0	0	0	0	0	842	2191	Pesi strutturali	504.4	0	-1.7E2	0	0	0
843	2191	Variabile da traffico	691.5	0	-2.3E2	0	0	0	844	2191	Terreno sisma X SLV	752.8	0	0	0	0	0
845	2191	Terreno sisma X SLO	284.4	0	0	0	0	0	846	2191	Terreno sisma X SLD	339.1	0	0	0	0	0
847	2189	Acqua canale	-1.2E3	0	0	0	0	0	848	2189	Pesi strutturali	508.6	0	-1.7E2	0	0	0
849	2189	Variabile da traffico	697.3	0	-2.4E2	0	0	0	850	2189	Terreno sisma X SLV	759.1	0	0	0	0	0
851	2189	Terreno sisma X SLO	286.7	0	0	0	0	0	852	2189	Terreno sisma X SLD	342	0	0	0	0	0
853	2187	Acqua canale	-1.3E3	0	0	0	0	0	854	2187	Pesi strutturali	510.2	0	-1.7E2	0	0	0
855	2187	Variabile da traffico	699.5	0	-2.4E2	0	0	0	856	2187	Terreno sisma X SLV	761.5	0	0	0	0	0
857	2187	Terreno sisma X SLO	287.7	0	0	0	0	0	858	2187	Terreno sisma X SLD	343	0	0	0	0	0
859	2185	Acqua canale	-1.3E3	0	0	0	0	0	860	2185	Pesi strutturali	510.7	0	-1.7E2	0	0	0
861	2185	Variabile da traffico	700.2	0	-2.4E2	0	0	0	862	2185	Terreno sisma X SLV	762.3	0	0	0	0	0
863	2185	Terreno sisma X SLO	287.9	0	0	0	0	0	864	2185	Terreno sisma X SLD	343.4	0	0	0	0	0
865	2183	Acqua canale	-1.3E3	0	0	0	0	0	866	2183	Pesi strutturali	510.7	0	-1.7E2	0	0	0
867	2183	Variabile da traffico	700.3	0	-2.4E2	0	0	0	868	2183	Terreno sisma X SLV	762.4	0	0	0	0	0
869	2183	Terreno sisma X SLO	288	0	0	0	0	0	870	2183	Terreno sisma X SLD	343.4	0	0	0	0	0
871	2181	Acqua canale	-1.3E3	0	0	0	0	0	872	2181	Pesi strutturali	510.4	0	-1.7E2	0	0	0
873	2181	Variabile da traffico	699.8	0	-2.4E2	0	0	0	874	2181	Terreno sisma X SLV	761.9	0	0	0	0	0
875	2181	Terreno sisma X SLO	287.8	0	0	0	0	0	876	2181	Terreno sisma X SLD	343.2	0	0	0	0	0
877	2179	Acqua canale	-1.2E3	0	0	0	0	0	878	2179	Pesi strutturali	509.1	0	-172	0	0	0
879	2179	Variabile da traffico	698	0	-2.4E2	0	0	0	880	2179	Terreno sisma X SLV	759.9	0	0	0	0	0
881	2179	Terreno sisma X SLO	287	0	0	0	0	0	882	2179	Terreno sisma X SLD	342.3	0	0	0	0	0
883	2177	Acqua canale	-1238	0	0	0	0	0	884	2177	Pesi strutturali	504.9	0	-1.7E2	0	0	0
885	2177	Variabile da traffico	692.4	0	-2.3E2	0	0	0	886	2177	Terreno sisma X SLV	753.7	0	0	0	0	0
887	2177	Terreno sisma X SLO	284.7	0	0	0	0	0	888	2177	Terreno sisma X SLD	339.5	0	0	0	0	0
889	2175	Acqua canale	-1.2E3	0	0	0	0	0	890	2175	Pesi strutturali	494.9	0	-1.7E2	0	0	0
891	2175	Variabile da traffico	678.6	0	-2.3E2	0	0	0	892	2175	Terreno sisma X SLV	738.7	0	0	0	0	0
893	2175	Terreno sisma X SLO	279	0	0	0	0	0	894	2175	Terreno sisma X SLD	332.8	0	0	0	0	0
895	2173	Acqua canale	-1.2E3	0	0	0	0	0	896	2173	Pesi strutturali	474.2	0	-1.6E2	0	0	0
897	2173	Variabile da traffico	650.2	0	-2.2E2	0	0	0	898	2173	Terreno sisma X SLV	707.8	0	0	0	0	0
899	2173	Terreno sisma X SLO	267.4	0	0	0	0	0	900	2173	Terreno sisma X SLD	318.9	0	0	0	0	0
901	2171	Acqua canale	-1.1E3	0	0	0	0	0	902	2171	Pesi strutturali	438.3	0	-1.5E2	0	0	0
903	2171	Variabile da traffico	600.6	0	-2.0E2	0	0	0	904	2171	Terreno sisma X SLV	653.9	0	0	0	0	0
905	2171	Terreno sisma X SLO	247	0	0	0	0	0	906	2171	Terreno sisma X SLD	294.6	0	0	0	0	0
907	2166	Acqua canale	-497	0	0	0	0	0	908	2166	Pesi strutturali	208	0	-70.3	0	0	0
909	2166	Variabile da traffico	284.9	0	-96.3	0	0	0	910	2166	Terreno sisma X SLV	310.1	0	0	0	0	0
911	2166	Terreno sisma X SLO	117.2	0	0	0	0	0	912	2166	Terreno sisma X SLD	139.7	0	0	0	0	0
913	2371	Acqua canale	-2.3E2	0	0	0	0	0	914	2370	Acqua canale	-4.8E2	0	0	0	0	0
915	2371	Pesi strutturali	11.3	0	-3.8	0	0	0	916	2370	Pesi strutturali	23.4	0	-7.9	0	0	0
917	2371	Variabile da traffico	251.8	0	-85.1	0	0	0	918	2370	Variabile da traffico	525.4	0	-1.8E2	0	0	0
919	2371	Terreno sisma X SLV	274.1	0	0	0	0	0	920	2370	Terreno sisma X SLV	572	0	0	0	0	0
921	2371	Terreno sisma X SLO	103.5	0	0	0	0	0	922	2370	Terreno sisma X SLO	216.1	0	0	0	0	0
923	2371	Terreno sisma X SLD	123.5	0	0	0	0	0	924	2370	Terreno sisma X SLD	257.7	0	0	0	0	0
925	2368	Acqua canale	-5.1E2	0	0	0	0	0	926	2368	Pesi strutturali	24.7	0	-8.3	0	0	0
927	2368	Variabile da traffico	556.9	0	-1.9E2	0	0	0	928	2368	Terreno sisma X SLV	606.2	0	0	0	0	0
929	2368	Terreno sisma X SLO	229	0	0	0	0	0	930	2368	Terreno sisma X SLD	273.1	0	0	0	0	0
931	2366	Acqua canale	-5.2E2	0	0	0	0	0	932	2366	Pesi strutturali	25.6	0	-8.7	0	0	0
933	2366	Variabile da traffico	574.5	0	-1.9E2	0	0	0	934	2366	Terreno sisma X SLV	625.4	0	0	0	0	0
935	2366	Terreno sisma X SLO	236.2	0	0	0	0	0	936	2366	Terreno sisma X SLD	281.7	0	0	0	0	0
937	2364	Acqua canale	-5.4E2	0	0	0	0	0	938	2364	Pesi strutturali	26.6	0	-9	0	0	0
939	2364	Variabile da traffico	593.8	0	-2.0E2	0	0	0	940	2364	Terreno sisma X SLV	646.4	0	0	0	0	0
941	2364	Terreno sisma X SLO	244.2	0	0	0	0	0	942	2364	Terreno sisma X SLD	291.2	0	0	0	0	0

Interventi di miglioramento della diga di Cepparello nel Comune di Poggibonsi (SI)

ET.09.4 – Tabulati di calcolo_Canali fagatori con fondazioni su pali

Indice	Nodo	Condizione	Fx	Fy	Fz	Mx	My	Mz	Indice	Nodo	Condizione	Fx	Fy	Fz	Mx	My	Mz
943	2362	Acqua canale	-5.8E2	0	0	0	0	0	944	2362	Pesi strutturali	28.3	0	-9.6	0	0	0
945	2362	Variabile da traffico	642.9	0	-2.2E2	0	0	0	946	2362	Terreno sisma X SLV	699.9	0	0	0	0	0
947	2362	Terreno sisma X SLO	264.4	0	0	0	0	0	948	2362	Terreno sisma X SLD	315.3	0	0	0	0	0
949	2360	Acqua canale	-6.2E2	0	0	0	0	0	950	2360	Pesi strutturali	29.9	0	-10.1	0	0	0
951	2360	Variabile da traffico	690.3	0	-2.3E2	0	0	0	952	2360	Terreno sisma X SLV	751.5	0	0	0	0	0
953	2360	Terreno sisma X SLO	283.9	0	0	0	0	0	954	2360	Terreno sisma X SLD	338.6	0	0	0	0	0
955	2358	Acqua canale	-627	0	0	0	0	0	956	2358	Pesi strutturali	30.5	0	-10.3	0	0	0
957	2358	Variabile da traffico	703.9	0	-2.4E2	0	0	0	958	2358	Terreno sisma X SLV	766.3	0	0	0	0	0
959	2358	Terreno sisma X SLO	289.5	0	0	0	0	0	960	2358	Terreno sisma X SLD	345.2	0	0	0	0	0
961	2356	Acqua canale	-6.3E2	0	0	0	0	0	962	2356	Pesi strutturali	30.8	0	-10.4	0	0	0
963	2356	Variabile da traffico	709.1	0	-2.4E2	0	0	0	964	2356	Terreno sisma X SLV	772	0	0	0	0	0
965	2356	Terreno sisma X SLO	291.6	0	0	0	0	0	966	2356	Terreno sisma X SLD	347.8	0	0	0	0	0
967	2354	Acqua canale	-6.3E2	0	0	0	0	0	968	2354	Pesi strutturali	30.9	0	-10.4	0	0	0
969	2354	Variabile da traffico	711	0	-2.4E2	0	0	0	970	2354	Terreno sisma X SLV	774	0	0	0	0	0
971	2354	Terreno sisma X SLO	292.4	0	0	0	0	0	972	2354	Terreno sisma X SLD	348.7	0	0	0	0	0
973	2352	Acqua canale	-634	0	0	0	0	0	974	2352	Pesi strutturali	30.9	0	-10.4	0	0	0
975	2352	Variabile da traffico	711.6	0	-2.4E2	0	0	0	976	2352	Terreno sisma X SLV	774.6	0	0	0	0	0
977	2352	Terreno sisma X SLO	292.6	0	0	0	0	0	978	2352	Terreno sisma X SLD	349	0	0	0	0	0
979	2350	Acqua canale	-6.3E2	0	0	0	0	0	980	2350	Pesi strutturali	30.9	0	-10.4	0	0	0
981	2350	Variabile da traffico	711.6	0	-2.4E2	0	0	0	982	2350	Terreno sisma X SLV	774.7	0	0	0	0	0
983	2350	Terreno sisma X SLO	292.6	0	0	0	0	0	984	2350	Terreno sisma X SLD	349	0	0	0	0	0
985	2348	Acqua canale	-6.3E2	0	0	0	0	0	986	2348	Pesi strutturali	30.9	0	-10.4	0	0	0
987	2348	Variabile da traffico	711.3	0	-2.4E2	0	0	0	988	2348	Terreno sisma X SLV	774.4	0	0	0	0	0
989	2348	Terreno sisma X SLO	292.5	0	0	0	0	0	990	2348	Terreno sisma X SLD	348.8	0	0	0	0	0
991	2346	Acqua canale	-6.3E2	0	0	0	0	0	992	2346	Pesi strutturali	30.8	0	-10.4	0	0	0
993	2346	Variabile da traffico	710	0	-2.4E2	0	0	0	994	2346	Terreno sisma X SLV	772.9	0	0	0	0	0
995	2346	Terreno sisma X SLO	292	0	0	0	0	0	996	2346	Terreno sisma X SLD	348.2	0	0	0	0	0
997	2344	Acqua canale	-6.3E2	0	0	0	0	0	998	2344	Pesi strutturali	30.6	0	-10.3	0	0	0
999	2344	Variabile da traffico	705.8	0	-2.4E2	0	0	0	1000	2344	Terreno sisma X SLV	768.4	0	0	0	0	0
1001	2344	Terreno sisma X SLO	290.3	0	0	0	0	0	1002	2344	Terreno sisma X SLD	346.1	0	0	0	0	0
1003	2342	Acqua canale	-6.2E2	0	0	0	0	0	1004	2342	Pesi strutturali	30	0	-10.2	0	0	0
1005	2342	Variabile da traffico	695.2	0	-2.3E2	0	0	0	1006	2342	Terreno sisma X SLV	756.9	0	0	0	0	0
1007	2342	Terreno sisma X SLO	285.9	0	0	0	0	0	1008	2342	Terreno sisma X SLD	341	0	0	0	0	0
1009	2340	Acqua canale	-5.9E2	0	0	0	0	0	1010	2340	Pesi strutturali	28.8	0	-9.7	0	0	0
1011	2340	Variabile da traffico	671.3	0	-2.3E2	0	0	0	1012	2340	Terreno sisma X SLV	730.8	0	0	0	0	0
1013	2340	Terreno sisma X SLO	276.1	0	0	0	0	0	1014	2340	Terreno sisma X SLD	329.2	0	0	0	0	0
1015	2338	Acqua canale	-5.4E2	0	0	0	0	0	1016	2338	Pesi strutturali	26.3	0	-8.9	0	0	0
1017	2338	Variabile da traffico	600.2	0	-2.0E2	0	0	0	1018	2338	Terreno sisma X SLV	653.4	0	0	0	0	0
1019	2338	Terreno sisma X SLO	246.8	0	0	0	0	0	1020	2338	Terreno sisma X SLD	294.3	0	0	0	0	0
1021	2333	Acqua canale	-248	0	0	0	0	0	1022	2333	Pesi strutturali	12.3	0	-4.2	0	0	0
1023	2333	Variabile da traffico	272.8	0	-92.2	0	0	0	1024	2333	Terreno sisma X SLV	296.9	0	0	0	0	0
1025	2333	Terreno sisma X SLO	112.2	0	0	0	0	0	1026	2333	Terreno sisma X SLD	133.8	0	0	0	0	0
1027	2577	Acqua canale	-52.8	0	0	0	0	0	1028	2575	Acqua canale	-1.2E2	0	0	0	0	0
1029	2577	Variabile da traffico	116.5	0	-39.4	0	0	0	1030	2575	Variabile da traffico	252.2	0	-85.2	0	0	0
1031	2577	Terreno sisma X SLV	126.8	0	0	0	0	0	1032	2575	Terreno sisma X SLV	274.5	0	0	0	0	0
1033	2577	Terreno sisma X SLO	47.9	0	0	0	0	0	1034	2575	Terreno sisma X SLO	103.7	0	0	0	0	0
1035	2577	Terreno sisma X SLD	57.1	0	0	0	0	0	1036	2575	Terreno sisma X SLD	123.7	0	0	0	0	0
1037	2572	Acqua canale	-1.2E2	0	0	0	0	0	1038	2572	Variabile da traffico	272.8	0	-92.2	0	0	0
1039	2572	Terreno sisma X SLV	297	0	0	0	0	0	1040	2572	Terreno sisma X SLO	112.2	0	0	0	0	0
1041	2572	Terreno sisma X SLD	133.8	0	0	0	0	0	1042	2568	Acqua canale	-1.3E2	0	0	0	0	0
1043	2568	Variabile da traffico	275.2	0	-93	0	0	0	1044	2568	Terreno sisma X SLV	299.6	0	0	0	0	0

Interventi di miglioramento della diga di Cepparello nel Comune di Poggibonsi (SI)

ET.09.4 – Tabulati di calcolo_Canali fuggatori con fondazioni su pali

Indice	Nodo	Condizione	Fx	Fy	Fz	Mx	My	Mz	Indice	Nodo	Condizione	Fx	Fy	Fz	Mx	My	Mz
1045	2568	Terreno sisma X SLO	113.2	0	0	0	0	0	1046	2568	Terreno sisma X SLD	135	0	0	0	0	0
1047	2566	Acqua canale	-1.3E2	0	0	0	0	0	1048	2566	Variabile da traffico	278	0	-93.9	0	0	0
1049	2566	Terreno sisma X SLV	302.6	0	0	0	0	0	1050	2566	Terreno sisma X SLO	114.3	0	0	0	0	0
1051	2566	Terreno sisma X SLD	136.3	0	0	0	0	0	1052	2562	Acqua canale	-1.5E2	0	0	0	0	0
1053	2562	Variabile da traffico	317.6	0	-1.1E2	0	0	0	1054	2562	Terreno sisma X SLV	345.8	0	0	0	0	0
1055	2562	Terreno sisma X SLO	130.6	0	0	0	0	0	1056	2562	Terreno sisma X SLD	155.8	0	0	0	0	0
1057	2558	Acqua canale	-1.6E2	0	0	0	0	0	1058	2558	Variabile da traffico	357	0	-1.2E2	0	0	0
1059	2558	Terreno sisma X SLV	388.7	0	0	0	0	0	1060	2558	Terreno sisma X SLO	146.8	0	0	0	0	0
1061	2558	Terreno sisma X SLD	175.1	0	0	0	0	0	1062	2554	Acqua canale	-1.6E2	0	0	0	0	0
1063	2554	Variabile da traffico	359	0	-1.2E2	0	0	0	1064	2554	Terreno sisma X SLV	390.8	0	0	0	0	0
1065	2554	Terreno sisma X SLO	147.6	0	0	0	0	0	1066	2554	Terreno sisma X SLD	176.1	0	0	0	0	0
1067	2550	Acqua canale	-1.6E2	0	0	0	0	0	1068	2550	Variabile da traffico	359.7	0	-1.2E2	0	0	0
1069	2550	Terreno sisma X SLV	391.6	0	0	0	0	0	1070	2550	Terreno sisma X SLO	147.9	0	0	0	0	0
1071	2550	Terreno sisma X SLD	176.4	0	0	0	0	0	1072	2546	Acqua canale	-160	0	0	0	0	0
1073	2546	Variabile da traffico	360	0	-1.2E2	0	0	0	1074	2546	Terreno sisma X SLV	391.9	0	0	0	0	0
1075	2546	Terreno sisma X SLO	148	0	0	0	0	0	1076	2546	Terreno sisma X SLD	176.6	0	0	0	0	0
1077	2542	Acqua canale	-1.6E2	0	0	0	0	0	1078	2542	Variabile da traffico	360.1	0	-1.2E2	0	0	0
1079	2542	Terreno sisma X SLV	392	0	0	0	0	0	1080	2542	Terreno sisma X SLO	148.1	0	0	0	0	0
1081	2542	Terreno sisma X SLD	176.6	0	0	0	0	0	1082	2538	Acqua canale	-1.6E2	0	0	0	0	0
1083	2538	Variabile da traffico	360.1	0	-1.2E2	0	0	0	1084	2538	Terreno sisma X SLV	392	0	0	0	0	0
1085	2538	Terreno sisma X SLO	148.1	0	0	0	0	0	1086	2538	Terreno sisma X SLD	176.6	0	0	0	0	0
1087	2534	Acqua canale	-1.6E2	0	0	0	0	0	1088	2534	Variabile da traffico	360	0	-1.2E2	0	0	0
1089	2534	Terreno sisma X SLV	392	0	0	0	0	0	1090	2534	Terreno sisma X SLO	148.1	0	0	0	0	0
1091	2534	Terreno sisma X SLD	176.6	0	0	0	0	0	1092	2530	Acqua canale	-1.6E2	0	0	0	0	0
1093	2530	Variabile da traffico	359.9	0	-1.2E2	0	0	0	1094	2530	Terreno sisma X SLV	391.8	0	0	0	0	0
1095	2530	Terreno sisma X SLO	148	0	0	0	0	0	1096	2530	Terreno sisma X SLD	176.5	0	0	0	0	0
1097	2526	Acqua canale	-1.6E2	0	0	0	0	0	1098	2526	Variabile da traffico	359.3	0	-1.2E2	0	0	0
1099	2526	Terreno sisma X SLV	391.1	0	0	0	0	0	1100	2526	Terreno sisma X SLO	147.8	0	0	0	0	0
1101	2526	Terreno sisma X SLD	176.2	0	0	0	0	0	1102	2522	Acqua canale	-1.6E2	0	0	0	0	0
1103	2522	Variabile da traffico	357.8	0	-1.2E2	0	0	0	1104	2522	Terreno sisma X SLV	389.6	0	0	0	0	0
1105	2522	Terreno sisma X SLO	147.2	0	0	0	0	0	1106	2522	Terreno sisma X SLD	175.5	0	0	0	0	0
1107	2518	Acqua canale	-1.5E2	0	0	0	0	0	1108	2518	Variabile da traffico	354.5	0	-1.2E2	0	0	0
1109	2518	Terreno sisma X SLV	385.9	0	0	0	0	0	1110	2518	Terreno sisma X SLO	145.8	0	0	0	0	0
1111	2518	Terreno sisma X SLD	173.8	0	0	0	0	0	1112	2513	Acqua canale	-1.3E2	0	0	0	0	0
1113	2513	Variabile da traffico	295.5	0	-99.9	0	0	0	1114	2513	Terreno sisma X SLV	321.7	0	0	0	0	0
1115	2513	Terreno sisma X SLO	121.5	0	0	0	0	0	1116	2513	Terreno sisma X SLD	144.9	0	0	0	0	0
1117	2509	Acqua canale	-63.6	0	0	0	0	0	1118	2509	Variabile da traffico	119.5	0	-40.4	0	0	0
1119	2509	Terreno sisma X SLV	130.1	0	0	0	0	0	1120	2509	Terreno sisma X SLO	49.1	0	0	0	0	0
1121	2509	Terreno sisma X SLD	58.6	0	0	0	0	0	1122	2519	Acqua canale	85.8	0	0	0	0	0
1123	2524	Acqua canale	74.4	0	0	0	0	0	1124	2423	Acqua canale	281.7	0	0	0	0	0
1125	2419	Acqua canale	332.1	0	0	0	0	0	1126	2528	Acqua canale	75.7	0	0	0	0	0
1127	2425	Acqua canale	302.7	0	0	0	0	0	1128	2532	Acqua canale	80.7	0	0	0	0	0
1129	2415	Acqua canale	324.2	0	0	0	0	0	1130	2536	Acqua canale	87.1	0	0	0	0	0
1131	2409	Acqua canale	358.7	0	0	0	0	0	1132	2540	Acqua canale	94.8	0	0	0	0	0
1133	2402	Acqua canale	405.9	0	0	0	0	0	1134	2544	Acqua canale	98.9	0	0	0	0	0
1135	2397	Acqua canale	440.5	0	0	0	0	0	1136	2548	Acqua canale	94.7	0	0	0	0	0
1137	2401	Acqua canale	415	0	0	0	0	0	1138	2552	Acqua canale	87.4	0	0	0	0	0
1139	2408	Acqua canale	365.7	0	0	0	0	0	1140	2556	Acqua canale	81.7	0	0	0	0	0
1141	2414	Acqua canale	329.1	0	0	0	0	0	1142	2560	Acqua canale	78.9	0	0	0	0	0
1143	2422	Acqua canale	307.5	0	0	0	0	0	1144	2564	Acqua canale	80	0	0	0	0	0
1145	2418	Acqua canale	294.7	0	0	0	0	0	1146	2569	Acqua canale	93.9	0	0	0	0	0
1147	2406	Acqua canale	328.1	0	0	0	0	0	1148	2573	Acqua canale	144	0	0	0	0	0
1149	2376	Acqua canale	689	0	0	0	0	0	1150	2578	Acqua canale	82.5	0	0	0	0	0
1151	2372	Acqua canale	399.6	0	0	0	0	0	1152	2205	Acqua canale	905.6	0	0	0	0	0
1153	2163	Acqua canale	1.6E3	0	0	0	0	0	1154	2001	Acqua canale	770.4	0	0	0	0	0
1155	1955	Acqua canale	1.5E3	0	0	0	0	0	1156	2001	Pesi strutturali	-1.4E2	0	0	0	0	0
1157	1955	Pesi strutturali	-2.9E2	0	0	0	0	0	1158	2001	Variabile da traffico	-3.4E2	0	-1.2E2	0	0	0
1159	1955	Variabile da traffico	-6.5E2	0	-2.2E2	0	0	0	1160	2001	Terreno sisma X SLV	123.8	0	0	0	0	0
1161	1955	Terreno sisma X SLV	239.6	0	0	0	0	0	1162	2001	Terreno sisma X SLO	46.8	0	0	0	0	0

Interventi di miglioramento della diga di Cepparello nel Comune di Poggibonsi (SI)

ET.09.4 – Tabulati di calcolo_Canali fagatori con fondazioni su pali

Indice	Nodo	Condizione	Fx	Fy	Fz	Mx	My	Mz	Indice	Nodo	Condizione	Fx	Fy	Fz	Mx	My	Mz
1163	1955	Terreno sisma X SLO	90.5	0	0	0	0	0	1164	2001	Terreno sisma X SLD	55.8	0	0	0	0	0
1165	1955	Terreno sisma X SLD	107.9	0	0	0	0	0	1166	1385	Acqua canale	270.8	0	0	0	0	0
1167	1362	Acqua canale	507	0	0	0	0	0	1168	1385	Pesi strutturali	-1.3E2	0	0	0	0	0
1169	1362	Pesi strutturali	-2.9E2	0	0	0	0	0	1170	1385	Variabile da traffico	-1.3E2	0	-42.5	0	0	0
1171	1362	Variabile da traffico	-264	0	-89.2	0	0	0	1172	1385	Terreno sisma X SLV	56.4	0	0	0	0	0
1173	1362	Terreno sisma X SLV	119.1	0	0	0	0	0	1174	1385	Terreno sisma X SLO	21.3	0	0	0	0	0
1175	1362	Terreno sisma X SLO	45	0	0	0	0	0	1176	1385	Terreno sisma X SLD	25.4	0	0	0	0	0
1177	1362	Terreno sisma X SLD	53.7	0	0	0	0	0	1178	1333	Acqua canale	387.7	0	0	0	0	0
1179	1911	Acqua canale	989.3	0	0	0	0	0	1180	1333	Pesi strutturali	-2.7E2	0	0	0	0	0
1181	1911	Pesi strutturali	-2.9E2	0	0	0	0	0	1182	1333	Variabile da traffico	-2.4E2	0	-80	0	0	0
1183	1911	Variabile da traffico	-4.4E2	0	-1.5E2	0	0	0	1184	1333	Terreno sisma X SLV	108.2	0	0	0	0	0
1185	1911	Terreno sisma X SLV	176.4	0	0	0	0	0	1186	1333	Terreno sisma X SLO	40.9	0	0	0	0	0
1187	1911	Terreno sisma X SLO	66.7	0	0	0	0	0	1188	1333	Terreno sisma X SLD	48.7	0	0	0	0	0
1189	1911	Terreno sisma X SLD	79.5	0	0	0	0	0	1190	1300	Acqua canale	335.8	0	0	0	0	0
1191	1907	Acqua canale	898.6	0	0	0	0	0	1192	1300	Pesi strutturali	-2.5E2	0	0	0	0	0
1193	1907	Pesi strutturali	-3.0E2	0	0	0	0	0	1194	1300	Variabile da traffico	-2.2E2	0	-74.4	0	0	0
1195	1907	Variabile da traffico	-4.2E2	0	-1.4E2	0	0	0	1196	1300	Terreno sisma X SLV	100.9	0	0	0	0	0
1197	1907	Terreno sisma X SLV	171.3	0	0	0	0	0	1198	1300	Terreno sisma X SLO	38.1	0	0	0	0	0
1199	1907	Terreno sisma X SLO	64.7	0	0	0	0	0	1200	1300	Terreno sisma X SLD	45.5	0	0	0	0	0
1201	1907	Terreno sisma X SLD	77.2	0	0	0	0	0	1202	1271	Acqua canale	319	0	0	0	0	0
1203	1903	Acqua canale	913.4	0	0	0	0	0	1204	1271	Pesi strutturali	-2.5E2	0	0	0	0	0
1205	1903	Pesi strutturali	-3.1E2	0	0	0	0	0	1206	1271	Variabile da traffico	-2.1E2	0	-72.5	0	0	0
1207	1903	Variabile da traffico	-4.3E2	0	-1.5E2	0	0	0	1208	1271	Terreno sisma X SLV	98.5	0	0	0	0	0
1209	1903	Terreno sisma X SLV	174.7	0	0	0	0	0	1210	1271	Terreno sisma X SLO	37.2	0	0	0	0	0
1211	1903	Terreno sisma X SLO	66	0	0	0	0	0	1212	1271	Terreno sisma X SLD	44.4	0	0	0	0	0
1213	1903	Terreno sisma X SLD	78.7	0	0	0	0	0	1214	1238	Acqua canale	295.7	0	0	0	0	0
1215	1899	Acqua canale	887.9	0	0	0	0	0	1216	1238	Pesi strutturali	-2.4E2	0	0	0	0	0
1217	1899	Pesi strutturali	-315	0	0	0	0	0	1218	1238	Variabile da traffico	-2.1E2	0	-70	0	0	0
1219	1899	Variabile da traffico	-4.2E2	0	-1.4E2	0	0	0	1220	1238	Terreno sisma X SLV	95.2	0	0	0	0	0
1221	1899	Terreno sisma X SLV	172.8	0	0	0	0	0	1222	1238	Terreno sisma X SLO	36	0	0	0	0	0
1223	1899	Terreno sisma X SLO	65.3	0	0	0	0	0	1224	1238	Terreno sisma X SLD	42.9	0	0	0	0	0
1225	1899	Terreno sisma X SLD	77.8	0	0	0	0	0	1226	1209	Acqua canale	254.6	0	0	0	0	0
1227	1892	Acqua canale	841.3	0	0	0	0	0	1228	1209	Pesi strutturali	-2.3E2	0	0	0	0	0
1229	1892	Pesi strutturali	-3.1E2	0	0	0	0	0	1230	1209	Variabile da traffico	-194	0	-65.6	0	0	0
1231	1892	Variabile da traffico	-4.0E2	0	-1.4E2	0	0	0	1232	1209	Terreno sisma X SLV	89.4	0	0	0	0	0
1233	1892	Terreno sisma X SLV	165.2	0	0	0	0	0	1234	1209	Terreno sisma X SLO	33.8	0	0	0	0	0
1235	1892	Terreno sisma X SLO	62.4	0	0	0	0	0	1236	1209	Terreno sisma X SLD	40.3	0	0	0	0	0
1237	1892	Terreno sisma X SLD	74.4	0	0	0	0	0	1238	1176	Acqua canale	206.3	0	0	0	0	0
1239	1851	Acqua canale	751.4	0	0	0	0	0	1240	1176	Pesi strutturali	-2.1E2	0	0	0	0	0
1241	1851	Pesi strutturali	-2.9E2	0	0	0	0	0	1242	1176	Variabile da traffico	-1.8E2	0	-59.6	0	0	0
1243	1851	Variabile da traffico	-3.6E2	0	-1.2E2	0	0	0	1244	1176	Terreno sisma X SLV	81.6	0	0	0	0	0
1245	1851	Terreno sisma X SLV	150.1	0	0	0	0	0	1246	1176	Terreno sisma X SLO	30.8	0	0	0	0	0
1247	1851	Terreno sisma X SLO	56.7	0	0	0	0	0	1248	1176	Terreno sisma X SLD	36.7	0	0	0	0	0
1249	1851	Terreno sisma X SLD	67.6	0	0	0	0	0	1250	1145	Acqua canale	207.6	0	0	0	0	0
1251	1847	Acqua canale	685.1	0	0	0	0	0	1252	1145	Pesi strutturali	-2.1E2	0	0	0	0	0
1253	1847	Pesi strutturali	-2.8E2	0	0	0	0	0	1254	1145	Variabile da traffico	-1.7E2	0	-59	0	0	0
1255	1847	Variabile da traffico	-3.4E2	0	-1.1E2	0	0	0	1256	1145	Terreno sisma X SLV	80.8	0	0	0	0	0
1257	1847	Terreno sisma X SLV	140.5	0	0	0	0	0	1258	1145	Terreno sisma X SLO	30.5	0	0	0	0	0
1259	1847	Terreno sisma X SLO	53.1	0	0	0	0	0	1260	1145	Terreno sisma X SLD	36.4	0	0	0	0	0
1261	1847	Terreno sisma X SLD	63.3	0	0	0	0	0	1262	1106	Acqua canale	249.2	0	0	0	0	0
1263	1896	Acqua canale	843	0	0	0	0	0	1264	1106	Pesi strutturali	-2.3E2	0	0	0	0	0

Interventi di miglioramento della diga di Cepparello nel Comune di Poggibonsi (SI)

ET.09.4 – Tabulati di calcolo_Canali fugatori con fondazioni su pali

Indice	Nodo	Condizione	Fx	Fy	Fz	Mx	My	Mz	Indice	Nodo	Condizione	Fx	Fy	Fz	Mx	My	Mz
1265	1896	Pesi strutturali	-3.1E2	0	0	0	0	0	1266	1106	Variabile da traffico	-2.0E2	0	-66.2	0	0	0
1267	1896	Variabile da traffico	-4.1E2	0	-1.4E2	0	0	0	1268	1106	Terreno sisma X SLV	90.2	0	0	0	0	0
1269	1896	Terreno sisma X SLV	168.6	0	0	0	0	0	1270	1106	Terreno sisma X SLO	34.1	0	0	0	0	0
1271	1896	Terreno sisma X SLO	63.7	0	0	0	0	0	1272	1106	Terreno sisma X SLD	40.6	0	0	0	0	0
1273	1896	Terreno sisma X SLD	75.9	0	0	0	0	0	1274	1064	Acqua canale	216.3	0	0	0	0	0
1275	1852	Acqua canale	699.4	0	0	0	0	0	1276	1064	Pesi strutturali	-2.1E2	0	0	0	0	0
1277	1852	Pesi strutturali	-2.8E2	0	0	0	0	0	1278	1064	Variabile da traffico	-1.8E2	0	-60.6	0	0	0
1279	1852	Variabile da traffico	-3.4E2	0	-1.1E2	0	0	0	1280	1064	Terreno sisma X SLV	82.8	0	0	0	0	0
1281	1852	Terreno sisma X SLV	140.3	0	0	0	0	0	1282	1064	Terreno sisma X SLO	31.3	0	0	0	0	0
1283	1852	Terreno sisma X SLO	53	0	0	0	0	0	1284	1064	Terreno sisma X SLD	37.3	0	0	0	0	0
1285	1852	Terreno sisma X SLD	63.2	0	0	0	0	0	1286	1033	Acqua canale	211.1	0	0	0	0	0
1287	1848	Acqua canale	748.1	0	0	0	0	0	1288	1033	Pesi strutturali	-2.1E2	0	0	0	0	0
1289	1848	Pesi strutturali	-2.9E2	0	0	0	0	0	1290	1033	Variabile da traffico	-177	0	-59.8	0	0	0
1291	1848	Variabile da traffico	-3.6E2	0	-1.2E2	0	0	0	1292	1033	Terreno sisma X SLV	81.8	0	0	0	0	0
1293	1848	Terreno sisma X SLV	149.6	0	0	0	0	0	1294	1033	Terreno sisma X SLO	30.9	0	0	0	0	0
1295	1848	Terreno sisma X SLO	56.5	0	0	0	0	0	1296	1033	Terreno sisma X SLD	36.9	0	0	0	0	0
1297	1848	Terreno sisma X SLD	67.4	0	0	0	0	0	1298	1000	Acqua canale	258.2	0	0	0	0	0
1299	1893	Acqua canale	839.2	0	0	0	0	0	1300	1000	Pesi strutturali	-2.3E2	0	0	0	0	0
1301	1893	Pesi strutturali	-3.1E2	0	0	0	0	0	1302	1000	Variabile da traffico	-1.9E2	0	-65.7	0	0	0
1303	1893	Variabile da traffico	-4.0E2	0	-1.4E2	0	0	0	1304	1000	Terreno sisma X SLV	89.6	0	0	0	0	0
1305	1893	Terreno sisma X SLV	165.3	0	0	0	0	0	1306	1000	Terreno sisma X SLO	33.9	0	0	0	0	0
1307	1893	Terreno sisma X SLO	62.4	0	0	0	0	0	1308	1000	Terreno sisma X SLD	40.4	0	0	0	0	0
1309	1893	Terreno sisma X SLD	74.5	0	0	0	0	0	1310	971	Acqua canale	299.8	0	0	0	0	0
1311	1900	Acqua canale	899	0	0	0	0	0	1312	971	Pesi strutturali	-2.4E2	0	0	0	0	0
1313	1900	Pesi strutturali	-3.2E2	0	0	0	0	0	1314	971	Variabile da traffico	-2.1E2	0	-70.2	0	0	0
1315	1900	Variabile da traffico	-4.3E2	0	-144	0	0	0	1316	971	Terreno sisma X SLV	95.5	0	0	0	0	0
1317	1900	Terreno sisma X SLV	173.4	0	0	0	0	0	1318	971	Terreno sisma X SLO	36.1	0	0	0	0	0
1319	1900	Terreno sisma X SLO	65.5	0	0	0	0	0	1320	971	Terreno sisma X SLD	43	0	0	0	0	0
1321	1900	Terreno sisma X SLD	78.1	0	0	0	0	0	1322	938	Acqua canale	327.6	0	0	0	0	0
1323	1904	Acqua canale	923	0	0	0	0	0	1324	938	Pesi strutturali	-2.5E2	0	0	0	0	0
1325	1904	Pesi strutturali	-3.1E2	0	0	0	0	0	1326	938	Variabile da traffico	-2.2E2	0	-73.3	0	0	0
1327	1904	Variabile da traffico	-4.4E2	0	-1.5E2	0	0	0	1328	938	Terreno sisma X SLV	99.5	0	0	0	0	0
1329	1904	Terreno sisma X SLV	176.2	0	0	0	0	0	1330	938	Terreno sisma X SLO	37.6	0	0	0	0	0
1331	1904	Terreno sisma X SLO	66.6	0	0	0	0	0	1332	938	Terreno sisma X SLD	44.8	0	0	0	0	0
1333	1904	Terreno sisma X SLD	79.4	0	0	0	0	0	1334	909	Acqua canale	355.3	0	0	0	0	0
1335	1908	Acqua canale	926.1	0	0	0	0	0	1336	909	Pesi strutturali	-2.6E2	0	0	0	0	0
1337	1908	Pesi strutturali	-3.1E2	0	0	0	0	0	1338	909	Variabile da traffico	-2.3E2	0	-76.3	0	0	0
1339	1908	Variabile da traffico	-4.3E2	0	-1.5E2	0	0	0	1340	909	Terreno sisma X SLV	103.4	0	0	0	0	0
1341	1908	Terreno sisma X SLV	174.8	0	0	0	0	0	1342	909	Terreno sisma X SLO	39.1	0	0	0	0	0
1343	1908	Terreno sisma X SLO	66	0	0	0	0	0	1344	909	Terreno sisma X SLD	46.6	0	0	0	0	0
1345	1908	Terreno sisma X SLD	78.8	0	0	0	0	0	1346	876	Acqua canale	416.4	0	0	0	0	0
1347	1913	Acqua canale	952.3	0	0	0	0	0	1348	876	Pesi strutturali	-2.8E2	0	0	0	0	0
1349	1913	Pesi strutturali	-2.9E2	0	0	0	0	0	1350	876	Variabile da traffico	-2.4E2	0	-82.5	0	0	0
1351	1913	Variabile da traffico	-4.5E2	0	-1.5E2	0	0	0	1352	876	Terreno sisma X SLV	111.4	0	0	0	0	0
1353	1913	Terreno sisma X SLV	177.4	0	0	0	0	0	1354	876	Terreno sisma X SLO	42.1	0	0	0	0	0
1355	1913	Terreno sisma X SLO	67	0	0	0	0	0	1356	876	Terreno sisma X SLD	50.2	0	0	0	0	0
1357	1913	Terreno sisma X SLD	79.9	0	0	0	0	0	1358	847	Acqua canale	585.8	0	0	0	0	0
1359	1956	Acqua canale	1.4E3	0	0	0	0	0	1360	847	Pesi strutturali	-2.9E2	0	0	0	0	0
1361	1956	Pesi strutturali	-283	0	0	0	0	0	1362	847	Variabile da traffico	-266	0	-89.9	0	0	0
1363	1956	Variabile da traffico	-6.4E2	0	-2.2E2	0	0	0	1364	847	Terreno sisma X SLV	120	0	0	0	0	0
1365	1956	Terreno sisma X SLV	235.2	0	0	0	0	0	1366	847	Terreno sisma X SLO	45.3	0	0	0	0	0

Interventi di miglioramento della diga di Cepparello nel Comune di Poggibonsi (SI)

ET.09.4 – Tabulati di calcolo_Canali fagatori con fondazioni su pali

Indice	Nodo	Condizione	Fx	Fy	Fz	Mx	My	Mz	Indice	Nodo	Condizione	Fx	Fy	Fz	Mx	My	Mz
1367	1956	Terreno sisma X SLO	88.9	0	0	0	0	0	1368	847	Terreno sisma X SLD	54.1	0	0	0	0	0
1369	1956	Terreno sisma X SLD	106	0	0	0	0	0	1370	827	Acqua canale	271	0	0	0	0	0
1371	1963	Acqua canale	799.9	0	0	0	0	0	1372	827	Pesi strutturali	-1.3E2	0	0	0	0	0
1373	1963	Pesi strutturali	-1.3E2	0	0	0	0	0	1374	827	Variabile da traffico	-1.3E2	0	-42.5	0	0	0
1375	1963	Variabile da traffico	-3.4E2	0	-1.1E2	0	0	0	1376	827	Terreno sisma X SLV	56.4	0	0	0	0	0
1377	1963	Terreno sisma X SLV	122.7	0	0	0	0	0	1378	827	Terreno sisma X SLO	21.3	0	0	0	0	0
1379	1963	Terreno sisma X SLO	46.4	0	0	0	0	0	1380	827	Terreno sisma X SLD	25.4	0	0	0	0	0
1381	1963	Terreno sisma X SLD	55.3	0	0	0	0	0	1382	2167	Acqua canale	921.4	0	0	0	0	0
1383	2164	Acqua canale	1554	0	0	0	0	0	1384	2334	Acqua canale	386.4	0	0	0	0	0
1385	2378	Acqua canale	689.6	0	0	0	0	0	1386	2510	Acqua canale	81.9	0	0	0	0	0
1387	2515	Acqua canale	134.3	0	0	0	0	0	1388	2060	Acqua canale	1.0E3	0	0	0	0	0
1389	2064	Acqua canale	848.2	0	0	0	0	0	1390	2060	Pesi strutturali	-57.3	0	0	0	0	0
1391	2064	Pesi strutturali	-36.8	0	0	0	0	0	1392	2060	Variabile da traffico	-2.8E2	0	-95.4	0	0	0
1393	2064	Variabile da traffico	-209	0	-70.6	0	0	0	1394	2060	Terreno sisma X SLV	95.6	0	0	0	0	0
1395	2064	Terreno sisma X SLV	70.1	0	0	0	0	0	1396	2060	Terreno sisma X SLO	36.1	0	0	0	0	0
1397	2064	Terreno sisma X SLO	26.5	0	0	0	0	0	1398	2060	Terreno sisma X SLD	43.1	0	0	0	0	0
1399	2064	Terreno sisma X SLD	31.6	0	0	0	0	0	1400	2164	Pesi strutturali	-1.7	0	0	0	0	0
1401	2164	Variabile da traffico	-27.9	0	-9.4	0	0	0	1402	2164	Terreno sisma X SLV	8.9	0	0	0	0	0
1403	2164	Terreno sisma X SLO	3.4	0	0	0	0	0	1404	2164	Terreno sisma X SLD	4	0	0	0	0	0
1405	2160	Acqua canale	918	0	0	0	0	0	1406	2284	Acqua canale	552.9	0	0	0	0	0
1407	2286	Acqua canale	441.1	0	0	0	0	0	1408	2056	Acqua canale	1.1E3	0	0	0	0	0
1409	2052	Acqua canale	1.1E3	0	0	0	0	0	1410	2052	Pesi strutturali	-83	0	0	0	0	0
1411	2056	Pesi strutturali	-70.2	0	0	0	0	0	1412	2052	Variabile da traffico	-3.6E2	0	-1.2E2	0	0	0
1413	2056	Variabile da traffico	-327	0	-1.1E2	0	0	0	1414	2052	Terreno sisma X SLV	123.3	0	0	0	0	0
1415	2056	Terreno sisma X SLV	111.2	0	0	0	0	0	1416	2052	Terreno sisma X SLO	46.6	0	0	0	0	0
1417	2056	Terreno sisma X SLO	42	0	0	0	0	0	1418	2052	Terreno sisma X SLD	55.6	0	0	0	0	0
1419	2056	Terreno sisma X SLD	50.1	0	0	0	0	0	1420	2156	Acqua canale	882.9	0	0	0	0	0
1421	2152	Acqua canale	914.9	0	0	0	0	0	1422	2280	Acqua canale	597.1	0	0	0	0	0
1423	2274	Acqua canale	646.3	0	0	0	0	0	1424	2256	Acqua canale	734.7	0	0	0	0	0
1425	2245	Acqua canale	885.6	0	0	0	0	0	1426	2231	Acqua canale	1.0E3	0	0	0	0	0
1427	2046	Acqua canale	1.1E3	0	0	0	0	0	1428	2046	Pesi strutturali	-1.0E2	0	0	0	0	0
1429	2046	Variabile da traffico	-4.0E2	0	-135	0	0	0	1430	2046	Terreno sisma X SLV	137.7	0	0	0	0	0
1431	2046	Terreno sisma X SLO	52	0	0	0	0	0	1432	2046	Terreno sisma X SLD	62	0	0	0	0	0
1433	2148	Acqua canale	1.0E3	0	0	0	0	0	1434	2066	Acqua canale	1.7E3	0	0	0	0	0
1435	2099	Acqua canale	1.2E3	0	0	0	0	0	1436	2066	Pesi strutturali	-82.5	0	0	0	0	0
1437	2066	Variabile da traffico	-436	0	-1.5E2	0	0	0	1438	2066	Terreno sisma X SLV	146.9	0	0	0	0	0
1439	2066	Terreno sisma X SLO	55.5	0	0	0	0	0	1440	2066	Terreno sisma X SLD	66.2	0	0	0	0	0
1441	2019	Acqua canale	1.0E3	0	0	0	0	0	1442	2019	Pesi strutturali	-1.2E2	0	0	0	0	0
1443	2099	Pesi strutturali	-2.3	0	0	0	0	0	1444	2019	Variabile da traffico	-4.0E2	0	-1.3E2	0	0	0
1445	2099	Variabile da traffico	-52.8	0	-17.9	0	0	0	1446	2019	Terreno sisma X SLV	139.5	0	0	0	0	0
1447	2099	Terreno sisma X SLV	16.8	0	0	0	0	0	1448	2019	Terreno sisma X SLO	52.7	0	0	0	0	0
1449	2099	Terreno sisma X SLO	6.4	0	0	0	0	0	1450	2019	Terreno sisma X SLD	62.9	0	0	0	0	0
1451	2099	Terreno sisma X SLD	7.6	0	0	0	0	0	1452	1958	Acqua canale	781.8	0	0	0	0	0
1453	1958	Pesi strutturali	-96.9	0	0	0	0	0	1454	1958	Variabile da traffico	-2.5E2	0	-83.7	0	0	0
1455	1958	Terreno sisma X SLV	89.9	0	0	0	0	0	1456	1958	Terreno sisma X SLO	33.9	0	0	0	0	0
1457	1958	Terreno sisma X SLD	40.5	0	0	0	0	0	1458	2244	Acqua canale	925.8	0	0	0	0	0
1459	2255	Acqua canale	722.8	0	0	0	0	0	1460	2273	Acqua canale	645.6	0	0	0	0	0
1461	2151	Acqua canale	923.8	0	0	0	0	0	1462	2147	Acqua canale	975.7	0	0	0	0	0
1463	2051	Acqua canale	1115	0	0	0	0	0	1464	2049	Acqua canale	1.1E3	0	0	0	0	0
1465	2049	Pesi strutturali	-1.0E2	0	0	0	0	0	1466	2051	Pesi strutturali	-83.9	0	0	0	0	0
1467	2049	Variabile da traffico	-400	0	-1.4E2	0	0	0	1468	2051	Variabile da traffico	-3.6E2	0	-1.2E2	0	0	0
1469	2049	Terreno sisma X SLV	137.9	0	0	0	0	0	1470	2051	Terreno sisma X SLV	124.1	0	0	0	0	0
1471	2049	Terreno sisma X SLO	52.1	0	0	0	0	0	1472	2051	Terreno sisma X SLO	46.9	0	0	0	0	0
1473	2049	Terreno sisma X SLD	62.1	0	0	0	0	0	1474	2051	Terreno sisma X SLD	55.9	0	0	0	0	0
1475	2098	Acqua canale	1.2E3	0	0	0	0	0	1476	1961	Acqua canale	779.7	0	0	0	0	0
1477	1961	Pesi strutturali	-99.3	0	0	0	0	0	1478	1961	Variabile da traffico	-252	0	-85.1	0	0	0
1479	1961	Terreno sisma X SLV	91.5	0	0	0	0	0	1480	1961	Terreno sisma X SLO	34.5	0	0	0	0	0

Interventi di miglioramento della diga di Cepparello nel Comune di Poggibonsi (SI)

ET.09.4 – Tabulati di calcolo_Canali fagatori con fondazioni su pali

Indice	Nodo	Condizione	Fx	Fy	Fz	Mx	My	Mz	Indice	Nodo	Condizione	Fx	Fy	Fz	Mx	My	Mz
1481	1961	Terreno sisma X SLD	41.2	0	0	0	0	0	1482	2022	Acqua canale	1.0E3	0	0	0	0	0
1483	2098	Pesi strutturali	-2.3	0	0	0	0	0	1484	2022	Pesi strutturali	-1.2E2	0	0	0	0	0
1485	2098	Variabile da traffico	-53.1	0	-17.9	0	0	0	1486	2022	Variabile da traffico	-4.0E2	0	-1.3E2	0	0	0
1487	2098	Terreno sisma X SLV	16.9	0	0	0	0	0	1488	2022	Terreno sisma X SLV	139.8	0	0	0	0	0
1489	2098	Terreno sisma X SLO	6.4	0	0	0	0	0	1490	2022	Terreno sisma X SLO	52.8	0	0	0	0	0
1491	2098	Terreno sisma X SLD	7.6	0	0	0	0	0	1492	2022	Terreno sisma X SLD	63	0	0	0	0	0
1493	2279	Acqua canale	567.4	0	0	0	0	0	1494	2283	Acqua canale	443.7	0	0	0	0	0
1495	2159	Acqua canale	935.6	0	0	0	0	0	1496	2059	Acqua canale	1.0E3	0	0	0	0	0
1497	2063	Acqua canale	813.6	0	0	0	0	0	1498	2059	Pesi strutturali	-60.6	0	0	0	0	0
1499	2063	Pesi strutturali	-40.6	0	0	0	0	0	1500	2059	Variabile da traffico	-2.9E2	0	-98	0	0	0
1501	2063	Variabile da traffico	-2.2E2	0	-73.9	0	0	0	1502	2059	Terreno sisma X SLV	98.5	0	0	0	0	0
1503	2063	Terreno sisma X SLV	73.6	0	0	0	0	0	1504	2059	Terreno sisma X SLO	37.2	0	0	0	0	0
1505	2063	Terreno sisma X SLO	27.8	0	0	0	0	0	1506	2059	Terreno sisma X SLD	44.4	0	0	0	0	0
1507	2063	Terreno sisma X SLD	33.1	0	0	0	0	0	1508	2163	Pesi strutturali	-2.1	0	0	0	0	0
1509	2163	Variabile da traffico	-32.9	0	-11.1	0	0	0	1510	2163	Terreno sisma X SLV	10.6	0	0	0	0	0
1511	2163	Terreno sisma X SLO	4	0	0	0	0	0	1512	2163	Terreno sisma X SLD	4.8	0	0	0	0	0
1513	2055	Acqua canale	1.1E3	0	0	0	0	0	1514	2055	Pesi strutturali	-72.5	0	0	0	0	0
1515	2055	Variabile da traffico	-3.3E2	0	-1.1E2	0	0	0	1516	2055	Terreno sisma X SLV	113.2	0	0	0	0	0
1517	2055	Terreno sisma X SLO	42.8	0	0	0	0	0	1518	2055	Terreno sisma X SLD	51	0	0	0	0	0
1519	2155	Acqua canale	884.1	0	0	0	0	0	1520	2277	Acqua canale	605.2	0	0	0	0	0
1521	1401	Spinta idrostatica	0	0	187	0	0	0	1522	1403	Spinta idrostatica	0	0	415.9	0	0	0
1523	1441	Spinta idrostatica	0	0	888.8	0	0	0	1524	1424	Spinta idrostatica	0	0	465.9	0	0	0
1525	1401	Acqua canale	0	0	-4.3E2	0	0	0	1526	1403	Acqua canale	0	0	-9.6E2	0	0	0
1527	1441	Acqua canale	0	0	-2.1E3	0	0	0	1528	1424	Acqua canale	0	0	-1.1E3	0	0	0
1529	1464	Spinta idrostatica	0	0	1.0E3	0	0	0	1530	1458	Spinta idrostatica	0	0	516.7	0	0	0
1531	1464	Acqua canale	0	0	-2.4E3	0	0	0	1532	1458	Acqua canale	0	0	-1.2E3	0	0	0
1533	1498	Spinta idrostatica	0	0	1.1E3	0	0	0	1534	1481	Spinta idrostatica	0	0	527.4	0	0	0
1535	1498	Acqua canale	0	0	-2.4E3	0	0	0	1536	1481	Acqua canale	0	0	-1.2E3	0	0	0
1537	1517	Spinta idrostatica	0	0	1.1E3	0	0	0	1538	1515	Spinta idrostatica	0	0	530.7	0	0	0
1539	1517	Acqua canale	0	0	-2.4E3	0	0	0	1540	1515	Acqua canale	0	0	-1.2E3	0	0	0
1541	1542	Spinta idrostatica	0	0	1050	0	0	0	1542	1544	Spinta idrostatica	0	0	529.8	0	0	0
1543	1542	Acqua canale	0	0	-2.4E3	0	0	0	1544	1544	Acqua canale	0	0	-1.2E3	0	0	0
1545	1576	Spinta idrostatica	0	0	1.0E3	0	0	0	1546	1580	Spinta idrostatica	0	0	523.1	0	0	0
1547	1576	Acqua canale	0	0	-2.4E3	0	0	0	1548	1580	Acqua canale	0	0	-1.2E3	0	0	0
1549	1599	Spinta idrostatica	0	0	930	0	0	0	1550	1601	Spinta idrostatica	0	0	438.6	0	0	0
1551	1599	Acqua canale	0	0	-2.2E3	0	0	0	1552	1601	Acqua canale	0	0	-1.0E3	0	0	0
1553	1620	Spinta idrostatica	0	0	390.8	0	0	0	1554	1618	Spinta idrostatica	0	0	203.7	0	0	0
1555	1620	Acqua canale	0	0	-9.0E2	0	0	0	1556	1618	Acqua canale	0	0	-4.7E2	0	0	0
1557	1404	Spinta idrostatica	0	0	416.3	0	0	0	1558	1443	Spinta idrostatica	0	0	899.7	0	0	0
1559	1404	Acqua canale	0	0	-9.6E2	0	0	0	1560	1443	Acqua canale	0	0	-2.1E3	0	0	0
1561	1466	Spinta idrostatica	0	0	1.0E3	0	0	0	1562	1466	Acqua canale	0	0	-2.4E3	0	0	0
1563	1500	Spinta idrostatica	0	0	1.0E3	0	0	0	1564	1500	Acqua canale	0	0	-2.4E3	0	0	0
1565	1518	Spinta idrostatica	0	0	1.1E3	0	0	0	1566	1518	Acqua canale	0	0	-2.4E3	0	0	0
1567	1540	Spinta idrostatica	0	0	1047	0	0	0	1568	1540	Acqua canale	0	0	-2.4E3	0	0	0
1569	1574	Spinta idrostatica	0	0	1.0E3	0	0	0	1570	1574	Acqua canale	0	0	-2.3E3	0	0	0
1571	1597	Spinta idrostatica	0	0	928.6	0	0	0	1572	1597	Acqua canale	0	0	-2.1E3	0	0	0
1573	1621	Spinta idrostatica	0	0	399.2	0	0	0	1574	1621	Acqua canale	0	0	-9.2E2	0	0	0
1575	1405	Spinta idrostatica	0	0	357.5	0	0	0	1576	1426	Spinta idrostatica	0	0	910	0	0	0
1577	1405	Acqua canale	0	0	-8.3E2	0	0	0	1578	1426	Acqua canale	0	0	-2.1E3	0	0	0
1579	1462	Spinta idrostatica	0	0	980.4	0	0	0	1580	1462	Acqua canale	0	0	-2.3E3	0	0	0
1581	1483	Spinta idrostatica	0	0	1.0E3	0	0	0	1582	1483	Acqua canale	0	0	-2.3E3	0	0	0
1583	1519	Spinta idrostatica	0	0	1.0E3	0	0	0	1584	1519	Acqua canale	0	0	-2.4E3	0	0	0
1585	1546	Spinta idrostatica	0	0	1.0E3	0	0	0	1586	1546	Acqua canale	0	0	-2.3E3	0	0	0
1587	1578	Spinta idrostatica	0	0	1.0E3	0	0	0	1588	1578	Acqua canale	0	0	-2.3E3	0	0	0
1589	1603	Spinta idrostatica	0	0	836.4	0	0	0	1590	1603	Acqua canale	0	0	-1.9E3	0	0	0
1591	1622	Spinta idrostatica	0	0	398.3	0	0	0	1592	1622	Acqua canale	0	0	-921	0	0	0
1593	1406	Spinta idrostatica	0	0	379.3	0	0	0	1594	1445	Spinta idrostatica	0	0	816.3	0	0	0
1595	1406	Acqua canale	0	0	-8.8E2	0	0	0	1596	1445	Acqua canale	0	0	-1.9E3	0	0	0

Interventi di miglioramento della diga di Cepparello nel Comune di Poggibonsi (SI)

ET.09.4 – Tabulati di calcolo_Canali fuggatori con fondazioni su pali

Indice	Nodo	Condizione	Fx	Fy	Fz	Mx	My	Mz	Indice	Nodo	Condizione	Fx	Fy	Fz	Mx	My	Mz
1597	1468	Spinta idrostatica	0	0	958.3	0	0	0	1598	1468	Acqua canale	0	0	-2216	0	0	0
1599	1502	Spinta idrostatica	0	0	961.4	0	0	0	1600	1502	Acqua canale	0	0	-2.2E3	0	0	0
1601	1520	Spinta idrostatica	0	0	977.5	0	0	0	1602	1520	Acqua canale	0	0	-2.3E3	0	0	0
1603	1538	Spinta idrostatica	0	0	962	0	0	0	1604	1538	Acqua canale	0	0	-2.2E3	0	0	0
1605	1572	Spinta idrostatica	0	0	941.8	0	0	0	1606	1572	Acqua canale	0	0	-2178	0	0	0
1607	1595	Spinta idrostatica	0	0	859.2	0	0	0	1608	1595	Acqua canale	0	0	-2.0E3	0	0	0
1609	1623	Spinta idrostatica	0	0	356.1	0	0	0	1610	1623	Acqua canale	0	0	-8.2E2	0	0	0
1611	1407	Spinta idrostatica	0	0	379.3	0	0	0	1612	1446	Spinta idrostatica	0	0	823.9	0	0	0
1613	1407	Acqua canale	0	0	-8.8E2	0	0	0	1614	1446	Acqua canale	0	0	-1.9E3	0	0	0
1615	1469	Spinta idrostatica	0	0	952.8	0	0	0	1616	1469	Acqua canale	0	0	-2.2E3	0	0	0
1617	1503	Spinta idrostatica	0	0	959.7	0	0	0	1618	1503	Acqua canale	0	0	-2.2E3	0	0	0
1619	1521	Spinta idrostatica	0	0	977.5	0	0	0	1620	1521	Acqua canale	0	0	-2.3E3	0	0	0
1621	1539	Spinta idrostatica	0	0	960.1	0	0	0	1622	1539	Acqua canale	0	0	-2.2E3	0	0	0
1623	1573	Spinta idrostatica	0	0	942.1	0	0	0	1624	1573	Acqua canale	0	0	-2.2E3	0	0	0
1625	1596	Spinta idrostatica	0	0	852.3	0	0	0	1626	1596	Acqua canale	0	0	-2.0E3	0	0	0
1627	1624	Spinta idrostatica	0	0	364	0	0	0	1628	1624	Acqua canale	0	0	-8.4E2	0	0	0
1629	1408	Spinta idrostatica	0	0	357.5	0	0	0	1630	1427	Spinta idrostatica	0	0	909.4	0	0	0
1631	1408	Acqua canale	0	0	-8.3E2	0	0	0	1632	1427	Acqua canale	0	0	-2.1E3	0	0	0
1633	1463	Spinta idrostatica	0	0	978.3	0	0	0	1634	1463	Acqua canale	0	0	-2.3E3	0	0	0
1635	1484	Spinta idrostatica	0	0	1.0E3	0	0	0	1636	1484	Acqua canale	0	0	-2.3E3	0	0	0
1637	1522	Spinta idrostatica	0	0	1.0E3	0	0	0	1638	1522	Acqua canale	0	0	-2.3E3	0	0	0
1639	1547	Spinta idrostatica	0	0	1.0E3	0	0	0	1640	1547	Acqua canale	0	0	-2.3E3	0	0	0
1641	1579	Spinta idrostatica	0	0	1.0E3	0	0	0	1642	1579	Acqua canale	0	0	-2.3E3	0	0	0
1643	1604	Spinta idrostatica	0	0	839.2	0	0	0	1644	1604	Acqua canale	0	0	-1.9E3	0	0	0
1645	1625	Spinta idrostatica	0	0	397.4	0	0	0	1646	1625	Acqua canale	0	0	-919	0	0	0
1647	1409	Spinta idrostatica	0	0	416.3	0	0	0	1648	1444	Spinta idrostatica	0	0	891.2	0	0	0
1649	1409	Acqua canale	0	0	-9.6E2	0	0	0	1650	1444	Acqua canale	0	0	-2.1E3	0	0	0
1651	1467	Spinta idrostatica	0	0	1.0E3	0	0	0	1652	1467	Acqua canale	0	0	-2385	0	0	0
1653	1501	Spinta idrostatica	0	0	1.0E3	0	0	0	1654	1501	Acqua canale	0	0	-2.4E3	0	0	0
1655	1523	Spinta idrostatica	0	0	1.1E3	0	0	0	1656	1523	Acqua canale	0	0	-2.4E3	0	0	0
1657	1541	Spinta idrostatica	0	0	1.0E3	0	0	0	1658	1541	Acqua canale	0	0	-2.4E3	0	0	0
1659	1575	Spinta idrostatica	0	0	1.0E3	0	0	0	1660	1575	Acqua canale	0	0	-2.3E3	0	0	0
1661	1598	Spinta idrostatica	0	0	934.5	0	0	0	1662	1598	Acqua canale	0	0	-2.2E3	0	0	0
1663	1626	Spinta idrostatica	0	0	391	0	0	0	1664	1626	Acqua canale	0	0	-9.0E2	0	0	0
1665	1410	Spinta idrostatica	0	0	415.9	0	0	0	1666	1442	Spinta idrostatica	0	0	897.2	0	0	0
1667	1410	Acqua canale	0	0	-9.6E2	0	0	0	1668	1442	Acqua canale	0	0	-2.1E3	0	0	0
1669	1465	Spinta idrostatica	0	0	1.0E3	0	0	0	1670	1465	Acqua canale	0	0	-2.4E3	0	0	0
1671	1499	Spinta idrostatica	0	0	1.1E3	0	0	0	1672	1499	Acqua canale	0	0	-2.4E3	0	0	0
1673	1524	Spinta idrostatica	0	0	1.1E3	0	0	0	1674	1524	Acqua canale	0	0	-2.4E3	0	0	0
1675	1543	Spinta idrostatica	0	0	1.0E3	0	0	0	1676	1543	Acqua canale	0	0	-2.4E3	0	0	0
1677	1577	Spinta idrostatica	0	0	1.0E3	0	0	0	1678	1577	Acqua canale	0	0	-2.4E3	0	0	0
1679	1600	Spinta idrostatica	0	0	924.8	0	0	0	1680	1600	Acqua canale	0	0	-2.1E3	0	0	0
1681	1627	Spinta idrostatica	0	0	399.2	0	0	0	1682	1627	Acqua canale	0	0	-9.2E2	0	0	0
1683	1412	Spinta idrostatica	0	0	187	0	0	0	1684	1429	Spinta idrostatica	0	0	474.3	0	0	0
1685	1412	Acqua canale	0	0	-4.3E2	0	0	0	1686	1429	Acqua canale	0	0	-1.1E3	0	0	0
1687	1461	Spinta idrostatica	0	0	511.5	0	0	0	1688	1461	Acqua canale	0	0	-1.2E3	0	0	0
1689	1486	Spinta idrostatica	0	0	525.3	0	0	0	1690	1486	Acqua canale	0	0	-1.2E3	0	0	0
1691	1526	Spinta idrostatica	0	0	529.9	0	0	0	1692	1526	Acqua canale	0	0	-1.2E3	0	0	0
1693	1549	Spinta idrostatica	0	0	528.8	0	0	0	1694	1549	Acqua canale	0	0	-1.2E3	0	0	0
1695	1583	Spinta idrostatica	0	0	521	0	0	0	1696	1583	Acqua canale	0	0	-1.2E3	0	0	0
1697	1606	Spinta idrostatica	0	0	433.2	0	0	0	1698	1606	Acqua canale	0	0	-1.0E3	0	0	0
1699	1629	Spinta idrostatica	0	0	212	0	0	0	1700	1629	Acqua canale	0	0	-4.9E2	0	0	0
1701	1642	Acqua canale	-2.9E2	0	0	0	0	0	1702	1665	Acqua canale	-7.3E2	0	0	0	0	0
1703	1922	Acqua canale	-1.8E3	0	0	0	0	0	1704	1920	Acqua canale	-8.3E2	0	0	0	0	0

Interventi di miglioramento della diga di Cepparello nel Comune di Poggibonsi (SI)

ET.09.4 – Tabulati di calcolo_Canali fuggatori con fondazioni su pali

Indice	Nodo	Condizione	Fx	Fy	Fz	Mx	My	Mz	Indice	Nodo	Condizione	Fx	Fy	Fz	Mx	My	Mz
1705	1642	Pesi strutturali	419.2	0	-1.0E2	0	0	0	1706	1665	Pesi strutturali	1.2E3	0	-2.8E2	0	0	0
1707	1920	Pesi strutturali	813.1	0	-2.3E2	0	0	0	1708	1922	Pesi strutturali	1.9E3	0	-5.2E2	0	0	0
1709	1642	Variabile da traffico	106.5	0	-36	0	0	0	1710	1665	Variabile da traffico	292.7	0	-98.9	0	0	0
1711	1920	Variabile da traffico	267.9	0	-90.5	0	0	0	1712	1922	Variabile da traffico	607.1	0	-2.1E2	0	0	0
1713	1642	Terreno sisma X SLV	175.1	0	0	0	0	0	1714	1665	Terreno sisma X SLV	481.3	0	0	0	0	0
1715	1920	Terreno sisma X SLV	420.7	0	0	0	0	0	1716	1922	Terreno sisma X SLV	954.1	0	0	0	0	0
1717	1642	Terreno sisma X SLO	66.2	0	0	0	0	0	1718	1665	Terreno sisma X SLO	181.8	0	0	0	0	0
1719	1920	Terreno sisma X SLO	158.9	0	0	0	0	0	1720	1922	Terreno sisma X SLO	360.4	0	0	0	0	0
1721	1642	Terreno sisma X SLD	78.9	0	0	0	0	0	1722	1665	Terreno sisma X SLD	216.8	0	0	0	0	0
1723	1920	Terreno sisma X SLD	189.5	0	0	0	0	0	1724	1922	Terreno sisma X SLD	429.8	0	0	0	0	0
1725	2104	Acqua canale	-1.9E3	0	0	0	0	0	1726	2102	Acqua canale	-9.1E2	0	0	0	0	0
1727	2102	Pesi strutturali	598.7	0	-2.0E2	0	0	0	1728	2104	Pesi strutturali	1.3E3	0	-4.2E2	0	0	0
1729	2102	Variabile da traffico	299.2	0	-1.0E2	0	0	0	1730	2104	Variabile da traffico	623.9	0	-2.1E2	0	0	0
1731	2102	Terreno sisma X SLV	437.4	0	0	0	0	0	1732	2104	Terreno sisma X SLV	912.2	0	0	0	0	0
1733	2102	Terreno sisma X SLO	165.2	0	0	0	0	0	1734	2104	Terreno sisma X SLO	344.6	0	0	0	0	0
1735	2102	Terreno sisma X SLD	197	0	0	0	0	0	1736	2104	Terreno sisma X SLD	410.9	0	0	0	0	0
1737	2260	Acqua canale	-1.4E3	0	0	0	0	0	1738	2258	Acqua canale	-7.1E2	0	0	0	0	0
1739	2258	Pesi strutturali	381.2	0	-1.3E2	0	0	0	1740	2260	Pesi strutturali	777	0	-2.6E2	0	0	0
1741	2258	Variabile da traffico	310.1	0	-1.0E2	0	0	0	1742	2260	Variabile da traffico	631.7	0	-2.1E2	0	0	0
1743	2258	Terreno sisma X SLV	449.6	0	0	0	0	0	1744	2260	Terreno sisma X SLV	915.8	0	0	0	0	0
1745	2258	Terreno sisma X SLO	169.8	0	0	0	0	0	1746	2260	Terreno sisma X SLO	345.9	0	0	0	0	0
1747	2258	Terreno sisma X SLD	202.5	0	0	0	0	0	1748	2260	Terreno sisma X SLD	412.6	0	0	0	0	0
1749	2443	Acqua canale	-9.7E2	0	0	0	0	0	1750	2441	Acqua canale	-4.8E2	0	0	0	0	0
1751	2441	Pesi strutturali	145.9	0	-49.3	0	0	0	1752	2443	Pesi strutturali	294.8	0	-99.6	0	0	0
1753	2441	Variabile da traffico	314.9	0	-1.1E2	0	0	0	1754	2443	Variabile da traffico	635.9	0	-2.1E2	0	0	0
1755	2441	Terreno sisma X SLV	456.6	0	0	0	0	0	1756	2443	Terreno sisma X SLV	921.9	0	0	0	0	0
1757	2441	Terreno sisma X SLO	172.5	0	0	0	0	0	1758	2443	Terreno sisma X SLO	348.2	0	0	0	0	0
1759	2441	Terreno sisma X SLD	205.7	0	0	0	0	0	1760	2443	Terreno sisma X SLD	415.3	0	0	0	0	0
1761	2587	Acqua canale	-487	0	0	0	0	0	1762	2585	Acqua canale	-2.4E2	0	0	0	0	0
1763	2585	Pesi strutturali	1.3	0	-0.5	0	0	0	1764	2587	Pesi strutturali	2.7	0	-0.9	0	0	0
1765	2585	Variabile da traffico	318.1	0	-1.1E2	0	0	0	1766	2587	Variabile da traffico	638.9	0	-2.2E2	0	0	0
1767	2585	Terreno sisma X SLV	461.1	0	0	0	0	0	1768	2587	Terreno sisma X SLV	926.2	0	0	0	0	0
1769	2585	Terreno sisma X SLO	174.2	0	0	0	0	0	1770	2587	Terreno sisma X SLO	349.9	0	0	0	0	0
1771	2585	Terreno sisma X SLD	207.7	0	0	0	0	0	1772	2587	Terreno sisma X SLD	417.2	0	0	0	0	0
1773	2670	Acqua canale	-1.2E2	0	0	0	0	0	1774	2668	Acqua canale	-61	0	0	0	0	0
1775	2668	Variabile da traffico	160.1	0	-54.1	0	0	0	1776	2670	Variabile da traffico	320.5	0	-1.1E2	0	0	0
1777	2668	Terreno sisma X SLV	232	0	0	0	0	0	1778	2670	Terreno sisma X SLV	464.6	0	0	0	0	0
1779	2668	Terreno sisma X SLO	87.7	0	0	0	0	0	1780	2670	Terreno sisma X SLO	175.5	0	0	0	0	0
1781	2668	Terreno sisma X SLD	104.5	0	0	0	0	0	1782	2670	Terreno sisma X SLD	209.3	0	0	0	0	0
1783	1699	Acqua canale	-9.0E2	0	0	0	0	0	1784	1924	Acqua canale	-2.0E3	0	0	0	0	0
1785	1699	Pesi strutturali	1.5E3	0	-3.6E2	0	0	0	1786	1924	Pesi strutturali	2.1E3	0	-5.9E2	0	0	0
1787	1699	Variabile da traffico	374.6	0	-1.3E2	0	0	0	1788	1924	Variabile da traffico	694.5	0	-2.3E2	0	0	0
1789	1699	Terreno sisma X SLV	616.2	0	0	0	0	0	1790	1924	Terreno sisma X SLV	1092	0	0	0	0	0
1791	1699	Terreno sisma X SLO	232.8	0	0	0	0	0	1792	1924	Terreno sisma X SLO	412.5	0	0	0	0	0
1793	1699	Terreno sisma X SLD	277.6	0	0	0	0	0	1794	1924	Terreno sisma X SLD	492	0	0	0	0	0
1795	2106	Acqua canale	-2029	0	0	0	0	0	1796	2106	Pesi strutturali	1331	0	-4.5E2	0	0	0
1797	2106	Variabile da traffico	663.2	0	-2.2E2	0	0	0	1798	2106	Terreno sisma X SLV	969.9	0	0	0	0	0
1799	2106	Terreno sisma X SLO	366.4	0	0	0	0	0	1800	2106	Terreno sisma X SLD	436.9	0	0	0	0	0
1801	2262	Acqua canale	-1.5E3	0	0	0	0	0	1802	2262	Pesi strutturali	803.1	0	-2.7E2	0	0	0
1803	2262	Variabile da traffico	652.3	0	-2.2E2	0	0	0	1804	2262	Terreno sisma X SLV	945.6	0	0	0	0	0
1805	2262	Terreno sisma X SLO	357.2	0	0	0	0	0	1806	2262	Terreno sisma X SLD	426	0	0	0	0	0
1807	2445	Acqua canale	-9.9E2	0	0	0	0	0	1808	2445	Pesi strutturali	300.6	0	-1.0E2	0	0	0
1809	2445	Variabile da traffico	647.4	0	-2.2E2	0	0	0	1810	2445	Terreno sisma X SLV	938.6	0	0	0	0	0
1811	2445	Terreno sisma X SLO	354.6	0	0	0	0	0	1812	2445	Terreno sisma X SLD	422.8	0	0	0	0	0

Interventi di miglioramento della diga di Cepparello nel Comune di Poggibonsi (SI)

ET.09.4 – Tabulati di calcolo_Canali fagatori con fondazioni su pali

Indice	Nodo	Condizione	Fx	Fy	Fz	Mx	My	Mz	Indice	Nodo	Condizione	Fx	Fy	Fz	Mx	My	Mz
1813	2589	Acqua canale	-4.9E2	0	0	0	0	0	1814	2589	Pesi strutturali	2.7	0	-0.9	0	0	0
1815	2589	Variabile da traffico	644.3	0	-2.2E2	0	0	0	1816	2589	Terreno sisma X SLV	934.1	0	0	0	0	0
1817	2589	Terreno sisma X SLO	352.8	0	0	0	0	0	1818	2589	Terreno sisma X SLD	420.8	0	0	0	0	0
1819	2672	Acqua canale	-1.2E2	0	0	0	0	0	1820	2672	Variabile da traffico	321.1	0	-1.1E2	0	0	0
1821	2672	Terreno sisma X SLV	465.5	0	0	0	0	0	1822	2672	Terreno sisma X SLO	175.9	0	0	0	0	0
1823	2672	Terreno sisma X SLD	209.7	0	0	0	0	0	1824	1733	Acqua canale	-9.1E2	0	0	0	0	0
1825	1926	Acqua canale	-2.1E3	0	0	0	0	0	1826	1733	Pesi strutturali	1.5E3	0	-3.6E2	0	0	0
1827	1926	Pesi strutturali	2.2E3	0	-6.1E2	0	0	0	1828	1733	Variabile da traffico	377	0	-1.3E2	0	0	0
1829	1926	Variabile da traffico	710.5	0	-2.4E2	0	0	0	1830	1733	Terreno sisma X SLV	620.1	0	0	0	0	0
1831	1926	Terreno sisma X SLV	1.1E3	0	0	0	0	0	1832	1733	Terreno sisma X SLO	234.2	0	0	0	0	0
1833	1926	Terreno sisma X SLO	422	0	0	0	0	0	1834	1733	Terreno sisma X SLD	279.3	0	0	0	0	0
1835	1926	Terreno sisma X SLD	503.3	0	0	0	0	0	1836	2108	Acqua canale	-2.1E3	0	0	0	0	0
1837	2108	Pesi strutturali	1.4E3	0	-4.6E2	0	0	0	1838	2108	Variabile da traffico	677.1	0	-2.3E2	0	0	0
1839	2108	Terreno sisma X SLV	990.2	0	0	0	0	0	1840	2108	Terreno sisma X SLO	374	0	0	0	0	0
1841	2108	Terreno sisma X SLD	446.1	0	0	0	0	0	1842	2264	Acqua canale	-1.5E3	0	0	0	0	0
1843	2264	Pesi strutturali	814.5	0	-2.8E2	0	0	0	1844	2264	Variabile da traffico	661.3	0	-2.2E2	0	0	0
1845	2264	Terreno sisma X SLV	958.7	0	0	0	0	0	1846	2264	Terreno sisma X SLO	362.2	0	0	0	0	0
1847	2264	Terreno sisma X SLD	431.9	0	0	0	0	0	1848	2447	Acqua canale	-1.0E3	0	0	0	0	0
1849	2447	Pesi strutturali	303.3	0	-1.0E2	0	0	0	1850	2447	Variabile da traffico	652.9	0	-2.2E2	0	0	0
1851	2447	Terreno sisma X SLV	946.6	0	0	0	0	0	1852	2447	Terreno sisma X SLO	357.6	0	0	0	0	0
1853	2447	Terreno sisma X SLD	426.4	0	0	0	0	0	1854	2591	Acqua canale	-4.9E2	0	0	0	0	0
1855	2591	Pesi strutturali	2.7	0	-0.9	0	0	0	1856	2591	Variabile da traffico	646.9	0	-2.2E2	0	0	0
1857	2591	Terreno sisma X SLV	937.9	0	0	0	0	0	1858	2591	Terreno sisma X SLO	354.3	0	0	0	0	0
1859	2591	Terreno sisma X SLD	422.5	0	0	0	0	0	1860	2674	Acqua canale	-1.2E2	0	0	0	0	0
1861	2674	Variabile da traffico	321.5	0	-1.1E2	0	0	0	1862	2674	Terreno sisma X SLV	466	0	0	0	0	0
1863	2674	Terreno sisma X SLO	176	0	0	0	0	0	1864	2674	Terreno sisma X SLD	209.9	0	0	0	0	0
1865	1773	Acqua canale	-9.0E2	0	0	0	0	0	1866	1928	Acqua canale	-2.0E3	0	0	0	0	0
1867	1773	Pesi strutturali	1.5E3	0	-3.6E2	0	0	0	1868	1928	Pesi strutturali	2.1E3	0	-5.9E2	0	0	0
1869	1773	Variabile da traffico	374.6	0	-1.3E2	0	0	0	1870	1928	Variabile da traffico	694.5	0	-2.3E2	0	0	0
1871	1773	Terreno sisma X SLV	616.2	0	0	0	0	0	1872	1928	Terreno sisma X SLO	1092	0	0	0	0	0
1873	1773	Terreno sisma X SLO	232.8	0	0	0	0	0	1874	1928	Terreno sisma X SLD	412.5	0	0	0	0	0
1875	1773	Terreno sisma X SLD	277.6	0	0	0	0	0	1876	1928	Terreno sisma X SLD	492	0	0	0	0	0
1877	2110	Acqua canale	-2.0E3	0	0	0	0	0	1878	2110	Pesi strutturali	1331	0	-4.5E2	0	0	0
1879	2110	Variabile da traffico	663.2	0	-2.2E2	0	0	0	1880	2110	Terreno sisma X SLV	969.9	0	0	0	0	0
1881	2110	Terreno sisma X SLO	366.4	0	0	0	0	0	1882	2110	Terreno sisma X SLD	436.9	0	0	0	0	0
1883	2266	Acqua canale	-1.5E3	0	0	0	0	0	1884	2266	Pesi strutturali	803.1	0	-2.7E2	0	0	0
1885	2266	Variabile da traffico	652.3	0	-2.2E2	0	0	0	1886	2266	Terreno sisma X SLV	945.6	0	0	0	0	0
1887	2266	Terreno sisma X SLO	357.2	0	0	0	0	0	1888	2266	Terreno sisma X SLD	426	0	0	0	0	0
1889	2449	Acqua canale	-9.9E2	0	0	0	0	0	1890	2449	Pesi strutturali	300.6	0	-1.0E2	0	0	0
1891	2449	Variabile da traffico	647.4	0	-2.2E2	0	0	0	1892	2449	Terreno sisma X SLV	938.6	0	0	0	0	0
1893	2449	Terreno sisma X SLO	354.6	0	0	0	0	0	1894	2449	Terreno sisma X SLD	422.8	0	0	0	0	0
1895	2593	Acqua canale	-4.9E2	0	0	0	0	0	1896	2593	Pesi strutturali	2.7	0	-0.9	0	0	0
1897	2593	Variabile da traffico	644.3	0	-2.2E2	0	0	0	1898	2593	Terreno sisma X SLV	934.1	0	0	0	0	0
1899	2593	Terreno sisma X SLO	352.8	0	0	0	0	0	1900	2593	Terreno sisma X SLD	420.8	0	0	0	0	0
1901	2676	Acqua canale	-1.2E2	0	0	0	0	0	1902	2676	Variabile da traffico	321.1	0	-1.1E2	0	0	0
1903	2676	Terreno sisma X SLV	465.5	0	0	0	0	0	1904	2676	Terreno sisma X SLO	175.9	0	0	0	0	0
1905	2676	Terreno sisma X SLD	209.7	0	0	0	0	0	1906	1807	Acqua canale	-7.3E2	0	0	0	0	0
1907	1930	Acqua canale	-1.8E3	0	0	0	0	0	1908	1807	Pesi strutturali	1.2E3	0	-2.8E2	0	0	0
1909	1930	Pesi strutturali	1.9E3	0	-5.2E2	0	0	0	1910	1807	Variabile da traffico	292.7	0	-98.9	0	0	0
1911	1930	Variabile da traffico	607.1	0	-2.1E2	0	0	0	1912	1807	Terreno sisma X SLV	481.3	0	0	0	0	0
1913	1930	Terreno sisma X SLV	954.1	0	0	0	0	0	1914	1807	Terreno sisma X SLO	181.8	0	0	0	0	0

Interventi di miglioramento della diga di Cepparello nel Comune di Poggibonsi (SI)

ET.09.4 – Tabulati di calcolo_Canali fagatori con fondazioni su pali

Indice	Nodo	Condizione	Fx	Fy	Fz	Mx	My	Mz	Indice	Nodo	Condizione	Fx	Fy	Fz	Mx	My	Mz
1915	1930	Terreno sisma X SLO	360.4	0	0	0	0	0	1916	1807	Terreno sisma X SLD	216.8	0	0	0	0	0
1917	1930	Terreno sisma X SLD	429.8	0	0	0	0	0	1918	2112	Acqua canale	-1.9E3	0	0	0	0	0
1919	2112	Pesi strutturali	1.3E3	0	-4.2E2	0	0	0	1920	2112	Variabile da traffico	623.9	0	-2.1E2	0	0	0
1921	2112	Terreno sisma X SLV	912.2	0	0	0	0	0	1922	2112	Terreno sisma X SLO	344.6	0	0	0	0	0
1923	2112	Terreno sisma X SLD	410.9	0	0	0	0	0	1924	2268	Acqua canale	-1.4E3	0	0	0	0	0
1925	2268	Pesi strutturali	777	0	-2.6E2	0	0	0	1926	2268	Variabile da traffico	631.7	0	-2.1E2	0	0	0
1927	2268	Terreno sisma X SLV	915.8	0	0	0	0	0	1928	2268	Terreno sisma X SLO	345.9	0	0	0	0	0
1929	2268	Terreno sisma X SLD	412.6	0	0	0	0	0	1930	2451	Acqua canale	-9.7E2	0	0	0	0	0
1931	2451	Pesi strutturali	294.8	0	-99.6	0	0	0	1932	2451	Variabile da traffico	635.9	0	-2.1E2	0	0	0
1933	2451	Terreno sisma X SLV	921.9	0	0	0	0	0	1934	2451	Terreno sisma X SLO	348.2	0	0	0	0	0
1935	2451	Terreno sisma X SLD	415.3	0	0	0	0	0	1936	2595	Acqua canale	-4.9E2	0	0	0	0	0
1937	2595	Pesi strutturali	2.7	0	-0.9	0	0	0	1938	2595	Variabile da traffico	638.9	0	-2.2E2	0	0	0
1939	2595	Terreno sisma X SLV	926.2	0	0	0	0	0	1940	2595	Terreno sisma X SLO	349.9	0	0	0	0	0
1941	2595	Terreno sisma X SLD	417.2	0	0	0	0	0	1942	2678	Acqua canale	-1.2E2	0	0	0	0	0
1943	2678	Variabile da traffico	320.5	0	-1.1E2	0	0	0	1944	2678	Terreno sisma X SLV	464.6	0	0	0	0	0
1945	2678	Terreno sisma X SLO	175.5	0	0	0	0	0	1946	2678	Terreno sisma X SLD	209.3	0	0	0	0	0
1947	1824	Acqua canale	-2.9E2	0	0	0	0	0	1948	1932	Acqua canale	-8.0E2	0	0	0	0	0
1949	1824	Pesi strutturali	419.2	0	-1.0E2	0	0	0	1950	1932	Pesi strutturali	813.1	0	-2.3E2	0	0	0
1951	1824	Variabile da traffico	106.5	0	-36	0	0	0	1952	1932	Variabile da traffico	267.9	0	-90.5	0	0	0
1953	1824	Terreno sisma X SLV	175.1	0	0	0	0	0	1954	1932	Terreno sisma X SLV	420.7	0	0	0	0	0
1955	1824	Terreno sisma X SLO	66.2	0	0	0	0	0	1956	1932	Terreno sisma X SLO	158.9	0	0	0	0	0
1957	1824	Terreno sisma X SLD	78.9	0	0	0	0	0	1958	1932	Terreno sisma X SLD	189.5	0	0	0	0	0
1959	2114	Acqua canale	-9.0E2	0	0	0	0	0	1960	2114	Pesi strutturali	598.7	0	-2.0E2	0	0	0
1961	2114	Variabile da traffico	299.2	0	-1.0E2	0	0	0	1962	2114	Terreno sisma X SLV	437.4	0	0	0	0	0
1963	2114	Terreno sisma X SLO	165.2	0	0	0	0	0	1964	2114	Terreno sisma X SLD	197	0	0	0	0	0
1965	2270	Acqua canale	-7.1E2	0	0	0	0	0	1966	2270	Pesi strutturali	381.2	0	-1.3E2	0	0	0
1967	2270	Variabile da traffico	310.1	0	-1.0E2	0	0	0	1968	2270	Terreno sisma X SLV	449.6	0	0	0	0	0
1969	2270	Terreno sisma X SLO	169.8	0	0	0	0	0	1970	2270	Terreno sisma X SLD	202.5	0	0	0	0	0
1971	2453	Acqua canale	-4.8E2	0	0	0	0	0	1972	2453	Pesi strutturali	145.9	0	-49.3	0	0	0
1973	2453	Variabile da traffico	314.9	0	-1.1E2	0	0	0	1974	2453	Terreno sisma X SLV	456.6	0	0	0	0	0
1975	2453	Terreno sisma X SLO	172.5	0	0	0	0	0	1976	2453	Terreno sisma X SLD	205.7	0	0	0	0	0
1977	2597	Acqua canale	-2.4E2	0	0	0	0	0	1978	2597	Pesi strutturali	1.3	0	-0.5	0	0	0
1979	2597	Variabile da traffico	318.1	0	-1.1E2	0	0	0	1980	2597	Terreno sisma X SLV	461.1	0	0	0	0	0
1981	2597	Terreno sisma X SLO	174.2	0	0	0	0	0	1982	2597	Terreno sisma X SLD	207.7	0	0	0	0	0
1983	2680	Acqua canale	-60.9	0	0	0	0	0	1984	2680	Variabile da traffico	160.1	0	-54.1	0	0	0
1985	2680	Terreno sisma X SLV	232	0	0	0	0	0	1986	2680	Terreno sisma X SLO	87.7	0	0	0	0	0
1987	2680	Terreno sisma X SLD	104.5	0	0	0	0	0	1988	1628	Acqua canale	239.1	0	0	0	0	0
1989	1605	Acqua canale	549.7	0	0	0	0	0	1990	1950	Acqua canale	1.3E3	0	0	0	0	0
1991	1952	Acqua canale	613.9	0	0	0	0	0	1992	1628	Pesi strutturali	-1.2E2	0	0	0	0	0
1993	1605	Pesi strutturali	-2.8E2	0	0	0	0	0	1994	1952	Pesi strutturali	-1.2E2	0	0	0	0	0
1995	1950	Pesi strutturali	-2.6E2	0	0	0	0	0	1996	1628	Variabile da traffico	-1.1E2	0	-35.8	0	0	0
1997	1605	Variabile da traffico	-2.5E2	0	-85.7	0	0	0	1998	1952	Variabile da traffico	-2.4E2	0	-81.9	0	0	0
1999	1950	Variabile da traffico	-5.2E2	0	-1.8E2	0	0	0	2000	1628	Terreno sisma X SLV	47.9	0	0	0	0	0
2001	1605	Terreno sisma X SLV	114.6	0	0	0	0	0	2002	1952	Terreno sisma X SLV	90.9	0	0	0	0	0
2003	1950	Terreno sisma X SLV	196.3	0	0	0	0	0	2004	1628	Terreno sisma X SLO	18.1	0	0	0	0	0
2005	1605	Terreno sisma X SLO	43.3	0	0	0	0	0	2006	1952	Terreno sisma X SLO	34.3	0	0	0	0	0
2007	1950	Terreno sisma X SLO	74.1	0	0	0	0	0	2008	1628	Terreno sisma X SLD	21.6	0	0	0	0	0
2009	1605	Terreno sisma X SLD	51.6	0	0	0	0	0	2010	1952	Terreno sisma X SLD	41	0	0	0	0	0
2011	1950	Terreno sisma X SLD	88.4	0	0	0	0	0	2012	2139	Acqua canale	1.3E3	0	0	0	0	0
2013	2141	Acqua canale	623	0	0	0	0	0	2014	2141	Pesi strutturali	-1.6	0	0	0	0	0
2015	2139	Pesi strutturali	-3.3	0	0	0	0	0	2016	2141	Variabile da traffico	-31.9	0	-10.8	0	0	0
2017	2139	Variabile da traffico	-66.3	0	-22.4	0	0	0	2018	2141	Terreno sisma X SLV	10.2	0	0	0	0	0

Interventi di miglioramento della diga di Cepparello nel Comune di Poggibonsi (SI)

ET.09.4 – Tabulati di calcolo_Canali fugatori con fondazioni su pali

Indice	Nodo	Condizione	Fx	Fy	Fz	Mx	My	Mz	Indice	Nodo	Condizione	Fx	Fy	Fz	Mx	My	Mz
2019	2139	Terreno sisma X SLV	21.2	0	0	0	0	0	2020	2141	Terreno sisma X SLO	3.8	0	0	0	0	0
2021	2139	Terreno sisma X SLO	8	0	0	0	0	0	2022	2141	Terreno sisma X SLD	4.6	0	0	0	0	0
2023	2139	Terreno sisma X SLD	9.5	0	0	0	0	0	2024	2304	Acqua canale	862.1	0	0	0	0	0
2025	2306	Acqua canale	427.2	0	0	0	0	0	2026	2473	Acqua canale	435.1	0	0	0	0	0
2027	2475	Acqua canale	216.8	0	0	0	0	0	2028	2642	Acqua canale	109.5	0	0	0	0	0
2029	2645	Acqua canale	54.8	0	0	0	0	0	2030	1582	Acqua canale	627.4	0	0	0	0	0
2031	1948	Acqua canale	1.4E3	0	0	0	0	0	2032	1582	Pesi strutturali	-3.3E2	0	0	0	0	0
2033	1948	Pesi strutturali	-285	0	0	0	0	0	2034	1582	Variabile da traffico	-3.0E2	0	-1.0E2	0	0	0
2035	1948	Variabile da traffico	-5.7E2	0	-1.9E2	0	0	0	2036	1582	Terreno sisma X SLV	134.1	0	0	0	0	0
2037	1948	Terreno sisma X SLV	214.3	0	0	0	0	0	2038	1582	Terreno sisma X SLO	50.7	0	0	0	0	0
2039	1948	Terreno sisma X SLO	81	0	0	0	0	0	2040	1582	Terreno sisma X SLD	60.4	0	0	0	0	0
2041	1948	Terreno sisma X SLD	96.5	0	0	0	0	0	2042	2137	Acqua canale	1.3E3	0	0	0	0	0
2043	2137	Pesi strutturali	-3.5	0	0	0	0	0	2044	2137	Variabile da traffico	-70	0	-23.7	0	0	0
2045	2137	Terreno sisma X SLV	22.4	0	0	0	0	0	2046	2137	Terreno sisma X SLO	8.4	0	0	0	0	0
2047	2137	Terreno sisma X SLD	10.1	0	0	0	0	0	2048	2302	Acqua canale	882.2	0	0	0	0	0
2049	2471	Acqua canale	440.2	0	0	0	0	0	2050	2638	Acqua canale	110	0	0	0	0	0
2051	1548	Acqua canale	635.6	0	0	0	0	0	2052	1946	Acqua canale	1.4E3	0	0	0	0	0
2053	1548	Pesi strutturali	-3.3E2	0	0	0	0	0	2054	1946	Pesi strutturali	-2.9E2	0	0	0	0	0
2055	1548	Variabile da traffico	-3.0E2	0	-1.0E2	0	0	0	2056	1946	Variabile da traffico	-5.8E2	0	-2.0E2	0	0	0
2057	1548	Terreno sisma X SLV	135	0	0	0	0	0	2058	1946	Terreno sisma X SLV	219.2	0	0	0	0	0
2059	1548	Terreno sisma X SLO	51	0	0	0	0	0	2060	1946	Terreno sisma X SLO	82.8	0	0	0	0	0
2061	1548	Terreno sisma X SLD	60.8	0	0	0	0	0	2062	1946	Terreno sisma X SLD	98.8	0	0	0	0	0
2063	2135	Acqua canale	1364	0	0	0	0	0	2064	2135	Pesi strutturali	-3.6	0	0	0	0	0
2065	2135	Variabile da traffico	-71.8	0	-24.3	0	0	0	2066	2135	Terreno sisma X SLV	22.9	0	0	0	0	0
2067	2135	Terreno sisma X SLO	8.7	0	0	0	0	0	2068	2135	Terreno sisma X SLD	10.3	0	0	0	0	0
2069	2300	Acqua canale	897	0	0	0	0	0	2070	2469	Acqua canale	444.5	0	0	0	0	0
2071	2633	Acqua canale	110.4	0	0	0	0	0	2072	1525	Acqua canale	637.8	0	0	0	0	0
2073	1944	Acqua canale	1.4E3	0	0	0	0	0	2074	1525	Pesi strutturali	-3.3E2	0	0	0	0	0
2075	1944	Pesi strutturali	-2.9E2	0	0	0	0	0	2076	1525	Variabile da traffico	-3.0E2	0	-1.0E2	0	0	0
2077	1944	Variabile da traffico	-5.9E2	0	-198	0	0	0	2078	1525	Terreno sisma X SLV	135.2	0	0	0	0	0
2079	1944	Terreno sisma X SLV	220.6	0	0	0	0	0	2080	1525	Terreno sisma X SLO	51.1	0	0	0	0	0
2081	1944	Terreno sisma X SLO	83.3	0	0	0	0	0	2082	1525	Terreno sisma X SLD	60.9	0	0	0	0	0
2083	1944	Terreno sisma X SLD	99.4	0	0	0	0	0	2084	2133	Acqua canale	1.4E3	0	0	0	0	0
2085	2133	Pesi strutturali	-3.6	0	0	0	0	0	2086	2133	Variabile da traffico	-72.3	0	-24.4	0	0	0
2087	2133	Terreno sisma X SLV	23.1	0	0	0	0	0	2088	2133	Terreno sisma X SLO	8.7	0	0	0	0	0
2089	2133	Terreno sisma X SLD	10.4	0	0	0	0	0	2090	2298	Acqua canale	902.2	0	0	0	0	0
2091	2467	Acqua canale	446.2	0	0	0	0	0	2092	2629	Acqua canale	110.6	0	0	0	0	0
2093	1485	Acqua canale	635.6	0	0	0	0	0	2094	1942	Acqua canale	1.4E3	0	0	0	0	0
2095	1485	Pesi strutturali	-3.3E2	0	0	0	0	0	2096	1942	Pesi strutturali	-2.9E2	0	0	0	0	0
2097	1485	Variabile da traffico	-3.0E2	0	-1.0E2	0	0	0	2098	1942	Variabile da traffico	-5.8E2	0	-2.0E2	0	0	0
2099	1485	Terreno sisma X SLV	135	0	0	0	0	0	2100	1942	Terreno sisma X SLV	219.2	0	0	0	0	0
2101	1485	Terreno sisma X SLO	51	0	0	0	0	0	2102	1942	Terreno sisma X SLO	82.8	0	0	0	0	0
2103	1485	Terreno sisma X SLD	60.8	0	0	0	0	0	2104	1942	Terreno sisma X SLD	98.8	0	0	0	0	0
2105	2131	Acqua canale	1.4E3	0	0	0	0	0	2106	2131	Pesi strutturali	-3.6	0	0	0	0	0
2107	2131	Variabile da traffico	-71.8	0	-24.3	0	0	0	2108	2131	Terreno sisma X SLV	22.9	0	0	0	0	0
2109	2131	Terreno sisma X SLO	8.7	0	0	0	0	0	2110	2131	Terreno sisma X SLD	10.3	0	0	0	0	0
2111	2296	Acqua canale	897.2	0	0	0	0	0	2112	2465	Acqua canale	444.7	0	0	0	0	0
2113	2625	Acqua canale	110.5	0	0	0	0	0	2114	1460	Acqua canale	627.4	0	0	0	0	0
2115	1940	Acqua canale	1.4E3	0	0	0	0	0	2116	1460	Pesi strutturali	-3.3E2	0	0	0	0	0
2117	1940	Pesi strutturali	-285	0	0	0	0	0	2118	1460	Variabile da traffico	-3.0E2	0	-1.0E2	0	0	0
2119	1940	Variabile da traffico	-5.7E2	0	-1.9E2	0	0	0	2120	1460	Terreno sisma X SLV	134.1	0	0	0	0	0
2121	1940	Terreno sisma X SLV	214.3	0	0	0	0	0	2122	1460	Terreno sisma X SLO	50.7	0	0	0	0	0
2123	1940	Terreno sisma X SLO	81	0	0	0	0	0	2124	1460	Terreno sisma X SLD	60.4	0	0	0	0	0
2125	1940	Terreno sisma X SLD	96.5	0	0	0	0	0	2126	2129	Acqua canale	1.3E3	0	0	0	0	0
2127	2129	Pesi strutturali	-3.5	0	0	0	0	0	2128	2129	Variabile da traffico	-70	0	-23.7	0	0	0
2129	2129	Terreno sisma X SLV	22.4	0	0	0	0	0	2130	2129	Terreno sisma X SLO	8.4	0	0	0	0	0

Interventi di miglioramento della diga di Cepparello nel Comune di Poggibonsi (SI)

ET.09.4 – Tabulati di calcolo_Canali fugadori con fondazioni su pali

Indice	Nodo	Condizione	Fx	Fy	Fz	Mx	My	Mz	Indice	Nodo	Condizione	Fx	Fy	Fz	Mx	My	Mz
2131	2129	Terreno sisma X SLD	10.1	0	0	0	0	0	2132	2294	Acqua canale	883	0	0	0	0	0
2133	2463	Acqua canale	440.6	0	0	0	0	0	2134	2620	Acqua canale	110.1	0	0	0	0	0
2135	1428	Acqua canale	549.7	0	0	0	0	0	2136	1938	Acqua canale	1.3E3	0	0	0	0	0
2137	1428	Pesi strutturali	-2.8E2	0	0	0	0	0	2138	1938	Pesi strutturali	-2.6E2	0	0	0	0	0
2139	1428	Variabile da traffico	-2.5E2	0	-85.7	0	0	0	2140	1938	Variabile da traffico	-5.2E2	0	-1.8E2	0	0	0
2141	1428	Terreno sisma X SLV	114.6	0	0	0	0	0	2142	1938	Terreno sisma X SLV	196.3	0	0	0	0	0
2143	1428	Terreno sisma X SLO	43.3	0	0	0	0	0	2144	1938	Terreno sisma X SLO	74.1	0	0	0	0	0
2145	1428	Terreno sisma X SLD	51.6	0	0	0	0	0	2146	1938	Terreno sisma X SLD	88.4	0	0	0	0	0
2147	2127	Acqua canale	1.3E3	0	0	0	0	0	2148	2127	Pesi strutturali	-3.3	0	0	0	0	0
2149	2127	Variabile da traffico	-66.3	0	-22.4	0	0	0	2150	2127	Terreno sisma X SLV	21.2	0	0	0	0	0
2151	2127	Terreno sisma X SLO	8	0	0	0	0	0	2152	2127	Terreno sisma X SLD	9.5	0	0	0	0	0
2153	2292	Acqua canale	863.7	0	0	0	0	0	2154	2461	Acqua canale	435.6	0	0	0	0	0
2155	2616	Acqua canale	109.6	0	0	0	0	0	2156	1411	Acqua canale	239.1	0	0	0	0	0
2157	1935	Acqua canale	601.2	0	0	0	0	0	2158	1411	Pesi strutturali	-1.2E2	0	0	0	0	0
2159	1935	Pesi strutturali	-1.2E2	0	0	0	0	0	2160	1411	Variabile da traffico	-1.1E2	0	-35.8	0	0	0
2161	1935	Variabile da traffico	-2.4E2	0	-81.9	0	0	0	2162	1411	Terreno sisma X SLV	47.9	0	0	0	0	0
2163	1935	Terreno sisma X SLV	90.9	0	0	0	0	0	2164	1411	Terreno sisma X SLO	18.1	0	0	0	0	0
2165	1935	Terreno sisma X SLO	34.3	0	0	0	0	0	2166	1411	Terreno sisma X SLD	21.6	0	0	0	0	0
2167	1935	Terreno sisma X SLD	41	0	0	0	0	0	2168	2124	Acqua canale	617.5	0	0	0	0	0
2169	2124	Pesi strutturali	-1.6	0	0	0	0	0	2170	2124	Variabile da traffico	-31.9	0	-10.8	0	0	0
2171	2124	Terreno sisma X SLV	10.2	0	0	0	0	0	2172	2124	Terreno sisma X SLO	3.8	0	0	0	0	0
2173	2124	Terreno sisma X SLD	4.6	0	0	0	0	0	2174	2289	Acqua canale	425.5	0	0	0	0	0
2175	2458	Acqua canale	216.2	0	0	0	0	0	2176	2611	Acqua canale	54.6	0	0	0	0	0
2177	1640	Spinta idrostatica	0	0	145.5	0	0	0	2178	1638	Spinta idrostatica	0	0	291.3	0	0	0
2179	1615	Spinta idrostatica	0	0	586.9	0	0	0	2180	1617	Spinta idrostatica	0	0	292.4	0	0	0
2181	1640	Acqua canale	0	0	-3.4E2	0	0	0	2182	1638	Acqua canale	0	0	-6.7E2	0	0	0
2183	1615	Acqua canale	0	0	-1.4E3	0	0	0	2184	1617	Acqua canale	0	0	-6.8E2	0	0	0
2185	1637	Spinta idrostatica	0	0	290.5	0	0	0	2186	1614	Spinta idrostatica	0	0	584.2	0	0	0
2187	1637	Acqua canale	0	0	-6.7E2	0	0	0	2188	1614	Acqua canale	0	0	-1.4E3	0	0	0
2189	1636	Spinta idrostatica	0	0	339	0	0	0	2190	1613	Spinta idrostatica	0	0	675.6	0	0	0
2191	1636	Acqua canale	0	0	-7.8E2	0	0	0	2192	1613	Acqua canale	0	0	-1.6E3	0	0	0
2193	1635	Spinta idrostatica	0	0	388	0	0	0	2194	1612	Spinta idrostatica	0	0	766	0	0	0
2195	1635	Acqua canale	0	0	-9.0E2	0	0	0	2196	1612	Acqua canale	0	0	-1.8E3	0	0	0
2197	1634	Spinta idrostatica	0	0	338.5	0	0	0	2198	1611	Spinta idrostatica	0	0	671.4	0	0	0
2199	1634	Acqua canale	0	0	-7.8E2	0	0	0	2200	1611	Acqua canale	0	0	-1.6E3	0	0	0
2201	1633	Spinta idrostatica	0	0	290.4	0	0	0	2202	1610	Spinta idrostatica	0	0	583.9	0	0	0
2203	1633	Acqua canale	0	0	-6.7E2	0	0	0	2204	1610	Acqua canale	0	0	-1.4E3	0	0	0
2205	1632	Spinta idrostatica	0	0	291.2	0	0	0	2206	1609	Spinta idrostatica	0	0	586.6	0	0	0
2207	1632	Acqua canale	0	0	-6.7E2	0	0	0	2208	1609	Acqua canale	0	0	-1.4E3	0	0	0
2209	1630	Spinta idrostatica	0	0	145.6	0	0	0	2210	1607	Spinta idrostatica	0	0	293	0	0	0
2211	1630	Acqua canale	0	0	-3.4E2	0	0	0	2212	1607	Acqua canale	0	0	-6.8E2	0	0	0
2213	1592	Spinta idrostatica	0	0	597	0	0	0	2214	1594	Spinta idrostatica	0	0	295.5	0	0	0
2215	1592	Acqua canale	0	0	-1.4E3	0	0	0	2216	1594	Acqua canale	0	0	-6.8E2	0	0	0
2217	1591	Spinta idrostatica	0	0	610.5	0	0	0	2218	1591	Acqua canale	0	0	-1.4E3	0	0	0
2219	1590	Spinta idrostatica	0	0	662.7	0	0	0	2220	1590	Acqua canale	0	0	-1.5E3	0	0	0
2221	1589	Spinta idrostatica	0	0	712.8	0	0	0	2222	1589	Acqua canale	0	0	-1.6E3	0	0	0
2223	1588	Spinta idrostatica	0	0	664.9	0	0	0	2224	1588	Acqua canale	0	0	-1.5E3	0	0	0
2225	1587	Spinta idrostatica	0	0	604.8	0	0	0	2226	1587	Acqua canale	0	0	-1.4E3	0	0	0
2227	1586	Spinta idrostatica	0	0	595.5	0	0	0	2228	1586	Acqua canale	0	0	-1.4E3	0	0	0
2229	1584	Spinta idrostatica	0	0	296.2	0	0	0	2230	1584	Acqua canale	0	0	-685	0	0	0
2231	1569	Spinta idrostatica	0	0	599	0	0	0	2232	1571	Spinta idrostatica	0	0	297	0	0	0
2233	1569	Acqua canale	0	0	-1.4E3	0	0	0	2234	1571	Acqua canale	0	0	-6.9E2	0	0	0
2235	1568	Spinta idrostatica	0	0	610.2	0	0	0	2236	1568	Acqua canale	0	0	-1.4E3	0	0	0
2237	1567	Spinta idrostatica	0	0	664.8	0	0	0	2238	1567	Acqua canale	0	0	-1.5E3	0	0	0
2239	1566	Spinta idrostatica	0	0	708.3	0	0	0	2240	1566	Acqua canale	0	0	-1.6E3	0	0	0
2241	1565	Spinta idrostatica	0	0	656.9	0	0	0	2242	1565	Acqua canale	0	0	-1519	0	0	0
2243	1564	Spinta idrostatica	0	0	606.6	0	0	0	2244	1564	Acqua canale	0	0	-1.4E3	0	0	0
2245	1563	Spinta idrostatica	0	0	599.1	0	0	0	2246	1563	Acqua canale	0	0	-1.4E3	0	0	0
2247	1561	Spinta idrostatica	0	0	298.1	0	0	0	2248	1561	Acqua canale	0	0	-6.9E2	0	0	0

Interventi di miglioramento della diga di Cepparello nel Comune di Poggibonsi (SI)

ET.09.4 – Tabulati di calcolo_Canali fuggatori con fondazioni su pali

Indice	Nodo	Condizione	Fx	Fy	Fz	Mx	My	Mz	Indice	Nodo	Condizione	Fx	Fy	Fz	Mx	My	Mz
2249	1558	Spinta idrostatica	0	0	592.8	0	0	0	2250	1560	Spinta idrostatica	0	0	294.9	0	0	0
2251	1558	Acqua canale	0	0	-1.4E3	0	0	0	2252	1560	Acqua canale	0	0	-682	0	0	0
2253	1557	Spinta idrostatica	0	0	588.1	0	0	0	2254	1557	Acqua canale	0	0	-1.4E3	0	0	0
2255	1556	Spinta idrostatica	0	0	675	0	0	0	2256	1556	Acqua canale	0	0	-1.6E3	0	0	0
2257	1555	Spinta idrostatica	0	0	751.5	0	0	0	2258	1555	Acqua canale	0	0	-1.7E3	0	0	0
2259	1554	Spinta idrostatica	0	0	657.2	0	0	0	2260	1554	Acqua canale	0	0	-1.5E3	0	0	0
2261	1553	Spinta idrostatica	0	0	587.4	0	0	0	2262	1553	Acqua canale	0	0	-1.4E3	0	0	0
2263	1552	Spinta idrostatica	0	0	595.2	0	0	0	2264	1552	Acqua canale	0	0	-1.4E3	0	0	0
2265	1550	Spinta idrostatica	0	0	297.8	0	0	0	2266	1550	Acqua canale	0	0	-6.9E2	0	0	0
2267	1535	Spinta idrostatica	0	0	598.3	0	0	0	2268	1537	Spinta idrostatica	0	0	296.8	0	0	0
2269	1535	Acqua canale	0	0	-1.4E3	0	0	0	2270	1537	Acqua canale	0	0	-6.9E2	0	0	0
2271	1534	Spinta idrostatica	0	0	610	0	0	0	2272	1534	Acqua canale	0	0	-1.4E3	0	0	0
2273	1533	Spinta idrostatica	0	0	661.6	0	0	0	2274	1533	Acqua canale	0	0	-1.5E3	0	0	0
2275	1532	Spinta idrostatica	0	0	712	0	0	0	2276	1532	Acqua canale	0	0	-1.6E3	0	0	0
2277	1531	Spinta idrostatica	0	0	661.5	0	0	0	2278	1531	Acqua canale	0	0	-1.5E3	0	0	0
2279	1530	Spinta idrostatica	0	0	602.9	0	0	0	2280	1530	Acqua canale	0	0	-1.4E3	0	0	0
2281	1529	Spinta idrostatica	0	0	598.5	0	0	0	2282	1529	Acqua canale	0	0	-1384	0	0	0
2283	1527	Spinta idrostatica	0	0	298.5	0	0	0	2284	1527	Acqua canale	0	0	-6.9E2	0	0	0
2285	1512	Spinta idrostatica	0	0	600.4	0	0	0	2286	1514	Spinta idrostatica	0	0	297.9	0	0	0
2287	1512	Acqua canale	0	0	-1.4E3	0	0	0	2288	1514	Acqua canale	0	0	-689	0	0	0
2289	1511	Spinta idrostatica	0	0	609.6	0	0	0	2290	1511	Acqua canale	0	0	-1.4E3	0	0	0
2291	1510	Spinta idrostatica	0	0	663.8	0	0	0	2292	1510	Acqua canale	0	0	-1.5E3	0	0	0
2293	1509	Spinta idrostatica	0	0	707.5	0	0	0	2294	1509	Acqua canale	0	0	-1.6E3	0	0	0
2295	1508	Spinta idrostatica	0	0	655.5	0	0	0	2296	1508	Acqua canale	0	0	-1.5E3	0	0	0
2297	1507	Spinta idrostatica	0	0	605.9	0	0	0	2298	1507	Acqua canale	0	0	-1.4E3	0	0	0
2299	1506	Spinta idrostatica	0	0	600.2	0	0	0	2300	1506	Acqua canale	0	0	-1388	0	0	0
2301	1504	Spinta idrostatica	0	0	299.1	0	0	0	2302	1504	Acqua canale	0	0	-6.9E2	0	0	0
2303	1495	Spinta idrostatica	0	0	594.9	0	0	0	2304	1497	Spinta idrostatica	0	0	296.7	0	0	0
2305	1495	Acqua canale	0	0	-1.4E3	0	0	0	2306	1497	Acqua canale	0	0	-6.9E2	0	0	0
2307	1494	Spinta idrostatica	0	0	586.4	0	0	0	2308	1494	Acqua canale	0	0	-1.4E3	0	0	0
2309	1493	Spinta idrostatica	0	0	673.1	0	0	0	2310	1493	Acqua canale	0	0	-1.6E3	0	0	0
2311	1492	Spinta idrostatica	0	0	751.3	0	0	0	2312	1492	Acqua canale	0	0	-1.7E3	0	0	0
2313	1491	Spinta idrostatica	0	0	656.7	0	0	0	2314	1491	Acqua canale	0	0	-1.5E3	0	0	0
2315	1490	Spinta idrostatica	0	0	587.1	0	0	0	2316	1490	Acqua canale	0	0	-1.4E3	0	0	0
2317	1489	Spinta idrostatica	0	0	595.6	0	0	0	2318	1489	Acqua canale	0	0	-1.4E3	0	0	0
2319	1487	Spinta idrostatica	0	0	298.2	0	0	0	2320	1487	Acqua canale	0	0	-6.9E2	0	0	0
2321	1478	Spinta idrostatica	0	0	598.7	0	0	0	2322	1480	Spinta idrostatica	0	0	297.2	0	0	0
2323	1478	Acqua canale	0	0	-1.4E3	0	0	0	2324	1480	Acqua canale	0	0	-6.9E2	0	0	0
2325	1477	Spinta idrostatica	0	0	609.7	0	0	0	2326	1477	Acqua canale	0	0	-1410	0	0	0
2327	1476	Spinta idrostatica	0	0	661	0	0	0	2328	1476	Acqua canale	0	0	-1.5E3	0	0	0
2329	1475	Spinta idrostatica	0	0	712	0	0	0	2330	1475	Acqua canale	0	0	-1.6E3	0	0	0
2331	1474	Spinta idrostatica	0	0	661.6	0	0	0	2332	1474	Acqua canale	0	0	-1.5E3	0	0	0
2333	1473	Spinta idrostatica	0	0	602.8	0	0	0	2334	1473	Acqua canale	0	0	-1394	0	0	0
2335	1472	Spinta idrostatica	0	0	598.5	0	0	0	2336	1472	Acqua canale	0	0	-1384	0	0	0
2337	1470	Spinta idrostatica	0	0	298.5	0	0	0	2338	1470	Acqua canale	0	0	-6.9E2	0	0	0
2339	1455	Spinta idrostatica	0	0	597.9	0	0	0	2340	1457	Spinta idrostatica	0	0	297.7	0	0	0
2341	1455	Acqua canale	0	0	-1.4E3	0	0	0	2342	1457	Acqua canale	0	0	-6.9E2	0	0	0
2343	1454	Spinta idrostatica	0	0	610	0	0	0	2344	1454	Acqua canale	0	0	-1.4E3	0	0	0
2345	1453	Spinta idrostatica	0	0	664.9	0	0	0	2346	1453	Acqua canale	0	0	-1.5E3	0	0	0
2347	1452	Spinta idrostatica	0	0	707.6	0	0	0	2348	1452	Acqua canale	0	0	-1.6E3	0	0	0
2349	1451	Spinta idrostatica	0	0	657.9	0	0	0	2350	1451	Acqua canale	0	0	-1.5E3	0	0	0
2351	1450	Spinta idrostatica	0	0	606.9	0	0	0	2352	1450	Acqua canale	0	0	-1.4E3	0	0	0
2353	1449	Spinta idrostatica	0	0	598.9	0	0	0	2354	1449	Acqua canale	0	0	-1.4E3	0	0	0
2355	1447	Spinta idrostatica	0	0	298.3	0	0	0	2356	1447	Acqua canale	0	0	-6.9E2	0	0	0

Interventi di miglioramento della diga di Cepparello nel Comune di Poggibonsi (SI)

ET.09.4 – Tabulati di calcolo_Canali fuggatori con fondazioni su pali

Indice	Nodo	Condizione	Fx	Fy	Fz	Mx	My	Mz	Indice	Nodo	Condizione	Fx	Fy	Fz	Mx	My	Mz
2357	1438	Spinta idrostatica	0	0	588.7	0	0	0	2358	1440	Spinta idrostatica	0	0	294.3	0	0	0
2359	1438	Acqua canale	0	0	-1.4E3	0	0	0	2360	1440	Acqua canale	0	0	-6.8E2	0	0	0
2361	1437	Spinta idrostatica	0	0	583.7	0	0	0	2362	1437	Acqua canale	0	0	-1.3E3	0	0	0
2363	1436	Spinta idrostatica	0	0	676.3	0	0	0	2364	1436	Acqua canale	0	0	-1564	0	0	0
2365	1435	Spinta idrostatica	0	0	761.4	0	0	0	2366	1435	Acqua canale	0	0	-1.8E3	0	0	0
2367	1434	Spinta idrostatica	0	0	665.7	0	0	0	2368	1434	Acqua canale	0	0	-1.5E3	0	0	0
2369	1433	Spinta idrostatica	0	0	585.4	0	0	0	2370	1433	Acqua canale	0	0	-1.4E3	0	0	0
2371	1432	Spinta idrostatica	0	0	589.5	0	0	0	2372	1432	Acqua canale	0	0	-1.4E3	0	0	0
2373	1430	Spinta idrostatica	0	0	295	0	0	0	2374	1430	Acqua canale	0	0	-6.8E2	0	0	0
2375	1421	Spinta idrostatica	0	0	291.9	0	0	0	2376	1423	Spinta idrostatica	0	0	145.8	0	0	0
2377	1421	Acqua canale	0	0	-675	0	0	0	2378	1423	Acqua canale	0	0	-3.4E2	0	0	0
2379	1420	Spinta idrostatica	0	0	290.5	0	0	0	2380	1420	Acqua canale	0	0	-6.7E2	0	0	0
2381	1419	Spinta idrostatica	0	0	337.9	0	0	0	2382	1419	Acqua canale	0	0	-7.8E2	0	0	0
2383	1418	Spinta idrostatica	0	0	388.1	0	0	0	2384	1418	Acqua canale	0	0	-9.0E2	0	0	0
2385	1417	Spinta idrostatica	0	0	338.4	0	0	0	2386	1417	Acqua canale	0	0	-7.8E2	0	0	0
2387	1416	Spinta idrostatica	0	0	289.4	0	0	0	2388	1416	Acqua canale	0	0	-6.7E2	0	0	0
2389	1415	Spinta idrostatica	0	0	291.8	0	0	0	2390	1415	Acqua canale	0	0	-6.7E2	0	0	0
2391	1413	Spinta idrostatica	0	0	146.2	0	0	0	2392	1413	Acqua canale	0	0	-3.4E2	0	0	0
2393	1654	Acqua canale	-1.1E2	0	0	0	0	0	2394	1671	Acqua canale	-2.2E2	0	0	0	0	0
2395	1855	Acqua canale	-7.7E2	0	0	0	0	0	2396	1854	Acqua canale	-3.9E2	0	0	0	0	0
2397	1654	Pesi strutturali	287.5	0	-73.1	0	0	0	2398	1671	Pesi strutturali	575	0	-1.5E2	0	0	0
2399	1854	Pesi strutturali	507.5	0	-1.4E2	0	0	0	2400	1855	Pesi strutturali	1.0E3	0	-2.8E2	0	0	0
2401	1654	Variabile da traffico	60.5	0	-20.4	0	0	0	2402	1671	Variabile da traffico	121	0	-40.9	0	0	0
2403	1854	Variabile da traffico	121	0	-40.9	0	0	0	2404	1855	Variabile da traffico	241.9	0	-81.7	0	0	0
2405	1654	Terreno sisma X SLV	115.3	0	0	0	0	0	2406	1671	Terreno sisma X SLV	230.6	0	0	0	0	0
2407	1854	Terreno sisma X SLV	225.1	0	0	0	0	0	2408	1855	Terreno sisma X SLV	450.1	0	0	0	0	0
2409	1654	Terreno sisma X SLO	43.6	0	0	0	0	0	2410	1671	Terreno sisma X SLO	87.1	0	0	0	0	0
2411	1854	Terreno sisma X SLO	85	0	0	0	0	0	2412	1855	Terreno sisma X SLO	170	0	0	0	0	0
2413	1654	Terreno sisma X SLD	51.9	0	0	0	0	0	2414	1671	Terreno sisma X SLD	103.9	0	0	0	0	0
2415	1854	Terreno sisma X SLD	101.4	0	0	0	0	0	2416	1855	Terreno sisma X SLD	202.8	0	0	0	0	0
2417	2008	Acqua canale	-1.0E3	0	0	0	0	0	2418	2007	Acqua canale	-5.2E2	0	0	0	0	0
2419	2007	Pesi strutturali	417.4	0	-1.3E2	0	0	0	2420	2008	Pesi strutturali	834.8	0	-2.5E2	0	0	0
2421	2007	Variabile da traffico	121	0	-40.9	0	0	0	2422	2008	Variabile da traffico	241.9	0	-81.7	0	0	0
2423	2007	Terreno sisma X SLV	217.7	0	0	0	0	0	2424	2008	Terreno sisma X SLV	435.4	0	0	0	0	0
2425	2007	Terreno sisma X SLO	82.2	0	0	0	0	0	2426	2008	Terreno sisma X SLO	164.5	0	0	0	0	0
2427	2007	Terreno sisma X SLD	98.1	0	0	0	0	0	2428	2008	Terreno sisma X SLD	196.1	0	0	0	0	0
2429	2073	Acqua canale	-9.3E2	0	0	0	0	0	2430	2072	Acqua canale	-4.6E2	0	0	0	0	0
2431	2072	Pesi strutturali	337.5	0	-1.1E2	0	0	0	2432	2073	Pesi strutturali	675	0	-2.3E2	0	0	0
2433	2072	Variabile da traffico	121	0	-40.9	0	0	0	2434	2073	Variabile da traffico	241.9	0	-81.7	0	0	0
2435	2072	Terreno sisma X SLV	207.4	0	0	0	0	0	2436	2073	Terreno sisma X SLV	414.8	0	0	0	0	0
2437	2072	Terreno sisma X SLO	78.3	0	0	0	0	0	2438	2073	Terreno sisma X SLO	156.7	0	0	0	0	0
2439	2072	Terreno sisma X SLD	93.4	0	0	0	0	0	2440	2073	Terreno sisma X SLD	186.9	0	0	0	0	0
2441	2209	Acqua canale	-8.1E2	0	0	0	0	0	2442	2208	Acqua canale	-4.1E2	0	0	0	0	0
2443	2208	Pesi strutturali	278.6	0	-94.1	0	0	0	2444	2209	Pesi strutturali	557.2	0	-1.9E2	0	0	0
2445	2208	Variabile da traffico	121	0	-40.9	0	0	0	2446	2209	Variabile da traffico	241.9	0	-81.7	0	0	0
2447	2208	Terreno sisma X SLV	205.9	0	0	0	0	0	2448	2209	Terreno sisma X SLV	411.9	0	0	0	0	0
2449	2208	Terreno sisma X SLO	77.8	0	0	0	0	0	2450	2209	Terreno sisma X SLO	155.6	0	0	0	0	0
2451	2208	Terreno sisma X SLD	92.8	0	0	0	0	0	2452	2209	Terreno sisma X SLD	185.5	0	0	0	0	0
2453	2309	Acqua canale	-7.0E2	0	0	0	0	0	2454	2308	Acqua canale	-3.5E2	0	0	0	0	0
2455	2308	Pesi strutturali	220.3	0	-74.4	0	0	0	2456	2309	Pesi strutturali	440.7	0	-1.5E2	0	0	0
2457	2308	Variabile da traffico	121	0	-40.9	0	0	0	2458	2309	Variabile da traffico	241.9	0	-81.7	0	0	0
2459	2308	Terreno sisma X SLV	205.9	0	0	0	0	0	2460	2309	Terreno sisma X SLV	411.9	0	0	0	0	0
2461	2308	Terreno sisma X SLO	77.8	0	0	0	0	0	2462	2309	Terreno sisma X SLO	155.6	0	0	0	0	0
2463	2308	Terreno sisma X SLD	92.8	0	0	0	0	0	2464	2309	Terreno sisma X SLD	185.5	0	0	0	0	0
2465	2384	Acqua canale	-5.8E2	0	0	0	0	0	2466	2383	Acqua canale	-2.9E2	0	0	0	0	0

Interventi di miglioramento della diga di Cepparello nel Comune di Poggibonsi (SI)

ET.09.4 – Tabulati di calcolo_Canali fagatori con fondazioni su pali

Indice	Nodo	Condizione	Fx	Fy	Fz	Mx	My	Mz	Indice	Nodo	Condizione	Fx	Fy	Fz	Mx	My	Mz
2467	2383	Pesi strutturali	162	0	-54.8	0	0	0	2468	2384	Pesi strutturali	324.1	0	-1.1E2	0	0	0
2469	2383	Variabile da traffico	121	0	-40.9	0	0	0	2470	2384	Variabile da traffico	241.9	0	-81.7	0	0	0
2471	2383	Terreno sisma X SLV	205.9	0	0	0	0	0	2472	2384	Terreno sisma X SLV	411.9	0	0	0	0	0
2473	2383	Terreno sisma X SLO	77.8	0	0	0	0	0	2474	2384	Terreno sisma X SLO	155.6	0	0	0	0	0
2475	2383	Terreno sisma X SLD	92.8	0	0	0	0	0	2476	2384	Terreno sisma X SLD	185.5	0	0	0	0	0
2477	2480	Acqua canale	-4.6E2	0	0	0	0	0	2478	2479	Acqua canale	-2.3E2	0	0	0	0	0
2479	2479	Pesi strutturali	103.8	0	-35.1	0	0	0	2480	2480	Pesi strutturali	207.5	0	-70.1	0	0	0
2481	2479	Variabile da traffico	121	0	-40.9	0	0	0	2482	2480	Variabile da traffico	241.9	0	-81.7	0	0	0
2483	2479	Terreno sisma X SLV	205.9	0	0	0	0	0	2484	2480	Terreno sisma X SLV	411.9	0	0	0	0	0
2485	2479	Terreno sisma X SLO	77.8	0	0	0	0	0	2486	2480	Terreno sisma X SLO	155.6	0	0	0	0	0
2487	2479	Terreno sisma X SLD	92.8	0	0	0	0	0	2488	2480	Terreno sisma X SLD	185.5	0	0	0	0	0
2489	2600	Acqua canale	-3.5E2	0	0	0	0	0	2490	2599	Acqua canale	-1.7E2	0	0	0	0	0
2491	2599	Pesi strutturali	45.5	0	-15.4	0	0	0	2492	2600	Pesi strutturali	91	0	-30.7	0	0	0
2493	2599	Variabile da traffico	121	0	-40.9	0	0	0	2494	2600	Variabile da traffico	241.9	0	-81.7	0	0	0
2495	2599	Terreno sisma X SLV	205.9	0	0	0	0	0	2496	2600	Terreno sisma X SLV	411.9	0	0	0	0	0
2497	2599	Terreno sisma X SLO	77.8	0	0	0	0	0	2498	2600	Terreno sisma X SLO	155.6	0	0	0	0	0
2499	2599	Terreno sisma X SLD	92.8	0	0	0	0	0	2500	2600	Terreno sisma X SLD	185.5	0	0	0	0	0
2501	2654	Acqua canale	-2.3E2	0	0	0	0	0	2502	2653	Acqua canale	-1.2E2	0	0	0	0	0
2503	2653	Pesi strutturali	2.3	0	-0.8	0	0	0	2504	2654	Pesi strutturali	4.6	0	-1.5	0	0	0
2505	2653	Variabile da traffico	121	0	-40.9	0	0	0	2506	2654	Variabile da traffico	241.9	0	-81.7	0	0	0
2507	2653	Terreno sisma X SLV	205.9	0	0	0	0	0	2508	2654	Terreno sisma X SLV	411.9	0	0	0	0	0
2509	2653	Terreno sisma X SLO	77.8	0	0	0	0	0	2510	2654	Terreno sisma X SLO	155.6	0	0	0	0	0
2511	2653	Terreno sisma X SLD	92.8	0	0	0	0	0	2512	2654	Terreno sisma X SLD	185.5	0	0	0	0	0
2513	2686	Acqua canale	-1.2E2	0	0	0	0	0	2514	2685	Acqua canale	-58	0	0	0	0	0
2515	2685	Variabile da traffico	121	0	-40.9	0	0	0	2516	2686	Variabile da traffico	241.9	0	-81.7	0	0	0
2517	2685	Terreno sisma X SLV	205.9	0	0	0	0	0	2518	2686	Terreno sisma X SLV	411.9	0	0	0	0	0
2519	2685	Terreno sisma X SLO	77.8	0	0	0	0	0	2520	2686	Terreno sisma X SLO	155.6	0	0	0	0	0
2521	2685	Terreno sisma X SLD	92.8	0	0	0	0	0	2522	2686	Terreno sisma X SLD	185.5	0	0	0	0	0
2523	2698	Acqua canale	-29	0	0	0	0	0	2524	2696	Acqua canale	-14.5	0	0	0	0	0
2525	2696	Variabile da traffico	60.5	0	-20.4	0	0	0	2526	2698	Variabile da traffico	121	0	-40.9	0	0	0
2527	2696	Terreno sisma X SLV	103	0	0	0	0	0	2528	2698	Terreno sisma X SLV	205.9	0	0	0	0	0
2529	2696	Terreno sisma X SLO	38.9	0	0	0	0	0	2530	2698	Terreno sisma X SLO	77.8	0	0	0	0	0
2531	2696	Terreno sisma X SLD	46.4	0	0	0	0	0	2532	2698	Terreno sisma X SLD	92.8	0	0	0	0	0
2533	1688	Acqua canale	-2.2E2	0	0	0	0	0	2534	1856	Acqua canale	-7.7E2	0	0	0	0	0
2535	1688	Pesi strutturali	575	0	-1.5E2	0	0	0	2536	1856	Pesi strutturali	1.0E3	0	-2.8E2	0	0	0
2537	1688	Variabile da traffico	121	0	-40.9	0	0	0	2538	1856	Variabile da traffico	241.9	0	-81.7	0	0	0
2539	1688	Terreno sisma X SLV	230.6	0	0	0	0	0	2540	1856	Terreno sisma X SLV	450.1	0	0	0	0	0
2541	1688	Terreno sisma X SLO	87.1	0	0	0	0	0	2542	1856	Terreno sisma X SLO	170	0	0	0	0	0
2543	1688	Terreno sisma X SLD	103.9	0	0	0	0	0	2544	1856	Terreno sisma X SLD	202.8	0	0	0	0	0
2545	2009	Acqua canale	-1.0E3	0	0	0	0	0	2546	2009	Pesi strutturali	834.8	0	-2.5E2	0	0	0
2547	2009	Variabile da traffico	241.9	0	-81.7	0	0	0	2548	2009	Terreno sisma X SLV	435.4	0	0	0	0	0
2549	2009	Terreno sisma X SLO	164.5	0	0	0	0	0	2550	2009	Terreno sisma X SLD	196.1	0	0	0	0	0
2551	2074	Acqua canale	-9.3E2	0	0	0	0	0	2552	2074	Pesi strutturali	675	0	-2.3E2	0	0	0
2553	2074	Variabile da traffico	241.9	0	-81.7	0	0	0	2554	2074	Terreno sisma X SLV	414.8	0	0	0	0	0
2555	2074	Terreno sisma X SLO	156.7	0	0	0	0	0	2556	2074	Terreno sisma X SLD	186.9	0	0	0	0	0
2557	2210	Acqua canale	-8.1E2	0	0	0	0	0	2558	2210	Pesi strutturali	557.2	0	-1.9E2	0	0	0
2559	2210	Variabile da traffico	241.9	0	-81.7	0	0	0	2560	2210	Terreno sisma X SLV	411.9	0	0	0	0	0
2561	2210	Terreno sisma X SLO	155.6	0	0	0	0	0	2562	2210	Terreno sisma X SLD	185.5	0	0	0	0	0
2563	2310	Acqua canale	-7.0E2	0	0	0	0	0	2564	2310	Pesi strutturali	440.7	0	-1.5E2	0	0	0
2565	2310	Variabile da traffico	241.9	0	-81.7	0	0	0	2566	2310	Terreno sisma X SLV	411.9	0	0	0	0	0
2567	2310	Terreno sisma X SLO	155.6	0	0	0	0	0	2568	2310	Terreno sisma X SLD	185.5	0	0	0	0	0
2569	2385	Acqua canale	-5.8E2	0	0	0	0	0	2570	2385	Pesi strutturali	324.1	0	-1.1E2	0	0	0
2571	2385	Variabile da traffico	241.9	0	-81.7	0	0	0	2572	2385	Terreno sisma X SLV	411.9	0	0	0	0	0
2573	2385	Terreno sisma X SLO	155.6	0	0	0	0	0	2574	2385	Terreno sisma X SLD	185.5	0	0	0	0	0

Interventi di miglioramento della diga di Cepparello nel Comune di Poggibonsi (SI)

ET.09.4 – Tabulati di calcolo_Canali fagatori con fondazioni su pali

Indice	Nodo	Condizione	Fx	Fy	Fz	Mx	My	Mz	Indice	Nodo	Condizione	Fx	Fy	Fz	Mx	My	Mz
2575	2481	Acqua canale	-4.6E2	0	0	0	0	0	2576	2481	Pesi strutturali	207.5	0	-70.1	0	0	0
2577	2481	Variabile da traffico	241.9	0	-81.7	0	0	0	2578	2481	Terreno sisma X SLV	411.9	0	0	0	0	0
2579	2481	Terreno sisma X SLO	155.6	0	0	0	0	0	2580	2481	Terreno sisma X SLD	185.5	0	0	0	0	0
2581	2601	Acqua canale	-3.5E2	0	0	0	0	0	2582	2601	Pesi strutturali	91	0	-30.7	0	0	0
2583	2601	Variabile da traffico	241.9	0	-81.7	0	0	0	2584	2601	Terreno sisma X SLV	411.9	0	0	0	0	0
2585	2601	Terreno sisma X SLO	155.6	0	0	0	0	0	2586	2601	Terreno sisma X SLD	185.5	0	0	0	0	0
2587	2655	Acqua canale	-2.3E2	0	0	0	0	0	2588	2655	Pesi strutturali	4.6	0	-1.5	0	0	0
2589	2655	Variabile da traffico	241.9	0	-81.7	0	0	0	2590	2655	Terreno sisma X SLV	411.9	0	0	0	0	0
2591	2655	Terreno sisma X SLO	155.6	0	0	0	0	0	2592	2655	Terreno sisma X SLD	185.5	0	0	0	0	0
2593	2687	Acqua canale	-1.2E2	0	0	0	0	0	2594	2687	Variabile da traffico	241.9	0	-81.7	0	0	0
2595	2687	Terreno sisma X SLV	411.9	0	0	0	0	0	2596	2687	Terreno sisma X SLO	155.6	0	0	0	0	0
2597	2687	Terreno sisma X SLD	185.5	0	0	0	0	0	2598	2700	Acqua canale	-29	0	0	0	0	0
2599	2700	Variabile da traffico	121	0	-40.9	0	0	0	2600	2700	Terreno sisma X SLV	205.9	0	0	0	0	0
2601	2700	Terreno sisma X SLO	77.8	0	0	0	0	0	2602	2700	Terreno sisma X SLD	92.8	0	0	0	0	0
2603	1705	Acqua canale	-2.2E2	0	0	0	0	0	2604	1857	Acqua canale	-7.7E2	0	0	0	0	0
2605	1705	Pesi strutturali	575	0	-1.5E2	0	0	0	2606	1857	Pesi strutturali	1.0E3	0	-2.8E2	0	0	0
2607	1705	Variabile da traffico	121	0	-40.9	0	0	0	2608	1857	Variabile da traffico	241.9	0	-81.7	0	0	0
2609	1705	Terreno sisma X SLV	230.6	0	0	0	0	0	2610	1857	Terreno sisma X SLV	450.1	0	0	0	0	0
2611	1705	Terreno sisma X SLO	87.1	0	0	0	0	0	2612	1857	Terreno sisma X SLD	170	0	0	0	0	0
2613	1705	Terreno sisma X SLD	103.9	0	0	0	0	0	2614	1857	Terreno sisma X SLD	202.8	0	0	0	0	0
2615	2010	Acqua canale	-1.0E3	0	0	0	0	0	2616	2010	Pesi strutturali	834.8	0	-2.5E2	0	0	0
2617	2010	Variabile da traffico	241.9	0	-81.7	0	0	0	2618	2010	Terreno sisma X SLV	435.4	0	0	0	0	0
2619	2010	Terreno sisma X SLO	164.5	0	0	0	0	0	2620	2010	Terreno sisma X SLD	196.1	0	0	0	0	0
2621	2075	Acqua canale	-9.3E2	0	0	0	0	0	2622	2075	Pesi strutturali	675	0	-2.3E2	0	0	0
2623	2075	Variabile da traffico	241.9	0	-81.7	0	0	0	2624	2075	Terreno sisma X SLV	414.8	0	0	0	0	0
2625	2075	Terreno sisma X SLO	156.7	0	0	0	0	0	2626	2075	Terreno sisma X SLD	186.9	0	0	0	0	0
2627	2211	Acqua canale	-8.1E2	0	0	0	0	0	2628	2211	Pesi strutturali	557.2	0	-1.9E2	0	0	0
2629	2211	Variabile da traffico	241.9	0	-81.7	0	0	0	2630	2211	Terreno sisma X SLV	411.9	0	0	0	0	0
2631	2211	Terreno sisma X SLO	155.6	0	0	0	0	0	2632	2211	Terreno sisma X SLD	185.5	0	0	0	0	0
2633	2311	Acqua canale	-7.0E2	0	0	0	0	0	2634	2311	Pesi strutturali	440.7	0	-1.5E2	0	0	0
2635	2311	Variabile da traffico	241.9	0	-81.7	0	0	0	2636	2311	Terreno sisma X SLV	411.9	0	0	0	0	0
2637	2311	Terreno sisma X SLO	155.6	0	0	0	0	0	2638	2311	Terreno sisma X SLD	185.5	0	0	0	0	0
2639	2386	Acqua canale	-5.8E2	0	0	0	0	0	2640	2386	Pesi strutturali	324.1	0	-1.1E2	0	0	0
2641	2386	Variabile da traffico	241.9	0	-81.7	0	0	0	2642	2386	Terreno sisma X SLV	411.9	0	0	0	0	0
2643	2386	Terreno sisma X SLO	155.6	0	0	0	0	0	2644	2386	Terreno sisma X SLD	185.5	0	0	0	0	0
2645	2482	Acqua canale	-4.6E2	0	0	0	0	0	2646	2482	Pesi strutturali	207.5	0	-70.1	0	0	0
2647	2482	Variabile da traffico	241.9	0	-81.7	0	0	0	2648	2482	Terreno sisma X SLV	411.9	0	0	0	0	0
2649	2482	Terreno sisma X SLO	155.6	0	0	0	0	0	2650	2482	Terreno sisma X SLD	185.5	0	0	0	0	0
2651	2602	Acqua canale	-3.5E2	0	0	0	0	0	2652	2602	Pesi strutturali	91	0	-30.7	0	0	0
2653	2602	Variabile da traffico	241.9	0	-81.7	0	0	0	2654	2602	Terreno sisma X SLV	411.9	0	0	0	0	0
2655	2602	Terreno sisma X SLO	155.6	0	0	0	0	0	2656	2602	Terreno sisma X SLD	185.5	0	0	0	0	0
2657	2656	Acqua canale	-2.3E2	0	0	0	0	0	2658	2656	Pesi strutturali	4.6	0	-1.5	0	0	0
2659	2656	Variabile da traffico	241.9	0	-81.7	0	0	0	2660	2656	Terreno sisma X SLV	411.9	0	0	0	0	0
2661	2656	Terreno sisma X SLO	155.6	0	0	0	0	0	2662	2656	Terreno sisma X SLD	185.5	0	0	0	0	0
2663	2688	Acqua canale	-1.2E2	0	0	0	0	0	2664	2688	Variabile da traffico	241.9	0	-81.7	0	0	0
2665	2688	Terreno sisma X SLV	411.9	0	0	0	0	0	2666	2688	Terreno sisma X SLO	155.6	0	0	0	0	0
2667	2688	Terreno sisma X SLD	185.5	0	0	0	0	0	2668	2701	Acqua canale	-29	0	0	0	0	0
2669	2701	Variabile da traffico	121	0	-40.9	0	0	0	2670	2701	Terreno sisma X SLV	205.9	0	0	0	0	0
2671	2701	Terreno sisma X SLO	77.8	0	0	0	0	0	2672	2701	Terreno sisma X SLD	92.8	0	0	0	0	0
2673	1722	Acqua canale	-2.2E2	0	0	0	0	0	2674	1858	Acqua canale	-7.7E2	0	0	0	0	0
2675	1722	Pesi strutturali	575	0	-1.5E2	0	0	0	2676	1858	Pesi strutturali	1.0E3	0	-2.8E2	0	0	0
2677	1722	Variabile da traffico	121	0	-40.9	0	0	0	2678	1858	Variabile da traffico	241.9	0	-81.7	0	0	0

Interventi di miglioramento della diga di Cepparello nel Comune di Poggibonsi (SI)

ET.09.4 – Tabulati di calcolo_Canali fugatori con fondazioni su pali

Indice	Nodo	Condizione	Fx	Fy	Fz	Mx	My	Mz	Indice	Nodo	Condizione	Fx	Fy	Fz	Mx	My	Mz
2679	1722	Terreno sisma X SLV	230.6	0	0	0	0	0	2680	1858	Terreno sisma X SLV	450.1	0	0	0	0	0
2681	1722	Terreno sisma X SLO	87.1	0	0	0	0	0	2682	1858	Terreno sisma X SLO	170	0	0	0	0	0
2683	1722	Terreno sisma X SLD	103.9	0	0	0	0	0	2684	1858	Terreno sisma X SLD	202.8	0	0	0	0	0
2685	2011	Acqua canale	-1.0E3	0	0	0	0	0	2686	2011	Pesi strutturali	834.8	0	-2.5E2	0	0	0
2687	2011	Variabile da traffico	241.9	0	-81.7	0	0	0	2688	2011	Terreno sisma X SLV	435.4	0	0	0	0	0
2689	2011	Terreno sisma X SLO	164.5	0	0	0	0	0	2690	2011	Terreno sisma X SLD	196.1	0	0	0	0	0
2691	2076	Acqua canale	-9.3E2	0	0	0	0	0	2692	2076	Pesi strutturali	675	0	-2.3E2	0	0	0
2693	2076	Variabile da traffico	241.9	0	-81.7	0	0	0	2694	2076	Terreno sisma X SLV	414.8	0	0	0	0	0
2695	2076	Terreno sisma X SLO	156.7	0	0	0	0	0	2696	2076	Terreno sisma X SLD	186.9	0	0	0	0	0
2697	2212	Acqua canale	-8.1E2	0	0	0	0	0	2698	2212	Pesi strutturali	557.2	0	-1.9E2	0	0	0
2699	2212	Variabile da traffico	241.9	0	-81.7	0	0	0	2700	2212	Terreno sisma X SLV	411.9	0	0	0	0	0
2701	2212	Terreno sisma X SLO	155.6	0	0	0	0	0	2702	2212	Terreno sisma X SLD	185.5	0	0	0	0	0
2703	2312	Acqua canale	-7.0E2	0	0	0	0	0	2704	2312	Pesi strutturali	440.7	0	-1.5E2	0	0	0
2705	2312	Variabile da traffico	241.9	0	-81.7	0	0	0	2706	2312	Terreno sisma X SLV	411.9	0	0	0	0	0
2707	2312	Terreno sisma X SLO	155.6	0	0	0	0	0	2708	2312	Terreno sisma X SLD	185.5	0	0	0	0	0
2709	2387	Acqua canale	-5.8E2	0	0	0	0	0	2710	2387	Pesi strutturali	324.1	0	-1.1E2	0	0	0
2711	2387	Variabile da traffico	241.9	0	-81.7	0	0	0	2712	2387	Terreno sisma X SLV	411.9	0	0	0	0	0
2713	2387	Terreno sisma X SLO	155.6	0	0	0	0	0	2714	2387	Terreno sisma X SLD	185.5	0	0	0	0	0
2715	2483	Acqua canale	-4.6E2	0	0	0	0	0	2716	2483	Pesi strutturali	207.5	0	-70.1	0	0	0
2717	2483	Variabile da traffico	241.9	0	-81.7	0	0	0	2718	2483	Terreno sisma X SLV	411.9	0	0	0	0	0
2719	2483	Terreno sisma X SLO	155.6	0	0	0	0	0	2720	2483	Terreno sisma X SLD	185.5	0	0	0	0	0
2721	2603	Acqua canale	-3.5E2	0	0	0	0	0	2722	2603	Pesi strutturali	91	0	-30.7	0	0	0
2723	2603	Variabile da traffico	241.9	0	-81.7	0	0	0	2724	2603	Terreno sisma X SLV	411.9	0	0	0	0	0
2725	2603	Terreno sisma X SLO	155.6	0	0	0	0	0	2726	2603	Terreno sisma X SLD	185.5	0	0	0	0	0
2727	2657	Acqua canale	-2.3E2	0	0	0	0	0	2728	2657	Pesi strutturali	4.6	0	-1.5	0	0	0
2729	2657	Variabile da traffico	241.9	0	-81.7	0	0	0	2730	2657	Terreno sisma X SLV	411.9	0	0	0	0	0
2731	2657	Terreno sisma X SLO	155.6	0	0	0	0	0	2732	2657	Terreno sisma X SLD	185.5	0	0	0	0	0
2733	2689	Acqua canale	-1.2E2	0	0	0	0	0	2734	2689	Variabile da traffico	241.9	0	-81.7	0	0	0
2735	2689	Terreno sisma X SLV	411.9	0	0	0	0	0	2736	2689	Terreno sisma X SLO	155.6	0	0	0	0	0
2737	2689	Terreno sisma X SLD	185.5	0	0	0	0	0	2738	2703	Acqua canale	-29	0	0	0	0	0
2739	2703	Variabile da traffico	121	0	-40.9	0	0	0	2740	2703	Terreno sisma X SLV	205.9	0	0	0	0	0
2741	2703	Terreno sisma X SLO	77.8	0	0	0	0	0	2742	2703	Terreno sisma X SLD	92.8	0	0	0	0	0
2743	1745	Acqua canale	-2.2E2	0	0	0	0	0	2744	1859	Acqua canale	-7.7E2	0	0	0	0	0
2745	1745	Pesi strutturali	575	0	-1.5E2	0	0	0	2746	1859	Pesi strutturali	1.0E3	0	-2.8E2	0	0	0
2747	1745	Variabile da traffico	121	0	-40.9	0	0	0	2748	1859	Variabile da traffico	241.9	0	-81.7	0	0	0
2749	1745	Terreno sisma X SLV	230.6	0	0	0	0	0	2750	1859	Terreno sisma X SLV	450.1	0	0	0	0	0
2751	1745	Terreno sisma X SLO	87.1	0	0	0	0	0	2752	1859	Terreno sisma X SLO	170	0	0	0	0	0
2753	1745	Terreno sisma X SLD	103.9	0	0	0	0	0	2754	1859	Terreno sisma X SLD	202.8	0	0	0	0	0
2755	2012	Acqua canale	-1.0E3	0	0	0	0	0	2756	2012	Pesi strutturali	834.8	0	-2.5E2	0	0	0
2757	2012	Variabile da traffico	241.9	0	-81.7	0	0	0	2758	2012	Terreno sisma X SLV	435.4	0	0	0	0	0
2759	2012	Terreno sisma X SLO	164.5	0	0	0	0	0	2760	2012	Terreno sisma X SLD	196.1	0	0	0	0	0
2761	2077	Acqua canale	-9.3E2	0	0	0	0	0	2762	2077	Pesi strutturali	675	0	-2.3E2	0	0	0
2763	2077	Variabile da traffico	241.9	0	-81.7	0	0	0	2764	2077	Terreno sisma X SLV	414.8	0	0	0	0	0
2765	2077	Terreno sisma X SLO	156.7	0	0	0	0	0	2766	2077	Terreno sisma X SLD	186.9	0	0	0	0	0
2767	2213	Acqua canale	-8.1E2	0	0	0	0	0	2768	2213	Pesi strutturali	557.2	0	-1.9E2	0	0	0
2769	2213	Variabile da traffico	241.9	0	-81.7	0	0	0	2770	2213	Terreno sisma X SLV	411.9	0	0	0	0	0
2771	2213	Terreno sisma X SLO	155.6	0	0	0	0	0	2772	2213	Terreno sisma X SLD	185.5	0	0	0	0	0
2773	2313	Acqua canale	-7.0E2	0	0	0	0	0	2774	2313	Pesi strutturali	440.7	0	-1.5E2	0	0	0
2775	2313	Variabile da traffico	241.9	0	-81.7	0	0	0	2776	2313	Terreno sisma X SLV	411.9	0	0	0	0	0
2777	2313	Terreno sisma X SLO	155.6	0	0	0	0	0	2778	2313	Terreno sisma X SLD	185.5	0	0	0	0	0
2779	2388	Acqua canale	-5.8E2	0	0	0	0	0	2780	2388	Pesi strutturali	324.1	0	-1.1E2	0	0	0

Interventi di miglioramento della diga di Cepparello nel Comune di Poggibonsi (SI)

ET.09.4 – Tabulati di calcolo_Canali fugatori con fondazioni su pali

Indice	Nodo	Condizione	Fx	Fy	Fz	Mx	My	Mz	Indice	Nodo	Condizione	Fx	Fy	Fz	Mx	My	Mz
2781	2388	Variabile da traffico	241.9	0	-81.7	0	0	0	2782	2388	Terreno sisma X SLV	411.9	0	0	0	0	0
2783	2388	Terreno sisma X SLO	155.6	0	0	0	0	0	2784	2388	Terreno sisma X SLD	185.5	0	0	0	0	0
2785	2484	Acqua canale	-4.6E2	0	0	0	0	0	2786	2484	Pesi strutturali	207.5	0	-70.1	0	0	0
2787	2484	Variabile da traffico	241.9	0	-81.7	0	0	0	2788	2484	Terreno sisma X SLV	411.9	0	0	0	0	0
2789	2484	Terreno sisma X SLO	155.6	0	0	0	0	0	2790	2484	Terreno sisma X SLD	185.5	0	0	0	0	0
2791	2604	Acqua canale	-3.5E2	0	0	0	0	0	2792	2604	Pesi strutturali	91	0	-30.7	0	0	0
2793	2604	Variabile da traffico	241.9	0	-81.7	0	0	0	2794	2604	Terreno sisma X SLV	411.9	0	0	0	0	0
2795	2604	Terreno sisma X SLO	155.6	0	0	0	0	0	2796	2604	Terreno sisma X SLD	185.5	0	0	0	0	0
2797	2658	Acqua canale	-2.3E2	0	0	0	0	0	2798	2658	Pesi strutturali	4.6	0	-1.5	0	0	0
2799	2658	Variabile da traffico	241.9	0	-81.7	0	0	0	2800	2658	Terreno sisma X SLV	411.9	0	0	0	0	0
2801	2658	Terreno sisma X SLO	155.6	0	0	0	0	0	2802	2658	Terreno sisma X SLD	185.5	0	0	0	0	0
2803	2690	Acqua canale	-1.2E2	0	0	0	0	0	2804	2690	Variabile da traffico	241.9	0	-81.7	0	0	0
2805	2690	Terreno sisma X SLV	411.9	0	0	0	0	0	2806	2690	Terreno sisma X SLO	155.6	0	0	0	0	0
2807	2690	Terreno sisma X SLD	185.5	0	0	0	0	0	2808	2704	Acqua canale	-29	0	0	0	0	0
2809	2704	Variabile da traffico	121	0	-40.9	0	0	0	2810	2704	Terreno sisma X SLV	205.9	0	0	0	0	0
2811	2704	Terreno sisma X SLO	77.8	0	0	0	0	0	2812	2704	Terreno sisma X SLD	92.8	0	0	0	0	0
2813	1756	Acqua canale	-2.2E2	0	0	0	0	0	2814	1860	Acqua canale	-7.7E2	0	0	0	0	0
2815	1756	Pesi strutturali	575	0	-1.5E2	0	0	0	2816	1860	Pesi strutturali	1.0E3	0	-2.8E2	0	0	0
2817	1756	Variabile da traffico	121	0	-40.9	0	0	0	2818	1860	Variabile da traffico	241.9	0	-81.7	0	0	0
2819	1756	Terreno sisma X SLV	230.6	0	0	0	0	0	2820	1860	Terreno sisma X SLV	450.1	0	0	0	0	0
2821	1756	Terreno sisma X SLO	87.1	0	0	0	0	0	2822	1860	Terreno sisma X SLD	170	0	0	0	0	0
2823	1756	Terreno sisma X SLD	103.9	0	0	0	0	0	2824	1860	Terreno sisma X SLD	202.8	0	0	0	0	0
2825	2013	Acqua canale	-1.0E3	0	0	0	0	0	2826	2013	Pesi strutturali	834.8	0	-2.5E2	0	0	0
2827	2013	Variabile da traffico	241.9	0	-81.7	0	0	0	2828	2013	Terreno sisma X SLV	435.4	0	0	0	0	0
2829	2013	Terreno sisma X SLO	164.5	0	0	0	0	0	2830	2013	Terreno sisma X SLD	196.1	0	0	0	0	0
2831	2078	Acqua canale	-9.3E2	0	0	0	0	0	2832	2078	Pesi strutturali	675	0	-2.3E2	0	0	0
2833	2078	Variabile da traffico	241.9	0	-81.7	0	0	0	2834	2078	Terreno sisma X SLV	414.8	0	0	0	0	0
2835	2078	Terreno sisma X SLO	156.7	0	0	0	0	0	2836	2078	Terreno sisma X SLD	186.9	0	0	0	0	0
2837	2214	Acqua canale	-8.1E2	0	0	0	0	0	2838	2214	Pesi strutturali	557.2	0	-1.9E2	0	0	0
2839	2214	Variabile da traffico	241.9	0	-81.7	0	0	0	2840	2214	Terreno sisma X SLV	411.9	0	0	0	0	0
2841	2214	Terreno sisma X SLO	155.6	0	0	0	0	0	2842	2214	Terreno sisma X SLD	185.5	0	0	0	0	0
2843	2314	Acqua canale	-7.0E2	0	0	0	0	0	2844	2314	Pesi strutturali	440.7	0	-1.5E2	0	0	0
2845	2314	Variabile da traffico	241.9	0	-81.7	0	0	0	2846	2314	Terreno sisma X SLV	411.9	0	0	0	0	0
2847	2314	Terreno sisma X SLO	155.6	0	0	0	0	0	2848	2314	Terreno sisma X SLD	185.5	0	0	0	0	0
2849	2389	Acqua canale	-5.8E2	0	0	0	0	0	2850	2389	Pesi strutturali	324.1	0	-1.1E2	0	0	0
2851	2389	Variabile da traffico	241.9	0	-81.7	0	0	0	2852	2389	Terreno sisma X SLV	411.9	0	0	0	0	0
2853	2389	Terreno sisma X SLO	155.6	0	0	0	0	0	2854	2389	Terreno sisma X SLD	185.5	0	0	0	0	0
2855	2485	Acqua canale	-4.6E2	0	0	0	0	0	2856	2485	Pesi strutturali	207.5	0	-70.1	0	0	0
2857	2485	Variabile da traffico	241.9	0	-81.7	0	0	0	2858	2485	Terreno sisma X SLV	411.9	0	0	0	0	0
2859	2485	Terreno sisma X SLO	155.6	0	0	0	0	0	2860	2485	Terreno sisma X SLD	185.5	0	0	0	0	0
2861	2605	Acqua canale	-3.5E2	0	0	0	0	0	2862	2605	Pesi strutturali	91	0	-30.7	0	0	0
2863	2605	Variabile da traffico	241.9	0	-81.7	0	0	0	2864	2605	Terreno sisma X SLV	411.9	0	0	0	0	0
2865	2605	Terreno sisma X SLO	155.6	0	0	0	0	0	2866	2605	Terreno sisma X SLD	185.5	0	0	0	0	0
2867	2659	Acqua canale	-2.3E2	0	0	0	0	0	2868	2659	Pesi strutturali	4.6	0	-1.5	0	0	0
2869	2659	Variabile da traffico	241.9	0	-81.7	0	0	0	2870	2659	Terreno sisma X SLV	411.9	0	0	0	0	0
2871	2659	Terreno sisma X SLO	155.6	0	0	0	0	0	2872	2659	Terreno sisma X SLD	185.5	0	0	0	0	0
2873	2691	Acqua canale	-1.2E2	0	0	0	0	0	2874	2691	Variabile da traffico	241.9	0	-81.7	0	0	0
2875	2691	Terreno sisma X SLV	411.9	0	0	0	0	0	2876	2691	Terreno sisma X SLO	155.6	0	0	0	0	0
2877	2691	Terreno sisma X SLD	185.5	0	0	0	0	0	2878	2706	Acqua canale	-29	0	0	0	0	0
2879	2706	Variabile da traffico	121	0	-40.9	0	0	0	2880	2706	Terreno sisma X SLV	205.9	0	0	0	0	0
2881	2706	Terreno sisma X SLO	77.8	0	0	0	0	0	2882	2706	Terreno sisma X SLD	92.8	0	0	0	0	0
2883	1779	Acqua canale	-2.2E2	0	0	0	0	0	2884	1861	Acqua canale	-7.7E2	0	0	0	0	0

Interventi di miglioramento della diga di Cepparello nel Comune di Poggibonsi (SI)

ET.09.4 – Tabulati di calcolo_Canali fagatori con fondazioni su pali

Indice	Nodo	Condizione	Fx	Fy	Fz	Mx	My	Mz	Indice	Nodo	Condizione	Fx	Fy	Fz	Mx	My	Mz
2885	1779	Pesi strutturali	575	0	-1.5E2	0	0	0	2886	1861	Pesi strutturali	1.0E3	0	-2.8E2	0	0	0
2887	1779	Variabile da traffico	121	0	-40.9	0	0	0	2888	1861	Variabile da traffico	241.9	0	-81.7	0	0	0
2889	1779	Terreno sisma X SLV	230.6	0	0	0	0	0	2890	1861	Terreno sisma X SLV	450.1	0	0	0	0	0
2891	1779	Terreno sisma X SLO	87.1	0	0	0	0	0	2892	1861	Terreno sisma X SLO	170	0	0	0	0	0
2893	1779	Terreno sisma X SLD	103.9	0	0	0	0	0	2894	1861	Terreno sisma X SLD	202.8	0	0	0	0	0
2895	2014	Acqua canale	-1.0E3	0	0	0	0	0	2896	2014	Pesi strutturali	834.8	0	-2.5E2	0	0	0
2897	2014	Variabile da traffico	241.9	0	-81.7	0	0	0	2898	2014	Terreno sisma X SLV	435.4	0	0	0	0	0
2899	2014	Terreno sisma X SLO	164.5	0	0	0	0	0	2900	2014	Terreno sisma X SLD	196.1	0	0	0	0	0
2901	2079	Acqua canale	-9.3E2	0	0	0	0	0	2902	2079	Pesi strutturali	675	0	-2.3E2	0	0	0
2903	2079	Variabile da traffico	241.9	0	-81.7	0	0	0	2904	2079	Terreno sisma X SLV	414.8	0	0	0	0	0
2905	2079	Terreno sisma X SLO	156.7	0	0	0	0	0	2906	2079	Terreno sisma X SLD	186.9	0	0	0	0	0
2907	2215	Acqua canale	-8.1E2	0	0	0	0	0	2908	2215	Pesi strutturali	557.2	0	-1.9E2	0	0	0
2909	2215	Variabile da traffico	241.9	0	-81.7	0	0	0	2910	2215	Terreno sisma X SLV	411.9	0	0	0	0	0
2911	2215	Terreno sisma X SLO	155.6	0	0	0	0	0	2912	2215	Terreno sisma X SLD	185.5	0	0	0	0	0
2913	2315	Acqua canale	-7.0E2	0	0	0	0	0	2914	2315	Pesi strutturali	440.7	0	-1.5E2	0	0	0
2915	2315	Variabile da traffico	241.9	0	-81.7	0	0	0	2916	2315	Terreno sisma X SLV	411.9	0	0	0	0	0
2917	2315	Terreno sisma X SLO	155.6	0	0	0	0	0	2918	2315	Terreno sisma X SLD	185.5	0	0	0	0	0
2919	2390	Acqua canale	-5.8E2	0	0	0	0	0	2920	2390	Pesi strutturali	324.1	0	-1.1E2	0	0	0
2921	2390	Variabile da traffico	241.9	0	-81.7	0	0	0	2922	2390	Terreno sisma X SLV	411.9	0	0	0	0	0
2923	2390	Terreno sisma X SLO	155.6	0	0	0	0	0	2924	2390	Terreno sisma X SLD	185.5	0	0	0	0	0
2925	2486	Acqua canale	-4.6E2	0	0	0	0	0	2926	2486	Pesi strutturali	207.5	0	-70.1	0	0	0
2927	2486	Variabile da traffico	241.9	0	-81.7	0	0	0	2928	2486	Terreno sisma X SLV	411.9	0	0	0	0	0
2929	2486	Terreno sisma X SLO	155.6	0	0	0	0	0	2930	2486	Terreno sisma X SLD	185.5	0	0	0	0	0
2931	2606	Acqua canale	-3.5E2	0	0	0	0	0	2932	2606	Pesi strutturali	91	0	-30.7	0	0	0
2933	2606	Variabile da traffico	241.9	0	-81.7	0	0	0	2934	2606	Terreno sisma X SLV	411.9	0	0	0	0	0
2935	2606	Terreno sisma X SLO	155.6	0	0	0	0	0	2936	2606	Terreno sisma X SLD	185.5	0	0	0	0	0
2937	2660	Acqua canale	-2.3E2	0	0	0	0	0	2938	2660	Pesi strutturali	4.6	0	-1.5	0	0	0
2939	2660	Variabile da traffico	241.9	0	-81.7	0	0	0	2940	2660	Terreno sisma X SLV	411.9	0	0	0	0	0
2941	2660	Terreno sisma X SLO	155.6	0	0	0	0	0	2942	2660	Terreno sisma X SLD	185.5	0	0	0	0	0
2943	2692	Acqua canale	-1.2E2	0	0	0	0	0	2944	2692	Variabile da traffico	241.9	0	-81.7	0	0	0
2945	2692	Terreno sisma X SLV	411.9	0	0	0	0	0	2946	2692	Terreno sisma X SLO	155.6	0	0	0	0	0
2947	2692	Terreno sisma X SLD	185.5	0	0	0	0	0	2948	2708	Acqua canale	-29	0	0	0	0	0
2949	2708	Variabile da traffico	121	0	-40.9	0	0	0	2950	2708	Terreno sisma X SLV	205.9	0	0	0	0	0
2951	2708	Terreno sisma X SLO	77.8	0	0	0	0	0	2952	2708	Terreno sisma X SLD	92.8	0	0	0	0	0
2953	1790	Acqua canale	-2.2E2	0	0	0	0	0	2954	1862	Acqua canale	-7.7E2	0	0	0	0	0
2955	1790	Pesi strutturali	575	0	-1.5E2	0	0	0	2956	1862	Pesi strutturali	1.0E3	0	-2.8E2	0	0	0
2957	1790	Variabile da traffico	121	0	-40.9	0	0	0	2958	1862	Variabile da traffico	241.9	0	-81.7	0	0	0
2959	1790	Terreno sisma X SLV	230.6	0	0	0	0	0	2960	1862	Terreno sisma X SLV	450.1	0	0	0	0	0
2961	1790	Terreno sisma X SLO	87.1	0	0	0	0	0	2962	1862	Terreno sisma X SLO	170	0	0	0	0	0
2963	1790	Terreno sisma X SLD	103.9	0	0	0	0	0	2964	1862	Terreno sisma X SLD	202.8	0	0	0	0	0
2965	2015	Acqua canale	-1.0E3	0	0	0	0	0	2966	2015	Pesi strutturali	834.8	0	-2.5E2	0	0	0
2967	2015	Variabile da traffico	241.9	0	-81.7	0	0	0	2968	2015	Terreno sisma X SLV	435.4	0	0	0	0	0
2969	2015	Terreno sisma X SLO	164.5	0	0	0	0	0	2970	2015	Terreno sisma X SLD	196.1	0	0	0	0	0
2971	2080	Acqua canale	-9.3E2	0	0	0	0	0	2972	2080	Pesi strutturali	675	0	-2.3E2	0	0	0
2973	2080	Variabile da traffico	241.9	0	-81.7	0	0	0	2974	2080	Terreno sisma X SLV	414.8	0	0	0	0	0
2975	2080	Terreno sisma X SLO	156.7	0	0	0	0	0	2976	2080	Terreno sisma X SLD	186.9	0	0	0	0	0
2977	2216	Acqua canale	-8.1E2	0	0	0	0	0	2978	2216	Pesi strutturali	557.2	0	-1.9E2	0	0	0
2979	2216	Variabile da traffico	241.9	0	-81.7	0	0	0	2980	2216	Terreno sisma X SLV	411.9	0	0	0	0	0
2981	2216	Terreno sisma X SLO	155.6	0	0	0	0	0	2982	2216	Terreno sisma X SLD	185.5	0	0	0	0	0
2983	2316	Acqua canale	-7.0E2	0	0	0	0	0	2984	2316	Pesi strutturali	440.7	0	-1.5E2	0	0	0
2985	2316	Variabile da traffico	241.9	0	-81.7	0	0	0	2986	2316	Terreno sisma X SLV	411.9	0	0	0	0	0

Interventi di miglioramento della diga di Cepparello nel Comune di Poggibonsi (SI)

ET.09.4 – Tabulati di calcolo_Canali fagatori con fondazioni su pali

Indice	Nodo	Condizione	Fx	Fy	Fz	Mx	My	Mz	Indice	Nodo	Condizione	Fx	Fy	Fz	Mx	My	Mz
2987	2316	Terreno sisma X SLO	155.6	0	0	0	0	0	2988	2316	Terreno sisma X SLD	185.5	0	0	0	0	0
2989	2391	Acqua canale	-5.8E2	0	0	0	0	0	2990	2391	Pesi strutturali	324.1	0	-1.1E2	0	0	0
2991	2391	Variabile da traffico	241.9	0	-81.7	0	0	0	2992	2391	Terreno sisma X SLV	411.9	0	0	0	0	0
2993	2391	Terreno sisma X SLO	155.6	0	0	0	0	0	2994	2391	Terreno sisma X SLD	185.5	0	0	0	0	0
2995	2487	Acqua canale	-4.6E2	0	0	0	0	0	2996	2487	Pesi strutturali	207.5	0	-70.1	0	0	0
2997	2487	Variabile da traffico	241.9	0	-81.7	0	0	0	2998	2487	Terreno sisma X SLV	411.9	0	0	0	0	0
2999	2487	Terreno sisma X SLO	155.6	0	0	0	0	0	3000	2487	Terreno sisma X SLD	185.5	0	0	0	0	0
3001	2607	Acqua canale	-3.5E2	0	0	0	0	0	3002	2607	Pesi strutturali	91	0	-30.7	0	0	0
3003	2607	Variabile da traffico	241.9	0	-81.7	0	0	0	3004	2607	Terreno sisma X SLV	411.9	0	0	0	0	0
3005	2607	Terreno sisma X SLO	155.6	0	0	0	0	0	3006	2607	Terreno sisma X SLD	185.5	0	0	0	0	0
3007	2661	Acqua canale	-2.3E2	0	0	0	0	0	3008	2661	Pesi strutturali	4.6	0	-1.5	0	0	0
3009	2661	Variabile da traffico	241.9	0	-81.7	0	0	0	3010	2661	Terreno sisma X SLV	411.9	0	0	0	0	0
3011	2661	Terreno sisma X SLO	155.6	0	0	0	0	0	3012	2661	Terreno sisma X SLD	185.5	0	0	0	0	0
3013	2693	Acqua canale	-1.2E2	0	0	0	0	0	3014	2693	Variabile da traffico	241.9	0	-81.7	0	0	0
3015	2693	Terreno sisma X SLV	411.9	0	0	0	0	0	3016	2693	Terreno sisma X SLO	155.6	0	0	0	0	0
3017	2693	Terreno sisma X SLD	185.5	0	0	0	0	0	3018	2709	Acqua canale	-29	0	0	0	0	0
3019	2709	Variabile da traffico	121	0	-40.9	0	0	0	3020	2709	Terreno sisma X SLV	205.9	0	0	0	0	0
3021	2709	Terreno sisma X SLO	77.8	0	0	0	0	0	3022	2709	Terreno sisma X SLD	92.8	0	0	0	0	0
3023	1813	Acqua canale	-2.2E2	0	0	0	0	0	3024	1863	Acqua canale	-7.7E2	0	0	0	0	0
3025	1813	Pesi strutturali	575	0	-1.5E2	0	0	0	3026	1863	Pesi strutturali	1.0E3	0	-2.8E2	0	0	0
3027	1813	Variabile da traffico	121	0	-40.9	0	0	0	3028	1863	Variabile da traffico	241.9	0	-81.7	0	0	0
3029	1813	Terreno sisma X SLV	230.6	0	0	0	0	0	3030	1863	Terreno sisma X SLV	450.1	0	0	0	0	0
3031	1813	Terreno sisma X SLO	87.1	0	0	0	0	0	3032	1863	Terreno sisma X SLO	170	0	0	0	0	0
3033	1813	Terreno sisma X SLD	103.9	0	0	0	0	0	3034	1863	Terreno sisma X SLD	202.8	0	0	0	0	0
3035	2016	Acqua canale	-1.0E3	0	0	0	0	0	3036	2016	Pesi strutturali	834.8	0	-2.5E2	0	0	0
3037	2016	Variabile da traffico	241.9	0	-81.7	0	0	0	3038	2016	Terreno sisma X SLV	435.4	0	0	0	0	0
3039	2016	Terreno sisma X SLO	164.5	0	0	0	0	0	3040	2016	Terreno sisma X SLD	196.1	0	0	0	0	0
3041	2081	Acqua canale	-9.3E2	0	0	0	0	0	3042	2081	Pesi strutturali	675	0	-2.3E2	0	0	0
3043	2081	Variabile da traffico	241.9	0	-81.7	0	0	0	3044	2081	Terreno sisma X SLV	414.8	0	0	0	0	0
3045	2081	Terreno sisma X SLO	156.7	0	0	0	0	0	3046	2081	Terreno sisma X SLD	186.9	0	0	0	0	0
3047	2217	Acqua canale	-8.1E2	0	0	0	0	0	3048	2217	Pesi strutturali	557.2	0	-1.9E2	0	0	0
3049	2217	Variabile da traffico	241.9	0	-81.7	0	0	0	3050	2217	Terreno sisma X SLV	411.9	0	0	0	0	0
3051	2217	Terreno sisma X SLO	155.6	0	0	0	0	0	3052	2217	Terreno sisma X SLD	185.5	0	0	0	0	0
3053	2317	Acqua canale	-7.0E2	0	0	0	0	0	3054	2317	Pesi strutturali	440.7	0	-1.5E2	0	0	0
3055	2317	Variabile da traffico	241.9	0	-81.7	0	0	0	3056	2317	Terreno sisma X SLV	411.9	0	0	0	0	0
3057	2317	Terreno sisma X SLO	155.6	0	0	0	0	0	3058	2317	Terreno sisma X SLD	185.5	0	0	0	0	0
3059	2392	Acqua canale	-5.8E2	0	0	0	0	0	3060	2392	Pesi strutturali	324.1	0	-1.1E2	0	0	0
3061	2392	Variabile da traffico	241.9	0	-81.7	0	0	0	3062	2392	Terreno sisma X SLV	411.9	0	0	0	0	0
3063	2392	Terreno sisma X SLO	155.6	0	0	0	0	0	3064	2392	Terreno sisma X SLD	185.5	0	0	0	0	0
3065	2488	Acqua canale	-4.6E2	0	0	0	0	0	3066	2488	Pesi strutturali	207.5	0	-70.1	0	0	0
3067	2488	Variabile da traffico	241.9	0	-81.7	0	0	0	3068	2488	Terreno sisma X SLV	411.9	0	0	0	0	0
3069	2488	Terreno sisma X SLO	155.6	0	0	0	0	0	3070	2488	Terreno sisma X SLD	185.5	0	0	0	0	0
3071	2608	Acqua canale	-3.5E2	0	0	0	0	0	3072	2608	Pesi strutturali	91	0	-30.7	0	0	0
3073	2608	Variabile da traffico	241.9	0	-81.7	0	0	0	3074	2608	Terreno sisma X SLV	411.9	0	0	0	0	0
3075	2608	Terreno sisma X SLO	155.6	0	0	0	0	0	3076	2608	Terreno sisma X SLD	185.5	0	0	0	0	0
3077	2662	Acqua canale	-2.3E2	0	0	0	0	0	3078	2662	Pesi strutturali	4.6	0	-1.5	0	0	0
3079	2662	Variabile da traffico	241.9	0	-81.7	0	0	0	3080	2662	Terreno sisma X SLV	411.9	0	0	0	0	0
3081	2662	Terreno sisma X SLO	155.6	0	0	0	0	0	3082	2662	Terreno sisma X SLD	185.5	0	0	0	0	0
3083	2694	Acqua canale	-1.2E2	0	0	0	0	0	3084	2694	Variabile da traffico	241.9	0	-81.7	0	0	0
3085	2694	Terreno sisma X SLV	411.9	0	0	0	0	0	3086	2694	Terreno sisma X SLO	155.6	0	0	0	0	0
3087	2694	Terreno sisma X SLD	185.5	0	0	0	0	0	3088	2711	Acqua canale	-29	0	0	0	0	0

Interventi di miglioramento della diga di Cepparello nel Comune di Poggibonsi (SI)

ET.09.4 – Tabulati di calcolo_Canali fagatori con fondazioni su pali

Indice	Nodo	Condizione	Fx	Fy	Fz	Mx	My	Mz	Indice	Nodo	Condizione	Fx	Fy	Fz	Mx	My	Mz
3089	2711	Variabile da traffico	121	0	-40.9	0	0	0	3090	2711	Terreno sisma X SLV	205.9	0	0	0	0	0
3091	2711	Terreno sisma X SLO	77.8	0	0	0	0	0	3092	2711	Terreno sisma X SLD	92.8	0	0	0	0	0
3093	1836	Acqua canale	-1.1E2	0	0	0	0	0	3094	1864	Acqua canale	-3.9E2	0	0	0	0	0
3095	1836	Pesi strutturali	287.5	0	-73.1	0	0	0	3096	1864	Pesi strutturali	507.5	0	-1.4E2	0	0	0
3097	1836	Variabile da traffico	60.5	0	-20.4	0	0	0	3098	1864	Variabile da traffico	121	0	-40.9	0	0	0
3099	1836	Terreno sisma X SLV	115.3	0	0	0	0	0	3100	1864	Terreno sisma X SLV	225.1	0	0	0	0	0
3101	1836	Terreno sisma X SLO	43.6	0	0	0	0	0	3102	1864	Terreno sisma X SLO	85	0	0	0	0	0
3103	1836	Terreno sisma X SLD	51.9	0	0	0	0	0	3104	1864	Terreno sisma X SLD	101.4	0	0	0	0	0
3105	2017	Acqua canale	-5.2E2	0	0	0	0	0	3106	2017	Pesi strutturali	417.4	0	-1.3E2	0	0	0
3107	2017	Variabile da traffico	121	0	-40.9	0	0	0	3108	2017	Terreno sisma X SLV	217.7	0	0	0	0	0
3109	2017	Terreno sisma X SLO	82.2	0	0	0	0	0	3110	2017	Terreno sisma X SLD	98.1	0	0	0	0	0
3111	2082	Acqua canale	-4.6E2	0	0	0	0	0	3112	2082	Pesi strutturali	337.5	0	-1.1E2	0	0	0
3113	2082	Variabile da traffico	121	0	-40.9	0	0	0	3114	2082	Terreno sisma X SLV	207.4	0	0	0	0	0
3115	2082	Terreno sisma X SLO	78.3	0	0	0	0	0	3116	2082	Terreno sisma X SLD	93.4	0	0	0	0	0
3117	2218	Acqua canale	-4.1E2	0	0	0	0	0	3118	2218	Pesi strutturali	278.6	0	-94.1	0	0	0
3119	2218	Variabile da traffico	121	0	-40.9	0	0	0	3120	2218	Terreno sisma X SLV	205.9	0	0	0	0	0
3121	2218	Terreno sisma X SLO	77.8	0	0	0	0	0	3122	2218	Terreno sisma X SLD	92.8	0	0	0	0	0
3123	2318	Acqua canale	-3.5E2	0	0	0	0	0	3124	2318	Pesi strutturali	220.3	0	-74.4	0	0	0
3125	2318	Variabile da traffico	121	0	-40.9	0	0	0	3126	2318	Terreno sisma X SLV	205.9	0	0	0	0	0
3127	2318	Terreno sisma X SLO	77.8	0	0	0	0	0	3128	2318	Terreno sisma X SLD	92.8	0	0	0	0	0
3129	2393	Acqua canale	-2.9E2	0	0	0	0	0	3130	2393	Pesi strutturali	162	0	-54.8	0	0	0
3131	2393	Variabile da traffico	121	0	-40.9	0	0	0	3132	2393	Terreno sisma X SLV	205.9	0	0	0	0	0
3133	2393	Terreno sisma X SLO	77.8	0	0	0	0	0	3134	2393	Terreno sisma X SLD	92.8	0	0	0	0	0
3135	2489	Acqua canale	-2.3E2	0	0	0	0	0	3136	2489	Pesi strutturali	103.8	0	-35.1	0	0	0
3137	2489	Variabile da traffico	121	0	-40.9	0	0	0	3138	2489	Terreno sisma X SLV	205.9	0	0	0	0	0
3139	2489	Terreno sisma X SLO	77.8	0	0	0	0	0	3140	2489	Terreno sisma X SLD	92.8	0	0	0	0	0
3141	2609	Acqua canale	-1.7E2	0	0	0	0	0	3142	2609	Pesi strutturali	45.5	0	-15.4	0	0	0
3143	2609	Variabile da traffico	121	0	-40.9	0	0	0	3144	2609	Terreno sisma X SLV	205.9	0	0	0	0	0
3145	2609	Terreno sisma X SLO	77.8	0	0	0	0	0	3146	2609	Terreno sisma X SLD	92.8	0	0	0	0	0
3147	2663	Acqua canale	-1.2E2	0	0	0	0	0	3148	2663	Pesi strutturali	2.3	0	-0.8	0	0	0
3149	2663	Variabile da traffico	121	0	-40.9	0	0	0	3150	2663	Terreno sisma X SLV	205.9	0	0	0	0	0
3151	2663	Terreno sisma X SLO	77.8	0	0	0	0	0	3152	2663	Terreno sisma X SLD	92.8	0	0	0	0	0
3153	2695	Acqua canale	-58	0	0	0	0	0	3154	2695	Variabile da traffico	121	0	-40.9	0	0	0
3155	2695	Terreno sisma X SLV	205.9	0	0	0	0	0	3156	2695	Terreno sisma X SLO	77.8	0	0	0	0	0
3157	2695	Terreno sisma X SLD	92.8	0	0	0	0	0	3158	2712	Acqua canale	-14.5	0	0	0	0	0
3159	2712	Variabile da traffico	60.5	0	-20.4	0	0	0	3160	2712	Terreno sisma X SLV	103	0	0	0	0	0
3161	2712	Terreno sisma X SLO	38.9	0	0	0	0	0	3162	2712	Terreno sisma X SLD	46.4	0	0	0	0	0
3163	2622	Acqua canale	98.8	0	0	0	0	0	3164	2626	Acqua canale	76	0	0	0	0	0
3165	2491	Acqua canale	249.3	0	0	0	0	0	3166	2478	Acqua canale	296.6	0	0	0	0	0
3167	2622	Variabile da traffico	-2.8E2	0	-93.4	0	0	0	3168	2626	Variabile da traffico	-2.4E2	0	-82.4	0	0	0
3169	2478	Variabile da traffico	-4.7E2	0	-159	0	0	0	3170	2491	Variabile da traffico	-436	0	-1.5E2	0	0	0
3171	2622	Terreno sisma X SLV	340.8	0	0	0	0	0	3172	2626	Terreno sisma X SLV	300.8	0	0	0	0	0
3173	2478	Terreno sisma X SLV	580.3	0	0	0	0	0	3174	2491	Terreno sisma X SLV	537.6	0	0	0	0	0
3175	2622	Terreno sisma X SLO	128.7	0	0	0	0	0	3176	2626	Terreno sisma X SLO	113.6	0	0	0	0	0
3177	2478	Terreno sisma X SLO	219.2	0	0	0	0	0	3178	2491	Terreno sisma X SLO	203.1	0	0	0	0	0
3179	2622	Terreno sisma X SLD	153.5	0	0	0	0	0	3180	2626	Terreno sisma X SLD	135.5	0	0	0	0	0
3181	2478	Terreno sisma X SLD	261.4	0	0	0	0	0	3182	2491	Terreno sisma X SLD	242.2	0	0	0	0	0
3183	2631	Acqua canale	77.1	0	0	0	0	0	3184	2490	Acqua canale	261.9	0	0	0	0	0
3185	2631	Variabile da traffico	-245	0	-82.8	0	0	0	3186	2490	Variabile da traffico	-4.4E2	0	-1.5E2	0	0	0
3187	2631	Terreno sisma X SLV	302.2	0	0	0	0	0	3188	2490	Terreno sisma X SLV	541.6	0	0	0	0	0
3189	2631	Terreno sisma X SLO	114.1	0	0	0	0	0	3190	2490	Terreno sisma X SLO	204.6	0	0	0	0	0
3191	2631	Terreno sisma X SLD	136.1	0	0	0	0	0	3192	2490	Terreno sisma X SLD	244	0	0	0	0	0
3193	2635	Acqua canale	101.3	0	0	0	0	0	3194	2477	Acqua canale	295.2	0	0	0	0	0

Interventi di miglioramento della diga di Cepparello nel Comune di Poggibonsi (SI)

ET.09.4 – Tabulati di calcolo_Canali fugatori con fondazioni su pali

Indice	Nodo	Condizione	Fx	Fy	Fz	Mx	My	Mz	Indice	Nodo	Condizione	Fx	Fy	Fz	Mx	My	Mz
3195	2635	Variabile da traffico	-2.8E2	0	-93.5	0	0	0	3196	2477	Variabile da traffico	-4.8E2	0	-1.6E2	0	0	0
3197	2635	Terreno sisma X SLV	341.3	0	0	0	0	0	3198	2477	Terreno sisma X SLV	588.2	0	0	0	0	0
3199	2635	Terreno sisma X SLO	128.9	0	0	0	0	0	3200	2477	Terreno sisma X SLO	222.2	0	0	0	0	0
3201	2635	Terreno sisma X SLD	153.8	0	0	0	0	0	3202	2477	Terreno sisma X SLD	265	0	0	0	0	0
3203	2640	Acqua canale	146.4	0	0	0	0	0	3204	2456	Acqua canale	530.3	0	0	0	0	0
3205	2640	Variabile da traffico	-3.4E2	0	-1.2E2	0	0	0	3206	2456	Variabile da traffico	-724	0	-2.4E2	0	0	0
3207	2640	Terreno sisma X SLV	421.5	0	0	0	0	0	3208	2456	Terreno sisma X SLV	892.8	0	0	0	0	0
3209	2640	Terreno sisma X SLO	159.2	0	0	0	0	0	3210	2456	Terreno sisma X SLO	337.2	0	0	0	0	0
3211	2640	Terreno sisma X SLD	189.9	0	0	0	0	0	3212	2456	Terreno sisma X SLD	402.2	0	0	0	0	0
3213	2647	Acqua canale	71.9	0	0	0	0	0	3214	2476	Acqua canale	282.4	0	0	0	0	0
3215	2647	Variabile da traffico	-1.7E2	0	-56.1	0	0	0	3216	2476	Variabile da traffico	-3.4E2	0	-1.2E2	0	0	0
3217	2647	Terreno sisma X SLV	204.9	0	0	0	0	0	3218	2476	Terreno sisma X SLV	422	0	0	0	0	0
3219	2647	Terreno sisma X SLO	77.4	0	0	0	0	0	3220	2476	Terreno sisma X SLO	159.4	0	0	0	0	0
3221	2647	Terreno sisma X SLD	92.3	0	0	0	0	0	3222	2476	Terreno sisma X SLD	190.1	0	0	0	0	0
3223	2307	Acqua canale	491	0	0	0	0	0	3224	2250	Acqua canale	938.4	0	0	0	0	0
3225	2476	Pesi strutturali	-5.1	0	-1.7	0	0	0	3226	2307	Pesi strutturali	-1.7E2	0	-56.2	0	0	0
3227	2456	Pesi strutturali	-22.4	0	-7.6	0	0	0	3228	2250	Pesi strutturali	-3.5E2	0	-1.2E2	0	0	0
3229	2307	Variabile da traffico	-3.0E2	0	-1.0E2	0	0	0	3230	2250	Variabile da traffico	-5.4E2	0	-1.8E2	0	0	0
3231	2307	Terreno sisma X SLV	367	0	0	0	0	0	3232	2250	Terreno sisma X SLV	660.2	0	0	0	0	0
3233	2307	Terreno sisma X SLO	138.6	0	0	0	0	0	3234	2250	Terreno sisma X SLO	249.4	0	0	0	0	0
3235	2307	Terreno sisma X SLD	165.3	0	0	0	0	0	3236	2250	Terreno sisma X SLD	297.4	0	0	0	0	0
3237	2142	Acqua canale	669.4	0	0	0	0	0	3238	2070	Acqua canale	1.3E3	0	0	0	0	0
3239	2142	Pesi strutturali	-3.8E2	0	-1.3E2	0	0	0	3240	2070	Pesi strutturali	-8.4E2	0	-2.7E2	0	0	0
3241	2142	Variabile da traffico	-2.8E2	0	-93	0	0	0	3242	2070	Variabile da traffico	-5.5E2	0	-1.9E2	0	0	0
3243	2142	Terreno sisma X SLV	342.5	0	0	0	0	0	3244	2070	Terreno sisma X SLV	693.2	0	0	0	0	0
3245	2142	Terreno sisma X SLO	129.4	0	0	0	0	0	3246	2070	Terreno sisma X SLO	261.9	0	0	0	0	0
3247	2142	Terreno sisma X SLD	154.3	0	0	0	0	0	3248	2070	Terreno sisma X SLD	312.3	0	0	0	0	0
3249	1953	Acqua canale	525.8	0	0	0	0	0	3250	1916	Acqua canale	939.8	0	0	0	0	0
3251	1953	Pesi strutturali	-5.3E2	0	-1.4E2	0	0	0	3252	1916	Pesi strutturali	-9.3E2	0	-2.4E2	0	0	0
3253	1953	Variabile da traffico	-2.2E2	0	-74.4	0	0	0	3254	1916	Variabile da traffico	-3.6E2	0	-1.2E2	0	0	0
3255	1953	Terreno sisma X SLV	297.9	0	0	0	0	0	3256	1916	Terreno sisma X SLV	490.5	0	0	0	0	0
3257	1953	Terreno sisma X SLO	112.5	0	0	0	0	0	3258	1916	Terreno sisma X SLO	185.3	0	0	0	0	0
3259	1953	Terreno sisma X SLD	134.2	0	0	0	0	0	3260	1916	Terreno sisma X SLD	221	0	0	0	0	0
3261	1639	Acqua canale	206.3	0	0	0	0	0	3262	1616	Acqua canale	316.7	0	0	0	0	0
3263	1639	Pesi strutturali	-3.3E2	0	-74.8	0	0	0	3264	1616	Pesi strutturali	-5.7E2	0	-128	0	0	0
3265	1639	Variabile da traffico	-98.9	0	-33.4	0	0	0	3266	1616	Variabile da traffico	-1.7E2	0	-56.8	0	0	0
3267	1639	Terreno sisma X SLV	141.2	0	0	0	0	0	3268	1616	Terreno sisma X SLV	240.5	0	0	0	0	0
3269	1639	Terreno sisma X SLO	53.3	0	0	0	0	0	3270	1616	Terreno sisma X SLO	90.9	0	0	0	0	0
3271	1639	Terreno sisma X SLD	63.6	0	0	0	0	0	3272	1616	Terreno sisma X SLD	108.3	0	0	0	0	0
3273	1593	Acqua canale	197.1	0	0	0	0	0	3274	1866	Acqua canale	576.4	0	0	0	0	0
3275	1593	Pesi strutturali	-442	0	-98.8	0	0	0	3276	1866	Pesi strutturali	-6.8E2	0	-1.7E2	0	0	0
3277	1593	Variabile da traffico	-1.3E2	0	-43.4	0	0	0	3278	1866	Variabile da traffico	-2.4E2	0	-80	0	0	0
3279	1593	Terreno sisma X SLV	184.5	0	0	0	0	0	3280	1866	Terreno sisma X SLV	328.6	0	0	0	0	0
3281	1593	Terreno sisma X SLO	69.7	0	0	0	0	0	3282	1866	Terreno sisma X SLO	124.1	0	0	0	0	0
3283	1593	Terreno sisma X SLD	83.1	0	0	0	0	0	3284	1866	Terreno sisma X SLD	148	0	0	0	0	0
3285	1570	Acqua canale	179.2	0	0	0	0	0	3286	1882	Acqua canale	567.6	0	0	0	0	0
3287	1570	Pesi strutturali	-4.3E2	0	-96.3	0	0	0	3288	1882	Pesi strutturali	-7.0E2	0	-1.7E2	0	0	0
3289	1570	Variabile da traffico	-1.3E2	0	-42.3	0	0	0	3290	1882	Variabile da traffico	-244	0	-82.4	0	0	0
3291	1570	Terreno sisma X SLV	179.8	0	0	0	0	0	3292	1882	Terreno sisma X SLV	338.9	0	0	0	0	0
3293	1570	Terreno sisma X SLO	67.9	0	0	0	0	0	3294	1882	Terreno sisma X SLO	128	0	0	0	0	0
3295	1570	Terreno sisma X SLD	81	0	0	0	0	0	3296	1882	Terreno sisma X SLD	152.7	0	0	0	0	0
3297	1559	Acqua canale	187.4	0	0	0	0	0	3298	1883	Acqua canale	614.4	0	0	0	0	0
3299	1559	Pesi strutturali	-4.4E2	0	-98.2	0	0	0	3300	1883	Pesi strutturali	-7.4E2	0	-1.8E2	0	0	0
3301	1559	Variabile da traffico	-1.3E2	0	-43.1	0	0	0	3302	1883	Variabile da traffico	-2.6E2	0	-88.1	0	0	0
3303	1559	Terreno sisma X SLV	183.4	0	0	0	0	0	3304	1883	Terreno sisma X SLV	361.8	0	0	0	0	0

Interventi di miglioramento della diga di Cepparello nel Comune di Poggibonsi (SI)

ET.09.4 – Tabulati di calcolo_Canali fagatori con fondazioni su pali

Indice	Nodo	Condizione	Fx	Fy	Fz	Mx	My	Mz	Indice	Nodo	Condizione	Fx	Fy	Fz	Mx	My	Mz
3305	1559	Terreno sisma X SLO	69.3	0	0	0	0	0	3306	1883	Terreno sisma X SLO	136.7	0	0	0	0	0
3307	1559	Terreno sisma X SLD	82.6	0	0	0	0	0	3308	1883	Terreno sisma X SLD	163	0	0	0	0	0
3309	1536	Acqua canale	192.7	0	0	0	0	0	3310	1886	Acqua canale	638	0	0	0	0	0
3311	1536	Pesi strutturali	-4.4E2	0	-99.2	0	0	0	3312	1886	Pesi strutturali	-7.6E2	0	-187	0	0	0
3313	1536	Variabile da traffico	-1.3E2	0	-43.6	0	0	0	3314	1886	Variabile da traffico	-2.7E2	0	-90.7	0	0	0
3315	1536	Terreno sisma X SLV	185.3	0	0	0	0	0	3316	1886	Terreno sisma X SLV	372.3	0	0	0	0	0
3317	1536	Terreno sisma X SLO	70	0	0	0	0	0	3318	1886	Terreno sisma X SLO	140.6	0	0	0	0	0
3319	1536	Terreno sisma X SLD	83.5	0	0	0	0	0	3320	1886	Terreno sisma X SLD	167.7	0	0	0	0	0
3321	1513	Acqua canale	195.9	0	0	0	0	0	3322	1888	Acqua canale	638.8	0	0	0	0	0
3323	1513	Pesi strutturali	-4.5E2	0	-100	0	0	0	3324	1888	Pesi strutturali	-7.7E2	0	-1.9E2	0	0	0
3325	1513	Variabile da traffico	-1.3E2	0	-44	0	0	0	3326	1888	Variabile da traffico	-2.7E2	0	-91.1	0	0	0
3327	1513	Terreno sisma X SLV	186.9	0	0	0	0	0	3328	1888	Terreno sisma X SLV	374	0	0	0	0	0
3329	1513	Terreno sisma X SLO	70.6	0	0	0	0	0	3330	1888	Terreno sisma X SLO	141.3	0	0	0	0	0
3331	1513	Terreno sisma X SLD	84.2	0	0	0	0	0	3332	1888	Terreno sisma X SLD	168.5	0	0	0	0	0
3333	1496	Acqua canale	194.5	0	0	0	0	0	3334	1890	Acqua canale	630.2	0	0	0	0	0
3335	1496	Pesi strutturali	-4.5E2	0	-99.8	0	0	0	3336	1890	Pesi strutturali	-7.5E2	0	-1.8E2	0	0	0
3337	1496	Variabile da traffico	-1.3E2	0	-43.9	0	0	0	3338	1890	Variabile da traffico	-2.6E2	0	-89.4	0	0	0
3339	1496	Terreno sisma X SLV	186.4	0	0	0	0	0	3340	1890	Terreno sisma X SLV	367	0	0	0	0	0
3341	1496	Terreno sisma X SLO	70.4	0	0	0	0	0	3342	1890	Terreno sisma X SLO	138.6	0	0	0	0	0
3343	1496	Terreno sisma X SLD	84	0	0	0	0	0	3344	1890	Terreno sisma X SLD	165.3	0	0	0	0	0
3345	1479	Acqua canale	191.1	0	0	0	0	0	3346	1884	Acqua canale	591.2	0	0	0	0	0
3347	1479	Pesi strutturali	-4.4E2	0	-98.7	0	0	0	3348	1884	Pesi strutturali	-7.2E2	0	-175	0	0	0
3349	1479	Variabile da traffico	-1.3E2	0	-43.4	0	0	0	3350	1884	Variabile da traffico	-2.5E2	0	-84.7	0	0	0
3351	1479	Terreno sisma X SLV	184.3	0	0	0	0	0	3352	1884	Terreno sisma X SLV	347.9	0	0	0	0	0
3353	1479	Terreno sisma X SLO	69.6	0	0	0	0	0	3354	1884	Terreno sisma X SLO	131.4	0	0	0	0	0
3355	1479	Terreno sisma X SLD	83	0	0	0	0	0	3356	1884	Terreno sisma X SLD	156.7	0	0	0	0	0
3357	1456	Acqua canale	216.1	0	0	0	0	0	3358	1895	Acqua canale	568.6	0	0	0	0	0
3359	1456	Pesi strutturali	-4.6E2	0	-1.0E2	0	0	0	3360	1895	Pesi strutturali	-6.8E2	0	-1.7E2	0	0	0
3361	1456	Variabile da traffico	-1.3E2	0	-45.1	0	0	0	3362	1895	Variabile da traffico	-2.4E2	0	-81.5	0	0	0
3363	1456	Terreno sisma X SLV	191.5	0	0	0	0	0	3364	1895	Terreno sisma X SLV	334.3	0	0	0	0	0
3365	1456	Terreno sisma X SLO	72.3	0	0	0	0	0	3366	1895	Terreno sisma X SLO	126.3	0	0	0	0	0
3367	1456	Terreno sisma X SLD	86.3	0	0	0	0	0	3368	1895	Terreno sisma X SLD	150.6	0	0	0	0	0
3369	1439	Acqua canale	336.4	0	0	0	0	0	3370	1917	Acqua canale	901.1	0	0	0	0	0
3371	1439	Pesi strutturali	-5.7E2	0	-1.3E2	0	0	0	3372	1917	Pesi strutturali	-9.1E2	0	-2.4E2	0	0	0
3373	1439	Variabile da traffico	-1.7E2	0	-57.5	0	0	0	3374	1917	Variabile da traffico	-3.6E2	0	-1.2E2	0	0	0
3375	1439	Terreno sisma X SLV	243.4	0	0	0	0	0	3376	1917	Terreno sisma X SLV	486.6	0	0	0	0	0
3377	1439	Terreno sisma X SLO	91.9	0	0	0	0	0	3378	1917	Terreno sisma X SLO	183.8	0	0	0	0	0
3379	1439	Terreno sisma X SLD	109.7	0	0	0	0	0	3380	1917	Terreno sisma X SLD	219.2	0	0	0	0	0
3381	1422	Acqua canale	206.2	0	0	0	0	0	3382	1936	Acqua canale	543.5	0	0	0	0	0
3383	1422	Pesi strutturali	-330	0	-74.7	0	0	0	3384	1936	Pesi strutturali	-5.3E2	0	-1.4E2	0	0	0
3385	1422	Variabile da traffico	-98.8	0	-33.4	0	0	0	3386	1936	Variabile da traffico	-2.2E2	0	-73.3	0	0	0
3387	1422	Terreno sisma X SLV	141	0	0	0	0	0	3388	1936	Terreno sisma X SLV	293.5	0	0	0	0	0
3389	1422	Terreno sisma X SLO	53.3	0	0	0	0	0	3390	1936	Terreno sisma X SLO	110.9	0	0	0	0	0
3391	1422	Terreno sisma X SLD	63.5	0	0	0	0	0	3392	1936	Terreno sisma X SLD	132.2	0	0	0	0	0
3393	2125	Acqua canale	662.5	0	0	0	0	0	3394	2071	Acqua canale	1.2E3	0	0	0	0	0
3395	2125	Pesi strutturali	-3.7E2	0	-1.2E2	0	0	0	3396	2071	Pesi strutturali	-8.1E2	0	-2.7E2	0	0	0
3397	2125	Variabile da traffico	-2.7E2	0	-90.8	0	0	0	3398	2071	Variabile da traffico	-5.4E2	0	-1.8E2	0	0	0
3399	2125	Terreno sisma X SLV	334.3	0	0	0	0	0	3400	2071	Terreno sisma X SLV	681.9	0	0	0	0	0
3401	2125	Terreno sisma X SLO	126.3	0	0	0	0	0	3402	2071	Terreno sisma X SLO	257.6	0	0	0	0	0
3403	2125	Terreno sisma X SLD	150.6	0	0	0	0	0	3404	2071	Terreno sisma X SLD	307.2	0	0	0	0	0
3405	2290	Acqua canale	492.9	0	0	0	0	0	3406	2253	Acqua canale	945.8	0	0	0	0	0
3407	2290	Pesi strutturali	-1.6E2	0	-55.7	0	0	0	3408	2253	Pesi strutturali	-3.4E2	0	-1.2E2	0	0	0
3409	2290	Variabile da traffico	-3.0E2	0	-1.0E2	0	0	0	3410	2253	Variabile da traffico	-5.3E2	0	-1.8E2	0	0	0
3411	2290	Terreno sisma X SLV	366.6	0	0	0	0	0	3412	2253	Terreno sisma X SLV	650.2	0	0	0	0	0
3413	2290	Terreno sisma X SLO	138.5	0	0	0	0	0	3414	2253	Terreno sisma X SLO	245.6	0	0	0	0	0

Interventi di miglioramento della diga di Cepparello nel Comune di Poggibonsi (SI)

ET.09.4 – Tabulati di calcolo_Canali fugatori con fondazioni su pali

Indice	Nodo	Condizione	Fx	Fy	Fz	Mx	My	Mz	Indice	Nodo	Condizione	Fx	Fy	Fz	Mx	My	Mz
3415	2290	Terreno sisma X SLD	165.2	0	0	0	0	0	3416	2253	Terreno sisma X SLD	292.9	0	0	0	0	0
3417	2459	Acqua canale	299.6	0	0	0	0	0	3418	2455	Acqua canale	503.2	0	0	0	0	0
3419	2459	Pesi strutturali	-5.3	0	-1.8	0	0	0	3420	2455	Pesi strutturali	-22.4	0	-7.6	0	0	0
3421	2459	Variabile da traffico	-3.5E2	0	-1.2E2	0	0	0	3422	2455	Variabile da traffico	-7.2E2	0	-2.4E2	0	0	0
3423	2459	Terreno sisma X SLV	432.5	0	0	0	0	0	3424	2455	Terreno sisma X SLV	893.6	0	0	0	0	0
3425	2459	Terreno sisma X SLO	163.4	0	0	0	0	0	3426	2455	Terreno sisma X SLO	337.5	0	0	0	0	0
3427	2459	Terreno sisma X SLD	194.8	0	0	0	0	0	3428	2455	Terreno sisma X SLD	402.5	0	0	0	0	0
3429	2613	Acqua canale	73.7	0	0	0	0	0	3430	2617	Acqua canale	143.9	0	0	0	0	0
3431	2613	Variabile da traffico	-1.7E2	0	-56.8	0	0	0	3432	2617	Variabile da traffico	-3.5E2	0	-1.2E2	0	0	0
3433	2613	Terreno sisma X SLV	207.2	0	0	0	0	0	3434	2617	Terreno sisma X SLV	426.4	0	0	0	0	0
3435	2613	Terreno sisma X SLO	78.3	0	0	0	0	0	3436	2617	Terreno sisma X SLO	161.1	0	0	0	0	0
3437	2613	Terreno sisma X SLD	93.4	0	0	0	0	0	3438	2617	Terreno sisma X SLD	192.1	0	0	0	0	0
3439	2044	Acqua canale	862.2	0	0	0	0	0	3440	2042	Acqua canale	839.1	0	0	0	0	0
3441	2044	Pesi strutturali	-5.9E2	0	-1.7E2	0	0	0	3442	2042	Pesi strutturali	-5.7E2	0	-1.7E2	0	0	0
3443	2044	Variabile da traffico	-2.9E2	0	-98.8	0	0	0	3444	2042	Variabile da traffico	-2.8E2	0	-95.5	0	0	0
3445	2044	Terreno sisma X SLV	385.1	0	0	0	0	0	3446	2042	Terreno sisma X SLV	372.8	0	0	0	0	0
3447	2044	Terreno sisma X SLO	145.5	0	0	0	0	0	3448	2042	Terreno sisma X SLO	140.8	0	0	0	0	0
3449	2044	Terreno sisma X SLD	173.5	0	0	0	0	0	3450	2042	Terreno sisma X SLD	167.9	0	0	0	0	0
3451	2120	Acqua canale	767.9	0	0	0	0	0	3452	2122	Acqua canale	766.3	0	0	0	0	0
3453	2120	Pesi strutturali	-436	0	-1.5E2	0	0	0	3454	2122	Pesi strutturali	-4.3E2	0	-1.5E2	0	0	0
3455	2120	Variabile da traffico	-3.3E2	0	-1.1E2	0	0	0	3456	2122	Variabile da traffico	-3.3E2	0	-111	0	0	0
3457	2120	Terreno sisma X SLV	403.7	0	0	0	0	0	3458	2122	Terreno sisma X SLV	404.9	0	0	0	0	0
3459	2120	Terreno sisma X SLO	152.5	0	0	0	0	0	3460	2122	Terreno sisma X SLO	153	0	0	0	0	0
3461	2120	Terreno sisma X SLD	181.9	0	0	0	0	0	3462	2122	Terreno sisma X SLD	182.4	0	0	0	0	0
3463	2038	Acqua canale	751.8	0	0	0	0	0	3464	2018	Acqua canale	573.2	0	0	0	0	0
3465	2038	Pesi strutturali	-5.2E2	0	-1.5E2	0	0	0	3466	2018	Pesi strutturali	-348	0	-100	0	0	0
3467	2038	Variabile da traffico	-2.5E2	0	-85.6	0	0	0	3468	2018	Variabile da traffico	-1.6E2	0	-55.4	0	0	0
3469	2038	Terreno sisma X SLV	335.2	0	0	0	0	0	3470	2018	Terreno sisma X SLV	217.6	0	0	0	0	0
3471	2038	Terreno sisma X SLO	126.6	0	0	0	0	0	3472	2018	Terreno sisma X SLO	82.2	0	0	0	0	0
3473	2038	Terreno sisma X SLD	151	0	0	0	0	0	3474	2018	Terreno sisma X SLD	98	0	0	0	0	0
3475	2118	Acqua canale	848	0	0	0	0	0	3476	2118	Pesi strutturali	-4.8E2	0	-1.6E2	0	0	0
3477	2118	Variabile da traffico	-3.5E2	0	-1.2E2	0	0	0	3478	2118	Terreno sisma X SLV	437.5	0	0	0	0	0
3479	2118	Terreno sisma X SLO	165.3	0	0	0	0	0	3480	2118	Terreno sisma X SLD	197.1	0	0	0	0	0
3481	2237	Acqua canale	662.7	0	0	0	0	0	3482	2235	Acqua canale	635	0	0	0	0	0
3483	2237	Pesi strutturali	-2.7E2	0	-92.3	0	0	0	3484	2235	Pesi strutturali	-2.6E2	0	-88.6	0	0	0
3485	2237	Variabile da traffico	-3.7E2	0	-1.3E2	0	0	0	3486	2235	Variabile da traffico	-3.5E2	0	-1.2E2	0	0	0
3487	2237	Terreno sisma X SLV	459.2	0	0	0	0	0	3488	2235	Terreno sisma X SLV	428.7	0	0	0	0	0
3489	2237	Terreno sisma X SLO	173.5	0	0	0	0	0	3490	2235	Terreno sisma X SLO	161.9	0	0	0	0	0
3491	2237	Terreno sisma X SLD	206.9	0	0	0	0	0	3492	2235	Terreno sisma X SLD	193.1	0	0	0	0	0
3493	2236	Acqua canale	630.2	0	0	0	0	0	3494	2236	Pesi strutturali	-2.6E2	0	-88.9	0	0	0
3495	2236	Variabile da traffico	-3.4E2	0	-1.2E2	0	0	0	3496	2236	Terreno sisma X SLV	423.5	0	0	0	0	0
3497	2236	Terreno sisma X SLO	160	0	0	0	0	0	3498	2236	Terreno sisma X SLD	190.8	0	0	0	0	0
3499	2380	Acqua canale	413.8	0	0	0	0	0	3500	2382	Acqua canale	478.1	0	0	0	0	0
3501	2380	Pesi strutturali	-60.3	0	-20.4	0	0	0	3502	2382	Pesi strutturali	-60.5	0	-20.5	0	0	0
3503	2380	Variabile da traffico	-3.4E2	0	-1.1E2	0	0	0	3504	2382	Variabile da traffico	-3.9E2	0	-1.3E2	0	0	0
3505	2380	Terreno sisma X SLV	413.8	0	0	0	0	0	3506	2382	Terreno sisma X SLV	484.2	0	0	0	0	0
3507	2380	Terreno sisma X SLO	156.3	0	0	0	0	0	3508	2382	Terreno sisma X SLO	182.9	0	0	0	0	0
3509	2380	Terreno sisma X SLD	186.4	0	0	0	0	0	3510	2382	Terreno sisma X SLD	218.1	0	0	0	0	0
3511	2332	Acqua canale	331.3	0	0	0	0	0	3512	2332	Pesi strutturali	-52	0	-17.6	0	0	0
3513	2332	Variabile da traffico	-211	0	-71.3	0	0	0	3514	2332	Terreno sisma X SLV	260.2	0	0	0	0	0
3515	2332	Terreno sisma X SLO	98.3	0	0	0	0	0	3516	2332	Terreno sisma X SLD	117.2	0	0	0	0	0
3517	2121	Acqua canale	786.2	0	0	0	0	0	3518	2238	Acqua canale	662.7	0	0	0	0	0
3519	2121	Pesi strutturali	-4.4E2	0	-1.5E2	0	0	0	3520	2238	Pesi strutturali	-2.7E2	0	-92.4	0	0	0
3521	2121	Variabile da traffico	-3.3E2	0	-1.1E2	0	0	0	3522	2238	Variabile da traffico	-3.7E2	0	-1.3E2	0	0	0
3523	2121	Terreno sisma X SLV	406.3	0	0	0	0	0	3524	2238	Terreno sisma X SLV	457.7	0	0	0	0	0

Interventi di miglioramento della diga di Cepparello nel Comune di Poggibonsi (SI)

ET.09.4 – Tabulati di calcolo_Canali fagatori con fondazioni su pali

Indice	Nodo	Condizione	Fx	Fy	Fz	Mx	My	Mz	Indice	Nodo	Condizione	Fx	Fy	Fz	Mx	My	Mz
3525	2121	Terreno sisma X SLO	153.5	0	0	0	0	0	3526	2238	Terreno sisma X SLO	172.9	0	0	0	0	0
3527	2121	Terreno sisma X SLD	183	0	0	0	0	0	3528	2238	Terreno sisma X SLD	206.2	0	0	0	0	0
3529	2381	Acqua canale	474.6	0	0	0	0	0	3530	2381	Pesi strutturali	-61.5	0	-20.8	0	0	0
3531	2381	Variabile da traffico	-3.9E2	0	-1.3E2	0	0	0	3532	2381	Terreno sisma X SLV	482.8	0	0	0	0	0
3533	2381	Terreno sisma X SLO	182.4	0	0	0	0	0	3534	2381	Terreno sisma X SLD	217.5	0	0	0	0	0
3535	2234	Acqua canale	658	0	0	0	0	0	3536	2233	Acqua canale	631.6	0	0	0	0	0
3537	2377	Acqua canale	421.1	0	0	0	0	0	3538	2331	Acqua canale	327.6	0	0	0	0	0
3539	2234	Pesi strutturali	-2.7E2	0	-91	0	0	0	3540	2233	Pesi strutturali	-2.6E2	0	-89.4	0	0	0
3541	2331	Pesi strutturali	-54.3	0	-18.4	0	0	0	3542	2377	Pesi strutturali	-62.3	0	-21	0	0	0
3543	2234	Variabile da traffico	-3.5E2	0	-1.2E2	0	0	0	3544	2233	Variabile da traffico	-3.5E2	0	-1.2E2	0	0	0
3545	2331	Variabile da traffico	-2.2E2	0	-73.2	0	0	0	3546	2377	Variabile da traffico	-3.4E2	0	-1.1E2	0	0	0
3547	2234	Terreno sisma X SLV	427.6	0	0	0	0	0	3548	2233	Terreno sisma X SLV	428.1	0	0	0	0	0
3549	2331	Terreno sisma X SLV	267.3	0	0	0	0	0	3550	2377	Terreno sisma X SLV	416.6	0	0	0	0	0
3551	2234	Terreno sisma X SLO	161.5	0	0	0	0	0	3552	2233	Terreno sisma X SLO	161.7	0	0	0	0	0
3553	2331	Terreno sisma X SLO	101	0	0	0	0	0	3554	2377	Terreno sisma X SLO	157.4	0	0	0	0	0
3555	2234	Terreno sisma X SLD	192.6	0	0	0	0	0	3556	2233	Terreno sisma X SLD	192.9	0	0	0	0	0
3557	2331	Terreno sisma X SLD	120.4	0	0	0	0	0	3558	2377	Terreno sisma X SLD	187.7	0	0	0	0	0
3559	2101	Acqua canale	824.5	0	0	0	0	0	3560	2101	Pesi strutturali	-4.9E2	0	-1.6E2	0	0	0
3561	2101	Variabile da traffico	-3.5E2	0	-1.2E2	0	0	0	3562	2101	Terreno sisma X SLV	436.3	0	0	0	0	0
3563	2101	Terreno sisma X SLO	164.8	0	0	0	0	0	3564	2101	Terreno sisma X SLD	196.5	0	0	0	0	0
3565	2119	Acqua canale	787.4	0	0	0	0	0	3566	2119	Pesi strutturali	-4.4E2	0	-1.5E2	0	0	0
3567	2119	Variabile da traffico	-3.3E2	0	-1.1E2	0	0	0	3568	2119	Terreno sisma X SLV	403.4	0	0	0	0	0
3569	2119	Terreno sisma X SLO	152.4	0	0	0	0	0	3570	2119	Terreno sisma X SLD	181.7	0	0	0	0	0
3571	2036	Acqua canale	748.3	0	0	0	0	0	3572	2006	Acqua canale	561	0	0	0	0	0
3573	2036	Pesi strutturali	-5.2E2	0	-1.5E2	0	0	0	3574	2006	Pesi strutturali	-3.5E2	0	-99.8	0	0	0
3575	2036	Variabile da traffico	-2.5E2	0	-84.2	0	0	0	3576	2006	Variabile da traffico	-1.6E2	0	-54.9	0	0	0
3577	2036	Terreno sisma X SLV	329.9	0	0	0	0	0	3578	2006	Terreno sisma X SLV	216.3	0	0	0	0	0
3579	2036	Terreno sisma X SLO	124.6	0	0	0	0	0	3580	2006	Terreno sisma X SLO	81.7	0	0	0	0	0
3581	2036	Terreno sisma X SLD	148.6	0	0	0	0	0	3582	2006	Terreno sisma X SLD	97.4	0	0	0	0	0
3583	2039	Acqua canale	828.8	0	0	0	0	0	3584	2039	Pesi strutturali	-5.7E2	0	-1.7E2	0	0	0
3585	2039	Variabile da traffico	-2.8E2	0	-94.7	0	0	0	3586	2039	Terreno sisma X SLV	370.3	0	0	0	0	0
3587	2039	Terreno sisma X SLO	139.9	0	0	0	0	0	3588	2039	Terreno sisma X SLD	166.8	0	0	0	0	0
3589	2041	Acqua canale	854.5	0	0	0	0	0	3590	2041	Pesi strutturali	-5.9E2	0	-1.7E2	0	0	0
3591	2041	Variabile da traffico	-292	0	-98.7	0	0	0	3592	2041	Terreno sisma X SLV	385	0	0	0	0	0
3593	2041	Terreno sisma X SLO	145.4	0	0	0	0	0	3594	2041	Terreno sisma X SLD	173.4	0	0	0	0	0
3595	1400	Spinta idrostatica	0	0	161.9	0	0	0	3596	1398	Spinta idrostatica	0	0	364.8	0	0	0
3597	1355	Spinta idrostatica	0	0	773.6	0	0	0	3598	1369	Spinta idrostatica	0	0	404.1	0	0	0
3599	1400	Acqua canale	0	0	-3.3E2	0	0	0	3600	1398	Acqua canale	0	0	-7.5E2	0	0	0
3601	1355	Acqua canale	0	0	-1.6E3	0	0	0	3602	1369	Acqua canale	0	0	-8.3E2	0	0	0
3603	1324	Spinta idrostatica	0	0	890.8	0	0	0	3604	1338	Spinta idrostatica	0	0	446.5	0	0	0
3605	1324	Acqua canale	0	0	-1.8E3	0	0	0	3606	1338	Acqua canale	0	0	-9.2E2	0	0	0
3607	1293	Spinta idrostatica	0	0	911.3	0	0	0	3608	1307	Spinta idrostatica	0	0	456.1	0	0	0
3609	1293	Acqua canale	0	0	-1.9E3	0	0	0	3610	1307	Acqua canale	0	0	-9.4E2	0	0	0
3611	1262	Spinta idrostatica	0	0	921.7	0	0	0	3612	1276	Spinta idrostatica	0	0	460.5	0	0	0
3613	1262	Acqua canale	0	0	-1901	0	0	0	3614	1276	Acqua canale	0	0	-9.5E2	0	0	0
3615	1231	Spinta idrostatica	0	0	925.3	0	0	0	3616	1245	Spinta idrostatica	0	0	462.2	0	0	0
3617	1231	Acqua canale	0	0	-1.9E3	0	0	0	3618	1245	Acqua canale	0	0	-9.5E2	0	0	0
3619	1200	Spinta idrostatica	0	0	927	0	0	0	3620	1214	Spinta idrostatica	0	0	462.8	0	0	0
3621	1200	Acqua canale	0	0	-1.9E3	0	0	0	3622	1214	Acqua canale	0	0	-9.5E2	0	0	0
3623	1169	Spinta idrostatica	0	0	927	0	0	0	3624	1183	Spinta idrostatica	0	0	462.9	0	0	0
3625	1169	Acqua canale	0	0	-1.9E3	0	0	0	3626	1183	Acqua canale	0	0	-9.5E2	0	0	0
3627	1140	Spinta idrostatica	0	0	927.4	0	0	0	3628	1152	Spinta idrostatica	0	0	463	0	0	0
3629	1140	Acqua canale	0	0	-1.9E3	0	0	0	3630	1152	Acqua canale	0	0	-955	0	0	0
3631	1119	Spinta idrostatica	0	0	927	0	0	0	3632	1121	Spinta idrostatica	0	0	463	0	0	0
3633	1119	Acqua canale	0	0	-1912	0	0	0	3634	1121	Acqua canale	0	0	-9.5E2	0	0	0
3635	1090	Spinta idrostatica	0	0	927.4	0	0	0	3636	1071	Spinta idrostatica	0	0	463	0	0	0
3637	1090	Acqua canale	0	0	-1.9E3	0	0	0	3638	1071	Acqua canale	0	0	-955	0	0	0
3639	1045	Spinta idrostatica	0	0	926.9	0	0	0	3640	1040	Spinta idrostatica	0	0	463	0	0	0

Interventi di miglioramento della diga di Cepparello nel Comune di Poggibonsi (SI)

ET.09.4 – Tabulati di calcolo_Canali fuggatori con fondazioni su pali

Indice	Nodo	Condizione	Fx	Fy	Fz	Mx	My	Mz	Indice	Nodo	Condizione	Fx	Fy	Fz	Mx	My	Mz
3641	1045	Acqua canale	0	0	-1.9E3	0	0	0	3642	1040	Acqua canale	0	0	-9.5E2	0	0	0
3643	1013	Spinta idrostatica	0	0	926.9	0	0	0	3644	1005	Spinta idrostatica	0	0	462.9	0	0	0
3645	1013	Acqua canale	0	0	-1.9E3	0	0	0	3646	1005	Acqua canale	0	0	-9.5E2	0	0	0
3647	982	Spinta idrostatica	0	0	924.9	0	0	0	3648	978	Spinta idrostatica	0	0	462.6	0	0	0
3649	982	Acqua canale	0	0	-1.9E3	0	0	0	3650	978	Acqua canale	0	0	-954	0	0	0
3651	951	Spinta idrostatica	0	0	920.5	0	0	0	3652	943	Spinta idrostatica	0	0	461.6	0	0	0
3653	951	Acqua canale	0	0	-1.9E3	0	0	0	3654	943	Acqua canale	0	0	-952	0	0	0
3655	920	Spinta idrostatica	0	0	908.3	0	0	0	3656	916	Spinta idrostatica	0	0	458.6	0	0	0
3657	920	Acqua canale	0	0	-1.9E3	0	0	0	3658	916	Acqua canale	0	0	-9.5E2	0	0	0
3659	889	Spinta idrostatica	0	0	882.6	0	0	0	3660	881	Spinta idrostatica	0	0	452	0	0	0
3661	889	Acqua canale	0	0	-1.8E3	0	0	0	3662	881	Acqua canale	0	0	-9.3E2	0	0	0
3663	858	Spinta idrostatica	0	0	806.7	0	0	0	3664	854	Spinta idrostatica	0	0	378.9	0	0	0
3665	858	Acqua canale	0	0	-1.7E3	0	0	0	3666	854	Acqua canale	0	0	-7.8E2	0	0	0
3667	840	Spinta idrostatica	0	0	344.8	0	0	0	3668	842	Spinta idrostatica	0	0	177.6	0	0	0
3669	840	Acqua canale	0	0	-7.1E2	0	0	0	3670	842	Acqua canale	0	0	-3.7E2	0	0	0
3671	1397	Spinta idrostatica	0	0	381.5	0	0	0	3672	1345	Spinta idrostatica	0	0	794.8	0	0	0
3673	1397	Acqua canale	0	0	-7.9E2	0	0	0	3674	1345	Acqua canale	0	0	-1.6E3	0	0	0
3675	1314	Spinta idrostatica	0	0	872.2	0	0	0	3676	1314	Acqua canale	0	0	-1.8E3	0	0	0
3677	1283	Spinta idrostatica	0	0	903.9	0	0	0	3678	1283	Acqua canale	0	0	-1.9E3	0	0	0
3679	1252	Spinta idrostatica	0	0	922.6	0	0	0	3680	1252	Acqua canale	0	0	-1.9E3	0	0	0
3681	1221	Spinta idrostatica	0	0	926.8	0	0	0	3682	1221	Acqua canale	0	0	-1.9E3	0	0	0
3683	1190	Spinta idrostatica	0	0	931	0	0	0	3684	1190	Acqua canale	0	0	-1.9E3	0	0	0
3685	1159	Spinta idrostatica	0	0	929.4	0	0	0	3686	1159	Acqua canale	0	0	-1.9E3	0	0	0
3687	1139	Spinta idrostatica	0	0	931.6	0	0	0	3688	1139	Acqua canale	0	0	-1.9E3	0	0	0
3689	1118	Spinta idrostatica	0	0	929.5	0	0	0	3690	1118	Acqua canale	0	0	-1917	0	0	0
3691	1089	Spinta idrostatica	0	0	931.6	0	0	0	3692	1089	Acqua canale	0	0	-1.9E3	0	0	0
3693	1055	Spinta idrostatica	0	0	929.3	0	0	0	3694	1055	Acqua canale	0	0	-1.9E3	0	0	0
3695	1023	Spinta idrostatica	0	0	930.9	0	0	0	3696	1023	Acqua canale	0	0	-1.9E3	0	0	0
3697	992	Spinta idrostatica	0	0	926.4	0	0	0	3698	992	Acqua canale	0	0	-1.9E3	0	0	0
3699	961	Spinta idrostatica	0	0	921.7	0	0	0	3700	961	Acqua canale	0	0	-1.9E3	0	0	0
3701	930	Spinta idrostatica	0	0	902.6	0	0	0	3702	930	Acqua canale	0	0	-1.9E3	0	0	0
3703	899	Spinta idrostatica	0	0	870.8	0	0	0	3704	899	Acqua canale	0	0	-1.8E3	0	0	0
3705	868	Spinta idrostatica	0	0	807.7	0	0	0	3706	868	Acqua canale	0	0	-1.7E3	0	0	0
3707	839	Spinta idrostatica	0	0	373	0	0	0	3708	839	Acqua canale	0	0	-7.7E2	0	0	0
3709	1396	Spinta idrostatica	0	0	365	0	0	0	3710	1353	Spinta idrostatica	0	0	788	0	0	0
3711	1396	Acqua canale	0	0	-7.5E2	0	0	0	3712	1353	Acqua canale	0	0	-1.6E3	0	0	0
3713	1320	Spinta idrostatica	0	0	901.5	0	0	0	3714	1320	Acqua canale	0	0	-1.9E3	0	0	0
3715	1289	Spinta idrostatica	0	0	905.3	0	0	0	3716	1289	Acqua canale	0	0	-1.9E3	0	0	0
3717	1258	Spinta idrostatica	0	0	934.4	0	0	0	3718	1258	Acqua canale	0	0	-1.9E3	0	0	0
3719	1227	Spinta idrostatica	0	0	926	0	0	0	3720	1227	Acqua canale	0	0	-1.9E3	0	0	0
3721	1196	Spinta idrostatica	0	0	940.5	0	0	0	3722	1196	Acqua canale	0	0	-1.9E3	0	0	0
3723	1168	Spinta idrostatica	0	0	928.3	0	0	0	3724	1168	Acqua canale	0	0	-1.9E3	0	0	0
3725	1138	Spinta idrostatica	0	0	941	0	0	0	3726	1138	Acqua canale	0	0	-1.9E3	0	0	0
3727	1117	Spinta idrostatica	0	0	928.4	0	0	0	3728	1117	Acqua canale	0	0	-1.9E3	0	0	0
3729	1088	Spinta idrostatica	0	0	941	0	0	0	3730	1088	Acqua canale	0	0	-1.9E3	0	0	0
3731	1052	Spinta idrostatica	0	0	928.3	0	0	0	3732	1052	Acqua canale	0	0	-1.9E3	0	0	0
3733	1019	Spinta idrostatica	0	0	940.4	0	0	0	3734	1019	Acqua canale	0	0	-1.9E3	0	0	0
3735	986	Spinta idrostatica	0	0	926	0	0	0	3736	986	Acqua canale	0	0	-1.9E3	0	0	0
3737	955	Spinta idrostatica	0	0	933.3	0	0	0	3738	955	Acqua canale	0	0	-1.9E3	0	0	0
3739	924	Spinta idrostatica	0	0	906.1	0	0	0	3740	924	Acqua canale	0	0	-1.9E3	0	0	0
3741	893	Spinta idrostatica	0	0	892.4	0	0	0	3742	893	Acqua canale	0	0	-1.8E3	0	0	0
3743	860	Spinta idrostatica	0	0	809.1	0	0	0	3744	860	Acqua canale	0	0	-1.7E3	0	0	0
3745	838	Spinta idrostatica	0	0	354.3	0	0	0	3746	838	Acqua canale	0	0	-7.3E2	0	0	0
3747	1395	Spinta idrostatica	0	0	356.6	0	0	0	3748	1367	Spinta idrostatica	0	0	907.2	0	0	0
3749	1395	Acqua canale	0	0	-7.4E2	0	0	0	3750	1367	Acqua canale	0	0	-1.9E3	0	0	0
3751	1330	Spinta idrostatica	0	0	968.3	0	0	0	3752	1330	Acqua canale	0	0	-2.0E3	0	0	0

Interventi di miglioramento della diga di Cepparello nel Comune di Poggibonsi (SI)

ET.09.4 – Tabulati di calcolo_Canali fuggatori con fondazioni su pali

Indice	Nodo	Condizione	Fx	Fy	Fz	Mx	My	Mz	Indice	Nodo	Condizione	Fx	Fy	Fz	Mx	My	Mz
3753	1305	Spinta idrostatica	0	0	1.0E3	0	0	0	3754	1305	Acqua canale	0	0	-2.1E3	0	0	0
3755	1268	Spinta idrostatica	0	0	1007	0	0	0	3756	1268	Acqua canale	0	0	-2.1E3	0	0	0
3757	1243	Spinta idrostatica	0	0	1.0E3	0	0	0	3758	1243	Acqua canale	0	0	-2.1E3	0	0	0
3759	1206	Spinta idrostatica	0	0	1.0E3	0	0	0	3760	1206	Acqua canale	0	0	-2.1E3	0	0	0
3761	1181	Spinta idrostatica	0	0	1.0E3	0	0	0	3762	1181	Acqua canale	0	0	-2.1E3	0	0	0
3763	1150	Spinta idrostatica	0	0	1.0E3	0	0	0	3764	1150	Acqua canale	0	0	-2.1E3	0	0	0
3765	1116	Spinta idrostatica	0	0	1.0E3	0	0	0	3766	1116	Acqua canale	0	0	-2.1E3	0	0	0
3767	1069	Spinta idrostatica	0	0	1.0E3	0	0	0	3768	1069	Acqua canale	0	0	-2.1E3	0	0	0
3769	1038	Spinta idrostatica	0	0	1.0E3	0	0	0	3770	1038	Acqua canale	0	0	-2.1E3	0	0	0
3771	1007	Spinta idrostatica	0	0	1.0E3	0	0	0	3772	1007	Acqua canale	0	0	-2.1E3	0	0	0
3773	976	Spinta idrostatica	0	0	1.0E3	0	0	0	3774	976	Acqua canale	0	0	-2100	0	0	0
3775	945	Spinta idrostatica	0	0	1.0E3	0	0	0	3776	945	Acqua canale	0	0	-2085	0	0	0
3777	914	Spinta idrostatica	0	0	1000	0	0	0	3778	914	Acqua canale	0	0	-2.1E3	0	0	0
3779	883	Spinta idrostatica	0	0	996.1	0	0	0	3780	883	Acqua canale	0	0	-2.1E3	0	0	0
3781	852	Spinta idrostatica	0	0	835.9	0	0	0	3782	852	Acqua canale	0	0	-1.7E3	0	0	0
3783	837	Spinta idrostatica	0	0	397.8	0	0	0	3784	837	Acqua canale	0	0	-8.2E2	0	0	0
3785	1394	Spinta idrostatica	0	0	433.5	0	0	0	3786	1357	Spinta idrostatica	0	0	925	0	0	0
3787	1394	Acqua canale	0	0	-8.9E2	0	0	0	3788	1357	Acqua canale	0	0	-1.9E3	0	0	0
3789	1326	Spinta idrostatica	0	0	1.1E3	0	0	0	3790	1326	Acqua canale	0	0	-2.2E3	0	0	0
3791	1295	Spinta idrostatica	0	0	1.1E3	0	0	0	3792	1295	Acqua canale	0	0	-2.2E3	0	0	0
3793	1264	Spinta idrostatica	0	0	1.1E3	0	0	0	3794	1264	Acqua canale	0	0	-2.2E3	0	0	0
3795	1233	Spinta idrostatica	0	0	1100	0	0	0	3796	1233	Acqua canale	0	0	-2.3E3	0	0	0
3797	1202	Spinta idrostatica	0	0	1.1E3	0	0	0	3798	1202	Acqua canale	0	0	-2.3E3	0	0	0
3799	1171	Spinta idrostatica	0	0	1.1E3	0	0	0	3800	1171	Acqua canale	0	0	-2.3E3	0	0	0
3801	1137	Spinta idrostatica	0	0	1.1E3	0	0	0	3802	1137	Acqua canale	0	0	-2252	0	0	0
3803	1115	Spinta idrostatica	0	0	1102	0	0	0	3804	1115	Acqua canale	0	0	-2.3E3	0	0	0
3805	1083	Spinta idrostatica	0	0	1.1E3	0	0	0	3806	1083	Acqua canale	0	0	-2.3E3	0	0	0
3807	1042	Spinta idrostatica	0	0	1.1E3	0	0	0	3808	1042	Acqua canale	0	0	-2.3E3	0	0	0
3809	1011	Spinta idrostatica	0	0	1.1E3	0	0	0	3810	1011	Acqua canale	0	0	-2251	0	0	0
3811	980	Spinta idrostatica	0	0	1.1E3	0	0	0	3812	980	Acqua canale	0	0	-2.3E3	0	0	0
3813	949	Spinta idrostatica	0	0	1085	0	0	0	3814	949	Acqua canale	0	0	-2.2E3	0	0	0
3815	918	Spinta idrostatica	0	0	1.1E3	0	0	0	3816	918	Acqua canale	0	0	-2.2E3	0	0	0
3817	887	Spinta idrostatica	0	0	1.0E3	0	0	0	3818	887	Acqua canale	0	0	-2.1E3	0	0	0
3819	856	Spinta idrostatica	0	0	968.8	0	0	0	3820	856	Acqua canale	0	0	-2.0E3	0	0	0
3821	836	Spinta idrostatica	0	0	407.2	0	0	0	3822	836	Acqua canale	0	0	-8.4E2	0	0	0
3823	1393	Spinta idrostatica	0	0	433.5	0	0	0	3824	1356	Spinta idrostatica	0	0	934.2	0	0	0
3825	1393	Acqua canale	0	0	-8.9E2	0	0	0	3826	1356	Acqua canale	0	0	-1.9E3	0	0	0
3827	1325	Spinta idrostatica	0	0	1.1E3	0	0	0	3828	1325	Acqua canale	0	0	-2.2E3	0	0	0
3829	1294	Spinta idrostatica	0	0	1.1E3	0	0	0	3830	1294	Acqua canale	0	0	-2.2E3	0	0	0
3831	1263	Spinta idrostatica	0	0	1.1E3	0	0	0	3832	1263	Acqua canale	0	0	-2235	0	0	0
3833	1232	Spinta idrostatica	0	0	1102	0	0	0	3834	1232	Acqua canale	0	0	-2.3E3	0	0	0
3835	1201	Spinta idrostatica	0	0	1.1E3	0	0	0	3836	1201	Acqua canale	0	0	-2.2E3	0	0	0
3837	1170	Spinta idrostatica	0	0	1104	0	0	0	3838	1170	Acqua canale	0	0	-2277	0	0	0
3839	1136	Spinta idrostatica	0	0	1.1E3	0	0	0	3840	1136	Acqua canale	0	0	-2.2E3	0	0	0
3841	1114	Spinta idrostatica	0	0	1.1E3	0	0	0	3842	1114	Acqua canale	0	0	-2.3E3	0	0	0
3843	1082	Spinta idrostatica	0	0	1.1E3	0	0	0	3844	1082	Acqua canale	0	0	-2.2E3	0	0	0
3845	1041	Spinta idrostatica	0	0	1104	0	0	0	3846	1041	Acqua canale	0	0	-2277	0	0	0
3847	1010	Spinta idrostatica	0	0	1.1E3	0	0	0	3848	1010	Acqua canale	0	0	-2.2E3	0	0	0
3849	979	Spinta idrostatica	0	0	1.1E3	0	0	0	3850	979	Acqua canale	0	0	-2.3E3	0	0	0
3851	948	Spinta idrostatica	0	0	1.1E3	0	0	0	3852	948	Acqua canale	0	0	-2.2E3	0	0	0
3853	917	Spinta idrostatica	0	0	1.1E3	0	0	0	3854	917	Acqua canale	0	0	-2.2E3	0	0	0
3855	886	Spinta idrostatica	0	0	1.0E3	0	0	0	3856	886	Acqua canale	0	0	-2142	0	0	0

Interventi di miglioramento della diga di Cepparello nel Comune di Poggibonsi (SI)

ET.09.4 – Tabulati di calcolo_Canali fugatori con fondazioni su pali

Indice	Nodo	Condizione	Fx	Fy	Fz	Mx	My	Mz	Indice	Nodo	Condizione	Fx	Fy	Fz	Mx	My	Mz
3857	855	Spinta idrostatica	0	0	963.5	0	0	0	3858	855	Acqua canale	0	0	-2.0E3	0	0	0
3859	835	Spinta idrostatica	0	0	415.6	0	0	0	3860	835	Acqua canale	0	0	-8.6E2	0	0	0
3861	1392	Spinta idrostatica	0	0	354	0	0	0	3862	1366	Spinta idrostatica	0	0	901.3	0	0	0
3863	1392	Acqua canale	0	0	-7.3E2	0	0	0	3864	1366	Acqua canale	0	0	-1.9E3	0	0	0
3865	1329	Spinta idrostatica	0	0	966.1	0	0	0	3866	1329	Acqua canale	0	0	-2.0E3	0	0	0
3867	1304	Spinta idrostatica	0	0	987.8	0	0	0	3868	1304	Acqua canale	0	0	-2.0E3	0	0	0
3869	1267	Spinta idrostatica	0	0	1.0E3	0	0	0	3870	1267	Acqua canale	0	0	-2.1E3	0	0	0
3871	1242	Spinta idrostatica	0	0	1.0E3	0	0	0	3872	1242	Acqua canale	0	0	-2.1E3	0	0	0
3873	1205	Spinta idrostatica	0	0	1012	0	0	0	3874	1205	Acqua canale	0	0	-2.1E3	0	0	0
3875	1180	Spinta idrostatica	0	0	1.0E3	0	0	0	3876	1180	Acqua canale	0	0	-2.1E3	0	0	0
3877	1149	Spinta idrostatica	0	0	1.0E3	0	0	0	3878	1149	Acqua canale	0	0	-2.1E3	0	0	0
3879	1113	Spinta idrostatica	0	0	1.0E3	0	0	0	3880	1113	Acqua canale	0	0	-2.1E3	0	0	0
3881	1068	Spinta idrostatica	0	0	1.0E3	0	0	0	3882	1068	Acqua canale	0	0	-2.1E3	0	0	0
3883	1037	Spinta idrostatica	0	0	1.0E3	0	0	0	3884	1037	Acqua canale	0	0	-2.1E3	0	0	0
3885	1006	Spinta idrostatica	0	0	1.0E3	0	0	0	3886	1006	Acqua canale	0	0	-2.1E3	0	0	0
3887	975	Spinta idrostatica	0	0	1.0E3	0	0	0	3888	975	Acqua canale	0	0	-2.1E3	0	0	0
3889	944	Spinta idrostatica	0	0	1.0E3	0	0	0	3890	944	Acqua canale	0	0	-2.1E3	0	0	0
3891	913	Spinta idrostatica	0	0	986.9	0	0	0	3892	913	Acqua canale	0	0	-2.0E3	0	0	0
3893	882	Spinta idrostatica	0	0	994.9	0	0	0	3894	882	Acqua canale	0	0	-2052	0	0	0
3895	851	Spinta idrostatica	0	0	824.4	0	0	0	3896	851	Acqua canale	0	0	-1.7E3	0	0	0
3897	834	Spinta idrostatica	0	0	396.1	0	0	0	3898	834	Acqua canale	0	0	-817	0	0	0
3899	1391	Spinta idrostatica	0	0	359.1	0	0	0	3900	1352	Spinta idrostatica	0	0	766.5	0	0	0
3901	1391	Acqua canale	0	0	-7.4E2	0	0	0	3902	1352	Acqua canale	0	0	-1.6E3	0	0	0
3903	1319	Spinta idrostatica	0	0	893.9	0	0	0	3904	1319	Acqua canale	0	0	-1.8E3	0	0	0
3905	1288	Spinta idrostatica	0	0	894.7	0	0	0	3906	1288	Acqua canale	0	0	-1.8E3	0	0	0
3907	1257	Spinta idrostatica	0	0	919.5	0	0	0	3908	1257	Acqua canale	0	0	-1.9E3	0	0	0
3909	1226	Spinta idrostatica	0	0	914.2	0	0	0	3910	1226	Acqua canale	0	0	-1.9E3	0	0	0
3911	1195	Spinta idrostatica	0	0	924.4	0	0	0	3912	1195	Acqua canale	0	0	-1.9E3	0	0	0
3913	1167	Spinta idrostatica	0	0	916.3	0	0	0	3914	1167	Acqua canale	0	0	-1.9E3	0	0	0
3915	1135	Spinta idrostatica	0	0	924.8	0	0	0	3916	1135	Acqua canale	0	0	-1.9E3	0	0	0
3917	1112	Spinta idrostatica	0	0	916.4	0	0	0	3918	1112	Acqua canale	0	0	-1.9E3	0	0	0
3919	1081	Spinta idrostatica	0	0	924.8	0	0	0	3920	1081	Acqua canale	0	0	-1.9E3	0	0	0
3921	1051	Spinta idrostatica	0	0	916.3	0	0	0	3922	1051	Acqua canale	0	0	-1.9E3	0	0	0
3923	1018	Spinta idrostatica	0	0	924.3	0	0	0	3924	1018	Acqua canale	0	0	-1.9E3	0	0	0
3925	985	Spinta idrostatica	0	0	914.1	0	0	0	3926	985	Acqua canale	0	0	-1.9E3	0	0	0
3927	954	Spinta idrostatica	0	0	917.4	0	0	0	3928	954	Acqua canale	0	0	-1.9E3	0	0	0
3929	923	Spinta idrostatica	0	0	895.6	0	0	0	3930	923	Acqua canale	0	0	-1.8E3	0	0	0
3931	892	Spinta idrostatica	0	0	878.1	0	0	0	3932	892	Acqua canale	0	0	-1.8E3	0	0	0
3933	859	Spinta idrostatica	0	0	805.5	0	0	0	3934	859	Acqua canale	0	0	-1.7E3	0	0	0
3935	833	Spinta idrostatica	0	0	338.8	0	0	0	3936	833	Acqua canale	0	0	-7.0E2	0	0	0
3937	1390	Spinta idrostatica	0	0	375.3	0	0	0	3938	1344	Spinta idrostatica	0	0	782.1	0	0	0
3939	1390	Acqua canale	0	0	-7.7E2	0	0	0	3940	1344	Acqua canale	0	0	-1.6E3	0	0	0
3941	1313	Spinta idrostatica	0	0	858.5	0	0	0	3942	1313	Acqua canale	0	0	-1.8E3	0	0	0
3943	1282	Spinta idrostatica	0	0	889.8	0	0	0	3944	1282	Acqua canale	0	0	-1.8E3	0	0	0
3945	1251	Spinta idrostatica	0	0	907.8	0	0	0	3946	1251	Acqua canale	0	0	-1.9E3	0	0	0
3947	1220	Spinta idrostatica	0	0	912.6	0	0	0	3948	1220	Acqua canale	0	0	-1.9E3	0	0	0
3949	1189	Spinta idrostatica	0	0	916.2	0	0	0	3950	1189	Acqua canale	0	0	-1.9E3	0	0	0
3951	1158	Spinta idrostatica	0	0	915.2	0	0	0	3952	1158	Acqua canale	0	0	-1.9E3	0	0	0
3953	1134	Spinta idrostatica	0	0	916.8	0	0	0	3954	1134	Acqua canale	0	0	-1.9E3	0	0	0
3955	1111	Spinta idrostatica	0	0	915.4	0	0	0	3956	1111	Acqua canale	0	0	-1.9E3	0	0	0
3957	1080	Spinta idrostatica	0	0	916.8	0	0	0	3958	1080	Acqua canale	0	0	-1.9E3	0	0	0
3959	1054	Spinta idrostatica	0	0	915.2	0	0	0	3960	1054	Acqua canale	0	0	-1.9E3	0	0	0

Interventi di miglioramento della diga di Cepparello nel Comune di Poggibonsi (SI)

ET.09.4 – Tabulati di calcolo_Canali fugadori con fondazioni su pali

Indice	Nodo	Condizione	Fx	Fy	Fz	Mx	My	Mz	Indice	Nodo	Condizione	Fx	Fy	Fz	Mx	My	Mz
3961	1022	Spinta idrostatica	0	0	916.1	0	0	0	3962	1022	Acqua canale	0	0	-1.9E3	0	0	0
3963	991	Spinta idrostatica	0	0	912.4	0	0	0	3964	991	Acqua canale	0	0	-1.9E3	0	0	0
3965	960	Spinta idrostatica	0	0	907	0	0	0	3966	960	Acqua canale	0	0	-1.9E3	0	0	0
3967	929	Spinta idrostatica	0	0	888.8	0	0	0	3968	929	Acqua canale	0	0	-1.8E3	0	0	0
3969	898	Spinta idrostatica	0	0	856.6	0	0	0	3970	898	Acqua canale	0	0	-1.8E3	0	0	0
3971	867	Spinta idrostatica	0	0	795.5	0	0	0	3972	867	Acqua canale	0	0	-1.6E3	0	0	0
3973	832	Spinta idrostatica	0	0	367.1	0	0	0	3974	832	Acqua canale	0	0	-7.6E2	0	0	0
3975	1389	Spinta idrostatica	0	0	358.9	0	0	0	3976	1354	Spinta idrostatica	0	0	770.5	0	0	0
3977	1389	Acqua canale	0	0	-7.4E2	0	0	0	3978	1354	Acqua canale	0	0	-1.6E3	0	0	0
3979	1323	Spinta idrostatica	0	0	871	0	0	0	3980	1323	Acqua canale	0	0	-1.8E3	0	0	0
3981	1292	Spinta idrostatica	0	0	894.2	0	0	0	3982	1292	Acqua canale	0	0	-1.8E3	0	0	0
3983	1261	Spinta idrostatica	0	0	906	0	0	0	3984	1261	Acqua canale	0	0	-1.9E3	0	0	0
3985	1230	Spinta idrostatica	0	0	910.3	0	0	0	3986	1230	Acqua canale	0	0	-1.9E3	0	0	0
3987	1199	Spinta idrostatica	0	0	912.1	0	0	0	3988	1199	Acqua canale	0	0	-1.9E3	0	0	0
3989	1166	Spinta idrostatica	0	0	912.3	0	0	0	3990	1166	Acqua canale	0	0	-1.9E3	0	0	0
3991	1133	Spinta idrostatica	0	0	912.6	0	0	0	3992	1133	Acqua canale	0	0	-1.9E3	0	0	0
3993	1110	Spinta idrostatica	0	0	912.3	0	0	0	3994	1110	Acqua canale	0	0	-1.9E3	0	0	0
3995	1079	Spinta idrostatica	0	0	912.6	0	0	0	3996	1079	Acqua canale	0	0	-1.9E3	0	0	0
3997	1044	Spinta idrostatica	0	0	912.2	0	0	0	3998	1044	Acqua canale	0	0	-1.9E3	0	0	0
3999	1012	Spinta idrostatica	0	0	912.1	0	0	0	4000	1012	Acqua canale	0	0	-1.9E3	0	0	0
4001	981	Spinta idrostatica	0	0	910.2	0	0	0	4002	981	Acqua canale	0	0	-1.9E3	0	0	0
4003	950	Spinta idrostatica	0	0	905.5	0	0	0	4004	950	Acqua canale	0	0	-1.9E3	0	0	0
4005	919	Spinta idrostatica	0	0	892.9	0	0	0	4006	919	Acqua canale	0	0	-1.8E3	0	0	0
4007	888	Spinta idrostatica	0	0	865.9	0	0	0	4008	888	Acqua canale	0	0	-1.8E3	0	0	0
4009	857	Spinta idrostatica	0	0	788.4	0	0	0	4010	857	Acqua canale	0	0	-1.6E3	0	0	0
4011	831	Spinta idrostatica	0	0	348.7	0	0	0	4012	831	Acqua canale	0	0	-7.2E2	0	0	0
4013	1387	Spinta idrostatica	0	0	159.3	0	0	0	4014	1364	Spinta idrostatica	0	0	405.3	0	0	0
4015	1387	Acqua canale	0	0	-3.3E2	0	0	0	4016	1364	Acqua canale	0	0	-8.4E2	0	0	0
4017	1335	Spinta idrostatica	0	0	434.5	0	0	0	4018	1335	Acqua canale	0	0	-9.0E2	0	0	0
4019	1302	Spinta idrostatica	0	0	446.8	0	0	0	4020	1302	Acqua canale	0	0	-9.2E2	0	0	0
4021	1273	Spinta idrostatica	0	0	452.4	0	0	0	4022	1273	Acqua canale	0	0	-933	0	0	0
4023	1240	Spinta idrostatica	0	0	454.6	0	0	0	4024	1240	Acqua canale	0	0	-9.4E2	0	0	0
4025	1211	Spinta idrostatica	0	0	455.4	0	0	0	4026	1211	Acqua canale	0	0	-9.4E2	0	0	0
4027	1178	Spinta idrostatica	0	0	455.5	0	0	0	4028	1178	Acqua canale	0	0	-9.4E2	0	0	0
4029	1147	Spinta idrostatica	0	0	455.6	0	0	0	4030	1147	Acqua canale	0	0	-9.4E2	0	0	0
4031	1108	Spinta idrostatica	0	0	455.6	0	0	0	4032	1108	Acqua canale	0	0	-9.4E2	0	0	0
4033	1066	Spinta idrostatica	0	0	455.6	0	0	0	4034	1066	Acqua canale	0	0	-9.4E2	0	0	0
4035	1035	Spinta idrostatica	0	0	455.6	0	0	0	4036	1035	Acqua canale	0	0	-9.4E2	0	0	0
4037	1002	Spinta idrostatica	0	0	455.5	0	0	0	4038	1002	Acqua canale	0	0	-9.4E2	0	0	0
4039	973	Spinta idrostatica	0	0	455.1	0	0	0	4040	973	Acqua canale	0	0	-9.4E2	0	0	0
4041	940	Spinta idrostatica	0	0	453.9	0	0	0	4042	940	Acqua canale	0	0	-9.4E2	0	0	0
4043	911	Spinta idrostatica	0	0	450.6	0	0	0	4044	911	Acqua canale	0	0	-9.3E2	0	0	0
4045	878	Spinta idrostatica	0	0	442.8	0	0	0	4046	878	Acqua canale	0	0	-9.1E2	0	0	0
4047	849	Spinta idrostatica	0	0	368.1	0	0	0	4048	849	Acqua canale	0	0	-7.6E2	0	0	0
4049	829	Spinta idrostatica	0	0	182.5	0	0	0	4050	829	Acqua canale	0	0	-3.8E2	0	0	0
4051	841	Acqua canale	242	0	0	0	0	0	4052	1965	Acqua canale	556.2	0	0	0	0	0
4053	1966	Acqua canale	1.2E3	0	0	0	0	0	4054	853	Acqua canale	579.9	0	0	0	0	0
4055	841	Pesi strutturali	-3.4E2	0	-72.3	0	0	0	4056	1965	Pesi strutturali	-4.8E2	0	-1.3E2	0	0	0
4057	853	Pesi strutturali	-816	0	-1.7E2	0	0	0	4058	1966	Pesi strutturali	-1.0E3	0	-2.7E2	0	0	0
4059	841	Variabile da traffico	-1.2E2	0	-39.7	0	0	0	4060	1965	Variabile da traffico	-2.6E2	0	-87.4	0	0	0
4061	853	Variabile da traffico	-2.8E2	0	-95.3	0	0	0	4062	1966	Variabile da traffico	-5.6E2	0	-1.9E2	0	0	0
4063	841	Terreno sisma X SLV	150.4	0	0	0	0	0	4064	1965	Terreno sisma X SLV	307.8	0	0	0	0	0
4065	853	Terreno sisma X SLV	360.9	0	0	0	0	0	4066	1966	Terreno sisma X SLV	668.2	0	0	0	0	0

Interventi di miglioramento della diga di Cepparello nel Comune di Poggibonsi (SI)

ET.09.4 – Tabulati di calcolo_Canali fugatori con fondazioni su pali

Indice	Nodo	Condizione	Fx	Fy	Fz	Mx	My	Mz	Indice	Nodo	Condizione	Fx	Fy	Fz	Mx	My	Mz
4067	841	Terreno sisma X SLO	56.8	0	0	0	0	0	4068	1965	Terreno sisma X SLO	116.3	0	0	0	0	0
4069	853	Terreno sisma X SLO	136.3	0	0	0	0	0	4070	1966	Terreno sisma X SLO	252.4	0	0	0	0	0
4071	841	Terreno sisma X SLD	67.7	0	0	0	0	0	4072	1965	Terreno sisma X SLD	138.6	0	0	0	0	0
4073	853	Terreno sisma X SLD	162.6	0	0	0	0	0	4074	1966	Terreno sisma X SLD	301	0	0	0	0	0
4075	1968	Acqua canale	1.3E3	0	0	0	0	0	4076	880	Acqua canale	625.8	0	0	0	0	0
4077	880	Pesi strutturali	-9.6E2	0	-2.0E2	0	0	0	4078	1968	Pesi strutturali	-1.1E3	0	-3.0E2	0	0	0
4079	880	Variabile da traffico	-3.3E2	0	-1.1E2	0	0	0	4080	1968	Variabile da traffico	-6.2E2	0	-2.1E2	0	0	0
4081	880	Terreno sisma X SLV	423.4	0	0	0	0	0	4082	1968	Terreno sisma X SLV	736.3	0	0	0	0	0
4083	880	Terreno sisma X SLO	160	0	0	0	0	0	4084	1968	Terreno sisma X SLO	278.1	0	0	0	0	0
4085	880	Terreno sisma X SLD	190.7	0	0	0	0	0	4086	1968	Terreno sisma X SLD	331.7	0	0	0	0	0
4087	1970	Acqua canale	1.3E3	0	0	0	0	0	4088	915	Acqua canale	643.9	0	0	0	0	0
4089	915	Pesi strutturali	-9.7E2	0	-2.1E2	0	0	0	4090	1970	Pesi strutturali	-1.2E3	0	-3.1E2	0	0	0
4091	915	Variabile da traffico	-3.3E2	0	-1.1E2	0	0	0	4092	1970	Variabile da traffico	-6.4E2	0	-2.2E2	0	0	0
4093	915	Terreno sisma X SLV	427.1	0	0	0	0	0	4094	1970	Terreno sisma X SLV	760.5	0	0	0	0	0
4095	915	Terreno sisma X SLO	161.3	0	0	0	0	0	4096	1970	Terreno sisma X SLO	287.3	0	0	0	0	0
4097	915	Terreno sisma X SLD	192.4	0	0	0	0	0	4098	1970	Terreno sisma X SLD	342.6	0	0	0	0	0
4099	1972	Acqua canale	1.4E3	0	0	0	0	0	4100	942	Acqua canale	654.9	0	0	0	0	0
4101	942	Pesi strutturali	-9.7E2	0	-2.1E2	0	0	0	4102	1972	Pesi strutturali	-1209	0	-3.2E2	0	0	0
4103	942	Variabile da traffico	-3.4E2	0	-1.1E2	0	0	0	4104	1972	Variabile da traffico	-6.5E2	0	-2.2E2	0	0	0
4105	942	Terreno sisma X SLV	429.5	0	0	0	0	0	4106	1972	Terreno sisma X SLV	777	0	0	0	0	0
4107	942	Terreno sisma X SLO	162.2	0	0	0	0	0	4108	1972	Terreno sisma X SLO	293.5	0	0	0	0	0
4109	942	Terreno sisma X SLD	193.5	0	0	0	0	0	4110	1972	Terreno sisma X SLD	350	0	0	0	0	0
4111	1974	Acqua canale	1406	0	0	0	0	0	4112	977	Acqua canale	664.4	0	0	0	0	0
4113	977	Pesi strutturali	-9.8E2	0	-2.1E2	0	0	0	4114	1974	Pesi strutturali	-1.2E3	0	-3.3E2	0	0	0
4115	977	Variabile da traffico	-3.4E2	0	-1.1E2	0	0	0	4116	1974	Variabile da traffico	-6.7E2	0	-2.2E2	0	0	0
4117	977	Terreno sisma X SLV	431.6	0	0	0	0	0	4118	1974	Terreno sisma X SLV	792.6	0	0	0	0	0
4119	977	Terreno sisma X SLO	163	0	0	0	0	0	4120	1974	Terreno sisma X SLO	299.4	0	0	0	0	0
4121	977	Terreno sisma X SLD	194.4	0	0	0	0	0	4122	1974	Terreno sisma X SLD	357.1	0	0	0	0	0
4123	1976	Acqua canale	1.4E3	0	0	0	0	0	4124	1004	Acqua canale	672.9	0	0	0	0	0
4125	1004	Pesi strutturali	-9.8E2	0	-2.1E2	0	0	0	4126	1976	Pesi strutturali	-1.3E3	0	-3.3E2	0	0	0
4127	1004	Variabile da traffico	-3.4E2	0	-1.1E2	0	0	0	4128	1976	Variabile da traffico	-6.8E2	0	-2.3E2	0	0	0
4129	1004	Terreno sisma X SLV	433.4	0	0	0	0	0	4130	1976	Terreno sisma X SLV	806.1	0	0	0	0	0
4131	1004	Terreno sisma X SLO	163.7	0	0	0	0	0	4132	1976	Terreno sisma X SLO	304.5	0	0	0	0	0
4133	1004	Terreno sisma X SLD	195.2	0	0	0	0	0	4134	1976	Terreno sisma X SLD	363.1	0	0	0	0	0
4135	1978	Acqua canale	1.4E3	0	0	0	0	0	4136	1039	Acqua canale	678.4	0	0	0	0	0
4137	1039	Pesi strutturali	-9.8E2	0	-2.1E2	0	0	0	4138	1978	Pesi strutturali	-1.3E3	0	-3.3E2	0	0	0
4139	1039	Variabile da traffico	-3.4E2	0	-1.1E2	0	0	0	4140	1978	Variabile da traffico	-6.8E2	0	-2.3E2	0	0	0
4141	1039	Terreno sisma X SLV	434.5	0	0	0	0	0	4142	1978	Terreno sisma X SLV	814.3	0	0	0	0	0
4143	1039	Terreno sisma X SLO	164.1	0	0	0	0	0	4144	1978	Terreno sisma X SLO	307.6	0	0	0	0	0
4145	1039	Terreno sisma X SLD	195.7	0	0	0	0	0	4146	1978	Terreno sisma X SLD	366.8	0	0	0	0	0
4147	1980	Acqua canale	1.5E3	0	0	0	0	0	4148	1070	Acqua canale	681.3	0	0	0	0	0
4149	1070	Pesi strutturali	-9.8E2	0	-2.1E2	0	0	0	4150	1980	Pesi strutturali	-1.3E3	0	-3.4E2	0	0	0
4151	1070	Variabile da traffico	-3.4E2	0	-1.1E2	0	0	0	4152	1980	Variabile da traffico	-6.9E2	0	-2.3E2	0	0	0
4153	1070	Terreno sisma X SLV	435	0	0	0	0	0	4154	1980	Terreno sisma X SLV	818.4	0	0	0	0	0
4155	1070	Terreno sisma X SLO	164.3	0	0	0	0	0	4156	1980	Terreno sisma X SLO	309.1	0	0	0	0	0
4157	1070	Terreno sisma X SLD	196	0	0	0	0	0	4158	1980	Terreno sisma X SLD	368.7	0	0	0	0	0
4159	1982	Acqua canale	1.5E3	0	0	0	0	0	4160	1120	Acqua canale	682.5	0	0	0	0	0
4161	1120	Pesi strutturali	-984	0	-2.1E2	0	0	0	4162	1982	Pesi strutturali	-1.3E3	0	-3.4E2	0	0	0
4163	1120	Variabile da traffico	-3.4E2	0	-1.1E2	0	0	0	4164	1982	Variabile da traffico	-6.9E2	0	-2.3E2	0	0	0
4165	1120	Terreno sisma X SLV	435.3	0	0	0	0	0	4166	1982	Terreno sisma X SLV	820	0	0	0	0	0
4167	1120	Terreno sisma X SLO	164.4	0	0	0	0	0	4168	1982	Terreno sisma X SLO	309.8	0	0	0	0	0
4169	1120	Terreno sisma X SLD	196.1	0	0	0	0	0	4170	1982	Terreno sisma X SLD	369.4	0	0	0	0	0
4171	1984	Acqua canale	1.5E3	0	0	0	0	0	4172	1151	Acqua canale	682.9	0	0	0	0	0
4173	1151	Pesi strutturali	-9.8E2	0	-2.1E2	0	0	0	4174	1984	Pesi strutturali	-1.3E3	0	-3.4E2	0	0	0
4175	1151	Variabile da traffico	-3.4E2	0	-1.1E2	0	0	0	4176	1984	Variabile da traffico	-689	0	-2.3E2	0	0	0

Interventi di miglioramento della diga di Cepparello nel Comune di Poggibonsi (SI)

ET.09.4 – Tabulati di calcolo_Canali fugadori con fondazioni su pali

Indice	Nodo	Condizione	Fx	Fy	Fz	Mx	My	Mz	Indice	Nodo	Condizione	Fx	Fy	Fz	Mx	My	Mz
4177	1151	Terreno sisma X SLV	435.3	0	0	0	0	0	4178	1984	Terreno sisma X SLV	820.5	0	0	0	0	0
4179	1151	Terreno sisma X SLO	164.4	0	0	0	0	0	4180	1984	Terreno sisma X SLO	310	0	0	0	0	0
4181	1151	Terreno sisma X SLD	196.1	0	0	0	0	0	4182	1984	Terreno sisma X SLD	369.6	0	0	0	0	0
4183	1986	Acqua canale	1.5E3	0	0	0	0	0	4184	1182	Acqua canale	683	0	0	0	0	0
4185	1182	Pesi strutturali	-9.8E2	0	-2.1E2	0	0	0	4186	1986	Pesi strutturali	-1.3E3	0	-3.4E2	0	0	0
4187	1182	Variabile da traffico	-3.4E2	0	-115	0	0	0	4188	1986	Variabile da traffico	-689	0	-2.3E2	0	0	0
4189	1182	Terreno sisma X SLV	435.3	0	0	0	0	0	4190	1986	Terreno sisma X SLV	820.6	0	0	0	0	0
4191	1182	Terreno sisma X SLO	164.5	0	0	0	0	0	4192	1986	Terreno sisma X SLO	310	0	0	0	0	0
4193	1182	Terreno sisma X SLD	196.1	0	0	0	0	0	4194	1986	Terreno sisma X SLD	369.7	0	0	0	0	0
4195	1988	Acqua canale	1.5E3	0	0	0	0	0	4196	1213	Acqua canale	682.8	0	0	0	0	0
4197	1213	Pesi strutturali	-984	0	-2.1E2	0	0	0	4198	1988	Pesi strutturali	-1.3E3	0	-3.4E2	0	0	0
4199	1213	Variabile da traffico	-3.4E2	0	-115	0	0	0	4200	1988	Variabile da traffico	-6.9E2	0	-2.3E2	0	0	0
4201	1213	Terreno sisma X SLV	435.3	0	0	0	0	0	4202	1988	Terreno sisma X SLV	820.2	0	0	0	0	0
4203	1213	Terreno sisma X SLO	164.4	0	0	0	0	0	4204	1988	Terreno sisma X SLO	309.8	0	0	0	0	0
4205	1213	Terreno sisma X SLD	196.1	0	0	0	0	0	4206	1988	Terreno sisma X SLD	369.5	0	0	0	0	0
4207	1990	Acqua canale	1.5E3	0	0	0	0	0	4208	1244	Acqua canale	682	0	0	0	0	0
4209	1244	Pesi strutturali	-9.8E2	0	-2.1E2	0	0	0	4210	1990	Pesi strutturali	-1.3E3	0	-3.4E2	0	0	0
4211	1244	Variabile da traffico	-3.4E2	0	-1.1E2	0	0	0	4212	1990	Variabile da traffico	-6.9E2	0	-2.3E2	0	0	0
4213	1244	Terreno sisma X SLV	435.1	0	0	0	0	0	4214	1990	Terreno sisma X SLV	818.6	0	0	0	0	0
4215	1244	Terreno sisma X SLO	164.3	0	0	0	0	0	4216	1990	Terreno sisma X SLO	309.2	0	0	0	0	0
4217	1244	Terreno sisma X SLD	196	0	0	0	0	0	4218	1990	Terreno sisma X SLD	368.8	0	0	0	0	0
4219	1992	Acqua canale	1.4E3	0	0	0	0	0	4220	1275	Acqua canale	679.4	0	0	0	0	0
4221	1275	Pesi strutturali	-982	0	-209	0	0	0	4222	1992	Pesi strutturali	-1.3E3	0	-3.3E2	0	0	0
4223	1275	Variabile da traffico	-3.4E2	0	-1.1E2	0	0	0	4224	1992	Variabile da traffico	-6.8E2	0	-2.3E2	0	0	0
4225	1275	Terreno sisma X SLV	434.4	0	0	0	0	0	4226	1992	Terreno sisma X SLV	813.9	0	0	0	0	0
4227	1275	Terreno sisma X SLO	164.1	0	0	0	0	0	4228	1992	Terreno sisma X SLO	307.4	0	0	0	0	0
4229	1275	Terreno sisma X SLD	195.7	0	0	0	0	0	4230	1992	Terreno sisma X SLD	366.6	0	0	0	0	0
4231	1994	Acqua canale	1.4E3	0	0	0	0	0	4232	1306	Acqua canale	672.6	0	0	0	0	0
4233	1306	Pesi strutturali	-9.8E2	0	-2.1E2	0	0	0	4234	1994	Pesi strutturali	-1.2E3	0	-3.3E2	0	0	0
4235	1306	Variabile da traffico	-3.4E2	0	-1.1E2	0	0	0	4236	1994	Variabile da traffico	-6.7E2	0	-2.3E2	0	0	0
4237	1306	Terreno sisma X SLV	432.6	0	0	0	0	0	4238	1994	Terreno sisma X SLV	801.9	0	0	0	0	0
4239	1306	Terreno sisma X SLO	163.4	0	0	0	0	0	4240	1994	Terreno sisma X SLO	302.9	0	0	0	0	0
4241	1306	Terreno sisma X SLD	194.9	0	0	0	0	0	4242	1994	Terreno sisma X SLD	361.2	0	0	0	0	0
4243	1996	Acqua canale	1.4E3	0	0	0	0	0	4244	1337	Acqua canale	657	0	0	0	0	0
4245	1337	Pesi strutturali	-9.7E2	0	-2.1E2	0	0	0	4246	1996	Pesi strutturali	-1.2E3	0	-3.2E2	0	0	0
4247	1337	Variabile da traffico	-335	0	-1.1E2	0	0	0	4248	1996	Variabile da traffico	-6.5E2	0	-2.2E2	0	0	0
4249	1337	Terreno sisma X SLV	428.6	0	0	0	0	0	4250	1996	Terreno sisma X SLV	775.3	0	0	0	0	0
4251	1337	Terreno sisma X SLO	161.9	0	0	0	0	0	4252	1996	Terreno sisma X SLO	292.9	0	0	0	0	0
4253	1337	Terreno sisma X SLD	193.1	0	0	0	0	0	4254	1996	Terreno sisma X SLD	349.3	0	0	0	0	0
4255	1998	Acqua canale	1.3E3	0	0	0	0	0	4256	1368	Acqua canale	561.9	0	0	0	0	0
4257	1368	Pesi strutturali	-8.3E2	0	-1.8E2	0	0	0	4258	1998	Pesi strutturali	-1.1E3	0	-2.9E2	0	0	0
4259	1368	Variabile da traffico	-2.9E2	0	-96.5	0	0	0	4260	1998	Variabile da traffico	-5.9E2	0	-2.0E2	0	0	0
4261	1368	Terreno sisma X SLV	365.3	0	0	0	0	0	4262	1998	Terreno sisma X SLV	700.5	0	0	0	0	0
4263	1368	Terreno sisma X SLO	138	0	0	0	0	0	4264	1998	Terreno sisma X SLO	264.6	0	0	0	0	0
4265	1368	Terreno sisma X SLD	164.5	0	0	0	0	0	4266	1998	Terreno sisma X SLD	315.6	0	0	0	0	0
4267	2003	Acqua canale	553.9	0	0	0	0	0	4268	1399	Acqua canale	273	0	0	0	0	0
4269	1399	Pesi strutturali	-3.4E2	0	-73.2	0	0	0	4270	2003	Pesi strutturali	-5.0E2	0	-1.3E2	0	0	0
4271	1399	Variabile da traffico	-1.2E2	0	-40.2	0	0	0	4272	2003	Variabile da traffico	-2.7E2	0	-91.4	0	0	0
4273	1399	Terreno sisma X SLV	152.3	0	0	0	0	0	4274	2003	Terreno sisma X SLV	321.9	0	0	0	0	0
4275	1399	Terreno sisma X SLO	57.5	0	0	0	0	0	4276	2003	Terreno sisma X SLO	121.6	0	0	0	0	0
4277	1399	Terreno sisma X SLD	68.6	0	0	0	0	0	4278	2003	Terreno sisma X SLD	145	0	0	0	0	0
4279	2169	Acqua canale	473.2	0	0	0	0	0	4280	2170	Acqua canale	976.7	0	0	0	0	0
4281	2169	Pesi strutturali	-193	0	-65.2	0	0	0	4282	2170	Pesi strutturali	-4.0E2	0	-1.4E2	0	0	0
4283	2169	Variabile da traffico	-2.6E2	0	-89.1	0	0	0	4284	2170	Variabile da traffico	-5.5E2	0	-185	0	0	0
4285	2169	Terreno sisma X SLV	287.1	0	0	0	0	0	4286	2170	Terreno sisma X SLV	596	0	0	0	0	0

Interventi di miglioramento della diga di Cepparello nel Comune di Poggibonsi (SI)

ET.09.4 – Tabulati di calcolo_Canali fugatori con fondazioni su pali

Indice	Nodo	Condizione	Fx	Fy	Fz	Mx	My	Mz	Indice	Nodo	Condizione	Fx	Fy	Fz	Mx	My	Mz
4287	2169	Terreno sisma X SLO	108.4	0	0	0	0	0	4288	2170	Terreno sisma X SLO	225.2	0	0	0	0	0
4289	2169	Terreno sisma X SLD	129.3	0	0	0	0	0	4290	2170	Terreno sisma X SLD	268.5	0	0	0	0	0
4291	2172	Acqua canale	1.1E3	0	0	0	0	0	4292	2172	Pesi strutturali	-4.3E2	0	-1.4E2	0	0	0
4293	2172	Variabile da traffico	-5.8E2	0	-2.0E2	0	0	0	4294	2172	Terreno sisma X SLV	632.8	0	0	0	0	0
4295	2172	Terreno sisma X SLO	239	0	0	0	0	0	4296	2172	Terreno sisma X SLD	285.1	0	0	0	0	0
4297	2174	Acqua canale	1.1E3	0	0	0	0	0	4298	2174	Pesi strutturali	-4.4E2	0	-1.5E2	0	0	0
4299	2174	Variabile da traffico	-605	0	-2.0E2	0	0	0	4300	2174	Terreno sisma X SLV	658.7	0	0	0	0	0
4301	2174	Terreno sisma X SLO	248.8	0	0	0	0	0	4302	2174	Terreno sisma X SLD	296.7	0	0	0	0	0
4303	2176	Acqua canale	1132	0	0	0	0	0	4304	2176	Pesi strutturali	-4.6E2	0	-1.6E2	0	0	0
4305	2176	Variabile da traffico	-6.3E2	0	-2.1E2	0	0	0	4306	2176	Terreno sisma X SLV	681.9	0	0	0	0	0
4307	2176	Terreno sisma X SLO	257.6	0	0	0	0	0	4308	2176	Terreno sisma X SLD	307.2	0	0	0	0	0
4309	2178	Acqua canale	1.2E3	0	0	0	0	0	4310	2178	Pesi strutturali	-4.8E2	0	-1.6E2	0	0	0
4311	2178	Variabile da traffico	-6.5E2	0	-2.2E2	0	0	0	4312	2178	Terreno sisma X SLV	711.6	0	0	0	0	0
4313	2178	Terreno sisma X SLO	268.8	0	0	0	0	0	4314	2178	Terreno sisma X SLD	320.6	0	0	0	0	0
4315	2180	Acqua canale	1.2E3	0	0	0	0	0	4316	2180	Pesi strutturali	-5.0E2	0	-1.7E2	0	0	0
4317	2180	Variabile da traffico	-6.8E2	0	-2.3E2	0	0	0	4318	2180	Terreno sisma X SLV	738.8	0	0	0	0	0
4319	2180	Terreno sisma X SLO	279.1	0	0	0	0	0	4320	2180	Terreno sisma X SLD	332.8	0	0	0	0	0
4321	2182	Acqua canale	1.2E3	0	0	0	0	0	4322	2182	Pesi strutturali	-5.0E2	0	-1.7E2	0	0	0
4323	2182	Variabile da traffico	-6.9E2	0	-2.3E2	0	0	0	4324	2182	Terreno sisma X SLV	752.8	0	0	0	0	0
4325	2182	Terreno sisma X SLO	284.4	0	0	0	0	0	4326	2182	Terreno sisma X SLD	339.1	0	0	0	0	0
4327	2184	Acqua canale	1.2E3	0	0	0	0	0	4328	2184	Pesi strutturali	-5.1E2	0	-1.7E2	0	0	0
4329	2184	Variabile da traffico	-7.0E2	0	-2.4E2	0	0	0	4330	2184	Terreno sisma X SLV	759.1	0	0	0	0	0
4331	2184	Terreno sisma X SLO	286.7	0	0	0	0	0	4332	2184	Terreno sisma X SLD	342	0	0	0	0	0
4333	2186	Acqua canale	1.3E3	0	0	0	0	0	4334	2186	Pesi strutturali	-5.1E2	0	-1.7E2	0	0	0
4335	2186	Variabile da traffico	-7.0E2	0	-2.4E2	0	0	0	4336	2186	Terreno sisma X SLV	761.5	0	0	0	0	0
4337	2186	Terreno sisma X SLO	287.7	0	0	0	0	0	4338	2186	Terreno sisma X SLD	343	0	0	0	0	0
4339	2188	Acqua canale	1.3E3	0	0	0	0	0	4340	2188	Pesi strutturali	-5.1E2	0	-1.7E2	0	0	0
4341	2188	Variabile da traffico	-7.0E2	0	-2.4E2	0	0	0	4342	2188	Terreno sisma X SLV	762.3	0	0	0	0	0
4343	2188	Terreno sisma X SLO	287.9	0	0	0	0	0	4344	2188	Terreno sisma X SLD	343.4	0	0	0	0	0
4345	2190	Acqua canale	1.3E3	0	0	0	0	0	4346	2190	Pesi strutturali	-5.1E2	0	-1.7E2	0	0	0
4347	2190	Variabile da traffico	-7.0E2	0	-2.4E2	0	0	0	4348	2190	Terreno sisma X SLV	762.4	0	0	0	0	0
4349	2190	Terreno sisma X SLO	288	0	0	0	0	0	4350	2190	Terreno sisma X SLD	343.4	0	0	0	0	0
4351	2192	Acqua canale	1.3E3	0	0	0	0	0	4352	2192	Pesi strutturali	-5.1E2	0	-1.7E2	0	0	0
4353	2192	Variabile da traffico	-7.0E2	0	-2.4E2	0	0	0	4354	2192	Terreno sisma X SLV	761.9	0	0	0	0	0
4355	2192	Terreno sisma X SLO	287.8	0	0	0	0	0	4356	2192	Terreno sisma X SLD	343.2	0	0	0	0	0
4357	2194	Acqua canale	1.2E3	0	0	0	0	0	4358	2194	Pesi strutturali	-5.1E2	0	-172	0	0	0
4359	2194	Variabile da traffico	-698	0	-2.4E2	0	0	0	4360	2194	Terreno sisma X SLV	759.9	0	0	0	0	0
4361	2194	Terreno sisma X SLO	287	0	0	0	0	0	4362	2194	Terreno sisma X SLD	342.3	0	0	0	0	0
4363	2196	Acqua canale	1238	0	0	0	0	0	4364	2196	Pesi strutturali	-5.0E2	0	-1.7E2	0	0	0
4365	2196	Variabile da traffico	-6.9E2	0	-2.3E2	0	0	0	4366	2196	Terreno sisma X SLV	753.7	0	0	0	0	0
4367	2196	Terreno sisma X SLO	284.7	0	0	0	0	0	4368	2196	Terreno sisma X SLD	339.5	0	0	0	0	0
4369	2198	Acqua canale	1.2E3	0	0	0	0	0	4370	2198	Pesi strutturali	-4.9E2	0	-1.7E2	0	0	0
4371	2198	Variabile da traffico	-6.8E2	0	-2.3E2	0	0	0	4372	2198	Terreno sisma X SLV	738.7	0	0	0	0	0
4373	2198	Terreno sisma X SLO	279	0	0	0	0	0	4374	2198	Terreno sisma X SLD	332.8	0	0	0	0	0
4375	2200	Acqua canale	1.2E3	0	0	0	0	0	4376	2200	Pesi strutturali	-4.7E2	0	-1.6E2	0	0	0
4377	2200	Variabile da traffico	-6.5E2	0	-2.2E2	0	0	0	4378	2200	Terreno sisma X SLV	707.8	0	0	0	0	0
4379	2200	Terreno sisma X SLO	267.4	0	0	0	0	0	4380	2200	Terreno sisma X SLD	318.9	0	0	0	0	0
4381	2202	Acqua canale	1.1E3	0	0	0	0	0	4382	2202	Pesi strutturali	-4.4E2	0	-1.5E2	0	0	0
4383	2202	Variabile da traffico	-6.0E2	0	-2.0E2	0	0	0	4384	2202	Terreno sisma X SLV	653.9	0	0	0	0	0
4385	2202	Terreno sisma X SLO	247	0	0	0	0	0	4386	2202	Terreno sisma X SLD	294.6	0	0	0	0	0
4387	2207	Acqua canale	497	0	0	0	0	0	4388	2207	Pesi strutturali	-208	0	-70.3	0	0	0

Interventi di miglioramento della diga di Cepparello nel Comune di Poggibonsi (SI)

ET.09.4 – Tabulati di calcolo_Canali fugatori con fondazioni su pali

Indice	Nodo	Condizione	Fx	Fy	Fz	Mx	My	Mz	Indice	Nodo	Condizione	Fx	Fy	Fz	Mx	My	Mz
4389	2207	Variabile da traffico	-2.8E2	0	-96.3	0	0	0	4390	2207	Terreno sisma X SLV	310.1	0	0	0	0	0
4391	2207	Terreno sisma X SLO	117.2	0	0	0	0	0	4392	2207	Terreno sisma X SLD	139.7	0	0	0	0	0
4393	2336	Acqua canale	228.5	0	0	0	0	0	4394	2337	Acqua canale	477.1	0	0	0	0	0
4395	2336	Pesi strutturali	-11.3	0	-3.8	0	0	0	4396	2337	Pesi strutturali	-23.4	0	-7.9	0	0	0
4397	2336	Variabile da traffico	-2.5E2	0	-85.1	0	0	0	4398	2337	Variabile da traffico	-5.3E2	0	-1.8E2	0	0	0
4399	2336	Terreno sisma X SLV	274.1	0	0	0	0	0	4400	2337	Terreno sisma X SLV	572	0	0	0	0	0
4401	2336	Terreno sisma X SLO	103.5	0	0	0	0	0	4402	2337	Terreno sisma X SLO	216.1	0	0	0	0	0
4403	2336	Terreno sisma X SLD	123.5	0	0	0	0	0	4404	2337	Terreno sisma X SLD	257.7	0	0	0	0	0
4405	2339	Acqua canale	506.6	0	0	0	0	0	4406	2339	Pesi strutturali	-24.7	0	-8.3	0	0	0
4407	2339	Variabile da traffico	-5.6E2	0	-1.9E2	0	0	0	4408	2339	Terreno sisma X SLV	606.2	0	0	0	0	0
4409	2339	Terreno sisma X SLO	229	0	0	0	0	0	4410	2339	Terreno sisma X SLD	273.1	0	0	0	0	0
4411	2341	Acqua canale	524.7	0	0	0	0	0	4412	2341	Pesi strutturali	-25.6	0	-8.7	0	0	0
4413	2341	Variabile da traffico	-5.7E2	0	-1.9E2	0	0	0	4414	2341	Terreno sisma X SLV	625.4	0	0	0	0	0
4415	2341	Terreno sisma X SLO	236.2	0	0	0	0	0	4416	2341	Terreno sisma X SLD	281.7	0	0	0	0	0
4417	2343	Acqua canale	543.8	0	0	0	0	0	4418	2343	Pesi strutturali	-26.6	0	-9	0	0	0
4419	2343	Variabile da traffico	-5.9E2	0	-2.0E2	0	0	0	4420	2343	Terreno sisma X SLV	646.4	0	0	0	0	0
4421	2343	Terreno sisma X SLO	244.2	0	0	0	0	0	4422	2343	Terreno sisma X SLD	291.2	0	0	0	0	0
4423	2345	Acqua canale	580.9	0	0	0	0	0	4424	2345	Pesi strutturali	-28.3	0	-9.6	0	0	0
4425	2345	Variabile da traffico	-6.4E2	0	-2.2E2	0	0	0	4426	2345	Terreno sisma X SLV	699.9	0	0	0	0	0
4427	2345	Terreno sisma X SLO	264.4	0	0	0	0	0	4428	2345	Terreno sisma X SLD	315.3	0	0	0	0	0
4429	2347	Acqua canale	616.3	0	0	0	0	0	4430	2347	Pesi strutturali	-29.9	0	-10.1	0	0	0
4431	2347	Variabile da traffico	-6.9E2	0	-2.3E2	0	0	0	4432	2347	Terreno sisma X SLV	751.5	0	0	0	0	0
4433	2347	Terreno sisma X SLO	283.9	0	0	0	0	0	4434	2347	Terreno sisma X SLD	338.6	0	0	0	0	0
4435	2349	Acqua canale	627	0	0	0	0	0	4436	2349	Pesi strutturali	-30.5	0	-10.3	0	0	0
4437	2349	Variabile da traffico	-7.0E2	0	-2.4E2	0	0	0	4438	2349	Terreno sisma X SLV	766.3	0	0	0	0	0
4439	2349	Terreno sisma X SLO	289.5	0	0	0	0	0	4440	2349	Terreno sisma X SLD	345.2	0	0	0	0	0
4441	2351	Acqua canale	631.7	0	0	0	0	0	4442	2351	Pesi strutturali	-30.8	0	-10.4	0	0	0
4443	2351	Variabile da traffico	-7.1E2	0	-2.4E2	0	0	0	4444	2351	Terreno sisma X SLV	772	0	0	0	0	0
4445	2351	Terreno sisma X SLO	291.6	0	0	0	0	0	4446	2351	Terreno sisma X SLD	347.8	0	0	0	0	0
4447	2353	Acqua canale	633.4	0	0	0	0	0	4448	2353	Pesi strutturali	-30.9	0	-10.4	0	0	0
4449	2353	Variabile da traffico	-711	0	-2.4E2	0	0	0	4450	2353	Terreno sisma X SLV	774	0	0	0	0	0
4451	2353	Terreno sisma X SLO	292.4	0	0	0	0	0	4452	2353	Terreno sisma X SLD	348.7	0	0	0	0	0
4453	2355	Acqua canale	634	0	0	0	0	0	4454	2355	Pesi strutturali	-30.9	0	-10.4	0	0	0
4455	2355	Variabile da traffico	-7.1E2	0	-2.4E2	0	0	0	4456	2355	Terreno sisma X SLV	774.6	0	0	0	0	0
4457	2355	Terreno sisma X SLO	292.6	0	0	0	0	0	4458	2355	Terreno sisma X SLD	349	0	0	0	0	0
4459	2357	Acqua canale	634.1	0	0	0	0	0	4460	2357	Pesi strutturali	-30.9	0	-10.4	0	0	0
4461	2357	Variabile da traffico	-7.1E2	0	-2.4E2	0	0	0	4462	2357	Terreno sisma X SLV	774.7	0	0	0	0	0
4463	2357	Terreno sisma X SLO	292.6	0	0	0	0	0	4464	2357	Terreno sisma X SLD	349	0	0	0	0	0
4465	2359	Acqua canale	633.7	0	0	0	0	0	4466	2359	Pesi strutturali	-30.9	0	-10.4	0	0	0
4467	2359	Variabile da traffico	-7.1E2	0	-2.4E2	0	0	0	4468	2359	Terreno sisma X SLV	774.4	0	0	0	0	0
4469	2359	Terreno sisma X SLO	292.5	0	0	0	0	0	4470	2359	Terreno sisma X SLD	348.8	0	0	0	0	0
4471	2361	Acqua canale	632.4	0	0	0	0	0	4472	2361	Pesi strutturali	-30.8	0	-10.4	0	0	0
4473	2361	Variabile da traffico	-710	0	-2.4E2	0	0	0	4474	2361	Terreno sisma X SLV	772.9	0	0	0	0	0
4475	2361	Terreno sisma X SLO	292	0	0	0	0	0	4476	2361	Terreno sisma X SLD	348.2	0	0	0	0	0
4477	2363	Acqua canale	628.1	0	0	0	0	0	4478	2363	Pesi strutturali	-30.6	0	-10.3	0	0	0
4479	2363	Variabile da traffico	-7.1E2	0	-2.4E2	0	0	0	4480	2363	Terreno sisma X SLV	768.4	0	0	0	0	0
4481	2363	Terreno sisma X SLO	290.3	0	0	0	0	0	4482	2363	Terreno sisma X SLD	346.1	0	0	0	0	0
4483	2365	Acqua canale	617.4	0	0	0	0	0	4484	2365	Pesi strutturali	-30	0	-10.2	0	0	0
4485	2365	Variabile da traffico	-7.0E2	0	-2.3E2	0	0	0	4486	2365	Terreno sisma X SLV	756.9	0	0	0	0	0
4487	2365	Terreno sisma X SLO	285.9	0	0	0	0	0	4488	2365	Terreno sisma X SLD	341	0	0	0	0	0
4489	2367	Acqua canale	593.7	0	0	0	0	0	4490	2367	Pesi strutturali	-28.8	0	-9.7	0	0	0

Interventi di miglioramento della diga di Cepparello nel Comune di Poggibonsi (SI)

ET.09.4 – Tabulati di calcolo_Canali fuggatori con fondazioni su pali

Indice	Nodo	Condizione	Fx	Fy	Fz	Mx	My	Mz	Indice	Nodo	Condizione	Fx	Fy	Fz	Mx	My	Mz
4491	2367	Variabile da traffico	-6.7E2	0	-2.3E2	0	0	0	4492	2367	Terreno sisma X SLV	730.8	0	0	0	0	0
4493	2367	Terreno sisma X SLO	276.1	0	0	0	0	0	4494	2367	Terreno sisma X SLD	329.2	0	0	0	0	0
4495	2369	Acqua canale	538.6	0	0	0	0	0	4496	2369	Pesi strutturali	-26.3	0	-8.9	0	0	0
4497	2369	Variabile da traffico	-6.0E2	0	-2.0E2	0	0	0	4498	2369	Terreno sisma X SLV	653.4	0	0	0	0	0
4499	2369	Terreno sisma X SLO	246.8	0	0	0	0	0	4500	2369	Terreno sisma X SLD	294.3	0	0	0	0	0
4501	2374	Acqua canale	248	0	0	0	0	0	4502	2374	Pesi strutturali	-12.3	0	-4.2	0	0	0
4503	2374	Variabile da traffico	-2.7E2	0	-92.2	0	0	0	4504	2374	Terreno sisma X SLV	296.9	0	0	0	0	0
4505	2374	Terreno sisma X SLO	112.2	0	0	0	0	0	4506	2374	Terreno sisma X SLD	133.8	0	0	0	0	0
4507	2512	Acqua canale	52.8	0	0	0	0	0	4508	2514	Acqua canale	118.4	0	0	0	0	0
4509	2512	Variabile da traffico	-1.2E2	0	-39.4	0	0	0	4510	2514	Variabile da traffico	-2.5E2	0	-85.2	0	0	0
4511	2512	Terreno sisma X SLV	126.8	0	0	0	0	0	4512	2514	Terreno sisma X SLV	274.5	0	0	0	0	0
4513	2512	Terreno sisma X SLO	47.9	0	0	0	0	0	4514	2514	Terreno sisma X SLO	103.7	0	0	0	0	0
4515	2512	Terreno sisma X SLD	57.1	0	0	0	0	0	4516	2514	Terreno sisma X SLD	123.7	0	0	0	0	0
4517	2517	Acqua canale	122.8	0	0	0	0	0	4518	2517	Variabile da traffico	-2.7E2	0	-92.2	0	0	0
4519	2517	Terreno sisma X SLV	297	0	0	0	0	0	4520	2517	Terreno sisma X SLO	112.2	0	0	0	0	0
4521	2517	Terreno sisma X SLD	133.8	0	0	0	0	0	4522	2521	Acqua canale	126.1	0	0	0	0	0
4523	2521	Variabile da traffico	-2.8E2	0	-93	0	0	0	4524	2521	Terreno sisma X SLV	299.6	0	0	0	0	0
4525	2521	Terreno sisma X SLO	113.2	0	0	0	0	0	4526	2521	Terreno sisma X SLD	135	0	0	0	0	0
4527	2523	Acqua canale	129.3	0	0	0	0	0	4528	2523	Variabile da traffico	-278	0	-93.9	0	0	0
4529	2523	Terreno sisma X SLV	302.6	0	0	0	0	0	4530	2523	Terreno sisma X SLO	114.3	0	0	0	0	0
4531	2523	Terreno sisma X SLD	136.3	0	0	0	0	0	4532	2527	Acqua canale	148.3	0	0	0	0	0
4533	2527	Variabile da traffico	-3.2E2	0	-1.1E2	0	0	0	4534	2527	Terreno sisma X SLV	345.8	0	0	0	0	0
4535	2527	Terreno sisma X SLO	130.6	0	0	0	0	0	4536	2527	Terreno sisma X SLD	155.8	0	0	0	0	0
4537	2531	Acqua canale	155.2	0	0	0	0	0	4538	2531	Variabile da traffico	-357	0	-1.2E2	0	0	0
4539	2531	Terreno sisma X SLV	388.7	0	0	0	0	0	4540	2531	Terreno sisma X SLO	146.8	0	0	0	0	0
4541	2531	Terreno sisma X SLD	175.1	0	0	0	0	0	4542	2535	Acqua canale	158.3	0	0	0	0	0
4543	2535	Variabile da traffico	-359	0	-1.2E2	0	0	0	4544	2535	Terreno sisma X SLV	390.8	0	0	0	0	0
4545	2535	Terreno sisma X SLO	147.6	0	0	0	0	0	4546	2535	Terreno sisma X SLD	176.1	0	0	0	0	0
4547	2539	Acqua canale	159.5	0	0	0	0	0	4548	2539	Variabile da traffico	-3.6E2	0	-1.2E2	0	0	0
4549	2539	Terreno sisma X SLV	391.6	0	0	0	0	0	4550	2539	Terreno sisma X SLO	147.9	0	0	0	0	0
4551	2539	Terreno sisma X SLD	176.4	0	0	0	0	0	4552	2543	Acqua canale	160	0	0	0	0	0
4553	2543	Variabile da traffico	-360	0	-1.2E2	0	0	0	4554	2543	Terreno sisma X SLV	391.9	0	0	0	0	0
4555	2543	Terreno sisma X SLO	148	0	0	0	0	0	4556	2543	Terreno sisma X SLD	176.6	0	0	0	0	0
4557	2547	Acqua canale	160.1	0	0	0	0	0	4558	2547	Variabile da traffico	-3.6E2	0	-1.2E2	0	0	0
4559	2547	Terreno sisma X SLV	392	0	0	0	0	0	4560	2547	Terreno sisma X SLO	148.1	0	0	0	0	0
4561	2547	Terreno sisma X SLD	176.6	0	0	0	0	0	4562	2551	Acqua canale	160.1	0	0	0	0	0
4563	2551	Variabile da traffico	-3.6E2	0	-1.2E2	0	0	0	4564	2551	Terreno sisma X SLV	392	0	0	0	0	0
4565	2551	Terreno sisma X SLO	148.1	0	0	0	0	0	4566	2551	Terreno sisma X SLD	176.6	0	0	0	0	0
4567	2555	Acqua canale	160.1	0	0	0	0	0	4568	2555	Variabile da traffico	-360	0	-1.2E2	0	0	0
4569	2555	Terreno sisma X SLV	392	0	0	0	0	0	4570	2555	Terreno sisma X SLO	148.1	0	0	0	0	0
4571	2555	Terreno sisma X SLD	176.6	0	0	0	0	0	4572	2559	Acqua canale	159.9	0	0	0	0	0
4573	2559	Variabile da traffico	-3.6E2	0	-1.2E2	0	0	0	4574	2559	Terreno sisma X SLV	391.8	0	0	0	0	0
4575	2559	Terreno sisma X SLO	148	0	0	0	0	0	4576	2559	Terreno sisma X SLD	176.5	0	0	0	0	0
4577	2563	Acqua canale	159.4	0	0	0	0	0	4578	2563	Variabile da traffico	-3.6E2	0	-1.2E2	0	0	0
4579	2563	Terreno sisma X SLV	391.1	0	0	0	0	0	4580	2563	Terreno sisma X SLO	147.8	0	0	0	0	0
4581	2563	Terreno sisma X SLD	176.2	0	0	0	0	0	4582	2567	Acqua canale	157.9	0	0	0	0	0
4583	2567	Variabile da traffico	-3.6E2	0	-1.2E2	0	0	0	4584	2567	Terreno sisma X SLV	389.6	0	0	0	0	0
4585	2567	Terreno sisma X SLO	147.2	0	0	0	0	0	4586	2567	Terreno sisma X SLD	175.5	0	0	0	0	0
4587	2571	Acqua canale	154.3	0	0	0	0	0	4588	2571	Variabile da traffico	-3.5E2	0	-1.2E2	0	0	0
4589	2571	Terreno sisma X SLV	385.9	0	0	0	0	0	4590	2571	Terreno sisma X SLO	145.8	0	0	0	0	0
4591	2571	Terreno sisma X SLD	173.8	0	0	0	0	0	4592	2576	Acqua canale	126.4	0	0	0	0	0

Interventi di miglioramento della diga di Cepparello nel Comune di Poggibonsi (SI)

ET.09.4 – Tabulati di calcolo_Canali fugatori con fondazioni su pali

Indice	Nodo	Condizione	Fx	Fy	Fz	Mx	My	Mz	Indice	Nodo	Condizione	Fx	Fy	Fz	Mx	My	Mz
4593	2576	Variabile da traffico	-3.0E2	0	-99.9	0	0	0	4594	2576	Terreno sisma X SLV	321.7	0	0	0	0	0
4595	2576	Terreno sisma X SLO	121.5	0	0	0	0	0	4596	2576	Terreno sisma X SLD	144.9	0	0	0	0	0
4597	2580	Acqua canale	63.6	0	0	0	0	0	4598	2580	Variabile da traffico	-1.2E2	0	-40.4	0	0	0
4599	2580	Terreno sisma X SLV	130.1	0	0	0	0	0	4600	2580	Terreno sisma X SLO	49.1	0	0	0	0	0
4601	2580	Terreno sisma X SLD	58.6	0	0	0	0	0	4602	2570	Acqua canale	-85.8	0	0	0	0	0
4603	2565	Acqua canale	-74.4	0	0	0	0	0	4604	2424	Acqua canale	-2.8E2	0	0	0	0	0
4605	2420	Acqua canale	-3.3E2	0	0	0	0	0	4606	2561	Acqua canale	-75.7	0	0	0	0	0
4607	2426	Acqua canale	-3.0E2	0	0	0	0	0	4608	2557	Acqua canale	-80.7	0	0	0	0	0
4609	2416	Acqua canale	-3.2E2	0	0	0	0	0	4610	2553	Acqua canale	-87.1	0	0	0	0	0
4611	2410	Acqua canale	-3.6E2	0	0	0	0	0	4612	2549	Acqua canale	-94.8	0	0	0	0	0
4613	2403	Acqua canale	-4.1E2	0	0	0	0	0	4614	2545	Acqua canale	-98.9	0	0	0	0	0
4615	2398	Acqua canale	-4.4E2	0	0	0	0	0	4616	2541	Acqua canale	-94.7	0	0	0	0	0
4617	2400	Acqua canale	-415	0	0	0	0	0	4618	2537	Acqua canale	-87.4	0	0	0	0	0
4619	2407	Acqua canale	-3.7E2	0	0	0	0	0	4620	2533	Acqua canale	-81.7	0	0	0	0	0
4621	2413	Acqua canale	-3.3E2	0	0	0	0	0	4622	2529	Acqua canale	-78.9	0	0	0	0	0
4623	2421	Acqua canale	-3.1E2	0	0	0	0	0	4624	2525	Acqua canale	-80	0	0	0	0	0
4625	2417	Acqua canale	-2.9E2	0	0	0	0	0	4626	2520	Acqua canale	-93.9	0	0	0	0	0
4627	2405	Acqua canale	-3.3E2	0	0	0	0	0	4628	2516	Acqua canale	-144	0	0	0	0	0
4629	2375	Acqua canale	-689	0	0	0	0	0	4630	2511	Acqua canale	-82.5	0	0	0	0	0
4631	2335	Acqua canale	-4.0E2	0	0	0	0	0	4632	2168	Acqua canale	-9.1E2	0	0	0	0	0
4633	2162	Acqua canale	-1.6E3	0	0	0	0	0	4634	1964	Acqua canale	-7.7E2	0	0	0	0	0
4635	1954	Acqua canale	-1.5E3	0	0	0	0	0	4636	1964	Pesi strutturali	135.6	0	0	0	0	0
4637	1954	Pesi strutturali	291.2	0	0	0	0	0	4638	1964	Variabile da traffico	340.6	0	-1.2E2	0	0	0
4639	1954	Variabile da traffico	647.5	0	-2.2E2	0	0	0	4640	1964	Terreno sisma X SLV	123.8	0	0	0	0	0
4641	1954	Terreno sisma X SLV	239.6	0	0	0	0	0	4642	1964	Terreno sisma X SLO	46.8	0	0	0	0	0
4643	1954	Terreno sisma X SLO	90.5	0	0	0	0	0	4644	1964	Terreno sisma X SLD	55.8	0	0	0	0	0
4645	1954	Terreno sisma X SLD	107.9	0	0	0	0	0	4646	830	Acqua canale	-2.7E2	0	0	0	0	0
4647	850	Acqua canale	-507	0	0	0	0	0	4648	830	Pesi strutturali	134.2	0	0	0	0	0
4649	850	Pesi strutturali	287.9	0	0	0	0	0	4650	830	Variabile da traffico	125.9	0	-42.5	0	0	0
4651	850	Variabile da traffico	264	0	-89.2	0	0	0	4652	830	Terreno sisma X SLV	56.4	0	0	0	0	0
4653	850	Terreno sisma X SLV	119.1	0	0	0	0	0	4654	830	Terreno sisma X SLO	21.3	0	0	0	0	0
4655	850	Terreno sisma X SLO	45	0	0	0	0	0	4656	830	Terreno sisma X SLD	25.4	0	0	0	0	0
4657	850	Terreno sisma X SLD	53.7	0	0	0	0	0	4658	879	Acqua canale	-3.9E2	0	0	0	0	0
4659	1910	Acqua canale	-9.9E2	0	0	0	0	0	4660	879	Pesi strutturali	268.8	0	0	0	0	0
4661	1910	Pesi strutturali	294.7	0	0	0	0	0	4662	879	Variabile da traffico	236.6	0	-80	0	0	0
4663	1910	Variabile da traffico	444.3	0	-1.5E2	0	0	0	4664	879	Terreno sisma X SLV	108.2	0	0	0	0	0
4665	1910	Terreno sisma X SLV	176.4	0	0	0	0	0	4666	879	Terreno sisma X SLO	40.9	0	0	0	0	0
4667	1910	Terreno sisma X SLO	66.7	0	0	0	0	0	4668	879	Terreno sisma X SLD	48.7	0	0	0	0	0
4669	1910	Terreno sisma X SLD	79.5	0	0	0	0	0	4670	912	Acqua canale	-3.4E2	0	0	0	0	0
4671	1906	Acqua canale	-9.0E2	0	0	0	0	0	4672	912	Pesi strutturali	252.7	0	0	0	0	0
4673	1906	Pesi strutturali	302.4	0	0	0	0	0	4674	912	Variabile da traffico	220.1	0	-74.4	0	0	0
4675	1906	Variabile da traffico	424.8	0	-1.4E2	0	0	0	4676	912	Terreno sisma X SLV	100.9	0	0	0	0	0
4677	1906	Terreno sisma X SLV	171.3	0	0	0	0	0	4678	912	Terreno sisma X SLO	38.1	0	0	0	0	0
4679	1906	Terreno sisma X SLO	64.7	0	0	0	0	0	4680	912	Terreno sisma X SLD	45.5	0	0	0	0	0
4681	1906	Terreno sisma X SLD	77.2	0	0	0	0	0	4682	941	Acqua canale	-319	0	0	0	0	0
4683	1902	Acqua canale	-9.1E2	0	0	0	0	0	4684	941	Pesi strutturali	247.3	0	0	0	0	0
4685	1902	Pesi strutturali	312.5	0	0	0	0	0	4686	941	Variabile da traffico	214.5	0	-72.5	0	0	0
4687	1902	Variabile da traffico	431.6	0	-1.5E2	0	0	0	4688	941	Terreno sisma X SLV	98.5	0	0	0	0	0
4689	1902	Terreno sisma X SLV	174.7	0	0	0	0	0	4690	941	Terreno sisma X SLO	37.2	0	0	0	0	0
4691	1902	Terreno sisma X SLO	66	0	0	0	0	0	4692	941	Terreno sisma X SLD	44.4	0	0	0	0	0
4693	1902	Terreno sisma X SLD	78.7	0	0	0	0	0	4694	974	Acqua canale	-3.0E2	0	0	0	0	0
4695	1898	Acqua canale	-8.9E2	0	0	0	0	0	4696	974	Pesi strutturali	239.8	0	0	0	0	0
4697	1898	Pesi strutturali	315	0	0	0	0	0	4698	974	Variabile da traffico	207.1	0	-70	0	0	0
4699	1898	Variabile da traffico	424.4	0	-1.4E2	0	0	0	4700	974	Terreno sisma X SLV	95.2	0	0	0	0	0
4701	1898	Terreno sisma X SLV	172.8	0	0	0	0	0	4702	974	Terreno sisma X SLO	36	0	0	0	0	0
4703	1898	Terreno sisma X SLO	65.3	0	0	0	0	0	4704	974	Terreno sisma X SLD	42.9	0	0	0	0	0
4705	1898	Terreno sisma X SLD	77.8	0	0	0	0	0	4706	1003	Acqua canale	-2.5E2	0	0	0	0	0
4707	1891	Acqua canale	-8.4E2	0	0	0	0	0	4708	1003	Pesi strutturali	226.3	0	0	0	0	0
4709	1891	Pesi strutturali	310.5	0	0	0	0	0	4710	1003	Variabile da traffico	194	0	-65.6	0	0	0

Interventi di miglioramento della diga di Cepparello nel Comune di Poggibonsi (SI)

ET.09.4 – Tabulati di calcolo_Canali fugatori con fondazioni su pali

Indice	Nodo	Condizione	Fx	Fy	Fz	Mx	My	Mz	Indice	Nodo	Condizione	Fx	Fy	Fz	Mx	My	Mz
4711	1891	Variabile da traffico	402.1	0	-1.4E2	0	0	0	4712	1003	Terreno sisma X SLV	89.4	0	0	0	0	0
4713	1891	Terreno sisma X SLV	165.2	0	0	0	0	0	4714	1003	Terreno sisma X SLO	33.8	0	0	0	0	0
4715	1891	Terreno sisma X SLO	62.4	0	0	0	0	0	4716	1003	Terreno sisma X SLD	40.3	0	0	0	0	0
4717	1891	Terreno sisma X SLD	74.4	0	0	0	0	0	4718	1036	Acqua canale	-2.1E2	0	0	0	0	0
4719	1850	Acqua canale	-7.5E2	0	0	0	0	0	4720	1036	Pesi strutturali	207.7	0	0	0	0	0
4721	1850	Pesi strutturali	293.8	0	0	0	0	0	4722	1036	Variabile da traffico	176.4	0	-59.6	0	0	0
4723	1850	Variabile da traffico	360.5	0	-1.2E2	0	0	0	4724	1036	Terreno sisma X SLV	81.6	0	0	0	0	0
4725	1850	Terreno sisma X SLV	150.1	0	0	0	0	0	4726	1036	Terreno sisma X SLO	30.8	0	0	0	0	0
4727	1850	Terreno sisma X SLO	56.7	0	0	0	0	0	4728	1036	Terreno sisma X SLD	36.7	0	0	0	0	0
4729	1850	Terreno sisma X SLD	67.6	0	0	0	0	0	4730	1067	Acqua canale	-2.1E2	0	0	0	0	0
4731	1846	Acqua canale	-6.9E2	0	0	0	0	0	4732	1067	Pesi strutturali	205.7	0	0	0	0	0
4733	1846	Pesi strutturali	277.7	0	0	0	0	0	4734	1067	Variabile da traffico	174.7	0	-59	0	0	0
4735	1846	Variabile da traffico	336.3	0	-1.1E2	0	0	0	4736	1067	Terreno sisma X SLV	80.8	0	0	0	0	0
4737	1846	Terreno sisma X SLV	140.5	0	0	0	0	0	4738	1067	Terreno sisma X SLO	30.5	0	0	0	0	0
4739	1846	Terreno sisma X SLO	53.1	0	0	0	0	0	4740	1067	Terreno sisma X SLD	36.4	0	0	0	0	0
4741	1846	Terreno sisma X SLD	63.3	0	0	0	0	0	4742	1109	Acqua canale	-2.5E2	0	0	0	0	0
4743	1897	Acqua canale	-843	0	0	0	0	0	4744	1109	Pesi strutturali	227.9	0	0	0	0	0
4745	1897	Pesi strutturali	307.8	0	0	0	0	0	4746	1109	Variabile da traffico	195.8	0	-66.2	0	0	0
4747	1897	Variabile da traffico	413.8	0	-1.4E2	0	0	0	4748	1109	Terreno sisma X SLV	90.2	0	0	0	0	0
4749	1897	Terreno sisma X SLV	168.6	0	0	0	0	0	4750	1109	Terreno sisma X SLO	34.1	0	0	0	0	0
4751	1897	Terreno sisma X SLO	63.7	0	0	0	0	0	4752	1109	Terreno sisma X SLD	40.6	0	0	0	0	0
4753	1897	Terreno sisma X SLD	75.9	0	0	0	0	0	4754	1148	Acqua canale	-2.2E2	0	0	0	0	0
4755	1853	Acqua canale	-7.0E2	0	0	0	0	0	4756	1148	Pesi strutturali	210.6	0	0	0	0	0
4757	1853	Pesi strutturali	275.7	0	0	0	0	0	4758	1148	Variabile da traffico	179.3	0	-60.6	0	0	0
4759	1853	Variabile da traffico	336.4	0	-1.1E2	0	0	0	4760	1148	Terreno sisma X SLV	82.8	0	0	0	0	0
4761	1853	Terreno sisma X SLV	140.3	0	0	0	0	0	4762	1148	Terreno sisma X SLO	31.3	0	0	0	0	0
4763	1853	Terreno sisma X SLO	53	0	0	0	0	0	4764	1148	Terreno sisma X SLD	37.3	0	0	0	0	0
4765	1853	Terreno sisma X SLD	63.2	0	0	0	0	0	4766	1179	Acqua canale	-2.1E2	0	0	0	0	0
4767	1849	Acqua canale	-7.5E2	0	0	0	0	0	4768	1179	Pesi strutturali	208.3	0	0	0	0	0
4769	1849	Pesi strutturali	292.7	0	0	0	0	0	4770	1179	Variabile da traffico	177	0	-59.8	0	0	0
4771	1849	Variabile da traffico	359.4	0	-1.2E2	0	0	0	4772	1179	Terreno sisma X SLV	81.8	0	0	0	0	0
4773	1849	Terreno sisma X SLV	149.6	0	0	0	0	0	4774	1179	Terreno sisma X SLO	30.9	0	0	0	0	0
4775	1849	Terreno sisma X SLO	56.5	0	0	0	0	0	4776	1179	Terreno sisma X SLD	36.9	0	0	0	0	0
4777	1849	Terreno sisma X SLD	67.4	0	0	0	0	0	4778	1212	Acqua canale	-2.6E2	0	0	0	0	0
4779	1894	Acqua canale	-8.4E2	0	0	0	0	0	4780	1212	Pesi strutturali	226.7	0	0	0	0	0
4781	1894	Pesi strutturali	310.4	0	0	0	0	0	4782	1212	Variabile da traffico	194.5	0	-65.7	0	0	0
4783	1894	Variabile da traffico	402.3	0	-1.4E2	0	0	0	4784	1212	Terreno sisma X SLV	89.6	0	0	0	0	0
4785	1894	Terreno sisma X SLV	165.3	0	0	0	0	0	4786	1212	Terreno sisma X SLO	33.9	0	0	0	0	0
4787	1894	Terreno sisma X SLO	62.4	0	0	0	0	0	4788	1212	Terreno sisma X SLD	40.4	0	0	0	0	0
4789	1894	Terreno sisma X SLD	74.5	0	0	0	0	0	4790	1241	Acqua canale	-3.0E2	0	0	0	0	0
4791	1901	Acqua canale	-899	0	0	0	0	0	4792	1241	Pesi strutturali	240.4	0	0	0	0	0
4793	1901	Pesi strutturali	315.6	0	0	0	0	0	4794	1241	Variabile da traffico	207.7	0	-70.2	0	0	0
4795	1901	Variabile da traffico	426.2	0	-144	0	0	0	4796	1241	Terreno sisma X SLV	95.5	0	0	0	0	0
4797	1901	Terreno sisma X SLV	173.4	0	0	0	0	0	4798	1241	Terreno sisma X SLO	36.1	0	0	0	0	0
4799	1901	Terreno sisma X SLO	65.5	0	0	0	0	0	4800	1241	Terreno sisma X SLD	43	0	0	0	0	0
4801	1901	Terreno sisma X SLD	78.1	0	0	0	0	0	4802	1274	Acqua canale	-3.3E2	0	0	0	0	0
4803	1905	Acqua canale	-923	0	0	0	0	0	4804	1274	Pesi strutturali	249.6	0	0	0	0	0
4805	1905	Pesi strutturali	313.4	0	0	0	0	0	4806	1274	Variabile da traffico	216.8	0	-73.3	0	0	0
4807	1905	Variabile da traffico	435.9	0	-1.5E2	0	0	0	4808	1274	Terreno sisma X SLV	99.5	0	0	0	0	0
4809	1905	Terreno sisma X SLV	176.2	0	0	0	0	0	4810	1274	Terreno sisma X SLO	37.6	0	0	0	0	0
4811	1905	Terreno sisma X SLO	66.6	0	0	0	0	0	4812	1274	Terreno sisma X SLD	44.8	0	0	0	0	0

Interventi di miglioramento della diga di Cepparello nel Comune di Poggibonsi (SI)

ET.09.4 – Tabulati di calcolo_Canali fugadori con fondazioni su pali

Indice	Nodo	Condizione	Fx	Fy	Fz	Mx	My	Mz	Indice	Nodo	Condizione	Fx	Fy	Fz	Mx	My	Mz
4813	1905	Terreno sisma X SLD	79.4	0	0	0	0	0	4814	1303	Acqua canale	-3.6E2	0	0	0	0	0
4815	1909	Acqua canale	-9.3E2	0	0	0	0	0	4816	1303	Pesi strutturali	258.4	0	0	0	0	0
4817	1909	Pesi strutturali	305.2	0	0	0	0	0	4818	1303	Variabile da traffico	225.7	0	-76.3	0	0	0
4819	1909	Variabile da traffico	434.9	0	-1.5E2	0	0	0	4820	1303	Terreno sisma X SLV	103.4	0	0	0	0	0
4821	1909	Terreno sisma X SLV	174.8	0	0	0	0	0	4822	1303	Terreno sisma X SLO	39.1	0	0	0	0	0
4823	1909	Terreno sisma X SLO	66	0	0	0	0	0	4824	1303	Terreno sisma X SLD	46.6	0	0	0	0	0
4825	1909	Terreno sisma X SLD	78.8	0	0	0	0	0	4826	1336	Acqua canale	-4.2E2	0	0	0	0	0
4827	1914	Acqua canale	-9.5E2	0	0	0	0	0	4828	1336	Pesi strutturali	276.1	0	0	0	0	0
4829	1914	Pesi strutturali	291.2	0	0	0	0	0	4830	1336	Variabile da traffico	244.1	0	-82.5	0	0	0
4831	1914	Variabile da traffico	448.8	0	-1.5E2	0	0	0	4832	1336	Terreno sisma X SLV	111.4	0	0	0	0	0
4833	1914	Terreno sisma X SLV	177.4	0	0	0	0	0	4834	1336	Terreno sisma X SLO	42.1	0	0	0	0	0
4835	1914	Terreno sisma X SLO	67	0	0	0	0	0	4836	1336	Terreno sisma X SLD	50.2	0	0	0	0	0
4837	1914	Terreno sisma X SLD	79.9	0	0	0	0	0	4838	1365	Acqua canale	-5.9E2	0	0	0	0	0
4839	1957	Acqua canale	-1.4E3	0	0	0	0	0	4840	1365	Pesi strutturali	289.5	0	0	0	0	0
4841	1957	Pesi strutturali	283	0	0	0	0	0	4842	1365	Variabile da traffico	266	0	-89.9	0	0	0
4843	1957	Variabile da traffico	636.9	0	-2.2E2	0	0	0	4844	1365	Terreno sisma X SLV	120	0	0	0	0	0
4845	1957	Terreno sisma X SLV	235.2	0	0	0	0	0	4846	1365	Terreno sisma X SLO	45.3	0	0	0	0	0
4847	1957	Terreno sisma X SLO	88.9	0	0	0	0	0	4848	1365	Terreno sisma X SLD	54.1	0	0	0	0	0
4849	1957	Terreno sisma X SLD	106	0	0	0	0	0	4850	1388	Acqua canale	-271	0	0	0	0	0
4851	2002	Acqua canale	-8.0E2	0	0	0	0	0	4852	1388	Pesi strutturali	134.2	0	0	0	0	0
4853	2002	Pesi strutturali	134.2	0	0	0	0	0	4854	1388	Variabile da traffico	125.9	0	-42.5	0	0	0
4855	2002	Variabile da traffico	337.7	0	-1.1E2	0	0	0	4856	1388	Terreno sisma X SLV	56.4	0	0	0	0	0
4857	2002	Terreno sisma X SLV	122.7	0	0	0	0	0	4858	1388	Terreno sisma X SLO	21.3	0	0	0	0	0
4859	2002	Terreno sisma X SLO	46.4	0	0	0	0	0	4860	1388	Terreno sisma X SLD	25.4	0	0	0	0	0
4861	2002	Terreno sisma X SLD	55.3	0	0	0	0	0	4862	2206	Acqua canale	-9.2E2	0	0	0	0	0
4863	2165	Acqua canale	-1554	0	0	0	0	0	4864	2373	Acqua canale	-3.9E2	0	0	0	0	0
4865	2379	Acqua canale	-6.9E2	0	0	0	0	0	4866	2579	Acqua canale	-81.9	0	0	0	0	0
4867	2574	Acqua canale	-1.3E2	0	0	0	0	0	4868	2061	Acqua canale	-1.0E3	0	0	0	0	0
4869	2065	Acqua canale	-8.5E2	0	0	0	0	0	4870	2061	Pesi strutturali	57.3	0	0	0	0	0
4871	2065	Pesi strutturali	36.8	0	0	0	0	0	4872	2061	Variabile da traffico	282.3	0	-95.4	0	0	0
4873	2065	Variabile da traffico	209	0	-70.6	0	0	0	4874	2061	Terreno sisma X SLV	95.6	0	0	0	0	0
4875	2065	Terreno sisma X SLV	70.1	0	0	0	0	0	4876	2061	Terreno sisma X SLO	36.1	0	0	0	0	0
4877	2065	Terreno sisma X SLO	26.5	0	0	0	0	0	4878	2061	Terreno sisma X SLD	43.1	0	0	0	0	0
4879	2065	Terreno sisma X SLD	31.6	0	0	0	0	0	4880	2165	Pesi strutturali	1.7	0	0	0	0	0
4881	2165	Variabile da traffico	27.9	0	-9.4	0	0	0	4882	2165	Terreno sisma X SLV	8.9	0	0	0	0	0
4883	2165	Terreno sisma X SLO	3.4	0	0	0	0	0	4884	2165	Terreno sisma X SLD	4	0	0	0	0	0
4885	2161	Acqua canale	-918	0	0	0	0	0	4886	2285	Acqua canale	-5.5E2	0	0	0	0	0
4887	2287	Acqua canale	-4.4E2	0	0	0	0	0	4888	2057	Acqua canale	-1.1E3	0	0	0	0	0
4889	2053	Acqua canale	-1.1E3	0	0	0	0	0	4890	2053	Pesi strutturali	83	0	0	0	0	0
4891	2057	Pesi strutturali	70.2	0	0	0	0	0	4892	2053	Variabile da traffico	360.4	0	-1.2E2	0	0	0
4893	2057	Variabile da traffico	327	0	-1.1E2	0	0	0	4894	2053	Terreno sisma X SLV	123.3	0	0	0	0	0
4895	2057	Terreno sisma X SLV	111.2	0	0	0	0	0	4896	2053	Terreno sisma X SLO	46.6	0	0	0	0	0
4897	2057	Terreno sisma X SLO	42	0	0	0	0	0	4898	2053	Terreno sisma X SLD	55.6	0	0	0	0	0
4899	2057	Terreno sisma X SLD	50.1	0	0	0	0	0	4900	2157	Acqua canale	-8.8E2	0	0	0	0	0
4901	2153	Acqua canale	-9.1E2	0	0	0	0	0	4902	2281	Acqua canale	-6.0E2	0	0	0	0	0
4903	2275	Acqua canale	-6.5E2	0	0	0	0	0	4904	2257	Acqua canale	-7.3E2	0	0	0	0	0
4905	2246	Acqua canale	-8.9E2	0	0	0	0	0	4906	2232	Acqua canale	-1.0E3	0	0	0	0	0
4907	2047	Acqua canale	-1.1E3	0	0	0	0	0	4908	2047	Pesi strutturali	100.4	0	0	0	0	0
4909	2047	Variabile da traffico	399.4	0	-135	0	0	0	4910	2047	Terreno sisma X SLV	137.7	0	0	0	0	0
4911	2047	Terreno sisma X SLO	52	0	0	0	0	0	4912	2047	Terreno sisma X SLD	62	0	0	0	0	0
4913	2149	Acqua canale	-1.0E3	0	0	0	0	0	4914	2067	Acqua canale	-1.7E3	0	0	0	0	0
4915	2100	Acqua canale	-1.2E3	0	0	0	0	0	4916	2067	Pesi strutturali	82.5	0	0	0	0	0
4917	2067	Variabile da traffico	436	0	-1.5E2	0	0	0	4918	2067	Terreno sisma X SLV	146.9	0	0	0	0	0
4919	2067	Terreno sisma X SLO	55.5	0	0	0	0	0	4920	2067	Terreno sisma X SLD	66.2	0	0	0	0	0
4921	2020	Acqua canale	-1.0E3	0	0	0	0	0	4922	2020	Pesi strutturali	118.5	0	0	0	0	0

Interventi di miglioramento della diga di Cepparello nel Comune di Poggibonsi (SI)

ET.09.4 – Tabulati di calcolo_Canali fagatori con fondazioni su pali

Indice	Nodo	Condizione	Fx	Fy	Fz	Mx	My	Mz	Indice	Nodo	Condizione	Fx	Fy	Fz	Mx	My	Mz
4923	2100	Pesi strutturali	2.3	0	0	0	0	0	4924	2020	Variabile da traffico	397.8	0	-1.3E2	0	0	0
4925	2100	Variabile da traffico	52.8	0	-17.9	0	0	0	4926	2020	Terreno sisma X SLV	139.5	0	0	0	0	0
4927	2100	Terreno sisma X SLV	16.8	0	0	0	0	0	4928	2020	Terreno sisma X SLO	52.7	0	0	0	0	0
4929	2100	Terreno sisma X SLO	6.4	0	0	0	0	0	4930	2020	Terreno sisma X SLD	62.9	0	0	0	0	0
4931	2100	Terreno sisma X SLD	7.6	0	0	0	0	0	4932	1959	Acqua canale	-7.8E2	0	0	0	0	0
4933	1959	Pesi strutturali	96.9	0	0	0	0	0	4934	1959	Variabile da traffico	247.9	0	-83.7	0	0	0
4935	1959	Terreno sisma X SLV	89.9	0	0	0	0	0	4936	1959	Terreno sisma X SLO	33.9	0	0	0	0	0
4937	1959	Terreno sisma X SLD	40.5	0	0	0	0	0	4938	2243	Acqua canale	-9.3E2	0	0	0	0	0
4939	2254	Acqua canale	-7.2E2	0	0	0	0	0	4940	2272	Acqua canale	-6.5E2	0	0	0	0	0
4941	2150	Acqua canale	-9.2E2	0	0	0	0	0	4942	2146	Acqua canale	-9.8E2	0	0	0	0	0
4943	2050	Acqua canale	-1115	0	0	0	0	0	4944	2048	Acqua canale	-1.1E3	0	0	0	0	0
4945	2048	Pesi strutturali	100.6	0	0	0	0	0	4946	2050	Pesi strutturali	83.9	0	0	0	0	0
4947	2048	Variabile da traffico	400	0	-1.4E2	0	0	0	4948	2050	Variabile da traffico	362.5	0	-1.2E2	0	0	0
4949	2048	Terreno sisma X SLV	137.9	0	0	0	0	0	4950	2050	Terreno sisma X SLV	124.1	0	0	0	0	0
4951	2048	Terreno sisma X SLO	52.1	0	0	0	0	0	4952	2050	Terreno sisma X SLO	46.9	0	0	0	0	0
4953	2048	Terreno sisma X SLD	62.1	0	0	0	0	0	4954	2050	Terreno sisma X SLD	55.9	0	0	0	0	0
4955	2097	Acqua canale	-1.2E3	0	0	0	0	0	4956	1960	Acqua canale	-7.8E2	0	0	0	0	0
4957	1960	Pesi strutturali	99.3	0	0	0	0	0	4958	1960	Variabile da traffico	252	0	-85.1	0	0	0
4959	1960	Terreno sisma X SLV	91.5	0	0	0	0	0	4960	1960	Terreno sisma X SLO	34.5	0	0	0	0	0
4961	1960	Terreno sisma X SLD	41.2	0	0	0	0	0	4962	2021	Acqua canale	-1.0E3	0	0	0	0	0
4963	2097	Pesi strutturali	2.3	0	0	0	0	0	4964	2021	Pesi strutturali	118.9	0	0	0	0	0
4965	2097	Variabile da traffico	53.1	0	-17.9	0	0	0	4966	2021	Variabile da traffico	398.7	0	-1.3E2	0	0	0
4967	2097	Terreno sisma X SLV	16.9	0	0	0	0	0	4968	2021	Terreno sisma X SLV	139.8	0	0	0	0	0
4969	2097	Terreno sisma X SLO	6.4	0	0	0	0	0	4970	2021	Terreno sisma X SLO	52.8	0	0	0	0	0
4971	2097	Terreno sisma X SLD	7.6	0	0	0	0	0	4972	2021	Terreno sisma X SLD	63	0	0	0	0	0
4973	2278	Acqua canale	-5.7E2	0	0	0	0	0	4974	2282	Acqua canale	-4.4E2	0	0	0	0	0
4975	2158	Acqua canale	-9.4E2	0	0	0	0	0	4976	2058	Acqua canale	-1.0E3	0	0	0	0	0
4977	2062	Acqua canale	-8.1E2	0	0	0	0	0	4978	2058	Pesi strutturali	60.6	0	0	0	0	0
4979	2062	Pesi strutturali	40.6	0	0	0	0	0	4980	2058	Variabile da traffico	290.1	0	-98	0	0	0
4981	2062	Variabile da traffico	218.6	0	-73.9	0	0	0	4982	2058	Terreno sisma X SLV	98.5	0	0	0	0	0
4983	2062	Terreno sisma X SLV	73.6	0	0	0	0	0	4984	2058	Terreno sisma X SLO	37.2	0	0	0	0	0
4985	2062	Terreno sisma X SLO	27.8	0	0	0	0	0	4986	2058	Terreno sisma X SLD	44.4	0	0	0	0	0
4987	2062	Terreno sisma X SLD	33.1	0	0	0	0	0	4988	2162	Pesi strutturali	2.1	0	0	0	0	0
4989	2162	Variabile da traffico	32.9	0	-11.1	0	0	0	4990	2162	Terreno sisma X SLV	10.6	0	0	0	0	0
4991	2162	Terreno sisma X SLO	4	0	0	0	0	0	4992	2162	Terreno sisma X SLD	4.8	0	0	0	0	0
4993	2054	Acqua canale	-1.1E3	0	0	0	0	0	4994	2054	Pesi strutturali	72.5	0	0	0	0	0
4995	2054	Variabile da traffico	332.5	0	-1.1E2	0	0	0	4996	2054	Terreno sisma X SLV	113.2	0	0	0	0	0
4997	2054	Terreno sisma X SLO	42.8	0	0	0	0	0	4998	2054	Terreno sisma X SLD	51	0	0	0	0	0
4999	2154	Acqua canale	-8.8E2	0	0	0	0	0	5000	2276	Acqua canale	-6.1E2	0	0	0	0	0
5001	1619	Acqua canale	-2.4E2	0	0	0	0	0	5002	1951	Acqua canale	-6.1E2	0	0	0	0	0
5003	1949	Acqua canale	-1.3E3	0	0	0	0	0	5004	1602	Acqua canale	-5.8E2	0	0	0	0	0
5005	1619	Pesi strutturali	352.7	0	-80.1	0	0	0	5006	1951	Pesi strutturali	579.4	0	-1.6E2	0	0	0
5007	1602	Pesi strutturali	844.8	0	-1.9E2	0	0	0	5008	1949	Pesi strutturali	1.3E3	0	-336	0	0	0
5009	1619	Variabile da traffico	106.1	0	-35.8	0	0	0	5010	1951	Variabile da traffico	242.4	0	-81.9	0	0	0
5011	1602	Variabile da traffico	253.7	0	-85.7	0	0	0	5012	1949	Variabile da traffico	522.2	0	-1.8E2	0	0	0
5013	1619	Terreno sisma X SLV	151.3	0	0	0	0	0	5014	1951	Terreno sisma X SLV	327.2	0	0	0	0	0
5015	1602	Terreno sisma X SLV	362	0	0	0	0	0	5016	1949	Terreno sisma X SLV	705.3	0	0	0	0	0
5017	1619	Terreno sisma X SLO	57.2	0	0	0	0	0	5018	1951	Terreno sisma X SLO	123.6	0	0	0	0	0
5019	1602	Terreno sisma X SLO	136.7	0	0	0	0	0	5020	1949	Terreno sisma X SLO	266.4	0	0	0	0	0
5021	1619	Terreno sisma X SLD	68.2	0	0	0	0	0	5022	1951	Terreno sisma X SLD	147.4	0	0	0	0	0
5023	1602	Terreno sisma X SLD	163.1	0	0	0	0	0	5024	1949	Terreno sisma X SLD	317.7	0	0	0	0	0
5025	1947	Acqua canale	-1.4E3	0	0	0	0	0	5026	1581	Acqua canale	-6.1E2	0	0	0	0	0
5027	1581	Pesi strutturali	988.7	0	-2.2E2	0	0	0	5028	1947	Pesi strutturali	1.4E3	0	-3.7E2	0	0	0
5029	1581	Variabile da traffico	296.7	0	-1.0E2	0	0	0	5030	1947	Variabile da traffico	569.2	0	-1.9E2	0	0	0
5031	1581	Terreno sisma X SLV	423.4	0	0	0	0	0	5032	1947	Terreno sisma X SLV	769.2	0	0	0	0	0
5033	1581	Terreno sisma X SLO	159.9	0	0	0	0	0	5034	1947	Terreno sisma X SLO	290.6	0	0	0	0	0

Interventi di miglioramento della diga di Cepparello nel Comune di Poggibonsi (SI)

ET.09.4 – Tabulati di calcolo_Canali fagatori con fondazioni su pali

Indice	Nodo	Condizione	Fx	Fy	Fz	Mx	My	Mz	Indice	Nodo	Condizione	Fx	Fy	Fz	Mx	My	Mz
5035	1581	Terreno sisma X SLD	190.7	0	0	0	0	0	5036	1947	Terreno sisma X SLD	346.5	0	0	0	0	0
5037	1945	Acqua canale	-1.4E3	0	0	0	0	0	5038	1545	Acqua canale	-6.3E2	0	0	0	0	0
5039	1545	Pesi strutturali	994.9	0	-2.3E2	0	0	0	5040	1945	Pesi strutturali	1.4E3	0	-3.8E2	0	0	0
5041	1545	Variabile da traffico	298.6	0	-1.0E2	0	0	0	5042	1945	Variabile da traffico	582.5	0	-2.0E2	0	0	0
5043	1545	Terreno sisma X SLV	426.1	0	0	0	0	0	5044	1945	Terreno sisma X SLV	787.1	0	0	0	0	0
5045	1545	Terreno sisma X SLO	161	0	0	0	0	0	5046	1945	Terreno sisma X SLO	297.3	0	0	0	0	0
5047	1545	Terreno sisma X SLD	192	0	0	0	0	0	5048	1945	Terreno sisma X SLD	354.6	0	0	0	0	0
5049	1943	Acqua canale	-1.4E3	0	0	0	0	0	5050	1516	Acqua canale	-6.3E2	0	0	0	0	0
5051	1516	Pesi strutturali	996.6	0	-226	0	0	0	5052	1943	Pesi strutturali	1.4E3	0	-3.8E2	0	0	0
5053	1516	Variabile da traffico	299.1	0	-1.0E2	0	0	0	5054	1943	Variabile da traffico	586.1	0	-198	0	0	0
5055	1516	Terreno sisma X SLV	426.8	0	0	0	0	0	5056	1943	Terreno sisma X SLV	791.9	0	0	0	0	0
5057	1516	Terreno sisma X SLO	161.2	0	0	0	0	0	5058	1943	Terreno sisma X SLO	299.2	0	0	0	0	0
5059	1516	Terreno sisma X SLD	192.3	0	0	0	0	0	5060	1943	Terreno sisma X SLD	356.8	0	0	0	0	0
5061	1941	Acqua canale	-1.4E3	0	0	0	0	0	5062	1482	Acqua canale	-6.3E2	0	0	0	0	0
5063	1482	Pesi strutturali	994.9	0	-2.3E2	0	0	0	5064	1941	Pesi strutturali	1.4E3	0	-3.8E2	0	0	0
5065	1482	Variabile da traffico	298.6	0	-1.0E2	0	0	0	5066	1941	Variabile da traffico	582.5	0	-2.0E2	0	0	0
5067	1482	Terreno sisma X SLV	426.1	0	0	0	0	0	5068	1941	Terreno sisma X SLV	787.1	0	0	0	0	0
5069	1482	Terreno sisma X SLO	161	0	0	0	0	0	5070	1941	Terreno sisma X SLO	297.3	0	0	0	0	0
5071	1482	Terreno sisma X SLD	192	0	0	0	0	0	5072	1941	Terreno sisma X SLD	354.6	0	0	0	0	0
5073	1939	Acqua canale	-1.4E3	0	0	0	0	0	5074	1459	Acqua canale	-6.2E2	0	0	0	0	0
5075	1459	Pesi strutturali	988.7	0	-2.2E2	0	0	0	5076	1939	Pesi strutturali	1.4E3	0	-3.7E2	0	0	0
5077	1459	Variabile da traffico	296.7	0	-1.0E2	0	0	0	5078	1939	Variabile da traffico	569.2	0	-1.9E2	0	0	0
5079	1459	Terreno sisma X SLV	423.4	0	0	0	0	0	5080	1939	Terreno sisma X SLV	769.2	0	0	0	0	0
5081	1459	Terreno sisma X SLO	159.9	0	0	0	0	0	5082	1939	Terreno sisma X SLO	290.6	0	0	0	0	0
5083	1459	Terreno sisma X SLD	190.7	0	0	0	0	0	5084	1939	Terreno sisma X SLD	346.5	0	0	0	0	0
5085	1937	Acqua canale	-1.3E3	0	0	0	0	0	5086	1425	Acqua canale	-5.4E2	0	0	0	0	0
5087	1425	Pesi strutturali	844.8	0	-1.9E2	0	0	0	5088	1937	Pesi strutturali	1.3E3	0	-336	0	0	0
5089	1425	Variabile da traffico	253.7	0	-85.7	0	0	0	5090	1937	Variabile da traffico	522.2	0	-1.8E2	0	0	0
5091	1425	Terreno sisma X SLV	362	0	0	0	0	0	5092	1937	Terreno sisma X SLV	705.3	0	0	0	0	0
5093	1425	Terreno sisma X SLO	136.7	0	0	0	0	0	5094	1937	Terreno sisma X SLO	266.4	0	0	0	0	0
5095	1425	Terreno sisma X SLD	163.1	0	0	0	0	0	5096	1937	Terreno sisma X SLD	317.7	0	0	0	0	0
5097	1934	Acqua canale	-5.9E2	0	0	0	0	0	5098	1402	Acqua canale	-2.6E2	0	0	0	0	0
5099	1402	Pesi strutturali	352.7	0	-80.1	0	0	0	5100	1934	Pesi strutturali	579.4	0	-1.6E2	0	0	0
5101	1402	Variabile da traffico	106.1	0	-35.8	0	0	0	5102	1934	Variabile da traffico	242.4	0	-81.9	0	0	0
5103	1402	Terreno sisma X SLV	151.3	0	0	0	0	0	5104	1934	Terreno sisma X SLV	327.2	0	0	0	0	0
5105	1402	Terreno sisma X SLO	57.2	0	0	0	0	0	5106	1934	Terreno sisma X SLO	123.6	0	0	0	0	0
5107	1402	Terreno sisma X SLD	68.2	0	0	0	0	0	5108	1934	Terreno sisma X SLD	147.4	0	0	0	0	0
5109	2140	Acqua canale	-623	0	0	0	0	0	5110	2138	Acqua canale	-1265	0	0	0	0	0
5111	2140	Pesi strutturali	347	0	-1.2E2	0	0	0	5112	2138	Pesi strutturali	712.8	0	-2.4E2	0	0	0
5113	2140	Variabile da traffico	260.7	0	-88.1	0	0	0	5114	2138	Variabile da traffico	534.9	0	-1.8E2	0	0	0
5115	2140	Terreno sisma X SLV	323.4	0	0	0	0	0	5116	2138	Terreno sisma X SLV	663.6	0	0	0	0	0
5117	2140	Terreno sisma X SLO	122.2	0	0	0	0	0	5118	2138	Terreno sisma X SLO	250.7	0	0	0	0	0
5119	2140	Terreno sisma X SLD	145.7	0	0	0	0	0	5120	2138	Terreno sisma X SLD	298.9	0	0	0	0	0
5121	2136	Acqua canale	-1.3E3	0	0	0	0	0	5122	2136	Pesi strutturali	743.4	0	-250	0	0	0
5123	2136	Variabile da traffico	557	0	-1.9E2	0	0	0	5124	2136	Terreno sisma X SLV	691.1	0	0	0	0	0
5125	2136	Terreno sisma X SLO	261.1	0	0	0	0	0	5126	2136	Terreno sisma X SLD	311.3	0	0	0	0	0
5127	2134	Acqua canale	-1.4E3	0	0	0	0	0	5128	2134	Pesi strutturali	760.7	0	-2.6E2	0	0	0
5129	2134	Variabile da traffico	569.8	0	-1.9E2	0	0	0	5130	2134	Terreno sisma X SLV	707	0	0	0	0	0
5131	2134	Terreno sisma X SLO	267.1	0	0	0	0	0	5132	2134	Terreno sisma X SLD	318.5	0	0	0	0	0
5133	2132	Acqua canale	-1.4E3	0	0	0	0	0	5134	2132	Pesi strutturali	766.2	0	-2.6E2	0	0	0
5135	2132	Variabile da traffico	573.9	0	-1.9E2	0	0	0	5136	2132	Terreno sisma X SLV	712.1	0	0	0	0	0
5137	2132	Terreno sisma X SLO	269	0	0	0	0	0	5138	2132	Terreno sisma X SLD	320.8	0	0	0	0	0
5139	2130	Acqua canale	-1366	0	0	0	0	0	5140	2130	Pesi strutturali	760.7	0	-2.6E2	0	0	0
5141	2130	Variabile da traffico	569.8	0	-1.9E2	0	0	0	5142	2130	Terreno sisma X SLV	707	0	0	0	0	0

Interventi di miglioramento della diga di Cepparello nel Comune di Poggibonsi (SI)

ET.09.4 – Tabulati di calcolo_Canali fugatori con fondazioni su pali

Indice	Nodo	Condizione	Fx	Fy	Fz	Mx	My	Mz	Indice	Nodo	Condizione	Fx	Fy	Fz	Mx	My	Mz
5143	2130	Terreno sisma X SLO	267.1	0	0	0	0	0	5144	2130	Terreno sisma X SLD	318.5	0	0	0	0	0
5145	2128	Acqua canale	-1.3E3	0	0	0	0	0	5146	2128	Pesi strutturali	743.4	0	-250	0	0	0
5147	2128	Variabile da traffico	557	0	-1.9E2	0	0	0	5148	2128	Terreno sisma X SLV	691.1	0	0	0	0	0
5149	2128	Terreno sisma X SLO	261.1	0	0	0	0	0	5150	2128	Terreno sisma X SLD	311.3	0	0	0	0	0
5151	2126	Acqua canale	-1.3E3	0	0	0	0	0	5152	2126	Pesi strutturali	712.8	0	-2.4E2	0	0	0
5153	2126	Variabile da traffico	534.9	0	-1.8E2	0	0	0	5154	2126	Terreno sisma X SLV	663.6	0	0	0	0	0
5155	2126	Terreno sisma X SLO	250.7	0	0	0	0	0	5156	2126	Terreno sisma X SLD	298.9	0	0	0	0	0
5157	2123	Acqua canale	-6.1E2	0	0	0	0	0	5158	2123	Pesi strutturali	347	0	-1.2E2	0	0	0
5159	2123	Variabile da traffico	260.7	0	-88.1	0	0	0	5160	2123	Terreno sisma X SLV	323.4	0	0	0	0	0
5161	2123	Terreno sisma X SLO	122.2	0	0	0	0	0	5162	2123	Terreno sisma X SLD	145.7	0	0	0	0	0
5163	2305	Acqua canale	-4.3E2	0	0	0	0	0	5164	2303	Acqua canale	-8.6E2	0	0	0	0	0
5165	2305	Pesi strutturali	142	0	-48	0	0	0	5166	2303	Pesi strutturali	287.3	0	-97.1	0	0	0
5167	2305	Variabile da traffico	268.3	0	-90.7	0	0	0	5168	2303	Variabile da traffico	542.4	0	-1.8E2	0	0	0
5169	2305	Terreno sisma X SLV	330.8	0	0	0	0	0	5170	2303	Terreno sisma X SLV	668.8	0	0	0	0	0
5171	2305	Terreno sisma X SLO	125	0	0	0	0	0	5172	2303	Terreno sisma X SLD	252.6	0	0	0	0	0
5173	2305	Terreno sisma X SLD	149	0	0	0	0	0	5174	2303	Terreno sisma X SLD	301.3	0	0	0	0	0
5175	2301	Acqua canale	-8.8E2	0	0	0	0	0	5176	2301	Pesi strutturali	293.8	0	-99.3	0	0	0
5177	2301	Variabile da traffico	553.7	0	-1.9E2	0	0	0	5178	2301	Terreno sisma X SLV	682.7	0	0	0	0	0
5179	2301	Terreno sisma X SLO	257.9	0	0	0	0	0	5180	2301	Terreno sisma X SLD	307.6	0	0	0	0	0
5181	2299	Acqua canale	-9.0E2	0	0	0	0	0	5182	2299	Pesi strutturali	298.7	0	-1.0E2	0	0	0
5183	2299	Variabile da traffico	562.3	0	-190	0	0	0	5184	2299	Terreno sisma X SLV	693.3	0	0	0	0	0
5185	2299	Terreno sisma X SLO	261.9	0	0	0	0	0	5186	2299	Terreno sisma X SLD	312.3	0	0	0	0	0
5187	2297	Acqua canale	-9.0E2	0	0	0	0	0	5188	2297	Pesi strutturali	300.4	0	-1.0E2	0	0	0
5189	2297	Variabile da traffico	565.3	0	-191	0	0	0	5190	2297	Terreno sisma X SLV	697.1	0	0	0	0	0
5191	2297	Terreno sisma X SLO	263.3	0	0	0	0	0	5192	2297	Terreno sisma X SLD	314	0	0	0	0	0
5193	2295	Acqua canale	-9.0E2	0	0	0	0	0	5194	2295	Pesi strutturali	298.7	0	-1.0E2	0	0	0
5195	2295	Variabile da traffico	562.3	0	-190	0	0	0	5196	2295	Terreno sisma X SLV	693.3	0	0	0	0	0
5197	2295	Terreno sisma X SLO	261.9	0	0	0	0	0	5198	2295	Terreno sisma X SLD	312.3	0	0	0	0	0
5199	2293	Acqua canale	-8.8E2	0	0	0	0	0	5200	2293	Pesi strutturali	293.8	0	-99.3	0	0	0
5201	2293	Variabile da traffico	553.7	0	-1.9E2	0	0	0	5202	2293	Terreno sisma X SLV	682.7	0	0	0	0	0
5203	2293	Terreno sisma X SLO	257.9	0	0	0	0	0	5204	2293	Terreno sisma X SLD	307.6	0	0	0	0	0
5205	2291	Acqua canale	-8.6E2	0	0	0	0	0	5206	2291	Pesi strutturali	287.3	0	-97.1	0	0	0
5207	2291	Variabile da traffico	542.4	0	-1.8E2	0	0	0	5208	2291	Terreno sisma X SLV	668.8	0	0	0	0	0
5209	2291	Terreno sisma X SLO	252.6	0	0	0	0	0	5210	2291	Terreno sisma X SLD	301.3	0	0	0	0	0
5211	2288	Acqua canale	-4.2E2	0	0	0	0	0	5212	2288	Pesi strutturali	142	0	-48	0	0	0
5213	2288	Variabile da traffico	268.3	0	-90.7	0	0	0	5214	2288	Terreno sisma X SLV	330.8	0	0	0	0	0
5215	2288	Terreno sisma X SLO	125	0	0	0	0	0	5216	2288	Terreno sisma X SLD	149	0	0	0	0	0
5217	2474	Acqua canale	-2.2E2	0	0	0	0	0	5218	2472	Acqua canale	-4.3E2	0	0	0	0	0
5219	2474	Pesi strutturali	2.9	0	-1	0	0	0	5220	2472	Pesi strutturali	5.8	0	-2	0	0	0
5221	2474	Variabile da traffico	272.7	0	-92.1	0	0	0	5222	2472	Variabile da traffico	547.7	0	-1.9E2	0	0	0
5223	2474	Terreno sisma X SLV	336.2	0	0	0	0	0	5224	2472	Terreno sisma X SLV	675.3	0	0	0	0	0
5225	2474	Terreno sisma X SLO	127	0	0	0	0	0	5226	2472	Terreno sisma X SLD	255.1	0	0	0	0	0
5227	2474	Terreno sisma X SLD	151.5	0	0	0	0	0	5228	2472	Terreno sisma X SLD	304.2	0	0	0	0	0
5229	2470	Acqua canale	-440	0	0	0	0	0	5230	2470	Pesi strutturali	5.9	0	-2	0	0	0
5231	2470	Variabile da traffico	552.7	0	-1.9E2	0	0	0	5232	2470	Terreno sisma X SLV	681.5	0	0	0	0	0
5233	2470	Terreno sisma X SLO	257.4	0	0	0	0	0	5234	2470	Terreno sisma X SLD	307	0	0	0	0	0
5235	2468	Acqua canale	-4.4E2	0	0	0	0	0	5236	2468	Pesi strutturali	6	0	-2	0	0	0
5237	2468	Variabile da traffico	556.9	0	-1.9E2	0	0	0	5238	2468	Terreno sisma X SLV	686.8	0	0	0	0	0
5239	2468	Terreno sisma X SLO	259.4	0	0	0	0	0	5240	2468	Terreno sisma X SLD	309.4	0	0	0	0	0
5241	2466	Acqua canale	-4.5E2	0	0	0	0	0	5242	2466	Pesi strutturali	6	0	-2	0	0	0
5243	2466	Variabile da traffico	558.5	0	-1.9E2	0	0	0	5244	2466	Terreno sisma X SLV	688.7	0	0	0	0	0
5245	2466	Terreno sisma X SLO	260.2	0	0	0	0	0	5246	2466	Terreno sisma X SLD	310.2	0	0	0	0	0

Interventi di miglioramento della diga di Cepparello nel Comune di Poggibonsi (SI)

ET.09.4 – Tabulati di calcolo_Canali fugatori con fondazioni su pali

Indice	Nodo	Condizione	Fx	Fy	Fz	Mx	My	Mz	Indice	Nodo	Condizione	Fx	Fy	Fz	Mx	My	Mz
5247	2464	Acqua canale	-4.5E2	0	0	0	0	0	5248	2464	Pesi strutturali	6	0	-2	0	0	0
5249	2464	Variabile da traffico	556.9	0	-1.9E2	0	0	0	5250	2464	Terreno sisma X SLV	686.8	0	0	0	0	0
5251	2464	Terreno sisma X SLO	259.4	0	0	0	0	0	5252	2464	Terreno sisma X SLD	309.4	0	0	0	0	0
5253	2462	Acqua canale	-441	0	0	0	0	0	5254	2462	Pesi strutturali	5.9	0	-2	0	0	0
5255	2462	Variabile da traffico	552.7	0	-1.9E2	0	0	0	5256	2462	Terreno sisma X SLV	681.5	0	0	0	0	0
5257	2462	Terreno sisma X SLO	257.4	0	0	0	0	0	5258	2462	Terreno sisma X SLD	307	0	0	0	0	0
5259	2460	Acqua canale	-4.4E2	0	0	0	0	0	5260	2460	Pesi strutturali	5.8	0	-2	0	0	0
5261	2460	Variabile da traffico	547.7	0	-1.9E2	0	0	0	5262	2460	Terreno sisma X SLV	675.3	0	0	0	0	0
5263	2460	Terreno sisma X SLO	255.1	0	0	0	0	0	5264	2460	Terreno sisma X SLD	304.2	0	0	0	0	0
5265	2457	Acqua canale	-2.2E2	0	0	0	0	0	5266	2457	Pesi strutturali	2.9	0	-1	0	0	0
5267	2457	Variabile da traffico	272.7	0	-92.1	0	0	0	5268	2457	Terreno sisma X SLV	336.2	0	0	0	0	0
5269	2457	Terreno sisma X SLO	127	0	0	0	0	0	5270	2457	Terreno sisma X SLD	151.5	0	0	0	0	0
5271	2644	Acqua canale	-54.8	0	0	0	0	0	5272	2641	Acqua canale	-1.1E2	0	0	0	0	0
5273	2644	Variabile da traffico	137.7	0	-46.5	0	0	0	5274	2641	Variabile da traffico	275.6	0	-93.1	0	0	0
5275	2644	Terreno sisma X SLV	169.7	0	0	0	0	0	5276	2641	Terreno sisma X SLV	339.8	0	0	0	0	0
5277	2644	Terreno sisma X SLO	64.1	0	0	0	0	0	5278	2641	Terreno sisma X SLO	128.4	0	0	0	0	0
5279	2644	Terreno sisma X SLD	76.5	0	0	0	0	0	5280	2641	Terreno sisma X SLD	153.1	0	0	0	0	0
5281	2637	Acqua canale	-1.1E2	0	0	0	0	0	5282	2637	Variabile da traffico	276.2	0	-93.3	0	0	0
5283	2637	Terreno sisma X SLV	340.6	0	0	0	0	0	5284	2637	Terreno sisma X SLO	128.7	0	0	0	0	0
5285	2637	Terreno sisma X SLD	153.4	0	0	0	0	0	5286	2632	Acqua canale	-1.1E2	0	0	0	0	0
5287	2632	Variabile da traffico	276.7	0	-93.5	0	0	0	5288	2632	Terreno sisma X SLV	341.2	0	0	0	0	0
5289	2632	Terreno sisma X SLO	128.9	0	0	0	0	0	5290	2632	Terreno sisma X SLD	153.7	0	0	0	0	0
5291	2628	Acqua canale	-1.1E2	0	0	0	0	0	5292	2628	Variabile da traffico	276.9	0	-93.6	0	0	0
5293	2628	Terreno sisma X SLV	341.5	0	0	0	0	0	5294	2628	Terreno sisma X SLO	129	0	0	0	0	0
5295	2628	Terreno sisma X SLD	153.8	0	0	0	0	0	5296	2624	Acqua canale	-1.1E2	0	0	0	0	0
5297	2624	Variabile da traffico	276.7	0	-93.5	0	0	0	5298	2624	Terreno sisma X SLV	341.2	0	0	0	0	0
5299	2624	Terreno sisma X SLO	128.9	0	0	0	0	0	5300	2624	Terreno sisma X SLD	153.7	0	0	0	0	0
5301	2619	Acqua canale	-1.1E2	0	0	0	0	0	5302	2619	Variabile da traffico	276.2	0	-93.3	0	0	0
5303	2619	Terreno sisma X SLV	340.6	0	0	0	0	0	5304	2619	Terreno sisma X SLO	128.7	0	0	0	0	0
5305	2619	Terreno sisma X SLD	153.4	0	0	0	0	0	5306	2615	Acqua canale	-1.1E2	0	0	0	0	0
5307	2615	Variabile da traffico	275.6	0	-93.1	0	0	0	5308	2615	Terreno sisma X SLV	339.8	0	0	0	0	0
5309	2615	Terreno sisma X SLO	128.4	0	0	0	0	0	5310	2615	Terreno sisma X SLD	153.1	0	0	0	0	0
5311	2610	Acqua canale	-54.3	0	0	0	0	0	5312	2610	Variabile da traffico	137.7	0	-46.5	0	0	0
5313	2610	Terreno sisma X SLV	169.7	0	0	0	0	0	5314	2610	Terreno sisma X SLO	64.1	0	0	0	0	0
5315	2610	Terreno sisma X SLD	76.5	0	0	0	0	0	5316	1651	Acqua canale	286.5	0	0	0	0	0
5317	1921	Acqua canale	827.5	0	0	0	0	0	5318	1923	Acqua canale	1.7E3	0	0	0	0	0
5319	1668	Acqua canale	784.6	0	0	0	0	0	5320	1651	Pesi strutturali	-4.2E2	0	-1.0E2	0	0	0
5321	1921	Pesi strutturali	-8.1E2	0	-2.3E2	0	0	0	5322	1668	Pesi strutturali	-1.2E3	0	-2.8E2	0	0	0
5323	1923	Pesi strutturali	-1.9E3	0	-5.2E2	0	0	0	5324	1651	Variabile da traffico	-1.1E2	0	-36	0	0	0
5325	1921	Variabile da traffico	-2.7E2	0	-90.5	0	0	0	5326	1668	Variabile da traffico	-2.9E2	0	-98.9	0	0	0
5327	1923	Variabile da traffico	-6.1E2	0	-2.1E2	0	0	0	5328	1651	Terreno sisma X SLV	175.1	0	0	0	0	0
5329	1921	Terreno sisma X SLV	420.7	0	0	0	0	0	5330	1668	Terreno sisma X SLV	481.3	0	0	0	0	0
5331	1923	Terreno sisma X SLV	954.1	0	0	0	0	0	5332	1651	Terreno sisma X SLO	66.2	0	0	0	0	0
5333	1921	Terreno sisma X SLO	158.9	0	0	0	0	0	5334	1668	Terreno sisma X SLO	181.8	0	0	0	0	0
5335	1923	Terreno sisma X SLO	360.4	0	0	0	0	0	5336	1651	Terreno sisma X SLD	78.9	0	0	0	0	0
5337	1921	Terreno sisma X SLD	189.5	0	0	0	0	0	5338	1668	Terreno sisma X SLD	216.8	0	0	0	0	0
5339	1923	Terreno sisma X SLD	429.8	0	0	0	0	0	5340	1925	Acqua canale	2.1E3	0	0	0	0	0
5341	1702	Acqua canale	867.1	0	0	0	0	0	5342	1702	Pesi strutturali	-1.5E3	0	-3.6E2	0	0	0
5343	1925	Pesi strutturali	-2.1E3	0	-5.9E2	0	0	0	5344	1702	Variabile da traffico	-3.7E2	0	-1.3E2	0	0	0
5345	1925	Variabile da traffico	-6.9E2	0	-2.3E2	0	0	0	5346	1702	Terreno sisma X SLV	616.2	0	0	0	0	0
5347	1925	Terreno sisma X SLV	1092	0	0	0	0	0	5348	1702	Terreno sisma X SLO	232.8	0	0	0	0	0
5349	1925	Terreno sisma X SLO	412.5	0	0	0	0	0	5350	1702	Terreno sisma X SLD	277.6	0	0	0	0	0

Interventi di miglioramento della diga di Cepparello nel Comune di Poggibonsi (SI)

ET.09.4 – Tabulati di calcolo_Canali fagatori con fondazioni su pali

Indice	Nodo	Condizione	Fx	Fy	Fz	Mx	My	Mz	Indice	Nodo	Condizione	Fx	Fy	Fz	Mx	My	Mz
5351	1925	Terreno sisma X SLD	492	0	0	0	0	0	5352	1927	Acqua canale	2.1E3	0	0	0	0	0
5353	1742	Acqua canale	890.2	0	0	0	0	0	5354	1742	Pesi strutturali	-1.5E3	0	-3.6E2	0	0	0
5355	1927	Pesi strutturali	-2.2E3	0	-6.1E2	0	0	0	5356	1742	Variabile da traffico	-377	0	-1.3E2	0	0	0
5357	1927	Variabile da traffico	-7.1E2	0	-2.4E2	0	0	0	5358	1742	Terreno sisma X SLV	620.1	0	0	0	0	0
5359	1927	Terreno sisma X SLV	1.1E3	0	0	0	0	0	5360	1742	Terreno sisma X SLO	234.2	0	0	0	0	0
5361	1927	Terreno sisma X SLO	422	0	0	0	0	0	5362	1742	Terreno sisma X SLD	279.3	0	0	0	0	0
5363	1927	Terreno sisma X SLD	503.3	0	0	0	0	0	5364	1929	Acqua canale	2.0E3	0	0	0	0	0
5365	1776	Acqua canale	878.2	0	0	0	0	0	5366	1776	Pesi strutturali	-1.5E3	0	-3.6E2	0	0	0
5367	1929	Pesi strutturali	-2.1E3	0	-5.9E2	0	0	0	5368	1776	Variabile da traffico	-3.7E2	0	-1.3E2	0	0	0
5369	1929	Variabile da traffico	-6.9E2	0	-2.3E2	0	0	0	5370	1776	Terreno sisma X SLV	616.2	0	0	0	0	0
5371	1929	Terreno sisma X SLV	1092	0	0	0	0	0	5372	1776	Terreno sisma X SLO	232.8	0	0	0	0	0
5373	1929	Terreno sisma X SLO	412.5	0	0	0	0	0	5374	1776	Terreno sisma X SLD	277.6	0	0	0	0	0
5375	1929	Terreno sisma X SLD	492	0	0	0	0	0	5376	1931	Acqua canale	1.8E3	0	0	0	0	0
5377	1810	Acqua canale	699	0	0	0	0	0	5378	1810	Pesi strutturali	-1.2E3	0	-2.8E2	0	0	0
5379	1931	Pesi strutturali	-1.9E3	0	-5.2E2	0	0	0	5380	1810	Variabile da traffico	-2.9E2	0	-98.9	0	0	0
5381	1931	Variabile da traffico	-6.1E2	0	-2.1E2	0	0	0	5382	1810	Terreno sisma X SLV	481.3	0	0	0	0	0
5383	1931	Terreno sisma X SLV	954.1	0	0	0	0	0	5384	1810	Terreno sisma X SLO	181.8	0	0	0	0	0
5385	1931	Terreno sisma X SLO	360.4	0	0	0	0	0	5386	1810	Terreno sisma X SLD	216.8	0	0	0	0	0
5387	1931	Terreno sisma X SLD	429.8	0	0	0	0	0	5388	1933	Acqua canale	767.1	0	0	0	0	0
5389	1833	Acqua canale	342	0	0	0	0	0	5390	1833	Pesi strutturali	-4.2E2	0	-1.0E2	0	0	0
5391	1933	Pesi strutturali	-8.1E2	0	-2.3E2	0	0	0	5392	1833	Variabile da traffico	-1.1E2	0	-36	0	0	0
5393	1933	Variabile da traffico	-2.7E2	0	-90.5	0	0	0	5394	1833	Terreno sisma X SLV	175.1	0	0	0	0	0
5395	1933	Terreno sisma X SLV	420.7	0	0	0	0	0	5396	1833	Terreno sisma X SLO	66.2	0	0	0	0	0
5397	1933	Terreno sisma X SLO	158.9	0	0	0	0	0	5398	1833	Terreno sisma X SLD	78.9	0	0	0	0	0
5399	1933	Terreno sisma X SLD	189.5	0	0	0	0	0	5400	2103	Acqua canale	914.5	0	0	0	0	0
5401	2105	Acqua canale	1.9E3	0	0	0	0	0	5402	2103	Pesi strutturali	-6.0E2	0	-2.0E2	0	0	0
5403	2105	Pesi strutturali	-1.3E3	0	-4.2E2	0	0	0	5404	2103	Variabile da traffico	-3.0E2	0	-1.0E2	0	0	0
5405	2105	Variabile da traffico	-6.2E2	0	-2.1E2	0	0	0	5406	2103	Terreno sisma X SLV	437.4	0	0	0	0	0
5407	2105	Terreno sisma X SLV	912.2	0	0	0	0	0	5408	2103	Terreno sisma X SLO	165.2	0	0	0	0	0
5409	2105	Terreno sisma X SLO	344.6	0	0	0	0	0	5410	2103	Terreno sisma X SLD	197	0	0	0	0	0
5411	2105	Terreno sisma X SLD	410.9	0	0	0	0	0	5412	2107	Acqua canale	2.0E3	0	0	0	0	0
5413	2107	Pesi strutturali	-1331	0	-4.5E2	0	0	0	5414	2107	Variabile da traffico	-6.6E2	0	-2.2E2	0	0	0
5415	2107	Terreno sisma X SLV	969.9	0	0	0	0	0	5416	2107	Terreno sisma X SLO	366.4	0	0	0	0	0
5417	2107	Terreno sisma X SLD	436.9	0	0	0	0	0	5418	2109	Acqua canale	2.1E3	0	0	0	0	0
5419	2109	Pesi strutturali	-1.4E3	0	-4.6E2	0	0	0	5420	2109	Variabile da traffico	-6.8E2	0	-2.3E2	0	0	0
5421	2109	Terreno sisma X SLV	990.2	0	0	0	0	0	5422	2109	Terreno sisma X SLO	374	0	0	0	0	0
5423	2109	Terreno sisma X SLD	446.1	0	0	0	0	0	5424	2111	Acqua canale	2040	0	0	0	0	0
5425	2111	Pesi strutturali	-1331	0	-4.5E2	0	0	0	5426	2111	Variabile da traffico	-6.6E2	0	-2.2E2	0	0	0
5427	2111	Terreno sisma X SLV	969.9	0	0	0	0	0	5428	2111	Terreno sisma X SLO	366.4	0	0	0	0	0
5429	2111	Terreno sisma X SLD	436.9	0	0	0	0	0	5430	2113	Acqua canale	1.9E3	0	0	0	0	0
5431	2113	Pesi strutturali	-1.3E3	0	-4.2E2	0	0	0	5432	2113	Variabile da traffico	-6.2E2	0	-2.1E2	0	0	0
5433	2113	Terreno sisma X SLV	912.2	0	0	0	0	0	5434	2113	Terreno sisma X SLO	344.6	0	0	0	0	0
5435	2113	Terreno sisma X SLD	410.9	0	0	0	0	0	5436	2115	Acqua canale	886.7	0	0	0	0	0
5437	2115	Pesi strutturali	-6.0E2	0	-2.0E2	0	0	0	5438	2115	Variabile da traffico	-3.0E2	0	-1.0E2	0	0	0
5439	2115	Terreno sisma X SLV	437.4	0	0	0	0	0	5440	2115	Terreno sisma X SLO	165.2	0	0	0	0	0
5441	2115	Terreno sisma X SLD	197	0	0	0	0	0	5442	2259	Acqua canale	710.2	0	0	0	0	0
5443	2261	Acqua canale	1.4E3	0	0	0	0	0	5444	2259	Pesi strutturali	-3.8E2	0	-1.3E2	0	0	0
5445	2261	Pesi strutturali	-777	0	-2.6E2	0	0	0	5446	2259	Variabile da traffico	-3.1E2	0	-1.0E2	0	0	0
5447	2261	Variabile da traffico	-6.3E2	0	-2.1E2	0	0	0	5448	2259	Terreno sisma X SLV	449.6	0	0	0	0	0
5449	2261	Terreno sisma X SLV	915.8	0	0	0	0	0	5450	2259	Terreno sisma X SLO	169.8	0	0	0	0	0
5451	2261	Terreno sisma X SLO	345.9	0	0	0	0	0	5452	2259	Terreno sisma X SLD	202.5	0	0	0	0	0

Interventi di miglioramento della diga di Cepparello nel Comune di Poggibonsi (SI)

ET.09.4 – Tabulati di calcolo_Canali fugatori con fondazioni su pali

Indice	Nodo	Condizione	Fx	Fy	Fz	Mx	My	Mz	Indice	Nodo	Condizione	Fx	Fy	Fz	Mx	My	Mz
5453	2261	Terreno sisma X SLD	412.6	0	0	0	0	0	5454	2263	Acqua canale	1.5E3	0	0	0	0	0
5455	2263	Pesi strutturali	-8.0E2	0	-2.7E2	0	0	0	5456	2263	Variabile da traffico	-6.5E2	0	-2.2E2	0	0	0
5457	2263	Terreno sisma X SLV	945.6	0	0	0	0	0	5458	2263	Terreno sisma X SLO	357.2	0	0	0	0	0
5459	2263	Terreno sisma X SLD	426	0	0	0	0	0	5460	2265	Acqua canale	1.5E3	0	0	0	0	0
5461	2265	Pesi strutturali	-8.1E2	0	-2.8E2	0	0	0	5462	2265	Variabile da traffico	-6.6E2	0	-2.2E2	0	0	0
5463	2265	Terreno sisma X SLV	958.7	0	0	0	0	0	5464	2265	Terreno sisma X SLO	362.2	0	0	0	0	0
5465	2265	Terreno sisma X SLD	431.9	0	0	0	0	0	5466	2267	Acqua canale	1.5E3	0	0	0	0	0
5467	2267	Pesi strutturali	-8.0E2	0	-2.7E2	0	0	0	5468	2267	Variabile da traffico	-6.5E2	0	-2.2E2	0	0	0
5469	2267	Terreno sisma X SLV	945.6	0	0	0	0	0	5470	2267	Terreno sisma X SLO	357.2	0	0	0	0	0
5471	2267	Terreno sisma X SLD	426	0	0	0	0	0	5472	2269	Acqua canale	1.4E3	0	0	0	0	0
5473	2269	Pesi strutturali	-777	0	-2.6E2	0	0	0	5474	2269	Variabile da traffico	-6.3E2	0	-2.1E2	0	0	0
5475	2269	Terreno sisma X SLV	915.8	0	0	0	0	0	5476	2269	Terreno sisma X SLO	345.9	0	0	0	0	0
5477	2269	Terreno sisma X SLD	412.6	0	0	0	0	0	5478	2271	Acqua canale	702.9	0	0	0	0	0
5479	2271	Pesi strutturali	-3.8E2	0	-1.3E2	0	0	0	5480	2271	Variabile da traffico	-3.1E2	0	-1.0E2	0	0	0
5481	2271	Terreno sisma X SLV	449.6	0	0	0	0	0	5482	2271	Terreno sisma X SLO	169.8	0	0	0	0	0
5483	2271	Terreno sisma X SLD	202.5	0	0	0	0	0	5484	2442	Acqua canale	480.7	0	0	0	0	0
5485	2444	Acqua canale	968.5	0	0	0	0	0	5486	2442	Pesi strutturali	-1.5E2	0	-49.3	0	0	0
5487	2444	Pesi strutturali	-2.9E2	0	-99.6	0	0	0	5488	2442	Variabile da traffico	-3.1E2	0	-1.1E2	0	0	0
5489	2444	Variabile da traffico	-6.4E2	0	-2.1E2	0	0	0	5490	2442	Terreno sisma X SLV	456.6	0	0	0	0	0
5491	2444	Terreno sisma X SLV	921.9	0	0	0	0	0	5492	2442	Terreno sisma X SLO	172.5	0	0	0	0	0
5493	2444	Terreno sisma X SLO	348.2	0	0	0	0	0	5494	2442	Terreno sisma X SLD	205.7	0	0	0	0	0
5495	2444	Terreno sisma X SLD	415.3	0	0	0	0	0	5496	2446	Acqua canale	989.1	0	0	0	0	0
5497	2446	Pesi strutturali	-3.0E2	0	-1.0E2	0	0	0	5498	2446	Variabile da traffico	-6.5E2	0	-2.2E2	0	0	0
5499	2446	Terreno sisma X SLV	938.6	0	0	0	0	0	5500	2446	Terreno sisma X SLO	354.6	0	0	0	0	0
5501	2446	Terreno sisma X SLD	422.8	0	0	0	0	0	5502	2448	Acqua canale	999.3	0	0	0	0	0
5503	2448	Pesi strutturali	-3.0E2	0	-1.0E2	0	0	0	5504	2448	Variabile da traffico	-6.5E2	0	-2.2E2	0	0	0
5505	2448	Terreno sisma X SLV	946.6	0	0	0	0	0	5506	2448	Terreno sisma X SLO	357.6	0	0	0	0	0
5507	2448	Terreno sisma X SLD	426.4	0	0	0	0	0	5508	2450	Acqua canale	990.7	0	0	0	0	0
5509	2450	Pesi strutturali	-3.0E2	0	-1.0E2	0	0	0	5510	2450	Variabile da traffico	-6.5E2	0	-2.2E2	0	0	0
5511	2450	Terreno sisma X SLV	938.6	0	0	0	0	0	5512	2450	Terreno sisma X SLO	354.6	0	0	0	0	0
5513	2450	Terreno sisma X SLD	422.8	0	0	0	0	0	5514	2452	Acqua canale	971.1	0	0	0	0	0
5515	2452	Pesi strutturali	-2.9E2	0	-99.6	0	0	0	5516	2452	Variabile da traffico	-6.4E2	0	-2.1E2	0	0	0
5517	2452	Terreno sisma X SLV	921.9	0	0	0	0	0	5518	2452	Terreno sisma X SLO	348.2	0	0	0	0	0
5519	2452	Terreno sisma X SLD	415.3	0	0	0	0	0	5520	2454	Acqua canale	478.4	0	0	0	0	0
5521	2454	Pesi strutturali	-1.5E2	0	-49.3	0	0	0	5522	2454	Variabile da traffico	-3.1E2	0	-1.1E2	0	0	0
5523	2454	Terreno sisma X SLV	456.6	0	0	0	0	0	5524	2454	Terreno sisma X SLO	172.5	0	0	0	0	0
5525	2454	Terreno sisma X SLD	205.7	0	0	0	0	0	5526	2586	Acqua canale	242.5	0	0	0	0	0
5527	2588	Acqua canale	486.4	0	0	0	0	0	5528	2586	Pesi strutturali	-1.3	0	-0.5	0	0	0
5529	2588	Pesi strutturali	-2.7	0	-0.9	0	0	0	5530	2586	Variabile da traffico	-3.2E2	0	-1.1E2	0	0	0
5531	2588	Variabile da traffico	-6.4E2	0	-2.2E2	0	0	0	5532	2586	Terreno sisma X SLV	461.1	0	0	0	0	0
5533	2588	Terreno sisma X SLV	926.2	0	0	0	0	0	5534	2586	Terreno sisma X SLO	174.2	0	0	0	0	0
5535	2588	Terreno sisma X SLO	349.9	0	0	0	0	0	5536	2586	Terreno sisma X SLD	207.7	0	0	0	0	0
5537	2588	Terreno sisma X SLD	417.2	0	0	0	0	0	5538	2590	Acqua canale	492.2	0	0	0	0	0
5539	2590	Pesi strutturali	-2.7	0	-0.9	0	0	0	5540	2590	Variabile da traffico	-6.4E2	0	-2.2E2	0	0	0
5541	2590	Terreno sisma X SLV	934.1	0	0	0	0	0	5542	2590	Terreno sisma X SLO	352.8	0	0	0	0	0
5543	2590	Terreno sisma X SLD	420.8	0	0	0	0	0	5544	2592	Acqua canale	495.5	0	0	0	0	0
5545	2592	Pesi strutturali	-2.7	0	-0.9	0	0	0	5546	2592	Variabile da traffico	-6.5E2	0	-2.2E2	0	0	0
5547	2592	Terreno sisma X SLV	937.9	0	0	0	0	0	5548	2592	Terreno sisma X SLO	354.3	0	0	0	0	0
5549	2592	Terreno sisma X SLD	422.5	0	0	0	0	0	5550	2594	Acqua canale	493.2	0	0	0	0	0
5551	2594	Pesi strutturali	-2.7	0	-0.9	0	0	0	5552	2594	Variabile da traffico	-6.4E2	0	-2.2E2	0	0	0
5553	2594	Terreno sisma X SLV	934.1	0	0	0	0	0	5554	2594	Terreno sisma X SLO	352.8	0	0	0	0	0

Interventi di miglioramento della diga di Cepparello nel Comune di Poggibonsi (SI)

ET.09.4 – Tabulati di calcolo_Canali fuggatori con fondazioni su pali

Indice	Nodo	Condizione	Fx	Fy	Fz	Mx	My	Mz	Indice	Nodo	Condizione	Fx	Fy	Fz	Mx	My	Mz
5555	2594	Terreno sisma X SLD	420.8	0	0	0	0	0	5556	2596	Acqua canale	487.5	0	0	0	0	0
5557	2596	Pesi strutturali	-2.7	0	-0.9	0	0	0	5558	2596	Variabile da traffico	-6.4E2	0	-2.2E2	0	0	0
5559	2596	Terreno sisma X SLV	926.2	0	0	0	0	0	5560	2596	Terreno sisma X SLO	349.9	0	0	0	0	0
5561	2596	Terreno sisma X SLD	417.2	0	0	0	0	0	5562	2598	Acqua canale	241.5	0	0	0	0	0
5563	2598	Pesi strutturali	-1.3	0	-0.5	0	0	0	5564	2598	Variabile da traffico	-3.2E2	0	-1.1E2	0	0	0
5565	2598	Terreno sisma X SLV	461.1	0	0	0	0	0	5566	2598	Terreno sisma X SLO	174.2	0	0	0	0	0
5567	2598	Terreno sisma X SLD	207.7	0	0	0	0	0	5568	2669	Acqua canale	61	0	0	0	0	0
5569	2671	Acqua canale	121.9	0	0	0	0	0	5570	2669	Variabile da traffico	-1.6E2	0	-54.1	0	0	0
5571	2671	Variabile da traffico	-3.2E2	0	-1.1E2	0	0	0	5572	2669	Terreno sisma X SLV	232	0	0	0	0	0
5573	2671	Terreno sisma X SLV	464.6	0	0	0	0	0	5574	2669	Terreno sisma X SLO	87.7	0	0	0	0	0
5575	2671	Terreno sisma X SLO	175.5	0	0	0	0	0	5576	2669	Terreno sisma X SLD	104.5	0	0	0	0	0
5577	2671	Terreno sisma X SLD	209.3	0	0	0	0	0	5578	2673	Acqua canale	122.6	0	0	0	0	0
5579	2673	Variabile da traffico	-3.2E2	0	-1.1E2	0	0	0	5580	2673	Terreno sisma X SLV	465.5	0	0	0	0	0
5581	2673	Terreno sisma X SLO	175.9	0	0	0	0	0	5582	2673	Terreno sisma X SLD	209.7	0	0	0	0	0
5583	2675	Acqua canale	123.2	0	0	0	0	0	5584	2675	Variabile da traffico	-3.2E2	0	-1.1E2	0	0	0
5585	2675	Terreno sisma X SLV	466	0	0	0	0	0	5586	2675	Terreno sisma X SLO	176	0	0	0	0	0
5587	2675	Terreno sisma X SLD	209.9	0	0	0	0	0	5588	2677	Acqua canale	123	0	0	0	0	0
5589	2677	Variabile da traffico	-3.2E2	0	-1.1E2	0	0	0	5590	2677	Terreno sisma X SLV	465.5	0	0	0	0	0
5591	2677	Terreno sisma X SLO	175.9	0	0	0	0	0	5592	2677	Terreno sisma X SLD	209.7	0	0	0	0	0
5593	2679	Acqua canale	122.3	0	0	0	0	0	5594	2679	Variabile da traffico	-3.2E2	0	-1.1E2	0	0	0
5595	2679	Terreno sisma X SLV	464.6	0	0	0	0	0	5596	2679	Terreno sisma X SLO	175.5	0	0	0	0	0
5597	2679	Terreno sisma X SLD	209.3	0	0	0	0	0	5598	2681	Acqua canale	60.7	0	0	0	0	0
5599	2681	Variabile da traffico	-1.6E2	0	-54.1	0	0	0	5600	2681	Terreno sisma X SLV	232	0	0	0	0	0
5601	2681	Terreno sisma X SLO	87.7	0	0	0	0	0	5602	2681	Terreno sisma X SLD	104.5	0	0	0	0	0
5603	1641	Spinta idrostatica	0	0	195.2	0	0	0	5604	1643	Spinta idrostatica	0	0	473.2	0	0	0
5605	1681	Spinta idrostatica	0	0	1.1E3	0	0	0	5606	1664	Spinta idrostatica	0	0	574.5	0	0	0
5607	1641	Acqua canale	0	0	-5.2E2	0	0	0	5608	1643	Acqua canale	0	0	-1.3E3	0	0	0
5609	1681	Acqua canale	0	0	-2.8E3	0	0	0	5610	1664	Acqua canale	0	0	-1544	0	0	0
5611	1715	Spinta idrostatica	0	0	1.3E3	0	0	0	5612	1698	Spinta idrostatica	0	0	675.8	0	0	0
5613	1715	Acqua canale	0	0	-3.6E3	0	0	0	5614	1698	Acqua canale	0	0	-1.8E3	0	0	0
5615	1734	Spinta idrostatica	0	0	1.4E3	0	0	0	5616	1732	Spinta idrostatica	0	0	693.1	0	0	0
5617	1734	Acqua canale	0	0	-3682	0	0	0	5618	1732	Acqua canale	0	0	-1.9E3	0	0	0
5619	1766	Spinta idrostatica	0	0	1.3E3	0	0	0	5620	1772	Spinta idrostatica	0	0	687.3	0	0	0
5621	1766	Acqua canale	0	0	-3.6E3	0	0	0	5622	1772	Acqua canale	0	0	-1.8E3	0	0	0
5623	1800	Spinta idrostatica	0	0	1.1E3	0	0	0	5624	1806	Spinta idrostatica	0	0	519.1	0	0	0
5625	1800	Acqua canale	0	0	-3.1E3	0	0	0	5626	1806	Acqua canale	0	0	-1395	0	0	0
5627	1825	Spinta idrostatica	0	0	423.6	0	0	0	5628	1823	Spinta idrostatica	0	0	228.3	0	0	0
5629	1825	Acqua canale	0	0	-1.1E3	0	0	0	5630	1823	Acqua canale	0	0	-6.1E2	0	0	0
5631	1644	Spinta idrostatica	0	0	473.2	0	0	0	5632	1682	Spinta idrostatica	0	0	1.1E3	0	0	0
5633	1644	Acqua canale	0	0	-1.3E3	0	0	0	5634	1682	Acqua canale	0	0	-2.9E3	0	0	0
5635	1716	Spinta idrostatica	0	0	1.3E3	0	0	0	5636	1716	Acqua canale	0	0	-3.6E3	0	0	0
5637	1735	Spinta idrostatica	0	0	1.4E3	0	0	0	5638	1735	Acqua canale	0	0	-3.7E3	0	0	0
5639	1767	Spinta idrostatica	0	0	1.3E3	0	0	0	5640	1767	Acqua canale	0	0	-3.6E3	0	0	0
5641	1801	Spinta idrostatica	0	0	1.1E3	0	0	0	5642	1801	Acqua canale	0	0	-3.0E3	0	0	0
5643	1826	Spinta idrostatica	0	0	440.1	0	0	0	5644	1826	Acqua canale	0	0	-1.2E3	0	0	0
5645	1645	Spinta idrostatica	0	0	373	0	0	0	5646	1666	Spinta idrostatica	0	0	1.1E3	0	0	0
5647	1645	Acqua canale	0	0	-1.0E3	0	0	0	5648	1666	Acqua canale	0	0	-3.0E3	0	0	0
5649	1700	Spinta idrostatica	0	0	1.3E3	0	0	0	5650	1700	Acqua canale	0	0	-3.4E3	0	0	0
5651	1736	Spinta idrostatica	0	0	1.3E3	0	0	0	5652	1736	Acqua canale	0	0	-3.5E3	0	0	0
5653	1774	Spinta idrostatica	0	0	1.3E3	0	0	0	5654	1774	Acqua canale	0	0	-3.5E3	0	0	0
5655	1808	Spinta idrostatica	0	0	980.5	0	0	0	5656	1808	Acqua canale	0	0	-2635	0	0	0
5657	1827	Spinta idrostatica	0	0	452.8	0	0	0	5658	1827	Acqua canale	0	0	-1.2E3	0	0	0
5659	1646	Spinta idrostatica	0	0	430.8	0	0	0	5660	1683	Spinta idrostatica	0	0	965.1	0	0	0
5661	1646	Acqua canale	0	0	-1.2E3	0	0	0	5662	1683	Acqua canale	0	0	-2.6E3	0	0	0
5663	1717	Spinta idrostatica	0	0	1.2E3	0	0	0	5664	1717	Acqua canale	0	0	-3.3E3	0	0	0
5665	1737	Spinta idrostatica	0	0	1.2E3	0	0	0	5666	1737	Acqua canale	0	0	-3.4E3	0	0	0

Interventi di miglioramento della diga di Cepparello nel Comune di Poggibonsi (SI)

ET.09.4 – Tabulati di calcolo_Canali fugatori con fondazioni su pali

Indice	Nodo	Condizione	Fx	Fy	Fz	Mx	My	Mz	Indice	Nodo	Condizione	Fx	Fy	Fz	Mx	My	Mz
5667	1768	Spinta idrostatica	0	0	1.2E3	0	0	0	5668	1768	Acqua canale	0	0	-3.3E3	0	0	0
5669	1802	Spinta idrostatica	0	0	1.0E3	0	0	0	5670	1802	Acqua canale	0	0	-2.8E3	0	0	0
5671	1828	Spinta idrostatica	0	0	385.6	0	0	0	5672	1828	Acqua canale	0	0	-1.0E3	0	0	0
5673	1647	Spinta idrostatica	0	0	430.8	0	0	0	5674	1684	Spinta idrostatica	0	0	980.2	0	0	0
5675	1647	Acqua canale	0	0	-1.2E3	0	0	0	5676	1684	Acqua canale	0	0	-2.6E3	0	0	0
5677	1718	Spinta idrostatica	0	0	1.2E3	0	0	0	5678	1718	Acqua canale	0	0	-3.3E3	0	0	0
5679	1738	Spinta idrostatica	0	0	1.2E3	0	0	0	5680	1738	Acqua canale	0	0	-3.3E3	0	0	0
5681	1769	Spinta idrostatica	0	0	1.2E3	0	0	0	5682	1769	Acqua canale	0	0	-3.2E3	0	0	0
5683	1803	Spinta idrostatica	0	0	1.0E3	0	0	0	5684	1803	Acqua canale	0	0	-2.8E3	0	0	0
5685	1829	Spinta idrostatica	0	0	400.7	0	0	0	5686	1829	Acqua canale	0	0	-1.1E3	0	0	0
5687	1648	Spinta idrostatica	0	0	373	0	0	0	5688	1667	Spinta idrostatica	0	0	1.1E3	0	0	0
5689	1648	Acqua canale	0	0	-1.0E3	0	0	0	5690	1667	Acqua canale	0	0	-3.0E3	0	0	0
5691	1701	Spinta idrostatica	0	0	1.3E3	0	0	0	5692	1701	Acqua canale	0	0	-3.4E3	0	0	0
5693	1739	Spinta idrostatica	0	0	1.3E3	0	0	0	5694	1739	Acqua canale	0	0	-3.5E3	0	0	0
5695	1775	Spinta idrostatica	0	0	1.3E3	0	0	0	5696	1775	Acqua canale	0	0	-3.5E3	0	0	0
5697	1809	Spinta idrostatica	0	0	981.5	0	0	0	5698	1809	Acqua canale	0	0	-2.6E3	0	0	0
5699	1830	Spinta idrostatica	0	0	451.3	0	0	0	5700	1830	Acqua canale	0	0	-1.2E3	0	0	0
5701	1649	Spinta idrostatica	0	0	473.2	0	0	0	5702	1685	Spinta idrostatica	0	0	1.1E3	0	0	0
5703	1649	Acqua canale	0	0	-1.3E3	0	0	0	5704	1685	Acqua canale	0	0	-2.8E3	0	0	0
5705	1719	Spinta idrostatica	0	0	1.3E3	0	0	0	5706	1719	Acqua canale	0	0	-3.6E3	0	0	0
5707	1740	Spinta idrostatica	0	0	1.4E3	0	0	0	5708	1740	Acqua canale	0	0	-3682	0	0	0
5709	1770	Spinta idrostatica	0	0	1.3E3	0	0	0	5710	1770	Acqua canale	0	0	-3.6E3	0	0	0
5711	1804	Spinta idrostatica	0	0	1.1E3	0	0	0	5712	1804	Acqua canale	0	0	-3.1E3	0	0	0
5713	1831	Spinta idrostatica	0	0	423.6	0	0	0	5714	1831	Acqua canale	0	0	-1.1E3	0	0	0
5715	1650	Spinta idrostatica	0	0	473.2	0	0	0	5716	1686	Spinta idrostatica	0	0	1.1E3	0	0	0
5717	1650	Acqua canale	0	0	-1.3E3	0	0	0	5718	1686	Acqua canale	0	0	-2.9E3	0	0	0
5719	1720	Spinta idrostatica	0	0	1.3E3	0	0	0	5720	1720	Acqua canale	0	0	-3.6E3	0	0	0
5721	1741	Spinta idrostatica	0	0	1.4E3	0	0	0	5722	1741	Acqua canale	0	0	-3.7E3	0	0	0
5723	1771	Spinta idrostatica	0	0	1.3E3	0	0	0	5724	1771	Acqua canale	0	0	-3.6E3	0	0	0
5725	1805	Spinta idrostatica	0	0	1.1E3	0	0	0	5726	1805	Acqua canale	0	0	-3.0E3	0	0	0
5727	1832	Spinta idrostatica	0	0	440.1	0	0	0	5728	1832	Acqua canale	0	0	-1.2E3	0	0	0
5729	1652	Spinta idrostatica	0	0	195.2	0	0	0	5730	1669	Spinta idrostatica	0	0	591.1	0	0	0
5731	1652	Acqua canale	0	0	-5.2E2	0	0	0	5732	1669	Acqua canale	0	0	-1.6E3	0	0	0
5733	1703	Spinta idrostatica	0	0	664.6	0	0	0	5734	1703	Acqua canale	0	0	-1.8E3	0	0	0
5735	1743	Spinta idrostatica	0	0	687.7	0	0	0	5736	1743	Acqua canale	0	0	-1.8E3	0	0	0
5737	1777	Spinta idrostatica	0	0	681.9	0	0	0	5738	1777	Acqua canale	0	0	-1.8E3	0	0	0
5739	1811	Spinta idrostatica	0	0	507.9	0	0	0	5740	1811	Acqua canale	0	0	-1365	0	0	0
5741	1834	Spinta idrostatica	0	0	244.9	0	0	0	5742	1834	Acqua canale	0	0	-6.6E2	0	0	0
5743	1663	Spinta idrostatica	0	0	145.5	0	0	0	5744	1680	Spinta idrostatica	0	0	291.9	0	0	0
5745	1678	Spinta idrostatica	0	0	584.2	0	0	0	5746	1661	Spinta idrostatica	0	0	291.2	0	0	0
5747	1663	Acqua canale	0	0	-4.5E2	0	0	0	5748	1680	Acqua canale	0	0	-9.1E2	0	0	0
5749	1678	Acqua canale	0	0	-1.8E3	0	0	0	5750	1661	Acqua canale	0	0	-9.1E2	0	0	0
5751	1677	Spinta idrostatica	0	0	584.2	0	0	0	5752	1660	Spinta idrostatica	0	0	290.8	0	0	0
5753	1677	Acqua canale	0	0	-1.8E3	0	0	0	5754	1660	Acqua canale	0	0	-9.1E2	0	0	0
5755	1676	Spinta idrostatica	0	0	681.7	0	0	0	5756	1659	Spinta idrostatica	0	0	338.5	0	0	0
5757	1676	Acqua canale	0	0	-2.1E3	0	0	0	5758	1659	Acqua canale	0	0	-1.1E3	0	0	0
5759	1675	Spinta idrostatica	0	0	762.8	0	0	0	5760	1658	Spinta idrostatica	0	0	388	0	0	0
5761	1675	Acqua canale	0	0	-2.4E3	0	0	0	5762	1658	Acqua canale	0	0	-1.2E3	0	0	0
5763	1674	Spinta idrostatica	0	0	669.2	0	0	0	5764	1657	Spinta idrostatica	0	0	339	0	0	0
5765	1674	Acqua canale	0	0	-2.1E3	0	0	0	5766	1657	Acqua canale	0	0	-1.1E3	0	0	0
5767	1673	Spinta idrostatica	0	0	589.3	0	0	0	5768	1656	Spinta idrostatica	0	0	289.9	0	0	0
5769	1673	Acqua canale	0	0	-1.8E3	0	0	0	5770	1656	Acqua canale	0	0	-9.1E2	0	0	0
5771	1672	Spinta idrostatica	0	0	584.9	0	0	0	5772	1655	Spinta idrostatica	0	0	291.3	0	0	0
5773	1672	Acqua canale	0	0	-1.8E3	0	0	0	5774	1655	Acqua canale	0	0	-9.1E2	0	0	0
5775	1670	Spinta idrostatica	0	0	291.9	0	0	0	5776	1653	Spinta idrostatica	0	0	145.8	0	0	0
5777	1670	Acqua canale	0	0	-9.1E2	0	0	0	5778	1653	Acqua canale	0	0	-4.6E2	0	0	0
5779	1697	Spinta idrostatica	0	0	293.2	0	0	0	5780	1695	Spinta idrostatica	0	0	588.1	0	0	0
5781	1697	Acqua canale	0	0	-9.2E2	0	0	0	5782	1695	Acqua canale	0	0	-1.8E3	0	0	0

Interventi di miglioramento della diga di Cepparello nel Comune di Poggibonsi (SI)

ET.09.4 – Tabulati di calcolo_Canali fagatori con fondazioni su pali

Indice	Nodo	Condizione	Fx	Fy	Fz	Mx	My	Mz	Indice	Nodo	Condizione	Fx	Fy	Fz	Mx	My	Mz
5783	1694	Spinta idrostatica	0	0	595.9	0	0	0	5784	1694	Acqua canale	0	0	-1.9E3	0	0	0
5785	1693	Spinta idrostatica	0	0	658.1	0	0	0	5786	1693	Acqua canale	0	0	-2.1E3	0	0	0
5787	1692	Spinta idrostatica	0	0	752.9	0	0	0	5788	1692	Acqua canale	0	0	-2.4E3	0	0	0
5789	1691	Spinta idrostatica	0	0	687.7	0	0	0	5790	1691	Acqua canale	0	0	-2149	0	0	0
5791	1690	Spinta idrostatica	0	0	585.5	0	0	0	5792	1690	Acqua canale	0	0	-1.8E3	0	0	0
5793	1689	Spinta idrostatica	0	0	586.1	0	0	0	5794	1689	Acqua canale	0	0	-1.8E3	0	0	0
5795	1687	Spinta idrostatica	0	0	292.5	0	0	0	5796	1687	Acqua canale	0	0	-9.1E2	0	0	0
5797	1714	Spinta idrostatica	0	0	293.2	0	0	0	5798	1712	Spinta idrostatica	0	0	587.6	0	0	0
5799	1714	Acqua canale	0	0	-9.2E2	0	0	0	5800	1712	Acqua canale	0	0	-1.8E3	0	0	0
5801	1711	Spinta idrostatica	0	0	587.7	0	0	0	5802	1711	Acqua canale	0	0	-1.8E3	0	0	0
5803	1710	Spinta idrostatica	0	0	686.7	0	0	0	5804	1710	Acqua canale	0	0	-2.1E3	0	0	0
5805	1709	Spinta idrostatica	0	0	746.2	0	0	0	5806	1709	Acqua canale	0	0	-2.3E3	0	0	0
5807	1708	Spinta idrostatica	0	0	656.2	0	0	0	5808	1708	Acqua canale	0	0	-2.1E3	0	0	0
5809	1707	Spinta idrostatica	0	0	599.3	0	0	0	5810	1707	Acqua canale	0	0	-1.9E3	0	0	0
5811	1706	Spinta idrostatica	0	0	589.5	0	0	0	5812	1706	Acqua canale	0	0	-1.8E3	0	0	0
5813	1704	Spinta idrostatica	0	0	293.6	0	0	0	5814	1704	Acqua canale	0	0	-9.2E2	0	0	0
5815	1731	Spinta idrostatica	0	0	293.7	0	0	0	5816	1729	Spinta idrostatica	0	0	589.2	0	0	0
5817	1731	Acqua canale	0	0	-9.2E2	0	0	0	5818	1729	Acqua canale	0	0	-1.8E3	0	0	0
5819	1728	Spinta idrostatica	0	0	595.8	0	0	0	5820	1728	Acqua canale	0	0	-1862	0	0	0
5821	1727	Spinta idrostatica	0	0	656.6	0	0	0	5822	1727	Acqua canale	0	0	-2.1E3	0	0	0
5823	1726	Spinta idrostatica	0	0	752.8	0	0	0	5824	1726	Acqua canale	0	0	-2.4E3	0	0	0
5825	1725	Spinta idrostatica	0	0	686.9	0	0	0	5826	1725	Acqua canale	0	0	-2.1E3	0	0	0
5827	1724	Spinta idrostatica	0	0	584.5	0	0	0	5828	1724	Acqua canale	0	0	-1.8E3	0	0	0
5829	1723	Spinta idrostatica	0	0	587.3	0	0	0	5830	1723	Acqua canale	0	0	-1.8E3	0	0	0
5831	1721	Spinta idrostatica	0	0	293.2	0	0	0	5832	1721	Acqua canale	0	0	-9.2E2	0	0	0
5833	1754	Spinta idrostatica	0	0	293.4	0	0	0	5834	1752	Spinta idrostatica	0	0	587.9	0	0	0
5835	1754	Acqua canale	0	0	-9.2E2	0	0	0	5836	1752	Acqua canale	0	0	-1.8E3	0	0	0
5837	1751	Spinta idrostatica	0	0	587.6	0	0	0	5838	1751	Acqua canale	0	0	-1.8E3	0	0	0
5839	1750	Spinta idrostatica	0	0	686.4	0	0	0	5840	1750	Acqua canale	0	0	-2.1E3	0	0	0
5841	1749	Spinta idrostatica	0	0	746.1	0	0	0	5842	1749	Acqua canale	0	0	-2.3E3	0	0	0
5843	1748	Spinta idrostatica	0	0	656	0	0	0	5844	1748	Acqua canale	0	0	-2.0E3	0	0	0
5845	1747	Spinta idrostatica	0	0	599.1	0	0	0	5846	1747	Acqua canale	0	0	-1.9E3	0	0	0
5847	1746	Spinta idrostatica	0	0	589.8	0	0	0	5848	1746	Acqua canale	0	0	-1.8E3	0	0	0
5849	1744	Spinta idrostatica	0	0	293.8	0	0	0	5850	1744	Acqua canale	0	0	-9.2E2	0	0	0
5851	1765	Spinta idrostatica	0	0	293.7	0	0	0	5852	1763	Spinta idrostatica	0	0	589.2	0	0	0
5853	1765	Acqua canale	0	0	-9.2E2	0	0	0	5854	1763	Acqua canale	0	0	-1.8E3	0	0	0
5855	1762	Spinta idrostatica	0	0	595.8	0	0	0	5856	1762	Acqua canale	0	0	-1862	0	0	0
5857	1761	Spinta idrostatica	0	0	656.6	0	0	0	5858	1761	Acqua canale	0	0	-2.1E3	0	0	0
5859	1760	Spinta idrostatica	0	0	752.8	0	0	0	5860	1760	Acqua canale	0	0	-2.4E3	0	0	0
5861	1759	Spinta idrostatica	0	0	686.9	0	0	0	5862	1759	Acqua canale	0	0	-2.1E3	0	0	0
5863	1758	Spinta idrostatica	0	0	584.5	0	0	0	5864	1758	Acqua canale	0	0	-1.8E3	0	0	0
5865	1757	Spinta idrostatica	0	0	587.3	0	0	0	5866	1757	Acqua canale	0	0	-1.8E3	0	0	0
5867	1755	Spinta idrostatica	0	0	293.2	0	0	0	5868	1755	Acqua canale	0	0	-9.2E2	0	0	0
5869	1788	Spinta idrostatica	0	0	293.2	0	0	0	5870	1786	Spinta idrostatica	0	0	587.7	0	0	0
5871	1788	Acqua canale	0	0	-9.2E2	0	0	0	5872	1786	Acqua canale	0	0	-1.8E3	0	0	0
5873	1785	Spinta idrostatica	0	0	587.7	0	0	0	5874	1785	Acqua canale	0	0	-1.8E3	0	0	0
5875	1784	Spinta idrostatica	0	0	686.6	0	0	0	5876	1784	Acqua canale	0	0	-2.1E3	0	0	0
5877	1783	Spinta idrostatica	0	0	746.2	0	0	0	5878	1783	Acqua canale	0	0	-2.3E3	0	0	0
5879	1782	Spinta idrostatica	0	0	656.2	0	0	0	5880	1782	Acqua canale	0	0	-2.1E3	0	0	0
5881	1781	Spinta idrostatica	0	0	599.2	0	0	0	5882	1781	Acqua canale	0	0	-1.9E3	0	0	0
5883	1780	Spinta idrostatica	0	0	589.6	0	0	0	5884	1780	Acqua canale	0	0	-1.8E3	0	0	0
5885	1778	Spinta idrostatica	0	0	293.6	0	0	0	5886	1778	Acqua canale	0	0	-9.2E2	0	0	0
5887	1799	Spinta idrostatica	0	0	293.2	0	0	0	5888	1797	Spinta idrostatica	0	0	588.2	0	0	0
5889	1799	Acqua canale	0	0	-9.2E2	0	0	0	5890	1797	Acqua canale	0	0	-1.8E3	0	0	0

Interventi di miglioramento della diga di Cepparello nel Comune di Poggibonsi (SI)

ET.09.4 – Tabulati di calcolo_Canali fuggatori con fondazioni su pali

Indice	Nodo	Condizione	Fx	Fy	Fz	Mx	My	Mz	Indice	Nodo	Condizione	Fx	Fy	Fz	Mx	My	Mz
5891	1796	Spinta idrostatica	0	0	596.1	0	0	0	5892	1796	Acqua canale	0	0	-1.9E3	0	0	0
5893	1795	Spinta idrostatica	0	0	657.8	0	0	0	5894	1795	Acqua canale	0	0	-2.1E3	0	0	0
5895	1794	Spinta idrostatica	0	0	752.9	0	0	0	5896	1794	Acqua canale	0	0	-2.4E3	0	0	0
5897	1793	Spinta idrostatica	0	0	687.7	0	0	0	5898	1793	Acqua canale	0	0	-2149	0	0	0
5899	1792	Spinta idrostatica	0	0	585.2	0	0	0	5900	1792	Acqua canale	0	0	-1.8E3	0	0	0
5901	1791	Spinta idrostatica	0	0	586.3	0	0	0	5902	1791	Acqua canale	0	0	-1.8E3	0	0	0
5903	1789	Spinta idrostatica	0	0	292.7	0	0	0	5904	1789	Acqua canale	0	0	-9.1E2	0	0	0
5905	1822	Spinta idrostatica	0	0	291.9	0	0	0	5906	1820	Spinta idrostatica	0	0	584.5	0	0	0
5907	1822	Acqua canale	0	0	-9.1E2	0	0	0	5908	1820	Acqua canale	0	0	-1.8E3	0	0	0
5909	1819	Spinta idrostatica	0	0	584.9	0	0	0	5910	1819	Acqua canale	0	0	-1.8E3	0	0	0
5911	1818	Spinta idrostatica	0	0	683.9	0	0	0	5912	1818	Acqua canale	0	0	-2.1E3	0	0	0
5913	1817	Spinta idrostatica	0	0	759.5	0	0	0	5914	1817	Acqua canale	0	0	-2.4E3	0	0	0
5915	1816	Spinta idrostatica	0	0	665.9	0	0	0	5916	1816	Acqua canale	0	0	-2081	0	0	0
5917	1815	Spinta idrostatica	0	0	591.5	0	0	0	5918	1815	Acqua canale	0	0	-1.8E3	0	0	0
5919	1814	Spinta idrostatica	0	0	585.7	0	0	0	5920	1814	Acqua canale	0	0	-1.8E3	0	0	0
5921	1812	Spinta idrostatica	0	0	292.2	0	0	0	5922	1812	Acqua canale	0	0	-9.1E2	0	0	0
5923	1845	Spinta idrostatica	0	0	145.5	0	0	0	5924	1843	Spinta idrostatica	0	0	291.4	0	0	0
5925	1845	Acqua canale	0	0	-4.5E2	0	0	0	5926	1843	Acqua canale	0	0	-9.1E2	0	0	0
5927	1842	Spinta idrostatica	0	0	291	0	0	0	5928	1842	Acqua canale	0	0	-9.1E2	0	0	0
5929	1841	Spinta idrostatica	0	0	338.2	0	0	0	5930	1841	Acqua canale	0	0	-1.1E3	0	0	0
5931	1840	Spinta idrostatica	0	0	388	0	0	0	5932	1840	Acqua canale	0	0	-1.2E3	0	0	0
5933	1839	Spinta idrostatica	0	0	339	0	0	0	5934	1839	Acqua canale	0	0	-1.1E3	0	0	0
5935	1838	Spinta idrostatica	0	0	289.6	0	0	0	5936	1838	Acqua canale	0	0	-9.1E2	0	0	0
5937	1837	Spinta idrostatica	0	0	291.4	0	0	0	5938	1837	Acqua canale	0	0	-9.1E2	0	0	0
5939	1835	Spinta idrostatica	0	0	145.9	0	0	0	5940	1835	Acqua canale	0	0	-456	0	0	0
5941	1414	Acqua canale	-90	0	0	0	0	0	5942	1431	Acqua canale	-180	0	0	0	0	0
5943	1869	Acqua canale	-5.9E2	0	0	0	0	0	5944	1868	Acqua canale	-2.9E2	0	0	0	0	0
5945	1414	Pesi strutturali	73.4	0	0	0	0	0	5946	1431	Pesi strutturali	146.9	0	0	0	0	0
5947	1868	Pesi strutturali	100	0	0	0	0	0	5948	1869	Pesi strutturali	200	0	0	0	0	0
5949	1414	Variabile da traffico	62.8	0	-21.2	0	0	0	5950	1431	Variabile da traffico	125.5	0	-42.4	0	0	0
5951	1868	Variabile da traffico	125.5	0	-42.4	0	0	0	5952	1869	Variabile da traffico	251.1	0	-84.8	0	0	0
5953	1414	Terreno sisma X SLV	29	0	0	0	0	0	5954	1431	Terreno sisma X SLV	57.9	0	0	0	0	0
5955	1868	Terreno sisma X SLV	52	0	0	0	0	0	5956	1869	Terreno sisma X SLV	103.9	0	0	0	0	0
5957	1414	Terreno sisma X SLO	10.9	0	0	0	0	0	5958	1431	Terreno sisma X SLO	21.9	0	0	0	0	0
5959	1868	Terreno sisma X SLO	19.6	0	0	0	0	0	5960	1869	Terreno sisma X SLO	39.3	0	0	0	0	0
5961	1414	Terreno sisma X SLD	13	0	0	0	0	0	5962	1431	Terreno sisma X SLD	26.1	0	0	0	0	0
5963	1868	Terreno sisma X SLD	23.4	0	0	0	0	0	5964	1869	Terreno sisma X SLD	46.8	0	0	0	0	0
5965	2025	Acqua canale	-750	0	0	0	0	0	5966	2024	Acqua canale	-375	0	0	0	0	0
5967	2024	Pesi strutturali	37.5	0	0	0	0	0	5968	2025	Pesi strutturali	75	0	0	0	0	0
5969	2024	Variabile da traffico	125.5	0	-42.4	0	0	0	5970	2025	Variabile da traffico	251.1	0	-84.8	0	0	0
5971	2024	Terreno sisma X SLV	44	0	0	0	0	0	5972	2025	Terreno sisma X SLV	88.1	0	0	0	0	0
5973	2024	Terreno sisma X SLO	16.6	0	0	0	0	0	5974	2025	Terreno sisma X SLO	33.3	0	0	0	0	0
5975	2024	Terreno sisma X SLD	19.8	0	0	0	0	0	5976	2025	Terreno sisma X SLD	39.7	0	0	0	0	0
5977	2084	Acqua canale	-625	0	0	0	0	0	5978	2083	Acqua canale	-3.1E2	0	0	0	0	0
5979	2083	Pesi strutturali	0.3	0	0	0	0	0	5980	2084	Pesi strutturali	0.6	0	0	0	0	0
5981	2083	Variabile da traffico	12.6	0	-4.2	0	0	0	5982	2084	Variabile da traffico	25.1	0	-8.5	0	0	0
5983	2083	Terreno sisma X SLV	4	0	0	0	0	0	5984	2084	Terreno sisma X SLV	7.9	0	0	0	0	0
5985	2083	Terreno sisma X SLO	1.5	0	0	0	0	0	5986	2084	Terreno sisma X SLO	3	0	0	0	0	0
5987	2083	Terreno sisma X SLD	1.8	0	0	0	0	0	5988	2084	Terreno sisma X SLD	3.6	0	0	0	0	0
5989	2220	Acqua canale	-500	0	0	0	0	0	5990	2219	Acqua canale	-250	0	0	0	0	0
5991	2320	Acqua canale	-375	0	0	0	0	0	5992	2319	Acqua canale	-1.9E2	0	0	0	0	0
5993	2428	Acqua canale	-250	0	0	0	0	0	5994	2427	Acqua canale	-125	0	0	0	0	0
5995	2493	Acqua canale	-125	0	0	0	0	0	5996	2492	Acqua canale	-62.5	0	0	0	0	0
5997	2614	Acqua canale	-31.3	0	0	0	0	0	5998	2612	Acqua canale	-15.6	0	0	0	0	0
5999	1448	Acqua canale	-180	0	0	0	0	0	6000	1870	Acqua canale	-5.9E2	0	0	0	0	0
6001	1448	Pesi strutturali	146.9	0	0	0	0	0	6002	1870	Pesi strutturali	200	0	0	0	0	0
6003	1448	Variabile da traffico	125.5	0	-42.4	0	0	0	6004	1870	Variabile da traffico	251.1	0	-84.8	0	0	0

Interventi di miglioramento della diga di Cepparello nel Comune di Poggibonsi (SI)

ET.09.4 – Tabulati di calcolo_Canali fuggatori con fondazioni su pali

Indice	Nodo	Condizione	Fx	Fy	Fz	Mx	My	Mz	Indice	Nodo	Condizione	Fx	Fy	Fz	Mx	My	Mz
6005	1448	Terreno sisma X SLV	57.9	0	0	0	0	0	6006	1870	Terreno sisma X SLD	103.9	0	0	0	0	0
6007	1448	Terreno sisma X SLO	21.9	0	0	0	0	0	6008	1870	Terreno sisma X SLO	39.3	0	0	0	0	0
6009	1448	Terreno sisma X SLD	26.1	0	0	0	0	0	6010	1870	Terreno sisma X SLD	46.8	0	0	0	0	0
6011	2026	Acqua canale	-750	0	0	0	0	0	6012	2026	Pesi strutturali	75	0	0	0	0	0
6013	2026	Variabile da traffico	251.1	0	-84.8	0	0	0	6014	2026	Terreno sisma X SLV	88.1	0	0	0	0	0
6015	2026	Terreno sisma X SLO	33.3	0	0	0	0	0	6016	2026	Terreno sisma X SLD	39.7	0	0	0	0	0
6017	2085	Acqua canale	-625	0	0	0	0	0	6018	2085	Pesi strutturali	0.6	0	0	0	0	0
6019	2085	Variabile da traffico	25.1	0	-8.5	0	0	0	6020	2085	Terreno sisma X SLV	7.9	0	0	0	0	0
6021	2085	Terreno sisma X SLO	3	0	0	0	0	0	6022	2085	Terreno sisma X SLD	3.6	0	0	0	0	0
6023	2221	Acqua canale	-500	0	0	0	0	0	6024	2321	Acqua canale	-375	0	0	0	0	0
6025	2429	Acqua canale	-250	0	0	0	0	0	6026	2494	Acqua canale	-125	0	0	0	0	0
6027	2618	Acqua canale	-31.3	0	0	0	0	0	6028	1471	Acqua canale	-180	0	0	0	0	0
6029	1871	Acqua canale	-5.9E2	0	0	0	0	0	6030	1471	Pesi strutturali	146.9	0	0	0	0	0
6031	1871	Pesi strutturali	200	0	0	0	0	0	6032	1471	Variabile da traffico	125.5	0	-42.4	0	0	0
6033	1871	Variabile da traffico	251.1	0	-84.8	0	0	0	6034	1471	Terreno sisma X SLV	57.9	0	0	0	0	0
6035	1871	Terreno sisma X SLV	103.9	0	0	0	0	0	6036	1471	Terreno sisma X SLO	21.9	0	0	0	0	0
6037	1871	Terreno sisma X SLO	39.3	0	0	0	0	0	6038	1471	Terreno sisma X SLD	26.1	0	0	0	0	0
6039	1871	Terreno sisma X SLD	46.8	0	0	0	0	0	6040	2027	Acqua canale	-750	0	0	0	0	0
6041	2027	Pesi strutturali	75	0	0	0	0	0	6042	2027	Variabile da traffico	251.1	0	-84.8	0	0	0
6043	2027	Terreno sisma X SLV	88.1	0	0	0	0	0	6044	2027	Terreno sisma X SLO	33.3	0	0	0	0	0
6045	2027	Terreno sisma X SLD	39.7	0	0	0	0	0	6046	2086	Acqua canale	-625	0	0	0	0	0
6047	2086	Pesi strutturali	0.6	0	0	0	0	0	6048	2086	Variabile da traffico	25.1	0	-8.5	0	0	0
6049	2086	Terreno sisma X SLV	7.9	0	0	0	0	0	6050	2086	Terreno sisma X SLO	3	0	0	0	0	0
6051	2086	Terreno sisma X SLD	3.6	0	0	0	0	0	6052	2222	Acqua canale	-500	0	0	0	0	0
6053	2322	Acqua canale	-375	0	0	0	0	0	6054	2430	Acqua canale	-250	0	0	0	0	0
6055	2495	Acqua canale	-125	0	0	0	0	0	6056	2621	Acqua canale	-31.3	0	0	0	0	0
6057	1488	Acqua canale	-180	0	0	0	0	0	6058	1872	Acqua canale	-5.9E2	0	0	0	0	0
6059	1488	Pesi strutturali	146.9	0	0	0	0	0	6060	1872	Pesi strutturali	200	0	0	0	0	0
6061	1488	Variabile da traffico	125.5	0	-42.4	0	0	0	6062	1872	Variabile da traffico	251.1	0	-84.8	0	0	0
6063	1488	Terreno sisma X SLV	57.9	0	0	0	0	0	6064	1872	Terreno sisma X SLV	103.9	0	0	0	0	0
6065	1488	Terreno sisma X SLO	21.9	0	0	0	0	0	6066	1872	Terreno sisma X SLO	39.3	0	0	0	0	0
6067	1488	Terreno sisma X SLD	26.1	0	0	0	0	0	6068	1872	Terreno sisma X SLD	46.8	0	0	0	0	0
6069	2028	Acqua canale	-750	0	0	0	0	0	6070	2028	Pesi strutturali	75	0	0	0	0	0
6071	2028	Variabile da traffico	251.1	0	-84.8	0	0	0	6072	2028	Terreno sisma X SLV	88.1	0	0	0	0	0
6073	2028	Terreno sisma X SLO	33.3	0	0	0	0	0	6074	2028	Terreno sisma X SLD	39.7	0	0	0	0	0
6075	2087	Acqua canale	-625	0	0	0	0	0	6076	2087	Pesi strutturali	0.6	0	0	0	0	0
6077	2087	Variabile da traffico	25.1	0	-8.5	0	0	0	6078	2087	Terreno sisma X SLV	7.9	0	0	0	0	0
6079	2087	Terreno sisma X SLO	3	0	0	0	0	0	6080	2087	Terreno sisma X SLD	3.6	0	0	0	0	0
6081	2223	Acqua canale	-500	0	0	0	0	0	6082	2323	Acqua canale	-375	0	0	0	0	0
6083	2431	Acqua canale	-250	0	0	0	0	0	6084	2496	Acqua canale	-125	0	0	0	0	0
6085	2623	Acqua canale	-31.3	0	0	0	0	0	6086	1505	Acqua canale	-180	0	0	0	0	0
6087	1873	Acqua canale	-5.9E2	0	0	0	0	0	6088	1505	Pesi strutturali	146.9	0	0	0	0	0
6089	1873	Pesi strutturali	200	0	0	0	0	0	6090	1505	Variabile da traffico	125.5	0	-42.4	0	0	0
6091	1873	Variabile da traffico	251.1	0	-84.8	0	0	0	6092	1505	Terreno sisma X SLV	57.9	0	0	0	0	0
6093	1873	Terreno sisma X SLV	103.9	0	0	0	0	0	6094	1505	Terreno sisma X SLO	21.9	0	0	0	0	0
6095	1873	Terreno sisma X SLO	39.3	0	0	0	0	0	6096	1505	Terreno sisma X SLD	26.1	0	0	0	0	0
6097	1873	Terreno sisma X SLD	46.8	0	0	0	0	0	6098	2029	Acqua canale	-750	0	0	0	0	0
6099	2029	Pesi strutturali	75	0	0	0	0	0	6100	2029	Variabile da traffico	251.1	0	-84.8	0	0	0
6101	2029	Terreno sisma X SLV	88.1	0	0	0	0	0	6102	2029	Terreno sisma X SLO	33.3	0	0	0	0	0
6103	2029	Terreno sisma X SLD	39.7	0	0	0	0	0	6104	2088	Acqua canale	-625	0	0	0	0	0
6105	2088	Pesi strutturali	0.6	0	0	0	0	0	6106	2088	Variabile da traffico	25.1	0	-8.5	0	0	0
6107	2088	Terreno sisma X SLV	7.9	0	0	0	0	0	6108	2088	Terreno sisma X SLO	3	0	0	0	0	0
6109	2088	Terreno sisma X SLD	3.6	0	0	0	0	0	6110	2224	Acqua canale	-500	0	0	0	0	0
6111	2324	Acqua canale	-375	0	0	0	0	0	6112	2432	Acqua canale	-250	0	0	0	0	0
6113	2497	Acqua canale	-125	0	0	0	0	0	6114	2627	Acqua canale	-31.3	0	0	0	0	0
6115	1528	Acqua canale	-180	0	0	0	0	0	6116	1874	Acqua canale	-5.9E2	0	0	0	0	0
6117	1528	Pesi strutturali	146.9	0	0	0	0	0	6118	1874	Pesi strutturali	200	0	0	0	0	0

Interventi di miglioramento della diga di Cepparello nel Comune di Poggibonsi (SI)

ET.09.4 – Tabulati di calcolo_Canali fagatori con fondazioni su pali

Indice	Nodo	Condizione	Fx	Fy	Fz	Mx	My	Mz	Indice	Nodo	Condizione	Fx	Fy	Fz	Mx	My	Mz
6119	1528	Variabile da traffico	125.5	0	-42.4	0	0	0	6120	1874	Variabile da traffico	251.1	0	-84.8	0	0	0
6121	1528	Terreno sisma X SLV	57.9	0	0	0	0	0	6122	1874	Terreno sisma X SLV	103.9	0	0	0	0	0
6123	1528	Terreno sisma X SLO	21.9	0	0	0	0	0	6124	1874	Terreno sisma X SLO	39.3	0	0	0	0	0
6125	1528	Terreno sisma X SLD	26.1	0	0	0	0	0	6126	1874	Terreno sisma X SLD	46.8	0	0	0	0	0
6127	2030	Acqua canale	-750	0	0	0	0	0	6128	2030	Pesi strutturali	75	0	0	0	0	0
6129	2030	Variabile da traffico	251.1	0	-84.8	0	0	0	6130	2030	Terreno sisma X SLV	88.1	0	0	0	0	0
6131	2030	Terreno sisma X SLO	33.3	0	0	0	0	0	6132	2030	Terreno sisma X SLD	39.7	0	0	0	0	0
6133	2089	Acqua canale	-625	0	0	0	0	0	6134	2089	Pesi strutturali	0.6	0	0	0	0	0
6135	2089	Variabile da traffico	25.1	0	-8.5	0	0	0	6136	2089	Terreno sisma X SLV	7.9	0	0	0	0	0
6137	2089	Terreno sisma X SLO	3	0	0	0	0	0	6138	2089	Terreno sisma X SLD	3.6	0	0	0	0	0
6139	2225	Acqua canale	-500	0	0	0	0	0	6140	2325	Acqua canale	-375	0	0	0	0	0
6141	2433	Acqua canale	-250	0	0	0	0	0	6142	2498	Acqua canale	-125	0	0	0	0	0
6143	2630	Acqua canale	-31.3	0	0	0	0	0	6144	1551	Acqua canale	-180	0	0	0	0	0
6145	1875	Acqua canale	-5.9E2	0	0	0	0	0	6146	1551	Pesi strutturali	146.9	0	0	0	0	0
6147	1875	Pesi strutturali	200	0	0	0	0	0	6148	1551	Variabile da traffico	125.5	0	-42.4	0	0	0
6149	1875	Variabile da traffico	251.1	0	-84.8	0	0	0	6150	1551	Terreno sisma X SLV	57.9	0	0	0	0	0
6151	1875	Terreno sisma X SLV	103.9	0	0	0	0	0	6152	1551	Terreno sisma X SLO	21.9	0	0	0	0	0
6153	1875	Terreno sisma X SLO	39.3	0	0	0	0	0	6154	1551	Terreno sisma X SLD	26.1	0	0	0	0	0
6155	1875	Terreno sisma X SLD	46.8	0	0	0	0	0	6156	2031	Acqua canale	-750	0	0	0	0	0
6157	2031	Pesi strutturali	75	0	0	0	0	0	6158	2031	Variabile da traffico	251.1	0	-84.8	0	0	0
6159	2031	Terreno sisma X SLV	88.1	0	0	0	0	0	6160	2031	Terreno sisma X SLO	33.3	0	0	0	0	0
6161	2031	Terreno sisma X SLD	39.7	0	0	0	0	0	6162	2090	Acqua canale	-625	0	0	0	0	0
6163	2090	Pesi strutturali	0.6	0	0	0	0	0	6164	2090	Variabile da traffico	25.1	0	-8.5	0	0	0
6165	2090	Terreno sisma X SLV	7.9	0	0	0	0	0	6166	2090	Terreno sisma X SLO	3	0	0	0	0	0
6167	2090	Terreno sisma X SLD	3.6	0	0	0	0	0	6168	2226	Acqua canale	-500	0	0	0	0	0
6169	2326	Acqua canale	-375	0	0	0	0	0	6170	2434	Acqua canale	-250	0	0	0	0	0
6171	2499	Acqua canale	-125	0	0	0	0	0	6172	2634	Acqua canale	-31.3	0	0	0	0	0
6173	1562	Acqua canale	-180	0	0	0	0	0	6174	1876	Acqua canale	-5.9E2	0	0	0	0	0
6175	1562	Pesi strutturali	146.9	0	0	0	0	0	6176	1876	Pesi strutturali	200	0	0	0	0	0
6177	1562	Variabile da traffico	125.5	0	-42.4	0	0	0	6178	1876	Variabile da traffico	251.1	0	-84.8	0	0	0
6179	1562	Terreno sisma X SLV	57.9	0	0	0	0	0	6180	1876	Terreno sisma X SLV	103.9	0	0	0	0	0
6181	1562	Terreno sisma X SLO	21.9	0	0	0	0	0	6182	1876	Terreno sisma X SLO	39.3	0	0	0	0	0
6183	1562	Terreno sisma X SLD	26.1	0	0	0	0	0	6184	1876	Terreno sisma X SLD	46.8	0	0	0	0	0
6185	2032	Acqua canale	-750	0	0	0	0	0	6186	2032	Pesi strutturali	75	0	0	0	0	0
6187	2032	Variabile da traffico	251.1	0	-84.8	0	0	0	6188	2032	Terreno sisma X SLV	88.1	0	0	0	0	0
6189	2032	Terreno sisma X SLO	33.3	0	0	0	0	0	6190	2032	Terreno sisma X SLD	39.7	0	0	0	0	0
6191	2091	Acqua canale	-625	0	0	0	0	0	6192	2091	Pesi strutturali	0.6	0	0	0	0	0
6193	2091	Variabile da traffico	25.1	0	-8.5	0	0	0	6194	2091	Terreno sisma X SLV	7.9	0	0	0	0	0
6195	2091	Terreno sisma X SLO	3	0	0	0	0	0	6196	2091	Terreno sisma X SLD	3.6	0	0	0	0	0
6197	2227	Acqua canale	-500	0	0	0	0	0	6198	2327	Acqua canale	-375	0	0	0	0	0
6199	2435	Acqua canale	-250	0	0	0	0	0	6200	2500	Acqua canale	-125	0	0	0	0	0
6201	2636	Acqua canale	-31.3	0	0	0	0	0	6202	1585	Acqua canale	-180	0	0	0	0	0
6203	1877	Acqua canale	-5.9E2	0	0	0	0	0	6204	1585	Pesi strutturali	146.9	0	0	0	0	0
6205	1877	Pesi strutturali	200	0	0	0	0	0	6206	1585	Variabile da traffico	125.5	0	-42.4	0	0	0
6207	1877	Variabile da traffico	251.1	0	-84.8	0	0	0	6208	1585	Terreno sisma X SLV	57.9	0	0	0	0	0
6209	1877	Terreno sisma X SLV	103.9	0	0	0	0	0	6210	1585	Terreno sisma X SLO	21.9	0	0	0	0	0
6211	1877	Terreno sisma X SLO	39.3	0	0	0	0	0	6212	1585	Terreno sisma X SLD	26.1	0	0	0	0	0
6213	1877	Terreno sisma X SLD	46.8	0	0	0	0	0	6214	2033	Acqua canale	-750	0	0	0	0	0
6215	2033	Pesi strutturali	75	0	0	0	0	0	6216	2033	Variabile da traffico	251.1	0	-84.8	0	0	0
6217	2033	Terreno sisma X SLV	88.1	0	0	0	0	0	6218	2033	Terreno sisma X SLO	33.3	0	0	0	0	0
6219	2033	Terreno sisma X SLD	39.7	0	0	0	0	0	6220	2092	Acqua canale	-625	0	0	0	0	0
6221	2092	Pesi strutturali	0.6	0	0	0	0	0	6222	2092	Variabile da traffico	25.1	0	-8.5	0	0	0
6223	2092	Terreno sisma X SLV	7.9	0	0	0	0	0	6224	2092	Terreno sisma X SLO	3	0	0	0	0	0
6225	2092	Terreno sisma X SLD	3.6	0	0	0	0	0	6226	2228	Acqua canale	-500	0	0	0	0	0
6227	2328	Acqua canale	-375	0	0	0	0	0	6228	2436	Acqua canale	-250	0	0	0	0	0
6229	2501	Acqua canale	-125	0	0	0	0	0	6230	2639	Acqua canale	-31.3	0	0	0	0	0
6231	1608	Acqua canale	-180	0	0	0	0	0	6232	1878	Acqua canale	-5.9E2	0	0	0	0	0

Interventi di miglioramento della diga di Cepparello nel Comune di Poggibonsi (SI)

ET.09.4 – Tabulati di calcolo_Canali fuggatori con fondazioni su pali

Indice	Nodo	Condizione	Fx	Fy	Fz	Mx	My	Mz	Indice	Nodo	Condizione	Fx	Fy	Fz	Mx	My	Mz
6233	1608	Pesi strutturali	146.9	0	0	0	0	0	6234	1878	Pesi strutturali	200	0	0	0	0	0
6235	1608	Variabile da traffico	125.5	0	-42.4	0	0	0	6236	1878	Variabile da traffico	251.1	0	-84.8	0	0	0
6237	1608	Terreno sisma X SLV	57.9	0	0	0	0	0	6238	1878	Terreno sisma X SLV	103.9	0	0	0	0	0
6239	1608	Terreno sisma X SLO	21.9	0	0	0	0	0	6240	1878	Terreno sisma X SLO	39.3	0	0	0	0	0
6241	1608	Terreno sisma X SLD	26.1	0	0	0	0	0	6242	1878	Terreno sisma X SLD	46.8	0	0	0	0	0
6243	2034	Acqua canale	-750	0	0	0	0	0	6244	2034	Pesi strutturali	75	0	0	0	0	0
6245	2034	Variabile da traffico	251.1	0	-84.8	0	0	0	6246	2034	Terreno sisma X SLV	88.1	0	0	0	0	0
6247	2034	Terreno sisma X SLO	33.3	0	0	0	0	0	6248	2034	Terreno sisma X SLD	39.7	0	0	0	0	0
6249	2093	Acqua canale	-625	0	0	0	0	0	6250	2093	Pesi strutturali	0.6	0	0	0	0	0
6251	2093	Variabile da traffico	25.1	0	-8.5	0	0	0	6252	2093	Terreno sisma X SLV	7.9	0	0	0	0	0
6253	2093	Terreno sisma X SLO	3	0	0	0	0	0	6254	2093	Terreno sisma X SLD	3.6	0	0	0	0	0
6255	2229	Acqua canale	-500	0	0	0	0	0	6256	2329	Acqua canale	-375	0	0	0	0	0
6257	2437	Acqua canale	-250	0	0	0	0	0	6258	2502	Acqua canale	-125	0	0	0	0	0
6259	2643	Acqua canale	-31.3	0	0	0	0	0	6260	1631	Acqua canale	-90	0	0	0	0	0
6261	1879	Acqua canale	-2.9E2	0	0	0	0	0	6262	1631	Pesi strutturali	73.4	0	0	0	0	0
6263	1879	Pesi strutturali	100	0	0	0	0	0	6264	1631	Variabile da traffico	62.8	0	-21.2	0	0	0
6265	1879	Variabile da traffico	125.5	0	-42.4	0	0	0	6266	1631	Terreno sisma X SLV	29	0	0	0	0	0
6267	1879	Terreno sisma X SLV	52	0	0	0	0	0	6268	1631	Terreno sisma X SLO	10.9	0	0	0	0	0
6269	1879	Terreno sisma X SLO	19.6	0	0	0	0	0	6270	1631	Terreno sisma X SLD	13	0	0	0	0	0
6271	1879	Terreno sisma X SLD	23.4	0	0	0	0	0	6272	2035	Acqua canale	-375	0	0	0	0	0
6273	2035	Pesi strutturali	37.5	0	0	0	0	0	6274	2035	Variabile da traffico	125.5	0	-42.4	0	0	0
6275	2035	Terreno sisma X SLV	44	0	0	0	0	0	6276	2035	Terreno sisma X SLO	16.6	0	0	0	0	0
6277	2035	Terreno sisma X SLD	19.8	0	0	0	0	0	6278	2094	Acqua canale	-3.1E2	0	0	0	0	0
6279	2094	Pesi strutturali	0.3	0	0	0	0	0	6280	2094	Variabile da traffico	12.6	0	-4.2	0	0	0
6281	2094	Terreno sisma X SLV	4	0	0	0	0	0	6282	2094	Terreno sisma X SLO	1.5	0	0	0	0	0
6283	2094	Terreno sisma X SLD	1.8	0	0	0	0	0	6284	2230	Acqua canale	-250	0	0	0	0	0
6285	2330	Acqua canale	-1.9E2	0	0	0	0	0	6286	2438	Acqua canale	-125	0	0	0	0	0
6287	2503	Acqua canale	-62.5	0	0	0	0	0	6288	2646	Acqua canale	-15.6	0	0	0	0	0
6289	2095	Acqua canale	932.4	0	0	0	0	0	6290	2251	Acqua canale	738.3	0	0	0	0	0
6291	2240	Acqua canale	1.5E3	0	0	0	0	0	6292	2069	Acqua canale	1.8E3	0	0	0	0	0
6293	2095	Pesi strutturali	-6.7E2	0	-2.2E2	0	0	0	6294	2251	Pesi strutturali	-4.8E2	0	-1.6E2	0	0	0
6295	2069	Pesi strutturali	-1.5E3	0	-5.0E2	0	0	0	6296	2240	Pesi strutturali	-9.7E2	0	-3.3E2	0	0	0
6297	2095	Variabile da traffico	-2.4E2	0	-82	0	0	0	6298	2251	Variabile da traffico	-2.4E2	0	-81	0	0	0
6299	2069	Variabile da traffico	-5.2E2	0	-1.8E2	0	0	0	6300	2240	Variabile da traffico	-4.8E2	0	-1.6E2	0	0	0
6301	2095	Terreno sisma X SLV	417.3	0	0	0	0	0	6302	2251	Terreno sisma X SLV	408.3	0	0	0	0	0
6303	2069	Terreno sisma X SLV	904	0	0	0	0	0	6304	2240	Terreno sisma X SLV	812.4	0	0	0	0	0
6305	2095	Terreno sisma X SLO	157.6	0	0	0	0	0	6306	2251	Terreno sisma X SLO	154.2	0	0	0	0	0
6307	2069	Terreno sisma X SLO	341.5	0	0	0	0	0	6308	2240	Terreno sisma X SLO	306.9	0	0	0	0	0
6309	2095	Terreno sisma X SLD	188	0	0	0	0	0	6310	2251	Terreno sisma X SLD	183.9	0	0	0	0	0
6311	2069	Terreno sisma X SLD	407.2	0	0	0	0	0	6312	2240	Terreno sisma X SLD	366	0	0	0	0	0
6313	2439	Acqua canale	550.4	0	0	0	0	0	6314	2412	Acqua canale	1.1E3	0	0	0	0	0
6315	2439	Pesi strutturali	-2.9E2	0	-98.5	0	0	0	6316	2412	Pesi strutturali	-5.7E2	0	-1.9E2	0	0	0
6317	2439	Variabile da traffico	-2.4E2	0	-81	0	0	0	6318	2412	Variabile da traffico	-4.5E2	0	-1.5E2	0	0	0
6319	2439	Terreno sisma X SLV	408.1	0	0	0	0	0	6320	2412	Terreno sisma X SLV	763.2	0	0	0	0	0
6321	2439	Terreno sisma X SLO	154.2	0	0	0	0	0	6322	2412	Terreno sisma X SLO	288.3	0	0	0	0	0
6323	2439	Terreno sisma X SLD	183.9	0	0	0	0	0	6324	2412	Terreno sisma X SLD	343.8	0	0	0	0	0
6325	2583	Acqua canale	413.3	0	0	0	0	0	6326	2582	Acqua canale	744.4	0	0	0	0	0
6327	2583	Pesi strutturali	-122	0	-41.2	0	0	0	6328	2582	Pesi strutturali	-2.5E2	0	-83.6	0	0	0
6329	2583	Variabile da traffico	-2.7E2	0	-91.3	0	0	0	6330	2582	Variabile da traffico	-4.7E2	0	-1.6E2	0	0	0
6331	2583	Terreno sisma X SLV	460	0	0	0	0	0	6332	2582	Terreno sisma X SLV	808.4	0	0	0	0	0
6333	2583	Terreno sisma X SLO	173.8	0	0	0	0	0	6334	2582	Terreno sisma X SLO	305.4	0	0	0	0	0
6335	2583	Terreno sisma X SLD	207.2	0	0	0	0	0	6336	2582	Terreno sisma X SLD	364.2	0	0	0	0	0
6337	2666	Acqua canale	263.4	0	0	0	0	0	6338	2665	Acqua canale	458.2	0	0	0	0	0
6339	2666	Pesi strutturali	-1.5	0	-0.5	0	0	0	6340	2665	Pesi strutturali	-9.8	0	-3.3	0	0	0
6341	2666	Variabile da traffico	-3.3E2	0	-1.1E2	0	0	0	6342	2665	Variabile da traffico	-7.0E2	0	-2.4E2	0	0	0
6343	2666	Terreno sisma X SLV	568.4	0	0	0	0	0	6344	2665	Terreno sisma X SLV	1.2E3	0	0	0	0	0

Interventi di miglioramento della diga di Cepparello nel Comune di Poggibonsi (SI)

ET.09.4 – Tabulati di calcolo_Canali fuggatori con fondazioni su pali

Indice	Nodo	Condizione	Fx	Fy	Fz	Mx	My	Mz	Indice	Nodo	Condizione	Fx	Fy	Fz	Mx	My	Mz
6345	2666	Terreno sisma X SLO	214.7	0	0	0	0	0	6346	2665	Terreno sisma X SLO	452.3	0	0	0	0	0
6347	2666	Terreno sisma X SLD	256.1	0	0	0	0	0	6348	2665	Terreno sisma X SLD	539.4	0	0	0	0	0
6349	2697	Acqua canale	66.7	0	0	0	0	0	6350	2699	Acqua canale	130.3	0	0	0	0	0
6351	2697	Variabile da traffico	-1.7E2	0	-55.8	0	0	0	6352	2699	Variabile da traffico	-3.4E2	0	-1.1E2	0	0	0
6353	2697	Terreno sisma X SLV	281.3	0	0	0	0	0	6354	2699	Terreno sisma X SLV	574.7	0	0	0	0	0
6355	2697	Terreno sisma X SLO	106.3	0	0	0	0	0	6356	2699	Terreno sisma X SLO	217.1	0	0	0	0	0
6357	2697	Terreno sisma X SLD	126.7	0	0	0	0	0	6358	2699	Terreno sisma X SLD	258.9	0	0	0	0	0
6359	2702	Acqua canale	95.3	0	0	0	0	0	6360	2683	Acqua canale	286	0	0	0	0	0
6361	2702	Variabile da traffico	-2.8E2	0	-94.6	0	0	0	6362	2683	Variabile da traffico	-4.8E2	0	-1.6E2	0	0	0
6363	2702	Terreno sisma X SLV	476.5	0	0	0	0	0	6364	2683	Terreno sisma X SLV	814.6	0	0	0	0	0
6365	2702	Terreno sisma X SLO	180	0	0	0	0	0	6366	2683	Terreno sisma X SLO	307.7	0	0	0	0	0
6367	2702	Terreno sisma X SLD	214.7	0	0	0	0	0	6368	2683	Terreno sisma X SLD	367	0	0	0	0	0
6369	2705	Acqua canale	81.2	0	0	0	0	0	6370	2684	Acqua canale	260	0	0	0	0	0
6371	2705	Variabile da traffico	-2.6E2	0	-87.4	0	0	0	6372	2684	Variabile da traffico	-4.5E2	0	-1.5E2	0	0	0
6373	2705	Terreno sisma X SLV	440.5	0	0	0	0	0	6374	2684	Terreno sisma X SLV	770.4	0	0	0	0	0
6375	2705	Terreno sisma X SLO	166.4	0	0	0	0	0	6376	2684	Terreno sisma X SLO	291	0	0	0	0	0
6377	2705	Terreno sisma X SLD	198.4	0	0	0	0	0	6378	2684	Terreno sisma X SLD	347	0	0	0	0	0
6379	2707	Acqua canale	100.1	0	0	0	0	0	6380	2682	Acqua canale	292.9	0	0	0	0	0
6381	2707	Variabile da traffico	-2.8E2	0	-95.8	0	0	0	6382	2682	Variabile da traffico	-4.8E2	0	-1.6E2	0	0	0
6383	2707	Terreno sisma X SLV	482.5	0	0	0	0	0	6384	2682	Terreno sisma X SLV	810.5	0	0	0	0	0
6385	2707	Terreno sisma X SLO	182.3	0	0	0	0	0	6386	2682	Terreno sisma X SLO	306.2	0	0	0	0	0
6387	2707	Terreno sisma X SLD	217.3	0	0	0	0	0	6388	2682	Terreno sisma X SLD	365.1	0	0	0	0	0
6389	2710	Acqua canale	141.7	0	0	0	0	0	6390	2664	Acqua canale	472.7	0	0	0	0	0
6391	2710	Variabile da traffico	-3.5E2	0	-1.2E2	0	0	0	6392	2664	Variabile da traffico	-7.0E2	0	-2.4E2	0	0	0
6393	2710	Terreno sisma X SLV	590.4	0	0	0	0	0	6394	2664	Terreno sisma X SLV	1196	0	0	0	0	0
6395	2710	Terreno sisma X SLO	223	0	0	0	0	0	6396	2664	Terreno sisma X SLO	451.8	0	0	0	0	0
6397	2710	Terreno sisma X SLD	266	0	0	0	0	0	6398	2664	Terreno sisma X SLD	538.8	0	0	0	0	0
6399	2713	Acqua canale	69.1	0	0	0	0	0	6400	2667	Acqua canale	259.7	0	0	0	0	0
6401	2713	Variabile da traffico	-1.7E2	0	-56.5	0	0	0	6402	2667	Variabile da traffico	-338	0	-1.1E2	0	0	0
6403	2713	Terreno sisma X SLV	284.7	0	0	0	0	0	6404	2667	Terreno sisma X SLV	575.4	0	0	0	0	0
6405	2713	Terreno sisma X SLO	107.6	0	0	0	0	0	6406	2667	Terreno sisma X SLO	217.4	0	0	0	0	0
6407	2713	Terreno sisma X SLD	128.3	0	0	0	0	0	6408	2667	Terreno sisma X SLD	259.2	0	0	0	0	0
6409	2584	Acqua canale	406.8	0	0	0	0	0	6410	2581	Acqua canale	759.8	0	0	0	0	0
6411	2667	Pesi strutturali	-1.7	0	-0.6	0	0	0	6412	2584	Pesi strutturali	-1.2E2	0	-41.5	0	0	0
6413	2664	Pesi strutturali	-11.6	0	-3.9	0	0	0	6414	2581	Pesi strutturali	-2.5E2	0	-84.3	0	0	0
6415	2584	Variabile da traffico	-2.7E2	0	-91.3	0	0	0	6416	2581	Variabile da traffico	-4.7E2	0	-158	0	0	0
6417	2584	Terreno sisma X SLV	460.2	0	0	0	0	0	6418	2581	Terreno sisma X SLV	795.9	0	0	0	0	0
6419	2584	Terreno sisma X SLO	173.8	0	0	0	0	0	6420	2581	Terreno sisma X SLO	300.7	0	0	0	0	0
6421	2584	Terreno sisma X SLD	207.3	0	0	0	0	0	6422	2581	Terreno sisma X SLD	358.5	0	0	0	0	0
6423	2440	Acqua canale	550.2	0	0	0	0	0	6424	2411	Acqua canale	1.0E3	0	0	0	0	0
6425	2440	Pesi strutturali	-2.9E2	0	-99	0	0	0	6426	2411	Pesi strutturali	-5.7E2	0	-1.9E2	0	0	0
6427	2440	Variabile da traffico	-2.4E2	0	-81.3	0	0	0	6428	2411	Variabile da traffico	-4.5E2	0	-1.5E2	0	0	0
6429	2440	Terreno sisma X SLV	409.6	0	0	0	0	0	6430	2411	Terreno sisma X SLV	761.3	0	0	0	0	0
6431	2440	Terreno sisma X SLO	154.7	0	0	0	0	0	6432	2411	Terreno sisma X SLO	287.6	0	0	0	0	0
6433	2440	Terreno sisma X SLD	184.5	0	0	0	0	0	6434	2411	Terreno sisma X SLD	343	0	0	0	0	0
6435	2252	Acqua canale	753.3	0	0	0	0	0	6436	2239	Acqua canale	1.5E3	0	0	0	0	0
6437	2252	Pesi strutturali	-483	0	-1.6E2	0	0	0	6438	2239	Pesi strutturali	-9.8E2	0	-3.3E2	0	0	0
6439	2252	Variabile da traffico	-2.4E2	0	-82.2	0	0	0	6440	2239	Variabile da traffico	-4.8E2	0	-1.6E2	0	0	0
6441	2252	Terreno sisma X SLV	414	0	0	0	0	0	6442	2239	Terreno sisma X SLV	817.9	0	0	0	0	0
6443	2252	Terreno sisma X SLO	156.4	0	0	0	0	0	6444	2239	Terreno sisma X SLO	309	0	0	0	0	0
6445	2252	Terreno sisma X SLD	186.5	0	0	0	0	0	6446	2239	Terreno sisma X SLD	368.5	0	0	0	0	0
6447	2096	Acqua canale	952.6	0	0	0	0	0	6448	2068	Acqua canale	1.8E3	0	0	0	0	0
6449	2096	Pesi strutturali	-6.9E2	0	-2.3E2	0	0	0	6450	2068	Pesi strutturali	-1.5E3	0	-5.1E2	0	0	0
6451	2096	Variabile da traffico	-250	0	-84.5	0	0	0	6452	2068	Variabile da traffico	-532	0	-1.8E2	0	0	0
6453	2096	Terreno sisma X SLV	430	0	0	0	0	0	6454	2068	Terreno sisma X SLV	920.8	0	0	0	0	0
6455	2096	Terreno sisma X SLO	162.4	0	0	0	0	0	6456	2068	Terreno sisma X SLO	347.8	0	0	0	0	0

Interventi di miglioramento della diga di Cepparello nel Comune di Poggibonsi (SI)

ET.09.4 – Tabulati di calcolo_Canali fugatori con fondazioni su pali

Indice	Nodo	Condizione	Fx	Fy	Fz	Mx	My	Mz	Indice	Nodo	Condizione	Fx	Fy	Fz	Mx	My	Mz
6457	2096	Terreno sisma X SLD	193.7	0	0	0	0	0	6458	2068	Terreno sisma X SLD	414.8	0	0	0	0	0
6459	1919	Acqua canale	693	0	0	0	0	0	6460	1912	Acqua canale	1.3E3	0	0	0	0	0
6461	1919	Pesi strutturali	-7.8E2	0	-224	0	0	0	6462	1912	Pesi strutturali	-1.3E3	0	-3.8E2	0	0	0
6463	1919	Variabile da traffico	-2.0E2	0	-69.2	0	0	0	6464	1912	Variabile da traffico	-3.4E2	0	-1.2E2	0	0	0
6465	1919	Terreno sisma X SLV	374.3	0	0	0	0	0	6466	1912	Terreno sisma X SLV	629.8	0	0	0	0	0
6467	1919	Terreno sisma X SLO	141.4	0	0	0	0	0	6468	1912	Terreno sisma X SLO	237.9	0	0	0	0	0
6469	1919	Terreno sisma X SLD	168.6	0	0	0	0	0	6470	1912	Terreno sisma X SLD	283.7	0	0	0	0	0
6471	1844	Acqua canale	256.5	0	0	0	0	0	6472	1821	Acqua canale	396.4	0	0	0	0	0
6473	1844	Pesi strutturali	-4.3E2	0	-1.1E2	0	0	0	6474	1821	Pesi strutturali	-7.5E2	0	-1.9E2	0	0	0
6475	1844	Variabile da traffico	-93.1	0	-31.5	0	0	0	6476	1821	Variabile da traffico	-1.6E2	0	-53.9	0	0	0
6477	1844	Terreno sisma X SLV	176.8	0	0	0	0	0	6478	1821	Terreno sisma X SLV	303.5	0	0	0	0	0
6479	1844	Terreno sisma X SLO	66.8	0	0	0	0	0	6480	1821	Terreno sisma X SLO	114.7	0	0	0	0	0
6481	1844	Terreno sisma X SLD	79.6	0	0	0	0	0	6482	1821	Terreno sisma X SLD	136.7	0	0	0	0	0
6483	1798	Acqua canale	255.6	0	0	0	0	0	6484	1865	Acqua canale	784.9	0	0	0	0	0
6485	1798	Pesi strutturali	-6.0E2	0	-1.5E2	0	0	0	6486	1865	Pesi strutturali	-9.7E2	0	-2.7E2	0	0	0
6487	1798	Variabile da traffico	-1.3E2	0	-42.5	0	0	0	6488	1865	Variabile da traffico	-2.3E2	0	-79	0	0	0
6489	1798	Terreno sisma X SLV	239.5	0	0	0	0	0	6490	1865	Terreno sisma X SLV	434.4	0	0	0	0	0
6491	1798	Terreno sisma X SLO	90.5	0	0	0	0	0	6492	1865	Terreno sisma X SLO	164.1	0	0	0	0	0
6493	1798	Terreno sisma X SLD	107.9	0	0	0	0	0	6494	1865	Terreno sisma X SLD	195.7	0	0	0	0	0
6495	1787	Acqua canale	241.8	0	0	0	0	0	6496	1867	Acqua canale	791.4	0	0	0	0	0
6497	1787	Pesi strutturali	-5.9E2	0	-1.5E2	0	0	0	6498	1867	Pesi strutturali	-1.0E3	0	-2.8E2	0	0	0
6499	1787	Variabile da traffico	-1.2E2	0	-42.2	0	0	0	6500	1867	Variabile da traffico	-2.5E2	0	-82.9	0	0	0
6501	1787	Terreno sisma X SLV	237.8	0	0	0	0	0	6502	1867	Terreno sisma X SLV	456.1	0	0	0	0	0
6503	1787	Terreno sisma X SLO	89.8	0	0	0	0	0	6504	1867	Terreno sisma X SLO	172.3	0	0	0	0	0
6505	1787	Terreno sisma X SLD	107.1	0	0	0	0	0	6506	1867	Terreno sisma X SLD	205.5	0	0	0	0	0
6507	1764	Acqua canale	258.9	0	0	0	0	0	6508	1885	Acqua canale	875.3	0	0	0	0	0
6509	1764	Pesi strutturali	-6.1E2	0	-1.6E2	0	0	0	6510	1885	Pesi strutturali	-1.1E3	0	-3.0E2	0	0	0
6511	1764	Variabile da traffico	-1.3E2	0	-43.4	0	0	0	6512	1885	Variabile da traffico	-2.7E2	0	-89.8	0	0	0
6513	1764	Terreno sisma X SLV	244.8	0	0	0	0	0	6514	1885	Terreno sisma X SLV	493.6	0	0	0	0	0
6515	1764	Terreno sisma X SLO	92.5	0	0	0	0	0	6516	1885	Terreno sisma X SLO	186.5	0	0	0	0	0
6517	1764	Terreno sisma X SLD	110.3	0	0	0	0	0	6518	1885	Terreno sisma X SLD	222.4	0	0	0	0	0
6519	1753	Acqua canale	267.3	0	0	0	0	0	6520	1889	Acqua canale	910.8	0	0	0	0	0
6521	1753	Pesi strutturali	-6.2E2	0	-1.6E2	0	0	0	6522	1889	Pesi strutturali	-1.1E3	0	-310	0	0	0
6523	1753	Variabile da traffico	-1.3E2	0	-44	0	0	0	6524	1889	Variabile da traffico	-2.7E2	0	-92.3	0	0	0
6525	1753	Terreno sisma X SLV	248.2	0	0	0	0	0	6526	1889	Terreno sisma X SLV	506.9	0	0	0	0	0
6527	1753	Terreno sisma X SLO	93.8	0	0	0	0	0	6528	1889	Terreno sisma X SLO	191.5	0	0	0	0	0
6529	1753	Terreno sisma X SLD	111.8	0	0	0	0	0	6530	1889	Terreno sisma X SLD	228.3	0	0	0	0	0
6531	1730	Acqua canale	262.5	0	0	0	0	0	6532	1887	Acqua canale	888.8	0	0	0	0	0
6533	1730	Pesi strutturali	-6.1E2	0	-1.6E2	0	0	0	6534	1887	Pesi strutturali	-1.1E3	0	-3.0E2	0	0	0
6535	1730	Variabile da traffico	-1.3E2	0	-43.7	0	0	0	6536	1887	Variabile da traffico	-2.7E2	0	-90.3	0	0	0
6537	1730	Terreno sisma X SLV	246.6	0	0	0	0	0	6538	1887	Terreno sisma X SLV	496.1	0	0	0	0	0
6539	1730	Terreno sisma X SLO	93.2	0	0	0	0	0	6540	1887	Terreno sisma X SLO	187.4	0	0	0	0	0
6541	1730	Terreno sisma X SLD	111.1	0	0	0	0	0	6542	1887	Terreno sisma X SLD	223.5	0	0	0	0	0
6543	1713	Acqua canale	248	0	0	0	0	0	6544	1881	Acqua canale	813.5	0	0	0	0	0
6545	1713	Pesi strutturali	-6.0E2	0	-1.5E2	0	0	0	6546	1881	Pesi strutturali	-1035	0	-2.8E2	0	0	0
6547	1713	Variabile da traffico	-126	0	-42.6	0	0	0	6548	1881	Variabile da traffico	-2.5E2	0	-83.9	0	0	0
6549	1713	Terreno sisma X SLV	240	0	0	0	0	0	6550	1881	Terreno sisma X SLV	461.5	0	0	0	0	0
6551	1713	Terreno sisma X SLO	90.7	0	0	0	0	0	6552	1881	Terreno sisma X SLO	174.4	0	0	0	0	0
6553	1713	Terreno sisma X SLD	108.1	0	0	0	0	0	6554	1881	Terreno sisma X SLD	207.9	0	0	0	0	0
6555	1696	Acqua canale	271.7	0	0	0	0	0	6556	1880	Acqua canale	767.2	0	0	0	0	0
6557	1696	Pesi strutturali	-6.1E2	0	-155	0	0	0	6558	1880	Pesi strutturali	-9.8E2	0	-2.7E2	0	0	0
6559	1696	Variabile da traffico	-1.3E2	0	-43.4	0	0	0	6560	1880	Variabile da traffico	-2.3E2	0	-79.3	0	0	0
6561	1696	Terreno sisma X SLV	244.5	0	0	0	0	0	6562	1880	Terreno sisma X SLV	435.7	0	0	0	0	0
6563	1696	Terreno sisma X SLO	92.4	0	0	0	0	0	6564	1880	Terreno sisma X SLO	164.6	0	0	0	0	0
6565	1696	Terreno sisma X SLD	110.2	0	0	0	0	0	6566	1880	Terreno sisma X SLD	196.3	0	0	0	0	0
6567	1679	Acqua canale	421.8	0	0	0	0	0	6568	1915	Acqua canale	1.2E3	0	0	0	0	0

Interventi di miglioramento della diga di Cepparello nel Comune di Poggibonsi (SI)

ET.09.4 – Tabulati di calcolo_Canali fagatori con fondazioni su pali

Indice	Nodo	Condizione	Fx	Fy	Fz	Mx	My	Mz	Indice	Nodo	Condizione	Fx	Fy	Fz	Mx	My	Mz
6569	1679	Pesi strutturali	-7.6E2	0	-1.9E2	0	0	0	6570	1915	Pesi strutturali	-1.3E3	0	-3.8E2	0	0	0
6571	1679	Variabile da traffico	-1.6E2	0	-54.8	0	0	0	6572	1915	Variabile da traffico	-3.4E2	0	-1.1E2	0	0	0
6573	1679	Terreno sisma X SLV	308.3	0	0	0	0	0	6574	1915	Terreno sisma X SLV	622.8	0	0	0	0	0
6575	1679	Terreno sisma X SLO	116.5	0	0	0	0	0	6576	1915	Terreno sisma X SLO	235.3	0	0	0	0	0
6577	1679	Terreno sisma X SLD	138.9	0	0	0	0	0	6578	1915	Terreno sisma X SLD	280.6	0	0	0	0	0
6579	1662	Acqua canale	258.7	0	0	0	0	0	6580	1918	Acqua canale	717.1	0	0	0	0	0
6581	1662	Pesi strutturali	-4.3E2	0	-1.1E2	0	0	0	6582	1918	Pesi strutturali	-7.7E2	0	-2.2E2	0	0	0
6583	1662	Variabile da traffico	-93.4	0	-31.5	0	0	0	6584	1918	Variabile da traffico	-2.0E2	0	-68.4	0	0	0
6585	1662	Terreno sisma X SLV	177.2	0	0	0	0	0	6586	1918	Terreno sisma X SLV	370.1	0	0	0	0	0
6587	1662	Terreno sisma X SLO	66.9	0	0	0	0	0	6588	1918	Terreno sisma X SLO	139.8	0	0	0	0	0
6589	1662	Terreno sisma X SLD	79.8	0	0	0	0	0	6590	1918	Terreno sisma X SLD	166.7	0	0	0	0	0
6591	2395	Acqua canale	1.0E3	0	0	0	0	0	6592	2249	Acqua canale	1.2E3	0	0	0	0	0
6593	2248	Acqua canale	1.3E3	0	0	0	0	0	6594	2396	Acqua canale	1.0E3	0	0	0	0	0
6595	2395	Pesi strutturali	-5.7E2	0	-1.9E2	0	0	0	6596	2249	Pesi strutturali	-8.1E2	0	-2.7E2	0	0	0
6597	2396	Pesi strutturali	-5.7E2	0	-1.9E2	0	0	0	6598	2248	Pesi strutturali	-840	0	-2.8E2	0	0	0
6599	2395	Variabile da traffico	-4.2E2	0	-143	0	0	0	6600	2249	Variabile da traffico	-4.1E2	0	-138	0	0	0
6601	2396	Variabile da traffico	-4.3E2	0	-1.4E2	0	0	0	6602	2248	Variabile da traffico	-4.2E2	0	-1.4E2	0	0	0
6603	2395	Terreno sisma X SLV	720.5	0	0	0	0	0	6604	2249	Terreno sisma X SLV	695.3	0	0	0	0	0
6605	2396	Terreno sisma X SLV	727	0	0	0	0	0	6606	2248	Terreno sisma X SLV	719.5	0	0	0	0	0
6607	2395	Terreno sisma X SLO	272.2	0	0	0	0	0	6608	2249	Terreno sisma X SLO	262.6	0	0	0	0	0
6609	2396	Terreno sisma X SLO	274.6	0	0	0	0	0	6610	2248	Terreno sisma X SLO	271.8	0	0	0	0	0
6611	2395	Terreno sisma X SLD	324.6	0	0	0	0	0	6612	2249	Terreno sisma X SLD	313.2	0	0	0	0	0
6613	2396	Terreno sisma X SLD	327.5	0	0	0	0	0	6614	2248	Terreno sisma X SLD	324.1	0	0	0	0	0
6615	2242	Acqua canale	1.4E3	0	0	0	0	0	6616	2404	Acqua canale	1.0E3	0	0	0	0	0
6617	2404	Pesi strutturali	-5.5E2	0	-1.9E2	0	0	0	6618	2242	Pesi strutturali	-8.8E2	0	-3.0E2	0	0	0
6619	2404	Variabile da traffico	-4.2E2	0	-1.4E2	0	0	0	6620	2242	Variabile da traffico	-4.4E2	0	-1.5E2	0	0	0
6621	2404	Terreno sisma X SLV	712	0	0	0	0	0	6622	2242	Terreno sisma X SLV	746.4	0	0	0	0	0
6623	2404	Terreno sisma X SLO	269	0	0	0	0	0	6624	2242	Terreno sisma X SLO	282	0	0	0	0	0
6625	2404	Terreno sisma X SLD	320.8	0	0	0	0	0	6626	2242	Terreno sisma X SLD	336.3	0	0	0	0	0
6627	2651	Acqua canale	416.3	0	0	0	0	0	6628	2505	Acqua canale	686.9	0	0	0	0	0
6629	2508	Acqua canale	619.9	0	0	0	0	0	6630	2649	Acqua canale	315.2	0	0	0	0	0
6631	2651	Pesi strutturali	-49.6	0	-16.8	0	0	0	6632	2505	Pesi strutturali	-2.7E2	0	-91.7	0	0	0
6633	2649	Pesi strutturali	-39	0	-13.2	0	0	0	6634	2508	Pesi strutturali	-2.4E2	0	-80.2	0	0	0
6635	2651	Variabile da traffico	-3.5E2	0	-1.2E2	0	0	0	6636	2505	Variabile da traffico	-3.8E2	0	-1.3E2	0	0	0
6637	2649	Variabile da traffico	-215	0	-72.6	0	0	0	6638	2508	Variabile da traffico	-348	0	-1.2E2	0	0	0
6639	2651	Terreno sisma X SLV	589.2	0	0	0	0	0	6640	2505	Terreno sisma X SLV	651	0	0	0	0	0
6641	2649	Terreno sisma X SLV	366	0	0	0	0	0	6642	2508	Terreno sisma X SLV	592.5	0	0	0	0	0
6643	2651	Terreno sisma X SLO	222.6	0	0	0	0	0	6644	2505	Terreno sisma X SLO	245.9	0	0	0	0	0
6645	2649	Terreno sisma X SLO	138.3	0	0	0	0	0	6646	2508	Terreno sisma X SLO	223.8	0	0	0	0	0
6647	2651	Terreno sisma X SLD	265.4	0	0	0	0	0	6648	2505	Terreno sisma X SLD	293.3	0	0	0	0	0
6649	2649	Terreno sisma X SLD	164.9	0	0	0	0	0	6650	2508	Terreno sisma X SLD	266.9	0	0	0	0	0
6651	2652	Acqua canale	459.7	0	0	0	0	0	6652	2652	Pesi strutturali	-51.9	0	-17.5	0	0	0
6653	2652	Variabile da traffico	-3.9E2	0	-1.3E2	0	0	0	6654	2652	Terreno sisma X SLV	663.7	0	0	0	0	0
6655	2652	Terreno sisma X SLO	250.7	0	0	0	0	0	6656	2652	Terreno sisma X SLD	299	0	0	0	0	0
6657	2506	Acqua canale	719.7	0	0	0	0	0	6658	2506	Pesi strutturali	-2.9E2	0	-96.5	0	0	0
6659	2506	Variabile da traffico	-4.1E2	0	-1.4E2	0	0	0	6660	2506	Terreno sisma X SLV	692.5	0	0	0	0	0
6661	2506	Terreno sisma X SLO	261.6	0	0	0	0	0	6662	2506	Terreno sisma X SLD	312	0	0	0	0	0
6663	2241	Acqua canale	1.3E3	0	0	0	0	0	6664	2399	Acqua canale	1.0E3	0	0	0	0	0
6665	2399	Pesi strutturali	-5.5E2	0	-1.9E2	0	0	0	6666	2241	Pesi strutturali	-8.8E2	0	-297	0	0	0
6667	2399	Variabile da traffico	-4.2E2	0	-1.4E2	0	0	0	6668	2241	Variabile da traffico	-4.4E2	0	-1.5E2	0	0	0
6669	2399	Terreno sisma X SLV	707.7	0	0	0	0	0	6670	2241	Terreno sisma X SLV	742.7	0	0	0	0	0
6671	2399	Terreno sisma X SLO	267.3	0	0	0	0	0	6672	2241	Terreno sisma X SLO	280.6	0	0	0	0	0
6673	2399	Terreno sisma X SLD	318.8	0	0	0	0	0	6674	2241	Terreno sisma X SLD	334.6	0	0	0	0	0
6675	2247	Acqua canale	1267	0	0	0	0	0	6676	2394	Acqua canale	1.0E3	0	0	0	0	0
6677	2394	Pesi strutturali	-5.7E2	0	-193	0	0	0	6678	2247	Pesi strutturali	-8.4E2	0	-2.8E2	0	0	0

Interventi di miglioramento della diga di Cepparello nel Comune di Poggibonsi (SI)

ET.09.4 – Tabulati di calcolo_Canali fuggatori con fondazioni su pali

Indice	Nodo	Condizione	Fx	Fy	Fz	Mx	My	Mz	Indice	Nodo	Condizione	Fx	Fy	Fz	Mx	My	Mz
6679	2394	Variabile da traffico	-4.3E2	0	-1.4E2	0	0	0	6680	2247	Variabile da traffico	-4.2E2	0	-1.4E2	0	0	0
6681	2394	Terreno sisma X SLV	724.9	0	0	0	0	0	6682	2247	Terreno sisma X SLV	717.5	0	0	0	0	0
6683	2394	Terreno sisma X SLO	273.8	0	0	0	0	0	6684	2247	Terreno sisma X SLO	271	0	0	0	0	0
6685	2394	Terreno sisma X SLD	326.5	0	0	0	0	0	6686	2247	Terreno sisma X SLD	323.2	0	0	0	0	0
6687	2504	Acqua canale	690.5	0	0	0	0	0	6688	2504	Pesi strutturali	-2.7E2	0	-92	0	0	0
6689	2504	Variabile da traffico	-3.8E2	0	-1.3E2	0	0	0	6690	2504	Terreno sisma X SLV	649.1	0	0	0	0	0
6691	2504	Terreno sisma X SLO	245.2	0	0	0	0	0	6692	2504	Terreno sisma X SLD	292.4	0	0	0	0	0
6693	2650	Acqua canale	407.2	0	0	0	0	0	6694	2650	Pesi strutturali	-50.9	0	-17.2	0	0	0
6695	2650	Variabile da traffico	-3.4E2	0	-1.2E2	0	0	0	6696	2650	Terreno sisma X SLV	582	0	0	0	0	0
6697	2650	Terreno sisma X SLO	219.9	0	0	0	0	0	6698	2650	Terreno sisma X SLD	262.2	0	0	0	0	0
6699	2507	Acqua canale	605.5	0	0	0	0	0	6700	2507	Pesi strutturali	-2.4E2	0	-80.1	0	0	0
6701	2507	Variabile da traffico	-3.4E2	0	-1.2E2	0	0	0	6702	2507	Terreno sisma X SLV	583	0	0	0	0	0
6703	2507	Terreno sisma X SLO	220.2	0	0	0	0	0	6704	2507	Terreno sisma X SLD	262.6	0	0	0	0	0
6705	2648	Acqua canale	302.8	0	0	0	0	0	6706	2648	Pesi strutturali	-40.1	0	-13.6	0	0	0
6707	2648	Variabile da traffico	-2.1E2	0	-70	0	0	0	6708	2648	Terreno sisma X SLV	352.9	0	0	0	0	0
6709	2648	Terreno sisma X SLO	133.3	0	0	0	0	0	6710	2648	Terreno sisma X SLD	159	0	0	0	0	0
6711	2145	Acqua canale	1.3E3	0	0	0	0	0	6712	2143	Acqua canale	1.3E3	0	0	0	0	0
6713	2145	Pesi strutturali	-9.3E2	0	-3.1E2	0	0	0	6714	2143	Pesi strutturali	-9.4E2	0	-3.2E2	0	0	0
6715	2145	Variabile da traffico	-3.6E2	0	-1.2E2	0	0	0	6716	2143	Variabile da traffico	-3.6E2	0	-1.2E2	0	0	0
6717	2145	Terreno sisma X SLV	608.7	0	0	0	0	0	6718	2143	Terreno sisma X SLV	615	0	0	0	0	0
6719	2145	Terreno sisma X SLO	229.9	0	0	0	0	0	6720	2143	Terreno sisma X SLO	232.3	0	0	0	0	0
6721	2145	Terreno sisma X SLD	274.2	0	0	0	0	0	6722	2143	Terreno sisma X SLD	277.1	0	0	0	0	0
6723	2117	Acqua canale	1.4E3	0	0	0	0	0	6724	2117	Pesi strutturali	-1.0E3	0	-3.4E2	0	0	0
6725	2117	Variabile da traffico	-3.8E2	0	-1.3E2	0	0	0	6726	2117	Terreno sisma X SLV	652.9	0	0	0	0	0
6727	2117	Terreno sisma X SLO	246.6	0	0	0	0	0	6728	2117	Terreno sisma X SLD	294.1	0	0	0	0	0
6729	2045	Acqua canale	1.3E3	0	0	0	0	0	6730	2040	Acqua canale	1.3E3	0	0	0	0	0
6731	2045	Pesi strutturali	-1.0E3	0	-315	0	0	0	6732	2040	Pesi strutturali	-9.8E2	0	-3.1E2	0	0	0
6733	2045	Variabile da traffico	-3.0E2	0	-1.0E2	0	0	0	6734	2040	Variabile da traffico	-295	0	-99.7	0	0	0
6735	2045	Terreno sisma X SLV	543.2	0	0	0	0	0	6736	2040	Terreno sisma X SLV	527.3	0	0	0	0	0
6737	2045	Terreno sisma X SLO	205.2	0	0	0	0	0	6738	2040	Terreno sisma X SLO	199.2	0	0	0	0	0
6739	2045	Terreno sisma X SLD	244.7	0	0	0	0	0	6740	2040	Terreno sisma X SLD	237.5	0	0	0	0	0
6741	2023	Acqua canale	1.1E3	0	0	0	0	0	6742	2004	Acqua canale	811.8	0	0	0	0	0
6743	2023	Pesi strutturali	-8.7E2	0	-2.7E2	0	0	0	6744	2004	Pesi strutturali	-5.7E2	0	-172	0	0	0
6745	2023	Variabile da traffico	-2.6E2	0	-87.2	0	0	0	6746	2004	Variabile da traffico	-1.6E2	0	-55	0	0	0
6747	2023	Terreno sisma X SLV	463.1	0	0	0	0	0	6748	2004	Terreno sisma X SLV	293.4	0	0	0	0	0
6749	2023	Terreno sisma X SLO	174.9	0	0	0	0	0	6750	2004	Terreno sisma X SLO	110.8	0	0	0	0	0
6751	2023	Terreno sisma X SLD	208.6	0	0	0	0	0	6752	2004	Terreno sisma X SLD	132.2	0	0	0	0	0
6753	2116	Acqua canale	1.4E3	0	0	0	0	0	6754	2116	Pesi strutturali	-1.0E3	0	-3.5E2	0	0	0
6755	2116	Variabile da traffico	-3.8E2	0	-1.3E2	0	0	0	6756	2116	Terreno sisma X SLV	655.3	0	0	0	0	0
6757	2116	Terreno sisma X SLO	247.5	0	0	0	0	0	6758	2116	Terreno sisma X SLD	295.2	0	0	0	0	0
6759	2144	Acqua canale	1299	0	0	0	0	0	6760	2144	Pesi strutturali	-9.5E2	0	-3.2E2	0	0	0
6761	2144	Variabile da traffico	-3.6E2	0	-1.2E2	0	0	0	6762	2144	Terreno sisma X SLV	617.1	0	0	0	0	0
6763	2144	Terreno sisma X SLO	233.1	0	0	0	0	0	6764	2144	Terreno sisma X SLD	278	0	0	0	0	0
6765	2043	Acqua canale	1.3E3	0	0	0	0	0	6766	2043	Pesi strutturali	-9.8E2	0	-3.1E2	0	0	0
6767	2043	Variabile da traffico	-3.0E2	0	-99.7	0	0	0	6768	2043	Terreno sisma X SLV	527.3	0	0	0	0	0
6769	2043	Terreno sisma X SLO	199.2	0	0	0	0	0	6770	2043	Terreno sisma X SLD	237.5	0	0	0	0	0
6771	2037	Acqua canale	1.1E3	0	0	0	0	0	6772	2005	Acqua canale	814.7	0	0	0	0	0
6773	2037	Pesi strutturali	-8.7E2	0	-2.7E2	0	0	0	6774	2005	Pesi strutturali	-564	0	-1.7E2	0	0	0
6775	2037	Variabile da traffico	-259	0	-87.5	0	0	0	6776	2005	Variabile da traffico	-1.6E2	0	-54.9	0	0	0
6777	2037	Terreno sisma X SLV	464.5	0	0	0	0	0	6778	2005	Terreno sisma X SLV	292.7	0	0	0	0	0
6779	2037	Terreno sisma X SLO	175.5	0	0	0	0	0	6780	2005	Terreno sisma X SLO	110.6	0	0	0	0	0
6781	2037	Terreno sisma X SLD	209.3	0	0	0	0	0	6782	2005	Terreno sisma X SLD	131.8	0	0	0	0	0
6783	2705	Rig. Ux	1	0	0	0	0	0	6784	2705	Rig. Uy	0	1	0	0	0	0
6785	2705	Rig. Rz	0	0	0	0	0	0	1								

Interventi di miglioramento della diga di Cepparello nel Comune di Poggibonsi (SI)

ET.09.4 – Tabulati di calcolo_Canali fugatori con fondazioni su pali

Nodo	Massa X	Massa Y	Massa Z	Momento Z	Nodo	Massa X	Massa Y	Massa Z	Momento Z
1850	0.47	0.47	0	0	1851	0.47	0.47	0	0
1852	0.45	0.45	0	0	1853	0.45	0.45	0	0
1854	0.153	0.153	0	0	1855	0.307	0.307	0	0
1856	0.307	0.307	0	0	1857	0.307	0.307	0	0
1858	0.307	0.307	0	0	1859	0.307	0.307	0	0
1860	0.307	0.307	0	0	1861	0.307	0.307	0	0
1862	0.307	0.307	0	0	1863	0.307	0.307	0	0
1864	0.153	0.153	0	0	1865	0.319	0.319	0	0
1866	0.325	0.325	0	0	1867	0.312	0.312	0	0
1868	0.159	0.159	0	0	1869	0.319	0.319	0	0
1870	0.319	0.319	0	0	1871	0.319	0.319	0	0
1872	0.319	0.319	0	0	1873	0.319	0.319	0	0
1874	0.319	0.319	0	0	1875	0.319	0.319	0	0
1876	0.319	0.319	0	0	1877	0.319	0.319	0	0
1878	0.319	0.319	0	0	1879	0.159	0.159	0	0
1880	0.305	0.305	0	0	1881	0.319	0.319	0	0
1882	0.311	0.311	0	0	1883	0.33	0.33	0	0
1884	0.321	0.321	0	0	1885	0.337	0.337	0	0
1886	0.34	0.34	0	0	1887	0.342	0.342	0	0
1888	0.341	0.341	0	0	1889	0.348	0.348	0	0
1890	0.338	0.338	0	0	1891	0.512	0.512	0	0
1892	0.512	0.512	0	0	1893	0.506	0.506	0	0
1894	0.506	0.506	0	0	1895	0.311	0.311	0	0
1896	0.502	0.502	0	0	1897	0.502	0.502	0	0
1898	0.535	0.535	0	0	1899	0.535	0.535	0	0
1900	0.538	0.538	0	0	1901	0.538	0.538	0	0
1902	0.549	0.549	0	0	1903	0.549	0.549	0	0
1904	0.551	0.551	0	0	1905	0.551	0.551	0	0
1906	0.544	0.544	0	0	1907	0.544	0.544	0	0
1908	0.553	0.553	0	0	1909	0.553	0.553	0	0
1910	0.61	0.61	0	0	1911	0.61	0.61	0	0
1912	0.46	0.46	0	0	1913	0.571	0.571	0	0
1914	0.571	0.571	0	0	1915	0.426	0.426	0	0
1916	0.485	0.485	0	0	1917	0.451	0.451	0	0
1918	0.257	0.257	0	0	1919	0.25	0.25	0	0
1920	0.34	0.34	0	0	1921	0.34	0.34	0	0
1922	0.757	0.757	0	0	1923	0.74	0.74	0	0
1924	0.889	0.889	0	0	1925	0.902	0.902	0	0
1926	0.907	0.907	0	0	1927	0.912	0.912	0	0
1928	0.886	0.886	0	0	1929	0.891	0.891	0	0
1930	0.778	0.778	0	0	1931	0.791	0.791	0	0
1932	0.327	0.327	0	0	1933	0.309	0.309	0	0
1934	0.291	0.291	0	0	1935	0.3	0.3	0	0
1936	0.275	0.275	0	0	1937	0.673	0.673	0	0
1938	0.666	0.666	0	0	1939	0.726	0.726	0	0
1940	0.724	0.724	0	0	1941	0.741	0.741	0	0
1942	0.74	0.74	0	0	1943	0.746	0.746	0	0
1944	0.745	0.745	0	0	1945	0.743	0.743	0	0
1946	0.741	0.741	0	0	1947	0.733	0.733	0	0
1948	0.726	0.726	0	0	1949	0.646	0.646	0	0
1950	0.655	0.655	0	0	1951	0.308	0.308	0	0
1952	0.308	0.308	0	0	1953	0.269	0.269	0	0
1954	0.88	0.88	0	0	1955	0.88	0.88	0	0
1956	0.801	0.801	0	0	1957	0.801	0.801	0	0
1958	0.373	0.373	0	0	1959	0.373	0.373	0	0
1960	0.369	0.369	0	0	1961	0.369	0.369	0	0
1962	0.389	0.389	0	0	1963	0.454	0.454	0	0
1964	0.45	0.45	0	0	1965	0.394	0.394	0	0
1966	0.834	0.834	0	0	1967	0.909	0.909	0	0
1968	0.957	0.957	0	0	1969	0.996	0.996	0	0
1970	0.979	0.979	0	0	1971	1.026	1.026	0	0
1972	0.996	0.996	0	0	1973	1.04	1.04	0	0
1974	1.015	1.015	0	0	1975	1.046	1.046	0	0
1976	1.032	1.032	0	0	1977	1.048	1.048	0	0
1978	1.041	1.041	0	0	1979	1.048	1.048	0	0
1980	1.046	1.046	0	0	1981	1.048	1.048	0	0
1982	1.048	1.048	0	0	1983	1.048	1.048	0	0
1984	1.048	1.048	0	0	1985	1.046	1.046	0	0
1986	1.048	1.048	0	0	1987	1.041	1.041	0	0
1988	1.048	1.048	0	0	1989	1.032	1.032	0	0
1990	1.046	1.046	0	0	1991	1.015	1.015	0	0
1992	1.04	1.04	0	0	1993	0.996	0.996	0	0
1994	1.026	1.026	0	0	1995	0.979	0.979	0	0
1996	0.996	0.996	0	0	1997	0.957	0.957	0	0
1998	0.909	0.909	0	0	1999	0.834	0.834	0	0
2000	0.394	0.394	0	0	2001	0.45	0.45	0	0
2002	0.454	0.454	0	0	2003	0.389	0.389	0	0
2004	0.239	0.239	0	0	2005	0.238	0.238	0	0
2006	0.237	0.237	0	0	2007	0.153	0.153	0	0
2008	0.307	0.307	0	0	2009	0.307	0.307	0	0
2010	0.307	0.307	0	0	2011	0.307	0.307	0	0
2012	0.307	0.307	0	0	2013	0.307	0.307	0	0
2014	0.307	0.307	0	0	2015	0.307	0.307	0	0
2016	0.307	0.307	0	0	2017	0.153	0.153	0	0
2018	0.241	0.241	0	0	2019	0.502	0.502	0	0
2020	0.502	0.502	0	0	2021	0.508	0.508	0	0
2022	0.508	0.508	0	0	2023	0.331	0.331	0	0
2024	0.159	0.159	0	0	2025	0.319	0.319	0	0
2026	0.319	0.319	0	0	2027	0.319	0.319	0	0
2028	0.319	0.319	0	0	2029	0.319	0.319	0	0
2030	0.319	0.319	0	0	2031	0.319	0.319	0	0
2032	0.319	0.319	0	0	2033	0.319	0.319	0	0
2034	0.319	0.319	0	0	2035	0.159	0.159	0	0
2036	0.319	0.319	0	0	2037	0.33	0.33	0	0
2038	0.325	0.325	0	0	2039	0.356	0.356	0	0
2040	0.378	0.378	0	0	2041	0.369	0.369	0	0
2042	0.363	0.363	0	0	2043	0.38	0.38	0	0
2044	0.373	0.373	0	0	2045	0.389	0.389	0	0
2046	0.563	0.563	0	0	2047	0.563	0.563	0	0

Interventi di miglioramento della diga di Cepparello nel Comune di Poggibonsi (SI)

ET.09.4 – Tabulati di calcolo_Canali fugadori con fondazioni su pali

Nodo	Massa X	Massa Y	Massa Z	Momento Z	Nodo	Massa X	Massa Y	Massa Z	Momento Z
2048	0.573	0.573	0	0	2049	0.573	0.573	0	0
2050	0.575	0.575	0	0	2051	0.575	0.575	0	0
2052	0.572	0.572	0	0	2053	0.572	0.572	0	0
2054	0.567	0.567	0	0	2055	0.567	0.567	0	0
2056	0.568	0.568	0	0	2057	0.568	0.568	0	0
2058	0.534	0.534	0	0	2059	0.534	0.534	0	0
2060	0.549	0.549	0	0	2061	0.549	0.549	0	0
2062	0.433	0.433	0	0	2063	0.433	0.433	0	0
2064	0.443	0.443	0	0	2065	0.443	0.443	0	0
2066	0.987	0.987	0	0	2067	0.987	0.987	0	0
2068	0.606	0.606	0	0	2069	0.61	0.61	0	0
2070	0.649	0.649	0	0	2071	0.611	0.611	0	0
2072	0.153	0.153	0	0	2073	0.307	0.307	0	0
2074	0.307	0.307	0	0	2075	0.307	0.307	0	0
2076	0.307	0.307	0	0	2077	0.307	0.307	0	0
2078	0.307	0.307	0	0	2079	0.307	0.307	0	0
2080	0.307	0.307	0	0	2081	0.307	0.307	0	0
2082	0.153	0.153	0	0	2083	0.159	0.159	0	0
2084	0.319	0.319	0	0	2085	0.319	0.319	0	0
2086	0.319	0.319	0	0	2087	0.319	0.319	0	0
2088	0.319	0.319	0	0	2089	0.319	0.319	0	0
2090	0.319	0.319	0	0	2091	0.319	0.319	0	0
2092	0.319	0.319	0	0	2093	0.319	0.319	0	0
2094	0.159	0.159	0	0	2095	0.308	0.308	0	0
2096	0.317	0.317	0	0	2097	0.754	0.754	0	0
2098	0.754	0.754	0	0	2099	0.775	0.775	0	0
2100	0.775	0.775	0	0	2101	0.435	0.435	0	0
2102	0.38	0.38	0	0	2103	0.38	0.38	0	0
2104	0.787	0.787	0	0	2105	0.782	0.782	0	0
2106	0.843	0.843	0	0	2107	0.846	0.846	0	0
2108	0.862	0.862	0	0	2109	0.864	0.864	0	0
2110	0.844	0.844	0	0	2111	0.847	0.847	0	0
2112	0.793	0.793	0	0	2113	0.796	0.796	0	0
2114	0.375	0.375	0	0	2115	0.37	0.37	0	0
2116	0.478	0.478	0	0	2117	0.48	0.48	0	0
2118	0.448	0.448	0	0	2119	0.419	0.419	0	0
2120	0.41	0.41	0	0	2121	0.42	0.42	0	0
2122	0.41	0.41	0	0	2123	0.325	0.325	0	0
2124	0.328	0.328	0	0	2125	0.341	0.341	0	0
2126	0.68	0.68	0	0	2127	0.679	0.679	0	0
2128	0.709	0.709	0	0	2129	0.708	0.708	0	0
2130	0.725	0.725	0	0	2131	0.724	0.724	0	0
2132	0.73	0.73	0	0	2133	0.729	0.729	0	0
2134	0.725	0.725	0	0	2135	0.724	0.724	0	0
2136	0.709	0.709	0	0	2137	0.707	0.707	0	0
2138	0.673	0.673	0	0	2139	0.676	0.676	0	0
2140	0.331	0.331	0	0	2141	0.331	0.331	0	0
2142	0.349	0.349	0	0	2143	0.456	0.456	0	0
2144	0.452	0.452	0	0	2145	0.45	0.45	0	0
2146	0.649	0.649	0	0	2147	0.649	0.649	0	0
2148	0.662	0.662	0	0	2149	0.662	0.662	0	0
2150	0.628	0.628	0	0	2151	0.628	0.628	0	0
2152	0.623	0.623	0	0	2153	0.623	0.623	0	0
2154	0.61	0.61	0	0	2155	0.61	0.61	0	0
2156	0.612	0.612	0	0	2157	0.612	0.612	0	0
2158	0.649	0.649	0	0	2159	0.649	0.649	0	0
2160	0.646	0.646	0	0	2161	0.646	0.646	0	0
2162	1.134	1.134	0	0	2163	1.134	1.134	0	0
2164	1.135	1.135	0	0	2165	1.135	1.135	0	0
2166	0.423	0.423	0	0	2167	0.647	0.647	0	0
2168	0.645	0.645	0	0	2169	0.401	0.401	0	0
2170	0.828	0.828	0	0	2171	0.918	0.918	0	0
2172	0.89	0.89	0	0	2173	0.993	0.993	0	0
2174	0.926	0.926	0	0	2175	1.034	1.034	0	0
2176	0.956	0.956	0	0	2177	1.054	1.054	0	0
2178	0.996	0.996	0	0	2179	1.062	1.062	0	0
2180	1.036	1.036	0	0	2181	1.065	1.065	0	0
2182	1.054	1.054	0	0	2183	1.065	1.065	0	0
2184	1.061	1.061	0	0	2185	1.065	1.065	0	0
2186	1.064	1.064	0	0	2187	1.064	1.064	0	0
2188	1.065	1.065	0	0	2189	1.061	1.061	0	0
2190	1.065	1.065	0	0	2191	1.054	1.054	0	0
2192	1.065	1.065	0	0	2193	1.036	1.036	0	0
2194	1.062	1.062	0	0	2195	0.996	0.996	0	0
2196	1.054	1.054	0	0	2197	0.956	0.956	0	0
2198	1.034	1.034	0	0	2199	0.926	0.926	0	0
2200	0.993	0.993	0	0	2201	0.89	0.89	0	0
2202	0.918	0.918	0	0	2203	0.828	0.828	0	0
2204	0.401	0.401	0	0	2205	0.645	0.645	0	0
2206	0.647	0.647	0	0	2207	0.423	0.423	0	0
2208	0.153	0.153	0	0	2209	0.307	0.307	0	0
2210	0.307	0.307	0	0	2211	0.307	0.307	0	0
2212	0.307	0.307	0	0	2213	0.307	0.307	0	0
2214	0.307	0.307	0	0	2215	0.307	0.307	0	0
2216	0.307	0.307	0	0	2217	0.307	0.307	0	0
2218	0.153	0.153	0	0	2219	0.159	0.159	0	0
2220	0.319	0.319	0	0	2221	0.319	0.319	0	0
2222	0.319	0.319	0	0	2223	0.319	0.319	0	0
2224	0.319	0.319	0	0	2225	0.319	0.319	0	0
2226	0.319	0.319	0	0	2227	0.319	0.319	0	0
2228	0.319	0.319	0	0	2229	0.319	0.319	0	0
2230	0.159	0.159	0	0	2231	0.891	0.891	0	0
2232	0.891	0.891	0	0	2233	0.44	0.44	0	0
2234	0.455	0.455	0	0	2235	0.445	0.445	0	0
2236	0.425	0.425	0	0	2237	0.472	0.472	0	0
2238	0.47	0.47	0	0	2239	0.621	0.621	0	0
2240	0.605	0.605	0	0	2241	0.543	0.543	0	0
2242	0.575	0.575	0	0	2243	0.831	0.831	0	0
2244	0.831	0.831	0	0	2245	0.799	0.799	0	0

Interventi di miglioramento della diga di Cepparello nel Comune di Poggibonsi (SI)

ET.09.4 – Tabulati di calcolo_Canali fuggatori con fondazioni su pali

Nodo	Massa X	Massa Y	Massa Z	Momento Z	Nodo	Massa X	Massa Y	Massa Z	Momento Z
2246	0.799	0.799	0	0	2247	0.529	0.529	0	0
2248	0.532	0.532	0	0	2249	0.514	0.514	0	0
2250	0.704	0.704	0	0	2251	0.304	0.304	0	0
2252	0.309	0.309	0	0	2253	0.694	0.694	0	0
2254	0.704	0.704	0	0	2255	0.704	0.704	0	0
2256	0.713	0.713	0	0	2257	0.713	0.713	0	0
2258	0.393	0.393	0	0	2259	0.393	0.393	0	0
2260	0.8	0.8	0	0	2261	0.798	0.798	0	0
2262	0.828	0.828	0	0	2263	0.829	0.829	0	0
2264	0.84	0.84	0	0	2265	0.841	0.841	0	0
2266	0.829	0.829	0	0	2267	0.83	0.83	0	0
2268	0.802	0.802	0	0	2269	0.802	0.802	0	0
2270	0.392	0.392	0	0	2271	0.39	0.39	0	0
2272	0.651	0.651	0	0	2273	0.651	0.651	0	0
2274	0.653	0.653	0	0	2275	0.653	0.653	0	0
2276	0.619	0.619	0	0	2277	0.619	0.619	0	0
2278	0.581	0.581	0	0	2279	0.581	0.581	0	0
2280	0.619	0.619	0	0	2281	0.619	0.619	0	0
2282	0.469	0.469	0	0	2283	0.469	0.469	0	0
2284	0.57	0.57	0	0	2285	0.57	0.57	0	0
2286	0.459	0.459	0	0	2287	0.459	0.459	0	0
2288	0.339	0.339	0	0	2289	0.339	0.339	0	0
2290	0.377	0.377	0	0	2291	0.688	0.688	0	0
2292	0.688	0.688	0	0	2293	0.703	0.703	0	0
2294	0.703	0.703	0	0	2295	0.714	0.714	0	0
2296	0.714	0.714	0	0	2297	0.718	0.718	0	0
2298	0.718	0.718	0	0	2299	0.714	0.714	0	0
2300	0.714	0.714	0	0	2301	0.703	0.703	0	0
2302	0.702	0.702	0	0	2303	0.686	0.686	0	0
2304	0.687	0.687	0	0	2305	0.34	0.34	0	0
2306	0.34	0.34	0	0	2307	0.378	0.378	0	0
2308	0.153	0.153	0	0	2309	0.307	0.307	0	0
2310	0.307	0.307	0	0	2311	0.307	0.307	0	0
2312	0.307	0.307	0	0	2313	0.307	0.307	0	0
2314	0.307	0.307	0	0	2315	0.307	0.307	0	0
2316	0.307	0.307	0	0	2317	0.307	0.307	0	0
2318	0.153	0.153	0	0	2319	0.159	0.159	0	0
2320	0.319	0.319	0	0	2321	0.319	0.319	0	0
2322	0.319	0.319	0	0	2323	0.319	0.319	0	0
2324	0.319	0.319	0	0	2325	0.319	0.319	0	0
2326	0.319	0.319	0	0	2327	0.319	0.319	0	0
2328	0.319	0.319	0	0	2329	0.319	0.319	0	0
2330	0.159	0.159	0	0	2331	0.319	0.319	0	0
2332	0.314	0.314	0	0	2333	0.401	0.401	0	0
2334	0.529	0.529	0	0	2335	0.535	0.535	0	0
2336	0.383	0.383	0	0	2337	0.796	0.796	0	0
2338	0.923	0.923	0	0	2339	0.854	0.854	0	0
2340	1.024	1.024	0	0	2341	0.878	0.878	0	0
2342	1.058	1.058	0	0	2343	0.905	0.905	0	0
2344	1.074	1.074	0	0	2345	0.974	0.974	0	0
2346	1.08	1.08	0	0	2347	1.058	1.058	0	0
2348	1.082	1.082	0	0	2349	1.073	1.073	0	0
2350	1.082	1.082	0	0	2351	1.079	1.079	0	0
2352	1.082	1.082	0	0	2353	1.082	1.082	0	0
2354	1.082	1.082	0	0	2355	1.082	1.082	0	0
2356	1.079	1.079	0	0	2357	1.082	1.082	0	0
2358	1.073	1.073	0	0	2359	1.082	1.082	0	0
2360	1.058	1.058	0	0	2361	1.08	1.08	0	0
2362	0.974	0.974	0	0	2363	1.074	1.074	0	0
2364	0.905	0.905	0	0	2365	1.058	1.058	0	0
2366	0.878	0.878	0	0	2367	1.024	1.024	0	0
2368	0.854	0.854	0	0	2369	0.923	0.923	0	0
2370	0.796	0.796	0	0	2371	0.383	0.383	0	0
2372	0.535	0.535	0	0	2373	0.529	0.529	0	0
2374	0.401	0.401	0	0	2375	0.934	0.934	0	0
2376	0.934	0.934	0	0	2377	0.431	0.431	0	0
2378	0.981	0.981	0	0	2379	0.981	0.981	0	0
2380	0.427	0.427	0	0	2381	0.495	0.495	0	0
2382	0.503	0.503	0	0	2383	0.153	0.153	0	0
2384	0.307	0.307	0	0	2385	0.307	0.307	0	0
2386	0.307	0.307	0	0	2387	0.307	0.307	0	0
2388	0.307	0.307	0	0	2389	0.307	0.307	0	0
2390	0.307	0.307	0	0	2391	0.307	0.307	0	0
2392	0.307	0.307	0	0	2393	0.153	0.153	0	0
2394	0.541	0.541	0	0	2395	0.534	0.534	0	0
2396	0.541	0.541	0	0	2397	0.779	0.779	0	0
2398	0.779	0.779	0	0	2399	0.537	0.537	0	0
2400	0.757	0.757	0	0	2401	0.757	0.757	0	0
2402	0.741	0.741	0	0	2403	0.741	0.741	0	0
2404	0.531	0.531	0	0	2405	0.626	0.626	0	0
2406	0.626	0.626	0	0	2407	0.704	0.704	0	0
2408	0.704	0.704	0	0	2409	0.691	0.691	0	0
2410	0.691	0.691	0	0	2411	0.566	0.566	0	0
2412	0.576	0.576	0	0	2413	0.66	0.66	0	0
2414	0.66	0.66	0	0	2415	0.652	0.652	0	0
2416	0.652	0.652	0	0	2417	0.614	0.614	0	0
2418	0.614	0.614	0	0	2419	0.66	0.66	0	0
2420	0.66	0.66	0	0	2421	0.632	0.632	0	0
2422	0.632	0.632	0	0	2423	0.602	0.602	0	0
2424	0.602	0.602	0	0	2425	0.628	0.628	0	0
2426	0.628	0.628	0	0	2427	0.159	0.159	0	0
2428	0.319	0.319	0	0	2429	0.319	0.319	0	0
2430	0.319	0.319	0	0	2431	0.319	0.319	0	0
2432	0.319	0.319	0	0	2433	0.319	0.319	0	0
2434	0.319	0.319	0	0	2435	0.319	0.319	0	0
2436	0.319	0.319	0	0	2437	0.319	0.319	0	0
2438	0.159	0.159	0	0	2439	0.304	0.304	0	0
2440	0.305	0.305	0	0	2441	0.4	0.4	0	0
2442	0.4	0.4	0	0	2443	0.806	0.806	0	0

Interventi di miglioramento della diga di Cepparello nel Comune di Poggibonsi (SI)

ET.09.4 – Tabulati di calcolo_Canali fagatori con fondazioni su pali

Nodo	Massa X	Massa Y	Massa Z	Momento Z	Nodo	Massa X	Massa Y	Massa Z	Momento Z
2444	0.806	0.806	0	0	2445	0.822	0.822	0	0
2446	0.822	0.822	0	0	2447	0.829	0.829	0	0
2448	0.829	0.829	0	0	2449	0.822	0.822	0	0
2450	0.822	0.822	0	0	2451	0.807	0.807	0	0
2452	0.807	0.807	0	0	2453	0.399	0.399	0	0
2454	0.398	0.398	0	0	2455	0.788	0.788	0	0
2456	0.797	0.797	0	0	2457	0.345	0.345	0	0
2458	0.345	0.345	0	0	2459	0.458	0.458	0	0
2460	0.695	0.695	0	0	2461	0.695	0.695	0	0
2462	0.702	0.702	0	0	2463	0.702	0.702	0	0
2464	0.707	0.707	0	0	2465	0.707	0.707	0	0
2466	0.709	0.709	0	0	2467	0.709	0.709	0	0
2468	0.707	0.707	0	0	2469	0.707	0.707	0	0
2470	0.701	0.701	0	0	2471	0.701	0.701	0	0
2472	0.694	0.694	0	0	2473	0.694	0.694	0	0
2474	0.346	0.346	0	0	2475	0.346	0.346	0	0
2476	0.434	0.434	0	0	2477	0.607	0.607	0	0
2478	0.629	0.629	0	0	2479	0.153	0.153	0	0
2480	0.307	0.307	0	0	2481	0.307	0.307	0	0
2482	0.307	0.307	0	0	2483	0.307	0.307	0	0
2484	0.307	0.307	0	0	2485	0.307	0.307	0	0
2486	0.307	0.307	0	0	2487	0.307	0.307	0	0
2488	0.307	0.307	0	0	2489	0.153	0.153	0	0
2490	0.566	0.566	0	0	2491	0.553	0.553	0	0
2492	0.159	0.159	0	0	2493	0.319	0.319	0	0
2494	0.319	0.319	0	0	2495	0.319	0.319	0	0
2496	0.319	0.319	0	0	2497	0.319	0.319	0	0
2498	0.319	0.319	0	0	2499	0.319	0.319	0	0
2500	0.319	0.319	0	0	2501	0.319	0.319	0	0
2502	0.319	0.319	0	0	2503	0.159	0.159	0	0
2504	0.488	0.488	0	0	2505	0.487	0.487	0	0
2506	0.513	0.513	0	0	2507	0.435	0.435	0	0
2508	0.441	0.441	0	0	2509	0.212	0.212	0	0
2510	0.236	0.236	0	0	2511	0.236	0.236	0	0
2512	0.177	0.177	0	0	2513	0	0.795	0	0
2514	0	0.675	0	0	2515	0.426	0.426	0	0
2516	0.444	0.444	0	0	2517	0.967	0.967	0	0
2518	1.263	1.263	0	0	2519	0.331	0.331	0	0
2520	0.344	0.344	0	0	2521	0.976	0.976	0	0
2522	1.273	1.273	0	0	2523	0.985	0.985	0	0
2524	0.313	0.313	0	0	2525	0.324	0.324	0	0
2526	0	1.277	0	0	2527	0	1.145	0	0
2528	0.315	0.315	0	0	2529	0.322	0.322	0	0
2530	1.278	1.278	0	0	2531	1.264	1.264	0	0
2532	0.326	0.326	0	0	2533	0.328	0.328	0	0
2534	1.279	1.279	0	0	2535	1.274	1.274	0	0
2536	0.338	0.338	0	0	2537	0.34	0.34	0	0
2538	0	1.279	0	0	2539	0	1.277	0	0
2540	0.354	0.354	0	0	2541	0.354	0.354	0	0
2542	1.279	1.279	0	0	2543	1.278	1.278	0	0
2544	0.363	0.363	0	0	2545	0.363	0.363	0	0
2546	1.278	1.278	0	0	2547	1.279	1.279	0	0
2548	0.354	0.354	0	0	2549	0.354	0.354	0	0
2550	0	1.277	0	0	2551	0	1.279	0	0
2552	0.34	0.34	0	0	2553	0.338	0.338	0	0
2554	1.274	1.274	0	0	2555	1.279	1.279	0	0
2556	0.328	0.328	0	0	2557	0.326	0.326	0	0
2558	1.264	1.264	0	0	2559	1.278	1.278	0	0
2560	0.322	0.322	0	0	2561	0.315	0.315	0	0
2562	0	1.145	0	0	2563	0	1.277	0	0
2564	0.324	0.324	0	0	2565	0.313	0.313	0	0
2566	0.985	0.985	0	0	2567	1.273	1.273	0	0
2568	0.976	0.976	0	0	2569	0.344	0.344	0	0
2570	0.331	0.331	0	0	2571	1.263	1.263	0	0
2572	0.967	0.967	0	0	2573	0.444	0.444	0	0
2574	0.426	0.426	0	0	2575	0	0.675	0	0
2576	0	0.795	0	0	2577	0.177	0.177	0	0
2578	0.236	0.236	0	0	2579	0.236	0.236	0	0
2580	0.212	0.212	0	0	2581	0.623	0.623	0	0
2582	0.604	0.604	0	0	2583	0.343	0.343	0	0
2584	0.343	0.343	0	0	2585	0.404	0.404	0	0
2586	0.404	0.404	0	0	2587	0.81	0.81	0	0
2588	0.81	0.81	0	0	2589	0.818	0.818	0	0
2590	0.818	0.818	0	0	2591	0.821	0.821	0	0
2592	0.821	0.821	0	0	2593	0.818	0.818	0	0
2594	0.818	0.818	0	0	2595	0.811	0.811	0	0
2596	0.811	0.811	0	0	2597	0.403	0.403	0	0
2598	0.403	0.403	0	0	2599	0.153	0.153	0	0
2600	0.307	0.307	0	0	2601	0.307	0.307	0	0
2602	0.307	0.307	0	0	2603	0.307	0.307	0	0
2604	0.307	0.307	0	0	2605	0.307	0.307	0	0
2606	0.307	0.307	0	0	2607	0.307	0.307	0	0
2608	0.307	0.307	0	0	2609	0.153	0.153	0	0
2610	0.173	0.173	0	0	2611	0.174	0.174	0	0
2612	0.08	0.08	0	0	2613	0.213	0.213	0	0
2614	0.159	0.159	0	0	2615	0.349	0.349	0	0
2616	0.35	0.35	0	0	2617	0.439	0.439	0	0
2618	0.159	0.159	0	0	2619	0.351	0.351	0	0
2620	0.351	0.351	0	0	2621	0.159	0.159	0	0
2622	0.351	0.351	0	0	2623	0.159	0.159	0	0
2624	0.353	0.353	0	0	2625	0.352	0.352	0	0
2626	0.31	0.31	0	0	2627	0.159	0.159	0	0
2628	0.353	0.353	0	0	2629	0.352	0.352	0	0
2630	0.159	0.159	0	0	2631	0.311	0.311	0	0
2632	0.352	0.352	0	0	2633	0.351	0.351	0	0
2634	0.159	0.159	0	0	2635	0.351	0.351	0	0
2636	0.159	0.159	0	0	2637	0.35	0.35	0	0
2638	0.35	0.35	0	0	2639	0.159	0.159	0	0
2640	0.443	0.443	0	0	2641	0.348	0.348	0	0

Nodo	Massa X	Massa Y	Massa Z	Momento Z	Nodo	Massa X	Massa Y	Massa Z	Momento Z
2642	0.349	0.349	0	0	2643	0.159	0.159	0	0
2644	0.175	0.175	0	0	2645	0.175	0.175	0	0
2646	0.08	0.08	0	0	2647	0.211	0.211	0	0
2648	0.307	0.307	0	0	2649	0.316	0.316	0	0
2650	0.427	0.427	0	0	2651	0.446	0.446	0	0
2652	0.493	0.493	0	0	2653	0.153	0.153	0	0
2654	0.307	0.307	0	0	2655	0.307	0.307	0	0
2656	0.307	0.307	0	0	2657	0.307	0.307	0	0
2658	0.307	0.307	0	0	2659	0.307	0.307	0	0
2660	0.307	0.307	0	0	2661	0.307	0.307	0	0
2662	0.307	0.307	0	0	2663	0.153	0.153	0	0
2664	0.769	0.769	0	0	2665	0.772	0.772	0	0
2666	0.433	0.433	0	0	2667	0.429	0.429	0	0
2668	0.203	0.203	0	0	2669	0.203	0.203	0	0
2670	0.406	0.406	0	0	2671	0.405	0.405	0	0
2672	0.407	0.407	0	0	2673	0.407	0.407	0	0
2674	0.408	0.408	0	0	2675	0.409	0.409	0	0
2676	0.408	0.408	0	0	2677	0.409	0.409	0	0
2678	0.407	0.407	0	0	2679	0.407	0.407	0	0
2680	0.203	0.203	0	0	2681	0.202	0.202	0	0
2682	0.624	0.624	0	0	2683	0.636	0.636	0	0
2684	0.585	0.585	0	0	2685	0.153	0.153	0	0
2686	0.307	0.307	0	0	2687	0.307	0.307	0	0
2688	0.307	0.307	0	0	2689	0.307	0.307	0	0
2690	0.307	0.307	0	0	2691	0.307	0.307	0	0
2692	0.307	0.307	0	0	2693	0.307	0.307	0	0
2694	0.307	0.307	0	0	2695	0.153	0.153	0	0
2696	0.077	0.077	0	0	2697	0.21	0.21	0	0
2698	0.153	0.153	0	0	2699	0.428	0.428	0	0
2700	0.153	0.153	0	0	2701	0.153	0.153	0	0
2702	0.355	0.355	0	0	2703	0.153	0.153	0	0
2704	0.153	0.153	0	0	2705	0.328	0.328	0	0
2706	0.153	0.153	0	0	2707	0.36	0.36	0	0
2708	0.153	0.153	0	0	2709	0.153	0.153	0	0
2710	0.449	0.449	0	0	2711	0.153	0.153	0	0
2712	0.077	0.077	0	0	2713	0.212	0.212	0	0

4.6 Masse di piano

Quota: quota, livello o falda, a cui compete la massa risultante.

Massa X: massa per la componente di spostamento lungo l'asse X. [daN/(cm/s²)]

Massa Y: massa per la componente di spostamento lungo l'asse Y. [daN/(cm/s²)]

Quota	Massa X	Massa Y	Quota	Massa X	Massa Y
Quota terreno lato diga	66.311	66.311	Testa muro di monte	145.734	158.632
Testa muro intermedio	55.766	55.766	Testa muro di valle sx	53.729	53.729
Testa muro di valle dx	64.174	64.174	Altre quote	78.544	78.544

4.7 Gusci

4.7.1 Caratteristiche meccaniche gusci

Indice: numero dell'elemento nell'insieme che lo contiene.

Comportamento: comportamento del materiale.

E1: modulo di elasticità longitudinale, lungo l'asse 1 del sistema di riferimento locale. [daN/cm²]

v: modulo di Poisson. Il valore è adimensionale.

E2: modulo di elasticità longitudinale, lungo l'asse 2 del sistema di riferimento locale. [daN/cm²]

G: modulo di elasticità tangenziale. [daN/cm²]

α: coefficiente di dilatazione termica longitudinale. [°C-1]

Peso unitario: peso per unità di volume, riferito allo spessore membranale. [daN/cm³]

Indice	Comportamento	E1	v	E2	G	α	Peso unitario
1	Isotropo	336428	0.1	0	0	0.00001	0.0025

4.7.2 Definizioni gusci

In.: numero dell'elemento nell'insieme che lo contiene.

Nodo I: primo nodo di definizione dell'elemento.

Nodo J: secondo nodo di definizione dell'elemento.

Nodo L: terzo nodo di definizione dell'elemento; nel caso di elementi triangolari non è definito.

Nodo K: ultimo nodo di definizione dell'elemento.

Sp.mem.: spessore membranale dell'elemento. [cm]

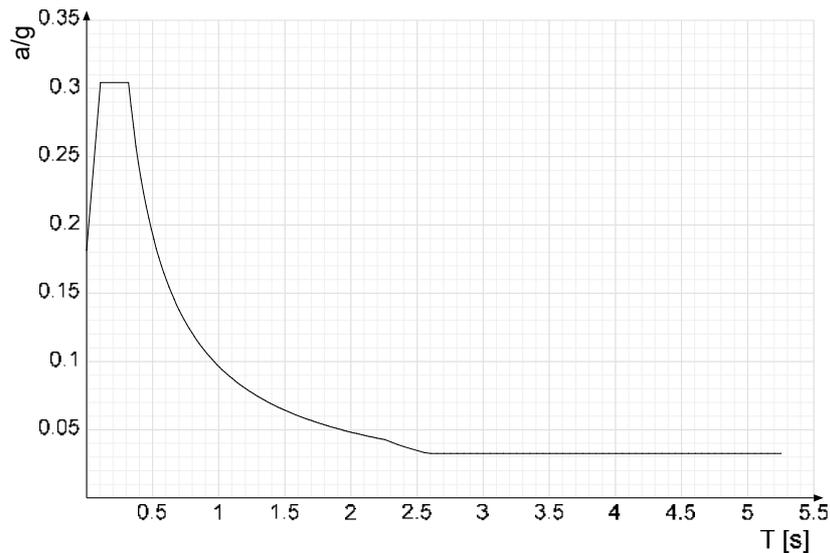
Sp.fless.: spessore flessionale dell'elemento. [cm]

Tm: variazione termica nel piano medio dell'elemento. [°C]

Mat.: caratteristiche meccaniche dell'elemento.

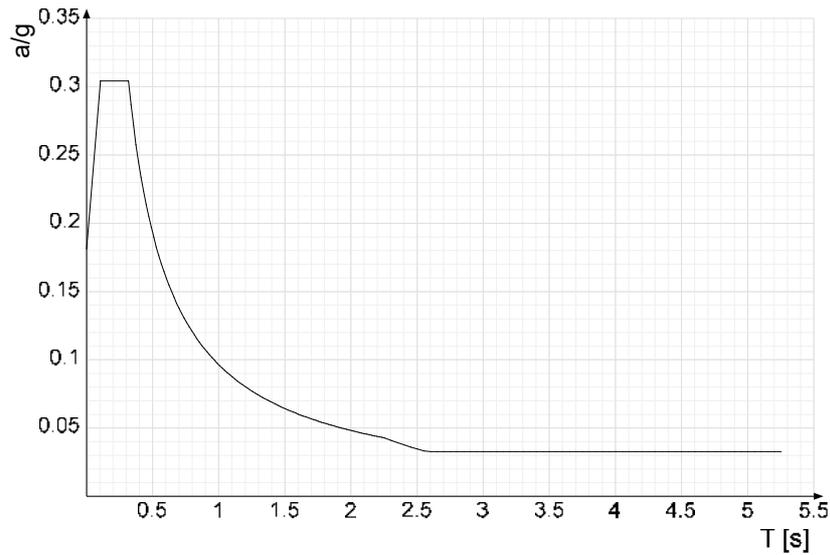
Ind.: numero dell'elemento nell'insieme che lo contiene.

In.	Nodo I	Nodo J	Nodo L	Nodo K	Sp.mem.	Sp.fless.	Tm	Mat. ind.	In.	Nodo I	Nodo J	Nodo L	Nodo K	Sp.mem.	Sp.fless.	Tm	Mat. ind.
1	812	814	863	843	60	60	0	1	2	843	863	890	874	60	60	0	1
3	874	890	921	905	60	60	0	1	4	905	921	952	936	60	60	0	1
5	936	952	983	967	60	60	0	1	6	967	983	1014	998	60	60	0	1
7	998	1014	1043	1029	60	60	0	1	8	1029	1043	1072	1060	60	60	0	1
9	1060	1072	1093	1091	60	60	0	1	10	1091	1093	1122	1141	60	60	0	1
11	1141	1122	1160	1172	60	60	0	1	12	1172	1160	1197	1207	60	60	0	1
13	1207	1197	1228	1234	60	60	0	1	14	1234	1228	1259	1269	60	60	0	1
15	1269	1259	1290	1296	60	60	0	1	16	1296	1290	1321	1331	60	60	0	1
17	1331	1321	1348	1358	60	60	0	1	18	1358	1348	1372	1370	60	60	0	1
19	814	815	870	863	60	60	0	1	20	863	870	901	890	60	60	0	1
21	890	901	932	921	60	60	0	1	22	921	932	963	952	60	60	0	1
23	952	963	994	983	60	60	0	1	24	983	994	1025	1014	60	60	0	1
25	1014	1025	1056	1043	60	60	0	1	26	1043	1056	1084	1072	60	60	0	1
27	1072	1084	1094	1093	60	60	0	1	28	1093	1094	1123	1122	60	60	0	1
29	1122	1123	1153	1160	60	60	0	1	30	1160	1153	1186	1197	60	60	0	1
31	1197	1186	1217	1228	60	60	0	1	32	1228	1217	1248	1259	60	60	0	1
33	1259	1248	1279	1290	60	60	0	1	34	1290	1279	1310	1321	60	60	0	1



Ind.vertice	T	a/g	Ind.vertice	T	a/g	Ind.vertice	T	a/g	Ind.vertice	T	a/g
1	0	0.181	2	0.105	0.304	3	0.317	0.304	4	0.336	0.287
5	0.355	0.271	6	0.375	0.258	7	0.394	0.245	8	0.413	0.234
9	0.432	0.223	10	0.451	0.214	11	0.47	0.205	12	0.49	0.197
13	0.509	0.19	14	0.528	0.183	15	0.547	0.176	16	0.566	0.17
17	0.585	0.165	18	0.605	0.16	19	0.624	0.155	20	0.643	0.15
21	0.662	0.146	22	0.681	0.142	23	0.7	0.138	24	0.72	0.134
25	0.739	0.131	26	0.758	0.127	27	0.777	0.124	28	0.796	0.121
29	0.815	0.118	30	0.835	0.116	31	0.854	0.113	32	0.873	0.111
33	0.892	0.108	34	0.911	0.106	35	0.93	0.104	36	0.95	0.102
37	0.969	0.1	38	0.988	0.098	39	1.007	0.096	40	1.026	0.094
41	1.046	0.092	42	1.065	0.091	43	1.084	0.089	44	1.103	0.087
45	1.122	0.086	46	1.141	0.085	47	1.161	0.083	48	1.18	0.082
49	1.199	0.08	50	1.218	0.079	51	1.237	0.078	52	1.256	0.077
53	1.276	0.076	54	1.295	0.075	55	1.314	0.073	56	1.333	0.072
57	1.352	0.071	58	1.371	0.07	59	1.391	0.069	60	1.41	0.068
61	1.429	0.068	62	1.448	0.067	63	1.467	0.066	64	1.486	0.065
65	1.506	0.064	66	1.525	0.063	67	1.544	0.062	68	1.563	0.062
69	1.582	0.061	70	1.601	0.06	71	1.621	0.06	72	1.64	0.059
73	1.659	0.058	74	1.678	0.057	75	1.697	0.057	76	1.717	0.056
77	1.736	0.056	78	1.755	0.055	79	1.774	0.054	80	1.793	0.054
81	1.812	0.053	82	1.832	0.053	83	1.851	0.052	84	1.87	0.052
85	1.889	0.051	86	1.908	0.051	87	1.927	0.05	88	1.947	0.05
89	1.966	0.049	90	1.985	0.049	91	2.004	0.048	92	2.023	0.048
93	2.042	0.047	94	2.062	0.047	95	2.081	0.046	96	2.1	0.046
97	2.119	0.046	98	2.138	0.045	99	2.157	0.045	100	2.177	0.044
101	2.196	0.044	102	2.215	0.044	103	2.234	0.043	104	2.253	0.043
105	2.303	0.041	106	2.353	0.039	107	2.403	0.038	108	2.453	0.036
109	2.503	0.035	110	2.553	0.033	111	2.603	0.033	112	2.653	0.033
113	2.703	0.033	114	2.753	0.033	115	2.803	0.033	116	2.853	0.033
117	2.903	0.033	118	2.953	0.033	119	3.003	0.033	120	3.053	0.033
121	3.103	0.033	122	3.153	0.033	123	3.203	0.033	124	3.253	0.033
125	3.303	0.033	126	3.353	0.033	127	3.403	0.033	128	3.453	0.033
129	3.503	0.033	130	3.553	0.033	131	3.603	0.033	132	3.653	0.033
133	3.703	0.033	134	3.753	0.033	135	3.803	0.033	136	3.853	0.033
137	3.903	0.033	138	3.953	0.033	139	4.003	0.033	140	4.053	0.033
141	4.103	0.033	142	4.153	0.033	143	4.203	0.033	144	4.253	0.033
145	4.303	0.033	146	4.353	0.033	147	4.403	0.033	148	4.453	0.033
149	4.503	0.033	150	4.553	0.033	151	4.603	0.033	152	4.653	0.033
153	4.703	0.033	154	4.753	0.033	155	4.803	0.033	156	4.853	0.033
157	4.903	0.033	158	4.953	0.033	159	5.003	0.033	160	5.053	0.033
161	5.103	0.033	162	5.153	0.033	163	5.203	0.033	164	5.253	0.033

Sisma Y SLV

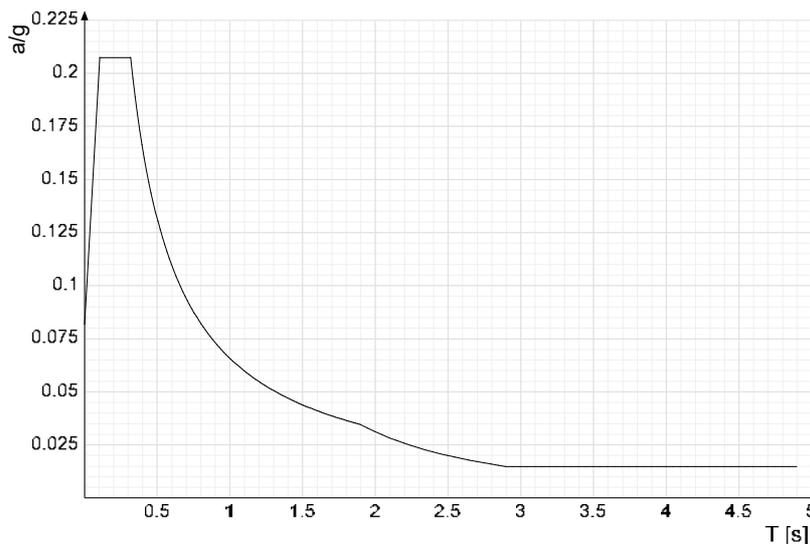


Ind.vertice	T	a/g	Ind.vertice	T	a/g	Ind.vertice	T	a/g	Ind.vertice	T	a/g
1	0	0.181	2	0.105	0.304	3	0.317	0.304	4	0.336	0.287
5	0.355	0.271	6	0.375	0.258	7	0.394	0.245	8	0.413	0.234
9	0.432	0.223	10	0.451	0.214	11	0.47	0.205	12	0.49	0.197
13	0.509	0.19	14	0.528	0.183	15	0.547	0.176	16	0.566	0.17
17	0.585	0.165	18	0.605	0.16	19	0.624	0.155	20	0.643	0.15
21	0.662	0.146	22	0.681	0.142	23	0.7	0.138	24	0.72	0.134
25	0.739	0.131	26	0.758	0.127	27	0.777	0.124	28	0.796	0.121
29	0.815	0.118	30	0.835	0.116	31	0.854	0.113	32	0.873	0.111
33	0.892	0.108	34	0.911	0.106	35	0.93	0.104	36	0.95	0.102
37	0.969	0.1	38	0.988	0.098	39	1.007	0.096	40	1.026	0.094
41	1.046	0.092	42	1.065	0.091	43	1.084	0.089	44	1.103	0.087
45	1.122	0.086	46	1.141	0.085	47	1.161	0.083	48	1.18	0.082
49	1.199	0.08	50	1.218	0.079	51	1.237	0.078	52	1.256	0.077
53	1.276	0.076	54	1.295	0.075	55	1.314	0.073	56	1.333	0.072
57	1.352	0.071	58	1.371	0.07	59	1.391	0.069	60	1.41	0.068
61	1.429	0.068	62	1.448	0.067	63	1.467	0.066	64	1.486	0.065
65	1.506	0.064	66	1.525	0.063	67	1.544	0.062	68	1.563	0.062
69	1.582	0.061	70	1.601	0.06	71	1.621	0.06	72	1.64	0.059
73	1.659	0.058	74	1.678	0.057	75	1.697	0.057	76	1.717	0.056
77	1.736	0.056	78	1.755	0.055	79	1.774	0.054	80	1.793	0.054
81	1.812	0.053	82	1.832	0.053	83	1.851	0.052	84	1.87	0.052
85	1.889	0.051	86	1.908	0.051	87	1.927	0.05	88	1.947	0.05
89	1.966	0.049	90	1.985	0.049	91	2.004	0.048	92	2.023	0.048
93	2.042	0.047	94	2.062	0.047	95	2.081	0.046	96	2.1	0.046
97	2.119	0.046	98	2.138	0.045	99	2.157	0.045	100	2.177	0.044
101	2.196	0.044	102	2.215	0.044	103	2.234	0.043	104	2.253	0.043
105	2.303	0.041	106	2.353	0.039	107	2.403	0.038	108	2.453	0.036
109	2.503	0.035	110	2.553	0.033	111	2.603	0.033	112	2.653	0.033
113	2.703	0.033	114	2.753	0.033	115	2.803	0.033	116	2.853	0.033
117	2.903	0.033	118	2.953	0.033	119	3.003	0.033	120	3.053	0.033
121	3.103	0.033	122	3.153	0.033	123	3.203	0.033	124	3.253	0.033
125	3.303	0.033	126	3.353	0.033	127	3.403	0.033	128	3.453	0.033
129	3.503	0.033	130	3.553	0.033	131	3.603	0.033	132	3.653	0.033
133	3.703	0.033	134	3.753	0.033	135	3.803	0.033	136	3.853	0.033
137	3.903	0.033	138	3.953	0.033	139	4.003	0.033	140	4.053	0.033
141	4.103	0.033	142	4.153	0.033	143	4.203	0.033	144	4.253	0.033
145	4.303	0.033	146	4.353	0.033	147	4.403	0.033	148	4.453	0.033
149	4.503	0.033	150	4.553	0.033	151	4.603	0.033	152	4.653	0.033
153	4.703	0.033	154	4.753	0.033	155	4.803	0.033	156	4.853	0.033
157	4.903	0.033	158	4.953	0.033	159	5.003	0.033	160	5.053	0.033
161	5.103	0.033	162	5.153	0.033	163	5.203	0.033	164	5.253	0.033

Interventi di miglioramento della diga di Cepparello nel Comune di Poggibonsi (SI)

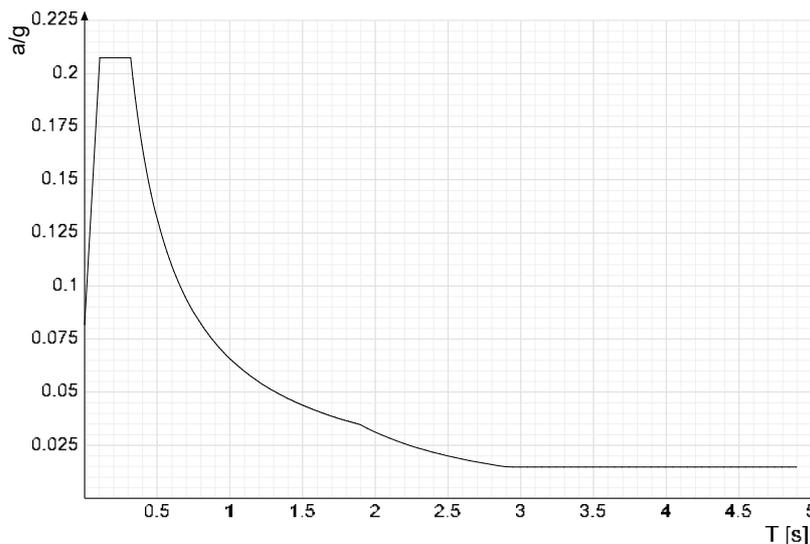
ET.09.4 – Tabulati di calcolo_Canali fugatori con fondazioni su pali

Sisma X SLD



Ind.vertice	T	a/g	Ind.vertice	T	a/g	Ind.vertice	T	a/g	Ind.vertice	T	a/g
1	0	0.082	2	0.105	0.207	3	0.317	0.207	4	0.333	0.198
5	0.348	0.189	6	0.364	0.181	7	0.379	0.173	8	0.395	0.166
9	0.411	0.16	10	0.426	0.154	11	0.442	0.149	12	0.458	0.144
13	0.473	0.139	14	0.489	0.134	15	0.504	0.13	16	0.52	0.126
17	0.536	0.123	18	0.551	0.119	19	0.567	0.116	20	0.583	0.113
21	0.598	0.11	22	0.614	0.107	23	0.629	0.104	24	0.645	0.102
25	0.661	0.1	26	0.676	0.097	27	0.692	0.095	28	0.708	0.093
29	0.723	0.091	30	0.739	0.089	31	0.754	0.087	32	0.77	0.085
33	0.786	0.084	34	0.801	0.082	35	0.817	0.08	36	0.833	0.079
37	0.848	0.078	38	0.864	0.076	39	0.879	0.075	40	0.895	0.073
41	0.911	0.072	42	0.926	0.071	43	0.942	0.07	44	0.958	0.069
45	0.973	0.068	46	0.989	0.066	47	1.004	0.065	48	1.02	0.064
49	1.036	0.063	50	1.051	0.063	51	1.067	0.062	52	1.082	0.061
53	1.098	0.06	54	1.114	0.059	55	1.129	0.058	56	1.145	0.057
57	1.161	0.057	58	1.176	0.056	59	1.192	0.055	60	1.207	0.054
61	1.223	0.054	62	1.239	0.053	63	1.254	0.052	64	1.27	0.052
65	1.286	0.051	66	1.301	0.051	67	1.317	0.05	68	1.332	0.049
69	1.348	0.049	70	1.364	0.048	71	1.379	0.048	72	1.395	0.047
73	1.411	0.047	74	1.426	0.046	75	1.442	0.046	76	1.457	0.045
77	1.473	0.045	78	1.489	0.044	79	1.504	0.044	80	1.52	0.043
81	1.536	0.043	82	1.551	0.042	83	1.567	0.042	84	1.582	0.042
85	1.598	0.041	86	1.614	0.041	87	1.629	0.04	88	1.645	0.04
89	1.661	0.04	90	1.676	0.039	91	1.692	0.039	92	1.707	0.039
93	1.723	0.038	94	1.739	0.038	95	1.754	0.037	96	1.77	0.037
97	1.785	0.037	98	1.801	0.037	99	1.817	0.036	100	1.832	0.036
101	1.848	0.036	102	1.864	0.035	103	1.879	0.035	104	1.895	0.035
105	1.945	0.033	106	1.995	0.031	107	2.045	0.03	108	2.095	0.028
109	2.145	0.027	110	2.195	0.026	111	2.245	0.025	112	2.295	0.024
113	2.345	0.023	114	2.395	0.022	115	2.445	0.021	116	2.495	0.02
117	2.545	0.019	118	2.595	0.019	119	2.645	0.018	120	2.695	0.017
121	2.745	0.017	122	2.795	0.016	123	2.845	0.015	124	2.895	0.015
125	2.945	0.015	126	2.995	0.015	127	3.045	0.015	128	3.095	0.015
129	3.145	0.015	130	3.195	0.015	131	3.245	0.015	132	3.295	0.015
133	3.345	0.015	134	3.395	0.015	135	3.445	0.015	136	3.495	0.015
137	3.545	0.015	138	3.595	0.015	139	3.645	0.015	140	3.695	0.015
141	3.745	0.015	142	3.795	0.015	143	3.845	0.015	144	3.895	0.015
145	3.945	0.015	146	3.995	0.015	147	4.045	0.015	148	4.095	0.015
149	4.145	0.015	150	4.195	0.015	151	4.245	0.015	152	4.295	0.015
153	4.345	0.015	154	4.395	0.015	155	4.445	0.015	156	4.495	0.015
157	4.545	0.015	158	4.595	0.015	159	4.645	0.015	160	4.695	0.015
161	4.745	0.015	162	4.795	0.015	163	4.845	0.015	164	4.895	0.015

Sisma Y SLD

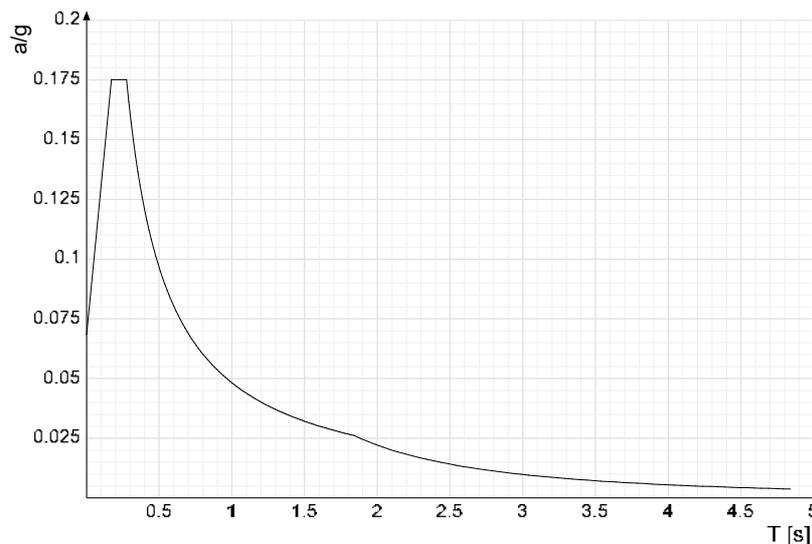


Ind.vertice	T	a/g	Ind.vertice	T	a/g	Ind.vertice	T	a/g	Ind.vertice	T	a/g
1	0	0.082	2	0.105	0.207	3	0.317	0.207	4	0.333	0.198
5	0.348	0.189	6	0.364	0.181	7	0.379	0.173	8	0.395	0.166
9	0.411	0.16	10	0.426	0.154	11	0.442	0.149	12	0.458	0.144
13	0.473	0.139	14	0.489	0.134	15	0.504	0.13	16	0.52	0.126
17	0.536	0.123	18	0.551	0.119	19	0.567	0.116	20	0.583	0.113
21	0.598	0.11	22	0.614	0.107	23	0.629	0.104	24	0.645	0.102
25	0.661	0.1	26	0.676	0.097	27	0.692	0.095	28	0.708	0.093
29	0.723	0.091	30	0.739	0.089	31	0.754	0.087	32	0.77	0.085
33	0.786	0.084	34	0.801	0.082	35	0.817	0.08	36	0.833	0.079
37	0.848	0.078	38	0.864	0.076	39	0.879	0.075	40	0.895	0.073
41	0.911	0.072	42	0.926	0.071	43	0.942	0.07	44	0.958	0.069
45	0.973	0.068	46	0.989	0.066	47	1.004	0.065	48	1.02	0.064
49	1.036	0.063	50	1.051	0.063	51	1.067	0.062	52	1.082	0.061
53	1.098	0.06	54	1.114	0.059	55	1.129	0.058	56	1.145	0.057
57	1.161	0.057	58	1.176	0.056	59	1.192	0.055	60	1.207	0.054
61	1.223	0.054	62	1.239	0.053	63	1.254	0.052	64	1.27	0.052
65	1.286	0.051	66	1.301	0.051	67	1.317	0.05	68	1.332	0.049
69	1.348	0.049	70	1.364	0.048	71	1.379	0.048	72	1.395	0.047
73	1.411	0.047	74	1.426	0.046	75	1.442	0.046	76	1.457	0.045
77	1.473	0.045	78	1.489	0.044	79	1.504	0.044	80	1.52	0.043
81	1.536	0.043	82	1.551	0.042	83	1.567	0.042	84	1.582	0.042
85	1.598	0.041	86	1.614	0.041	87	1.629	0.04	88	1.645	0.04
89	1.661	0.04	90	1.676	0.039	91	1.692	0.039	92	1.707	0.039
93	1.723	0.038	94	1.739	0.038	95	1.754	0.037	96	1.77	0.037
97	1.785	0.037	98	1.801	0.037	99	1.817	0.036	100	1.832	0.036
101	1.848	0.036	102	1.864	0.035	103	1.879	0.035	104	1.895	0.035
105	1.945	0.033	106	1.995	0.031	107	2.045	0.03	108	2.095	0.028
109	2.145	0.027	110	2.195	0.026	111	2.245	0.025	112	2.295	0.024
113	2.345	0.023	114	2.395	0.022	115	2.445	0.021	116	2.495	0.02
117	2.545	0.019	118	2.595	0.019	119	2.645	0.018	120	2.695	0.017
121	2.745	0.017	122	2.795	0.016	123	2.845	0.015	124	2.895	0.015
125	2.945	0.015	126	2.995	0.015	127	3.045	0.015	128	3.095	0.015
129	3.145	0.015	130	3.195	0.015	131	3.245	0.015	132	3.295	0.015
133	3.345	0.015	134	3.395	0.015	135	3.445	0.015	136	3.495	0.015
137	3.545	0.015	138	3.595	0.015	139	3.645	0.015	140	3.695	0.015
141	3.745	0.015	142	3.795	0.015	143	3.845	0.015	144	3.895	0.015
145	3.945	0.015	146	3.995	0.015	147	4.045	0.015	148	4.095	0.015
149	4.145	0.015	150	4.195	0.015	151	4.245	0.015	152	4.295	0.015
153	4.345	0.015	154	4.395	0.015	155	4.445	0.015	156	4.495	0.015
157	4.545	0.015	158	4.595	0.015	159	4.645	0.015	160	4.695	0.015
161	4.745	0.015	162	4.795	0.015	163	4.845	0.015	164	4.895	0.015

Interventi di miglioramento della diga di Cepparello nel Comune di Poggibonsi (SI)

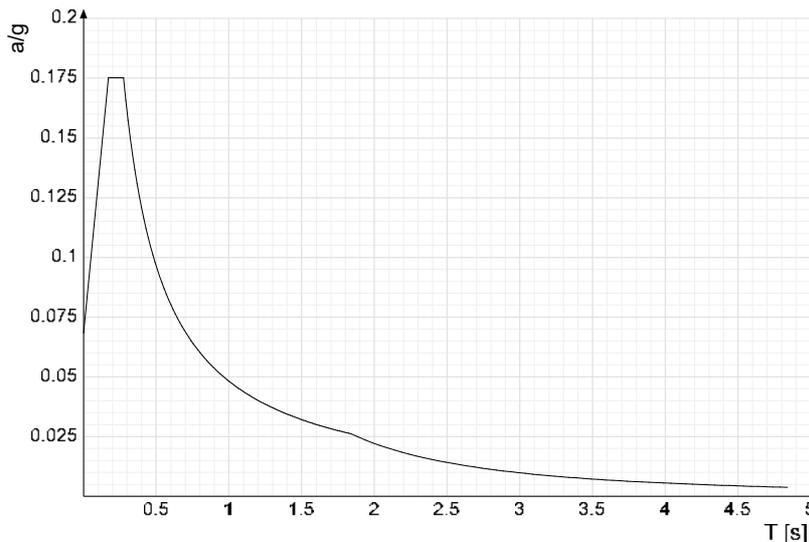
ET.09.4 – Tabulati di calcolo_Canali fugatori con fondazioni su pali

Sisma X SLO



Ind.vertice	T	a/g	Ind.vertice	T	a/g	Ind.vertice	T	a/g	Ind.vertice	T	a/g
1	0	0.068	2	0.172	0.175	3	0.275	0.175	4	0.29	0.166
5	0.306	0.157	6	0.321	0.15	7	0.337	0.143	8	0.352	0.137
9	0.368	0.131	10	0.383	0.126	11	0.399	0.121	12	0.414	0.116
13	0.43	0.112	14	0.445	0.108	15	0.461	0.105	16	0.476	0.101
17	0.492	0.098	18	0.507	0.095	19	0.523	0.092	20	0.538	0.089
21	0.554	0.087	22	0.569	0.085	23	0.585	0.082	24	0.6	0.08
25	0.616	0.078	26	0.631	0.076	27	0.647	0.074	28	0.662	0.073
29	0.678	0.071	30	0.693	0.069	31	0.708	0.068	32	0.724	0.067
33	0.739	0.065	34	0.755	0.064	35	0.77	0.063	36	0.786	0.061
37	0.801	0.06	38	0.817	0.059	39	0.832	0.058	40	0.848	0.057
41	0.863	0.056	42	0.879	0.055	43	0.894	0.054	44	0.91	0.053
45	0.925	0.052	46	0.941	0.051	47	0.956	0.05	48	0.972	0.05
49	0.987	0.049	50	1.003	0.048	51	1.018	0.047	52	1.034	0.047
53	1.049	0.046	54	1.065	0.045	55	1.08	0.045	56	1.096	0.044
57	1.111	0.043	58	1.126	0.043	59	1.142	0.042	60	1.157	0.042
61	1.173	0.041	62	1.188	0.041	63	1.204	0.04	64	1.219	0.039
65	1.235	0.039	66	1.25	0.039	67	1.266	0.038	68	1.281	0.038
69	1.297	0.037	70	1.312	0.037	71	1.328	0.036	72	1.343	0.036
73	1.359	0.035	74	1.374	0.035	75	1.39	0.035	76	1.405	0.034
77	1.421	0.034	78	1.436	0.034	79	1.452	0.033	80	1.467	0.033
81	1.483	0.032	82	1.498	0.032	83	1.514	0.032	84	1.529	0.031
85	1.544	0.031	86	1.56	0.031	87	1.575	0.031	88	1.591	0.03
89	1.606	0.03	90	1.622	0.03	91	1.637	0.029	92	1.653	0.029
93	1.668	0.029	94	1.684	0.029	95	1.699	0.028	96	1.715	0.028
97	1.73	0.028	98	1.746	0.028	99	1.761	0.027	100	1.777	0.027
101	1.792	0.027	102	1.808	0.027	103	1.823	0.026	104	1.839	0.026
105	1.889	0.025	106	1.939	0.024	107	1.989	0.022	108	2.039	0.021
109	2.089	0.02	110	2.139	0.019	111	2.189	0.018	112	2.239	0.018
113	2.289	0.017	114	2.339	0.016	115	2.389	0.016	116	2.439	0.015
117	2.489	0.014	118	2.539	0.014	119	2.589	0.013	120	2.639	0.013
121	2.689	0.012	122	2.739	0.012	123	2.789	0.011	124	2.839	0.011
125	2.889	0.011	126	2.939	0.01	127	2.989	0.01	128	3.039	0.01
129	3.089	0.009	130	3.139	0.009	131	3.189	0.009	132	3.239	0.008
133	3.289	0.008	134	3.339	0.008	135	3.389	0.008	136	3.439	0.007
137	3.489	0.007	138	3.539	0.007	139	3.589	0.007	140	3.639	0.007
141	3.689	0.007	142	3.739	0.006	143	3.789	0.006	144	3.839	0.006
145	3.889	0.006	146	3.939	0.006	147	3.989	0.006	148	4.039	0.005
149	4.089	0.005	150	4.139	0.005	151	4.189	0.005	152	4.239	0.005
153	4.289	0.005	154	4.339	0.005	155	4.389	0.005	156	4.439	0.004
157	4.489	0.004	158	4.539	0.004	159	4.589	0.004	160	4.639	0.004
161	4.689	0.004	162	4.739	0.004	163	4.789	0.004	164	4.839	0.004

Sisma Y SLO



Ind.vertice	T	a/g	Ind.vertice	T	a/g	Ind.vertice	T	a/g	Ind.vertice	T	a/g
1	0	0.068	2	0.172	0.175	3	0.275	0.175	4	0.29	0.166
5	0.306	0.157	6	0.321	0.15	7	0.337	0.143	8	0.352	0.137
9	0.368	0.131	10	0.383	0.126	11	0.399	0.121	12	0.414	0.116
13	0.43	0.112	14	0.445	0.108	15	0.461	0.105	16	0.476	0.101
17	0.492	0.098	18	0.507	0.095	19	0.523	0.092	20	0.538	0.089
21	0.554	0.087	22	0.569	0.085	23	0.585	0.082	24	0.6	0.08
25	0.616	0.078	26	0.631	0.076	27	0.647	0.074	28	0.662	0.073
29	0.678	0.071	30	0.693	0.069	31	0.708	0.068	32	0.724	0.067
33	0.739	0.065	34	0.755	0.064	35	0.77	0.063	36	0.786	0.061
37	0.801	0.06	38	0.817	0.059	39	0.832	0.058	40	0.848	0.057
41	0.863	0.056	42	0.879	0.055	43	0.894	0.054	44	0.91	0.053
45	0.925	0.052	46	0.941	0.051	47	0.956	0.05	48	0.972	0.05
49	0.987	0.049	50	1.003	0.048	51	1.018	0.047	52	1.034	0.047
53	1.049	0.046	54	1.065	0.045	55	1.08	0.045	56	1.096	0.044
57	1.111	0.043	58	1.126	0.043	59	1.142	0.042	60	1.157	0.042
61	1.173	0.041	62	1.188	0.041	63	1.204	0.04	64	1.219	0.039
65	1.235	0.039	66	1.25	0.039	67	1.266	0.038	68	1.281	0.038
69	1.297	0.037	70	1.312	0.037	71	1.328	0.036	72	1.343	0.036
73	1.359	0.035	74	1.374	0.035	75	1.39	0.035	76	1.405	0.034
77	1.421	0.034	78	1.436	0.034	79	1.452	0.033	80	1.467	0.033
81	1.483	0.032	82	1.498	0.032	83	1.514	0.032	84	1.529	0.031
85	1.544	0.031	86	1.56	0.031	87	1.575	0.031	88	1.591	0.03
89	1.606	0.03	90	1.622	0.03	91	1.637	0.029	92	1.653	0.029
93	1.668	0.029	94	1.684	0.029	95	1.699	0.028	96	1.715	0.028
97	1.73	0.028	98	1.746	0.028	99	1.761	0.027	100	1.777	0.027
101	1.792	0.027	102	1.808	0.027	103	1.823	0.026	104	1.839	0.026
105	1.889	0.025	106	1.939	0.024	107	1.989	0.022	108	2.039	0.021
109	2.089	0.02	110	2.139	0.019	111	2.189	0.018	112	2.239	0.018
113	2.289	0.017	114	2.339	0.016	115	2.389	0.016	116	2.439	0.015
117	2.489	0.014	118	2.539	0.014	119	2.589	0.013	120	2.639	0.013
121	2.689	0.012	122	2.739	0.012	123	2.789	0.011	124	2.839	0.011
125	2.889	0.011	126	2.939	0.01	127	2.989	0.01	128	3.039	0.01
129	3.089	0.009	130	3.139	0.009	131	3.189	0.009	132	3.239	0.008
133	3.289	0.008	134	3.339	0.008	135	3.389	0.008	136	3.439	0.007
137	3.489	0.007	138	3.539	0.007	139	3.589	0.007	140	3.639	0.007
141	3.689	0.007	142	3.739	0.006	143	3.789	0.006	144	3.839	0.006
145	3.889	0.006	146	3.939	0.006	147	3.989	0.006	148	4.039	0.005
149	4.089	0.005	150	4.139	0.005	151	4.189	0.005	152	4.239	0.005
153	4.289	0.005	154	4.339	0.005	155	4.389	0.005	156	4.439	0.004
157	4.489	0.004	158	4.539	0.004	159	4.589	0.004	160	4.639	0.004
161	4.689	0.004	162	4.739	0.004	163	4.789	0.004	164	4.839	0.004

5 Risultati numerici

5.1 Spostamenti nodali estremi

Nodo: nodo interessato dallo spostamento.

Ind.: indice del nodo.

Cont.: condizione o combinazione di carico a cui si riferisce lo spostamento.

N.br.: nome breve della condizione o combinazione di carico.

Spostamento: spostamento traslazionale del nodo.

ux: componente X dello spostamento del nodo. [cm]

uy: componente Y dello spostamento del nodo. [cm]

uz: componente Z dello spostamento del nodo. [cm]

Rotazione: spostamento rotazionale del nodo.

rx: componente X della rotazione del nodo. [deg]

ry: componente Y della rotazione del nodo. [deg]

rz: componente Z della rotazione del nodo. [deg]

Spostamenti nodali con componente Ux minima

Vengono mostrati i soli 5 nodi più sollecitati.

Nodo Ind.	Cont. N.br.	Spostamento			Rotazione		
		ux	uy	uz	rx	ry	rz
2702	SLV FO 3	-6.06766	0.27564	0.07976	-0.0055	-0.2178	0
2699	SLV FO 3	-6.0676	0.27565	0.08773	-0.0055	-0.2179	0.0004
2707	SLV FO 1	-6.06739	-0.27371	0.07977	0.0055	-0.2178	-0.0001
2710	SLV FO 1	-6.06704	-0.27372	0.08775	0.0055	-0.2179	-0.0005
2697	SLV FO 3	-6.06701	0.27565	0.09571	-0.0055	-0.218	0.0006

Spostamenti nodali con componente Ux massima

Vengono mostrati i soli 5 nodi più sollecitati.

Nodo Ind.	Cont. N.br.	Spostamento			Rotazione		
		ux	uy	uz	rx	ry	rz
2700	SLV FO 15	6.06686	0.2717	0.08626	-0.0055	0.2175	-0.0002
2701	SLV FO 15	6.06681	0.2717	0.0815	-0.0054	0.2175	0.0001
2698	SLV FO 15	6.06668	0.27171	0.09102	-0.0055	0.2176	-0.0004
2708	SLV FO 13	6.06647	-0.26968	0.08151	0.0054	0.2175	0
2703	SLV FO 15	6.06646	0.2717	0.07675	-0.0055	0.2175	0.0004

Spostamenti nodali con componente Uy minima

Vengono mostrati i soli 5 nodi più sollecitati.

Nodo Ind.	Cont. N.br.	Spostamento			Rotazione		
		ux	uy	uz	rx	ry	rz
2577	SLV FO 9	-0.00088	-0.93366	-0.37363	0.0046	-0.0528	0.0011
2575	SLV FO 9	0	-0.93365	-0.37765	0.0046	-0.053	0.001
2572	SLV FO 9	0.00081	-0.93364	-0.38247	0.0046	-0.0535	0.0005
2568	SLV FO 9	0.00103	-0.93361	-0.38727	0.0046	-0.0543	-0.0001
2566	SLV FO 9	0.00062	-0.93356	-0.39206	0.0046	-0.0554	-0.0006

Spostamenti nodali con componente Uy massima

Vengono mostrati i soli 5 nodi più sollecitati.

Nodo Ind.	Cont. N.br.	Spostamento			Rotazione		
		ux	uy	uz	rx	ry	rz
2509	SLV FO 11	-0.00086	0.93331	-0.37381	-0.0046	-0.0528	-0.001
2513	SLV FO 11	0	0.9333	-0.37781	-0.0046	-0.0531	-0.0009
2518	SLV FO 11	0.00094	0.93327	-0.38422	-0.0046	-0.0537	-0.0003
2522	SLV FO 11	0.00081	0.93322	-0.39059	-0.0046	-0.055	0.0004
2526	SLV FO 11	0	0.93314	-0.39692	-0.0045	-0.0567	0.0001

Spostamenti nodali con componente Uz minima

Vengono mostrati i soli 5 nodi più sollecitati.

Nodo Ind.	Cont. N.br.	Spostamento			Rotazione		
		ux	uy	uz	rx	ry	rz
1060	SLU 14	0.39522	0.00019	-1.07942	-0.0001	-0.046	0
1141	SLU 14	0.39531	0.00046	-1.07941	0.0001	-0.046	0
998	SLU 14	0.39519	-0.00007	-1.07912	-0.0002	-0.0462	0
1207	SLU 14	0.39545	0.00072	-1.07912	0.0002	-0.0462	0
1091	SLU 14	0.39531	0.00032	-1.07908	0	-0.0474	0

Spostamenti nodali con componente Uz massima

Vengono mostrati i soli 5 nodi più sollecitati.

Nodo Ind.	Cont. N.br.	Spostamento			Rotazione		
		ux	uy	uz	rx	ry	rz
2509	MVBR 29	-0.00139	0.08146	0.36707	-0.0361	-0.0077	-0.0003
2333	MVBR 29	0.01071	0.02467	0.36681	-0.0361	-0.0077	-0.001
2166	MVBR 29	0.02417	-0.03209	0.36597	-0.036	-0.0102	0.0004
1962	MVBR 29	0.04289	-0.08781	0.36423	-0.0345	-0.0129	0.0016
813	MVBR 29	0.06009	-0.14181	0.36295	-0.0349	-0.0068	0.0021

5.2 Reazioni nodali estreme

Nodo: Nodo sollecitato dalla reazione vincolare.

Ind.: indice del nodo.

Cont.: Contesto a cui si riferisce la reazione vincolare.

N.br.: nome breve della condizione o combinazione di carico.

Reazione a traslazione: reazione vincolare traslazionale del nodo.

x: componente X della reazione vincolare del nodo. [daN]

y: componente Y della reazione vincolare del nodo. [daN]

z: componente Z della reazione vincolare del nodo. [daN]

Reazione a rotazione: reazione vincolare rotazionale del nodo.

x: componente X della reazione a rotazione del nodo. [daN*cm]

y: componente Y della reazione a rotazione del nodo. [daN*cm]

z: componente Z della reazione a rotazione del nodo. [daN*cm]

Reazioni Fx minime

Vengono mostrati i soli 5 nodi più sollecitati.

Nodo Ind.	Cont. N.br.	Reazione a traslazione			Reazione a rotazione		
		x	y	z	x	y	z
2562	SLV FO 13	-19729	0	0	0	0	0
2538	SLV FO 13	-19593	0	0	0	0	0
2526	SLV FO 15	-19579	0	0	0	0	0
2550	SLV FO 15	-19493	0	0	0	0	0
2513	SLV FO 13	-14610	0	0	0	0	0

Reazioni Fx massime

Vengono mostrati i soli 5 nodi più sollecitati.

Nodo Ind.	Cont. N.br.	Reazione a traslazione			Reazione a rotazione		
		x	y	z	x	y	z
2527	SLV FO 1	20991	0	0	0	0	0
2563	SLV FO 3	20828	0	0	0	0	0
2551	SLV FO 3	20738	0	0	0	0	0
2539	SLV FO 1	20638	0	0	0	0	0
2576	SLV FO 3	14880	0	0	0	0	0

Reazioni Fy minime

Vengono mostrati i soli 5 nodi più sollecitati.

Nodo Ind.	Cont. N.br.	Reazione a traslazione			Reazione a rotazione		
		x	y	z	x	y	z
737	SLV FO 7	-261	-1484	1882	0	0	6
741	SLV FO 7	-283	-1484	1890	0	0	6
729	SLV FO 11	-604	-1484	1612	0	0	6
733	SLV FO 7	-239	-1484	1870	0	0	6
745	SLV FO 7	-304	-1484	1891	0	0	6

Reazioni Fy massime

Vengono mostrati i soli 5 nodi più sollecitati.

Nodo Ind.	Cont. N.br.	Reazione a traslazione			Reazione a rotazione		
		x	y	z	x	y	z
721	SLV FO 5	-261	1484	1883	0	0	-6
717	SLV FO 5	-283	1484	1890	0	0	-6
725	SLV FO 5	-239	1484	1870	0	0	-6
713	SLV FO 5	-304	1484	1891	0	0	-6
729	SLV FO 5	-217	1484	1850	0	0	-6

Reazioni Fz minime

Vengono mostrati i soli 5 nodi più sollecitati.

Nodo Ind.	Cont. N.br.	Reazione a traslazione			Reazione a rotazione		
		x	y	z	x	y	z
660	Spinta idrostatica	0	0	-3858	0	0	0
661	Spinta idrostatica	0	0	-3858	0	0	0
659	Spinta idrostatica	0	0	-3793	0	0	0
662	Spinta idrostatica	0	0	-3792	0	0	0
663	Spinta idrostatica	0	0	-2771	0	0	0

Reazioni Fz massime

Vengono mostrati i soli 5 nodi più sollecitati.

Nodo Ind.	Cont. N.br.	Reazione a traslazione			Reazione a rotazione		
		x	y	z	x	y	z
660	SLU 14	-316	0	20560	0	0	0
661	SLU 14	-316	0	20559	0	0	0
659	SLU 14	-316	0	19973	0	0	0
662	SLU 14	-316	0	19967	0	0	0
654	SLU 14	17	0	17485	0	0	0

5.3 Tagli ai livelli

Livello: livello rispetto a cui è calcolato il taglio.

Nome: nome completo del livello.

Cont.: Contesto nel quale viene valutato il taglio.

N.br.: nome breve della condizione o combinazione di carico.

Totale: totale del taglio al livello.

F: forza del taglio. [daN]

X: componente lungo l'asse X globale. [daN]

Y: componente lungo l'asse Y globale. [daN]

Z: componente lungo l'asse Z globale. [daN]

Aste verticali: contributo al taglio totale dato dalle aste verticali.

F: forza del taglio. [daN]

X: componente lungo l'asse X globale. [daN]

Y: componente lungo l'asse Y globale. [daN]

Z: componente lungo l'asse Z globale. [daN]

Pareti: contributo al taglio totale dato dalle pareti e piastre generiche verticali.

F: forza del taglio. [daN]

X: componente lungo l'asse X globale. [daN]

Y: componente lungo l'asse Y globale. [daN]

Z: componente lungo l'asse Z globale. [daN]

Livello Nome	Cont. N.br.	Totale			Aste verticali			Pareti		
		X	Y	Z	X	Y	Z	X	Y	Z
Fondazione	Pesi	6281	0	-584235	0	0	0	6281	0	-584235
Fondazione	Variabile da traffico	1139	0	-85364	0	0	0	1139	0	-85364
Fondazione	Spinta idrostatica	-1867	0	0	0	0	0	-1867	0	0
Fondazione	Acqua canale	2514	0	0	0	0	0	2514	0	0
Fondazione	X SLV	77797	30	11	0	0	0	77797	30	11
Fondazione	Y SLV	2	140201	-103	0	0	0	2	140201	-103
Fondazione	X SLD	52936	16	5	0	0	0	52936	16	5
Fondazione	Y SLD	1	95560	-70	0	0	0	1	95560	-70
Fondazione	X SLO	39955	11	4	0	0	0	39955	11	4
Fondazione	Y SLO	1	71985	-53	0	0	0	1	71985	-53
Fondazione	Tr x SLV	204415	0	0	0	0	0	204415	0	0
Fondazione	Tr y SLV	0	0	0	0	0	0	0	0	0

Interventi di miglioramento della diga di Cepparello nel Comune di Poggibonsi (SI)

ET.09.4 – Tabulati di calcolo_Canali fagatori con fondazioni su pali

Livello Nome	Cont. N.br.	Totale			Aste verticali			Pareti		
		X	Y	Z	X	Y	Z	X	Y	Z
Fondazione	Tr x SLD	92086	0	0	0	0	0	92086	0	0
Fondazione	Tr y SLD	0	0	0	0	0	0	0	0	0
Fondazione	Tr x SLO	77218	0	0	0	0	0	77218	0	0
Fondazione	Tr y SLO	0	0	0	0	0	0	0	0	0
Fondazione	R Ux	1	0	0	0	0	0	1	0	0
Fondazione	R Uy	0	1	0	0	0	0	0	1	0
Fondazione	R Rz	0	0	0	0	0	0	0	0	0
Fondazione	SLU 1	6281	0	-584235	0	0	0	6281	0	-584235
Fondazione	SLU 2	10052	0	-584235	0	0	0	10052	0	-584235
Fondazione	SLU 3	3481	0	-584235	0	0	0	3481	0	-584235
Fondazione	SLU 4	4164	0	-635453	0	0	0	4164	0	-635453
Fondazione	SLU 5	7989	0	-712281	0	0	0	7989	0	-712281
Fondazione	SLU 6	5189	0	-712281	0	0	0	5189	0	-712281
Fondazione	SLU 7	6281	0	-584235	0	0	0	6281	0	-584235
Fondazione	SLU 8	10052	0	-584235	0	0	0	10052	0	-584235
Fondazione	SLU 9	3481	0	-584235	0	0	0	3481	0	-584235
Fondazione	SLU 10	4164	0	-635453	0	0	0	4164	0	-635453
Fondazione	SLU 11	7989	0	-712281	0	0	0	7989	0	-712281
Fondazione	SLU 12	5189	0	-712281	0	0	0	5189	0	-712281
Fondazione	SLU 13	8166	0	-759506	0	0	0	8166	0	-759506
Fondazione	SLU 14	11936	0	-759506	0	0	0	11936	0	-759506
Fondazione	SLU 15	5366	0	-759506	0	0	0	5366	0	-759506
Fondazione	SLU 16	6049	0	-810724	0	0	0	6049	0	-810724
Fondazione	SLU 17	9873	0	-887551	0	0	0	9873	0	-887551
Fondazione	SLU 18	7074	0	-887551	0	0	0	7074	0	-887551
Fondazione	SLU 19	8166	0	-759506	0	0	0	8166	0	-759506
Fondazione	SLU 20	11936	0	-759506	0	0	0	11936	0	-759506
Fondazione	SLU 21	5366	0	-759506	0	0	0	5366	0	-759506
Fondazione	SLU 22	6049	0	-810724	0	0	0	6049	0	-810724
Fondazione	SLU 23	9873	0	-887551	0	0	0	9873	0	-887551
Fondazione	SLU 24	7074	0	-887551	0	0	0	7074	0	-887551
Fondazione	SLE RA 1	6281	0	-584235	0	0	0	6281	0	-584235
Fondazione	SLE RA 2	8795	0	-584235	0	0	0	8795	0	-584235
Fondazione	SLE RA 3	4415	0	-584235	0	0	0	4415	0	-584235
Fondazione	SLE RA 4	4870	0	-618381	0	0	0	4870	0	-618381
Fondazione	SLE RA 5	7420	0	-669599	0	0	0	7420	0	-669599
Fondazione	SLE RA 6	5553	0	-669599	0	0	0	5553	0	-669599
Fondazione	SLE FR 1	6281	0	-584235	0	0	0	6281	0	-584235
Fondazione	SLE FR 2	8795	0	-584235	0	0	0	8795	0	-584235
Fondazione	SLE FR 3	4415	0	-584235	0	0	0	4415	0	-584235
Fondazione	SLE FR 4	6737	0	-618381	0	0	0	6737	0	-618381
Fondazione	SLE QF 1	6281	0	-584235	0	0	0	6281	0	-584235
Fondazione	SLO 1	-110892	-21607	-584223	0	0	0	-110892	-21607	-584223
Fondazione	SLO 2	-110892	-21607	-584223	0	0	0	-110892	-21607	-584223
Fondazione	SLO 3	-110891	21584	-584254	0	0	0	-110891	21584	-584254
Fondazione	SLO 4	-110891	21584	-584254	0	0	0	-110891	21584	-584254
Fondazione	SLO 5	-28872	-71989	-584183	0	0	0	-28872	-71989	-584183
Fondazione	SLO 6	-28872	-71989	-584183	0	0	0	-28872	-71989	-584183
Fondazione	SLO 7	-28870	71982	-584289	0	0	0	-28870	71982	-584289
Fondazione	SLO 8	-28870	71982	-584289	0	0	0	-28870	71982	-584289
Fondazione	SLO 9	41432	-71982	-584181	0	0	0	41432	-71982	-584181
Fondazione	SLO 10	41432	-71982	-584181	0	0	0	41432	-71982	-584181
Fondazione	SLO 11	41434	71989	-584287	0	0	0	41434	71989	-584287
Fondazione	SLO 12	41434	71989	-584287	0	0	0	41434	71989	-584287
Fondazione	SLO 13	123454	-21584	-584216	0	0	0	123454	-21584	-584216
Fondazione	SLO 14	123454	-21584	-584216	0	0	0	123454	-21584	-584216
Fondazione	SLO 15	123454	21607	-584247	0	0	0	123454	21607	-584247
Fondazione	SLO 16	123454	21607	-584247	0	0	0	123454	21607	-584247
Fondazione	SLD 1	-138741	-28684	-584219	0	0	0	-138741	-28684	-584219
Fondazione	SLD 2	-138741	-28684	-584219	0	0	0	-138741	-28684	-584219
Fondazione	SLD 3	-138740	28652	-584261	0	0	0	-138740	28652	-584261
Fondazione	SLD 4	-138740	28652	-584261	0	0	0	-138740	28652	-584261
Fondazione	SLD 5	-37226	-95564	-584167	0	0	0	-37226	-95564	-584167
Fondazione	SLD 6	-37226	-95564	-584167	0	0	0	-37226	-95564	-584167
Fondazione	SLD 7	-37224	95555	-584307	0	0	0	-37224	95555	-584307
Fondazione	SLD 8	-37224	95555	-584307	0	0	0	-37224	95555	-584307
Fondazione	SLD 9	49786	-95555	-584163	0	0	0	49786	-95555	-584163
Fondazione	SLD 10	49786	-95555	-584163	0	0	0	49786	-95555	-584163
Fondazione	SLD 11	49789	95564	-584304	0	0	0	49789	95564	-584304
Fondazione	SLD 12	49789	95564	-584304	0	0	0	49789	95564	-584304
Fondazione	SLD 13	151302	-28652	-584209	0	0	0	151302	-28652	-584209
Fondazione	SLD 14	151302	-28652	-584209	0	0	0	151302	-28652	-584209
Fondazione	SLD 15	151303	28684	-584251	0	0	0	151303	28684	-584251
Fondazione	SLD 16	151303	28684	-584251	0	0	0	151303	28684	-584251
Fondazione	SLV 1	-275930	-42090	-584215	0	0	0	-275930	-42090	-584215
Fondazione	SLV 2	-275930	-42090	-584215	0	0	0	-275930	-42090	-584215
Fondazione	SLV 3	-275929	42031	-584277	0	0	0	-275929	42031	-584277
Fondazione	SLV 4	-275929	42031	-584277	0	0	0	-275929	42031	-584277
Fondazione	SLV 5	-78384	-140210	-584135	0	0	0	-78384	-140210	-584135
Fondazione	SLV 6	-78384	-140210	-584135	0	0	0	-78384	-140210	-584135
Fondazione	SLV 7	-78381	140192	-584341	0	0	0	-78381	140192	-584341
Fondazione	SLV 8	-78381	140192	-584341	0	0	0	-78381	140192	-584341
Fondazione	SLV 9	90943	-140192	-584129	0	0	0	90943	-140192	-584129
Fondazione	SLV 10	90943	-140192	-584129	0	0	0	90943	-140192	-584129
Fondazione	SLV 11	90946	140210	-584335	0	0	0	90946	140210	-584335
Fondazione	SLV 12	90946	140210	-584335	0	0	0	90946	140210	-584335
Fondazione	SLV 13	288492	-42031	-584193	0	0	0	288492	-42031	-584193
Fondazione	SLV 14	288492	-42031	-584193	0	0	0	288492	-42031	-584193
Fondazione	SLV 15	288493	42090	-584255	0	0	0	288493	42090	-584255
Fondazione	SLV 16	288493	42090	-584255	0	0	0	288493	42090	-584255
Fondazione	SLV FO 1	-304151	-46299	-584213	0	0	0	-304151	-46299	-584213
Fondazione	SLV FO 2	-304151	-46299	-584213	0	0	0	-304151	-46299	-584213
Fondazione	SLV FO 3	-304150	46234	-584281	0	0	0	-304150	46234	-584281
Fondazione	SLV FO 4	-304150	46234	-584281	0	0	0	-304150	46234	-584281
Fondazione	SLV FO 5	-86850	-154231	-584125	0	0	0	-86850	-154231	-584125
Fondazione	SLV FO 6	-86850	-154231	-584125	0	0	0	-86850	-154231	-584125
Fondazione	SLV FO 7	-86847	154211	-584352	0	0	0	-86847	154211	-584352

Interventi di miglioramento della diga di Cepparello nel Comune di Poggibonsi (SI)

ET.09.4 – Tabulati di calcolo_Canali fagatori con fondazioni su pali

Livello Nome	Cont. N.br.	Totale			Aste verticali			Pareti		
		X	Y	Z	X	Y	Z	X	Y	Z
Fondazione	SLV FO 8	-86847	154211	-584352	0	0	0	-86847	154211	-584352
Fondazione	SLV FO 9	99409	-154211	-584118	0	0	0	99409	-154211	-584118
Fondazione	SLV FO 10	99409	-154211	-584118	0	0	0	99409	-154211	-584118
Fondazione	SLV FO 11	99413	154231	-584345	0	0	0	99413	154231	-584345
Fondazione	SLV FO 12	99413	154231	-584345	0	0	0	99413	154231	-584345
Fondazione	SLV FO 13	316713	-46234	-584189	0	0	0	316713	-46234	-584189
Fondazione	SLV FO 14	316713	-46234	-584189	0	0	0	316713	-46234	-584189
Fondazione	SLV FO 15	316714	46299	-584257	0	0	0	316714	46299	-584257
Fondazione	SLV FO 16	316714	46299	-584257	0	0	0	316714	46299	-584257
Fondazione	CRTFP Ux+	1	0	0	0	0	0	1	0	0
Fondazione	CRTFP Ux-	-1	0	0	0	0	0	-1	0	0
Fondazione	CRTFP Uy+	0	1	0	0	0	0	0	1	0
Fondazione	CRTFP Uy-	0	-1	0	0	0	0	0	-1	0
Fondazione	CRTFP Rz+	0	0	0	0	0	0	0	0	0
Fondazione	CRTFP Rz-	0	0	0	0	0	0	0	0	0
Quota terreno lato diga	Pesi	6499	0	-436229	0	0	0	6499	0	-436229
Quota terreno lato diga	Variabile da traffico	537	0	-56280	0	0	0	537	0	-56280
Quota terreno lato diga	Spinta idrostatica	-1867	0	0	0	0	0	-1867	0	0
Quota terreno lato diga	Acqua canale	4300	0	0	0	0	0	4300	0	0
Quota terreno lato diga	X SLV	47821	-5	48	0	0	0	47821	-5	48
Quota terreno lato diga	Y SLV	-12	105994	36	0	0	0	-12	105994	36
Quota terreno lato diga	X SLD	32563	-1	24	0	0	0	32563	-1	24
Quota terreno lato diga	Y SLD	-8	72244	24	0	0	0	-8	72244	24
Quota terreno lato diga	X SLO	24629	-1	18	0	0	0	24629	-1	18
Quota terreno lato diga	Y SLO	-6	54477	18	0	0	0	-6	54477	18
Quota terreno lato diga	Tr x SLV	120545	0	0	0	0	0	120545	0	0
Quota terreno lato diga	Tr y SLV	0	0	0	0	0	0	0	0	0
Quota terreno lato diga	Tr x SLD	54304	0	0	0	0	0	54304	0	0
Quota terreno lato diga	Tr y SLD	0	0	0	0	0	0	0	0	0
Quota terreno lato diga	Tr x SLO	45536	0	0	0	0	0	45536	0	0
Quota terreno lato diga	Tr y SLO	0	0	0	0	0	0	0	0	0
Quota terreno lato diga	R Ux	1	0	0	0	0	0	1	0	0
Quota terreno lato diga	R Uy	0	1	0	0	0	0	0	1	0
Quota terreno lato diga	R Rz	0	0	0	0	0	0	0	0	0
Quota terreno lato diga	SLU 1	6499	0	-436229	0	0	0	6499	0	-436229
Quota terreno lato diga	SLU 2	12949	0	-436229	0	0	0	12949	0	-436229
Quota terreno lato diga	SLU 3	3699	0	-436229	0	0	0	3699	0	-436229
Quota terreno lato diga	SLU 4	4021	0	-469997	0	0	0	4021	0	-469997
Quota terreno lato diga	SLU 5	7304	0	-520649	0	0	0	7304	0	-520649
Quota terreno lato diga	SLU 6	4504	0	-520649	0	0	0	4504	0	-520649
Quota terreno lato diga	SLU 7	6499	0	-436229	0	0	0	6499	0	-436229
Quota terreno lato diga	SLU 8	12949	0	-436229	0	0	0	12949	0	-436229
Quota terreno lato diga	SLU 9	3699	0	-436229	0	0	0	3699	0	-436229
Quota terreno lato diga	SLU 10	4021	0	-469997	0	0	0	4021	0	-469997
Quota terreno lato diga	SLU 11	7304	0	-520649	0	0	0	7304	0	-520649
Quota terreno lato diga	SLU 12	4504	0	-520649	0	0	0	4504	0	-520649
Quota terreno lato diga	SLU 13	8449	0	-567098	0	0	0	8449	0	-567098
Quota terreno lato diga	SLU 14	14899	0	-567098	0	0	0	14899	0	-567098
Quota terreno lato diga	SLU 15	5649	0	-567098	0	0	0	5649	0	-567098
Quota terreno lato diga	SLU 16	5971	0	-600866	0	0	0	5971	0	-600866
Quota terreno lato diga	SLU 17	9254	0	-651517	0	0	0	9254	0	-651517
Quota terreno lato diga	SLU 18	6454	0	-651517	0	0	0	6454	0	-651517
Quota terreno lato diga	SLU 19	8449	0	-567098	0	0	0	8449	0	-567098
Quota terreno lato diga	SLU 20	14899	0	-567098	0	0	0	14899	0	-567098
Quota terreno lato diga	SLU 21	5649	0	-567098	0	0	0	5649	0	-567098
Quota terreno lato diga	SLU 22	5971	0	-600866	0	0	0	5971	0	-600866
Quota terreno lato diga	SLU 23	9254	0	-651517	0	0	0	9254	0	-651517

Interventi di miglioramento della diga di Cepparello nel Comune di Poggibonsi (SI)

ET.09.4 – Tabulati di calcolo_Canali fagatori con fondazioni su pali

Livello Nome	Cont. N.br.	Totale			Aste verticali			Pareti		
		X	Y	Z	X	Y	Z	X	Y	Z
Quota terreno lato diga	SLU 24	6454	0	-651517	0	0	0	6454	0	-651517
Quota terreno lato diga	SLE RA 1	6499	0	-436229	0	0	0	6499	0	-436229
Quota terreno lato diga	SLE RA 2	10799	0	-436229	0	0	0	10799	0	-436229
Quota terreno lato diga	SLE RA 3	4633	0	-436229	0	0	0	4633	0	-436229
Quota terreno lato diga	SLE RA 4	4847	0	-458741	0	0	0	4847	0	-458741
Quota terreno lato diga	SLE RA 5	7036	0	-492509	0	0	0	7036	0	-492509
Quota terreno lato diga	SLE RA 6	5169	0	-492509	0	0	0	5169	0	-492509
Quota terreno lato diga	SLE FR 1	6499	0	-436229	0	0	0	6499	0	-436229
Quota terreno lato diga	SLE FR 2	10799	0	-436229	0	0	0	10799	0	-436229
Quota terreno lato diga	SLE FR 3	4633	0	-436229	0	0	0	4633	0	-436229
Quota terreno lato diga	SLE FR 4	6714	0	-458741	0	0	0	6714	0	-458741
Quota terreno lato diga	SLE QF 1	6499	0	-436229	0	0	0	6499	0	-436229
Quota terreno lato diga	SLO 1	-63664	-16342	-436253	0	0	0	-63664	-16342	-436253
Quota terreno lato diga	SLO 2	-63664	-16342	-436253	0	0	0	-63664	-16342	-436253
Quota terreno lato diga	SLO 3	-63667	16344	-436242	0	0	0	-63667	16344	-436242
Quota terreno lato diga	SLO 4	-63667	16344	-436242	0	0	0	-63667	16344	-436242
Quota terreno lato diga	SLO 5	-14544	-54477	-436253	0	0	0	-14544	-54477	-436253
Quota terreno lato diga	SLO 6	-14544	-54477	-436253	0	0	0	-14544	-54477	-436253
Quota terreno lato diga	SLO 7	-14556	54477	-436216	0	0	0	-14556	54477	-436216
Quota terreno lato diga	SLO 8	-14556	54477	-436216	0	0	0	-14556	54477	-436216
Quota terreno lato diga	SLO 9	27554	-54477	-436242	0	0	0	27554	-54477	-436242
Quota terreno lato diga	SLO 10	27554	-54477	-436242	0	0	0	27554	-54477	-436242
Quota terreno lato diga	SLO 11	27543	54477	-436205	0	0	0	27543	54477	-436205
Quota terreno lato diga	SLO 12	27543	54477	-436205	0	0	0	27543	54477	-436205
Quota terreno lato diga	SLO 13	76666	-16344	-436216	0	0	0	76666	-16344	-436216
Quota terreno lato diga	SLO 14	76666	-16344	-436216	0	0	0	76666	-16344	-436216
Quota terreno lato diga	SLO 15	76662	16342	-436205	0	0	0	76662	16342	-436205
Quota terreno lato diga	SLO 16	76662	16342	-436205	0	0	0	76662	16342	-436205
Quota terreno lato diga	SLD 1	-80365	-21672	-436260	0	0	0	-80365	-21672	-436260
Quota terreno lato diga	SLD 2	-80365	-21672	-436260	0	0	0	-80365	-21672	-436260
Quota terreno lato diga	SLD 3	-80370	21674	-436246	0	0	0	-80370	21674	-436246
Quota terreno lato diga	SLD 4	-80370	21674	-436246	0	0	0	-80370	21674	-436246
Quota terreno lato diga	SLD 5	-19553	-72243	-436261	0	0	0	-19553	-72243	-436261
Quota terreno lato diga	SLD 6	-19553	-72243	-436261	0	0	0	-19553	-72243	-436261
Quota terreno lato diga	SLD 7	-19568	72244	-436212	0	0	0	-19568	72244	-436212
Quota terreno lato diga	SLD 8	-19568	72244	-436212	0	0	0	-19568	72244	-436212
Quota terreno lato diga	SLD 9	32567	-72244	-436246	0	0	0	32567	-72244	-436246
Quota terreno lato diga	SLD 10	32567	-72244	-436246	0	0	0	32567	-72244	-436246
Quota terreno lato diga	SLD 11	32552	72243	-436197	0	0	0	32552	72243	-436197
Quota terreno lato diga	SLD 12	32552	72243	-436197	0	0	0	32552	72243	-436197
Quota terreno lato diga	SLD 13	93368	-21674	-436212	0	0	0	93368	-21674	-436212
Quota terreno lato diga	SLD 14	93368	-21674	-436212	0	0	0	93368	-21674	-436212
Quota terreno lato diga	SLD 15	93364	21672	-436198	0	0	0	93364	21672	-436198
Quota terreno lato diga	SLD 16	93364	21672	-436198	0	0	0	93364	21672	-436198
Quota terreno lato diga	SLV 1	-161863	-31793	-436288	0	0	0	-161863	-31793	-436288
Quota terreno lato diga	SLV 2	-161863	-31793	-436288	0	0	0	-161863	-31793	-436288
Quota terreno lato diga	SLV 3	-161870	31803	-436266	0	0	0	-161870	31803	-436266
Quota terreno lato diga	SLV 4	-161870	31803	-436266	0	0	0	-161870	31803	-436266
Quota terreno lato diga	SLV 5	-43999	-105992	-436279	0	0	0	-43999	-105992	-436279
Quota terreno lato diga	SLV 6	-43999	-105992	-436279	0	0	0	-43999	-105992	-436279

Interventi di miglioramento della diga di Cepparello nel Comune di Poggibonsi (SI)

ET.09.4 – Tabulati di calcolo_Canali fagatori con fondazioni su pali

Livello Nome	Cont. N.br.	Totale			Aste verticali			Pareti		
		X	Y	Z	X	Y	Z	X	Y	Z
Quota terreno lato diga	SLV 7	-44022	105995	-436208	0	0	0	-44022	105995	-436208
Quota terreno lato diga	SLV 8	-44022	105995	-436208	0	0	0	-44022	105995	-436208
Quota terreno lato diga	SLV 9	57021	-105995	-436250	0	0	0	57021	-105995	-436250
Quota terreno lato diga	SLV 10	57021	-105995	-436250	0	0	0	57021	-105995	-436250
Quota terreno lato diga	SLV 11	56997	105992	-436179	0	0	0	56997	105992	-436179
Quota terreno lato diga	SLV 12	56997	105992	-436179	0	0	0	56997	105992	-436179
Quota terreno lato diga	SLV 13	174869	-31803	-436192	0	0	0	174869	-31803	-436192
Quota terreno lato diga	SLV 14	174869	-31803	-436192	0	0	0	174869	-31803	-436192
Quota terreno lato diga	SLV 15	174862	31793	-436170	0	0	0	174862	31793	-436170
Quota terreno lato diga	SLV 16	174862	31793	-436170	0	0	0	174862	31793	-436170
Quota terreno lato diga	SLV FO 1	-178699	-34973	-436293	0	0	0	-178699	-34973	-436293
Quota terreno lato diga	SLV FO 2	-178699	-34973	-436293	0	0	0	-178699	-34973	-436293
Quota terreno lato diga	SLV FO 3	-178707	34983	-436270	0	0	0	-178707	34983	-436270
Quota terreno lato diga	SLV FO 4	-178707	34983	-436270	0	0	0	-178707	34983	-436270
Quota terreno lato diga	SLV FO 5	-49049	-116592	-436284	0	0	0	-49049	-116592	-436284
Quota terreno lato diga	SLV FO 6	-49049	-116592	-436284	0	0	0	-49049	-116592	-436284
Quota terreno lato diga	SLV FO 7	-49074	116595	-436205	0	0	0	-49074	116595	-436205
Quota terreno lato diga	SLV FO 8	-49074	116595	-436205	0	0	0	-49074	116595	-436205
Quota terreno lato diga	SLV FO 9	62073	-116595	-436253	0	0	0	62073	-116595	-436253
Quota terreno lato diga	SLV FO 10	62073	-116595	-436253	0	0	0	62073	-116595	-436253
Quota terreno lato diga	SLV FO 11	62047	116592	-436174	0	0	0	62047	116592	-436174
Quota terreno lato diga	SLV FO 12	62047	116592	-436174	0	0	0	62047	116592	-436174
Quota terreno lato diga	SLV FO 13	191705	-34983	-436188	0	0	0	191705	-34983	-436188
Quota terreno lato diga	SLV FO 14	191705	-34983	-436188	0	0	0	191705	-34983	-436188
Quota terreno lato diga	SLV FO 15	191698	34973	-436165	0	0	0	191698	34973	-436165
Quota terreno lato diga	SLV FO 16	191698	34973	-436165	0	0	0	191698	34973	-436165
Quota terreno lato diga	CRTFP Ux+	1	0	0	0	0	0	1	0	0
Quota terreno lato diga	CRTFP Ux-	-1	0	0	0	0	0	-1	0	0
Quota terreno lato diga	CRTFP Uy+	0	1	0	0	0	0	0	1	0
Quota terreno lato diga	CRTFP Uy-	0	-1	0	0	0	0	0	-1	0
Quota terreno lato diga	CRTFP Rz+	0	0	0	0	0	0	0	0	0
Quota terreno lato diga	CRTFP Rz-	0	0	0	0	0	0	0	0	0
Testa muro di monte	Pesi	-43	0	-64207	0	0	0	-43	0	-64207
Testa muro di monte	Variabile da traffico	306	0	-11014	0	0	0	306	0	-11014
Testa muro di monte	Spinta idrostatica	0	0	0	0	0	0	0	0	0
Testa muro di monte	Acqua canale	393	0	0	0	0	0	393	0	0
Testa muro di monte	X SLV	14807	1	0	0	0	0	14807	1	0
Testa muro di monte	Y SLV	1	14459	0	0	0	0	1	14459	0
Testa muro di monte	X SLD	10074	0	0	0	0	0	10074	0	0
Testa muro di monte	Y SLD	0	9853	0	0	0	0	0	9853	0
Testa muro di monte	X SLO	7618	0	0	0	0	0	7618	0	0
Testa muro di monte	Y SLO	0	7550	0	0	0	0	0	7550	0
Testa muro di monte	Tr x SLV	50568	0	0	0	0	0	50568	0	0
Testa muro di monte	Tr y SLV	0	0	0	0	0	0	0	0	0
Testa muro di monte	Tr x SLD	22780	0	0	0	0	0	22780	0	0
Testa muro di monte	Tr y SLD	0	0	0	0	0	0	0	0	0
Testa muro di monte	Tr x SLO	19102	0	0	0	0	0	19102	0	0
Testa muro di monte	Tr y SLO	0	0	0	0	0	0	0	0	0
Testa muro di monte	R Ux	1	0	0	0	0	0	1	0	0
Testa muro di monte	R Uy	0	1	0	0	0	0	0	1	0

Interventi di miglioramento della diga di Cepparello nel Comune di Poggibonsi (SI)

ET.09.4 – Tabulati di calcolo_Canali fagatori con fondazioni su pali

Livello Nome	Cont. N.br.	Totale			Aste verticali			Pareti		
		X	Y	Z	X	Y	Z	X	Y	Z
Testa muro di monte	R Rz	0	0	0	0	0	0	0	0	0
Testa muro di monte	SLU 1	-43	0	-64207	0	0	0	-43	0	-64207
Testa muro di monte	SLU 2	547	0	-64207	0	0	0	547	0	-64207
Testa muro di monte	SLU 3	-43	0	-64207	0	0	0	-43	0	-64207
Testa muro di monte	SLU 4	141	0	-70815	0	0	0	141	0	-70815
Testa muro di monte	SLU 5	416	0	-80728	0	0	0	416	0	-80728
Testa muro di monte	SLU 6	416	0	-80728	0	0	0	416	0	-80728
Testa muro di monte	SLU 7	-43	0	-64207	0	0	0	-43	0	-64207
Testa muro di monte	SLU 8	547	0	-64207	0	0	0	547	0	-64207
Testa muro di monte	SLU 9	-43	0	-64207	0	0	0	-43	0	-64207
Testa muro di monte	SLU 10	141	0	-70815	0	0	0	141	0	-70815
Testa muro di monte	SLU 11	416	0	-80728	0	0	0	416	0	-80728
Testa muro di monte	SLU 12	416	0	-80728	0	0	0	416	0	-80728
Testa muro di monte	SLU 13	-56	0	-83469	0	0	0	-56	0	-83469
Testa muro di monte	SLU 14	535	0	-83469	0	0	0	535	0	-83469
Testa muro di monte	SLU 15	-56	0	-83469	0	0	0	-56	0	-83469
Testa muro di monte	SLU 16	128	0	-90077	0	0	0	128	0	-90077
Testa muro di monte	SLU 17	404	0	-99990	0	0	0	404	0	-99990
Testa muro di monte	SLU 18	404	0	-99990	0	0	0	404	0	-99990
Testa muro di monte	SLU 19	-56	0	-83469	0	0	0	-56	0	-83469
Testa muro di monte	SLU 20	535	0	-83469	0	0	0	535	0	-83469
Testa muro di monte	SLU 21	-56	0	-83469	0	0	0	-56	0	-83469
Testa muro di monte	SLU 22	128	0	-90077	0	0	0	128	0	-90077
Testa muro di monte	SLU 23	404	0	-99990	0	0	0	404	0	-99990
Testa muro di monte	SLU 24	404	0	-99990	0	0	0	404	0	-99990
Testa muro di monte	SLE RA 1	-43	0	-64207	0	0	0	-43	0	-64207
Testa muro di monte	SLE RA 2	351	0	-64207	0	0	0	351	0	-64207
Testa muro di monte	SLE RA 3	-43	0	-64207	0	0	0	-43	0	-64207
Testa muro di monte	SLE RA 4	80	0	-68613	0	0	0	80	0	-68613
Testa muro di monte	SLE RA 5	263	0	-75221	0	0	0	263	0	-75221
Testa muro di monte	SLE RA 6	263	0	-75221	0	0	0	263	0	-75221
Testa muro di monte	SLE FR 1	-43	0	-64207	0	0	0	-43	0	-64207
Testa muro di monte	SLE FR 2	351	0	-64207	0	0	0	351	0	-64207
Testa muro di monte	SLE FR 3	-43	0	-64207	0	0	0	-43	0	-64207
Testa muro di monte	SLE FR 4	80	0	-68613	0	0	0	80	0	-68613
Testa muro di monte	SLE QF 1	-43	0	-64207	0	0	0	-43	0	-64207
Testa muro di monte	SLO 1	-26763	-2265	-64207	0	0	0	-26763	-2265	-64207
Testa muro di monte	SLO 2	-26763	-2265	-64207	0	0	0	-26763	-2265	-64207
Testa muro di monte	SLO 3	-26763	2265	-64207	0	0	0	-26763	2265	-64207
Testa muro di monte	SLO 4	-26763	2265	-64207	0	0	0	-26763	2265	-64207
Testa muro di monte	SLO 5	-8059	-7550	-64207	0	0	0	-8059	-7550	-64207
Testa muro di monte	SLO 6	-8059	-7550	-64207	0	0	0	-8059	-7550	-64207
Testa muro di monte	SLO 7	-8058	7550	-64207	0	0	0	-8058	7550	-64207
Testa muro di monte	SLO 8	-8058	7550	-64207	0	0	0	-8058	7550	-64207
Testa muro di monte	SLO 9	7973	-7550	-64207	0	0	0	7973	-7550	-64207
Testa muro di monte	SLO 10	7973	-7550	-64207	0	0	0	7973	-7550	-64207
Testa muro di monte	SLO 11	7974	7550	-64207	0	0	0	7974	7550	-64207
Testa muro di monte	SLO 12	7974	7550	-64207	0	0	0	7974	7550	-64207
Testa muro di monte	SLO 13	26677	-2265	-64207	0	0	0	26677	-2265	-64207
Testa muro di monte	SLO 14	26677	-2265	-64207	0	0	0	26677	-2265	-64207

Interventi di miglioramento della diga di Cepparello nel Comune di Poggibonsi (SI)

ET.09.4 – Tabulati di calcolo_Canali fagatori con fondazioni su pali

Livello Nome	Cont. N.br.	Totale			Aste verticali			Pareti		
		X	Y	Z	X	Y	Z	X	Y	Z
Testa muro di monte	SLO 15	26677	2265	-64207	0	0	0	26677	2265	-64207
Testa muro di monte	SLO 16	26677	2265	-64207	0	0	0	26677	2265	-64207
Testa muro di monte	SLD 1	-32897	-2956	-64207	0	0	0	-32897	-2956	-64207
Testa muro di monte	SLD 2	-32897	-2956	-64207	0	0	0	-32897	-2956	-64207
Testa muro di monte	SLD 3	-32897	2956	-64207	0	0	0	-32897	2956	-64207
Testa muro di monte	SLD 4	-32897	2956	-64207	0	0	0	-32897	2956	-64207
Testa muro di monte	SLD 5	-9899	-9853	-64207	0	0	0	-9899	-9853	-64207
Testa muro di monte	SLD 6	-9899	-9853	-64207	0	0	0	-9899	-9853	-64207
Testa muro di monte	SLD 7	-9899	9853	-64207	0	0	0	-9899	9853	-64207
Testa muro di monte	SLD 8	-9899	9853	-64207	0	0	0	-9899	9853	-64207
Testa muro di monte	SLD 9	9813	-9853	-64207	0	0	0	9813	-9853	-64207
Testa muro di monte	SLD 10	9813	-9853	-64207	0	0	0	9813	-9853	-64207
Testa muro di monte	SLD 11	9814	9853	-64207	0	0	0	9814	9853	-64207
Testa muro di monte	SLD 12	9814	9853	-64207	0	0	0	9814	9853	-64207
Testa muro di monte	SLD 13	32811	-2956	-64207	0	0	0	32811	-2956	-64207
Testa muro di monte	SLD 14	32811	-2956	-64207	0	0	0	32811	-2956	-64207
Testa muro di monte	SLD 15	32812	2956	-64207	0	0	0	32812	2956	-64207
Testa muro di monte	SLD 16	32812	2956	-64207	0	0	0	32812	2956	-64207
Testa muro di monte	SLV 1	-65419	-4338	-64207	0	0	0	-65419	-4338	-64207
Testa muro di monte	SLV 2	-65419	-4338	-64207	0	0	0	-65419	-4338	-64207
Testa muro di monte	SLV 3	-65418	4337	-64207	0	0	0	-65418	4337	-64207
Testa muro di monte	SLV 4	-65418	4337	-64207	0	0	0	-65418	4337	-64207
Testa muro di monte	SLV 5	-19656	-14459	-64207	0	0	0	-19656	-14459	-64207
Testa muro di monte	SLV 6	-19656	-14459	-64207	0	0	0	-19656	-14459	-64207
Testa muro di monte	SLV 7	-19654	14459	-64207	0	0	0	-19654	14459	-64207
Testa muro di monte	SLV 8	-19654	14459	-64207	0	0	0	-19654	14459	-64207
Testa muro di monte	SLV 9	19569	-14459	-64207	0	0	0	19569	-14459	-64207
Testa muro di monte	SLV 10	19569	-14459	-64207	0	0	0	19569	-14459	-64207
Testa muro di monte	SLV 11	19571	14459	-64207	0	0	0	19571	14459	-64207
Testa muro di monte	SLV 12	19571	14459	-64207	0	0	0	19571	14459	-64207
Testa muro di monte	SLV 13	65332	-4337	-64207	0	0	0	65332	-4337	-64207
Testa muro di monte	SLV 14	65332	-4337	-64207	0	0	0	65332	-4337	-64207
Testa muro di monte	SLV 15	65333	4338	-64207	0	0	0	65333	4338	-64207
Testa muro di monte	SLV 16	65333	4338	-64207	0	0	0	65333	4338	-64207
Testa muro di monte	SLV FO 1	-71956	-4772	-64207	0	0	0	-71956	-4772	-64207
Testa muro di monte	SLV FO 2	-71956	-4772	-64207	0	0	0	-71956	-4772	-64207
Testa muro di monte	SLV FO 3	-71955	4771	-64207	0	0	0	-71955	4771	-64207
Testa muro di monte	SLV FO 4	-71955	4771	-64207	0	0	0	-71955	4771	-64207
Testa muro di monte	SLV FO 5	-21618	-15905	-64207	0	0	0	-21618	-15905	-64207
Testa muro di monte	SLV FO 6	-21618	-15905	-64207	0	0	0	-21618	-15905	-64207
Testa muro di monte	SLV FO 7	-21616	15905	-64207	0	0	0	-21616	15905	-64207
Testa muro di monte	SLV FO 8	-21616	15905	-64207	0	0	0	-21616	15905	-64207
Testa muro di monte	SLV FO 9	21530	-15905	-64207	0	0	0	21530	-15905	-64207
Testa muro di monte	SLV FO 10	21530	-15905	-64207	0	0	0	21530	-15905	-64207
Testa muro di monte	SLV FO 11	21532	15905	-64207	0	0	0	21532	15905	-64207
Testa muro di monte	SLV FO 12	21532	15905	-64207	0	0	0	21532	15905	-64207
Testa muro di monte	SLV FO 13	71870	-4771	-64207	0	0	0	71870	-4771	-64207
Testa muro di monte	SLV FO 14	71870	-4771	-64207	0	0	0	71870	-4771	-64207
Testa muro di monte	SLV FO 15	71871	4772	-64207	0	0	0	71871	4772	-64207
Testa muro di monte	SLV FO 16	71871	4772	-64207	0	0	0	71871	4772	-64207

Interventi di miglioramento della diga di Cepparello nel Comune di Poggibonsi (SI)

ET.09.4 – Tabulati di calcolo_Canali fuggatori con fondazioni su pali

Livello Nome	Cont. N.br.	Totale			Aste verticali			Pareti		
		X	Y	Z	X	Y	Z	X	Y	Z
Testa muro di monte	CRTFP Ux+	1	0	0	0	0	0	1	0	0
Testa muro di monte	CRTFP Ux-	-1	0	0	0	0	0	-1	0	0
Testa muro di monte	CRTFP Uy+	0	1	0	0	0	0	0	1	0
Testa muro di monte	CRTFP Uy-	0	-1	0	0	0	0	0	-1	0
Testa muro di monte	CRTFP Rz+	0	0	0	0	0	0	0	0	0
Testa muro di monte	CRTFP Rz-	0	0	0	0	0	0	0	0	0
Testa muro intermedio	Pesi	-210	0	-29245	0	0	0	-210	0	-29245
Testa muro intermedio	Variabile da traffico	-776	0	-5650	0	0	0	-776	0	-5650
Testa muro intermedio	Spinta idrostatica	0	0	0	0	0	0	0	0	0
Testa muro intermedio	Acqua canale	1106	0	0	0	0	0	1106	0	0
Testa muro intermedio	X SLV	7013	0	-1	0	0	0	7013	0	-1
Testa muro intermedio	Y SLV	1	6836	0	0	0	0	1	6836	0
Testa muro intermedio	X SLD	4760	0	-1	0	0	0	4760	0	-1
Testa muro intermedio	Y SLD	0	4658	0	0	0	0	0	4658	0
Testa muro intermedio	X SLO	3552	0	0	0	0	0	3552	0	0
Testa muro intermedio	Y SLO	0	3515	0	0	0	0	0	3515	0
Testa muro intermedio	Tr x SLV	27494	0	0	0	0	0	27494	0	0
Testa muro intermedio	Tr y SLV	0	0	0	0	0	0	0	0	0
Testa muro intermedio	Tr x SLD	12386	0	0	0	0	0	12386	0	0
Testa muro intermedio	Tr y SLD	0	0	0	0	0	0	0	0	0
Testa muro intermedio	Tr x SLO	10386	0	0	0	0	0	10386	0	0
Testa muro intermedio	Tr y SLO	0	0	0	0	0	0	0	0	0
Testa muro intermedio	R Ux	1	0	0	0	0	0	1	0	0
Testa muro intermedio	R Uy	0	1	0	0	0	0	0	1	0
Testa muro intermedio	R Rz	0	0	0	0	0	0	0	0	0
Testa muro intermedio	SLU 1	-210	0	-29245	0	0	0	-210	0	-29245
Testa muro intermedio	SLU 2	1449	0	-29245	0	0	0	1449	0	-29245
Testa muro intermedio	SLU 3	-210	0	-29245	0	0	0	-210	0	-29245
Testa muro intermedio	SLU 4	-676	0	-32635	0	0	0	-676	0	-32635
Testa muro intermedio	SLU 5	-1374	0	-37720	0	0	0	-1374	0	-37720
Testa muro intermedio	SLU 6	-1374	0	-37720	0	0	0	-1374	0	-37720
Testa muro intermedio	SLU 7	-210	0	-29245	0	0	0	-210	0	-29245
Testa muro intermedio	SLU 8	1449	0	-29245	0	0	0	1449	0	-29245
Testa muro intermedio	SLU 9	-210	0	-29245	0	0	0	-210	0	-29245
Testa muro intermedio	SLU 10	-676	0	-32635	0	0	0	-676	0	-32635
Testa muro intermedio	SLU 11	-1374	0	-37720	0	0	0	-1374	0	-37720
Testa muro intermedio	SLU 12	-1374	0	-37720	0	0	0	-1374	0	-37720
Testa muro intermedio	SLU 13	-274	0	-38018	0	0	0	-274	0	-38018
Testa muro intermedio	SLU 14	1386	0	-38018	0	0	0	1386	0	-38018
Testa muro intermedio	SLU 15	-274	0	-38018	0	0	0	-274	0	-38018
Testa muro intermedio	SLU 16	-739	0	-41408	0	0	0	-739	0	-41408
Testa muro intermedio	SLU 17	-1437	0	-46494	0	0	0	-1437	0	-46494
Testa muro intermedio	SLU 18	-1437	0	-46494	0	0	0	-1437	0	-46494
Testa muro intermedio	SLU 19	-274	0	-38018	0	0	0	-274	0	-38018
Testa muro intermedio	SLU 20	1386	0	-38018	0	0	0	1386	0	-38018
Testa muro intermedio	SLU 21	-274	0	-38018	0	0	0	-274	0	-38018
Testa muro intermedio	SLU 22	-739	0	-41408	0	0	0	-739	0	-41408
Testa muro intermedio	SLU 23	-1437	0	-46494	0	0	0	-1437	0	-46494
Testa muro intermedio	SLU 24	-1437	0	-46494	0	0	0	-1437	0	-46494
Testa muro intermedio	SLE RA 1	-210	0	-29245	0	0	0	-210	0	-29245

Interventi di miglioramento della diga di Cepparello nel Comune di Poggibonsi (SI)

ET.09.4 – Tabulati di calcolo_Canali fagatori con fondazioni su pali

Livello Nome	Cont. N.br.	Totale			Aste verticali			Pareti		
		X	Y	Z	X	Y	Z	X	Y	Z
Testa muro intermedio	SLE RA 2	896	0	-29245	0	0	0	896	0	-29245
Testa muro intermedio	SLE RA 3	-210	0	-29245	0	0	0	-210	0	-29245
Testa muro intermedio	SLE RA 4	-521	0	-31505	0	0	0	-521	0	-31505
Testa muro intermedio	SLE RA 5	-986	0	-34895	0	0	0	-986	0	-34895
Testa muro intermedio	SLE RA 6	-986	0	-34895	0	0	0	-986	0	-34895
Testa muro intermedio	SLE FR 1	-210	0	-29245	0	0	0	-210	0	-29245
Testa muro intermedio	SLE FR 2	896	0	-29245	0	0	0	896	0	-29245
Testa muro intermedio	SLE FR 3	-210	0	-29245	0	0	0	-210	0	-29245
Testa muro intermedio	SLE FR 4	-521	0	-31505	0	0	0	-521	0	-31505
Testa muro intermedio	SLE QP 1	-210	0	-29245	0	0	0	-210	0	-29245
Testa muro intermedio	SLO 1	-14148	-1055	-29244	0	0	0	-14148	-1055	-29244
Testa muro intermedio	SLO 2	-14148	-1055	-29244	0	0	0	-14148	-1055	-29244
Testa muro intermedio	SLO 3	-14148	1054	-29244	0	0	0	-14148	1054	-29244
Testa muro intermedio	SLO 4	-14148	1054	-29244	0	0	0	-14148	1054	-29244
Testa muro intermedio	SLO 5	-4392	-3515	-29245	0	0	0	-4392	-3515	-29245
Testa muro intermedio	SLO 6	-4392	-3515	-29245	0	0	0	-4392	-3515	-29245
Testa muro intermedio	SLO 7	-4392	3515	-29245	0	0	0	-4392	3515	-29245
Testa muro intermedio	SLO 8	-4392	3515	-29245	0	0	0	-4392	3515	-29245
Testa muro intermedio	SLO 9	3971	-3515	-29245	0	0	0	3971	-3515	-29245
Testa muro intermedio	SLO 10	3971	-3515	-29245	0	0	0	3971	-3515	-29245
Testa muro intermedio	SLO 11	3971	3515	-29245	0	0	0	3971	3515	-29245
Testa muro intermedio	SLO 12	3971	3515	-29245	0	0	0	3971	3515	-29245
Testa muro intermedio	SLO 13	13727	-1054	-29245	0	0	0	13727	-1054	-29245
Testa muro intermedio	SLO 14	13727	-1054	-29245	0	0	0	13727	-1054	-29245
Testa muro intermedio	SLO 15	13728	1055	-29245	0	0	0	13728	1055	-29245
Testa muro intermedio	SLO 16	13728	1055	-29245	0	0	0	13728	1055	-29245
Testa muro intermedio	SLD 1	-17357	-1398	-29244	0	0	0	-17357	-1398	-29244
Testa muro intermedio	SLD 2	-17357	-1398	-29244	0	0	0	-17357	-1398	-29244
Testa muro intermedio	SLD 3	-17357	1397	-29244	0	0	0	-17357	1397	-29244
Testa muro intermedio	SLD 4	-17357	1397	-29244	0	0	0	-17357	1397	-29244
Testa muro intermedio	SLD 5	-5355	-4658	-29245	0	0	0	-5355	-4658	-29245
Testa muro intermedio	SLD 6	-5355	-4658	-29245	0	0	0	-5355	-4658	-29245
Testa muro intermedio	SLD 7	-5354	4658	-29245	0	0	0	-5354	4658	-29245
Testa muro intermedio	SLD 8	-5354	4658	-29245	0	0	0	-5354	4658	-29245
Testa muro intermedio	SLD 9	4933	-4658	-29245	0	0	0	4933	-4658	-29245
Testa muro intermedio	SLD 10	4933	-4658	-29245	0	0	0	4933	-4658	-29245
Testa muro intermedio	SLD 11	4934	4658	-29245	0	0	0	4934	4658	-29245
Testa muro intermedio	SLD 12	4934	4658	-29245	0	0	0	4934	4658	-29245
Testa muro intermedio	SLD 13	16936	-1397	-29245	0	0	0	16936	-1397	-29245
Testa muro intermedio	SLD 14	16936	-1397	-29245	0	0	0	16936	-1397	-29245
Testa muro intermedio	SLD 15	16936	1398	-29245	0	0	0	16936	1398	-29245
Testa muro intermedio	SLD 16	16936	1398	-29245	0	0	0	16936	1398	-29245
Testa muro intermedio	SLV 1	-34718	-2051	-29244	0	0	0	-34718	-2051	-29244
Testa muro intermedio	SLV 2	-34718	-2051	-29244	0	0	0	-34718	-2051	-29244
Testa muro intermedio	SLV 3	-34718	2050	-29244	0	0	0	-34718	2050	-29244
Testa muro intermedio	SLV 4	-34718	2050	-29244	0	0	0	-34718	2050	-29244
Testa muro intermedio	SLV 5	-10563	-6836	-29245	0	0	0	-10563	-6836	-29245
Testa muro intermedio	SLV 6	-10563	-6836	-29245	0	0	0	-10563	-6836	-29245
Testa muro intermedio	SLV 7	-10562	6836	-29245	0	0	0	-10562	6836	-29245
Testa muro intermedio	SLV 8	-10562	6836	-29245	0	0	0	-10562	6836	-29245

Interventi di miglioramento della diga di Cepparello nel Comune di Poggibonsi (SI)

ET.09.4 – Tabulati di calcolo_Canali fagatori con fondazioni su pali

Livello Nome	Cont. N.br.	Totale			Aste verticali			Pareti		
		X	Y	Z	X	Y	Z	X	Y	Z
Testa muro intermedio	SLV 9	10141	-6836	-29245	0	0	0	10141	-6836	-29245
Testa muro intermedio	SLV 10	10141	-6836	-29245	0	0	0	10141	-6836	-29245
Testa muro intermedio	SLV 11	10142	6836	-29245	0	0	0	10142	6836	-29245
Testa muro intermedio	SLV 12	10142	6836	-29245	0	0	0	10142	6836	-29245
Testa muro intermedio	SLV 13	34297	-2050	-29246	0	0	0	34297	-2050	-29246
Testa muro intermedio	SLV 14	34297	-2050	-29246	0	0	0	34297	-2050	-29246
Testa muro intermedio	SLV 15	34297	2051	-29246	0	0	0	34297	2051	-29246
Testa muro intermedio	SLV 16	34297	2051	-29246	0	0	0	34297	2051	-29246
Testa muro intermedio	SLV FO 1	-38169	-2256	-29244	0	0	0	-38169	-2256	-29244
Testa muro intermedio	SLV FO 2	-38169	-2256	-29244	0	0	0	-38169	-2256	-29244
Testa muro intermedio	SLV FO 3	-38168	2255	-29244	0	0	0	-38168	2255	-29244
Testa muro intermedio	SLV FO 4	-38168	2255	-29244	0	0	0	-38168	2255	-29244
Testa muro intermedio	SLV FO 5	-11599	-7519	-29245	0	0	0	-11599	-7519	-29245
Testa muro intermedio	SLV FO 6	-11599	-7519	-29245	0	0	0	-11599	-7519	-29245
Testa muro intermedio	SLV FO 7	-11597	7519	-29245	0	0	0	-11597	7519	-29245
Testa muro intermedio	SLV FO 8	-11597	7519	-29245	0	0	0	-11597	7519	-29245
Testa muro intermedio	SLV FO 9	11176	-7519	-29245	0	0	0	11176	-7519	-29245
Testa muro intermedio	SLV FO 10	11176	-7519	-29245	0	0	0	11176	-7519	-29245
Testa muro intermedio	SLV FO 11	11178	7519	-29245	0	0	0	11178	7519	-29245
Testa muro intermedio	SLV FO 12	11178	7519	-29245	0	0	0	11178	7519	-29245
Testa muro intermedio	SLV FO 13	37748	-2255	-29246	0	0	0	37748	-2255	-29246
Testa muro intermedio	SLV FO 14	37748	-2255	-29246	0	0	0	37748	-2255	-29246
Testa muro intermedio	SLV FO 15	37748	2256	-29246	0	0	0	37748	2256	-29246
Testa muro intermedio	SLV FO 16	37748	2256	-29246	0	0	0	37748	2256	-29246
Testa muro intermedio	CRTFP Ux+	1	0	0	0	0	0	1	0	0
Testa muro intermedio	CRTFP Ux-	-1	0	0	0	0	0	-1	0	0
Testa muro intermedio	CRTFP Uy+	0	1	0	0	0	0	0	1	0
Testa muro intermedio	CRTFP Uy-	0	-1	0	0	0	0	0	-1	0
Testa muro intermedio	CRTFP Rz+	0	0	0	0	0	0	0	0	0
Testa muro intermedio	CRTFP Rz-	0	0	0	0	0	0	0	0	0
Testa muro di valle sx	Pesi	0	0	-12438	0	0	0	0	0	-12438
Testa muro di valle sx	Variabile da traffico	383	0	-2323	0	0	0	383	0	-2323
Testa muro di valle sx	Spinta idrostatica	0	0	0	0	0	0	0	0	0
Testa muro di valle sx	Acqua canale	72	0	0	0	0	0	72	0	0
Testa muro di valle sx	X SLV	2944	0	0	0	0	0	2944	0	0
Testa muro di valle sx	Y SLV	0	2843	0	0	0	0	0	2843	0
Testa muro di valle sx	X SLD	2002	0	0	0	0	0	2002	0	0
Testa muro di valle sx	Y SLD	0	1937	0	0	0	0	0	1937	0
Testa muro di valle sx	X SLO	1465	0	0	0	0	0	1465	0	0
Testa muro di valle sx	Y SLO	0	1423	0	0	0	0	0	1423	0
Testa muro di valle sx	Tr x SLV	11704	0	0	0	0	0	11704	0	0
Testa muro di valle sx	Tr y SLV	0	0	0	0	0	0	0	0	0
Testa muro di valle sx	Tr x SLD	5273	0	0	0	0	0	5273	0	0
Testa muro di valle sx	Tr y SLD	0	0	0	0	0	0	0	0	0
Testa muro di valle sx	Tr x SLO	4421	0	0	0	0	0	4421	0	0
Testa muro di valle sx	Tr y SLO	0	0	0	0	0	0	0	0	0
Testa muro di valle sx	R Ux	1	0	0	0	0	0	1	0	0
Testa muro di valle sx	R Uy	0	1	0	0	0	0	0	1	0
Testa muro di valle sx	R Rz	0	0	0	0	0	0	0	0	0
Testa muro di valle sx	SLU 1	0	0	-12438	0	0	0	0	0	-12438

Interventi di miglioramento della diga di Cepparello nel Comune di Poggibonsi (SI)

ET.09.4 – Tabulati di calcolo_Canali fuggatori con fondazioni su pali

Livello Nome	Cont. N.br.	Totale			Aste verticali			Pareti		
		X	Y	Z	X	Y	Z	X	Y	Z
Testa muro di valle sx	SLU 2	108	0	-12438	0	0	0	108	0	-12438
Testa muro di valle sx	SLU 3	0	0	-12438	0	0	0	0	0	-12438
Testa muro di valle sx	SLU 4	230	0	-13831	0	0	0	230	0	-13831
Testa muro di valle sx	SLU 5	574	0	-15922	0	0	0	574	0	-15922
Testa muro di valle sx	SLU 6	574	0	-15922	0	0	0	574	0	-15922
Testa muro di valle sx	SLU 7	0	0	-12438	0	0	0	0	0	-12438
Testa muro di valle sx	SLU 8	108	0	-12438	0	0	0	108	0	-12438
Testa muro di valle sx	SLU 9	0	0	-12438	0	0	0	0	0	-12438
Testa muro di valle sx	SLU 10	230	0	-13831	0	0	0	230	0	-13831
Testa muro di valle sx	SLU 11	574	0	-15922	0	0	0	574	0	-15922
Testa muro di valle sx	SLU 12	574	0	-15922	0	0	0	574	0	-15922
Testa muro di valle sx	SLU 13	0	0	-16169	0	0	0	0	0	-16169
Testa muro di valle sx	SLU 14	108	0	-16169	0	0	0	108	0	-16169
Testa muro di valle sx	SLU 15	0	0	-16169	0	0	0	0	0	-16169
Testa muro di valle sx	SLU 16	230	0	-17563	0	0	0	230	0	-17563
Testa muro di valle sx	SLU 17	574	0	-19653	0	0	0	574	0	-19653
Testa muro di valle sx	SLU 18	574	0	-19653	0	0	0	574	0	-19653
Testa muro di valle sx	SLU 19	0	0	-16169	0	0	0	0	0	-16169
Testa muro di valle sx	SLU 20	108	0	-16169	0	0	0	108	0	-16169
Testa muro di valle sx	SLU 21	0	0	-16169	0	0	0	0	0	-16169
Testa muro di valle sx	SLU 22	230	0	-17563	0	0	0	230	0	-17563
Testa muro di valle sx	SLU 23	574	0	-19653	0	0	0	574	0	-19653
Testa muro di valle sx	SLU 24	574	0	-19653	0	0	0	574	0	-19653
Testa muro di valle sx	SLE RA 1	0	0	-12438	0	0	0	0	0	-12438
Testa muro di valle sx	SLE RA 2	72	0	-12438	0	0	0	72	0	-12438
Testa muro di valle sx	SLE RA 3	0	0	-12438	0	0	0	0	0	-12438
Testa muro di valle sx	SLE RA 4	153	0	-13367	0	0	0	153	0	-13367
Testa muro di valle sx	SLE RA 5	383	0	-14761	0	0	0	383	0	-14761
Testa muro di valle sx	SLE RA 6	383	0	-14761	0	0	0	383	0	-14761
Testa muro di valle sx	SLE FR 1	0	0	-12438	0	0	0	0	0	-12438
Testa muro di valle sx	SLE FR 2	72	0	-12438	0	0	0	72	0	-12438
Testa muro di valle sx	SLE FR 3	0	0	-12438	0	0	0	0	0	-12438
Testa muro di valle sx	SLE FR 4	153	0	-13367	0	0	0	153	0	-13367
Testa muro di valle sx	SLE QP 1	0	0	-12438	0	0	0	0	0	-12438
Testa muro di valle sx	SLO 1	-5886	-427	-12438	0	0	0	-5886	-427	-12438
Testa muro di valle sx	SLO 2	-5886	-427	-12438	0	0	0	-5886	-427	-12438
Testa muro di valle sx	SLO 3	-5886	427	-12438	0	0	0	-5886	427	-12438
Testa muro di valle sx	SLO 4	-5886	427	-12438	0	0	0	-5886	427	-12438
Testa muro di valle sx	SLO 5	-1766	-1423	-12438	0	0	0	-1766	-1423	-12438
Testa muro di valle sx	SLO 6	-1766	-1423	-12438	0	0	0	-1766	-1423	-12438
Testa muro di valle sx	SLO 7	-1766	1423	-12438	0	0	0	-1766	1423	-12438
Testa muro di valle sx	SLO 8	-1766	1423	-12438	0	0	0	-1766	1423	-12438
Testa muro di valle sx	SLO 9	1766	-1423	-12438	0	0	0	1766	-1423	-12438
Testa muro di valle sx	SLO 10	1766	-1423	-12438	0	0	0	1766	-1423	-12438
Testa muro di valle sx	SLO 11	1766	1423	-12438	0	0	0	1766	1423	-12438
Testa muro di valle sx	SLO 12	1766	1423	-12438	0	0	0	1766	1423	-12438
Testa muro di valle sx	SLO 13	5886	-427	-12438	0	0	0	5886	-427	-12438
Testa muro di valle sx	SLO 14	5886	-427	-12438	0	0	0	5886	-427	-12438
Testa muro di valle sx	SLO 15	5886	427	-12438	0	0	0	5886	427	-12438
Testa muro di valle sx	SLO 16	5886	427	-12438	0	0	0	5886	427	-12438

Interventi di miglioramento della diga di Cepparello nel Comune di Poggibonsi (SI)

ET.09.4 – Tabulati di calcolo_Canali fuggatori con fondazioni su pali

Livello Nome	Cont. N.br.	Totale			Aste verticali			Pareti		
		X	Y	Z	X	Y	Z	X	Y	Z
Testa muro di valle sx	SLD 1	-7274	-581	-12438	0	0	0	-7274	-581	-12438
Testa muro di valle sx	SLD 2	-7274	-581	-12438	0	0	0	-7274	-581	-12438
Testa muro di valle sx	SLD 3	-7274	581	-12438	0	0	0	-7274	581	-12438
Testa muro di valle sx	SLD 4	-7274	581	-12438	0	0	0	-7274	581	-12438
Testa muro di valle sx	SLD 5	-2182	-1937	-12438	0	0	0	-2182	-1937	-12438
Testa muro di valle sx	SLD 6	-2182	-1937	-12438	0	0	0	-2182	-1937	-12438
Testa muro di valle sx	SLD 7	-2182	1937	-12438	0	0	0	-2182	1937	-12438
Testa muro di valle sx	SLD 8	-2182	1937	-12438	0	0	0	-2182	1937	-12438
Testa muro di valle sx	SLD 9	2182	-1937	-12438	0	0	0	2182	-1937	-12438
Testa muro di valle sx	SLD 10	2182	-1937	-12438	0	0	0	2182	-1937	-12438
Testa muro di valle sx	SLD 11	2182	1937	-12438	0	0	0	2182	1937	-12438
Testa muro di valle sx	SLD 12	2182	1937	-12438	0	0	0	2182	1937	-12438
Testa muro di valle sx	SLD 13	7274	-581	-12438	0	0	0	7274	-581	-12438
Testa muro di valle sx	SLD 14	7274	-581	-12438	0	0	0	7274	-581	-12438
Testa muro di valle sx	SLD 15	7274	581	-12438	0	0	0	7274	581	-12438
Testa muro di valle sx	SLD 16	7274	581	-12438	0	0	0	7274	581	-12438
Testa muro di valle sx	SLV 1	-14648	-853	-12437	0	0	0	-14648	-853	-12437
Testa muro di valle sx	SLV 2	-14648	-853	-12437	0	0	0	-14648	-853	-12437
Testa muro di valle sx	SLV 3	-14648	853	-12437	0	0	0	-14648	853	-12437
Testa muro di valle sx	SLV 4	-14648	853	-12437	0	0	0	-14648	853	-12437
Testa muro di valle sx	SLV 5	-4394	-2843	-12438	0	0	0	-4394	-2843	-12438
Testa muro di valle sx	SLV 6	-4394	-2843	-12438	0	0	0	-4394	-2843	-12438
Testa muro di valle sx	SLV 7	-4395	2843	-12438	0	0	0	-4395	2843	-12438
Testa muro di valle sx	SLV 8	-4395	2843	-12438	0	0	0	-4395	2843	-12438
Testa muro di valle sx	SLV 9	4395	-2843	-12438	0	0	0	4395	-2843	-12438
Testa muro di valle sx	SLV 10	4395	-2843	-12438	0	0	0	4395	-2843	-12438
Testa muro di valle sx	SLV 11	4394	2843	-12438	0	0	0	4394	2843	-12438
Testa muro di valle sx	SLV 12	4394	2843	-12438	0	0	0	4394	2843	-12438
Testa muro di valle sx	SLV 13	14648	-853	-12438	0	0	0	14648	-853	-12438
Testa muro di valle sx	SLV 14	14648	-853	-12438	0	0	0	14648	-853	-12438
Testa muro di valle sx	SLV 15	14648	853	-12438	0	0	0	14648	853	-12438
Testa muro di valle sx	SLV 16	14648	853	-12438	0	0	0	14648	853	-12438
Testa muro di valle sx	SLV FO 1	-16112	-938	-12437	0	0	0	-16112	-938	-12437
Testa muro di valle sx	SLV FO 2	-16112	-938	-12437	0	0	0	-16112	-938	-12437
Testa muro di valle sx	SLV FO 3	-16113	938	-12437	0	0	0	-16113	938	-12437
Testa muro di valle sx	SLV FO 4	-16113	938	-12437	0	0	0	-16113	938	-12437
Testa muro di valle sx	SLV FO 5	-4834	-3127	-12438	0	0	0	-4834	-3127	-12438
Testa muro di valle sx	SLV FO 6	-4834	-3127	-12438	0	0	0	-4834	-3127	-12438
Testa muro di valle sx	SLV FO 7	-4834	3127	-12438	0	0	0	-4834	3127	-12438
Testa muro di valle sx	SLV FO 8	-4834	3127	-12438	0	0	0	-4834	3127	-12438
Testa muro di valle sx	SLV FO 9	4834	-3127	-12438	0	0	0	4834	-3127	-12438
Testa muro di valle sx	SLV FO 10	4834	-3127	-12438	0	0	0	4834	-3127	-12438
Testa muro di valle sx	SLV FO 11	4834	3127	-12438	0	0	0	4834	3127	-12438
Testa muro di valle sx	SLV FO 12	4834	3127	-12438	0	0	0	4834	3127	-12438
Testa muro di valle sx	SLV FO 13	16113	-938	-12438	0	0	0	16113	-938	-12438
Testa muro di valle sx	SLV FO 14	16113	-938	-12438	0	0	0	16113	-938	-12438
Testa muro di valle sx	SLV FO 15	16112	938	-12438	0	0	0	16112	938	-12438
Testa muro di valle sx	SLV FO 16	16112	938	-12438	0	0	0	16112	938	-12438
Testa muro di valle sx	CRTFP Ux+	1	0	0	0	0	0	1	0	0
Testa muro di valle sx	CRTFP Ux-	-1	0	0	0	0	0	-1	0	0

ET.09.4 – Tabulati di calcolo_Canali fagatori con fondazioni su pali

Livello Nome	Cont. N.br.	Totale			Aste verticali			Pareti		
		X	Y	Z	X	Y	Z	X	Y	Z
Testa muro di valle sx	CRTFP Uy+	0	1	0	0	0	0	0	1	0
Testa muro di valle sx	CRTFP Uy-	0	-1	0	0	0	0	0	-1	0
Testa muro di valle sx	CRTFP Rz+	0	0	0	0	0	0	0	0	0
Testa muro di valle sx	CRTFP Rz-	0	0	0	0	0	0	0	0	0

5.4 Risposta modale

Modo: identificativo del modo di vibrare.

Periodo: periodo. [s]

Massa X: massa partecipante in direzione globale X. Il valore è adimensionale.

Massa Y: massa partecipante in direzione globale Y. Il valore è adimensionale.

Massa Z: massa partecipante in direzione globale Z. Il valore è adimensionale.

Massa rot. X: massa rotazionale partecipante attorno la direzione globale X. Il valore è adimensionale.

Massa rot. Y: massa rotazionale partecipante attorno la direzione globale Y. Il valore è adimensionale.

Massa rot. Z: massa rotazionale partecipante attorno la direzione globale Z. Il valore è adimensionale.

Massa sX: massa partecipante in direzione Sisma X. Il valore è adimensionale.

Massa sY: massa partecipante in direzione Sisma Y. Il valore è adimensionale.

Totale masse partecipanti:

Traslazione X: 0.952682

Traslazione Y: 0.999999

Traslazione Z: 0

Rotazione X: 0.966297

Rotazione Y: 0.853078

Rotazione Z: 0.993511

Modo	Periodo	Massa X	Massa Y	Massa Z	Massa rot. X	Massa rot. Y	Massa rot. Z	Massa sX	Massa sY
1	0.385447474	0	0.000053416	0	0.000037418	0	0.001747328	0	0.000053416
2	0.379002231	0.000000136	0.00002069	0	0.000014499	0.000000121	0.001206985	0.000000136	0.00002069
3	0.36849123	0.000000001	0.000044749	0	0.000041048	0.000000001	0.00182721	0.000000001	0.000044749
4	0.366214238	0.000000912	0.000031238	0	0.000012881	0.000000373	0.000945231	0.000000912	0.000031238
5	0.335331388	0.000000001	0.267794242	0	0.177750197	0	0.004345943	0.000000001	0.267794242
6	0.323071995	0.137150459	0.000000001	0	0.000000001	0.184570877	0.095505283	0.137150459	0.000000001
7	0.316169177	0.000000001	0.134046973	0	0.16873634	0.000000001	0.16599865	0.000000001	0.134046973
8	0.311983334	0.112406568	0.000000043	0	0.000000028	0.078423214	0.044674327	0.112406568	0.000000043
9	0.309499818	0	0.268705436	0	0.176485444	0	0.346178286	0	0.268705436
10	0.308783002	0.000000038	0.109434554	0	0.072853224	0.000000028	0.135539789	0.000000038	0.109434554
11	0.308405676	0.108546747	0	0	0	0.082080115	0.043075901	0.108546747	0
12	0.303548098	0	0.105665632	0	0.07593656	0	0.003012604	0	0.105665632
13	0.291405955	0.115282671	0	0	0	0.118530511	0.080274963	0.115282671	0
14	0.284197598	0	0.112453089	0	0.108392396	0	0.003191405	0	0.112453089
15	0.158992825	0.00000405	0.001011471	0	0.000133763	0.000001228	0.012178005	0.00000405	0.001011471
16	0.144780451	0.189980165	0.000000012	0	0.000000006	0.100506699	0.018257942	0.189980165	0.000000012
17	0.136142742	0.186922961	0.000000015	0	0.000000055	0.101477976	0.017820884	0.186922961	0.000000015
18	0.131159257	0.000020741	0.000104611	0	0.000490703	0.000014489	0.006344746	0.000020741	0.000104611
19	0.113603078	0.000007149	0	0	0.000000009	0.00000013	0.000004869	0.000007149	0
20	0.100091942	0.000000554	0	0	0.000039584	0.000161304	0.000001102	0.000000554	0
21	0.088173181	0.000003622	0	0	0.000035604	0.000081019	0.000000403	0.000003622	0
22	0.070009223	0.001085732	0	0	0.000000851	0.042959274	0.000764912	0.001085732	0
23	0.050837686	0.000005327	0.000422801	0	0.044576498	0.000122858	0.000461022	0.000005327	0.000422801
24	0.050365966	0.001080938	0.000002908	0	0.000122792	0.021420323	0.000482089	0.001080938	0.000002908
25	0.044219411	0.050221634	0.00000001	0	0.000000004	0.002589653	0.004828688	0.050221634	0.00000001
26	0.036251121	0.000094622	0.000038076	0	0.009058494	0.000295404	0.000051223	0.000094622	0.000038076
27	0.032457734	0.000039099	0.000143341	0	0.04711633	0.000072343	0.000009985	0.000039099	0.000143341
28	0.02454513	0.000173023	0.000017474	0	0.020217676	0.000005799	0.000019235	0.000173023	0.000017474
29	0.016765871	0.0003523	0.000008491	0	0.063059541	0.000011515	0.000131193	0.0003523	0.000008491
30	0.009085654	0.049302054	0.000000047	0	0.001184579	0.11975265	0.004631187	0.049302054	0.000000047

5.5 Equilibrio globale forze

Contributo: Nome attribuito al sistema risultante.

Fx: Componente X di forza del sistema risultante. [daN]

Fy: Componente Y di forza del sistema risultante. [daN]

Fz: Componente Z di forza del sistema risultante. [daN]

Mx: Componente di momento attorno l'asse X del sistema risultante. [daN*cm]

My: Componente di momento attorno l'asse Y del sistema risultante. [daN*cm]

Mz: Componente di momento attorno l'asse Z del sistema risultante. [daN*cm]

Bilancio in condizione di carico: Pesi strutturali

Contributo	Fx	Fy	Fz	Mx	My	Mz
Forze applicate	0	0	-1275103.603	-1933031162	2385115377	22114
Reazioni	0	0	1275103.603	1933031162	-2385115377	-22114
P-Delta	0	0	0	0	0	0
Totale	0	0	0	0	0	0

Bilancio in condizione di carico: Variabile da traffico

Contributo	Fx	Fy	Fz	Mx	My	Mz
Forze applicate	0	0	-96605.545	-164823210	187877717	-119
Reazioni	0	0	96605.545	164823210	-187877717	119
P-Delta	0	0	0	0	0	0
Totale	0	0	0	0	0	0

Bilancio in condizione di carico: Spinta idrostatica

Contributo	Fx	Fy	Fz	Mx	My	Mz
Forze applicate	0	0	653920.182	922747735	-1156166322	0
Reazioni	0	0	-653920.182	-922747735	1156166322	0
P-Delta	0	0	0	0	0	0
Totale	0	0	0	0	0	0

Interventi di miglioramento della diga di Cepparello nel Comune di Poggibonsi (SI)

ET.09.4 – Tabulati di calcolo_Canali fugatori con fondazioni su pali

Bilancio in condizione di carico: Acqua canale

Contributo	Fx	Fy	Fz	Mx	My	Mz
Forze applicate	0	0	-1472280.375	-2198892450	2638617252	13996
Reazioni	0	0	1472280.375	2198892450	-2638617252	-13996
P-Delta	0	0	0	0	0	0
Totale	0	0	0	0	0	0

Bilancio in condizione di carico: Sisma X SLV

Contributo	Fx	Fy	Fz	Mx	My	Mz
Forze applicate	115627.537	0	0	0	30188457	-190960828
Reazioni	-115627.537	0	0	0	-30188457	190960828
P-Delta	0	0	0	0	0	0
Totale	0	0	0	0	0	0

Bilancio in condizione di carico: Sisma Y SLV

Contributo	Fx	Fy	Fz	Mx	My	Mz
Forze applicate	0	121077.204	0	-31986847	0	239597183
Reazioni	0	-121077.204	0	31986847	0	-239597183
P-Delta	0	0	0	0	0	0
Totale	0	0	0	0	0	0

Bilancio in condizione di carico: Sisma X SLD

Contributo	Fx	Fy	Fz	Mx	My	Mz
Forze applicate	78807.38	0	0	0	20575317	-130151717
Reazioni	-78807.38	0	0	0	-20575317	130151717
P-Delta	0	0	0	0	0	0
Totale	0	0	0	0	0	0

Bilancio in condizione di carico: Sisma Y SLD

Contributo	Fx	Fy	Fz	Mx	My	Mz
Forze applicate	0	82521.668	0	-21801032	0	163300428
Reazioni	0	-82521.668	0	21801032	0	-163300428
P-Delta	0	0	0	0	0	0
Totale	0	0	0	0	0	0

Bilancio in condizione di carico: Sisma X SLO

Contributo	Fx	Fy	Fz	Mx	My	Mz
Forze applicate	60133.121	0	0	0	15699773	-99310864
Reazioni	-60133.121	0	0	0	-15699773	99310864
P-Delta	0	0	0	0	0	0
Totale	0	0	0	0	0	0

Bilancio in condizione di carico: Sisma Y SLO

Contributo	Fx	Fy	Fz	Mx	My	Mz
Forze applicate	0	61915.035	0	-16357057	0	122522387
Reazioni	0	-61915.035	0	16357057	0	-122522387
P-Delta	0	0	0	0	0	0
Totale	0	0	0	0	0	0

Bilancio in condizione di carico: Terreno sisma X SLV

Contributo	Fx	Fy	Fz	Mx	My	Mz
Forze applicate	343660.679	0	0	0	60030236	-644933421
Reazioni	-343660.679	0	0	0	-60030236	644933421
P-Delta	0	0	0	0	0	0
Totale	0	0	0	0	0	0

Bilancio in condizione di carico: Terreno sisma Y SLV

Contributo	Fx	Fy	Fz	Mx	My	Mz
Forze applicate	0	0	0	0	0	0
Reazioni	0	0	0	0	0	0
P-Delta	0	0	0	0	0	0
Totale	0	0	0	0	0	0

Bilancio in condizione di carico: Terreno sisma X SLD

Contributo	Fx	Fy	Fz	Mx	My	Mz
Forze applicate	154813.841	0	0	0	27042696	-290532569
Reazioni	-154813.841	0	0	0	-27042696	290532569
P-Delta	0	0	0	0	0	0
Totale	0	0	0	0	0	0

Bilancio in condizione di carico: Terreno sisma Y SLD

Contributo	Fx	Fy	Fz	Mx	My	Mz
Forze applicate	0	0	0	0	0	0
Reazioni	0	0	0	0	0	0
P-Delta	0	0	0	0	0	0
Totale	0	0	0	0	0	0

Bilancio in condizione di carico: Terreno sisma X SLO

Contributo	Fx	Fy	Fz	Mx	My	Mz
Forze applicate	129818.203	0	0	0	22676488	-243624315
Reazioni	-129818.203	0	0	0	-22676488	243624315
P-Delta	0	0	0	0	0	0
Totale	0	0	0	0	0	0

Bilancio in condizione di carico: Terreno sisma Y SLO

Contributo	Fx	Fy	Fz	Mx	My	Mz
Forze applicate	0	0	0	0	0	0
Reazioni	0	0	0	0	0	0
P-Delta	0	0	0	0	0	0
Totale	0	0	0	0	0	0

Bilancio in condizione di carico: Rig. Ux

Contributo	Fx	Fy	Fz	Mx	My	Mz
Forze applicate	1	0	0	0	500	-2550
Reazioni	-1	0	0	0	-500	2550
P-Delta	0	0	0	0	0	0
Totale	0	0	0	0	0	0

Bilancio in condizione di carico: Rig. Uy

Contributo	Fx	Fy	Fz	Mx	My	Mz
Forze applicate	0	1	0	-500	0	3642
Reazioni	0	-1	0	500	0	-3642
P-Delta	0	0	0	0	0	0
Totale	0	0	0	0	0	0

Bilancio in condizione di carico: Rig. Rz

Contributo	Fx	Fy	Fz	Mx	My	Mz
Forze applicate	0	0	0	0	0	1
Reazioni	0	0	0	0	0	-1

Contributo	Fx	Fy	Fz	Mx	My	Mz
P-Delta	0	0	0	0	0	0
Totale	0	0	0	0	0	0

5.6 Risposta di spettro

Spettro: condizione elementare corrispondente allo spettro.

N.b.: nome breve della condizione elementare.

Fx: componente della forza lungo l'asse X. [daN]

Fy: componente della forza lungo l'asse Y. [daN]

Fz: componente della forza lungo l'asse Z. [daN]

Mx: componente della coppia attorno all'asse X. [daN*cm]

My: componente della coppia attorno all'asse Y. [daN*cm]

Mz: componente della coppia attorno all'asse Z. [daN*cm]

Max X: massima reazione lungo l'asse X.

Valore: valore massimo della reazione. [daN]

Angolo: angolo d'ingresso del sisma che provoca il valore massimo della reazione. [deg]

Max Y: massima reazione lungo l'asse Y.

Valore: valore massimo della reazione. [daN]

Angolo: angolo d'ingresso del sisma che provoca il valore massimo della reazione. [deg]

Max Z: massima reazione lungo l'asse Z.

Valore: valore massimo della reazione. [daN]

Angolo: angolo d'ingresso del sisma che provoca il valore massimo della reazione. [deg]

Spettro N.b.	Fx	Fy	Fz	Mx	My	Mz	Max X		Max Y		Max Z	
							Valore	Angolo	Valore	Angolo	Valore	Angolo
X SLV	77519.24	13.6	0	187921.89	1.545E07	1.410E08	77519.24	0	122149.01	90	0	0
Y SLV	13.6	122149.01	0	2.452E07	3274.96	2.660E08	77519.24	0	122149.01	90	0	0
X SLD	52752.54	8	0	92651.26	1.050E07	9.607E07	52752.54	0	83255.16	90	0	0
Y SLD	8	83255.16	0	1.671E07	1832.77	1.813E08	52752.54	0	83255.16	90	0	0
X SLO	39713.37	6.18	0	73065.9	7.911E06	7.253E07	39713.37	0	62568.55	90	0	0
Y SLO	6.18	62568.55	0	1.257E07	1370.34	1.357E08	39713.37	0	62568.55	90	0	0

5.7 Statistiche soluzione

Tipo di equazioni	Lineari
Tecnica di soluzione	AspenTech MA57
Numero equazioni	15336
Elemento min. diagonale	14265.532577
Elemento max diagonale	63788168788.4288
Rapporto max/min	4471488.77506751
Elementi non nulli	282621

6 Verifiche

6.1 Verifiche pareti C.A.

nod.: nodo del modello FEM

sez.: tipo di sezione (o = orizzontale, v = verticale)

B: base della sezione

H: altezza della sezione

Af+: area di acciaio dal lato B (inferiore per le piastre)

Af-: area di acciaio dal lato A (superiore per le piastre)

c+: copriferro dal lato B (inferiore per le piastre)

c-: copriferro dal lato A (superiore per le piastre)

sc: tensione sul calcestruzzo in esercizio

comb: combinazione di carico

c.s.: coefficiente di sicurezza

N: sforzo normale di calcolo

M: momento flettente di calcolo

Mu: momento flettente ultimo

Nu: sforzo normale ultimo

sf: tensione sull'acciaio in esercizio

Wk: apertura caratteristica delle fessure

Sm: distanza media fra le fessure

st: sigma a trazione nel calcestruzzo in condizioni non fessurate

fck: resistenza caratteristica cilindrica del calcestruzzo

fcd: resistenza a compressione di calcolo del calcestruzzo

fctd: resistenza a trazione di calcolo del calcestruzzo

Hcr: altezza critica

q.Hcr: quota della sezione alla altezza critica

hw: altezza della parete

lw: lunghezza della parete

n.p.: numero di piani

hs: altezza dell'interpiano

Mxd: momento di progetto attorno all'asse x (fuori piano)

Myd: momento di progetto attorno all'asse y (nel piano)

NEd: sforzo normale di progetto

MEd: Momento flettente di progetto di progetto

VEd: sforzo di taglio di progetto

Ngrav.: sforzo normale dovuto ai carichi gravitazionali

NReale.: sforzo normale derivante dall'analisi

VRcd: resistenza a taglio dovuta alle bielle di calcestruzzo

epsilon: coefficiente di maggiorazione del taglio derivante dall'analisi

αS: $MEd/(VEd*lw)$ formula 7.4.15

At: area tesa di acciaio

roh: rapporto tra area della sezione orizzontale dell'armatura di anima e l'area della sezione di calcestruzzo

rov: rapporto tra area della sezione verticale dell'armatura di anima e l'area della sezione di calcestruzzo

VRsd: resistenza a taglio della sezione con armature

Somma(Asj)- Ai: somma delle aree delle barre verticali che attraversano la superficie di scorrimento

csi: altezza della parte compressa normalizzata all'altezza della sezione

Vdd: contributo dell'effetto spinotto delle armature verticali

Vfd: contributo della resistenza per attrito

Vid: contributo delle armature inclinate presenti alla base

VRd,s: valore di progetto della resistenza a taglio nei confronti dello scorrimento

M01: momento flettente inferiore per verifica instabilità

M02: momento flettente superiore per verifica instabilità

etot: eccentricità complessiva EC2 12.6.5.2 (12.12)

Fi: coefficiente riduttivo EC2 12.6.5.2 (12.11)

l0: lunghezza libera di inflessione

beta: coefficiente EC2 12.6.5.1 (12.9)

Nrd: resistenza di progetto EC2 12.6.5.2 (12.10)

l,lim: snellezza limite EC2 12.6.5.1 (4)

At: area di calcestruzzo del traverso in parete con blocco cassero in legno

Vr,cls: resistenza a taglio in assenza di armatura orizzontale in parete con blocco cassero in legno

Mu: momento resistente ultimo del singolo traverso in parete con blocco cassero in legno

Hp: resistenza a trazione dell'elemento teso in parete con blocco cassero in legno

R: fattore di efficienza in parete con blocco cassero in legno

Vr,s: contributo alla resistenza a taglio della armatura orizzontale in parete con blocco cassero in legno

Vrd: resistenza a taglio per trazione della diagonale in parete con blocco cassero in legno

l: luce netta della trave di collegamento

h: altezza della trave di collegamento

b: spessore della trave di collegamento

d: altezza utile della trave di collegamento

Asi: area complessiva della armatura a X

M,plast: momenti resistenti della trave a filo appoggio

T,plast: sforzi di taglio nella trave derivanti da gerarchia delle resistenze

Parete a "Fondazione - Testa muro di monte"

Parete fra le coordinate in pianta (-30;300) (-30;1600)

da quota -60 a quota 370

Valori in daN, cm

C32/40: rck 400

Interventi di miglioramento della diga di Cepparello nel Comune di Poggibonsi (SI)

ET.09.4 – Tabulati di calcolo_Canali fuggatori con fondazioni su pali

fyk 4500

Verifica di stato limite ultimo

Table with columns: nod, sez, B, H, Af+, Af-, c+, c-, c.s., comb, N, M, Nu, Mu. Rows include data for nodes 1142 and 2193 with various load cases (o, v).

Verifica di stato limite danno Resistenza

Table with columns: nod, sez, B, H, Af+, Af-, c+, c-, c.s., comb, N, M, Nu, Mu. Rows include data for nodes 1142 and 2193 with various load cases (o, v).

Combinazione rara

Table with columns: nod, sez, B, H, Af+, Af-, c+, c-, sc, c, N, M, sf, c, N, M, Wk(mm), Wlim, st, Sm(mm), c. Rows include data for nodes 1142 and 2193 with various load cases (o, v).

Combinazione frequente

Table with columns: nod, sez, B, H, Af+, Af-, c+, c-, sc, c, N, M, sf, c, N, M, Wk(mm), Wklim, st, Sm(mm), c. Rows include data for nodes 1142 and 2193 with various load cases (o, v).

Combinazione quasi permanente

Table with columns: nod, sez, B, H, Af+, Af-, c+, c-, sc, c, N, M, sf, c, N, M, Wk(mm), Wklim, st, Sm(mm), c. Rows include data for nodes 1142 and 2193 with various load cases (o, v).

Parete a "Fondazione - Testa muro di monte"

Parete fra le coordinate in pianta (2932;300) (2932;1600) da quota -60 a quota 370 Valori in daN, cm C32/40: rck 400 fyk 4500

Verifica di stato limite ultimo

Table with columns: nod, sez, B, H, Af+, Af-, c+, c-, c.s., comb, N, M, Nu, Mu. Rows include data for nodes 1036 and 1109 with various load cases (o, v).

Verifica di stato limite danno Resistenza

Table with columns: nod, sez, B, H, Af+, Af-, c+, c-, c.s., comb, N, M, Nu, Mu. Rows include data for nodes 1036 and 1109 with various load cases (o, v).

Combinazione rara

Table with columns: nod, sez, B, H, Af+, Af-, c+, c-, sc, c, N, M, sf, c, N, M, Wk(mm), Wlim, st, Sm(mm), c. Rows include data for nodes 1036 and 1109 with various load cases (o, v).

Combinazione frequente

Table with columns: nod, sez, B, H, Af+, Af-, c+, c-, sc, c, N, M, sf, c, N, M, Wk(mm), Wklim, st, Sm(mm), c. Rows include data for nodes 1036 and 1109 with various load cases (o, v).

Combinazione quasi permanente

Table with columns: nod, sez, B, H, Af+, Af-, c+, c-, sc, c, N, M, sf, c, N, M, Wk(mm), Wklim, st, Sm(mm), c. Rows include data for nodes 1036 and 1109 with various load cases (o, v).

Parete a "Fondazione - Testa muro di monte"

Parete fra le coordinate in pianta (1030;1600) (1030;300) da quota -60 a quota 370 Valori in daN, cm C32/40: rck 400 fyk 4500

Verifica di stato limite ultimo

Interventi di miglioramento della diga di Cepparello nel Comune di Poggibonsi (SI)

ET.09.4 – Tabulati di calcolo_Canali fugatori con fondazioni su pali

nod sez		B	H	Af+	Af-	c+	c-	c.s.		comb	N	M	Nu	Mu
1106	o 300	50	30.2	30.2	5.8	5.8	5.8	5.8	1.613	2 SLU	-7546	-3453895	-12170	-5570041
	v 180	50	18.1	18.1	5.8	5.8	5.8	5.8	18.532	14 SLU	2606	-118976	48289	-2204819
1176	o 300	50	30.2	30.2	5.8	5.8	5.8	5.8	1.628	2 SLU	-8135	-3434252	-13246	-5592178
	v 180	50	18.1	18.1	5.8	5.8	5.8	5.8	16.988	14 SLU	2583	-135530	43886	-2302328

Verifica di stato		limite		danno		Resistenza		c.s.		comb	N	M	Nu	Mu
nod sez		B	H	Af+	Af-	c+	c-	c.s.		comb	N	M	Nu	Mu
1106	o 300	50	30.2	30.2	5.8	5.8	5.8	5.8	10.299	1 SLD	-10976	737213	-113044	7592505
	v 180	50	18.1	18.1	5.8	5.8	5.8	5.8	66.917	3 SLD	797	31250	53364	2091165
1176	o 300	50	30.2	30.2	5.8	5.8	5.8	5.8	10.167	1 SLD	-11027	744925	-112117	7573929
	v 180	50	18.1	18.1	5.8	5.8	5.8	5.8	63.731	3 SLD	702	35824	44756	2283082

Combinazione rara		B	H	Af+	Af-	c+	c-	sc	c	N	M	sf	c	N	M	Wk(mm)	Wlim	st	Sm(mm)	c
1106	o 300	50	30.2	30.2	5.8	5.8	5.8	-34.7	2 ra	-8.67E03	-2.28E06	1716.7	2 ra	-8.67E03	-2.28E06	0.00999	0.00	16.9	0.0	1 ra
	v 180	50	18.1	18.1	5.8	5.8	5.8	-1.8	2 ra	1.84E03	-7.89E04	159.0	2 ra	1.84E03	-7.89E04	0.00999	0.00	1.2	0.0	1 ra
1176	o 300	50	30.2	30.2	5.8	5.8	5.8	-34.5	2 ra	-9.12E03	-2.27E06	1696.5	2 ra	-9.12E03	-2.27E06	0.00999	0.00	16.8	0.0	1 ra
	v 180	50	18.1	18.1	5.8	5.8	5.8	-2.1	2 ra	1.73E03	-9.04E04	173.6	2 ra	1.82E03	-9.01E04	0.00999	0.00	1.3	0.0	1 ra

Combinazione frequente		B	H	Af+	Af-	c+	c-	sc	c	N	M	sf	c	N	M	Wk(mm)	Wklim	st	Sm(mm)	c
1106	o 300	50	30.2	30.2	5.8	5.8	5.8	-34.7	2 fr	-8.67E03	-2.28E06	1716.7	2 fr	-8.67E03	-2.28E06	0.00	0.30	16.9	0.0	1 fr
	v 180	50	18.1	18.1	5.8	5.8	5.8	-1.8	2 fr	1.84E03	-7.89E04	159.0	2 fr	1.84E03	-7.89E04	0.00	0.30	1.2	0.0	1 fr
1176	o 300	50	30.2	30.2	5.8	5.8	5.8	-34.5	2 fr	-9.12E03	-2.27E06	1696.5	2 fr	-9.12E03	-2.27E06	0.00	0.30	16.8	0.0	1 fr
	v 180	50	18.1	18.1	5.8	5.8	5.8	-2.1	2 fr	1.73E03	-9.04E04	173.6	2 fr	1.82E03	-9.01E04	0.00	0.30	1.3	0.0	1 fr

Combinazione quasi permanente		B	H	Af+	Af-	c+	c-	sc	c	N	M	sf	c	N	M	Wk(mm)	Wklim	st	Sm(mm)	c
1106	o 300	50	30.2	30.2	5.8	5.8	5.8	-1.2	1 q.	-1.00E04	8.55E04	5.2	1 q.	-9.24E02	-2.27E04	0.00	0.20	0.1	0.0	1 q.
	v 180	50	18.1	18.1	5.8	5.8	5.8	0.0	1 q.	1.46E02	-1.53E04	24.3	1 q.	6.27E02	4.87E03	0.00	0.20	0.1	0.0	1 q.
1176	o 300	50	30.2	30.2	5.8	5.8	5.8	-1.3	1 q.	-1.03E04	9.17E04	5.4	1 q.	-7.84E02	-2.06E04	0.00	0.20	0.1	0.0	1 q.
	v 180	50	18.1	18.1	5.8	5.8	5.8	-0.1	1 q.	3.89E01	-2.21E03	29.8	1 q.	8.21E02	4.98E03	0.00	0.20	0.2	0.0	1 q.

Parete a "Fondazione - Testa muro di monte"

Parete fra le coordinate in pianta (865;2200) (865;1650)

da quota -60 a quota 370

Valori in daN, cm

C32/40: rck 400

fyk 4500

Verifica di stato limite ultimo

nod sez		B	H	Af+	Af-	c+	c-	c.s.		comb	N	M	Nu	Mu
1525	o 300	50	47.1	47.1	5.7	5.7	5.7	5.7	14.743	2 SLU	-5768	-4677728	-10056	-8154866
	v 180	50	18.1	18.1	5.8	5.8	5.8	5.8	22.452	2 SLU	-1891	-180292	-42453	-4047938
1548	o 300	50	47.1	47.1	5.7	5.7	5.7	5.7	1.760	2 SLU	-6879	-4655644	-12109	-8195075
	v 180	50	18.1	18.1	5.8	5.8	5.8	5.8	14.168	14 SLU	2453	-176114	34748	-2495115
1628	o 150	50	22.0	22.0	5.7	5.7	5.7	5.7	1.763	2 SLU	-8202	-2282168	-14460	-4023460
	v 180	50	18.1	18.1	5.8	5.8	5.8	5.8	108.829	14 SLU	730	13767	79416	1498222

Verifica di stato limite danno Resistenza

nod sez		B	H	Af+	Af-	c+	c-	c.s.		comb	N	M	Nu	Mu
1525	o 300	50	47.1	47.1	5.7	5.7	5.7	5.7	14.976	1 SLD	-11565	759089	-173199	11368350
	v 180	50	18.1	18.1	5.8	5.8	5.8	5.8	328.353	1 SLD	-590	21305	-193677	6995568
1548	o 300	50	47.1	47.1	5.7	5.7	5.7	5.7	15.047	3 SLD	-12378	772379	-186247	11621710
	v 180	50	18.1	18.1	5.8	5.8	5.8	5.8	55.123	13 SLD	1068	-35699	58860	-1967829
1628	o 150	50	22.0	22.0	5.7	5.7	5.7	5.7	15.478	3 SLD	-7893	396240	-122178	6133140
	v 180	50	18.1	18.1	5.8	5.8	5.8	5.8	392.663	13 SLD	347	-331	136379	-129859

Combinazione rara

nod sez		B	H	Af+	Af-	c+	c-	sc	c	N	M	sf	c	N	M	Wk(mm)	Wlim	st	Sm(mm)	c
1525	o 300	50	47.1	47.1	5.7	5.7	5.7	-37.8	2 fr	-7.61E03	-3.09E06	1560.5	2 fr	-7.61E03	-3.09E06	0.00999	0.00	22.6	0.0	1 fr
	v 180	50	18.1	18.1	5.8	5.8	5.8	-3.0	2 ra	-1.49E03	-1.19E05	121.9	2 ra	-1.49E03	-1.19E05	0.00999	0.00	1.4	0.0	1 ra
1548	o 300	50	47.1	47.1	5.7	5.7	5.7	-37.6	2 ra	-8.51E03	-3.07E06	1543.1	2 ra	-8.51E03	-3.07E06	0.00999	0.00	22.5	0.0	1 ra
	v 180	50	18.1	18.1	5.8	5.8	5.8	-2.8	2 fr	1.73E03	-1.18E05	208.0	2 fr	1.73E03	-1.18E05	0.00999	0.00	1.7	0.0	1 fr
1628	o 150	50	22.0	22.0	5.7	5.7	5.7	-38.3	2 ra	-7.89E03	-1.51E06	1532.8	2 ra	-7.89E03	-1.51E06	0.00999	0.00	21.6	0.0	1 ra
	v 180	50	18.1	18.1	5.8	5.8	5.8	-0.5	2 ra	-2.48E03	-2.02E04	27.2	2 ra	5.20E02	8.97E03	0.00999	0.00	0.2	0.0	1 ra

Combinazione frequente

nod sez		B	H	Af+	Af-	c+	c-	sc	c	N	M	sf	c	N	M	Wk(mm)	Wklim	st	Sm(mm)	c
1525	o 300	50	47.1	47.1	5.7	5.7	5.7	-37.8	2 fr	-7.61E03	-3.09E06	1560.5	2 fr	-7.61E03	-3.09E06	0.00	0.30	22.6	0.0	1 fr
	v 180	50	18.1	18.1	5.8	5.8	5.8	-3.0	2 fr	-1.49E03	-1.19E05	121.9	2 fr	-1.49E03	-1.19E05	0.00	0.30	1.4	0.0	1 fr
1548	o 300	50	47.1	47.1	5.7	5.7	5.7	-37.6	2 fr	-8.51E03	-3.07E06	1543.1	2 fr	-8.51E03	-3.07E06	0.00	0.30	22.5	0.0	1 fr
	v 180	50	18.1	18.1	5.8	5.8	5.8	-2.8	2 fr	1.73E03	-1.18E05	208.0	2 fr	1.73E03	-1.18E05	0.00	0.30	1.7	0.0	1 fr
1628	o 150	50	22.0	22.0	5.7	5.7	5.7	-38.3	2 fr	-7.89E03	-1.51E06	1532.8	2 fr	-7.89E03	-1.51E06	0.00	0.30	21.6	0.0	1 fr
	v 180	50	18.1	18.1	5.8	5.8	5.8	-0.5	2 fr	-2.48E03	-2.02E04	27.2	2 fr	5.20E02	8.97E03	0.00	0.30	0.2	0.0	1 fr

Combinazione quasi permanente

nod sez		B	H	Af+	Af-	c+	c-	sc	c	N	M	sf	c	N	M	Wk(mm)	Wklim	st	Sm(mm)	c
1525	o 300	50	47.1	47.1	5.7	5.7	5.7	-1.3	1 q.	-1.07E04	8.87E04	-2.7	1 q.	-1.07E04	8.87E04	0.00	0.20	0.0	0.0	1 q.
	v 180	50	18.1	18.1	5.8	5.8	5.8	-0.1	1 q.	-4.36E02	6.57E03	0.6	1 q.	-4.36E02	6.57E03	0.00	0.20	0.0	0.0	1 q.
1548	o 300	50	47.1	47.1	5.7	5.7	5.7	-1.3	1 q.	-1.12E04	9.13E04	-2.9	1 q.	-1.12E04	9.13E04	0.00	0.20	0.0	0.0	1 q.
	v 180	50	18.1	18.1	5.8	5.8	5.8	0.0	1 q.	3.32E01	1.57E03	25.4	1 q.	7.13E02	-3.92E03	0.00	0.20	0.1	0.0	1 q.
1628	o 150	50	22.0	22.0	5.7	5.7	5.7	-1.5	1 q.	-6.96E03	4.96E04	-4.8	1 q.	-6.96E03	4.96E04	0.00	0.20	0.0	0.0	1 q.
	v 180	50	18.1	18.1	5.8	5.8	5.8	-0.1	1 q.	-5.98E02	2.33E03	9.3	1 q.	2.55E02	-1.56E03	0.00	0.20	0.0	0.0	1 q.

Parete a "Fondazione - Testa muro di monte"

Parete fra le coordinate in pianta (3062;1650) (3062;2200)

da quota -60 a quota 370

Interventi di miglioramento della diga di Cepparello nel Comune di Poggibonsi (SI)

ET.09.4 – Tabulati di calcolo_Canali fuggatori con fondazioni su pali

Valori in daN, cm
C32/40: rck 400
f_{yk} 4500

Verifica di stato limite ultimo

nod sez	B	H	Af+	Af-	c+	c-	c.s.	comb	N	M	Nu	Mu
1505	o 300	50	47.1	47.1	5.7	5.7	1.746	2 SLU	-6239	-4679640	-10894	-8171524
	v 180	50	18.1	18.1	5.8	5.8	18.341	2 SLU	-171	-177660	-3142	-3258389
1528	o 300	50	47.1	47.1	5.7	5.7	1.746	2 SLU	-6239	-4679705	-10895	-8171524
	v 180	50	18.1	18.1	5.8	5.8	18.345	2 SLU	-173	-177661	-3176	-3259184
1631	o 150	50	22.0	22.0	5.7	5.7	1.756	2 SLU	-8160	-2290059	-14327	-4020815
	v 180	50	18.1	18.1	5.8	5.8	131.054	14 SLU	847	5721	111018	749773

Verifica di stato limite danno Resistenza

nod sez	B	H	Af+	Af-	c+	c-	c.s.	comb	N	M	Nu	Mu
1505	o 300	50	47.1	47.1	5.7	5.7	14.962	13 SLD	-12336	774571	-184579	11589260
	v 180	50	18.1	18.1	5.8	5.8	156.142	1 SLD	-132	-23125	-20675	-3610764
1528	o 300	50	47.1	47.1	5.7	5.7	14.964	15 SLD	-12336	774459	-184601	11589260
	v 180	50	18.1	18.1	5.8	5.8	156.227	3 SLD	-132	-23112	-20674	-3610764
1631	o 150	50	22.0	22.0	5.7	5.7	15.277	13 SLD	-6746	377421	-103063	5765957
	v 180	50	18.1	18.1	5.8	5.8	337.360	1 SLD	376	-1081	126850	-364627

Combinazione rara

nod sez	B	H	Af+	Af-	c+	c-	sc	c	N	M	sf	c	N	M	Wk(mm)	Wlim	st	Sm(mm)	c
1505	o 300	50	47.1	47.1	5.7	5.7	-37.8	2 ra	-8.14E03	-3.09E06	1554.2	2 ra	-8.14E03	-3.09E06	0.00999	0.00	22.6	0.0	1 ra
	v 180	50	18.1	18.1	5.8	5.8	-3.0	2 fr	-1.78E02	-1.19E05	156.3	2 fr	-1.78E02	-1.19E05	0.00999	0.00	1.5	0.0	1 ra
1528	o 300	50	47.1	47.1	5.7	5.7	-37.8	2 ra	-8.14E03	-3.09E06	1554.2	2 ra	-8.14E03	-3.09E06	0.00999	0.00	22.6	0.0	1 ra
	v 180	50	18.1	18.1	5.8	5.8	-3.0	2 ra	-1.80E02	-1.19E05	156.2	2 fr	-1.80E02	-1.19E05	0.00999	0.00	1.5	0.0	1 ra
1631	o 150	50	22.0	22.0	5.7	5.7	-38.4	2 ra	-7.88E03	-1.51E06	1538.7	2 fr	-7.88E03	-1.51E06	0.00999	0.00	21.7	0.0	1 ra
	v 180	50	18.1	18.1	5.8	5.8	-0.4	2 ra	-2.37E03	-1.58E04	21.9	2 ra	6.03E02	3.66E03	0.00999	0.00	0.1	0.0	1 ra

Combinazione frequente

nod sez	B	H	Af+	Af-	c+	c-	sc	c	N	M	sf	c	N	M	Wk(mm)	Wklim	st	Sm(mm)	c
1505	o 300	50	47.1	47.1	5.7	5.7	-37.8	2 fr	-8.14E03	-3.09E06	1554.2	2 fr	-8.14E03	-3.09E06	0.00	0.30	22.6	0.0	1 fr
	v 180	50	18.1	18.1	5.8	5.8	-3.0	2 fr	-1.78E02	-1.19E05	156.3	2 fr	-1.78E02	-1.19E05	0.00	0.30	1.5	0.0	1 fr
1528	o 300	50	47.1	47.1	5.7	5.7	-37.8	2 fr	-8.14E03	-3.09E06	1554.2	2 fr	-8.14E03	-3.09E06	0.00	0.30	22.6	0.0	1 fr
	v 180	50	18.1	18.1	5.8	5.8	-3.0	2 fr	-1.80E02	-1.19E05	156.2	2 fr	-1.80E02	-1.19E05	0.00	0.30	1.5	0.0	1 fr
1631	o 150	50	22.0	22.0	5.7	5.7	-38.4	2 fr	-7.88E03	-1.51E06	1538.7	2 fr	-7.88E03	-1.51E06	0.00	0.30	21.7	0.0	1 fr
	v 180	50	18.1	18.1	5.8	5.8	-0.4	2 fr	-2.37E03	-1.58E04	21.9	2 fr	6.03E02	3.66E03	0.00	0.30	0.1	0.0	1 fr

Combinazione quasi permanente

nod sez	B	H	Af+	Af-	c+	c-	sc	c	N	M	sf	c	N	M	Wk(mm)	Wklim	st	Sm(mm)	c
1505	o 300	50	47.1	47.1	5.7	5.7	-1.4	1 q.	-1.13E04	9.84E04	-2.5	1 q.	-1.13E04	9.84E04	0.00	0.20	0.0	0.0	1 q.
	v 180	50	18.1	18.1	5.8	5.8	-0.2	1 q.	-3.43E02	8.86E03	7.6	1 q.	2.38E02	6.81E02	0.00	0.20	0.1	0.0	1 q.
1528	o 300	50	47.1	47.1	5.7	5.7	-1.4	1 q.	-1.13E04	9.84E04	-2.5	1 q.	-1.13E04	9.84E04	0.00	0.20	0.0	0.0	1 q.
	v 180	50	18.1	18.1	5.8	5.8	-0.2	1 q.	-3.43E02	8.86E03	7.6	1 q.	2.38E02	6.93E02	0.00	0.20	0.1	0.0	1 q.
1631	o 150	50	22.0	22.0	5.7	5.7	-1.6	1 q.	-6.92E03	5.11E04	-4.5	1 q.	-6.92E03	5.11E04	0.00	0.20	0.0	0.0	1 q.
	v 180	50	18.1	18.1	5.8	5.8	-0.1	1 q.	-6.43E02	3.80E03	10.3	1 q.	3.10E02	-1.17E03	0.00	0.20	0.0	0.0	1 q.

Parete a "Fondazione - Testa muro di monte"

Parete fra le coordinate in pianta (3642;2200) (3642;1650)
da quota -60 a quota 370
Valori in daN, cm
C32/40: rck 400
f_{yk} 4500

Verifica di stato limite ultimo

nod sez	B	H	Af+	Af-	c+	c-	c.s.	comb	N	M	Nu	Mu
1422	o 150	50	22.0	22.0	5.7	5.7	1.542	3 SLV	-7812	2578597	-12044	3975617
	v 180	50	18.1	18.1	5.8	5.8	34.907	18 SLU	1026	70863	35815	2473595
1639	o 150	50	22.0	22.0	5.7	5.7	1.543	1 SLV	-7835	2577166	-12089	3976285
	v 180	50	18.1	18.1	5.8	5.8	33.142	18 SLU	1042	75427	34531	2499780

Verifica di stato limite danno Resistenza

nod sez	B	H	Af+	Af-	c+	c-	c.s.	comb	N	M	Nu	Mu
1422	o 150	50	22.0	22.0	5.7	5.7	2.563	3 SLD	-8140	1619266	-20864	4150644
	v 180	50	18.1	18.1	5.8	5.8	61.468	1 SLD	409	43746	25140	2688970
1639	o 150	50	22.0	22.0	5.7	5.7	2.566	1 SLD	-8146	1617979	-20900	4151287
	v 180	50	18.1	18.1	5.8	5.8	58.007	3 SLD	421	46603	24421	2703283

Combinazione rara

nod sez	B	H	Af+	Af-	c+	c-	sc	c	N	M	sf	c	N	M	Wk(mm)	Wlim	st	Sm(mm)	c
1422	o 150	50	22.0	22.0	5.7	5.7	-47.0	6 ra	-1.06E04	1.84E06	1857.7	6 ra	-1.06E04	1.84E06	0.00999	0.00	26.4	0.0	1 ra
	v 180	50	18.1	18.1	5.8	5.8	-1.2	5 ra	4.90E02	5.06E04	85.9	6 ra	6.53E02	4.99E04	0.00999	0.00	0.7	0.0	1 ra
1639	o 150	50	22.0	22.0	5.7	5.7	-47.0	6 ra	-1.06E04	1.84E06	1856.1	6 ra	-1.06E04	1.84E06	0.00999	0.00	26.3	0.0	1 ra
	v 180	50	18.1	18.1	5.8	5.8	-1.3	5 ra	5.07E02	5.39E04	90.6	6 ra	6.65E02	5.31E04	0.00999	0.00	0.8	0.0	1 ra

Combinazione frequente

nod sez	B	H	Af+	Af-	c+	c-	sc	c	N	M	sf	c	N	M	Wk(mm)	Wklim	st	Sm(mm)	c
1422	o 150	50	22.0	22.0	5.7	5.7	-28.8	4 fr	-9.51E03	1.12E06	1065.7	4 fr	-9.51E03	1.12E06	0.00	0.30	15.7	0.0	1 fr
	v 180	50	18.1	18.1	5.8	5.8	-0.8	4 fr	5.66E01	3.20E04	45.1	4 fr	5.66E01	3.20E04	0.00	0.30	0.4	0.0	1 fr
1639	o 150	50	22.0	22.0	5.7	5.7	-28.7	4 fr	-9.51E03	1.12E06	1064.4	4 fr	-9.51E03	1.12E06	0.00	0.30	15.7	0.0	1 fr
	v 180	50	18.1	18.1	5.8	5.8	-0.9	4 fr	6.83E01	3.41E04	48.2	4 fr	6.83E01	3.41E04	0.00	0.30	0.4	0.0	1 fr

Combinazione quasi permanente

nod sez	B	H	Af+	Af-	c+	c-	sc	c	N	M	sf	c	N	M	Wk(mm)	Wklim	st	Sm(mm)	c
1422	o 150	50	22.0	22.0	5.7	5.7	-16.6	1 q.	-8.78E03	6.45E05	542.2	1 q.	-8.78E03	6.45E05	0.00	0.20	8.6	0.0	1 q.
	v 180	50	18.1	18.1	5.8	5.8	-0.5	1 q.	-2.32E02	1.97E04	20.4	1 q.	-2.32E02	1.97E04	0.00	0.20	0.2	0.0	1 q.
1639	o 150	50	22.0	22.0	5.7	5.7	-16.6	1 q.	-8.77E03	6.44E05	541.1	1 q.	-8.77E03	6.44E05	0.00	0.20	8.6	0.0	1 q.

Interventi di miglioramento della diga di Cepparello nel Comune di Poggibonsi (SI)

ET.09.4 – Tabulati di calcolo_Canali fagatori con fondazioni su pali

1699	v	280	50	27.1	27.1	5.8	5.8	-1.0	1 q.	2.46E02	6.07E04	59.4	1 q.	2.46E02	6.07E04	0.00	0.20	0.5	0.0	1 q.
	o	400	50	62.8	62.8	5.7	5.7	-28.0	1 q.	-2.83E04	3.00E06	980.1	1 q.	-2.83E04	3.00E06	0.00	0.20	15.5	0.0	1 q.
1824	v	280	50	27.1	27.1	5.8	5.8	-1.5	1 q.	-1.32E01	9.39E04	84.7	1 q.	-1.32E01	9.39E04	0.00	0.20	0.8	0.0	1 q.
	o	250	50	40.8	40.8	5.7	5.7	-27.5	1 q.	-1.75E04	1.87E06	944.5	1 q.	-1.75E04	1.87E06	0.00	0.20	15.4	0.0	1 q.
	v	280	50	27.1	27.1	5.8	5.8	-0.2	1 q.	3.50E02	1.21E04	17.5	1 q.	3.50E02	1.21E04	0.00	0.20	0.1	0.0	1 q.

Parete a "Fondazione - Testa muro di valle sx"

Parete fra le coordinate in pianta (865;2800) (865;2300)

da quota -60 a quota 430

Valori in daN, cm

C32/40: rck 400

fyk 4500

Verifica di stato limite ultimo

nod sez	B	H	Af+	Af-	c+	c-	c.s.	comb	N	M	Nu	Mu	
1742	o	300	50	47.1	47.1	5.7	5.7	1.026	1 SLV	-24391	8239159	-25020	8451720
	v	180	50	17.1	17.1	5.8	5.8	8.888	3 SLV	-216	346117	-1922	3076433
1776	o	300	50	47.1	47.1	5.7	5.7	1.028	3 SLV	-23385	8201125	-24046	8432843
	v	180	50	17.1	17.1	5.8	5.8	7.896	3 SLV	-81	386393	-643	3050911
1833	o	150	50	23.1	23.1	5.7	5.7	1.019	1 SLV	-8977	4015642	-9148	4092180
	v	180	50	17.1	17.1	5.8	5.8	32.936	1 SLV	1933	50999	63667	1679729

Verifica di stato limite danno Resistenza

nod sez	B	H	Af+	Af-	c+	c-	c.s.	comb	N	M	Nu	Mu	
1742	o	300	50	47.1	47.1	5.7	5.7	1.663	3 SLD	-23241	5244623	-38654	8722660
	v	180	50	17.1	17.1	5.8	5.8	14.469	3 SLD	-177	213507	-2554	3089143
1776	o	300	50	47.1	47.1	5.7	5.7	1.665	3 SLD	-22574	5226045	-37588	8701683
	v	180	50	17.1	17.1	5.8	5.8	12.610	3 SLD	-95	242834	-1203	3062093
1833	o	150	50	23.1	23.1	5.7	5.7	1.650	1 SLD	-9512	2558944	-15694	4221890
	v	180	50	17.1	17.1	5.8	5.8	55.360	1 SLD	1035	32971	57278	1825271

Combinazione rara

nod sez	B	H	Af+	Af-	c+	c-	sc	c	N	M	sf	c	N	M	Wk(mm)	Wlim	st	Sm(mm)	c
1742	o	300	50	47.1	47.1	5.7	5.7	-67.9	5 ra	-2.86E04	5.51E06	2636.8	6 ra	-2.80E04	5.51E06	0.269999.00	0.0	353.3	6 ra
	v	180	50	17.1	17.1	5.8	5.8	-5.9	5 ra	-3.52E02	2.28E05	316.2	5 ra	-3.52E02	2.28E05	0.009999.00	2.9	0.0	1 ra
1776	o	300	50	47.1	47.1	5.7	5.7	-67.3	5 ra	-2.63E04	5.47E06	2631.7	6 ra	-2.61E04	5.47E06	0.269999.00	0.0	353.6	6 ra
	v	180	50	17.1	17.1	5.8	5.8	-6.5	6 ra	2.94E01	2.53E05	364.7	5 ra	8.76E01	2.52E05	0.009999.00	3.2	0.0	1 ra
1833	o	150	50	23.1	23.1	5.7	5.7	-67.0	6 ra	-1.24E04	2.70E06	2656.0	6 ra	-1.24E04	2.70E06	0.169999.00	0.0	212.7	6 ra
	v	180	50	17.1	17.1	5.8	5.8	-0.8	5 ra	1.11E03	3.87E04	89.8	6 ra	1.24E03	3.64E04	0.009999.00	0.6	0.0	1 ra

Combinazione frequente

nod sez	B	H	Af+	Af-	c+	c-	sc	c	N	M	sf	c	N	M	Wk(mm)	Wklim	st	Sm(mm)	c	
1742	o	300	50	47.1	47.1	5.7	5.7	-44.1	4 fr	-2.47E04	3.56E06	1637.8	4 fr	-2.47E04	3.56E06	0.00	0.30	25.1	0.0	1 fr
	v	180	50	17.1	17.1	5.8	5.8	-3.6	4 fr	-2.42E02	1.40E05	193.9	4 fr	-2.42E02	1.40E05	0.00	0.30	1.8	0.0	1 fr
1776	o	300	50	47.1	47.1	5.7	5.7	-43.7	4 fr	-2.33E04	3.54E06	1639.3	4 fr	-2.33E04	3.54E06	0.00	0.30	25.0	0.0	1 fr
	v	180	50	17.1	17.1	5.8	5.8	-4.1	4 fr	1.39E01	1.60E05	229.9	4 fr	1.39E01	1.60E05	0.00	0.30	2.0	0.0	1 fr
1833	o	150	50	23.1	23.1	5.7	5.7	-43.6	4 fr	-1.13E04	1.75E06	1655.7	4 fr	-1.13E04	1.75E06	0.00	0.30	24.8	0.0	1 fr
	v	180	50	17.1	17.1	5.8	5.8	-0.6	4 fr	5.34E02	2.42E04	50.7	4 fr	5.34E02	2.42E04	0.00	0.30	0.4	0.0	1 fr

Combinazione quasi permanente

nod sez	B	H	Af+	Af-	c+	c-	sc	c	N	M	sf	c	N	M	Wk(mm)	Wklim	st	Sm(mm)	c	
1742	o	300	50	47.1	47.1	5.7	5.7	-28.1	1 q.	-2.21E04	2.26E06	976.5	1 q.	-2.21E04	2.26E06	0.00	0.20	15.5	0.0	1 q.
	v	180	50	17.1	17.1	5.8	5.8	-2.1	1 q.	-1.69E02	8.17E04	112.3	1 q.	-1.69E02	8.17E04	0.00	0.20	1.0	0.0	1 q.
1776	o	300	50	47.1	47.1	5.7	5.7	-28.0	1 q.	-2.13E04	2.25E06	979.6	1 q.	-2.13E04	2.25E06	0.00	0.20	15.5	0.0	1 q.
	v	180	50	17.1	17.1	5.8	5.8	-2.5	1 q.	-3.52E01	9.83E04	140.0	1 q.	-3.52E01	9.83E04	0.00	0.20	1.3	0.0	1 q.
1833	o	150	50	23.1	23.1	5.7	5.7	-28.0	1 q.	-1.05E04	1.12E06	989.8	1 q.	-1.05E04	1.12E06	0.00	0.20	15.4	0.0	1 q.
	v	180	50	17.1	17.1	5.8	5.8	-0.4	1 q.	1.52E02	1.46E04	27.9	1 q.	4.37E02	-1.02E04	0.00	0.20	0.2	0.0	1 q.

6.2 Verifiche piastre C.A.

Nodo: indice del nodo di verifica

Dir.: direzione della sezione di verifica

B: base della sezione rettangolare di verifica [cm]

H: altezza della sezione rettangolare di verifica [cm]

A. sup.: area barre armatura superiori [cm²]

C. sup.: distanza media delle barre superiori dal bordo superiore della sezione [cm]

A. inf.: area barre armatura inferiori [cm²]

C. inf.: distanza media delle barre inferiori dal bordo inferiore della sezione [cm]

Comb.: combinazione di verifica

M: momento flettente [daN*cm]

N: sforzo normale [daN]

Mu: momento flettente ultimo [daN*cm]

Nu: sforzo normale ultimo [daN]

c.s.: coefficiente di sicurezza

Verifica: stato di verifica

σc: tensione nel calcestruzzo [daN/cm²]

σlim: tensione limite [daN/cm²]

Es/Ec: coefficiente di omogeneizzazione

σf: tensione nell'acciaio d'armatura [daN/cm²]

εsm: deformazione unitaria media delle barre di armatura

Δmax: distanza massima tra le fessure [cm]

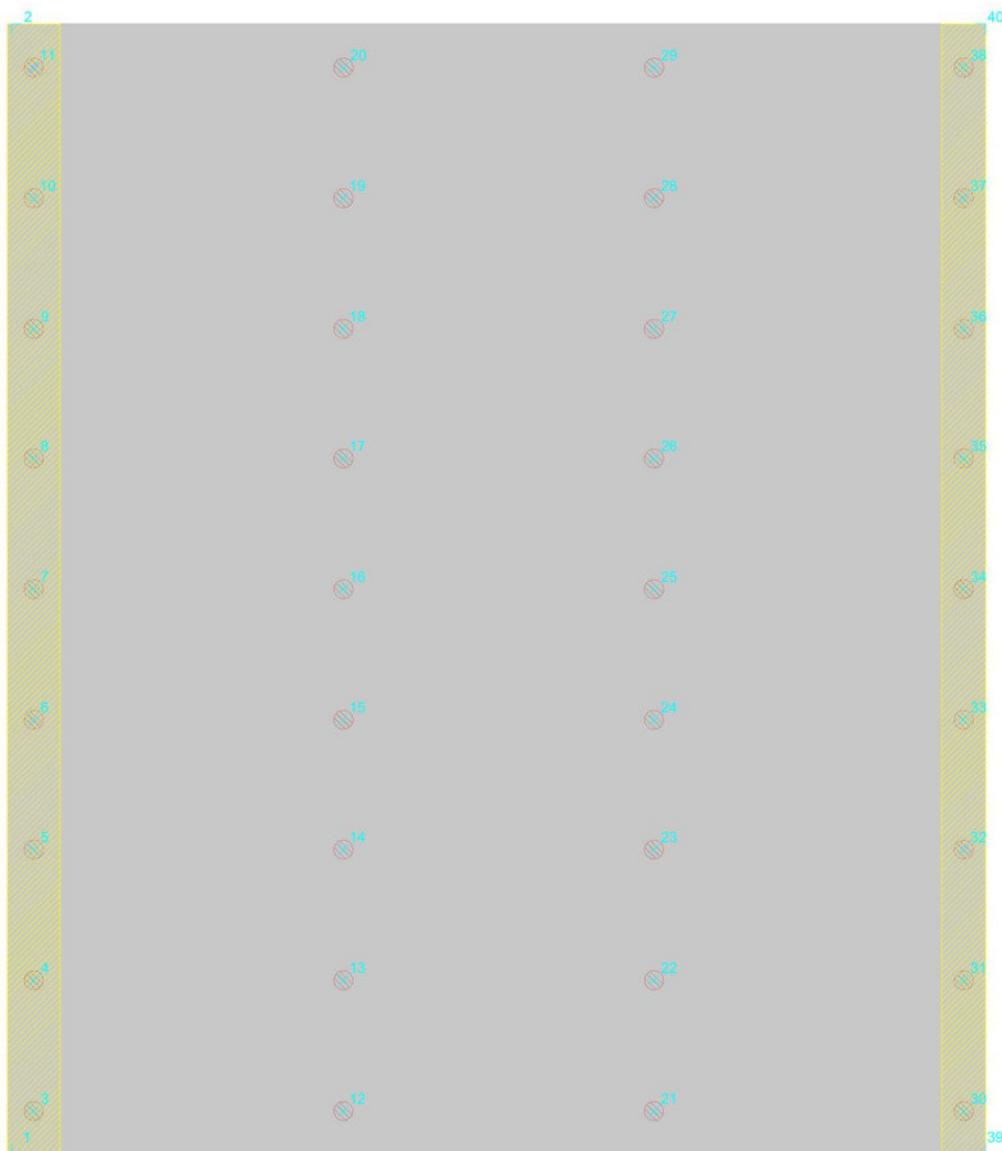
Wd: valore di calcolo di apertura delle fessure [cm]

Le unità di misura delle verifiche elencate nel capitolo sono in [cm, daN] ove non espressamente specificato.

Piastra a "Fondazione"

Verifiche condotte secondo D.M. 17-01-18 (N.T.C.)

Geometria



Caratteristiche dei materiali

Acciaio: B450C Fyk 4500

Calcestruzzo: C32/40 Rck 400

Sistema di riferimento e direzioni di armatura

Le coordinate citate nel seguito sono espresse in un sistema di riferimento cartesiano con origine in (-60; 300.1; 0), direzione dell'asse X = (1; 0; 0), direzione dell'asse Y = (0; 1; 0).

Le direzioni X/Y di armatura e le sezioni X/Y di verifica sono individuate dagli assi del sistema di riferimento.

Verifiche nei nodi

Verifiche SLU flessione nei nodi

Nodo	Dir.	B	H	A. sup.	C. sup.	A. inf.	C. inf.	Comb.	M	N	Mu	Nu	c.s.	Verifica
1060	Y	200	60	31.42	6	31.42	6	SLU 14	-4498348	0	-6406426	0	1.4242	Si
1141	Y	200	60	31.42	6	31.42	6	SLU 14	-4498315	0	-6406426	0	1.4242	Si
998	Y	200	60	31.42	6	31.42	6	SLU 14	-4460406	0	-6406426	0	1.4363	Si
1207	Y	200	60	31.42	6	31.42	6	SLU 14	-4459795	0	-6406426	0	1.4365	Si
936	Y	200	60	31.42	6	31.42	6	SLU 14	-4376991	0	-6406426	0	1.4637	Si

Verifiche SLD Resistenza flessione nei nodi

Nodo	Dir.	B	H	A. sup.	C. sup.	A. inf.	C. inf.	Comb.	M	N	Mu	Nu	c.s.	Verifica
936	Y	200	60	31.42	6	31.42	6	SLD 13	-2503893	0	-6406426	0	2.5586	Si
998	Y	200	60	31.42	6	31.42	6	SLD 13	-2502587	0	-6406426	0	2.5599	Si
1207	Y	200	60	31.42	6	31.42	6	SLD 15	-2499252	0	-6406426	0	2.5633	Si
1269	Y	200	60	31.42	6	31.42	6	SLD 15	-2498672	0	-6406426	0	2.5639	Si
1060	Y	200	60	31.42	6	31.42	6	SLD 13	-2495329	0	-6406426	0	2.5674	Si

Verifiche SLE tensione calcestruzzo nei nodi

Nodo	Dir.	B	H	A. sup.	C. sup.	A. inf.	C. inf.	Comb.	M	N	σc	σlim	Es/Ec	Verifica
1060	Y	200	60	31.42	6	31.42	6	SLE RA 2	-3152272	0	-22.8	199.2	15	Si
1141	Y	200	60	31.42	6	31.42	6	SLE RA 2	-3152175	0	-22.8	199.2	15	Si
998	Y	200	60	31.42	6	31.42	6	SLE RA 2	-3125842	0	-22.6	199.2	15	Si
1207	Y	200	60	31.42	6	31.42	6	SLE RA 2	-3125205	0	-22.6	199.2	15	Si
936	Y	200	60	31.42	6	31.42	6	SLE RA 2	-3067213	0	-22.2	199.2	15	Si

Verifiche SLE tensione acciaio nei nodi

Nodo	Dir.	B	H	A. sup.	C. sup.	A. inf.	C. inf.	Comb.	M	N	σf	σlim	Es/Ec	Verifica
1060	Y	200	60	31.42	6	31.42	6	SLE RA 2	-3152272	0	273.9	3600	15	Si
1141	Y	200	60	31.42	6	31.42	6	SLE RA 2	-3152175	0	273.9	3600	15	Si
998	Y	200	60	31.42	6	31.42	6	SLE RA 2	-3125842	0	271.6	3600	15	Si
1207	Y	200	60	31.42	6	31.42	6	SLE RA 2	-3125205	0	271.6	3600	15	Si

Interventi di miglioramento della diga di Cepparello nel Comune di Poggibonsi (SI)

ET.09.4 – Tabulati di calcolo_Canali fugadori con fondazioni su pali

Nodo	Dir.	B	H	A. sup.	C. sup.	A. inf.	C. inf.	Comb.	M	N	σ_f	σ_{lim}	Es/Ec	Verifica
936	Y	200	60	31.42	6	31.42	6	SLE RA 2	-3067213	0	266.5	3600	15	Si

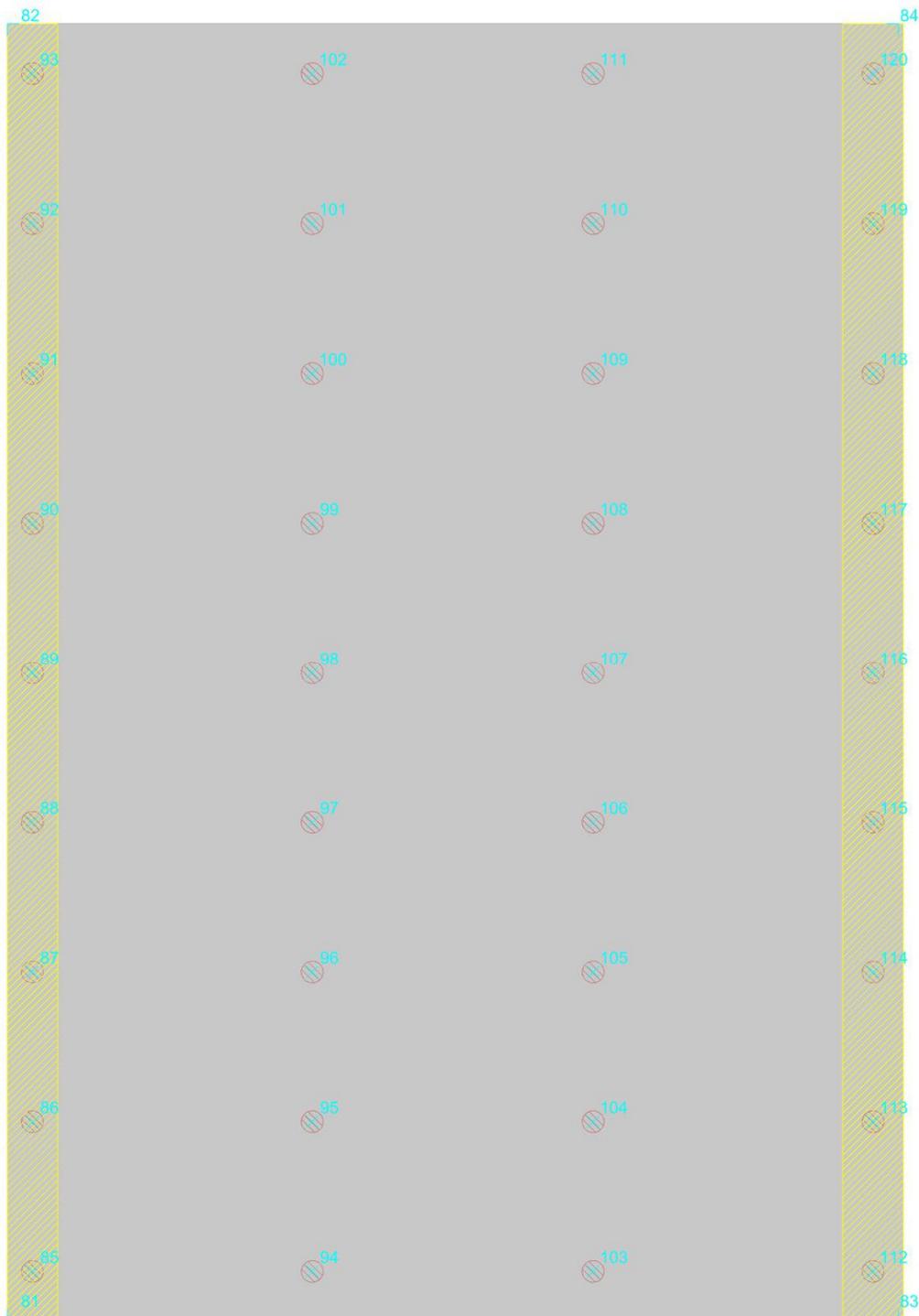
Verifiche SLE fessurazione nei nodi

La piastra non presenta nodi con apertura delle fessure.

Piastra a "Fondazione"

Verifiche condotte secondo D.M. 17-01-18 (N.T.C.)

Geometria



Caratteristiche dei materiali

Acciaio: B450C Fyk 4500

Calcestruzzo: C32/40 Rck 400

Sistema di riferimento e direzioni di armatura

Le coordinate citate nel seguito sono espresse in un sistema di riferimento cartesiano con origine in (2906.9; 300.1; 0), direzione dell'asse X = (1; 0; 0), direzione dell'asse Y = (0; 1; 0).

Le direzioni X/Y di armatura e le sezioni X/Y di verifica sono individuate dagli assi del sistema di riferimento.

Interventi di miglioramento della diga di Cepparello nel Comune di Poggibonsi (SI)

ET.09.4 – Tabulati di calcolo_Canali fagatori con fondazioni su pali

Verifiche nei nodi

Verifiche SLU flessione nei nodi

Nodo	Dir.	B	H	A. sup.	C. sup.	A. inf.	C. inf.	Comb.	M	N	Mu	Nu	c.s.	Verifica
1152	Y	200	60	31.42	6	31.42	6	SLU 14	-5366995	0	-6406426	0	1.1937	Si
1071	Y	200	60	31.42	6	31.42	6	SLU 14	-5366795	0	-6406426	0	1.1937	Si
1214	Y	200	60	31.42	6	31.42	6	SLU 14	-5348475	0	-6406426	0	1.1978	Si
1005	Y	200	60	31.42	6	31.42	6	SLU 14	-5347296	0	-6406426	0	1.1981	Si
1276	Y	200	60	31.42	6	31.42	6	SLU 14	-5306442	0	-6406426	0	1.2073	Si

Verifiche SLD Resistenza flessione nei nodi

Nodo	Dir.	B	H	A. sup.	C. sup.	A. inf.	C. inf.	Comb.	M	N	Mu	Nu	c.s.	Verifica
1276	Y	200	60	31.42	6	31.42	6	SLD 3	-2955136	0	-6406426	0	2.1679	Si
943	Y	200	60	31.42	6	31.42	6	SLD 1	-2952998	0	-6406426	0	2.1695	Si
1214	Y	200	60	31.42	6	31.42	6	SLD 3	-2943485	0	-6406426	0	2.1765	Si
1005	Y	200	60	31.42	6	31.42	6	SLD 1	-2941770	0	-6406426	0	2.1777	Si
1152	Y	200	60	31.42	6	31.42	6	SLD 3	-2934796	0	-6406426	0	2.1829	Si

Verifiche SLE tensione calcestruzzo nei nodi

Nodo	Dir.	B	H	A. sup.	C. sup.	A. inf.	C. inf.	Comb.	M	N	σ_c	σ_{lim}	Es/Ec	Verifica
1152	Y	200	60	31.42	6	31.42	6	SLE RA 2	-3787530	0	-27.4	199.2	15	Si
1071	Y	200	60	31.42	6	31.42	6	SLE RA 2	-3787304	0	-27.4	199.2	15	Si
1214	Y	200	60	31.42	6	31.42	6	SLE RA 2	-3774861	0	-27.3	199.2	15	Si
1005	Y	200	60	31.42	6	31.42	6	SLE RA 2	-3773787	0	-27.3	199.2	15	Si
1276	Y	200	60	31.42	6	31.42	6	SLE RA 2	-3745815	0	-27.1	199.2	15	Si

Verifiche SLE tensione acciaio nei nodi

Nodo	Dir.	B	H	A. sup.	C. sup.	A. inf.	C. inf.	Comb.	M	N	σ_f	σ_{lim}	Es/Ec	Verifica
1152	Y	200	60	31.42	6	31.42	6	SLE RA 2	-3787530	0	329.1	3600	15	Si
1071	Y	200	60	31.42	6	31.42	6	SLE RA 2	-3787304	0	329.1	3600	15	Si
1214	Y	200	60	31.42	6	31.42	6	SLE RA 2	-3774861	0	328	3600	15	Si
1005	Y	200	60	31.42	6	31.42	6	SLE RA 2	-3773787	0	327.9	3600	15	Si
1276	Y	200	60	31.42	6	31.42	6	SLE RA 2	-3745815	0	325.5	3600	15	Si

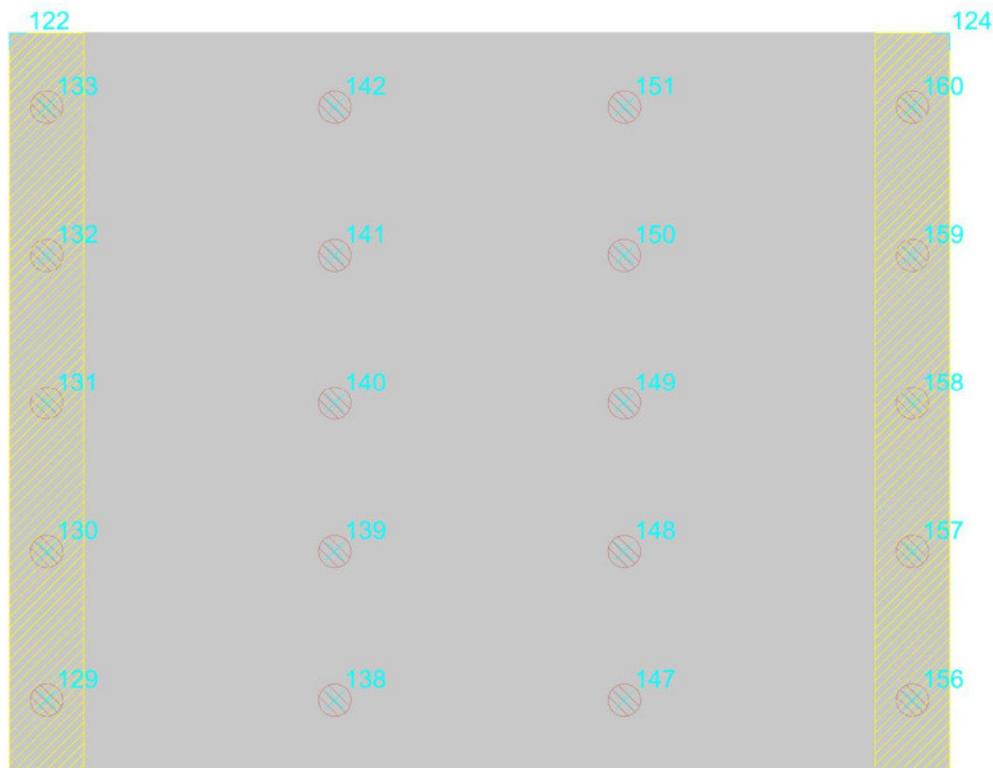
Verifiche SLE fessurazione nei nodi

La piastra non presenta nodi con apertura delle fessure.

Piastra a "Fondazione"

Verifiche condotte secondo D.M. 17-01-18 (N.T.C.)

Geometria



Caratteristiche dei materiali

Acciaio: B450C Fyk 4500

Calcestruzzo: C32/40 Rck 400

Sistema di riferimento e direzioni di armatura

Le coordinate citate nel seguito sono espresse in un sistema di riferimento cartesiano con origine in (3036.9; 2300.1; 0), direzione dell'asse X = (1; 0; 0), direzione dell'asse Y = (0; 1; 0).

Le direzioni X/Y di armatura e le sezioni X/Y di verifica sono individuate dagli assi del sistema di riferimento.

Verifiche nei nodi

Verifiche SLU flessione nei nodi

Nodo	Dir.	B	H	A. sup.	C. sup.	A. inf.	C. inf.	Comb.	M	N	Mu	Nu	c.s.	Verifica
1838	Y	150	60	23.56	6	23.56	6	SLU 17	3970959	0	4791883	0	1.2067	Si
1656	Y	150	60	23.56	6	23.56	6	SLU 17	3970955	0	4791883	0	1.2067	Si
1842	Y	150	60	23.56	6	23.56	6	SLU 17	3968319	0	4791883	0	1.2075	Si
1660	Y	150	60	23.56	6	23.56	6	SLU 17	3968301	0	4791883	0	1.2075	Si
1815	Y	200	60	31.42	6	31.42	6	SLU 17	5269445	0	6406426	0	1.2158	Si

Verifiche SLD Resistenza flessione nei nodi

Nodo	Dir.	B	H	A. sup.	C. sup.	A. inf.	C. inf.	Comb.	M	N	Mu	Nu	c.s.	Verifica
1656	Y	150	60	23.56	6	23.56	6	SLD 15	2474224	0	4791883	0	1.9367	Si
1838	Y	150	60	23.56	6	23.56	6	SLD 13	2474148	0	4791883	0	1.9368	Si
1660	Y	150	60	23.56	6	23.56	6	SLD 3	2470616	0	4791883	0	1.9395	Si
1842	Y	150	60	23.56	6	23.56	6	SLD 1	2470594	0	4791883	0	1.9396	Si
1673	Y	200	60	31.42	6	31.42	6	SLD 15	3276911	0	6406426	0	1.955	Si

Verifiche SLE tensione calcestruzzo nei nodi

Nodo	Dir.	B	H	A. sup.	C. sup.	A. inf.	C. inf.	Comb.	M	N	σc	σlim	Es/Ec	Verifica
1744	Y	300	60	94.25	6	94.25	6	SLE RA 6	8923092	0	-55.6	199.2	15	Si
1754	Y	300	60	94.25	6	94.25	6	SLE RA 6	8911968	0	-55.5	199.2	15	Si
1721	Y	300	60	94.25	6	94.25	6	SLE RA 6	8889770	0	-55.4	199.2	15	Si
1755	Y	300	60	94.25	6	94.25	6	SLE RA 6	8889751	0	-55.4	199.2	15	Si
1765	Y	300	60	94.25	6	94.25	6	SLE RA 6	8878024	0	-55.3	199.2	15	Si

Verifiche SLE tensione acciaio nei nodi

Nodo	Dir.	B	H	A. sup.	C. sup.	A. inf.	C. inf.	Comb.	M	N	σf	σlim	Es/Ec	Verifica
1744	Y	300	60	94.25	6	94.25	6	SLE RA 6	8923092	0	1954.1	3600	15	Si
1754	Y	300	60	94.25	6	94.25	6	SLE RA 6	8911968	0	1951.7	3600	15	Si
1721	Y	300	60	94.25	6	94.25	6	SLE RA 6	8889770	0	1946.8	3600	15	Si
1755	Y	300	60	94.25	6	94.25	6	SLE RA 6	8889751	0	1946.8	3600	15	Si
1765	Y	300	60	94.25	6	94.25	6	SLE RA 6	8878024	0	1944.2	3600	15	Si

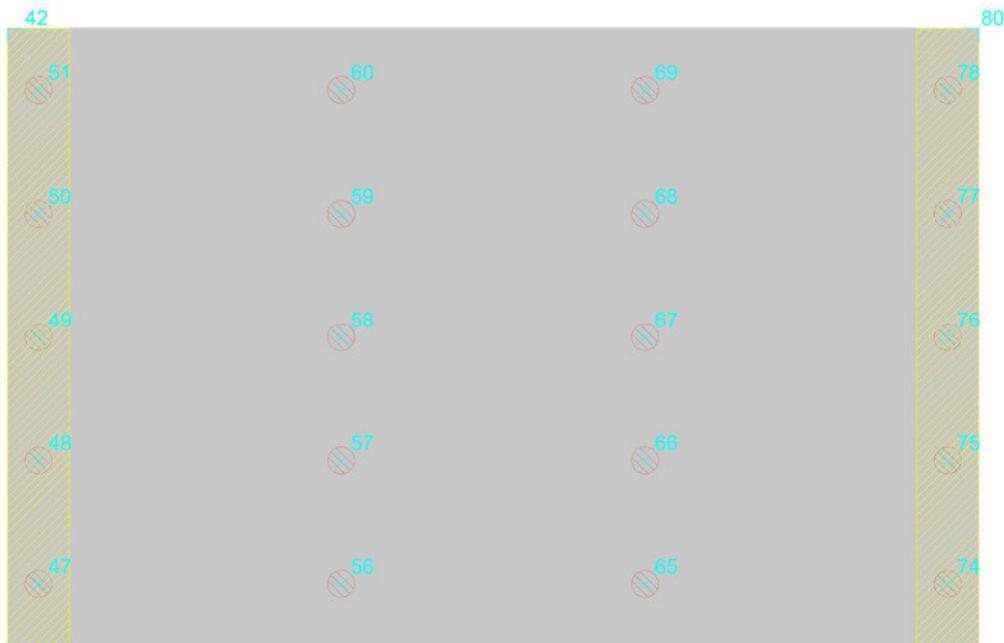
Verifiche SLE fessurazione nei nodi

Nodo	Dir.	B	H	A. sup.	C. sup.	A. inf.	C. inf.	Comb.	M	N	εsm	Δmax	Wd	Es/Ec	Verifica
1752	Y	300	60	47.12	6	94.25	6	SLE FR 2	-3012282	0	0.00038	49.5	0.0186	15	Si
1729	Y	300	60	47.12	6	94.25	6	SLE FR 2	-3008811	0	0.00038	49.5	0.0186	15	Si
1763	Y	300	60	47.12	6	94.25	6	SLE FR 2	-3008595	0	0.00038	49.5	0.0186	15	Si
1746	Y	300	60	47.12	6	94.25	6	SLE FR 2	-3008147	0	0.00038	49.5	0.0186	15	Si
1712	Y	300	60	47.12	6	94.25	6	SLE FR 2	-3007283	0	0.00038	49.5	0.0186	15	Si

Piastra a "Fondazione"

Verifiche condotte secondo D.M. 17-01-18 (N.T.C.)

Geometria



Caratteristiche dei materiali

Acciaio: B450C Fyk 4500

Calcestruzzo: C32/40 Rck 400

Sistema di riferimento e direzioni di armatura

Le coordinate citate nel seguito sono espresse in un sistema di riferimento cartesiano con origine in (110; 2300.1; 0), direzione dell'asse X = (1; 0; 0), direzione dell'asse Y = (0; 1; 0).

Le direzioni X/Y di armatura e le sezioni X/Y di verifica sono individuate dagli assi del sistema di riferimento.

Verifiche nei nodi

Verifiche SLU flessione nei nodi

Nodo	Dir.	B	H	A. sup.	C. sup.	A. inf.	C. inf.	Comb.	M	N	Mu	Nu	c.s.	Verifica
1772	Y	200	60	31.42	6	31.42	6	SLV 15	6005070	0	6406426	0	1.0668	Si
1698	Y	200	60	31.42	6	31.42	6	SLV 13	6005042	0	6406426	0	1.0668	Si
1732	Y	200	60	31.42	6	31.42	6	SLV 13	6000502	0	6406426	0	1.0676	Si
1664	Y	150	60	23.56	6	23.56	6	SLV 13	4419592	0	4791883	0	1.0842	Si
1806	Y	150	60	23.56	6	23.56	6	SLV 15	4419590	0	4791883	0	1.0842	Si

Verifiche SLD Resistenza flessione nei nodi

Nodo	Dir.	B	H	A. sup.	C. sup.	A. inf.	C. inf.	Comb.	M	N	Mu	Nu	c.s.	Verifica
1772	Y	200	60	31.42	6	31.42	6	SLD 15	3875751	0	6406426	0	1.653	Si
1698	Y	200	60	31.42	6	31.42	6	SLD 13	3875732	0	6406426	0	1.653	Si
1732	Y	200	60	31.42	6	31.42	6	SLD 13	3873736	0	6406426	0	1.6538	Si
1664	Y	150	60	23.56	6	23.56	6	SLD 13	2860978	0	4791883	0	1.6749	Si
1806	Y	150	60	23.56	6	23.56	6	SLD 15	2860974	0	4791883	0	1.6749	Si

Verifiche SLE tensione calcestruzzo nei nodi

Nodo	Dir.	B	H	A. sup.	C. sup.	A. inf.	C. inf.	Comb.	M	N	σc	σlim	Es/Ec	Verifica
1736	Y	200	60	47.91	6	31.42	6	SLE RA 2	-5011783	0	-56.6	199.2	15	Si
1774	Y	200	60	50.9	6	31.42	6	SLE RA 2	-5022867	0	-55.5	199.2	15	Si

Interventi di miglioramento della diga di Cepparello nel Comune di Poggibonsi (SI)

ET.09.4 – Tabulati di calcolo_Canali fuggatori con fondazioni su pali

Nodo	Dir.	B	H	A. sup.	C. sup.	A. inf.	C. inf.	Comb.	M	N	σ_c	σ_{lim}	Es/Ec	Verifica
1700	Y	200	60	51.29	6	31.42	6	SLE RA 2	-5022092	0	-55.3	199.2	15	Si
1827	Y	100	60	25.13	6	15.71	6	SLE RA 2	-2485200	0	-55.1	199.2	15	Si
1645	Y	100	60	25.13	6	15.71	6	SLE RA 2	-2484358	0	-55.1	199.2	15	Si

Verifiche SLE tensione acciaio nei nodi

Nodo	Dir.	B	H	A. sup.	C. sup.	A. inf.	C. inf.	Comb.	M	N	σ_f	σ_{lim}	Es/Ec	Verifica
1736	Y	200	60	47.91	6	31.42	6	SLE RA 2	-5011783	0	2145.7	3600	15	Si
1827	Y	100	60	25.13	6	15.71	6	SLE RA 2	-2485200	0	2031.7	3600	15	Si
1645	Y	100	60	25.13	6	15.71	6	SLE RA 2	-2484358	0	2031	3600	15	Si
1774	Y	200	60	50.9	6	31.42	6	SLE RA 2	-5022867	0	2028.6	3600	15	Si
1700	Y	200	60	51.29	6	31.42	6	SLE RA 2	-5022092	0	2013.3	3600	15	Si

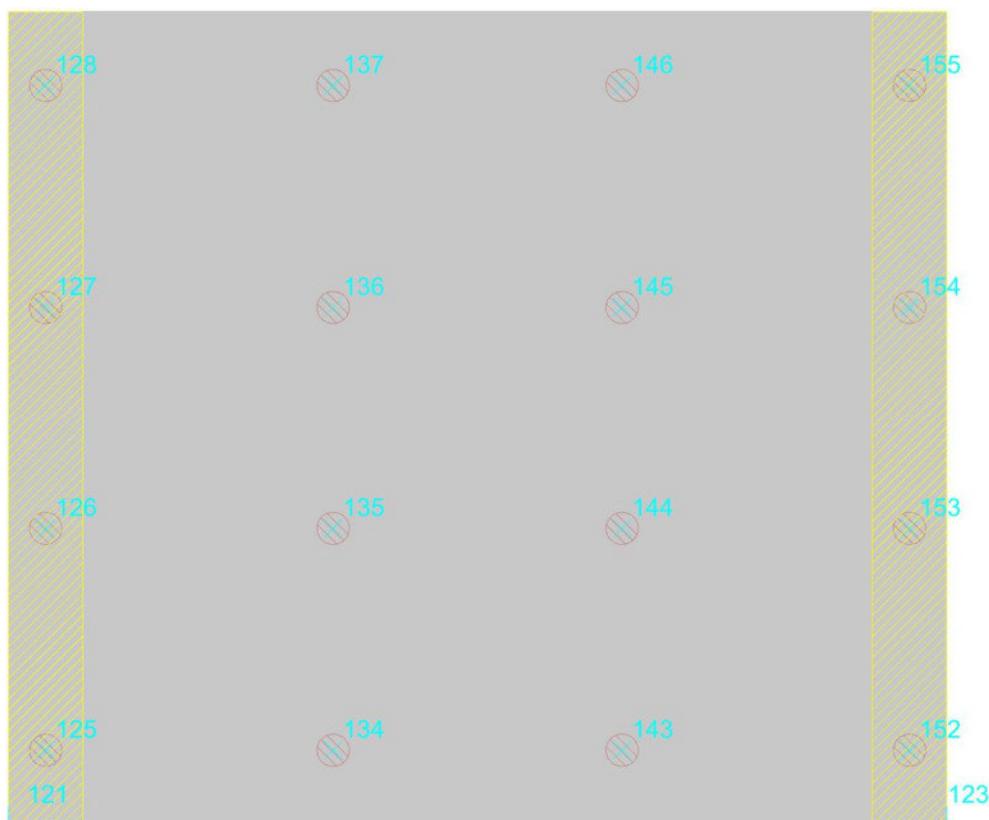
Verifiche SLE fessurazione nei nodi

Nodo	Dir.	B	H	A. sup.	C. sup.	A. inf.	C. inf.	Comb.	M	N	ϵ_{sm}	Δ_{max}	Wd	Es/Ec	Verifica
1736	Y	200	60	47.91	6	31.42	6	SLE FR 2	-5011783	0	0.00062	37.8	0.0236	15	Si
1827	Y	100	60	25.13	6	15.71	6	SLE FR 2	-2485200	0	0.00059	37	0.0219	15	Si
1645	Y	100	60	25.13	6	15.71	6	SLE FR 2	-2484358	0	0.00059	37	0.0219	15	Si
1774	Y	200	60	50.9	6	31.42	6	SLE FR 2	-5022867	0	0.00059	36.3	0.0215	15	Si
1700	Y	200	60	51.29	6	31.42	6	SLE FR 2	-5022092	0	0.00059	36.3	0.0213	15	Si

Piastra a "Fondazione"

Verifiche condotte secondo D.M. 17-01-18 (N.T.C.)

Geometria



Caratteristiche dei materiali

Acciaio: B450C Fyk 4500

Calcestruzzo: C32/40 Rck 400

Sistema di riferimento e direzioni di armatura

Le coordinate citate nel seguito sono espresse in un sistema di riferimento cartesiano con origine in (3036.9; 1650.1; 0), direzione dell'asse X = (1; 0; 0), direzione dell'asse Y = (0; 1; 0).

Le direzioni X/Y di armatura e le sezioni X/Y di verifica sono individuate dagli assi del sistema di riferimento.

Verifiche nei nodi

Verifiche SLU flessione nei nodi

Nodo	Dir.	B	H	A. sup.	C. sup.	A. inf.	C. inf.	Comb.	M	N	Mu	Nu	c.s.	Verifica
1497	Y	200	60	31.42	6	31.42	6	SLU 18	4003593	0	6406426	0	1.6002	Si
1560	Y	200	60	31.42	6	31.42	6	SLU 18	4003255	0	6406426	0	1.6003	Si
1480	Y	200	60	31.42	6	31.42	6	SLU 18	3979541	0	6406426	0	1.6098	Si
1571	Y	200	60	31.42	6	31.42	6	SLU 18	3979430	0	6406426	0	1.6099	Si
1514	Y	200	60	31.42	6	31.42	6	SLU 18	3979227	0	6406426	0	1.61	Si

Verifiche SLD Resistenza flessione nei nodi

Nodo	Dir.	B	H	A. sup.	C. sup.	A. inf.	C. inf.	Comb.	M	N	Mu	Nu	c.s.	Verifica
1497	Y	200	60	31.42	6	31.42	6	SLD 1	2378290	0	6406426	0	2.6937	Si
1560	Y	200	60	31.42	6	31.42	6	SLD 3	2377906	0	6406426	0	2.6941	Si
1440	Y	150	60	23.56	6	23.56	6	SLD 1	1766830	0	4791883	0	2.7121	Si
1617	Y	150	60	23.56	6	23.56	6	SLD 3	1766704	0	4791883	0	2.7123	Si
1480	Y	200	60	31.42	6	31.42	6	SLD 1	2353907	0	6406426	0	2.7216	Si

Verifiche SLE tensione calcestruzzo nei nodi

Nodo	Dir.	B	H	A. sup.	C. sup.	A. inf.	C. inf.	Comb.	M	N	σ_c	σ_{lim}	Es/Ec	Verifica
1497	Y	200	60	31.42	6	31.42	6	SLE RA 6	2795860	0	-20.2	199.2	15	Si
1560	Y	200	60	31.42	6	31.42	6	SLE RA 6	2795598	0	-20.2	199.2	15	Si
1480	Y	200	60	31.42	6	31.42	6	SLE RA 6	2774662	0	-20.1	199.2	15	Si
1571	Y	200	60	31.42	6	31.42	6	SLE RA 6	2774558	0	-20.1	199.2	15	Si

ET.09.4 – Tabulati di calcolo_Canali fugadori con fondazioni su pali

Nodo	Dir.	B	H	A. sup.	C. sup.	A. inf.	C. inf.	Comb.	M	N	σc	σlim	Es/Ec	Verifica
1514	Y	200	60	31.42	6	31.42	6	SLE RA 6	2771724	0	-20.1	199.2	15	Si

Verifiche SLE tensione acciaio nei nodi

Nodo	Dir.	B	H	A. sup.	C. sup.	A. inf.	C. inf.	Comb.	M	N	σf	σlim	Es/Ec	Verifica
1497	Y	200	60	31.42	6	31.42	6	SLE RA 6	2795860	0	243	3600	15	Si
1560	Y	200	60	31.42	6	31.42	6	SLE RA 6	2795598	0	242.9	3600	15	Si
1480	Y	200	60	31.42	6	31.42	6	SLE RA 6	2774662	0	241.1	3600	15	Si
1571	Y	200	60	31.42	6	31.42	6	SLE RA 6	2774558	0	241.1	3600	15	Si
1514	Y	200	60	31.42	6	31.42	6	SLE RA 6	2771724	0	240.9	3600	15	Si

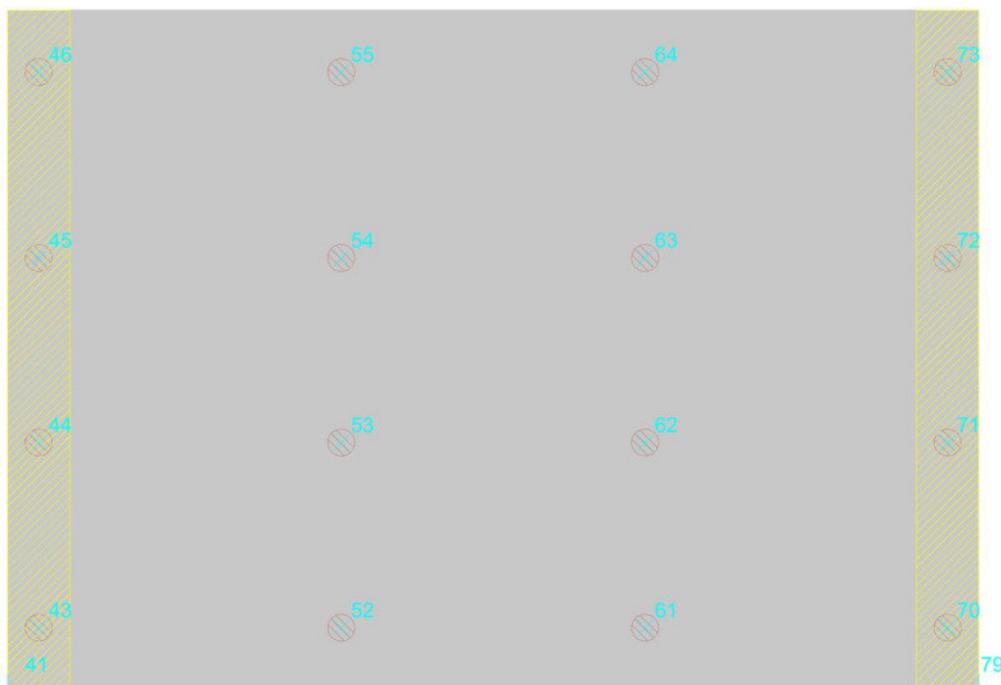
Verifiche SLE fessurazione nei nodi

La piastra non presenta nodi con apertura delle fessure.

Piastra a "Fondazione"

Verifiche condotte secondo D.M. 17-01-18 (N.T.C.)

Geometria



Caratteristiche dei materiali

Acciaio: B450C Fyk 4500

Calcestruzzo: C32/40 Rck 400

Sistema di riferimento e direzioni di armatura

Le coordinate citate nel seguito sono espresse in un sistema di riferimento cartesiano con origine in (110; 1650.1; 0), direzione dell'asse X = (1; 0; 0), direzione dell'asse Y = (0; 1; 0).

Le direzioni X/Y di armatura e le sezioni X/Y di verifica sono individuate dagli assi del sistema di riferimento.

Verifiche nei nodi

Verifiche SLU flessione nei nodi

Nodo	Dir.	B	H	A. sup.	C. sup.	A. inf.	C. inf.	Comb.	M	N	Mu	Nu	c.s.	Verifica
1405	Y	150	60	32.99	6	23.56	6	SLU 14	-4795885	0	-6562578	0	1.3684	Si
1622	Y	150	60	32.99	6	23.56	6	SLU 14	-4796406	0	-6589287	0	1.3738	Si
1603	Y	200	60	44.13	6	31.42	6	SLU 14	-6372875	0	-8810380	0	1.3825	Si
1426	Y	200	60	45.45	6	31.42	6	SLU 14	-6372703	0	-9075359	0	1.4241	Si
1462	Y	276.8	60	62.32	6	43.47	6	SLU 14	-8619116	0	-12431692	0	1.4423	Si

Verifiche SLD Resistenza flessione nei nodi

Nodo	Dir.	B	H	A. sup.	C. sup.	A. inf.	C. inf.	Comb.	M	N	Mu	Nu	c.s.	Verifica
1618	Y	150	60	23.56	6	23.56	6	SLD 15	1856714	0	4791883	0	2.5808	Si
1401	Y	150	60	23.56	6	23.56	6	SLD 13	1856712	0	4791883	0	2.5808	Si
1424	Y	200	60	31.42	6	31.42	6	SLD 13	2460931	0	6406426	0	2.6033	Si
1601	Y	200	60	31.42	6	31.42	6	SLD 15	2460928	0	6406426	0	2.6033	Si
1458	Y	275	60	43.2	6	43.2	6	SLD 13	3362798	0	8798160	0	2.6163	Si

Verifiche SLE tensione calcestruzzo nei nodi

Nodo	Dir.	B	H	A. sup.	C. sup.	A. inf.	C. inf.	Comb.	M	N	σc	σlim	Es/Ec	Verifica
1622	Y	150	60	32.99	6	23.56	6	SLE RA 2	-3386678	0	-52.6	199.2	15	Si
1405	Y	150	60	32.99	6	23.56	6	SLE RA 2	-3386331	0	-52.6	199.2	15	Si
1603	Y	200	60	44.13	6	31.42	6	SLE RA 2	-4499632	0	-52.4	199.2	15	Si
1426	Y	200	60	45.45	6	31.42	6	SLE RA 2	-4499516	0	-51.8	199.2	15	Si
1462	Y	276.8	60	62.32	6	43.47	6	SLE RA 2	-6083310	0	-31.4	199.2	15	Si

Verifiche SLE tensione acciaio nei nodi

Nodo	Dir.	B	H	A. sup.	C. sup.	A. inf.	C. inf.	Comb.	M	N	σf	σlim	Es/Ec	Verifica
1622	Y	150	60	32.99	6	23.56	6	SLE RA 2	-3386678	0	2099.1	3600	15	Si
1405	Y	150	60	32.99	6	23.56	6	SLE RA 2	-3386331	0	2098.8	3600	15	Si
1603	Y	200	60	44.13	6	31.42	6	SLE RA 2	-4499632	0	2084.9	3600	15	Si
1426	Y	200	60	45.45	6	31.42	6	SLE RA 2	-4499516	0	2026.4	3600	15	Si
1462	Y	276.8	60	62.32	6	43.47	6	SLE RA 2	-6083310	0	365.8	3600	15	Si

Verifiche SLE fessurazione nei nodi

Nodo	Dir.	B	H	A. sup.	C. sup.	A. inf.	C. inf.	Comb.	M	N	εsm	Δmax	Wd	Es/Ec	Verifica
1622	Y	150	60	32.99	6	23.56	6	SLE FR 2	-3386678	0	0.00061	39.7	0.0243	15	Si
1405	Y	150	60	32.99	6	23.56	6	SLE FR 2	-3386331	0	0.00061	39.7	0.0243	15	Si
1603	Y	200	60	44.13	6	31.42	6	SLE FR 2	-4499632	0	0.00061	39.8	0.0242	15	Si

Nodo	Dir.	B	H	A. sup.	C. sup.	A. inf.	C. inf.	Comb.	M	N	esm	Δmax	Wd	Es/Ec	Verifica
1426	Y	200	60	45.45	6	31.42	6	SLE FR 2	-4499516	0	0.00059	39.1	0.0231	15	Si
1405	Y	150	60	32.99	6	23.56	6	SLE QP 1	-1418055	0	0.00026	39.7	0.0102	15	Si

6.3 Verifiche pali

Verifica: stato di verifica

Posizione: posizione del palo

Quota: quota sezione [cm]

Filo: numero del filo (se assegnato)

Ind.: indice del palo

Xp: coordinata x del palo che ha prodotto la verifica peggiore [cm]

Yp: coordinata y del palo che ha prodotto la verifica peggiore [cm]

Taglio: verifica a taglio

Tx: taglio Tx [daN]

Ty: taglio Ty [daN]

Mt: momento torcente [daN*cm]

Comb.: combinazione peggiore a taglio torsione

Vrd: resistenza di progetto a taglio torsione [daN]

C.S.tt: coefficiente di sicurezza minimo a taglio/torsione

PressoFlessione: verifica a pressoflessione

Mx: momento Mx [daN*cm]

My: momento My [daN*cm]

N: sforzo normale [daN]

Comb.: combinazione peggiore a pressoflessione

Mrd: resistenza di progetto a pressoflessione [daN]

C.S.pf: coefficiente di sicurezza minimo a pressoflessione

yR laterale: coefficiente parziale di sicurezza sulla resistenza laterale

yR punta: coefficiente parziale di sicurezza sulla resistenza alla punta

Pl,d: portanza laterale di progetto [daN]

Pp,d: portanza di punta di progetto [daN]

Def.vol: deformazione volumetrica (usata per formula portanza punta secondo Vesic)

Comb.: combinazione peggiore

Cnd: condizione peggiore a breve termine (BT) o lungo termine (LT)

N: sforzo normale in testa [daN]

Ed: azione totale di progetto [daN]

Rd: resistenza totale di progetto [daN]

C.S.: coefficiente di sicurezza

yR trasversale: coeff. parziale di sicurezza sulla resistenza trasversale

LRF: fattore di riduzione per liquefazione

Cnd: condizione di calcolo: D calcolo condotto per la condizione drenata e terreno incoerente, ND calcolo condotto per la condizione non drenata e terreno eminentemente coesivo

Rd: resistenza trasversale di progetto [daN]

Ed (T): azione trasversale di progetto [daN]

C.S.: coefficiente di sicurezza Rd/Ed

Tipo: tipologia del palo o micropalo : TL a testa libera, TI testa incastrata

L.frs.: larghezza del fronte di spinta [cm]

L.tr.lib.: lunghezza del tratto libero [cm]

L.tr.inf.: lunghezza del tratto infisso nel terreno [cm]

Coes.: coesione non drenata di progetto [daN/cm²]

Fi: angolo di attrito interno di progetto [deg]

P.spec: peso specifico del terreno di progetto [daN/cm³]

T max: sforzo trasversale massimo al collasso [daN]

Mecc.coll.: meccanismo di collasso: PC palo corto (nessuna cerniera), PI palo intermedio (una cerniera), PL_L palo lungo libero (cerniera lungo il fusto), PL_V palo lungo vincolato (doppia cerniera)

M.plast.sup.: momento di plasticizzazione della cerniera plastica superiore o momento massimo lungo il fusto in caso di palo corto [daN*cm]

Quota sup.: quota cerniera plastica superiore o quota del momento massimo lungo il fusto in caso di palo corto [cm]

N sup.: sforzo normale di calcolo alla quota superiore [daN]

M.plast.inf.: momento di plasticizzazione della cerniera plastica inferiore [daN*cm]

Quota inf.: quota cerniera plastica inferiore [cm]

N inf.: sforzo normale di calcolo alla quota inferiore [daN]

Le unità di misura delle verifiche elencate nel capitolo sono in [cm, daN, deg] ove non espressamente specificato.

9 pali "Micropalo D139.7x10 perf 220" gruppo 1 "PALI DI MONTE SFIORATORE SX"

Verifiche effettuate secondo D.M. 17-01-18 (N.T.C.)

Geometria

varia

-530

Pali coinvolti

Palo a coordinate x,y: (-30, 350.1)[filo 3];(-30, 500.1)[filo 4];(-30, 650.1)[filo 5];(-30, 800.1)[filo 6];(-30, 950.1)[filo 7];(-30, 1100.1)[filo 8];(-30, 1250.1)[filo 9];(-30, 1400.1)[filo 10];(-30, 1550.1)[filo 11];

Caratteristiche geometriche

Tubo in acciaio EN10219 139.7x10

Diametro tubo 140 mm

Spessore tubo 10 mm

Lunghezza 500 cm

Caratteristiche dei materiali

Calcestruzzo C25/30

Acciaio S355

Verifiche secondo DM18

Posizione					Taglio							PressoFlessione					Verifica
Quota	Filo	Ind.	Xp	Yp	Tx	Ty	Mt	Comb.	Vrd	C.S.tt	Mx	My	N	Comb.	Mrd	C.S.pf	
0	10	-	-30	1400	554	0	0	SLU 18	48333	87.23	0	0	-14247	SLU 1	543970	10000	Si
0	11	-	-30	1550	554	0	0	SLU 18	48333	87.2	0	0	-14221	SLU 1	543970	10000	Si
0	3	-	-30	350	555	-1	0	SLU 18	48333	87.09	0	0	-14224	SLU 1	543970	10000	Si
0	4	-	-30	500	555	-1	0	SLU 18	48333	87.15	0	0	-14250	SLU 1	543970	10000	Si
0	5	-	-30	650	554	-1	0	SLU 18	48333	87.17	0	0	-14264	SLU 1	543970	10000	Si
0	6	-	-30	800	554	-1	0	SLU 18	48333	87.19	0	0	-14273	SLU 1	543970	10000	Si
0	7	-	-30	950	554	0	0	SLU 18	48333	87.21	0	0	-14275	SLU 1	543970	10000	Si
0	8	-	-30	1100	554	0	0	SLU 18	48333	87.22	0	0	-14272	SLU 1	543970	10000	Si
0	9	-	-30	1250	554	0	0	SLU 18	48333	87.23	0	0	-14262	SLU 1	543970	10000	Si
0	10	-	-30	1400	371	667	-7	SLD 11	48334	63.32	0	0	-12539	SLD 1	543970	10000	Si
0	11	-	-30	1550	381	667	-7	SLD 11	48334	62.94	0	0	-12442	SLD 1	543970	10000	Si
0	3	-	-30	350	381	-667	7	SLD 9	48332	62.9	0	0	-13057	SLD 1	543970	10000	Si
0	4	-	-30	500	372	-667	7	SLD 9	48332	63.29	0	0	-12999	SLD 1	543970	10000	Si
0	5	-	-30	650	362	-667	7	SLD 9	48332	63.67	0	0	-12935	SLD 1	543970	10000	Si
0	6	-	-30	800	353	-667	7	SLD 9	48332	64.05	0	0	-12867	SLD 1	543970	10000	Si
0	7	-	-30	950	344	-667	7	SLD 9	48332	64.43	0	0	-12793	SLD 1	543970	10000	Si
0	8	-	-30	1100	353	666	-6	SLD 11	48334	64.09	0	0	-12714	SLD 1	543970	10000	Si
0	9	-	-30	1250	362	667	-7	SLD 11	48334	63.7	0	0	-12630	SLD 1	543970	10000	Si
0	10	-	-30	1400	454	1076	-11	SLV FO 11	48334	41.38	0	0	-10870	SLV FO 1	543970	10000	Si
0	11	-	-30	1550	469	1076	-11	SLV FO 11	48334	41.17	0	0	-10731	SLV FO 1	543970	10000	Si
0	3	-	-30	350	469	-1076	11	SLV FO 9	48332	41.16	0	0	-11720	SLV FO 1	543970	10000	Si
0	4	-	-30	500	455	-1076	11	SLV FO 9	48332	41.37	0	0	-11610	SLV FO 1	543970	10000	Si
0	5	-	-30	650	440	-1076	11	SLV FO 9	48332	41.57	0	0	-11497	SLV FO 1	543970	10000	Si
0	6	-	-30	800	425	-1076	11	SLV FO 9	48332	41.78	0	0	-11380	SLV FO 1	543970	10000	Si
0	7	-	-30	950	410	-1076	11	SLV FO 9	48332	41.98	0	0	-11260	SLV FO 1	543970	10000	Si
0	8	-	-30	1100	425	1075	-10	SLV FO 11	48334	41.8	0	0	-11135	SLV FO 1	543970	10000	Si
0	9	-	-30	1250	439	1076	-11	SLV FO 11	48334	41.59	0	0	-11005	SLV FO 1	543970	10000	Si
-52	10	-	-30	1400	554	0	0	SLU 18	48333	87.23	17	-14399	-14278	SLU 1	543970	10000	Si
-52	11	-	-30	1550	554	0	0	SLU 18	48333	87.2	23	-14407	-14252	SLU 1	543970	10000	Si

Interventi di miglioramento della diga di Cepparello nel Comune di Poggibonsi (SI)

ET.09.4 – Tabulati di calcolo_Canali fugadori con fondazioni su pali

Posizione					Taglio					PressoFlessione					Verifica		
Quota	Filo	Ind.	Xp	Yp	Tx	Ty	Mt	Comb.	Vrd	C.S.tt	Mx	My	N	Comb.		Mrd	C.S.pf
-52	3	-	-30	350	555	-1	0	SLU 18	48333	87.09	-37	-14422	-14255	SLU 1	543970	10000	Si
-52	4	-	-30	500	555	-1	0	SLU 18	48333	87.15	-31	-14410	-14281	SLU 1	543970	10000	Si
-52	5	-	-30	650	554	-1	0	SLU 18	48333	87.17	-23	-14404	-14295	SLU 1	543970	10000	Si
-52	6	-	-30	800	554	-1	0	SLU 18	48333	87.19	-15	-14400	-14304	SLU 1	543970	10000	Si
-52	7	-	-30	950	554	0	0	SLU 18	48333	87.21	-7	-14398	-14306	SLU 1	543970	10000	Si
-52	8	-	-30	1100	554	0	0	SLU 18	48333	87.22	2	-14396	-14303	SLU 1	543970	10000	Si
-52	9	-	-30	1250	554	0	0	SLU 18	48333	87.23	10	-14397	-14293	SLU 1	543970	10000	Si
-52	10	-	-30	1400	371	667	-7	SLD 11	48334	63.32	-10312	-2856	-12570	SLD 1	543970	10000	Si
-52	11	-	-30	1550	381	667	-7	SLD 11	48334	62.94	-10307	-2722	-12473	SLD 1	543970	10000	Si
-52	3	-	-30	350	381	-667	7	SLD 9	48332	62.9	-10327	-3848	-13088	SLD 1	543970	10000	Si
-52	4	-	-30	500	372	-667	7	SLD 9	48332	63.29	-10322	-3703	-13030	SLD 1	543970	10000	Si
-52	5	-	-30	650	362	-667	7	SLD 9	48332	63.67	-10317	-3558	-12966	SLD 1	543970	10000	Si
-52	6	-	-30	800	353	-667	7	SLD 9	48332	64.05	-10310	-3415	-12898	SLD 1	543970	10000	Si
-52	7	-	-30	950	344	-667	7	SLD 9	48332	64.43	-10302	-3272	-12824	SLD 1	543970	10000	Si
-52	8	-	-30	1100	353	666	-6	SLD 11	48334	64.09	-10294	-3132	-12745	SLD 1	543970	10000	Si
-52	9	-	-30	1250	362	667	-7	SLD 11	48334	63.7	-10319	-2993	-12661	SLD 1	543970	10000	Si
-52	10	-	-30	1400	454	1076	-11	SLV FO 11	48334	41.38	-16652	8774	-10901	SLV FO 1	543970	10000	Si
-52	11	-	-30	1550	469	1076	-11	SLV FO 11	48334	41.17	-16648	8996	-10762	SLV FO 1	543970	10000	Si
-52	3	-	-30	350	469	-1076	11	SLV FO 9	48332	41.16	-16636	7192	-11751	SLV FO 1	543970	10000	Si
-52	4	-	-30	500	455	-1076	11	SLV FO 9	48332	41.37	-16634	7416	-11641	SLV FO 1	543970	10000	Si
-52	5	-	-30	650	440	-1076	11	SLV FO 9	48332	41.57	-16630	7646	-11528	SLV FO 1	543970	10000	Si
-52	6	-	-30	800	425	-1076	11	SLV FO 9	48332	41.78	-16625	7874	-11411	SLV FO 1	543970	10000	Si
-52	7	-	-30	950	410	-1076	11	SLV FO 9	48332	41.98	-16618	8102	-11291	SLV FO 1	543970	10000	Si
-52	8	-	-30	1100	425	1075	-10	SLV FO 11	48334	41.8	-16611	8327	-11166	SLV FO 1	543970	10000	Si
-52	9	-	-30	1250	439	1076	-11	SLV FO 11	48334	41.59	-16658	8551	-11036	SLV FO 1	543970	10000	Si
-103	10	-	-30	1400	-192	0	0	SLU 18	48333	252.28	19	-42378	-8504	SLU 18	543970	11.78	Si
-103	11	-	-30	1550	-192	0	0	SLU 18	48333	252.2	33	-42391	-8484	SLU 18	543970	11.78	Si
-103	3	-	-30	350	-192	0	0	SLU 18	48333	251.9	-80	-42442	-8487	SLU 18	543970	11.76	Si
-103	4	-	-30	500	-192	0	0	SLU 18	48333	252.05	-67	-42417	-8507	SLU 18	543970	11.77	Si
-103	5	-	-30	650	-192	0	0	SLU 18	48333	252.12	-53	-42404	-8517	SLU 18	543970	11.77	Si
-103	6	-	-30	800	-192	0	0	SLU 18	48333	252.18	-38	-42395	-8522	SLU 18	543970	11.78	Si
-103	7	-	-30	950	-192	0	0	SLU 18	48333	252.22	-24	-42388	-8524	SLU 18	543970	11.78	Si
-103	8	-	-30	1100	-192	0	0	SLU 18	48333	252.25	-9	-42382	-8521	SLU 18	543970	11.78	Si
-103	9	-	-30	1250	-192	0	0	SLU 18	48333	252.28	5	-42378	-8515	SLU 18	543970	11.78	Si
-103	10	-	-30	1400	-128	-231	-2	SLD 11	48333	183.14	51005	-28396	-10630	SLD 11	543970	8.55	Si
-103	11	-	-30	1550	-132	-231	-2	SLD 11	48333	182.04	51013	-29101	-10789	SLD 11	543970	8.5	Si
-103	3	-	-30	350	-132	231	2	SLD 9	48333	181.93	-51036	-29129	-10792	SLD 9	543970	8.5	Si
-103	4	-	-30	500	-128	231	2	SLD 9	48333	183.05	-51027	-28416	-10632	SLD 9	543970	8.55	Si
-103	5	-	-30	650	-125	231	2	SLD 9	48333	184.15	-51018	-27706	-10465	SLD 9	543970	8.6	Si
-103	6	-	-30	800	-122	231	2	SLD 9	48333	185.25	-51007	-27000	-10295	SLD 9	543970	8.65	Si
-103	7	-	-30	950	-119	231	2	SLD 9	48333	186.34	-50995	-26294	-10121	SLD 9	543970	8.7	Si
-103	8	-	-30	1100	-122	-230	-2	SLD 11	48333	185.36	50971	-26995	-10294	SLD 11	543970	8.66	Si
-103	9	-	-30	1250	-125	-231	-2	SLD 11	48333	184.23	50996	-27694	-10463	SLD 11	543970	8.6	Si
-103	10	-	-30	1400	-157	-372	-4	SLV FO 11	48334	119.69	82290	-34742	-11271	SLV FO 11	543970	5.59	Si
-103	11	-	-30	1550	-162	-372	-4	SLV FO 11	48334	119.09	82299	-35873	-11538	SLV FO 11	543970	5.56	Si
-103	3	-	-30	350	-162	372	4	SLV FO 9	48333	119.03	-82325	-35906	-11542	SLV FO 9	543970	5.56	Si
-103	4	-	-30	500	-157	372	4	SLV FO 9	48333	119.64	-82316	-34766	-11274	SLV FO 9	543970	5.59	Si
-103	5	-	-30	650	-152	372	4	SLV FO 9	48333	120.24	-82307	-33626	-10998	SLV FO 9	543970	5.61	Si
-103	6	-	-30	800	-147	372	4	SLV FO 9	48333	120.83	-82297	-32489	-10719	SLV FO 9	543970	5.64	Si
-103	7	-	-30	950	-142	372	4	SLV FO 9	48333	121.41	-82284	-31351	-10438	SLV FO 9	543970	5.67	Si
-103	8	-	-30	1100	-147	-372	-4	SLV FO 11	48334	120.9	82248	-32483	-10719	SLV FO 11	543970	5.65	Si
-103	9	-	-30	1250	-152	-372	-4	SLV FO 11	48334	120.28	82282	-33611	-10996	SLV FO 11	543970	5.62	Si
-155	10	-	-30	1400	-192	0	0	SLU 18	48333	252.28	15	-32496	-8544	SLU 18	543970	11.78	Si
-155	11	-	-30	1550	-192	0	0	SLU 18	48333	252.2	25	-32506	-8524	SLU 18	543970	11.78	Si
-155	3	-	-30	350	-192	0	0	SLU 18	48333	251.9	-62	-32546	-8528	SLU 18	543970	11.76	Si
-155	4	-	-30	500	-192	0	0	SLU 18	48333	252.05	-52	-32526	-8547	SLU 18	543970	11.77	Si
-155	5	-	-30	650	-192	0	0	SLU 18	48333	252.12	-40	-32516	-8557	SLU 18	543970	11.77	Si
-155	6	-	-30	800	-192	0	0	SLU 18	48333	252.18	-29	-32509	-8562	SLU 18	543970	11.78	Si
-155	7	-	-30	950	-192	0	0	SLU 18	48333	252.22	-18	-32504	-8564	SLU 18	543970	11.78	Si
-155	8	-	-30	1100	-192	0	0	SLU 18	48333	252.25	-7	-32499	-8562	SLU 18	543970	11.78	Si
-155	9	-	-30	1250	-192	0	0	SLU 18	48333	252.28	4	-32496	-8555	SLU 18	543970	11.78	Si
-155	10	-	-30	1400	-128	-231	-2	SLD 11	48333	183.14	39111	-21775	-10661	SLD 11	543970	8.55	Si
-155	11	-	-30	1550	-132	-231	-2	SLD 11	48333	182.04	39118	-22315	-10820	SLD 11	543970	8.5	Si
-155	3	-	-30	350	-132	231	2	SLD 9	48333	181.93	-39135	-22337	-10823	SLD 9	543970	8.5	Si
-155	4	-	-30	500	-128	231	2	SLD 9	48333	183.05	-39128	-21790	-10663	SLD 9	543970	8.55	Si
-155	5	-	-30	650	-125	231	2	SLD 9	48333	184.15	-39121	-21246	-10496	SLD 9	543970	8.6	Si
-155	6	-	-30	800	-122	231	2	SLD 9	48333	185.25	-39113	-20704	-10326	SLD 9	543970	8.65	Si
-155	7	-	-30	950	-119	231	2	SLD 9	48333	186.34	-39104	-20162	-10152	SLD 9	543970	8.7	Si
-155	8	-	-30	1100	-122	-230	-2	SLD 11	48333	185.36	39085	-20700	-10325	SLD 11	543970	8.66	Si
-155	9	-	-30	1250	-125	-231	-2	SLD 11	48333	184.23	39104	-21236	-10494	SLD 11	543970	8.6	Si
-155	10	-	-30	1400	-157	-372	-4	SLV FO 11	48334	119.69	63102	-26641	-11302	SLV FO 11	543970	5.59	Si
-155	11	-	-30	1550	-162	-372	-4	SLV FO 11	48334	119.09	63108	-27508	-11569	SLV FO 11	543970	5.56	Si
-155	3	-	-30	350	-162	372	4	SLV FO 9	48333	119.03	-63128	-27533	-11573	SLV FO 9	543970	5.56	Si
-155	4	-	-30	500	-157	372	4	SLV FO 9	48333	119.64	-63121	-26659	-11305	SLV FO 9	543970	5.59	Si
-155	5	-	-30	650	-152	372	4	SLV FO 9	48333	120.24	-63114	-25785	-11029	SLV FO 9	543970	5.61	Si
-155	6	-	-30	800	-147	372	4	SLV FO 9	48333	120.83	-63107	-24913	-10750	SLV FO 9	543970	5.64	Si
-155	7	-	-30	950	-142	372	4	SLV FO 9	48333	121.41	-63097	-24040	-10469	SLV FO 9	543970	5.67	Si
-155	8	-	-30	1100	-147	-372	-4	SLV FO 11	48334	120.9	63069	-24909	-10750	SLV FO 11	543970	5.65</	

Interventi di miglioramento della diga di Cepparello nel Comune di Poggibonsi (SI)

ET.09.4 – Tabulati di calcolo_Canali fuggatori con fondazioni su pali

Posizione						Taglio						PressoFlessione						Verifica
Quota	Filo	Ind.	Xp	Yp	Tx	Ty	Mt	Comb.	Vrd	C.S.tt	Mx	My	N	Comb.	Mrd	C.S.pf		
-206	11	-	-30	1550	-162	-372	-4	SLV FO 11	48334	119.09	43917	-19143	-11600	SLV FO 11	543970	5.56	Si	
-206	3	-	-30	350	-162	372	4	SLV FO 9	48333	119.03	-43931	-19161	-11604	SLV FO 9	543970	5.56	Si	
-206	4	-	-30	500	-157	372	4	SLV FO 9	48333	119.64	-43926	-18552	-11336	SLV FO 9	543970	5.59	Si	
-206	5	-	-30	650	-152	372	4	SLV FO 9	48333	120.24	-43922	-17944	-11060	SLV FO 9	543970	5.61	Si	
-206	6	-	-30	800	-147	372	4	SLV FO 9	48333	120.83	-43916	-17337	-10781	SLV FO 9	543970	5.64	Si	
-206	7	-	-30	950	-142	372	4	SLV FO 9	48333	121.41	-43910	-16730	-10500	SLV FO 9	543970	5.67	Si	
-206	8	-	-30	1100	-147	-372	-4	SLV FO 11	48334	120.9	43891	-17334	-10781	SLV FO 11	543970	5.65	Si	
-206	9	-	-30	1250	-152	-372	-4	SLV FO 11	48334	120.28	43909	-17936	-11058	SLV FO 11	543970	5.62	Si	
-284	10	-	-30	1400	-85	0	0	SLU 18	48333	565.5	5	-11366	-4817	SLU 18	543970	38.19	Si	
-284	11	-	-30	1550	-85	0	0	SLU 18	48333	565.33	9	-11369	-4805	SLU 18	543970	38.18	Si	
-284	3	-	-30	350	-86	0	0	SLU 18	48333	564.64	-22	-11383	-4808	SLU 18	543970	38.13	Si	
-284	4	-	-30	500	-86	0	0	SLU 18	48333	564.98	-18	-11376	-4818	SLU 18	543970	38.15	Si	
-284	5	-	-30	650	-86	0	0	SLU 18	48333	565.15	-14	-11373	-4824	SLU 18	543970	38.16	Si	
-284	6	-	-30	800	-86	0	0	SLU 18	48333	565.27	-10	-11371	-4827	SLU 18	543970	38.17	Si	
-284	7	-	-30	950	-85	0	0	SLU 18	48333	565.37	-6	-11369	-4828	SLU 18	543970	38.18	Si	
-284	8	-	-30	1100	-85	0	0	SLU 18	48333	565.44	-3	-11367	-4827	SLU 18	543970	38.18	Si	
-284	9	-	-30	1250	-85	0	0	SLU 18	48333	565.49	1	-11366	-4823	SLU 18	543970	38.19	Si	
-284	10	-	-30	1400	-57	-103	-1	SLD 11	48333	410.52	13680	-7616	-6017	SLD 11	543970	27.72	Si	
-284	11	-	-30	1550	-59	-103	-1	SLD 11	48333	408.05	13682	-7805	-6107	SLD 11	543970	27.55	Si	
-284	3	-	-30	350	-59	103	1	SLD 9	48333	407.81	-13688	-7813	-6109	SLD 9	543970	27.54	Si	
-284	4	-	-30	500	-57	103	1	SLD 9	48333	410.31	-13686	-7621	-6019	SLD 9	543970	27.71	Si	
-284	5	-	-30	650	-56	103	1	SLD 9	48333	412.79	-13683	-7431	-5924	SLD 9	543970	27.87	Si	
-284	6	-	-30	800	-54	103	1	SLD 9	48333	415.24	-13680	-7242	-5828	SLD 9	543970	28.04	Si	
-284	7	-	-30	950	-53	103	1	SLD 9	48333	417.69	-13677	-7052	-5730	SLD 9	543970	28.21	Si	
-284	8	-	-30	1100	-54	-103	-1	SLD 11	48333	415.49	13671	-7240	-5827	SLD 11	543970	28.06	Si	
-284	9	-	-30	1250	-56	-103	-1	SLD 11	48333	412.97	13677	-7428	-5923	SLD 11	543970	27.89	Si	
-284	10	-	-30	1400	-70	-166	-1	SLV FO 11	48333	268.29	22071	-9318	-6380	SLV FO 11	543970	18.12	Si	
-284	11	-	-30	1550	-72	-166	-1	SLV FO 11	48333	266.93	22073	-9621	-6531	SLV FO 11	543970	18.03	Si	
-284	3	-	-30	350	-72	166	1	SLV FO 9	48333	266.82	-22080	-9630	-6533	SLV FO 9	543970	18.02	Si	
-284	4	-	-30	500	-70	166	1	SLV FO 9	48333	268.19	-22078	-9324	-6382	SLV FO 9	543970	18.11	Si	
-284	5	-	-30	650	-68	166	1	SLV FO 9	48333	269.54	-22075	-9019	-6225	SLV FO 9	543970	18.2	Si	
-284	6	-	-30	800	-66	166	1	SLV FO 9	48333	270.85	-22072	-8714	-6068	SLV FO 9	543970	18.29	Si	
-284	7	-	-30	950	-63	166	1	SLV FO 9	48333	272.16	-22069	-8409	-5909	SLV FO 9	543970	18.38	Si	
-284	8	-	-30	1100	-66	-166	-1	SLV FO 11	48333	271	22060	-8712	-6068	SLV FO 11	543970	18.3	Si	
-284	9	-	-30	1250	-68	-166	-1	SLV FO 11	48333	269.62	22069	-9015	-6224	SLV FO 11	543970	18.21	Si	
-335	10	-	-30	1400	-85	0	0	SLU 18	48333	565.5	3	-6958	-4857	SLU 18	543970	38.19	Si	
-335	11	-	-30	1550	-85	0	0	SLU 18	48333	565.33	5	-6960	-4846	SLU 18	543970	38.18	Si	
-335	3	-	-30	350	-86	0	0	SLU 18	48333	564.64	-13	-6968	-4848	SLU 18	543970	38.13	Si	
-335	4	-	-30	500	-86	0	0	SLU 18	48333	564.98	-11	-6964	-4859	SLU 18	543970	38.15	Si	
-335	5	-	-30	650	-86	0	0	SLU 18	48333	565.15	-9	-6962	-4864	SLU 18	543970	38.16	Si	
-335	6	-	-30	800	-86	0	0	SLU 18	48333	565.27	-6	-6960	-4867	SLU 18	543970	38.17	Si	
-335	7	-	-30	950	-85	0	0	SLU 18	48333	565.37	-4	-6959	-4868	SLU 18	543970	38.18	Si	
-335	8	-	-30	1100	-85	0	0	SLU 18	48333	565.44	-2	-6958	-4867	SLU 18	543970	38.18	Si	
-335	9	-	-30	1250	-85	0	0	SLU 18	48333	565.49	1	-6958	-4863	SLU 18	543970	38.19	Si	
-335	10	-	-30	1400	-57	-103	-1	SLD 11	48333	410.52	8374	-4662	-6048	SLD 11	543970	27.72	Si	
-335	11	-	-30	1550	-59	-103	-1	SLD 11	48333	408.05	8375	-4778	-6138	SLD 11	543970	27.55	Si	
-335	3	-	-30	350	-59	103	1	SLD 9	48333	407.81	-8379	-4782	-6140	SLD 9	543970	27.54	Si	
-335	4	-	-30	500	-57	103	1	SLD 9	48333	410.31	-8378	-4665	-6050	SLD 9	543970	27.71	Si	
-335	5	-	-30	650	-56	103	1	SLD 9	48333	412.79	-8376	-4549	-5955	SLD 9	543970	27.87	Si	
-335	6	-	-30	800	-54	103	1	SLD 9	48333	415.24	-8374	-4433	-5859	SLD 9	543970	28.04	Si	
-335	7	-	-30	950	-53	103	1	SLD 9	48333	417.69	-8372	-4317	-5761	SLD 9	543970	28.21	Si	
-335	8	-	-30	1100	-54	-103	-1	SLD 11	48333	415.49	8368	-4432	-5858	SLD 11	543970	28.06	Si	
-335	9	-	-30	1250	-56	-103	-1	SLD 11	48333	412.97	8372	-4547	-5954	SLD 11	543970	27.89	Si	
-335	10	-	-30	1400	-70	-166	-1	SLV FO 11	48333	268.29	13510	-5704	-6411	SLV FO 11	543970	18.12	Si	
-335	11	-	-30	1550	-72	-166	-1	SLV FO 11	48333	266.93	13512	-5890	-6562	SLV FO 11	543970	18.03	Si	
-335	3	-	-30	350	-72	166	1	SLV FO 9	48333	266.82	-13516	-5895	-6564	SLV FO 9	543970	18.02	Si	
-335	4	-	-30	500	-70	166	1	SLV FO 9	48333	268.19	-13514	-5708	-6413	SLV FO 9	543970	18.11	Si	
-335	5	-	-30	650	-68	166	1	SLV FO 9	48333	269.54	-13513	-5521	-6256	SLV FO 9	543970	18.2	Si	
-335	6	-	-30	800	-66	166	1	SLV FO 9	48333	270.85	-13511	-5334	-6099	SLV FO 9	543970	18.29	Si	
-335	7	-	-30	950	-63	166	1	SLV FO 9	48333	272.16	-13509	-5147	-5940	SLV FO 9	543970	18.38	Si	
-335	8	-	-30	1100	-66	-166	-1	SLV FO 11	48333	271	13503	-5333	-6099	SLV FO 11	543970	18.3	Si	
-335	9	-	-30	1250	-68	-166	-1	SLV FO 11	48333	269.62	13509	-5518	-6255	SLV FO 11	543970	18.21	Si	
-387	10	-	-30	1400	-85	0	0	SLU 18	48333	565.5	1	-2549	-4897	SLU 18	543970	38.19	Si	
-387	11	-	-30	1550	-85	0	0	SLU 18	48333	565.33	2	-2550	-4886	SLU 18	543970	38.18	Si	
-387	3	-	-30	350	-86	0	0	SLU 18	48333	564.64	-5	-2553	-4888	SLU 18	543970	38.13	Si	
-387	4	-	-30	500	-86	0	0	SLU 18	48333	564.98	-4	-2551	-4899	SLU 18	543970	38.15	Si	
-387	5	-	-30	650	-86	0	0	SLU 18	48333	565.15	-3	-2551	-4905	SLU 18	543970	38.16	Si	
-387	6	-	-30	800	-86	0	0	SLU 18	48333	565.27	-2	-2550	-4908	SLU 18	543970	38.17	Si	
-387	7	-	-30	950	-85	0	0	SLU 18	48333	565.37	-1	-2550	-4909	SLU 18	543970	38.18	Si	
-387	8	-	-30	1100	-85	0	0	SLU 18	48333	565.44	-1	-2549	-4907	SLU 18	543970	38.18	Si	
-387	9	-	-30	1250	-85	0	0	SLU 18	48333	565.49	0	-2549	-4904	SLU 18	543970	38.19	Si	
-387	10	-	-30	1400	-57	-103	-1	SLD 11	48333	410.52	3068	-1708	-6079	SLD 11	543970	27.72	Si	
-387	11	-	-30	1550	-59	-103	-1	SLD 11	48333	408.05	3069	-1751	-6169	SLD 11	543970	27.55	Si	
-387	3	-	-30	350	-59	103	1	SLD 9	48333	407.81	-3070	-1752	-6171	SLD 9	543970	27.54	Si	
-387	4	-	-30	500	-57	103	1	SLD 9	48333	410.31	-3069	-1709	-6081	SLD 9	543970	27.71	Si	
-387	5	-	-30	650	-56	103	1	SLD 9	48333	412.79	-3069	-1667	-5986	SLD 9	543970	27.87	Si	
-387	6	-	-30	800	-54	103	1	SLD 9	48333	415.24	-3068	-1624	-5890	SLD 9	543970	28.04	Si	
-387	7	-	-30	950	-53	103	1	SLD 9	48333	417.69	-3067	-1582	-5792	SLD 9	543970	28.21	Si	

Interventi di miglioramento della diga di Cepparello nel Comune di Poggibonsi (SI)

ET.09.4 – Tabulati di calcolo_Canali fagatori con fondazioni su pali

Posizione					Taglio							PressoFlessione					Verifica
Quota	Filo	Ind.	Xp	Yp	Tx	Ty	Mt	Comb.	Vrd	C.S.tt	Mx	My	N	Comb.	Mrd	C.S.pf	Verifica
-438	10	-	-30	1400	0	0	0	SLD 1	48333	10000	0	0	-1203	SLD 1	543970	10000	Si
-438	11	-	-30	1550	0	0	0	SLD 1	48333	10000	0	0	-1194	SLD 1	543970	10000	Si
-438	3	-	-30	350	0	0	0	SLD 1	48333	10000	0	0	-1253	SLD 1	543970	10000	Si
-438	4	-	-30	500	0	0	0	SLD 1	48333	10000	0	0	-1248	SLD 1	543970	10000	Si
-438	5	-	-30	650	0	0	0	SLD 1	48333	10000	0	0	-1242	SLD 1	543970	10000	Si
-438	6	-	-30	800	0	0	0	SLD 1	48333	10000	0	0	-1235	SLD 1	543970	10000	Si
-438	7	-	-30	950	0	0	0	SLD 1	48333	10000	0	0	-1228	SLD 1	543970	10000	Si
-438	8	-	-30	1100	0	0	0	SLD 1	48333	10000	0	0	-1220	SLD 1	543970	10000	Si
-438	9	-	-30	1250	0	0	0	SLD 1	48333	10000	0	0	-1212	SLD 1	543970	10000	Si
-438	10	-	-30	1400	0	0	0	SLV FO 1	48333	10000	0	0	-1042	SLV FO 1	543970	10000	Si
-438	11	-	-30	1550	0	0	0	SLV FO 1	48333	10000	0	0	-1029	SLV FO 1	543970	10000	Si
-438	3	-	-30	350	0	0	0	SLV FO 1	48333	10000	0	0	-1124	SLV FO 1	543970	10000	Si
-438	4	-	-30	500	0	0	0	SLV FO 1	48333	10000	0	0	-1114	SLV FO 1	543970	10000	Si
-438	5	-	-30	650	0	0	0	SLV FO 1	48333	10000	0	0	-1103	SLV FO 1	543970	10000	Si
-438	6	-	-30	800	0	0	0	SLV FO 1	48333	10000	0	0	-1092	SLV FO 1	543970	10000	Si
-438	7	-	-30	950	0	0	0	SLV FO 1	48333	10000	0	0	-1080	SLV FO 1	543970	10000	Si
-438	8	-	-30	1100	0	0	0	SLV FO 1	48333	10000	0	0	-1068	SLV FO 1	543970	10000	Si
-438	9	-	-30	1250	0	0	0	SLV FO 1	48333	10000	0	0	-1055	SLV FO 1	543970	10000	Si
-490	10	-	-30	1400	0	0	0	SLU 1	48333	10000	0	0	-1399	SLU 1	543970	10000	Si
-490	11	-	-30	1550	0	0	0	SLU 1	48333	10000	0	0	-1397	SLU 1	543970	10000	Si
-490	3	-	-30	350	0	0	0	SLU 1	48333	10000	0	0	-1397	SLU 1	543970	10000	Si
-490	4	-	-30	500	0	0	0	SLU 1	48333	10000	0	0	-1400	SLU 1	543970	10000	Si
-490	5	-	-30	650	0	0	0	SLU 1	48333	10000	0	0	-1401	SLU 1	543970	10000	Si
-490	6	-	-30	800	0	0	0	SLU 1	48333	10000	0	0	-1402	SLU 1	543970	10000	Si
-490	7	-	-30	950	0	0	0	SLU 1	48333	10000	0	0	-1402	SLU 1	543970	10000	Si
-490	8	-	-30	1100	0	0	0	SLU 1	48333	10000	0	0	-1402	SLU 1	543970	10000	Si
-490	9	-	-30	1250	0	0	0	SLU 1	48333	10000	0	0	-1401	SLU 1	543970	10000	Si
-490	10	-	-30	1400	0	0	0	SLD 1	48333	10000	0	0	-1234	SLD 1	543970	10000	Si
-490	11	-	-30	1550	0	0	0	SLD 1	48333	10000	0	0	-1225	SLD 1	543970	10000	Si
-490	3	-	-30	350	0	0	0	SLD 1	48333	10000	0	0	-1284	SLD 1	543970	10000	Si
-490	4	-	-30	500	0	0	0	SLD 1	48333	10000	0	0	-1279	SLD 1	543970	10000	Si
-490	5	-	-30	650	0	0	0	SLD 1	48333	10000	0	0	-1273	SLD 1	543970	10000	Si
-490	6	-	-30	800	0	0	0	SLD 1	48333	10000	0	0	-1266	SLD 1	543970	10000	Si
-490	7	-	-30	950	0	0	0	SLD 1	48333	10000	0	0	-1259	SLD 1	543970	10000	Si
-490	8	-	-30	1100	0	0	0	SLD 1	48333	10000	0	0	-1251	SLD 1	543970	10000	Si
-490	9	-	-30	1250	0	0	0	SLD 1	48333	10000	0	0	-1243	SLD 1	543970	10000	Si
-490	10	-	-30	1400	0	0	0	SLV FO 1	48333	10000	0	0	-1073	SLV FO 1	543970	10000	Si
-490	11	-	-30	1550	0	0	0	SLV FO 1	48333	10000	0	0	-1060	SLV FO 1	543970	10000	Si
-490	3	-	-30	350	0	0	0	SLV FO 1	48333	10000	0	0	-1155	SLV FO 1	543970	10000	Si
-490	4	-	-30	500	0	0	0	SLV FO 1	48333	10000	0	0	-1145	SLV FO 1	543970	10000	Si
-490	5	-	-30	650	0	0	0	SLV FO 1	48333	10000	0	0	-1134	SLV FO 1	543970	10000	Si
-490	6	-	-30	800	0	0	0	SLV FO 1	48333	10000	0	0	-1123	SLV FO 1	543970	10000	Si
-490	7	-	-30	950	0	0	0	SLV FO 1	48333	10000	0	0	-1111	SLV FO 1	543970	10000	Si
-490	8	-	-30	1100	0	0	0	SLV FO 1	48333	10000	0	0	-1099	SLV FO 1	543970	10000	Si
-490	9	-	-30	1250	0	0	0	SLV FO 1	48333	10000	0	0	-1086	SLV FO 1	543970	10000	Si

Verifica di capacità portante per la famiglia SLU

Verifica di capacità portante verticale riferita al palo singolo

Fattore di correlazione ψ scelto in base alla conoscenza del sito = 1.7

Peso del palo = 584.2 * 1.3

Filo	Ind.	Xp	Yp	yR laterale	yR punta	Pl,d	Pp,d	Def.vol	Comb.	Cnd	N	Ed	Rd	C.S.	Verifica
3	-	-30	350.11	1.15	1.35	29147	24845		SLU 14	lungo	-37986	-38745	53993	1.39	Si
4	-	-30	500.11	1.15	1.35	29147	24845		SLU 14	lungo	-38045	-38804	53993	1.39	Si
5	-	-30	650.11	1.15	1.35	29147	24845		SLU 14	lungo	-38080	-38839	53993	1.39	Si
6	-	-30	800.11	1.15	1.35	29147	24845		SLU 14	lungo	-38101	-38860	53993	1.39	Si
7	-	-30	950.11	1.15	1.35	29147	24845		SLU 14	lungo	-38108	-38868	53993	1.39	Si
8	-	-30	1100.11	1.15	1.35	29147	24845		SLU 14	lungo	-38101	-38860	53993	1.39	Si
9	-	-30	1250.11	1.15	1.35	29147	24845		SLU 14	lungo	-38079	-38839	53993	1.39	Si
10	-	-30	1400.11	1.15	1.35	29147	24845		SLU 14	lungo	-38044	-38804	53993	1.39	Si
11	-	-30	1550.11	1.15	1.35	29147	24845		SLU 14	lungo	-37985	-38744	53993	1.39	Si

Verifica di capacità portante trasversale riferita al palo singolo

Fattore di correlazione ψ scelto in base alla conoscenza del sito = 1.7

Filo	Ind.	Xp	Yp	yR trasversale	LRF	Comb.	Cnd	Rd	Ed (T)	C.S.	Verifica
3	-	-30	350.11	1.3	1	SLU 18	D	6710.2	555	12.09	Si
4	-	-30	500.11	1.3	1	SLU 18	D	6710.2	554.6	12.1	Si
5	-	-30	650.11	1.3	1	SLU 18	D	6710.2	554.5	12.1	Si
6	-	-30	800.11	1.3	1	SLU 18	D	6710.2	554.3	12.1	Si
7	-	-30	950.11	1.3	1	SLU 18	D	6710.2	554.2	12.11	Si
8	-	-30	1100.11	1.3	1	SLU 18	D	6710.2	554.2	12.11	Si
9	-	-30	1250.11	1.3	1	SLU 18	D	6710.2	554.1	12.11	Si
10	-	-30	1400.11	1.3	1	SLU 18	D	6710.2	554.1	12.11	Si
11	-	-30	1550.11	1.3	1	SLU 18	D	6710.2	554.3	12.11	Si

Parametri utilizzati nel calcolo

Filo	Ind.	Xp	Yp	Tipo	L.fr.	L.tr.lib.	L.tr.inf.	Coes.	Fi	P.spec	T max	Mecc.coll.	M.plast.sup.	Quota sup.	N sup.	M.plast.inf.	Quota inf.	N inf.
3	-	-30	350.11	TL	22	0	500		36	0.0014	14830	PC	2852219	-318.5				
4	-	-30	500.11	TL	22	0	500		36	0.0014	14830	PC	2852219	-318.5				
5	-	-30	650.11	TL	22	0	500		36	0.0014	14830	PC	2852219	-318.5				
6	-	-30	800.11	TL	22	0	500		36	0.0014	14830	PC	2852219	-318.5				
7	-	-30	950.11	TL	22	0	500		36	0.0014	14830	PC	2852219	-318.5				
8	-	-30	1100.11	TL	22	0	500		36	0.0014	14830	PC	2852219	-318.5				
9	-	-30	1250.11	TL	22	0	500		36	0.0014	14830	PC	2852219	-318.5				
10	-	-30	1400.11	TL	22	0	500		36	0.0014	14830	PC	2852219	-318.5				
11	-	-30	1550.11	TL	22	0	500		36	0.0014	14830	PC	2852219	-318.5				

Verifica di capacità portante per la famiglia SLD

Verifica di capacità portante verticale riferita al palo singolo

Fattore di correlazione ψ scelto in base alla conoscenza del sito = 1.7

Peso del palo = 584.2 * 1

Filo	Ind.	Xp	Yp	yR laterale	yR punta	Pl,d	Pp,d	Def.vol	Comb.	Cnd	N	Ed	Rd	C.S.	Verifica
3	-	-30	350.11	1.15	1.35	29147	24845		SLD 13	lungo	-16008	-16592	53993	3.25	Si
4	-	-30	500.11	1.15	1.35	29147	24845		SLD 13	lungo	-15960	-16545	53993	3.26	Si
5	-	-30	650.11	1.15	1.35	29147	24845		SLD 13	lungo	-15899	-16483	53993	3.28	Si
6	-	-30	800.11	1.15	1.35	29147	24845		SLD 13	lungo	-15831	-16415	53993	3.29	Si
7	-	-30	950.11	1.15	1.35	29147	24845		SLD 13	lungo	-15757	-16342	53993	3.3	Si
8	-	-30	1100.11	1.15	1.35	29147	24845		SLD 15	lungo	-15829	-16413	53993	3.29	Si

Interventi di miglioramento della diga di Cepparello nel Comune di Poggibonsi (SI)

ET.09.4 – Tabulati di calcolo_Canali fagatori con fondazioni su pali

Filo	Ind.	Xp	Yp	yR laterale	yR punta	Pl,d	Pp,d	Def.vol	Comb.	Cnd	N	Ed	Rd	C.S.	Verifica
10	-	-30	1400.11	1.15	1.35	29147	24845		SLD 15	lungo	-15955	-16539	53993	3.26	Si
11	-	-30	1550.11	1.15	1.35	29147	24845		SLD 15	lungo	-16000	-16584	53993	3.26	Si

Verifica di capacità portante per la famiglia SLV FO

Verifica di capacità portante verticale riferita al palo singolo

Fattore di correlazione ψ scelto in base alla conoscenza del sito = 1.7

Peso del palo = 584.2 * 1

Filo	Ind.	Xp	Yp	yR laterale	yR punta	Pl,d	Pp,d	Def.vol	Comb.	Cnd	N	Ed	Rd	C.S.	Verifica
3	-	-30	350.11	1.15	1.35	29147	24845		SLV FO 13	lungo	-17722	-18306	53993	2.95	Si
4	-	-30	500.11	1.15	1.35	29147	24845		SLV FO 13	lungo	-17633	-18217	53993	2.96	Si
5	-	-30	650.11	1.15	1.35	29147	24845		SLV FO 13	lungo	-17525	-18109	53993	2.98	Si
6	-	-30	800.11	1.15	1.35	29147	24845		SLV FO 13	lungo	-17411	-17995	53993	3	Si
7	-	-30	950.11	1.15	1.35	29147	24845		SLV FO 13	lungo	-17291	-17875	53993	3.02	Si
8	-	-30	1100.11	1.15	1.35	29147	24845		SLV FO 15	lungo	-17409	-17993	53993	3	Si
9	-	-30	1250.11	1.15	1.35	29147	24845		SLV FO 15	lungo	-17520	-18104	53993	2.98	Si
10	-	-30	1400.11	1.15	1.35	29147	24845		SLV FO 15	lungo	-17624	-18209	53993	2.97	Si
11	-	-30	1550.11	1.15	1.35	29147	24845		SLV FO 15	lungo	-17711	-18295	53993	2.95	Si

Verifica di capacità portante trasversale riferita al palo singolo

Fattore di correlazione ψ scelto in base alla conoscenza del sito = 1.7

Filo	Ind.	Xp	Yp	yR trasversale	LRF	Comb.	Cnd	Rd	Ed (T)	C.S.	Verifica
3	-	-30	350.11	1.3	1	SLV FO 9	D	6710.2	1174.4	5.71	Si
4	-	-30	500.11	1.3	1	SLV FO 9	D	6710.2	1168.4	5.74	Si
5	-	-30	650.11	1.3	1	SLV FO 9	D	6710.2	1162.6	5.77	Si
6	-	-30	800.11	1.3	1	SLV FO 9	D	6710.2	1156.9	5.8	Si
7	-	-30	950.11	1.3	1	SLV FO 9	D	6710.2	1151.4	5.83	Si
8	-	-30	1100.11	1.3	1	SLV FO 11	D	6710.2	1156.3	5.8	Si
9	-	-30	1250.11	1.3	1	SLV FO 11	D	6710.2	1162.2	5.77	Si
10	-	-30	1400.11	1.3	1	SLV FO 11	D	6710.2	1168	5.75	Si
11	-	-30	1550.11	1.3	1	SLV FO 11	D	6710.2	1173.9	5.72	Si

Parametri utilizzati nel calcolo

Filo	Ind.	Xp	Yp	Tipo	L.frs.	L.tr.lib.	L.tr.inf.	Coes.	Fi	P.spec	T max	Mecc.coll.	M.plast.sup.	Quota sup.	N sup.	M.plast.inf.	Quota inf.	N inf.
3	-	-30	350.11	TL	22	0	500		36	0.0014	14830	PC	2852219	-318.5				
4	-	-30	500.11	TL	22	0	500		36	0.0014	14830	PC	2852219	-318.5				
5	-	-30	650.11	TL	22	0	500		36	0.0014	14830	PC	2852219	-318.5				
6	-	-30	800.11	TL	22	0	500		36	0.0014	14830	PC	2852219	-318.5				
7	-	-30	950.11	TL	22	0	500		36	0.0014	14830	PC	2852219	-318.5				
8	-	-30	1100.11	TL	22	0	500		36	0.0014	14830	PC	2852219	-318.5				
9	-	-30	1250.11	TL	22	0	500		36	0.0014	14830	PC	2852219	-318.5				
10	-	-30	1400.11	TL	22	0	500		36	0.0014	14830	PC	2852219	-318.5				
11	-	-30	1550.11	TL	22	0	500		36	0.0014	14830	PC	2852219	-318.5				

9 pali "Micropalo D139.7x10 perf 220" gruppo 2 "PALI DI MONTE SFIORATORE SX"

Verifiche effettuate secondo D.M. 17-01-18 (N.T.C.)

Geometria

Interventi di miglioramento della diga di Cepparello nel Comune di Poggibonsi (SI)

ET.09.4 – Tabulati di calcolo_Canali fugatori con fondazioni su pali

+0

-30

-60



-530

Pali coinvolti

Palo a coordinate x,y: (323, 350.1)[filo 12];(323, 500.1)[filo 13];(323, 650.1)[filo 14];(323, 800.1)[filo 15];(323, 950.1)[filo 16];(323, 1100.1)[filo 17];(323, 1250.1)[filo 18];(323, 1400.1)[filo 19];(323, 1550.1)[filo 20];

Caratteristiche geometriche

Tubo in acciaio EN10219 139.7x10

Diametro tubo 140 mm

Spessore tubo 10 mm

Lunghezza 500 cm

Caratteristiche dei materiali

Calcestruzzo C25/30

Acciaio S355

Verifiche secondo DM18

Posizione					Taglio					PressoFlessione					Verifica		
Quota	Filo	Ind.	Xp	Yp	Tx	Ty	Mt	Comb.	Vrd	C.S.tt	Mx	My	N	Comb.	Mrd	C.S.pf	
0	12	-	323	350	554	0	0	SLU 18	48333	87.27	0	0	-8749	SLU 1	543970	10000	Si
0	13	-	323	500	554	0	0	SLU 18	48333	87.3	0	0	-8889	SLU 1	543970	10000	Si
0	14	-	323	650	553	0	0	SLU 18	48333	87.32	0	0	-8977	SLU 1	543970	10000	Si
0	15	-	323	800	553	0	0	SLU 18	48333	87.34	0	0	-9024	SLU 1	543970	10000	Si
0	16	-	323	950	553	0	0	SLU 18	48333	87.36	0	0	-9039	SLU 1	543970	10000	Si
0	17	-	323	1100	553	0	0	SLU 18	48333	87.37	0	0	-9024	SLU 1	543970	10000	Si
0	18	-	323	1250	553	0	0	SLU 18	48333	87.38	0	0	-8977	SLU 1	543970	10000	Si
0	19	-	323	1400	553	0	0	SLU 18	48333	87.38	0	0	-8889	SLU 1	543970	10000	Si
0	20	-	323	1550	553	0	0	SLU 18	48333	87.38	0	0	-8749	SLU 1	543970	10000	Si
0	12	-	323	350	381	-645	7	SLD 9	48332	64.51	0	0	-9709	SLD 1	543970	10000	Si
0	13	-	323	500	371	-645	7	SLD 9	48332	64.92	0	0	-9788	SLD 1	543970	10000	Si
0	14	-	323	650	362	-645	7	SLD 9	48332	65.32	0	0	-9835	SLD 1	543970	10000	Si
0	15	-	323	800	353	-645	7	SLD 9	48332	65.72	0	0	-9851	SLD 1	543970	10000	Si
0	16	-	323	950	344	-645	7	SLD 9	48332	66.11	0	0	-9837	SLD 1	543970	10000	Si
0	17	-	323	1100	353	645	-7	SLD 11	48334	65.73	0	0	-9793	SLD 1	543970	10000	Si
0	18	-	323	1250	362	645	-7	SLD 11	48334	65.34	0	0	-9715	SLD 1	543970	10000	Si
0	19	-	323	1400	371	645	-7	SLD 11	48334	64.94	0	0	-9600	SLD 1	543970	10000	Si
0	20	-	323	1550	380	645	-7	SLD 11	48334	64.54	0	0	-9447	SLD 1	543970	10000	Si
0	12	-	323	350	469	-1041	11	SLV FO 9	48332	42.32	0	0	-10560	SLV FO 1	543970	10000	Si
0	13	-	323	500	454	-1041	11	SLV FO 9	48332	42.54	0	0	-10591	SLV FO 1	543970	10000	Si
0	14	-	323	650	439	-1041	11	SLV FO 9	48332	42.76	0	0	-10611	SLV FO 1	543970	10000	Si
0	15	-	323	800	425	-1041	11	SLV FO 9	48332	42.98	0	0	-10607	SLV FO 1	543970	10000	Si
0	16	-	323	950	410	-1041	11	SLV FO 9	48332	43.19	0	0	-10576	SLV FO 1	543970	10000	Si
0	17	-	323	1100	425	1041	-11	SLV FO 11	48334	42.99	0	0	-10513	SLV FO 1	543970	10000	Si
0	18	-	323	1250	439	1041	-11	SLV FO 11	48334	42.77	0	0	-10417	SLV FO 1	543970	10000	Si
0	19	-	323	1400	454	1041	-11	SLV FO 11	48334	42.55	0	0	-10287	SLV FO 1	543970	10000	Si
0	20	-	323	1550	469	1041	-11	SLV FO 11	48334	42.33	0	0	-10136	SLV FO 1	543970	10000	Si
-52	12	-	323	350	554	0	0	SLU 18	48333	87.27	-7	-14397	-8780	SLU 1	543970	10000	Si
-52	13	-	323	500	554	0	0	SLU 18	48333	87.3	-6	-14392	-8920	SLU 1	543970	10000	Si

Interventi di miglioramento della diga di Cepparello nel Comune di Poggibonsi (SI)

ET.09.4 – Tabulati di calcolo_Canali fagatori con fondazioni su pali

Posizione					Taglio							Pressoflessione						Verifica
Quota	Filo	Ind.	Xp	Yp	Tx	Ty	Mt	Comb.	Vrd	C.S.tt	Mx	My	N	Comb.	Mrd	C.S.pf		
-52	14	-	323	650	553	0	0	SLU 18	48333	87.32	-5	-14387	-9008	SLU 1	543970	10000	Si	
-52	15	-	323	800	553	0	0	SLU 18	48333	87.34	-4	-14384	-9055	SLU 1	543970	10000	Si	
-52	16	-	323	950	553	0	0	SLU 18	48333	87.36	-2	-14381	-9070	SLU 1	543970	10000	Si	
-52	17	-	323	1100	553	0	0	SLU 18	48333	87.37	-1	-14380	-9055	SLU 1	543970	10000	Si	
-52	18	-	323	1250	553	0	0	SLU 18	48333	87.38	0	-14380	-9008	SLU 1	543970	10000	Si	
-52	19	-	323	1400	553	0	0	SLU 18	48333	87.38	1	-14381	-8920	SLU 1	543970	10000	Si	
-52	20	-	323	1550	553	0	0	SLU 18	48333	87.38	2	-14382	-8780	SLU 1	543970	10000	Si	
-52	12	-	323	350	381	-645	7	SLD 9	48332	64.51	-9994	-3820	-9740	SLD 1	543970	10000	Si	
-52	13	-	323	500	371	-645	7	SLD 9	48332	64.92	-9993	-3675	-9819	SLD 1	543970	10000	Si	
-52	14	-	323	650	362	-645	7	SLD 9	48332	65.32	-9992	-3532	-9866	SLD 1	543970	10000	Si	
-52	15	-	323	800	353	-645	7	SLD 9	48332	65.72	-9991	-3390	-9882	SLD 1	543970	10000	Si	
-52	16	-	323	950	344	-645	7	SLD 9	48332	66.11	-9982	-3248	-9868	SLD 1	543970	10000	Si	
-52	17	-	323	1100	353	645	-7	SLD 11	48334	65.73	-9981	-3107	-9824	SLD 1	543970	10000	Si	
-52	18	-	323	1250	362	645	-7	SLD 11	48334	65.34	-9979	-2967	-9746	SLD 1	543970	10000	Si	
-52	19	-	323	1400	371	645	-7	SLD 11	48334	64.94	-9978	-2828	-9631	SLD 1	543970	10000	Si	
-52	20	-	323	1550	380	645	-7	SLD 11	48334	64.54	-9977	-2688	-9478	SLD 1	543970	10000	Si	
-52	12	-	323	350	469	-1041	11	SLV FO 9	48332	42.32	-16123	7221	-10591	SLV FO 1	543970	10000	Si	
-52	13	-	323	500	454	-1041	11	SLV FO 9	48332	42.54	-16122	7450	-10622	SLV FO 1	543970	10000	Si	
-52	14	-	323	650	439	-1041	11	SLV FO 9	48332	42.76	-16121	7678	-10642	SLV FO 1	543970	10000	Si	
-52	15	-	323	800	425	-1041	11	SLV FO 9	48332	42.98	-16120	7905	-10638	SLV FO 1	543970	10000	Si	
-52	16	-	323	950	410	-1041	11	SLV FO 9	48332	43.19	-16105	8132	-10607	SLV FO 1	543970	10000	Si	
-52	17	-	323	1100	425	1041	-11	SLV FO 11	48334	42.99	-16103	8357	-10544	SLV FO 1	543970	10000	Si	
-52	18	-	323	1250	439	1041	-11	SLV FO 11	48334	42.77	-16102	8583	-10448	SLV FO 1	543970	10000	Si	
-52	19	-	323	1400	454	1041	-11	SLV FO 11	48334	42.55	-16101	8808	-10318	SLV FO 1	543970	10000	Si	
-52	20	-	323	1550	469	1041	-11	SLV FO 11	48334	42.33	-16099	9034	-10167	SLV FO 1	543970	10000	Si	
-103	12	-	323	350	-191	0	0	SLU 18	48333	252.42	-23	-42355	-1244	SLU 18	543970	11.79	Si	
-103	13	-	323	500	-191	0	0	SLU 18	48333	252.49	-20	-42342	-1346	SLU 18	543970	11.79	Si	
-103	14	-	323	650	-191	0	0	SLU 18	48333	252.56	-16	-42331	-1391	SLU 18	543970	11.79	Si	
-103	15	-	323	800	-191	0	0	SLU 18	48333	252.62	-13	-42321	-1409	SLU 18	543970	11.8	Si	
-103	16	-	323	950	-191	0	0	SLU 18	48333	252.66	-9	-42314	-1413	SLU 18	543970	11.8	Si	
-103	17	-	323	1100	-191	0	0	SLU 18	48333	252.69	-4	-42309	-1409	SLU 18	543970	11.8	Si	
-103	18	-	323	1250	-191	0	0	SLU 18	48333	252.72	-1	-42305	-1392	SLU 18	543970	11.8	Si	
-103	19	-	323	1400	-191	0	0	SLU 18	48333	252.72	2	-42303	-1347	SLU 18	543970	11.8	Si	
-103	20	-	323	1550	-191	0	0	SLU 18	48333	252.73	5	-42303	-1245	SLU 18	543970	11.8	Si	
-103	12	-	323	350	-132	223	2	SLD 9	48333	186.58	-49354	-29108	-6134	SLD 9	543970	8.71	Si	
-103	13	-	323	500	-128	223	2	SLD 9	48333	187.76	-49354	-28395	-6150	SLD 9	543970	8.77	Si	
-103	14	-	323	650	-125	223	2	SLD 9	48333	188.93	-49353	-27686	-6134	SLD 9	543970	8.82	Si	
-103	15	-	323	800	-122	223	2	SLD 9	48333	190.08	-49351	-26980	-6095	SLD 9	543970	8.88	Si	
-103	16	-	323	950	-119	223	2	SLD 9	48333	191.22	-49352	-26274	-6039	SLD 9	543970	8.93	Si	
-103	17	-	323	1100	-122	-223	-2	SLD 11	48333	190.12	49343	-26974	-6096	SLD 11	543970	8.88	Si	
-103	18	-	323	1250	-125	-223	-2	SLD 11	48333	188.97	49345	-27673	-6134	SLD 11	543970	8.82	Si	
-103	19	-	323	1400	-128	-223	-2	SLD 11	48333	187.82	49346	-28374	-6150	SLD 11	543970	8.77	Si	
-103	20	-	323	1550	-131	-223	-2	SLD 11	48333	186.66	49346	-29080	-6134	SLD 11	543970	8.72	Si	
-103	12	-	323	350	-162	360	4	SLV FO 9	48333	122.39	-79635	-35894	-6159	SLV FO 9	543970	5.72	Si	
-103	13	-	323	500	-157	360	4	SLV FO 9	48333	123.05	-79636	-34748	-6129	SLV FO 9	543970	5.75	Si	
-103	14	-	323	650	-152	360	4	SLV FO 9	48333	123.69	-79635	-33607	-6066	SLV FO 9	543970	5.78	Si	
-103	15	-	323	800	-147	360	4	SLV FO 9	48333	124.32	-79633	-32471	-5984	SLV FO 9	543970	5.81	Si	
-103	16	-	323	950	-142	360	4	SLV FO 9	48333	124.92	-79637	-31333	-5886	SLV FO 9	543970	5.83	Si	
-103	17	-	323	1100	-147	-360	-4	SLV FO 11	48334	124.33	79624	-32465	-5984	SLV FO 11	543970	5.81	Si	
-103	18	-	323	1250	-152	-360	-4	SLV FO 11	48334	123.71	79626	-33593	-6066	SLV FO 11	543970	5.78	Si	
-103	19	-	323	1400	-157	-360	-4	SLV FO 11	48334	123.07	79627	-34724	-6129	SLV FO 11	543970	5.75	Si	
-103	20	-	323	1550	-162	-360	-4	SLV FO 11	48334	122.42	79626	-35861	-6159	SLV FO 11	543970	5.72	Si	
-155	12	-	323	350	-191	0	0	SLU 18	48333	252.42	-17	-32478	-1284	SLU 18	543970	11.79	Si	
-155	13	-	323	500	-191	0	0	SLU 18	48333	252.49	-15	-32469	-1386	SLU 18	543970	11.79	Si	
-155	14	-	323	650	-191	0	0	SLU 18	48333	252.56	-13	-32460	-1432	SLU 18	543970	11.79	Si	
-155	15	-	323	800	-191	0	0	SLU 18	48333	252.62	-10	-32453	-1449	SLU 18	543970	11.8	Si	
-155	16	-	323	950	-191	0	0	SLU 18	48333	252.66	-7	-32447	-1453	SLU 18	543970	11.8	Si	
-155	17	-	323	1100	-191	0	0	SLU 18	48333	252.69	-3	-32443	-1449	SLU 18	543970	11.8	Si	
-155	18	-	323	1250	-191	0	0	SLU 18	48333	252.72	-1	-32440	-1432	SLU 18	543970	11.8	Si	
-155	19	-	323	1400	-191	0	0	SLU 18	48333	252.72	2	-32439	-1387	SLU 18	543970	11.8	Si	
-155	20	-	323	1550	-191	0	0	SLU 18	48333	252.73	4	-32439	-1285	SLU 18	543970	11.8	Si	
-155	12	-	323	350	-132	223	2	SLD 9	48333	186.58	-37846	-22320	-6165	SLD 9	543970	8.71	Si	
-155	13	-	323	500	-128	223	2	SLD 9	48333	187.76	-37845	-21773	-6181	SLD 9	543970	8.77	Si	
-155	14	-	323	650	-125	223	2	SLD 9	48333	188.93	-37845	-21230	-6165	SLD 9	543970	8.82	Si	
-155	15	-	323	800	-122	223	2	SLD 9	48333	190.08	-37843	-20688	-6126	SLD 9	543970	8.88	Si	
-155	16	-	323	950	-119	223	2	SLD 9	48333	191.22	-37844	-20147	-6070	SLD 9	543970	8.93	Si	
-155	17	-	323	1100	-122	-223	-2	SLD 11	48333	190.12	37837	-20684	-6127	SLD 11	543970	8.88	Si	
-155	18	-	323	1250	-125	-223	-2	SLD 11	48333	188.97	37838	-21220	-6165	SLD 11	543970	8.82	Si	
-155	19	-	323	1400	-128	-223	-2	SLD 11	48333	187.82	37839	-21758	-6181	SLD 11	543970	8.77	Si	
-155	20	-	323	1550	-131	-223	-2	SLD 11	48333	186.66	37839	-22299	-6165	SLD 11	543970	8.72	Si	
-155	12	-	323	350	-162	360	4	SLV FO 9	48333	122.39	-61066	-27524	-6190	SLV FO 9	543970	5.72	Si	
-155	13	-	323	500	-157	360	4	SLV FO 9	48333	123.05	-61066	-26645	-6160	SLV FO 9	543970	5.75	Si	
-155	14	-	323	650	-152	360	4	SLV FO 9	48333	123.69	-61066	-25771	-6097	SLV FO 9	543970	5.78	Si	
-155	15	-	323	800	-147	360	4	SLV FO 9	48333	124.32	-61064	-24899	-6015	SLV FO 9	543970	5.81	Si	
-155	16	-	323	950	-142	360	4	SLV FO 9	48333	124.92	-61067	-24027	-5917	SLV FO 9	543970	5.83	Si	
-155	17	-	323	1100	-147	-360	-4	SLV FO 11	48334	124.33	61057	-24895	-6015	SLV FO 11	543970	5.81	Si	
-155	18	-	323	1250	-152	-360	-4	SLV FO 11	48334	123.71	61058	-25760	-6097					

Interventi di miglioramento della diga di Cepparello nel Comune di Poggibonsi (SI)

ET.09.4 – Tabulati di calcolo_Canali fuggatori con fondazioni su pali

Posizione					Taglio					PressoFlessione					Verifica		
Quota	Filo	Ind.	Xp	Yp	Tx	Ty	Mt	Comb.	Vrd	C.S.tt	Mx	My	N	Comb.	Mrd	C.S.pf	
-206	13	-	323	500	-157	360	4	SLV FO 9	48333	123.05	-42496	-18543	-6191	SLV FO 9	543970	5.75	Si
-206	14	-	323	650	-152	360	4	SLV FO 9	48333	123.69	-42496	-17934	-6128	SLV FO 9	543970	5.78	Si
-206	15	-	323	800	-147	360	4	SLV FO 9	48333	124.32	-42495	-17328	-6046	SLV FO 9	543970	5.81	Si
-206	16	-	323	950	-142	360	4	SLV FO 9	48333	124.92	-42497	-16720	-5948	SLV FO 9	543970	5.83	Si
-206	17	-	323	1100	-147	-360	-4	SLV FO 11	48334	124.33	42490	-17325	-6046	SLV FO 11	543970	5.81	Si
-206	18	-	323	1250	-152	-360	-4	SLV FO 11	48334	123.71	42491	-17926	-6128	SLV FO 11	543970	5.78	Si
-206	19	-	323	1400	-157	-360	-4	SLV FO 11	48334	123.07	42491	-18530	-6191	SLV FO 11	543970	5.75	Si
-206	20	-	323	1550	-162	-360	-4	SLV FO 11	48334	122.42	42491	-19137	-6221	SLV FO 11	543970	5.72	Si
-284	12	-	323	350	-85	0	0	SLU 18	48333	565.81	-6	-11360	-711	SLU 18	543970	38.21	Si
-284	13	-	323	500	-85	0	0	SLU 18	48333	565.98	-5	-11356	-769	SLU 18	543970	38.22	Si
-284	14	-	323	650	-85	0	0	SLU 18	48333	566.13	-4	-11353	-794	SLU 18	543970	38.23	Si
-284	15	-	323	800	-85	0	0	SLU 18	48333	566.25	-3	-11351	-804	SLU 18	543970	38.24	Si
-284	16	-	323	950	-85	0	0	SLU 18	48333	566.35	-2	-11349	-807	SLU 18	543970	38.24	Si
-284	17	-	323	1100	-85	0	0	SLU 18	48333	566.43	-1	-11347	-804	SLU 18	543970	38.25	Si
-284	18	-	323	1250	-85	0	0	SLU 18	48333	566.48	0	-11346	-795	SLU 18	543970	38.25	Si
-284	19	-	323	1400	-85	0	0	SLU 18	48333	566.5	1	-11346	-769	SLU 18	543970	38.25	Si
-284	20	-	323	1550	-85	0	0	SLU 18	48333	566.5	1	-11346	-711	SLU 18	543970	38.25	Si
-284	12	-	323	350	-59	100	1	SLD 9	48333	418.24	-13237	-7807	-3475	SLD 9	543970	28.24	Si
-284	13	-	323	500	-57	100	1	SLD 9	48333	420.88	-13237	-7616	-3484	SLD 9	543970	28.42	Si
-284	14	-	323	650	-56	100	1	SLD 9	48333	423.49	-13237	-7425	-3475	SLD 9	543970	28.6	Si
-284	15	-	323	800	-54	100	1	SLD 9	48333	426.08	-13236	-7236	-3453	SLD 9	543970	28.77	Si
-284	16	-	323	950	-53	100	1	SLD 9	48333	428.63	-13237	-7047	-3421	SLD 9	543970	28.94	Si
-284	17	-	323	1100	-54	-100	-1	SLD 11	48333	426.15	13234	-7235	-3453	SLD 11	543970	28.78	Si
-284	18	-	323	1250	-56	-100	-1	SLD 11	48333	423.59	13235	-7422	-3475	SLD 11	543970	28.6	Si
-284	19	-	323	1400	-57	-100	-1	SLD 11	48333	421.01	13235	-7610	-3484	SLD 11	543970	28.43	Si
-284	20	-	323	1550	-59	-100	-1	SLD 11	48333	418.4	13235	-7799	-3475	SLD 11	543970	28.25	Si
-284	12	-	323	350	-72	161	1	SLV FO 9	48333	274.35	-21359	-9627	-3489	SLV FO 9	543970	18.53	Si
-284	13	-	323	500	-70	161	1	SLV FO 9	48333	275.81	-21359	-9320	-3472	SLV FO 9	543970	18.63	Si
-284	14	-	323	650	-68	161	1	SLV FO 9	48333	277.25	-21359	-9014	-3436	SLV FO 9	543970	18.72	Si
-284	15	-	323	800	-65	161	1	SLV FO 9	48333	278.66	-21358	-8709	-3390	SLV FO 9	543970	18.82	Si
-284	16	-	323	950	-63	161	1	SLV FO 9	48333	280.03	-21359	-8404	-3335	SLV FO 9	543970	18.91	Si
-284	17	-	323	1100	-65	-161	-1	SLV FO 11	48333	278.7	21356	-8707	-3390	SLV FO 11	543970	18.82	Si
-284	18	-	323	1250	-68	-161	-1	SLV FO 11	48333	277.3	21356	-9010	-3436	SLV FO 11	543970	18.73	Si
-284	19	-	323	1400	-70	-161	-1	SLV FO 11	48333	275.87	21356	-9313	-3472	SLV FO 11	543970	18.63	Si
-284	20	-	323	1550	-72	-161	-1	SLV FO 11	48333	274.42	21356	-9618	-3489	SLV FO 11	543970	18.53	Si
-335	12	-	323	350	-85	0	0	SLU 18	48333	565.81	-4	-6954	-751	SLU 18	543970	38.21	Si
-335	13	-	323	500	-85	0	0	SLU 18	48333	565.98	-3	-6952	-809	SLU 18	543970	38.22	Si
-335	14	-	323	650	-85	0	0	SLU 18	48333	566.13	-3	-6950	-835	SLU 18	543970	38.23	Si
-335	15	-	323	800	-85	0	0	SLU 18	48333	566.25	-2	-6948	-845	SLU 18	543970	38.24	Si
-335	16	-	323	950	-85	0	0	SLU 18	48333	566.35	-1	-6947	-847	SLU 18	543970	38.24	Si
-335	17	-	323	1100	-85	0	0	SLU 18	48333	566.43	-1	-6946	-845	SLU 18	543970	38.25	Si
-335	18	-	323	1250	-85	0	0	SLU 18	48333	566.48	0	-6946	-835	SLU 18	543970	38.25	Si
-335	19	-	323	1400	-85	0	0	SLU 18	48333	566.5	0	-6945	-809	SLU 18	543970	38.25	Si
-335	20	-	323	1550	-85	0	0	SLU 18	48333	566.5	1	-6945	-752	SLU 18	543970	38.25	Si
-335	12	-	323	350	-59	100	1	SLD 9	48333	418.24	-8103	-4779	-3506	SLD 9	543970	28.24	Si
-335	13	-	323	500	-57	100	1	SLD 9	48333	420.88	-8103	-4662	-3515	SLD 9	543970	28.42	Si
-335	14	-	323	650	-56	100	1	SLD 9	48333	423.49	-8103	-4545	-3506	SLD 9	543970	28.6	Si
-335	15	-	323	800	-54	100	1	SLD 9	48333	426.08	-8102	-4429	-3484	SLD 9	543970	28.77	Si
-335	16	-	323	950	-53	100	1	SLD 9	48333	428.63	-8103	-4314	-3452	SLD 9	543970	28.94	Si
-335	17	-	323	1100	-54	-100	-1	SLD 11	48333	426.15	8101	-4429	-3484	SLD 11	543970	28.78	Si
-335	18	-	323	1250	-56	-100	-1	SLD 11	48333	423.59	8101	-4543	-3506	SLD 11	543970	28.6	Si
-335	19	-	323	1400	-57	-100	-1	SLD 11	48333	421.01	8102	-4658	-3515	SLD 11	543970	28.43	Si
-335	20	-	323	1550	-59	-100	-1	SLD 11	48333	418.4	8102	-4774	-3506	SLD 11	543970	28.25	Si
-335	12	-	323	350	-72	161	1	SLV FO 9	48333	274.35	-13074	-5893	-3520	SLV FO 9	543970	18.53	Si
-335	13	-	323	500	-70	161	1	SLV FO 9	48333	275.81	-13075	-5705	-3503	SLV FO 9	543970	18.63	Si
-335	14	-	323	650	-68	161	1	SLV FO 9	48333	277.25	-13074	-5518	-3467	SLV FO 9	543970	18.72	Si
-335	15	-	323	800	-65	161	1	SLV FO 9	48333	278.66	-13074	-5331	-3421	SLV FO 9	543970	18.82	Si
-335	16	-	323	950	-63	161	1	SLV FO 9	48333	280.03	-13075	-5144	-3366	SLV FO 9	543970	18.91	Si
-335	17	-	323	1100	-65	-161	-1	SLV FO 11	48333	278.7	13073	-5330	-3421	SLV FO 11	543970	18.82	Si
-335	18	-	323	1250	-68	-161	-1	SLV FO 11	48333	277.3	13073	-5515	-3467	SLV FO 11	543970	18.73	Si
-335	19	-	323	1400	-70	-161	-1	SLV FO 11	48333	275.87	13073	-5701	-3503	SLV FO 11	543970	18.63	Si
-335	20	-	323	1550	-72	-161	-1	SLV FO 11	48333	274.42	13073	-5888	-3520	SLV FO 11	543970	18.53	Si
-387	12	-	323	350	-85	0	0	SLU 18	48333	565.81	-1	-2548	-791	SLU 18	543970	38.21	Si
-387	13	-	323	500	-85	0	0	SLU 18	48333	565.98	-1	-2547	-849	SLU 18	543970	38.22	Si
-387	14	-	323	650	-85	0	0	SLU 18	48333	566.13	-1	-2546	-875	SLU 18	543970	38.23	Si
-387	15	-	323	800	-85	0	0	SLU 18	48333	566.25	-1	-2546	-885	SLU 18	543970	38.24	Si
-387	16	-	323	950	-85	0	0	SLU 18	48333	566.35	-1	-2545	-887	SLU 18	543970	38.24	Si
-387	17	-	323	1100	-85	0	0	SLU 18	48333	566.43	0	-2545	-885	SLU 18	543970	38.25	Si
-387	18	-	323	1250	-85	0	0	SLU 18	48333	566.48	0	-2545	-875	SLU 18	543970	38.25	Si
-387	19	-	323	1400	-85	0	0	SLU 18	48333	566.5	0	-2545	-850	SLU 18	543970	38.25	Si
-387	20	-	323	1550	-85	0	0	SLU 18	48333	566.5	0	-2545	-792	SLU 18	543970	38.25	Si
-387	12	-	323	350	-59	100	1	SLD 9	48333	418.24	-2969	-1751	-3537	SLD 9	543970	28.24	Si
-387	13	-	323	500	-57	100	1	SLD 9	48333	420.88	-2969	-1708	-3546	SLD 9	543970	28.42	Si
-387	14	-	323	650	-56	100	1	SLD 9	48333	423.49	-2969	-1665	-3537	SLD 9	543970	28.6	Si
-387	15	-	323	800	-54	100	1	SLD 9	48333	426.08	-2969	-1623	-3515	SLD 9	543970	28.77	Si
-387	16	-	323	950	-53	100	1	SLD 9	48333	428.63	-2969	-1580	-3483	SLD 9	543970	28.94	Si
-387	17	-	323	1100	-54	-100	-1	SLD 11	48333	426.15	2968	-1623	-3515	SLD 11	543970	28.78	Si
-387	18	-	323	1250	-56												

Interventi di miglioramento della diga di Cepparello nel Comune di Poggibonsi (SI)

ET.09.4 – Tabulati di calcolo_Canali fugatori con fondazioni su pali

Posizione					Taglio							Pressoflessione							Verifica
Quota	Filo	Ind.	Xp	Yp	Tx	Ty	Mt	Comb.	Vrd	C.S.tt	Mx	My	N	Comb.	Mrd	C.S.pf			
-438	12	-	323	350	0	0	0	SLD 1	48333	10000	0	0	-930	SLD 1	543970	10000	Si		
-438	13	-	323	500	0	0	0	SLD 1	48333	10000	0	0	-938	SLD 1	543970	10000	Si		
-438	14	-	323	650	0	0	0	SLD 1	48333	10000	0	0	-942	SLD 1	543970	10000	Si		
-438	15	-	323	800	0	0	0	SLD 1	48333	10000	0	0	-944	SLD 1	543970	10000	Si		
-438	16	-	323	950	0	0	0	SLD 1	48333	10000	0	0	-943	SLD 1	543970	10000	Si		
-438	17	-	323	1100	0	0	0	SLD 1	48333	10000	0	0	-938	SLD 1	543970	10000	Si		
-438	18	-	323	1250	0	0	0	SLD 1	48333	10000	0	0	-931	SLD 1	543970	10000	Si		
-438	19	-	323	1400	0	0	0	SLD 1	48333	10000	0	0	-920	SLD 1	543970	10000	Si		
-438	20	-	323	1550	0	0	0	SLD 1	48333	10000	0	0	-905	SLD 1	543970	10000	Si		
-438	12	-	323	350	0	0	0	SLV FO 1	48333	10000	0	0	-1012	SLV FO 1	543970	10000	Si		
-438	13	-	323	500	0	0	0	SLV FO 1	48333	10000	0	0	-1015	SLV FO 1	543970	10000	Si		
-438	14	-	323	650	0	0	0	SLV FO 1	48333	10000	0	0	-1017	SLV FO 1	543970	10000	Si		
-438	15	-	323	800	0	0	0	SLV FO 1	48333	10000	0	0	-1017	SLV FO 1	543970	10000	Si		
-438	16	-	323	950	0	0	0	SLV FO 1	48333	10000	0	0	-1014	SLV FO 1	543970	10000	Si		
-438	17	-	323	1100	0	0	0	SLV FO 1	48333	10000	0	0	-1008	SLV FO 1	543970	10000	Si		
-438	18	-	323	1250	0	0	0	SLV FO 1	48333	10000	0	0	-999	SLV FO 1	543970	10000	Si		
-438	19	-	323	1400	0	0	0	SLV FO 1	48333	10000	0	0	-986	SLV FO 1	543970	10000	Si		
-438	20	-	323	1550	0	0	0	SLV FO 1	48333	10000	0	0	-971	SLV FO 1	543970	10000	Si		
-490	12	-	323	350	0	0	0	SLU 1	48333	10000	0	0	-868	SLU 1	543970	10000	Si		
-490	13	-	323	500	0	0	0	SLU 1	48333	10000	0	0	-882	SLU 1	543970	10000	Si		
-490	14	-	323	650	0	0	0	SLU 1	48333	10000	0	0	-891	SLU 1	543970	10000	Si		
-490	15	-	323	800	0	0	0	SLU 1	48333	10000	0	0	-895	SLU 1	543970	10000	Si		
-490	16	-	323	950	0	0	0	SLU 1	48333	10000	0	0	-896	SLU 1	543970	10000	Si		
-490	17	-	323	1100	0	0	0	SLU 1	48333	10000	0	0	-895	SLU 1	543970	10000	Si		
-490	18	-	323	1250	0	0	0	SLU 1	48333	10000	0	0	-891	SLU 1	543970	10000	Si		
-490	19	-	323	1400	0	0	0	SLU 1	48333	10000	0	0	-882	SLU 1	543970	10000	Si		
-490	20	-	323	1550	0	0	0	SLU 1	48333	10000	0	0	-868	SLU 1	543970	10000	Si		
-490	12	-	323	350	0	0	0	SLD 1	48333	10000	0	0	-961	SLD 1	543970	10000	Si		
-490	13	-	323	500	0	0	0	SLD 1	48333	10000	0	0	-969	SLD 1	543970	10000	Si		
-490	14	-	323	650	0	0	0	SLD 1	48333	10000	0	0	-973	SLD 1	543970	10000	Si		
-490	15	-	323	800	0	0	0	SLD 1	48333	10000	0	0	-975	SLD 1	543970	10000	Si		
-490	16	-	323	950	0	0	0	SLD 1	48333	10000	0	0	-974	SLD 1	543970	10000	Si		
-490	17	-	323	1100	0	0	0	SLD 1	48333	10000	0	0	-969	SLD 1	543970	10000	Si		
-490	18	-	323	1250	0	0	0	SLD 1	48333	10000	0	0	-962	SLD 1	543970	10000	Si		
-490	19	-	323	1400	0	0	0	SLD 1	48333	10000	0	0	-951	SLD 1	543970	10000	Si		
-490	20	-	323	1550	0	0	0	SLD 1	48333	10000	0	0	-936	SLD 1	543970	10000	Si		
-490	12	-	323	350	0	0	0	SLV FO 1	48333	10000	0	0	-1043	SLV FO 1	543970	10000	Si		
-490	13	-	323	500	0	0	0	SLV FO 1	48333	10000	0	0	-1046	SLV FO 1	543970	10000	Si		
-490	14	-	323	650	0	0	0	SLV FO 1	48333	10000	0	0	-1048	SLV FO 1	543970	10000	Si		
-490	15	-	323	800	0	0	0	SLV FO 1	48333	10000	0	0	-1048	SLV FO 1	543970	10000	Si		
-490	16	-	323	950	0	0	0	SLV FO 1	48333	10000	0	0	-1045	SLV FO 1	543970	10000	Si		
-490	17	-	323	1100	0	0	0	SLV FO 1	48333	10000	0	0	-1039	SLV FO 1	543970	10000	Si		
-490	18	-	323	1250	0	0	0	SLV FO 1	48333	10000	0	0	-1030	SLV FO 1	543970	10000	Si		
-490	19	-	323	1400	0	0	0	SLV FO 1	48333	10000	0	0	-1017	SLV FO 1	543970	10000	Si		
-490	20	-	323	1550	0	0	0	SLV FO 1	48333	10000	0	0	-1002	SLV FO 1	543970	10000	Si		

Verifica di capacità portante per la famiglia SLU

Verifica di capacità portante verticale riferita al palo singolo

Fattore di correlazione ψ scelto in base alla conoscenza del sito = 1.7

Peso del palo = 584.2 * 1.3

Filo	Ind.	Xp	Yp	yR laterale	yR punta	Pl.d	Pp.d	Def.vol	Comb.	Cnd	N	Ed	Rd	C.S.	Verifica
12	-	323	350.11	1.15	1.35	29147	24845		SLU 14	lungo	-30466	-31225	53993	1.73	Si
13	-	323	500.11	1.15	1.35	29147	24845		SLU 14	lungo	-30806	-31565	53993	1.71	Si
14	-	323	650.11	1.15	1.35	29147	24845		SLU 14	lungo	-31053	-31813	53993	1.7	Si
15	-	323	800.11	1.15	1.35	29147	24845		SLU 14	lungo	-31198	-31957	53993	1.69	Si
16	-	323	950.11	1.15	1.35	29147	24845		SLU 14	lungo	-31244	-32004	53993	1.69	Si
17	-	323	1100.11	1.15	1.35	29147	24845		SLU 14	lungo	-31196	-31956	53993	1.69	Si
18	-	323	1250.11	1.15	1.35	29147	24845		SLU 14	lungo	-31051	-31810	53993	1.7	Si
19	-	323	1400.11	1.15	1.35	29147	24845		SLU 14	lungo	-30802	-31561	53993	1.71	Si
20	-	323	1550.11	1.15	1.35	29147	24845		SLU 14	lungo	-30460	-31220	53993	1.73	Si

Verifica di capacità portante trasversale riferita al palo singolo

Fattore di correlazione ψ scelto in base alla conoscenza del sito = 1.7

Filo	Ind.	Xp	Yp	yR trasversale	LRF	Comb.	Cnd	Rd	Ed (T)	C.S.	Verifica
12	-	323	350.11	1.3	1	SLU 18	D	6710.2	553.8	12.12	Si
13	-	323	500.11	1.3	1	SLU 18	D	6710.2	553.6	12.12	Si
14	-	323	650.11	1.3	1	SLU 18	D	6710.2	553.5	12.12	Si
15	-	323	800.11	1.3	1	SLU 18	D	6710.2	553.4	12.13	Si
16	-	323	950.11	1.3	1	SLU 18	D	6710.2	553.3	12.13	Si
17	-	323	1100.11	1.3	1	SLU 18	D	6710.2	553.2	12.13	Si
18	-	323	1250.11	1.3	1	SLU 18	D	6710.2	553.2	12.13	Si
19	-	323	1400.11	1.3	1	SLU 18	D	6710.2	553.1	12.13	Si
20	-	323	1550.11	1.3	1	SLU 18	D	6710.2	553.1	12.13	Si

Parametri utilizzati nel calcolo

Filo	Ind.	Xp	Yp	Tipo	L.fr.s.	L.tr.lib.	L.tr.inf.	Coes.	Fi	P.spec	T max	Mecc.coll.	M.plast.sup.	Quota sup.	N sup.	M.plast.inf.	Quota inf.	N inf.
12	-	323	350.11	TL	22	0	500		36	0.0014	14830	PC	2852219	-318.5				
13	-	323	500.11	TL	22	0	500		36	0.0014	14830	PC	2852219	-318.5				
14	-	323	650.11	TL	22	0	500		36	0.0014	14830	PC	2852219	-318.5				
15	-	323	800.11	TL	22	0	500		36	0.0014	14830	PC	2852219	-318.5				
16	-	323	950.11	TL	22	0	500		36	0.0014	14830	PC	2852219	-318.5				
17	-	323	1100.11	TL	22	0	500		36	0.0014	14830	PC	2852219	-318.5				
18	-	323	1250.11	TL	22	0	500		36	0.0014	14830	PC	2852219	-318.5				
19	-	323	1400.11	TL	22	0	500		36	0.0014	14830	PC	2852219	-318.5				
20	-	323	1550.11	TL	22	0	500		36	0.0014	14830	PC	2852219	-318.5				

Verifica di capacità portante per la famiglia SLD

Verifica di capacità portante verticale riferita al palo singolo

Fattore di correlazione ψ scelto in base alla conoscenza del sito = 1.7

Peso del palo = 584.2 * 1

Filo	Ind.	Xp	Yp	yR laterale	yR punta	Pl.d	Pp.d	Def.vol	Comb.	Cnd	N	Ed	Rd	C.S.	Verifica
12	-	323	350.11	1.15	1.35	29147	24845		SLD 1	lungo	-9709	-10294	53993	5.25	Si
13	-	323	500.11	1.15	1.35	29147	24845		SLD 1	lungo	-9788	-10372	53993	5.21	Si
14	-	323	650.11	1.15	1.35	29147	24845		SLD 1	lungo	-9835	-10419	53993	5.18	Si
15	-	323	800.11	1.15	1.35	29147	24845		SLD 1	lungo	-9851	-10435	53993	5.17	Si
16	-	323	950.11	1.15	1.35	29147	24845		SLD 1	lungo	-9837	-10421	53993	5.18	Si
17	-	323	1100.11	1.15	1.35	29147	2								

Interventi di miglioramento della diga di Cepparello nel Comune di Poggibonsi (SI)

ET.09.4 – Tabulati di calcolo_Canali fagatori con fondazioni su pali

Filo	Ind.	Xp	Yp	yR laterale	yR punta	Pl,d	Pp,d	Def.vol	Comb.	Cnd	N	Ed	Rd	C.S.	Verifica
18	-	323	1250.11	1.15	1.35	29147	24845		SLD 3	lungo	-9835	-10419	53993	5.18	Si
19	-	323	1400.11	1.15	1.35	29147	24845		SLD 3	lungo	-9788	-10372	53993	5.21	Si
20	-	323	1550.11	1.15	1.35	29147	24845		SLD 3	lungo	-9709	-10293	53993	5.25	Si

Verifica di capacità portante per la famiglia SLV FO

Verifica di capacità portante verticale riferita al palo singolo

Fattore di correlazione ψ scelto in base alla conoscenza del sito = 1.7

Peso del palo = 584.2 * 1

Filo	Ind.	Xp	Yp	yR laterale	yR punta	Pl,d	Pp,d	Def.vol	Comb.	Cnd	N	Ed	Rd	C.S.	Verifica
12	-	323	350.11	1.15	1.35	29147	24845		SLV FO 1	lungo	-10560	-11144	53993	4.85	Si
13	-	323	500.11	1.15	1.35	29147	24845		SLV FO 1	lungo	-10591	-11175	53993	4.83	Si
14	-	323	650.11	1.15	1.35	29147	24845		SLV FO 1	lungo	-10611	-11195	53993	4.82	Si
15	-	323	800.11	1.15	1.35	29147	24845		SLV FO 1	lungo	-10607	-11192	53993	4.82	Si
16	-	323	950.11	1.15	1.35	29147	24845		SLV FO 1	lungo	-10576	-11160	53993	4.84	Si
17	-	323	1100.11	1.15	1.35	29147	24845		SLV FO 3	lungo	-10607	-11191	53993	4.82	Si
18	-	323	1250.11	1.15	1.35	29147	24845		SLV FO 3	lungo	-10610	-11194	53993	4.82	Si
19	-	323	1400.11	1.15	1.35	29147	24845		SLV FO 3	lungo	-10590	-11174	53993	4.83	Si
20	-	323	1550.11	1.15	1.35	29147	24845		SLV FO 3	lungo	-10559	-11143	53993	4.85	Si

Verifica di capacità portante trasversale riferita al palo singolo

Fattore di correlazione ψ scelto in base alla conoscenza del sito = 1.7

Filo	Ind.	Xp	Yp	yR trasversale	LRF	Comb.	Cnd	Rd	Ed (T)	C.S.	Verifica
12	-	323	350.11	1.3	1	SLV FO 9	D	6710.2	1142.2	5.88	Si
13	-	323	500.11	1.3	1	SLV FO 9	D	6710.2	1136.1	5.91	Si
14	-	323	650.11	1.3	1	SLV FO 9	D	6710.2	1130.2	5.94	Si
15	-	323	800.11	1.3	1	SLV FO 9	D	6710.2	1124.5	5.97	Si
16	-	323	950.11	1.3	1	SLV FO 9	D	6710.2	1119	6	Si
17	-	323	1100.11	1.3	1	SLV FO 11	D	6710.2	1124.3	5.97	Si
18	-	323	1250.11	1.3	1	SLV FO 11	D	6710.2	1130	5.94	Si
19	-	323	1400.11	1.3	1	SLV FO 11	D	6710.2	1135.8	5.91	Si
20	-	323	1550.11	1.3	1	SLV FO 11	D	6710.2	1141.9	5.88	Si

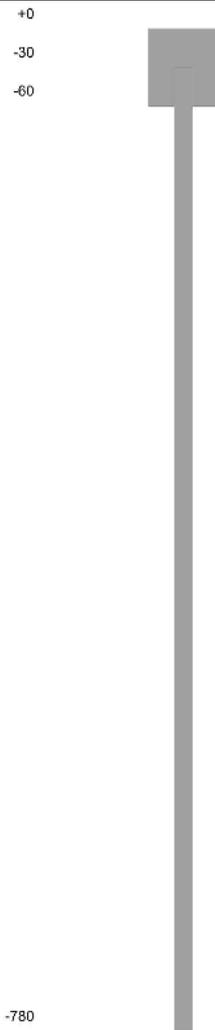
Parametri utilizzati nel calcolo

Filo	Ind.	Xp	Yp	Tipo	L.frs.	L.tr.lib.	L.tr.inf.	Coes.	Fi	P.spec	T max	Mecc.coll.	M.plast.sup.	Quota sup.	N sup.	M.plast.inf.	Quota inf.	N inf.
12	-	323	350.11	TL	22	0	500		36	0.0014	14830	PC	2852219	-318.5				
13	-	323	500.11	TL	22	0	500		36	0.0014	14830	PC	2852219	-318.5				
14	-	323	650.11	TL	22	0	500		36	0.0014	14830	PC	2852219	-318.5				
15	-	323	800.11	TL	22	0	500		36	0.0014	14830	PC	2852219	-318.5				
16	-	323	950.11	TL	22	0	500		36	0.0014	14830	PC	2852219	-318.5				
17	-	323	1100.11	TL	22	0	500		36	0.0014	14830	PC	2852219	-318.5				
18	-	323	1250.11	TL	22	0	500		36	0.0014	14830	PC	2852219	-318.5				
19	-	323	1400.11	TL	22	0	500		36	0.0014	14830	PC	2852219	-318.5				
20	-	323	1550.11	TL	22	0	500		36	0.0014	14830	PC	2852219	-318.5				

9 pali "Micropalo D139.7x10 perf 220" gruppo 3 "PALI DI MONTE SFIORATORE SX"

Verifiche effettuate secondo D.M. 17-01-18 (N.T.C.)

Geometria



-780

Pali coinvolti

Palo a coordinate x,y: (677, 1250.1)[filo 27];(677, 1400.1)[filo 28];(677, 1550.1)[filo 29];(677, 350.1)[filo 21];(677, 500.1)[filo 22];(677, 650.1)[filo 23];(677, 800.1)[filo 24];(677, 950.1)[filo 25];(677, 1100.1)[filo 26];

Caratteristiche geometriche

Tubo in acciaio EN10219 139.7x10

Diametro tubo 140 mm

Spessore tubo 10 mm

Lunghezza 750 cm

Caratteristiche dei materiali

Calcestruzzo C25/30

Acciaio S355

Verifiche secondo DM18

Posizione					Taglio							PressoFlessione							Verifica
Quota	Filo	Ind.	Xp	Yp	Tx	Ty	Mt	Comb.	Vrd	C.S.tt	Mx	My	N	Comb.	Mrd	C.S.pf			
0	21	-	677	350	660	0	0	SLU 18	48333	73.2	0	0	-8659	SLU 1	543970	10000	Si		
0	22	-	677	500	660	0	0	SLU 18	48333	73.2	0	0	-8838	SLU 1	543970	10000	Si		
0	23	-	677	650	660	0	0	SLU 18	48333	73.21	0	0	-8957	SLU 1	543970	10000	Si		
0	24	-	677	800	660	0	0	SLU 18	48333	73.23	0	0	-9022	SLU 1	543970	10000	Si		
0	25	-	677	950	660	0	0	SLU 18	48333	73.24	0	0	-9043	SLU 1	543970	10000	Si		
0	26	-	677	1100	660	0	0	SLU 18	48333	73.25	0	0	-9022	SLU 1	543970	10000	Si		
0	27	-	677	1250	660	0	0	SLU 18	48333	73.26	0	0	-8957	SLU 1	543970	10000	Si		
0	28	-	677	1400	660	0	0	SLU 18	48333	73.27	0	0	-8839	SLU 1	543970	10000	Si		
0	29	-	677	1550	660	0	0	SLU 18	48333	73.28	0	0	-8660	SLU 1	543970	10000	Si		
0	21	-	677	350	454	-745	7	SLD 9	48332	55.38	0	0	-9928	SLD 1	543970	10000	Si		
0	22	-	677	500	443	-745	7	SLD 9	48332	55.74	0	0	-10054	SLD 1	543970	10000	Si		
0	23	-	677	650	432	-745	7	SLD 9	48332	56.1	0	0	-10138	SLD 1	543970	10000	Si		
0	24	-	677	800	421	-745	7	SLD 9	48332	56.45	0	0	-10178	SLD 1	543970	10000	Si		
0	25	-	677	950	410	746	-7	SLD 11	48334	56.79	0	0	-10175	SLD 1	543970	10000	Si		
0	26	-	677	1100	421	745	-7	SLD 11	48334	56.45	0	0	-10131	SLD 1	543970	10000	Si		
0	27	-	677	1250	432	745	-7	SLD 11	48334	56.1	0	0	-10040	SLD 1	543970	10000	Si		
0	28	-	677	1400	443	745	-7	SLD 11	48334	55.74	0	0	-9899	SLD 1	543970	10000	Si		
0	29	-	677	1550	454	745	-7	SLD 11	48334	55.39	0	0	-9708	SLD 1	543970	10000	Si		
0	21	-	677	350	560	-1203	11	SLV FO 9	48332	36.43	0	0	-11057	SLV FO 1	543970	10000	Si		
0	22	-	677	500	542	-1203	11	SLV FO 9	48332	36.63	0	0	-11146	SLV FO 1	543970	10000	Si		
0	23	-	677	650	525	-1203	11	SLV FO 9	48332	36.83	0	0	-11206	SLV FO 1	543970	10000	Si		
0	24	-	677	800	507	-1203	11	SLV FO 9	48332	37.03	0	0	-11230	SLV FO 1	543970	10000	Si		
0	25	-	677	950	489	1203	-11	SLV FO 11	48334	37.21	0	0	-11214	SLV FO 1	543970	10000	Si		
0	26	-	677	1100	507	1203	-11	SLV FO 11	48334	37.03	0	0	-11155	SLV FO 1	543970	10000	Si		
0	27	-	677	1250	524	1203	-11	SLV FO 11	48334	36.83	0	0	-11048	SLV FO 1	543970	10000	Si		
0	28	-	677	1400	542	1203	-11	SLV FO 11	48334	36.63	0	0	-10894	SLV FO 1	543970	10000	Si		
0	29	-	677	1550	560	1203	-11	SLV FO 11	48334	36.43	0	0	-10702	SLV FO 1	543970	10000	Si		
-78	21	-	677	350	-154	0	0	SLU 18	48333	313.75	-4	-42971	524	SLU 18	543970	12.2	Si		
-78	22	-	677	500	-154	0	0	SLU 18	48333	313.78	-1	-42966	391	SLU 18	543970	12.21	Si		

Interventi di miglioramento della diga di Cepparello nel Comune di Poggibonsi (SI)

ET.09.4 – Tabulati di calcolo_Canali fugadori con fondazioni su pali

Posizione					Taglio					PressoFlessione					Verifica		
Quota	Filo	Ind.	Xp	Yp	Tx	Ty	Mt	Comb.	Vrd	C.S.tt	Mx	My	N	Comb.	Mrd	C.S.pf	
-78	23	-	677	650	-154	0	0	SLU 18	48333	313.83	1	-42960	327	SLU 18	543970	12.21	Si
-78	24	-	677	800	-154	0	0	SLU 18	48333	313.88	4	-42953	301	SLU 18	543970	12.21	Si
-78	25	-	677	950	-154	0	0	SLU 18	48333	313.93	7	-42946	294	SLU 18	543970	12.21	Si
-78	26	-	677	1100	-154	0	0	SLU 18	48333	313.98	10	-42939	301	SLU 18	543970	12.21	Si
-78	27	-	677	1250	-154	0	0	SLU 18	48333	314.02	12	-42933	327	SLU 18	543970	12.21	Si
-78	28	-	677	1400	-154	0	0	SLU 18	48333	314.07	15	-42927	390	SLU 18	543970	12.22	Si
-78	29	-	677	1550	-154	0	0	SLU 18	48333	314.13	17	-42919	522	SLU 18	543970	12.22	Si
-78	21	-	677	350	-106	174	3	SLD 9	48333	237.37	-48506	-29549	-7059	SLD 9	543970	9.23	Si
-78	22	-	677	500	-103	174	3	SLD 9	48333	238.91	-48506	-28836	-7123	SLD 9	543970	9.29	Si
-78	23	-	677	650	-101	174	3	SLD 9	48333	240.45	-48506	-28123	-7142	SLD 9	543970	9.35	Si
-78	24	-	677	800	-98	174	3	SLD 9	48333	241.99	-48505	-27408	-7127	SLD 9	543970	9.41	Si
-78	25	-	677	950	-96	-174	-3	SLD 11	48333	243.43	48523	-26698	-7081	SLD 11	543970	9.47	Si
-78	26	-	677	1100	-98	-174	-3	SLD 11	48333	241.98	48512	-27403	-7127	SLD 11	543970	9.41	Si
-78	27	-	677	1250	-101	-174	-3	SLD 11	48333	240.46	48513	-28110	-7143	SLD 11	543970	9.35	Si
-78	28	-	677	1400	-103	-174	-3	SLD 11	48333	238.94	48513	-28816	-7123	SLD 11	543970	9.29	Si
-78	29	-	677	1550	-106	-174	-3	SLD 11	48333	237.41	48513	-29520	-7060	SLD 11	543970	9.23	Si
-78	21	-	677	350	-131	281	5	SLV FO 9	48333	156.15	-78272	-36444	-6981	SLV FO 9	543970	6.07	Si
-78	22	-	677	500	-127	281	5	SLV FO 9	48333	157.02	-78273	-35295	-6996	SLV FO 9	543970	6.11	Si
-78	23	-	677	650	-122	281	5	SLV FO 9	48333	157.87	-78273	-34144	-6969	SLV FO 9	543970	6.14	Si
-78	24	-	677	800	-118	281	5	SLV FO 9	48333	158.72	-78273	-32992	-6911	SLV FO 9	543970	6.17	Si
-78	25	-	677	950	-114	-281	-5	SLV FO 11	48334	159.5	78300	-31848	-6827	SLV FO 11	543970	6.2	Si
-78	26	-	677	1100	-118	-281	-5	SLV FO 11	48334	158.71	78280	-32987	-6912	SLV FO 11	543970	6.17	Si
-78	27	-	677	1250	-122	-281	-5	SLV FO 11	48334	157.88	78281	-34129	-6970	SLV FO 11	543970	6.14	Si
-78	28	-	677	1400	-126	-281	-5	SLV FO 11	48334	157.03	78280	-35271	-6997	SLV FO 11	543970	6.11	Si
-78	29	-	677	1550	-131	-281	-5	SLV FO 11	48334	156.16	78279	-36411	-6982	SLV FO 11	543970	6.07	Si
-156	21	-	677	350	-154	0	0	SLU 18	48333	313.75	-3	-30971	463	SLU 18	543970	12.2	Si
-156	22	-	677	500	-154	0	0	SLU 18	48333	313.78	-1	-30968	330	SLU 18	543970	12.21	Si
-156	23	-	677	650	-154	0	0	SLU 18	48333	313.83	1	-30963	267	SLU 18	543970	12.21	Si
-156	24	-	677	800	-154	0	0	SLU 18	48333	313.88	3	-30958	240	SLU 18	543970	12.21	Si
-156	25	-	677	950	-154	0	0	SLU 18	48333	313.93	5	-30953	233	SLU 18	543970	12.21	Si
-156	26	-	677	1100	-154	0	0	SLU 18	48333	313.98	7	-30948	240	SLU 18	543970	12.21	Si
-156	27	-	677	1250	-154	0	0	SLU 18	48333	314.02	9	-30944	266	SLU 18	543970	12.21	Si
-156	28	-	677	1400	-154	0	0	SLU 18	48333	314.07	11	-30939	329	SLU 18	543970	12.22	Si
-156	29	-	677	1550	-154	0	0	SLU 18	48333	314.13	13	-30933	461	SLU 18	543970	12.22	Si
-156	21	-	677	350	-106	174	3	SLD 9	48333	237.37	-34961	-21297	-7106	SLD 9	543970	9.23	Si
-156	22	-	677	500	-103	174	3	SLD 9	48333	238.91	-34961	-20784	-7169	SLD 9	543970	9.29	Si
-156	23	-	677	650	-101	174	3	SLD 9	48333	240.45	-34961	-20269	-7189	SLD 9	543970	9.35	Si
-156	24	-	677	800	-98	174	3	SLD 9	48333	241.99	-34960	-19754	-7174	SLD 9	543970	9.41	Si
-156	25	-	677	950	-96	-174	-3	SLD 11	48333	243.43	34973	-19243	-7128	SLD 11	543970	9.47	Si
-156	26	-	677	1100	-98	-174	-3	SLD 11	48333	241.98	34965	-19751	-7174	SLD 11	543970	9.41	Si
-156	27	-	677	1250	-101	-174	-3	SLD 11	48333	240.46	34965	-20260	-7190	SLD 11	543970	9.35	Si
-156	28	-	677	1400	-103	-174	-3	SLD 11	48333	238.94	34965	-20769	-7170	SLD 11	543970	9.29	Si
-156	29	-	677	1550	-106	-174	-3	SLD 11	48333	237.41	34965	-21277	-7106	SLD 11	543970	9.23	Si
-156	21	-	677	350	-131	281	5	SLV FO 9	48333	156.15	-56414	-26267	-7028	SLV FO 9	543970	6.07	Si
-156	22	-	677	500	-127	281	5	SLV FO 9	48333	157.02	-56415	-25439	-7043	SLV FO 9	543970	6.11	Si
-156	23	-	677	650	-122	281	5	SLV FO 9	48333	157.87	-56415	-24609	-7016	SLV FO 9	543970	6.14	Si
-156	24	-	677	800	-118	281	5	SLV FO 9	48333	158.72	-56415	-23779	-6958	SLV FO 9	543970	6.17	Si
-156	25	-	677	950	-114	-281	-5	SLV FO 11	48334	159.5	56434	-22954	-6873	SLV FO 11	543970	6.2	Si
-156	26	-	677	1100	-118	-281	-5	SLV FO 11	48334	158.71	56420	-23775	-6959	SLV FO 11	543970	6.17	Si
-156	27	-	677	1250	-122	-281	-5	SLV FO 11	48334	157.88	56420	-24598	-7017	SLV FO 11	543970	6.14	Si
-156	28	-	677	1400	-126	-281	-5	SLV FO 11	48334	157.03	56420	-25421	-7044	SLV FO 11	543970	6.11	Si
-156	29	-	677	1550	-131	-281	-5	SLV FO 11	48334	156.16	56420	-26243	-7029	SLV FO 11	543970	6.07	Si
-234	21	-	677	350	-146	0	0	SLU 18	48333	331.34	-2	-19227	397	SLU 18	543970	22.88	Si
-234	22	-	677	500	-146	0	0	SLU 18	48333	331.38	-1	-19224	293	SLU 18	543970	22.88	Si
-234	23	-	677	650	-146	0	0	SLU 18	48333	331.43	1	-19221	242	SLU 18	543970	22.89	Si
-234	24	-	677	800	-146	0	0	SLU 18	48333	331.48	2	-19218	222	SLU 18	543970	22.89	Si
-234	25	-	677	950	-146	0	0	SLU 18	48333	331.54	3	-19215	216	SLU 18	543970	22.89	Si
-234	26	-	677	1100	-146	0	0	SLU 18	48333	331.59	4	-19212	222	SLU 18	543970	22.9	Si
-234	27	-	677	1250	-146	0	0	SLU 18	48333	331.63	5	-19210	242	SLU 18	543970	22.9	Si
-234	28	-	677	1400	-146	0	0	SLU 18	48333	331.69	7	-19207	292	SLU 18	543970	22.9	Si
-234	29	-	677	1550	-146	0	0	SLU 18	48333	331.75	8	-19203	396	SLU 18	543970	22.91	Si
-234	21	-	677	350	-100	165	1	SLD 9	48333	250.68	-21703	-13221	-5562	SLD 9	543970	17.31	Si
-234	22	-	677	500	-98	165	1	SLD 9	48333	252.31	-21703	-12902	-5612	SLD 9	543970	17.42	Si
-234	23	-	677	650	-95	165	1	SLD 9	48333	253.94	-21703	-12583	-5628	SLD 9	543970	17.53	Si
-234	24	-	677	800	-93	165	1	SLD 9	48333	255.56	-21703	-12263	-5616	SLD 9	543970	17.65	Si
-234	25	-	677	950	-91	-165	-1	SLD 11	48333	257.09	21711	-11945	-5580	SLD 11	543970	17.75	Si
-234	26	-	677	1100	-93	-165	-1	SLD 11	48333	255.55	21706	-12261	-5616	SLD 11	543970	17.65	Si
-234	27	-	677	1250	-95	-165	-1	SLD 11	48333	253.94	21706	-12577	-5628	SLD 11	543970	17.54	Si
-234	28	-	677	1400	-98	-165	-1	SLD 11	48333	252.34	21706	-12893	-5613	SLD 11	543970	17.42	Si
-234	29	-	677	1550	-100	-165	-1	SLD 11	48333	250.72	21706	-13208	-5563	SLD 11	543970	17.31	Si
-234	21	-	677	350	-124	266	2	SLV FO 9	48333	164.91	-35021	-16306	-5501	SLV FO 9	543970	11.39	Si
-234	22	-	677	500	-120	266	2	SLV FO 9	48333	165.82	-35022	-15792	-5513	SLV FO 9	543970	11.45	Si
-234	23	-	677	650	-116	266	2	SLV FO 9	48333	166.73	-35022	-15277	-5492	SLV FO 9	543970	11.51	Si
-234	24	-	677	800	-112	266	2	SLV FO 9	48333	167.62	-35022	-14762	-5446	SLV FO 9	543970	11.57	Si
-234	25	-	677	950	-108	-266	-2	SLV FO 11	48333	168.44	35034	-14250	-5380	SLV FO 11	543970	11.63	Si
-234	26	-	677	1100	-112	-266	-2	SLV FO 11	48333	167.61	35025	-14759	-5447	SLV FO 11	543970	11.57	Si
-234	27	-	677	1250	-116	-266	-2	SLV FO 11	48333	166.73							

Interventi di miglioramento della diga di Cepparello nel Comune di Poggibonsi (SI)

ET.09.4 – Tabulati di calcolo_Canali fagatori con fondazioni su pali

Posizione					Taglio							PressoFlessione						Verifica
Quota	Filo	Ind.	Xp	Yp	Tx	Ty	Mt	Comb.	Vrd	C.S.tt	Mx	My	N	Comb.	Mrd	C.S.pf		
-312	22	-	677	500	-120	266	2	SLV FO 9	48333	165.82	-14324	-6459	-5559	SLV FO 9	543970	11.45	Si	
-312	23	-	677	650	-116	266	2	SLV FO 9	48333	166.73	-14324	-6249	-5538	SLV FO 9	543970	11.51	Si	
-312	24	-	677	800	-112	266	2	SLV FO 9	48333	167.62	-14324	-6038	-5493	SLV FO 9	543970	11.57	Si	
-312	25	-	677	950	-108	-266	-2	SLV FO 11	48333	168.44	14329	-5828	-5426	SLV FO 11	543970	11.63	Si	
-312	26	-	677	1100	-112	-266	-2	SLV FO 11	48333	167.61	14326	-6037	-5493	SLV FO 11	543970	11.57	Si	
-312	27	-	677	1250	-116	-266	-2	SLV FO 11	48333	166.73	14326	-6246	-5539	SLV FO 11	543970	11.51	Si	
-312	28	-	677	1400	-120	-266	-2	SLV FO 11	48333	165.83	14326	-6455	-5560	SLV FO 11	543970	11.45	Si	
-312	29	-	677	1550	-124	-266	-2	SLV FO 11	48333	164.92	14326	-6663	-5549	SLV FO 11	543970	11.39	Si	
-428	21	-	677	350	-26	0	0	SLU 18	48333	1873.43	0	-236	244	SLU 18	543970	240.75	Si	
-428	22	-	677	500	-26	0	0	SLU 18	48333	1873.65	0	-236	171	SLU 18	543970	240.78	Si	
-428	23	-	677	650	-26	0	0	SLU 18	48333	1873.93	0	-236	137	SLU 18	543970	240.82	Si	
-428	24	-	677	800	-26	0	0	SLU 18	48333	1874.23	0	-236	122	SLU 18	543970	240.86	Si	
-428	25	-	677	950	-26	0	0	SLU 18	48333	1874.53	0	-236	119	SLU 18	543970	240.9	Si	
-428	26	-	677	1100	-26	0	0	SLU 18	48333	1874.81	0	-236	122	SLU 18	543970	240.93	Si	
-428	27	-	677	1250	-26	0	0	SLU 18	48333	1875.08	0	-236	136	SLU 18	543970	240.97	Si	
-428	28	-	677	1400	-26	0	0	SLU 18	48333	1875.37	0	-236	171	SLU 18	543970	241	Si	
-428	29	-	677	1550	-26	0	0	SLU 18	48333	1875.72	0	-236	243	SLU 18	543970	241.05	Si	
-428	21	-	677	350	-18	29	0	SLD 9	48333	1417.37	-267	-162	-3870	SLD 9	543970	182.15	Si	
-428	22	-	677	500	-17	29	0	SLD 9	48333	1426.59	-267	-159	-3904	SLD 9	543970	183.33	Si	
-428	23	-	677	650	-17	29	0	SLD 9	48333	1435.79	-267	-155	-3915	SLD 9	543970	184.51	Si	
-428	24	-	677	800	-16	29	0	SLD 9	48333	1444.95	-267	-151	-3907	SLD 9	543970	185.69	Si	
-428	25	-	677	950	-16	-29	0	SLD 11	48333	1453.57	267	-147	-3882	SLD 11	543970	186.8	Si	
-428	26	-	677	1100	-16	-29	0	SLD 11	48333	1444.87	267	-151	-3907	SLD 11	543970	185.68	Si	
-428	27	-	677	1250	-17	-29	0	SLD 11	48333	1435.81	267	-155	-3916	SLD 11	543970	184.52	Si	
-428	28	-	677	1400	-17	-29	0	SLD 11	48333	1426.72	267	-158	-3905	SLD 11	543970	183.35	Si	
-428	29	-	677	1550	-18	-29	0	SLD 11	48333	1417.6	267	-162	-3870	SLD 11	543970	182.18	Si	
-428	21	-	677	350	-22	47	1	SLV FO 9	48333	932.39	-430	-200	-3828	SLV FO 9	543970	119.82	Si	
-428	22	-	677	500	-21	47	1	SLV FO 9	48333	937.58	-430	-194	-3836	SLV FO 9	543970	120.49	Si	
-428	23	-	677	650	-20	47	1	SLV FO 9	48333	942.7	-430	-188	-3821	SLV FO 9	543970	121.15	Si	
-428	24	-	677	800	-20	47	1	SLV FO 9	48333	947.74	-430	-181	-3790	SLV FO 9	543970	121.79	Si	
-428	25	-	677	950	-19	-47	-1	SLV FO 11	48333	952.38	430	-175	-3744	SLV FO 11	543970	122.39	Si	
-428	26	-	677	1100	-20	-47	-1	SLV FO 11	48333	947.69	430	-181	-3700	SLV FO 11	543970	121.79	Si	
-428	27	-	677	1250	-20	-47	-1	SLV FO 11	48333	942.7	430	-188	-3821	SLV FO 11	543970	121.15	Si	
-428	28	-	677	1400	-21	-47	-1	SLV FO 11	48333	937.62	430	-194	-3836	SLV FO 11	543970	120.49	Si	
-428	29	-	677	1550	-22	-47	-1	SLV FO 11	48333	932.47	430	-200	-3828	SLV FO 11	543970	119.83	Si	
-506	21	-	677	350	-26	0	0	SLU 18	48333	1873.43	0	1773	183	SLU 18	543970	240.75	Si	
-506	22	-	677	500	-26	0	0	SLU 18	48333	1873.65	0	1773	110	SLU 18	543970	240.78	Si	
-506	23	-	677	650	-26	0	0	SLU 18	48333	1873.93	0	1773	76	SLU 18	543970	240.82	Si	
-506	24	-	677	800	-26	0	0	SLU 18	48333	1874.23	0	1773	62	SLU 18	543970	240.86	Si	
-506	25	-	677	950	-26	0	0	SLU 18	48333	1874.53	0	1772	58	SLU 18	543970	240.9	Si	
-506	26	-	677	1100	-26	0	0	SLU 18	48333	1874.81	0	1772	61	SLU 18	543970	240.93	Si	
-506	27	-	677	1250	-26	0	0	SLU 18	48333	1875.08	-1	1772	75	SLU 18	543970	240.97	Si	
-506	28	-	677	1400	-26	0	0	SLU 18	48333	1875.37	-1	1772	110	SLU 18	543970	241	Si	
-506	29	-	677	1550	-26	0	0	SLU 18	48333	1875.72	-1	1771	182	SLU 18	543970	241.05	Si	
-506	21	-	677	350	-18	29	0	SLD 9	48333	1417.37	2002	1219	-3917	SLD 9	543970	182.15	Si	
-506	22	-	677	500	-17	29	0	SLD 9	48333	1426.59	2002	1190	-3951	SLD 9	543970	183.33	Si	
-506	23	-	677	650	-17	29	0	SLD 9	48333	1435.79	2002	1161	-3962	SLD 9	543970	184.51	Si	
-506	24	-	677	800	-16	29	0	SLD 9	48333	1444.95	2002	1131	-3954	SLD 9	543970	185.69	Si	
-506	25	-	677	950	-16	-29	0	SLD 11	48333	1453.57	-2003	1102	-3929	SLD 11	543970	186.8	Si	
-506	26	-	677	1100	-16	-29	0	SLD 11	48333	1444.87	-2002	1131	-3954	SLD 11	543970	185.68	Si	
-506	27	-	677	1250	-17	-29	0	SLD 11	48333	1435.81	-2002	1160	-3962	SLD 11	543970	184.52	Si	
-506	28	-	677	1400	-17	-29	0	SLD 11	48333	1426.72	-2002	1189	-3952	SLD 11	543970	183.35	Si	
-506	29	-	677	1550	-18	-29	0	SLD 11	48333	1417.6	-2002	1218	-3917	SLD 11	543970	182.18	Si	
-506	21	-	677	350	-22	47	1	SLV FO 9	48333	932.39	3230	1504	-3875	SLV FO 9	543970	119.82	Si	
-506	22	-	677	500	-21	47	1	SLV FO 9	48333	937.58	3230	1457	-3882	SLV FO 9	543970	120.49	Si	
-506	23	-	677	650	-20	47	1	SLV FO 9	48333	942.7	3230	1409	-3868	SLV FO 9	543970	121.15	Si	
-506	24	-	677	800	-20	47	1	SLV FO 9	48333	947.74	3230	1362	-3837	SLV FO 9	543970	121.79	Si	
-506	25	-	677	950	-19	-47	-1	SLV FO 11	48333	952.38	-3231	1314	-3790	SLV FO 11	543970	122.39	Si	
-506	26	-	677	1100	-20	-47	-1	SLV FO 11	48333	947.69	-3231	1361	-3837	SLV FO 11	543970	121.79	Si	
-506	27	-	677	1250	-20	-47	-1	SLV FO 11	48333	942.7	-3231	1408	-3868	SLV FO 11	543970	121.15	Si	
-506	28	-	677	1400	-21	-47	-1	SLV FO 11	48333	937.62	-3231	1456	-3883	SLV FO 11	543970	120.49	Si	
-506	29	-	677	1550	-22	-47	-1	SLV FO 11	48333	932.47	-3231	1503	-3875	SLV FO 11	543970	119.83	Si	
-584	21	-	677	350	12	0	0	SLU 18	48333	4138.89	0	1002	124	SLU 18	543970	291.13	Si	
-584	22	-	677	500	12	0	0	SLU 18	48333	4139.38	0	1002	83	SLU 18	543970	291.17	Si	
-584	23	-	677	650	12	0	0	SLU 18	48333	4140	0	1002	63	SLU 18	543970	291.21	Si	
-584	24	-	677	800	12	0	0	SLU 18	48333	4140.67	0	1001	55	SLU 18	543970	291.26	Si	
-584	25	-	677	950	12	0	0	SLU 18	48333	4141.32	0	1001	53	SLU 18	543970	291.31	Si	
-584	26	-	677	1100	12	0	0	SLU 18	48333	4141.94	0	1001	55	SLU 18	543970	291.35	Si	
-584	27	-	677	1250	12	0	0	SLU 18	48333	4142.54	0	1001	63	SLU 18	543970	291.39	Si	
-584	28	-	677	1400	12	0	0	SLU 18	48333	4143.16	0	1001	83	SLU 18	543970	291.44	Si	
-584	29	-	677	1550	12	0	0	SLU 18	48333	4143.96	0	1001	124	SLU 18	543970	291.49	Si	
-584	21	-	677	350	8	-13	0	SLD 9	48333	3131.34	1131	689	-2211	SLD 9	543970	220.26	Si	
-584	22	-	677	500	8	-13	0	SLD 9	48333	3151.71	1131	672	-2230	SLD 9	543970	221.7	Si	
-584	23	-	677	650	8	-13	0	SLD 9	48333	3172.03	1131	656	-2237	SLD 9	543970	223.12	Si	
-584	24	-	677	800	7	-13	0	SLD 9	48333	3192.27	1131	639	-2232	SLD 9	543970	224.55	Si	
-584	25	-	677	950	7	13	0	SLD 11	48333	3211.32	-1131	622	-2218	SLD 11	543970	225.89	Si	
-584	26	-	677	1100	7	13	0	SLD 11	48333	3192.1	-1131	639	-2232	SLD 11	543970	224.54	Si	
-584	27	-	677	1250	8	13	0	SLD 11	48333									

Interventi di miglioramento della diga di Cepparello nel Comune di Poggibonsi (SI)

ET.09.4 – Tabulati di calcolo_Canali fagatori con fondazioni su pali

Posizione					Taglio							PressoFlessione					Verifica
Quota	Filo	Ind.	Xp	Yp	Tx	Ty	Mt	Comb.	Vrd	C.S.tt	Mx	My	N	Comb.	Mrd	C.S.pf	Verifica
-662	21	-	677	350	8	-13	0	SLD 9	48333	3131.34	104	63	-2258	SLD 9	543970	220.26	Si
-662	22	-	677	500	8	-13	0	SLD 9	48333	3151.71	104	62	-2277	SLD 9	543970	221.7	Si
-662	23	-	677	650	8	-13	0	SLD 9	48333	3172.03	104	60	-2283	SLD 9	543970	223.12	Si
-662	24	-	677	800	7	-13	0	SLD 9	48333	3192.27	104	59	-2279	SLD 9	543970	224.55	Si
-662	25	-	677	950	7	13	0	SLD 11	48333	3211.32	-104	57	-2264	SLD 11	543970	225.89	Si
-662	26	-	677	1100	7	13	0	SLD 11	48333	3192.1	-104	59	-2279	SLD 11	543970	224.54	Si
-662	27	-	677	1250	8	13	0	SLD 11	48333	3172.08	-104	60	-2284	SLD 11	543970	223.13	Si
-662	28	-	677	1400	8	13	0	SLD 11	48333	3151.99	-104	62	-2277	SLD 11	543970	221.71	Si
-662	29	-	677	1550	8	13	0	SLD 11	48333	3131.84	-104	63	-2258	SLD 11	543970	220.3	Si
-662	21	-	677	350	10	-21	0	SLV FO 9	48333	2059.9	168	78	-2234	SLV FO 9	543970	144.9	Si
-662	22	-	677	500	10	-21	0	SLV FO 9	48333	2071.37	168	76	-2238	SLV FO 9	543970	145.7	Si
-662	23	-	677	650	9	-21	0	SLV FO 9	48333	2082.68	168	73	-2230	SLV FO 9	543970	146.5	Si
-662	24	-	677	800	9	-21	0	SLV FO 9	48333	2093.81	168	71	-2212	SLV FO 9	543970	147.28	Si
-662	25	-	677	950	9	21	0	SLV FO 11	48333	2104.05	-168	68	-2186	SLV FO 11	543970	148	Si
-662	26	-	677	1100	9	21	0	SLV FO 11	48333	2093.7	-168	71	-2212	SLV FO 11	543970	147.27	Si
-662	27	-	677	1250	9	21	0	SLV FO 11	48333	2082.66	-168	73	-2230	SLV FO 11	543970	146.5	Si
-662	28	-	677	1400	10	21	0	SLV FO 11	48333	2071.44	-168	76	-2238	SLV FO 11	543970	145.71	Si
-662	29	-	677	1550	10	21	0	SLV FO 11	48333	2060.08	-168	78	-2234	SLV FO 11	543970	144.91	Si
-740	21	-	677	350	0	0	0	SLU 1	48333	10000	0	0	-583	SLU 1	543970	10000	Si
-740	22	-	677	500	0	0	0	SLU 1	48333	10000	0	0	-594	SLU 1	543970	10000	Si
-740	23	-	677	650	0	0	0	SLU 1	48333	10000	0	0	-602	SLU 1	543970	10000	Si
-740	24	-	677	800	0	0	0	SLU 1	48333	10000	0	0	-606	SLU 1	543970	10000	Si
-740	25	-	677	950	0	0	0	SLU 1	48333	10000	0	0	-608	SLU 1	543970	10000	Si
-740	26	-	677	1100	0	0	0	SLU 1	48333	10000	0	0	-606	SLU 1	543970	10000	Si
-740	27	-	677	1250	0	0	0	SLU 1	48333	10000	0	0	-602	SLU 1	543970	10000	Si
-740	28	-	677	1400	0	0	0	SLU 1	48333	10000	0	0	-594	SLU 1	543970	10000	Si
-740	29	-	677	1550	0	0	0	SLU 1	48333	10000	0	0	-583	SLU 1	543970	10000	Si
-740	21	-	677	350	0	0	0	SLD 1	48333	10000	0	0	-665	SLD 1	543970	10000	Si
-740	22	-	677	500	0	0	0	SLD 1	48333	10000	0	0	-673	SLD 1	543970	10000	Si
-740	23	-	677	650	0	0	0	SLD 1	48333	10000	0	0	-678	SLD 1	543970	10000	Si
-740	24	-	677	800	0	0	0	SLD 1	48333	10000	0	0	-681	SLD 1	543970	10000	Si
-740	25	-	677	950	0	0	0	SLD 1	48333	10000	0	0	-681	SLD 1	543970	10000	Si
-740	26	-	677	1100	0	0	0	SLD 1	48333	10000	0	0	-678	SLD 1	543970	10000	Si
-740	27	-	677	1250	0	0	0	SLD 1	48333	10000	0	0	-672	SLD 1	543970	10000	Si
-740	28	-	677	1400	0	0	0	SLD 1	48333	10000	0	0	-663	SLD 1	543970	10000	Si
-740	29	-	677	1550	0	0	0	SLD 1	48333	10000	0	0	-650	SLD 1	543970	10000	Si
-740	21	-	677	350	0	0	0	SLV FO 1	48333	10000	0	0	-737	SLV FO 1	543970	10000	Si
-740	22	-	677	500	0	0	0	SLV FO 1	48333	10000	0	0	-743	SLV FO 1	543970	10000	Si
-740	23	-	677	650	0	0	0	SLV FO 1	48333	10000	0	0	-747	SLV FO 1	543970	10000	Si
-740	24	-	677	800	0	0	0	SLV FO 1	48333	10000	0	0	-749	SLV FO 1	543970	10000	Si
-740	25	-	677	950	0	0	0	SLV FO 1	48333	10000	0	0	-748	SLV FO 1	543970	10000	Si
-740	26	-	677	1100	0	0	0	SLV FO 1	48333	10000	0	0	-744	SLV FO 1	543970	10000	Si
-740	27	-	677	1250	0	0	0	SLV FO 1	48333	10000	0	0	-737	SLV FO 1	543970	10000	Si
-740	28	-	677	1400	0	0	0	SLV FO 1	48333	10000	0	0	-727	SLV FO 1	543970	10000	Si
-740	29	-	677	1550	0	0	0	SLV FO 1	48333	10000	0	0	-715	SLV FO 1	543970	10000	Si

Verifica di capacità portante per la famiglia SLU

Verifica di capacità portante verticale riferita al palo singolo

Fattore di correlazione ψ scelto in base alla conoscenza del sito = 1.7

Peso del palo = 876.2 * 1.3

Filo	Ind.	Xp	Yp	yR laterale	yR punta	Pl,d	Pp,d	Def.vol	Comb.	Cnd	N	Ed	Rd	C.S.	Verifica
21	-	677	350.11	1.15	1.35	30654	24845		SLU 14	lungo	-33342	-34481	55499	1.61	Si
22	-	677	500.11	1.15	1.35	30654	24845		SLU 14	lungo	-33818	-34957	55499	1.59	Si
23	-	677	650.11	1.15	1.35	30654	24845		SLU 14	lungo	-34166	-35305	55499	1.57	Si
24	-	677	800.11	1.15	1.35	30654	24845		SLU 14	lungo	-34370	-35509	55499	1.56	Si
25	-	677	950.11	1.15	1.35	30654	24845		SLU 14	lungo	-34436	-35575	55499	1.56	Si
26	-	677	1100.11	1.15	1.35	30654	24845		SLU 14	lungo	-34368	-35507	55499	1.56	Si
27	-	677	1250.11	1.15	1.35	30654	24845		SLU 14	lungo	-34163	-35302	55499	1.57	Si
28	-	677	1400.11	1.15	1.35	30654	24845		SLU 14	lungo	-33813	-34952	55499	1.59	Si
29	-	677	1550.11	1.15	1.35	30654	24845		SLU 14	lungo	-33334	-34474	55499	1.61	Si

Verifica di capacità portante trasversale riferita al palo singolo

Fattore di correlazione ψ scelto in base alla conoscenza del sito = 1.7

Filo	Ind.	Xp	Yp	yR trasversale	LRP	Comb.	Cnd	Rd	Ed (T)	C.S.	Verifica
21	-	677	350.11	1.3	1	SLU 18	D	8730.5	660.3	13.22	Si
22	-	677	500.11	1.3	1	SLU 18	D	8730.5	660.3	13.22	Si
23	-	677	650.11	1.3	1	SLU 18	D	8730.5	660.2	13.22	Si
24	-	677	800.11	1.3	1	SLU 18	D	8730.5	660	13.23	Si
25	-	677	950.11	1.3	1	SLU 18	D	8730.5	659.9	13.23	Si
26	-	677	1100.11	1.3	1	SLU 18	D	8730.5	659.8	13.23	Si
27	-	677	1250.11	1.3	1	SLU 18	D	8730.5	659.8	13.23	Si
28	-	677	1400.11	1.3	1	SLU 18	D	8730.5	659.6	13.24	Si
29	-	677	1550.11	1.3	1	SLU 18	D	8730.5	659.5	13.24	Si

Parametri utilizzati nel calcolo

Filo	Ind.	Xp	Yp	Tipo	L.fr.s.	L.tr.lib.	L.tr.inf.	Co.es.	Fi	P.spec	T max	Mecc.coll.	M.plast.sup.	Quota sup.	N sup.	M.plast.inf.	Quota inf.	N inf.
21	-	677	350.11	TL	22	0	750		36	0.0014	19294	PLL	4232901	-359.1	240			
22	-	677	500.11	TL	22	0	750		36	0.0014	19294	PLL	4232901	-359.1	240			
23	-	677	650.11	TL	22	0	750		36	0.0014	19294	PLL	4232901	-359.1	240			
24	-	677	800.11	TL	22	0	750		36	0.0014	19294	PLL	4232901	-359.1	240			
25	-	677	950.11	TL	22	0	750		36	0.0014	19294	PLL	4232901	-359.1	240			
26	-	677	1100.11	TL	22	0	750		36	0.0014	19294	PLL	4232901	-359.1	240			
27	-	677	1250.11	TL	22	0	750		36	0.0014	19294	PLL	4232901	-359.1	240			
28	-	677	1400.11	TL	22	0	750		36	0.0014	19294	PLL	4232901	-359.1	240			
29	-	677	1550.11	TL	22	0	750		36	0.0014	19294	PLL	4232901	-359.1	240			

Verifica di capacità portante per la famiglia SLD

Verifica di capacità portante verticale riferita al palo singolo

Fattore di correlazione ψ scelto in base alla conoscenza del sito = 1.7

Peso del palo = 876.2 * 1

Filo	Ind.	Xp	Yp	yR laterale	yR punta	Pl,d	Pp,d	Def.vol	Comb.	Cnd	N	Ed	Rd	C.S.	Verifica
21	-	677	350.11	1.15	1.35	30654	24845		SLD 1	lungo	-9928	-10804	55499	5.14	Si
22	-	677	500.11	1.15	1.35	30654	24845		SLD 1	lungo	-10054	-10931	55499	5.08	Si
23	-	677	650.11	1.15	1.35	30654	24845		SLD 1	lungo	-10138	-11014	55499	5.04	Si
24	-	677	800.11	1.15	1.35	30654	24845		SLD 1	lungo	-10178	-11054	55499	5.02	Si
25	-	677													

Interventi di miglioramento della diga di Cepparello nel Comune di Poggibonsi (SI)

ET.09.4 – Tabulati di calcolo_Canali fagatori con fondazioni su pali

Filo	Ind.	Xp	Yp	yR laterale	yR punta	Pl,d	Pp,d	Def.vol	Comb.	Cnd	N	Ed	Rd	C.S.	Verifica
28	-	677	1400.11	1.15	1.35	30654	24845		SLD 3	lungo	-10053	-10930	55499	5.08	Si
29	-	677	1550.11	1.15	1.35	30654	24845		SLD 3	lungo	-9927	-10803	55499	5.14	Si

Verifica di capacità portante per la famiglia SLV FO

Verifica di capacità portante verticale riferita al palo singolo

Fattore di correlazione ψ scelto in base alla conoscenza del sito = 1.7

Peso del palo = 876.2 * 1

Filo	Ind.	Xp	Yp	yR laterale	yR punta	Pl,d	Pp,d	Def.vol	Comb.	Cnd	N	Ed	Rd	C.S.	Verifica
21	-	677	350.11	1.15	1.35	30654	24845		SLV FO 1	lungo	-11057	-11934	55499	4.65	Si
22	-	677	500.11	1.15	1.35	30654	24845		SLV FO 1	lungo	-11146	-12022	55499	4.62	Si
23	-	677	650.11	1.15	1.35	30654	24845		SLV FO 1	lungo	-11206	-12083	55499	4.59	Si
24	-	677	800.11	1.15	1.35	30654	24845		SLV FO 1	lungo	-11230	-12107	55499	4.58	Si
25	-	677	950.11	1.15	1.35	30654	24845		SLV FO 3	lungo	-11214	-12090	55499	4.59	Si
26	-	677	1100.11	1.15	1.35	30654	24845		SLV FO 3	lungo	-11229	-12106	55499	4.58	Si
27	-	677	1250.11	1.15	1.35	30654	24845		SLV FO 3	lungo	-11205	-12081	55499	4.59	Si
28	-	677	1400.11	1.15	1.35	30654	24845		SLV FO 3	lungo	-11144	-12020	55499	4.62	Si
29	-	677	1550.11	1.15	1.35	30654	24845		SLV FO 3	lungo	-11055	-11931	55499	4.65	Si

Verifica di capacità portante trasversale riferita al palo singolo

Fattore di correlazione ψ scelto in base alla conoscenza del sito = 1.7

Filo	Ind.	Xp	Yp	yR trasversale	LRF	Comb.	Cnd	Rd	Ed (T)	C.S.	Verifica
21	-	677	350.11	1.3	1	SLV FO 9	D	8730.5	1326.8	6.58	Si
22	-	677	500.11	1.3	1	SLV FO 9	D	8730.5	1319.4	6.62	Si
23	-	677	650.11	1.3	1	SLV FO 9	D	8730.5	1312.3	6.65	Si
24	-	677	800.11	1.3	1	SLV FO 9	D	8730.5	1305.3	6.69	Si
25	-	677	950.11	1.3	1	SLV FO 11	D	8730.5	1298.9	6.72	Si
26	-	677	1100.11	1.3	1	SLV FO 11	D	8730.5	1305.4	6.69	Si
27	-	677	1250.11	1.3	1	SLV FO 11	D	8730.5	1312.3	6.65	Si
28	-	677	1400.11	1.3	1	SLV FO 11	D	8730.5	1319.4	6.62	Si
29	-	677	1550.11	1.3	1	SLV FO 11	D	8730.5	1326.7	6.58	Si

Parametri utilizzati nel calcolo

Filo	Ind.	Xp	Yp	Tipo	L.frs.	L.tr.lib.	L.tr.inf.	Coes.	Fi	P.spec	T max	Mecc.coll.	M.plast.sup.	Quota sup.	N sup.	M.plast.inf.	Quota inf.	N inf.
21	-	677	350.11	TL	22	0	750		36	0.0014	19294	PLL	4232894	-359.1	-3830			
22	-	677	500.11	TL	22	0	750		36	0.0014	19294	PLL	4232894	-359.1	-3830			
23	-	677	650.11	TL	22	0	750		36	0.0014	19294	PLL	4232894	-359.1	-3830			
24	-	677	800.11	TL	22	0	750		36	0.0014	19294	PLL	4232894	-359.1	-3830			
25	-	677	950.11	TL	22	0	750		36	0.0014	19294	PLL	4232907	-359.1	-3831			
26	-	677	1100.11	TL	22	0	750		36	0.0014	19294	PLL	4232907	-359.1	-3831			
27	-	677	1250.11	TL	22	0	750		36	0.0014	19294	PLL	4232907	-359.1	-3831			
28	-	677	1400.11	TL	22	0	750		36	0.0014	19294	PLL	4232907	-359.1	-3831			
29	-	677	1550.11	TL	22	0	750		36	0.0014	19294	PLL	4232907	-359.1	-3831			

9 pali "Micropalo D139.7x10 perf 220" gruppo 4 "PALI DI MONTE SFIORATORE SX"

Verifiche effettuate secondo D.M. 17-01-18 (N.T.C.)

Geometria

varia

-930

Pali coinvolti

Palo a coordinate x,y: (1030, 500.1)[filo 31];(1030, 650.1)[filo 32];(1030, 800.1)[filo 33];(1030, 950.1)[filo 34];(1030, 1100.1)[filo 35];(1030, 1250.1)[filo 36];(1030, 1400.1)[filo 37];(1030, 1550.1)[filo 38];(1030, 350.1)[filo 30];

Caratteristiche geometriche

Tubo in acciaio EN10219 139.7x10

Diametro tubo 140 mm

Spessore tubo 10 mm

Lunghezza 900 cm

Caratteristiche dei materiali

Calcestruzzo C25/30

Acciaio S355

Verifiche secondo DM18

Posizione					Taglio							PressoFlessione					Verifica	
Quota	Filo	Ind.	Xp	Yp	Tx	Ty	Mt	SLU	Comb.	Vrd	C.S.tt	Mx	My	N	Comb.	Mrd	C.S.pf	
0	30	-	1030	350	617	0	0	SLU 18	48333	78.31	0	0	0	-8934	SLU 1	543970	10000	Si
0	31	-	1030	500	617	0	0	SLU 18	48333	78.31	0	0	0	-8966	SLU 1	543970	10000	Si
0	32	-	1030	650	617	0	0	SLU 18	48333	78.32	0	0	0	-8986	SLU 1	543970	10000	Si
0	33	-	1030	800	617	0	0	SLU 18	48333	78.33	0	0	0	-8998	SLU 1	543970	10000	Si
0	34	-	1030	950	617	0	0	SLU 18	48333	78.34	0	0	0	-9003	SLU 1	543970	10000	Si
0	35	-	1030	1100	617	0	0	SLU 18	48333	78.36	0	0	0	-8998	SLU 1	543970	10000	Si
0	36	-	1030	1250	617	1	0	SLU 18	48333	78.37	0	0	0	-8986	SLU 1	543970	10000	Si
0	37	-	1030	1400	617	1	0	SLU 18	48333	78.39	0	0	0	-8966	SLU 1	543970	10000	Si
0	38	-	1030	1550	616	1	0	SLU 18	48333	78.41	0	0	0	-8934	SLU 1	543970	10000	Si
0	30	-	1030	350	425	-675	7	SLD 9	48332	60.6	0	0	0	-8639	SLD 1	543970	10000	Si
0	31	-	1030	500	415	-675	7	SLD 9	48332	61.01	0	0	0	-8622	SLD 1	543970	10000	Si
0	32	-	1030	650	404	-675	7	SLD 9	48332	61.42	0	0	0	-8598	SLD 1	543970	10000	Si
0	33	-	1030	800	394	-675	7	SLD 9	48332	61.87	0	0	0	-8567	SLD 1	543970	10000	Si
0	34	-	1030	950	384	675	-7	SLD 11	48334	62.24	0	0	0	-8529	SLD 1	543970	10000	Si
0	35	-	1030	1100	394	675	-7	SLD 11	48334	61.83	0	0	0	-8482	SLD 1	543970	10000	Si
0	36	-	1030	1250	404	675	-7	SLD 11	48334	61.41	0	0	0	-8428	SLD 1	543970	10000	Si
0	37	-	1030	1400	414	675	-7	SLD 11	48334	61	0	0	0	-8365	SLD 1	543970	10000	Si
0	38	-	1030	1550	424	675	-7	SLD 11	48334	60.6	0	0	0	-8293	SLD 1	543970	10000	Si
0	30	-	1030	350	524	-1089	11	SLV FO 9	48332	39.99	0	0	0	-8480	SLV FO 1	543970	10000	Si
0	31	-	1030	500	508	-1089	11	SLV FO 9	48332	40.22	0	0	0	-8433	SLV FO 1	543970	10000	Si
0	32	-	1030	650	491	-1089	11	SLV FO 9	48332	40.45	0	0	0	-8381	SLV FO 1	543970	10000	Si
0	33	-	1030	800	474	-1089	11	SLV FO 9	48332	40.7	0	0	0	-8323	SLV FO 1	543970	10000	Si
0	34	-	1030	950	458	1089	-11	SLV FO 11	48334	40.9	0	0	0	-8259	SLV FO 1	543970	10000	Si
0	35	-	1030	1100	474	1089	-11	SLV FO 11	48334	40.68	0	0	0	-8187	SLV FO 1	543970	10000	Si
0	36	-	1030	1250	491	1090	-11	SLV FO 11	48334	40.45	0	0	0	-8107	SLV FO 1	543970	10000	Si
0	37	-	1030	1400	507	1090	-11	SLV FO 11	48334	40.22	0	0	0	-8019	SLV FO 1	543970	10000	Si
0	38	-	1030	1550	523	1090	-11	SLV FO 11	48334	39.98	0	0	0	-7921	SLV FO 1	543970	10000	Si
-94	30	-	1030	350	-171	0	0	SLU 18	48333	282.35	-5	-41775	-3496	SLU 18	543970	12.02	Si	
-94	31	-	1030	500	-171	0	0	SLU 18	48333	282.35	1	-41775	-3516	SLU 18	543970	12.02	Si	

Interventi di miglioramento della diga di Cepparello nel Comune di Poggibonsi (SI)

ET.09.4 – Tabulati di calcolo_Canali fugadori con fondazioni su pali

Posizione					Taglio							Pressoflessione							Verifica
Quota	Filo	Ind.	Xp	Yp	Tx	Ty	Mt	Comb.	Vrd	C.S.tt	Mx	My	N	Comb.	Mrd	C.S.pf			
-94	32	-	1030	650	-171	0	0	SLU 18	48333	282.38	8	-41771	-3527	SLU 18	543970	12.02	Si		
-94	33	-	1030	800	-171	0	0	SLU 18	48333	282.42	15	-41765	-3533	SLU 18	543970	12.02	Si		
-94	34	-	1030	950	-171	0	0	SLU 18	48333	282.46	22	-41759	-3536	SLU 18	543970	12.02	Si		
-94	35	-	1030	1100	-171	0	0	SLU 18	48333	282.5	29	-41752	-3534	SLU 18	543970	12.03	Si		
-94	36	-	1030	1250	-171	0	0	SLU 18	48333	282.55	36	-41746	-3528	SLU 18	543970	12.03	Si		
-94	37	-	1030	1400	-171	0	0	SLU 18	48333	282.61	43	-41737	-3517	SLU 18	543970	12.03	Si		
-94	38	-	1030	1550	-171	0	0	SLU 18	48333	282.69	49	-41724	-3498	SLU 18	543970	12.03	Si		
-94	30	-	1030	350	-118	187	3	SLD 9	48333	218.47	-45699	-28747	-7947	SLD 9	543970	9.3	Si		
-94	31	-	1030	500	-115	187	3	SLD 9	48333	219.96	-45696	-28061	-7851	SLD 9	543970	9.36	Si		
-94	32	-	1030	650	-112	187	3	SLD 9	48333	221.46	-45691	-27370	-7749	SLD 9	543970	9.43	Si		
-94	33	-	1030	800	-109	187	3	SLD 9	48333	223.05	-45660	-26676	-7642	SLD 9	543970	9.49	Si		
-94	34	-	1030	950	-106	-187	-3	SLD 11	48333	224.38	45697	-25985	-7530	SLD 11	543970	9.55	Si		
-94	35	-	1030	1100	-109	-187	-3	SLD 11	48333	222.9	45705	-26671	-7643	SLD 11	543970	9.49	Si		
-94	36	-	1030	1250	-112	-187	-3	SLD 11	48333	221.41	45711	-27358	-7749	SLD 11	543970	9.43	Si		
-94	37	-	1030	1400	-115	-187	-3	SLD 11	48333	219.93	45717	-28041	-7852	SLD 11	543970	9.36	Si		
-94	38	-	1030	1550	-118	-187	-3	SLD 11	48333	218.46	45720	-28720	-7947	SLD 11	543970	9.3	Si		
-94	30	-	1030	350	-145	302	4	SLV FO 9	48333	144.16	-73732	-35463	-8304	SLV FO 9	543970	6.14	Si		
-94	31	-	1030	500	-141	302	4	SLV FO 9	48333	145.01	-73730	-34353	-8134	SLV FO 9	543970	6.17	Si		
-94	32	-	1030	650	-136	302	4	SLV FO 9	48333	145.85	-73726	-33236	-7959	SLV FO 9	543970	6.21	Si		
-94	33	-	1030	800	-132	302	4	SLV FO 9	48333	146.75	-73680	-32117	-7780	SLV FO 9	543970	6.25	Si		
-94	34	-	1030	950	-127	-302	-4	SLV FO 11	48334	147.46	73736	-31003	-7597	SLV FO 11	543970	6.28	Si		
-94	35	-	1030	1100	-132	-302	-4	SLV FO 11	48334	146.65	73743	-32111	-7780	SLV FO 11	543970	6.24	Si		
-94	36	-	1030	1250	-136	-302	-4	SLV FO 11	48334	145.83	73749	-33222	-7959	SLV FO 11	543970	6.21	Si		
-94	37	-	1030	1400	-141	-302	-4	SLV FO 11	48334	144.99	73753	-34329	-8135	SLV FO 11	543970	6.17	Si		
-94	38	-	1030	1550	-145	-302	-4	SLV FO 11	48334	144.15	73755	-35430	-8305	SLV FO 11	543970	6.14	Si		
-187	30	-	1030	350	-171	0	0	SLU 18	48333	282.35	-3	-25738	-3570	SLU 18	543970	12.02	Si		
-187	31	-	1030	500	-171	0	0	SLU 18	48333	282.35	0	-25738	-3589	SLU 18	543970	12.02	Si		
-187	32	-	1030	650	-171	0	0	SLU 18	48333	282.38	5	-25736	-3600	SLU 18	543970	12.02	Si		
-187	33	-	1030	800	-171	0	0	SLU 18	48333	282.42	9	-25732	-3606	SLU 18	543970	12.02	Si		
-187	34	-	1030	950	-171	0	0	SLU 18	48333	282.46	13	-25728	-3609	SLU 18	543970	12.02	Si		
-187	35	-	1030	1100	-171	0	0	SLU 18	48333	282.5	18	-25724	-3607	SLU 18	543970	12.03	Si		
-187	36	-	1030	1250	-171	0	0	SLU 18	48333	282.55	22	-25720	-3601	SLU 18	543970	12.03	Si		
-187	37	-	1030	1400	-171	0	0	SLU 18	48333	282.61	26	-25715	-3590	SLU 18	543970	12.03	Si		
-187	38	-	1030	1550	-171	0	0	SLU 18	48333	282.69	30	-25707	-3571	SLU 18	543970	12.03	Si		
-187	30	-	1030	350	-118	187	3	SLD 9	48333	218.47	-28156	-17711	-8003	SLD 9	543970	9.3	Si		
-187	31	-	1030	500	-115	187	3	SLD 9	48333	219.96	-28154	-17289	-7908	SLD 9	543970	9.36	Si		
-187	32	-	1030	650	-112	187	3	SLD 9	48333	221.46	-28151	-16863	-7805	SLD 9	543970	9.43	Si		
-187	33	-	1030	800	-109	187	3	SLD 9	48333	223.05	-28131	-16435	-7699	SLD 9	543970	9.49	Si		
-187	34	-	1030	950	-106	-187	-3	SLD 11	48333	224.38	28154	-16009	-7587	SLD 11	543970	9.55	Si		
-187	35	-	1030	1100	-109	-187	-3	SLD 11	48333	222.9	28159	-16432	-7699	SLD 11	543970	9.49	Si		
-187	36	-	1030	1250	-112	-187	-3	SLD 11	48333	221.41	28163	-16855	-7806	SLD 11	543970	9.43	Si		
-187	37	-	1030	1400	-115	-187	-3	SLD 11	48333	219.93	28167	-17276	-7908	SLD 11	543970	9.36	Si		
-187	38	-	1030	1550	-118	-187	-3	SLD 11	48333	218.46	28168	-17694	-8004	SLD 11	543970	9.3	Si		
-187	30	-	1030	350	-145	302	4	SLV FO 9	48333	144.16	-45427	-21849	-8360	SLV FO 9	543970	6.14	Si		
-187	31	-	1030	500	-141	302	4	SLV FO 9	48333	145.01	-45426	-21165	-8190	SLV FO 9	543970	6.17	Si		
-187	32	-	1030	650	-136	302	4	SLV FO 9	48333	145.85	-45423	-20477	-8015	SLV FO 9	543970	6.21	Si		
-187	33	-	1030	800	-132	302	4	SLV FO 9	48333	146.75	-45395	-19787	-7836	SLV FO 9	543970	6.25	Si		
-187	34	-	1030	950	-127	-302	-4	SLV FO 11	48334	147.46	45429	-19101	-7654	SLV FO 11	543970	6.28	Si		
-187	35	-	1030	1100	-132	-302	-4	SLV FO 11	48334	146.65	45434	-19784	-7837	SLV FO 11	543970	6.24	Si		
-187	36	-	1030	1250	-136	-302	-4	SLV FO 11	48334	145.83	45437	-20468	-8015	SLV FO 11	543970	6.21	Si		
-187	37	-	1030	1400	-141	-302	-4	SLV FO 11	48334	144.99	45440	-21150	-8191	SLV FO 11	543970	6.17	Si		
-187	38	-	1030	1550	-145	-302	-4	SLV FO 11	48334	144.15	45441	-21829	-8361	SLV FO 11	543970	6.14	Si		
-281	30	-	1030	350	-133	0	0	SLU 18	48333	363.19	-2	-12027	-2836	SLU 18	543970	26.99	Si		
-281	31	-	1030	500	-133	0	0	SLU 18	48333	363.19	0	-12027	-2852	SLU 18	543970	26.99	Si		
-281	32	-	1030	650	-133	0	0	SLU 18	48333	363.22	2	-12026	-2861	SLU 18	543970	27	Si		
-281	33	-	1030	800	-133	0	0	SLU 18	48333	363.28	4	-12024	-2866	SLU 18	543970	27	Si		
-281	34	-	1030	950	-133	0	0	SLU 18	48333	363.33	6	-12023	-2867	SLU 18	543970	27	Si		
-281	35	-	1030	1100	-133	0	0	SLU 18	48333	363.39	8	-12021	-2866	SLU 18	543970	27.01	Si		
-281	36	-	1030	1250	-133	0	0	SLU 18	48333	363.45	10	-12019	-2861	SLU 18	543970	27.01	Si		
-281	37	-	1030	1400	-133	0	0	SLU 18	48333	363.52	12	-12016	-2853	SLU 18	543970	27.02	Si		
-281	38	-	1030	1550	-133	0	0	SLU 18	48333	363.63	14	-12013	-2837	SLU 18	543970	27.03	Si		
-281	30	-	1030	350	-92	146	1	SLD 9	48333	281.03	-13157	-8276	-6399	SLD 9	543970	20.89	Si		
-281	31	-	1030	500	-89	146	1	SLD 9	48333	282.94	-13156	-8079	-6323	SLD 9	543970	21.03	Si		
-281	32	-	1030	650	-87	146	1	SLD 9	48333	284.86	-13155	-7880	-6241	SLD 9	543970	21.17	Si		
-281	33	-	1030	800	-85	145	1	SLD 9	48333	286.91	-13146	-7680	-6155	SLD 9	543970	21.32	Si		
-281	34	-	1030	950	-83	-146	-1	SLD 11	48333	288.62	13156	-7481	-6065	SLD 11	543970	21.45	Si		
-281	35	-	1030	1100	-85	-146	-1	SLD 11	48333	286.72	13159	-7679	-6155	SLD 11	543970	21.31	Si		
-281	36	-	1030	1250	-87	-146	-1	SLD 11	48333	284.81	13161	-7876	-6241	SLD 11	543970	21.17	Si		
-281	37	-	1030	1400	-89	-146	-1	SLD 11	48333	282.9	13162	-8073	-6323	SLD 11	543970	21.03	Si		
-281	38	-	1030	1550	-91	-146	-1	SLD 11	48333	281.01	13163	-8268	-6400	SLD 11	543970	20.89	Si		
-281	30	-	1030	350	-113	235	2	SLV FO 9	48333	185.44	-21228	-10210	-6686	SLV FO 9	543970	13.78	Si		
-281	31	-	1030	500	-109	235	2	SLV FO 9	48333	186.53	-21227	-9890	-6550	SLV FO 9	543970	13.86	Si		
-281	32	-	1030	650	-106	235	2	SLV FO 9	48333	187.61	-21226	-9569	-6409	SLV FO 9	543970	13.94	Si		
-281	33	-	1030	800	-102	235	2	SLV FO 9	48333	188.77	-21213	-9247	-6266	SLV FO 9	543970	14.03	Si		
-281	34	-	1030	950	-99	235	-2	SLV FO 11	48333	189.68	21229	-8926	-6119	SLV FO 11	543970	14.1	Si		
-281	35	-	1030	1100	-102	-235	-2	SLV FO 11	48333	188.64	21231	-9245	-6266	SLV FO 11	543970	14.02	Si		
-281	36	-																	

Interventi di miglioramento della diga di Cepparello nel Comune di Poggibonsi (SI)

ET.09.4 – Tabulati di calcolo_Canali fugatori con fondazioni su pali

Posizione					Taglio							PressoFlessione				Verifica	
Quota	Filo	Ind.	Xp	Yp	Tx	Ty	Mt	Comb.	Vrd	C.S.tt	Mx	My	N	Comb.	Mrd	C.S.pf	
-375	31	-	1030	500	-13	27	1	SLV FO 9	48333	1615.98	-900	-419	-4989	SLV FO 9	543970	440.82	Si
-375	32	-	1030	650	-12	27	1	SLV FO 9	48333	1625.35	-900	-406	-4882	SLV FO 9	543970	443.37	Si
-375	33	-	1030	800	-12	27	1	SLV FO 9	48333	1635.38	-899	-392	-4772	SLV FO 9	543970	446.11	Si
-375	34	-	1030	950	-11	-27	-1	SLV FO 11	48333	1643.3	900	-378	-4660	SLV FO 11	543970	448.27	Si
-375	35	-	1030	1100	-12	-27	-1	SLV FO 11	48333	1634.25	900	-392	-4772	SLV FO 11	543970	445.8	Si
-375	36	-	1030	1250	-12	-27	-1	SLV FO 11	48333	1625.05	900	-405	-4882	SLV FO 11	543970	443.29	Si
-375	37	-	1030	1400	-13	-27	-1	SLV FO 11	48333	1615.77	900	-419	-4990	SLV FO 11	543970	440.76	Si
-375	38	-	1030	1550	-13	-27	-1	SLV FO 11	48333	1606.44	900	-432	-5094	SLV FO 11	543970	438.21	Si
-515	30	-	1030	350	-15	0	0	SLU 18	48333	3146.46	0	1649	-2247	SLU 18	543970	858.3	Si
-515	31	-	1030	500	-15	0	0	SLU 18	48333	3146.46	0	1649	-2259	SLU 18	543970	858.3	Si
-515	32	-	1030	650	-15	0	0	SLU 18	48333	3146.77	0	1649	-2266	SLU 18	543970	858.39	Si
-515	33	-	1030	800	-15	0	0	SLU 18	48333	3147.24	-1	1648	-2270	SLU 18	543970	858.52	Si
-515	34	-	1030	950	-15	0	0	SLU 18	48333	3147.69	-1	1648	-2271	SLU 18	543970	858.64	Si
-515	35	-	1030	1100	-15	0	0	SLU 18	48333	3148.2	-1	1648	-2270	SLU 18	543970	858.78	Si
-515	36	-	1030	1250	-15	0	0	SLU 18	48333	3148.7	-1	1648	-2266	SLU 18	543970	858.92	Si
-515	37	-	1030	1400	-15	0	0	SLU 18	48333	3149.35	-2	1647	-2260	SLU 18	543970	859.09	Si
-515	38	-	1030	1550	-15	0	0	SLU 18	48333	3150.32	-2	1647	-2248	SLU 18	543970	859.36	Si
-515	30	-	1030	350	-11	17	0	SLD 9	48333	2434.66	1804	1135	-4959	SLD 9	543970	664.14	Si
-515	31	-	1030	500	-10	17	0	SLD 9	48333	2451.2	1804	1108	-4900	SLD 9	543970	668.65	Si
-515	32	-	1030	650	-10	17	0	SLD 9	48333	2467.9	1803	1080	-4837	SLD 9	543970	673.21	Si
-515	33	-	1030	800	-10	17	0	SLD 9	48333	2485.67	1802	1053	-4772	SLD 9	543970	678.05	Si
-515	34	-	1030	950	-10	-17	0	SLD 11	48333	2500.46	-1804	1026	-4703	SLD 11	543970	682.09	Si
-515	35	-	1030	1100	-10	-17	0	SLD 11	48333	2483.95	-1804	1053	-4772	SLD 11	543970	677.58	Si
-515	36	-	1030	1250	-10	-17	0	SLD 11	48333	2467.4	-1804	1080	-4838	SLD 11	543970	673.07	Si
-515	37	-	1030	1400	-10	-17	0	SLD 11	48333	2450.89	-1804	1107	-4901	SLD 11	543970	668.56	Si
-515	38	-	1030	1550	-11	-17	0	SLD 11	48333	2434.53	-1805	1134	-4959	SLD 11	543970	664.1	Si
-515	30	-	1030	350	-13	27	1	SLV FO 9	48333	1606.57	2910	1400	-5178	SLV FO 9	543970	438.25	Si
-515	31	-	1030	500	-13	27	1	SLV FO 9	48333	1615.98	2910	1356	-5074	SLV FO 9	543970	440.82	Si
-515	32	-	1030	650	-12	27	1	SLV FO 9	48333	1625.35	2910	1312	-4966	SLV FO 9	543970	443.37	Si
-515	33	-	1030	800	-12	27	1	SLV FO 9	48333	1635.38	2908	1268	-4856	SLV FO 9	543970	446.11	Si
-515	34	-	1030	950	-11	-27	-1	SLV FO 11	48333	1643.3	-2910	1224	-4744	SLV FO 11	543970	448.27	Si
-515	35	-	1030	1100	-12	-27	-1	SLV FO 11	48333	1634.25	-2911	1267	-4857	SLV FO 11	543970	445.8	Si
-515	36	-	1030	1250	-12	-27	-1	SLV FO 11	48333	1625.05	-2911	1311	-4966	SLV FO 11	543970	443.29	Si
-515	37	-	1030	1400	-13	-27	-1	SLV FO 11	48333	1615.77	-2911	1355	-5074	SLV FO 11	543970	440.76	Si
-515	38	-	1030	1550	-13	-27	-1	SLV FO 11	48333	1606.44	-2911	1398	-5179	SLV FO 11	543970	438.21	Si
-609	30	-	1030	350	7	0	0	SLU 18	48333	6794.29	0	1014	-1542	SLU 18	543970	325.65	Si
-609	31	-	1030	500	7	0	0	SLU 18	48333	6794.29	0	1014	-1551	SLU 18	543970	325.65	Si
-609	32	-	1030	650	7	0	0	SLU 18	48333	6794.97	0	1014	-1555	SLU 18	543970	325.69	Si
-609	33	-	1030	800	7	0	0	SLU 18	48333	6795.98	0	1014	-1558	SLU 18	543970	325.73	Si
-609	34	-	1030	950	7	0	0	SLU 18	48333	6796.94	-1	1014	-1559	SLU 18	543970	325.78	Si
-609	35	-	1030	1100	7	0	0	SLU 18	48333	6798.05	-1	1013	-1558	SLU 18	543970	325.83	Si
-609	36	-	1030	1250	7	0	0	SLU 18	48333	6799.13	-1	1013	-1556	SLU 18	543970	325.89	Si
-609	37	-	1030	1400	7	0	0	SLU 18	48333	6800.53	-1	1013	-1551	SLU 18	543970	325.95	Si
-609	38	-	1030	1550	7	0	0	SLU 18	48333	6802.62	-1	1013	-1543	SLU 18	543970	326.05	Si
-609	30	-	1030	350	5	-8	0	SLD 9	48333	5257.27	1109	698	-3427	SLD 9	543970	251.98	Si
-609	31	-	1030	500	5	-8	0	SLD 9	48333	5293	1109	681	-3386	SLD 9	543970	253.7	Si
-609	32	-	1030	650	5	-8	0	SLD 9	48333	5329.06	1109	664	-3342	SLD 9	543970	255.42	Si
-609	33	-	1030	800	5	-8	0	SLD 9	48333	5367.42	1108	647	-3297	SLD 9	543970	257.26	Si
-609	34	-	1030	950	4	8	0	SLD 11	48333	5399.35	-1109	631	-3249	SLD 11	543970	258.79	Si
-609	35	-	1030	1100	5	8	0	SLD 11	48333	5363.71	-1109	647	-3297	SLD 11	543970	257.09	Si
-609	36	-	1030	1250	5	8	0	SLD 11	48333	5327.96	-1109	664	-3342	SLD 11	543970	255.37	Si
-609	37	-	1030	1400	5	8	0	SLD 11	48333	5292.31	-1110	681	-3386	SLD 11	543970	253.66	Si
-609	38	-	1030	1550	5	8	0	SLD 11	48333	5257	-1110	697	-3427	SLD 11	543970	251.97	Si
-609	30	-	1030	350	6	-13	0	SLV FO 9	48333	3469.14	1790	861	-3579	SLV FO 9	543970	166.28	Si
-609	31	-	1030	500	6	-13	0	SLV FO 9	48333	3489.47	1790	834	-3506	SLV FO 9	543970	167.25	Si
-609	32	-	1030	650	6	-13	0	SLV FO 9	48333	3509.69	1789	807	-3432	SLV FO 9	543970	168.22	Si
-609	33	-	1030	800	5	-13	0	SLV FO 9	48333	3531.36	1788	780	-3356	SLV FO 9	543970	169.26	Si
-609	34	-	1030	950	5	13	0	SLV FO 11	48333	3548.45	-1790	752	-3278	SLV FO 11	543970	170.08	Si
-609	35	-	1030	1100	5	13	0	SLV FO 11	48333	3528.9	-1790	779	-3356	SLV FO 11	543970	169.14	Si
-609	36	-	1030	1250	6	13	0	SLV FO 11	48333	3509.05	-1790	806	-3432	SLV FO 11	543970	168.19	Si
-609	37	-	1030	1400	6	13	0	SLV FO 11	48333	3489	-1790	833	-3507	SLV FO 11	543970	167.23	Si
-609	38	-	1030	1550	6	13	0	SLV FO 11	48333	3468.85	-1790	860	-3579	SLV FO 11	543970	166.26	Si
-703	30	-	1030	350	2	0	0	SLU 1	48333	10000	0	456	-858	SLU 18	543970	938.5	Si
-703	31	-	1030	500	2	0	0	SLU 1	48333	10000	0	456	-863	SLU 18	543970	938.5	Si
-703	32	-	1030	650	2	0	0	SLU 1	48333	10000	0	456	-866	SLU 18	543970	938.6	Si
-703	33	-	1030	800	2	0	0	SLU 1	48333	10000	0	456	-867	SLU 18	543970	938.74	Si
-703	34	-	1030	950	2	0	0	SLU 1	48333	10000	0	456	-868	SLU 18	543970	938.87	Si
-703	35	-	1030	1100	2	0	0	SLU 1	48333	10000	0	456	-867	SLU 18	543970	939.02	Si
-703	36	-	1030	1250	2	0	0	SLU 1	48333	10000	0	456	-866	SLU 18	543970	939.17	Si
-703	37	-	1030	1400	2	0	0	SLU 1	48333	10000	0	456	-863	SLU 18	543970	939.37	Si
-703	38	-	1030	1550	2	0	0	SLU 1	48333	10000	-1	456	-858	SLU 18	543970	939.66	Si
-703	30	-	1030	350	3	-4	0	SLD 9	48333	9893.7	499	314	-1940	SLD 9	543970	726.19	Si
-703	31	-	1030	500	3	-4	0	SLD 9	48333	9960.94	499	306	-1917	SLD 9	543970	731.13	Si
-703	32	-	1030	650	0	-1	0	SLD 1	48333	10000	499	299	-1892	SLD 9	543970	736.11	Si
-703	33	-	1030	800	0	-1	0	SLD 1	48333	10000	499	291	-1866	SLD 9	543970	741.41	Si
-703	34	-	1030	950	0	-1	0	SLD 1	48333	10000	-499	284	-1839	SLD 11	543970	745.82	Si
-703	35	-	1030	1100	0	-1	0	SLD 1	48333	10000	-499	291	-1866	SLD 11	543970	740.9	Si
-703	36	-	1030	1250	0	-1											

Interventi di miglioramento della diga di Cepparello nel Comune di Poggibonsi (SI)

ET.09.4 – Tabulati di calcolo_Canali fagatori con fondazioni su pali

Posizione					Taglio							PressoFlessione				Verifica	
Quota	Filo	Ind.	Xp	Yp	Tx	Ty	Mt	Comb.	Vrd	C.S.tt	Mx	My	N	Comb.	Mrd	C.S.pf	
-796	30	-	1030	350	3	-4	0	SLD 9	48333	9893.7	112	70	-1997	SLD 9	543970	726.19	Si
-796	31	-	1030	500	3	-4	0	SLD 9	48333	9960.94	112	69	-1973	SLD 9	543970	731.13	Si
-796	32	-	1030	650	0	-1	0	SLD 1	48333	10000	112	67	-1948	SLD 9	543970	736.11	Si
-796	33	-	1030	800	0	-1	0	SLD 1	48333	10000	112	65	-1922	SLD 9	543970	741.41	Si
-796	34	-	1030	950	0	-1	0	SLD 1	48333	10000	-112	64	-1895	SLD 11	543970	745.82	Si
-796	35	-	1030	1100	0	-1	0	SLD 1	48333	10000	-112	65	-1922	SLD 11	543970	740.9	Si
-796	36	-	1030	1250	0	-1	0	SLD 1	48333	10000	-112	67	-1948	SLD 11	543970	735.96	Si
-796	37	-	1030	1400	3	4	0	SLD 11	48333	9959.64	-112	69	-1973	SLD 11	543970	731.03	Si
-796	38	-	1030	1550	3	4	0	SLD 11	48333	9893.18	-112	70	-1997	SLD 11	543970	726.16	Si
-796	30	-	1030	350	3	-7	0	SLV FO 9	48333	6528.61	180	87	-2084	SLV FO 9	543970	479.2	Si
-796	31	-	1030	500	3	-7	0	SLV FO 9	48333	6566.86	180	84	-2042	SLV FO 9	543970	482.01	Si
-796	32	-	1030	650	3	-7	0	SLV FO 9	48333	6604.92	180	81	-1999	SLV FO 9	543970	484.8	Si
-796	33	-	1030	800	3	-7	0	SLV FO 9	48333	6645.69	180	79	-1956	SLV FO 9	543970	487.79	Si
-796	34	-	1030	950	3	7	0	SLV FO 11	48333	6677.85	-180	76	-1911	SLV FO 11	543970	490.15	Si
-796	35	-	1030	1100	3	7	0	SLV FO 11	48333	6641.07	-180	79	-1956	SLV FO 11	543970	487.45	Si
-796	36	-	1030	1250	3	7	0	SLV FO 11	48333	6603.7	-180	81	-2000	SLV FO 11	543970	484.71	Si
-796	37	-	1030	1400	3	7	0	SLV FO 11	48333	6565.97	-180	84	-2042	SLV FO 11	543970	481.94	Si
-796	38	-	1030	1550	3	7	0	SLV FO 11	48333	6528.05	-180	87	-2084	SLV FO 11	543970	479.16	Si
-890	30	-	1030	350	0	0	0	SLU 1	48333	10000	0	0	-499	SLU 1	543970	10000	Si
-890	31	-	1030	500	0	0	0	SLU 1	48333	10000	0	0	-500	SLU 1	543970	10000	Si
-890	32	-	1030	650	0	0	0	SLU 1	48333	10000	0	0	-501	SLU 1	543970	10000	Si
-890	33	-	1030	800	0	0	0	SLU 1	48333	10000	0	0	-502	SLU 1	543970	10000	Si
-890	34	-	1030	950	0	0	0	SLU 1	48333	10000	0	0	-502	SLU 1	543970	10000	Si
-890	35	-	1030	1100	0	0	0	SLU 1	48333	10000	0	0	-502	SLU 1	543970	10000	Si
-890	36	-	1030	1250	0	0	0	SLU 1	48333	10000	0	0	-501	SLU 1	543970	10000	Si
-890	37	-	1030	1400	0	0	0	SLU 1	48333	10000	0	0	-500	SLU 1	543970	10000	Si
-890	38	-	1030	1550	0	0	0	SLU 1	48333	10000	0	0	-499	SLU 1	543970	10000	Si
-890	30	-	1030	350	0	0	0	SLD 1	48333	10000	0	0	-483	SLD 1	543970	10000	Si
-890	31	-	1030	500	0	0	0	SLD 1	48333	10000	0	0	-482	SLD 1	543970	10000	Si
-890	32	-	1030	650	0	0	0	SLD 1	48333	10000	0	0	-481	SLD 1	543970	10000	Si
-890	33	-	1030	800	0	0	0	SLD 1	48333	10000	0	0	-479	SLD 1	543970	10000	Si
-890	34	-	1030	950	0	0	0	SLD 1	48333	10000	0	0	-477	SLD 1	543970	10000	Si
-890	35	-	1030	1100	0	0	0	SLD 1	48333	10000	0	0	-475	SLD 1	543970	10000	Si
-890	36	-	1030	1250	0	0	0	SLD 1	48333	10000	0	0	-472	SLD 1	543970	10000	Si
-890	37	-	1030	1400	0	0	0	SLD 1	48333	10000	0	0	-469	SLD 1	543970	10000	Si
-890	38	-	1030	1550	0	0	0	SLD 1	48333	10000	0	0	-465	SLD 1	543970	10000	Si
-890	30	-	1030	350	0	0	0	SLV FO 1	48333	10000	0	0	-475	SLV FO 1	543970	10000	Si
-890	31	-	1030	500	0	0	0	SLV FO 1	48333	10000	0	0	-472	SLV FO 1	543970	10000	Si
-890	32	-	1030	650	0	0	0	SLV FO 1	48333	10000	0	0	-469	SLV FO 1	543970	10000	Si
-890	33	-	1030	800	0	0	0	SLV FO 1	48333	10000	0	0	-466	SLV FO 1	543970	10000	Si
-890	34	-	1030	950	0	0	0	SLV FO 1	48333	10000	0	0	-463	SLV FO 1	543970	10000	Si
-890	35	-	1030	1100	0	0	0	SLV FO 1	48333	10000	0	0	-459	SLV FO 1	543970	10000	Si
-890	36	-	1030	1250	0	0	0	SLV FO 1	48333	10000	0	0	-455	SLV FO 1	543970	10000	Si
-890	37	-	1030	1400	0	0	0	SLV FO 1	48333	10000	0	0	-450	SLV FO 1	543970	10000	Si
-890	38	-	1030	1550	0	0	0	SLV FO 1	48333	10000	0	0	-445	SLV FO 1	543970	10000	Si

Verifica di capacità portante per la famiglia SLU

Verifica di capacità portante verticale riferita al palo singolo

Fattore di correlazione ψ scelto in base alla conoscenza del sito = 1.7

Peso del palo = 1051.5 * 1.3

Filo	Ind.	Xp	Yp	γ_R laterale	γ_R punta	Pl.d	Pp.d	Def.vol	Comb.	Cnd	N	Ed	Rd	C.S.	Verifica
30	-	1030	350.11	1.15	1.35	31002	24845		SLU 14	lungo	-29993	-31360	55847	1.78	Si
31	-	1030	500.11	1.15	1.35	31002	24845		SLU 14	lungo	-30090	-31457	55847	1.78	Si
32	-	1030	650.11	1.15	1.35	31002	24845		SLU 14	lungo	-30152	-31519	55847	1.77	Si
33	-	1030	800.11	1.15	1.35	31002	24845		SLU 14	lungo	-30191	-31558	55847	1.77	Si
34	-	1030	950.11	1.15	1.35	31002	24845		SLU 14	lungo	-30206	-31573	55847	1.77	Si
35	-	1030	1100.11	1.15	1.35	31002	24845		SLU 14	lungo	-30193	-31560	55847	1.77	Si
36	-	1030	1250.11	1.15	1.35	31002	24845		SLU 14	lungo	-30155	-31522	55847	1.77	Si
37	-	1030	1400.11	1.15	1.35	31002	24845		SLU 14	lungo	-30094	-31461	55847	1.78	Si
38	-	1030	1550.11	1.15	1.35	31002	24845		SLU 14	lungo	-29998	-31365	55847	1.78	Si

Verifica di capacità portante trasversale riferita al palo singolo

Fattore di correlazione ψ scelto in base alla conoscenza del sito = 1.7

Filo	Ind.	Xp	Yp	γ_R trasversale	LRF	Comb.	Cnd	Rd	Ed (T)	C.S.	Verifica
30	-	1030	350.11	1.3	1	SLU 18	D	16849.6	617.2	27.3	Si
31	-	1030	500.11	1.3	1	SLU 18	D	16849.6	617.2	27.3	Si
32	-	1030	650.11	1.3	1	SLU 18	D	16849.6	617.1	27.3	Si
33	-	1030	800.11	1.3	1	SLU 18	D	16849.6	617	27.31	Si
34	-	1030	950.11	1.3	1	SLU 18	D	16849.6	616.9	27.31	Si
35	-	1030	1100.11	1.3	1	SLU 18	D	16849.6	616.8	27.32	Si
36	-	1030	1250.11	1.3	1	SLU 18	D	16849.6	616.7	27.32	Si
37	-	1030	1400.11	1.3	1	SLU 18	D	16849.6	616.6	27.33	Si
38	-	1030	1550.11	1.3	1	SLU 18	D	16849.6	616.4	27.33	Si

Parametri utilizzati nel calcolo

Filo	Ind.	Xp	Yp	Tipo	L.fr.s.	L.tr.lib.	L.tr.inf.	Coes.	Fi	P.spec	T max	Mecc.coll.	M.plast.sup.	Quota sup.	N sup.	M.plast.inf.	Quota inf.	N inf.
30	-	1030	350.11	TL	22	0	900		36	0.0014	37238	PLL	11349149	-487.2	-1481			
31	-	1030	500.11	TL	22	0	900		36	0.0014	37238	PLL	11349149	-487.2	-1481			
32	-	1030	650.11	TL	22	0	900		36	0.0014	37238	PLL	11349149	-487.2	-1481			
33	-	1030	800.11	TL	22	0	900		36	0.0014	37238	PLL	11349149	-487.2	-1481			
34	-	1030	950.11	TL	22	0	900		36	0.0014	37238	PLL	11349149	-487.2	-1481			
35	-	1030	1100.11	TL	22	0	900		36	0.0014	37238	PLL	11349149	-487.2	-1481			
36	-	1030	1250.11	TL	22	0	900		36	0.0014	37238	PLL	11349149	-487.2	-1481			
37	-	1030	1400.11	TL	22	0	900		36	0.0014	37238	PLL	11349149	-487.2	-1481			
38	-	1030	1550.11	TL	22	0	900		36	0.0014	37238	PLL	11349149	-487.2	-1481			

Verifica di capacità portante per la famiglia SLD

Verifica di capacità portante verticale riferita al palo singolo

Fattore di correlazione ψ scelto in base alla conoscenza del sito = 1.7

Peso del palo = 1051.5 * 1

Filo	Ind.	Xp	Yp	γ_R laterale	γ_R punta	Pl.d	Pp.d	Def.vol	Comb.	Cnd	N	Ed	Rd	C.S.	Verifica
30	-	1030	350.11	1.15	1.35	31002	24845		SLD 9	lungo	-9649	-10700	55847	5.22	Si
31	-	1030	500.11	1.15	1.35	31002	24845		SLD 13	lungo	-9565	-10616	55847	5.26	Si
32	-	1030	650.11	1.15	1.35	31002	24845		SLD 13	lungo	-9543	-10594	55847	5.27	Si
33	-	1030	800.11	1.15	1.35	31002									

Interventi di miglioramento della diga di Cepparello nel Comune di Poggibonsi (SI)

ET.09.4 – Tabulati di calcolo_Canali fagatori con fondazioni su pali

Filo	Ind.	Xp	Yp	yR laterale	yR punta	Pl,d	Pp,d	Def.vol	Comb.	Cnd	N	Ed	Rd	C.S.	Verifica
36	-	1030	1250.11	1.15	1.35	31002	24845		SLD 15	lungo	-9544	-10595	55847	5.27	Si
37	-	1030	1400.11	1.15	1.35	31002	24845		SLD 15	lungo	-9566	-10618	55847	5.26	Si
38	-	1030	1550.11	1.15	1.35	31002	24845		SLD 11	lungo	-9649	-10701	55847	5.22	Si

Verifica di capacità portante per la famiglia SLV FO

Verifica di capacità portante verticale riferita al palo singolo

Fattore di correlazione ψ scelto in base alla conoscenza del sito = 1.7

Peso del palo = 1051.5 * 1

Filo	Ind.	Xp	Yp	yR laterale	yR punta	Pl,d	Pp,d	Def.vol	Comb.	Cnd	N	Ed	Rd	C.S.	Verifica
30	-	1030	350.11	1.15	1.35	31002	24845		SLV FO 9	lungo	-10081	-11132	55847	5.02	Si
31	-	1030	500.11	1.15	1.35	31002	24845		SLV FO 13	lungo	-9911	-10962	55847	5.09	Si
32	-	1030	650.11	1.15	1.35	31002	24845		SLV FO 13	lungo	-9863	-10915	55847	5.12	Si
33	-	1030	800.11	1.15	1.35	31002	24845		SLV FO 13	lungo	-9808	-10860	55847	5.14	Si
34	-	1030	950.11	1.15	1.35	31002	24845		SLV FO 15	lungo	-9746	-10797	55847	5.17	Si
35	-	1030	1100.11	1.15	1.35	31002	24845		SLV FO 15	lungo	-9809	-10861	55847	5.14	Si
36	-	1030	1250.11	1.15	1.35	31002	24845		SLV FO 15	lungo	-9865	-10916	55847	5.12	Si
37	-	1030	1400.11	1.15	1.35	31002	24845		SLV FO 15	lungo	-9913	-10964	55847	5.09	Si
38	-	1030	1550.11	1.15	1.35	31002	24845		SLV FO 11	lungo	-10082	-11133	55847	5.02	Si

Verifica di capacità portante trasversale riferita al palo singolo

Fattore di correlazione ψ scelto in base alla conoscenza del sito = 1.7

Filo	Ind.	Xp	Yp	yR trasversale	LRF	Comb.	Cnd	Rd	Ed (T)	C.S.	Verifica
30	-	1030	350.11	1.3	1	SLV FO 9	D	16849.6	1208.7	13.94	Si
31	-	1030	500.11	1.3	1	SLV FO 9	D	16849.6	1201.7	14.02	Si
32	-	1030	650.11	1.3	1	SLV FO 9	D	16849.6	1194.8	14.1	Si
33	-	1030	800.11	1.3	1	SLV FO 9	D	16849.6	1187.4	14.19	Si
34	-	1030	950.11	1.3	1	SLV FO 11	D	16849.6	1181.7	14.26	Si
35	-	1030	1100.11	1.3	1	SLV FO 11	D	16849.6	1188.3	14.18	Si
36	-	1030	1250.11	1.3	1	SLV FO 11	D	16849.6	1195	14.1	Si
37	-	1030	1400.11	1.3	1	SLV FO 11	D	16849.6	1201.8	14.02	Si
38	-	1030	1550.11	1.3	1	SLV FO 11	D	16849.6	1208.8	13.94	Si

Parametri utilizzati nel calcolo

Filo	Ind.	Xp	Yp	Tipo	L.frs.	L.tr.lib.	L.tr.inf.	Coes.	Fi	P.spec	T max	Mecc.coll.	M.plast.sup.	Quota sup.	N sup.	M.plast.inf.	Quota inf.	N inf.
30	-	1030	350.11	TL	22	0	900		36	0.0014	37238	PLL	11349142	-487.2	-3525			
31	-	1030	500.11	TL	22	0	900		36	0.0014	37238	PLL	11349142	-487.2	-3525			
32	-	1030	650.11	TL	22	0	900		36	0.0014	37238	PLL	11349142	-487.2	-3525			
33	-	1030	800.11	TL	22	0	900		36	0.0014	37238	PLL	11349142	-487.2	-3525			
34	-	1030	950.11	TL	22	0	900		36	0.0014	37238	PLL	11349156	-487.2	-3525			
35	-	1030	1100.11	TL	22	0	900		36	0.0014	37238	PLL	11349156	-487.2	-3525			
36	-	1030	1250.11	TL	22	0	900		36	0.0014	37238	PLL	11349156	-487.2	-3525			
37	-	1030	1400.11	TL	22	0	900		36	0.0014	37238	PLL	11349156	-487.2	-3525			
38	-	1030	1550.11	TL	22	0	900		36	0.0014	37238	PLL	11349156	-487.2	-3525			

9 pali "Micropalo D139.7x10 perf 220" gruppo 5 "PALI DI VALLE SFIORATORE SX"

Verifiche effettuate secondo D.M. 17-01-18 (N.T.C.)

Geometria

varia

-530

Pali coinvolti

Palo a coordinate x,y: (135, 1700.1)[filo 43];(135, 1850.1)[filo 44];(135, 2000.1)[filo 45];(135, 2150.1)[filo 46];(135, 2350.1)[filo 47];(135, 2450.1)[filo 48];(135, 2550.1)[filo 49];(135, 2650.1)[filo 50];(135, 2750.1)[filo 51];

Caratteristiche geometriche

Tubo in acciaio EN10219 139.7x10

Diametro tubo 140 mm

Spessore tubo 10 mm

Lunghezza 500 cm

Caratteristiche dei materiali

Calcestruzzo C25/30

Acciaio S355

Verifiche secondo DM18

Posizione					Taglio							PressoFlessione					Verifica
Quota	Filo	Ind.	Xp	Yp	Tx	Ty	Mt	Comb.	Vrd	C.S.tt	Mx	My	N	Comb.	Mrd	C.S.pf	
0	43	-	135	1700	2678	0	-1	SLU 17	48333	18.05	0	0	-4038	SLU 1	543970	10000	Si
0	44	-	135	1850	2678	0	0	SLU 18	48333	18.05	0	0	-4046	SLU 1	543970	10000	Si
0	45	-	135	2000	2678	0	0	SLU 18	48333	18.05	0	0	-4046	SLU 1	543970	10000	Si
0	46	-	135	2150	2678	0	1	SLU 17	48333	18.05	0	0	-4038	SLU 1	543970	10000	Si
0	47	-	135	2350	2	0	0	SLU 1	48333	10000	0	0	-3063	SLU 1	543970	10000	Si
0	48	-	135	2450	2	0	0	SLU 1	48333	10000	0	0	-3063	SLU 1	543970	10000	Si
0	49	-	135	2550	2	0	0	SLU 1	48333	10000	0	0	-3063	SLU 1	543970	10000	Si
0	50	-	135	2650	2	0	0	SLU 1	48333	10000	0	0	-3063	SLU 1	543970	10000	Si
0	51	-	135	2750	2	0	0	SLU 1	48333	10000	0	0	-3063	SLU 1	543970	10000	Si
0	43	-	135	1700	2436	-161	1	SLD 13	48333	19.8	0	0	-5953	SLD 1	543970	10000	Si
0	44	-	135	1850	2434	-161	1	SLD 13	48333	19.81	0	0	-5850	SLD 1	543970	10000	Si
0	45	-	135	2000	2434	161	-1	SLD 15	48333	19.81	0	0	-5735	SLD 1	543970	10000	Si
0	46	-	135	2150	2436	161	-1	SLD 15	48333	19.8	0	0	-5607	SLD 1	543970	10000	Si
0	47	-	135	2350	1780	-137	1	SLD 13	48333	27.07	0	0	-5402	SLD 1	543970	10000	Si
0	48	-	135	2450	1779	-137	1	SLD 13	48333	27.09	0	0	-5299	SLD 1	543970	10000	Si
0	49	-	135	2550	1778	137	-1	SLD 15	48333	27.11	0	0	-5194	SLD 1	543970	10000	Si
0	50	-	135	2650	1779	137	-1	SLD 15	48333	27.09	0	0	-5088	SLD 1	543970	10000	Si
0	51	-	135	2750	1780	137	-1	SLD 15	48333	27.08	0	0	-4979	SLD 1	543970	10000	Si
0	43	-	135	1700	3842	-259	2	SLV FO 13	48333	12.55	0	0	-8081	SLV FO 1	543970	10000	Si
0	44	-	135	1850	3839	-259	2	SLV FO 13	48333	12.56	0	0	-7913	SLV FO 1	543970	10000	Si
0	45	-	135	2000	3839	259	-2	SLV FO 15	48333	12.56	0	0	-7727	SLV FO 1	543970	10000	Si
0	46	-	135	2150	3842	259	-2	SLV FO 15	48333	12.55	0	0	-7523	SLV FO 1	543970	10000	Si
0	47	-	135	2350	3960	-221	1	SLV FO 13	48333	12.19	0	0	-8090	SLV FO 1	543970	10000	Si
0	48	-	135	2450	3958	-221	2	SLV FO 13	48333	12.19	0	0	-7927	SLV FO 1	543970	10000	Si
0	49	-	135	2550	3956	-221	2	SLV FO 13	48333	12.2	0	0	-7757	SLV FO 1	543970	10000	Si
0	50	-	135	2650	3958	221	-2	SLV FO 15	48333	12.19	0	0	-7586	SLV FO 1	543970	10000	Si
0	51	-	135	2750	3960	221	-1	SLV FO 15	48333	12.19	0	0	-7408	SLV FO 1	543970	10000	Si
-52	43	-	135	1700	2678	0	-1	SLU 17	48333	18.05	-6	-59162	-4069	SLU 1	543970	10000	Si
-52	44	-	135	1850	2678	0	0	SLU 18	48333	18.05	-2	-59161	-4077	SLU 1	543970	10000	Si

Interventi di miglioramento della diga di Cepparello nel Comune di Poggibonsi (SI)

ET.09.4 – Tabulati di calcolo_Canali fugatori con fondazioni su pali

Quota	Posizione				Taglio							PressoFlessione					Verifica
	Filo	Ind.	Xp	Yp	Tx	Ty	Mt	Comb.	Vrd	C.S.tt	Mx	My	N	Comb.	Mrd	C.S.pf	
-52	45	-	135	2000	2678	0	0	SLU 18	48333	18.05	2	-59161	-4077	SLU 1	543970	10000	Si
-52	46	-	135	2150	2678	0	1	SLU 17	48333	18.05	6	-59162	-4069	SLU 1	543970	10000	Si
-52	47	-	135	2350	2	0	0	SLU 1	48333	10000	-2	-80	-3094	SLU 1	543970	10000	Si
-52	48	-	135	2450	2	0	0	SLU 1	48333	10000	-1	-82	-3094	SLU 1	543970	10000	Si
-52	49	-	135	2550	2	0	0	SLU 1	48333	10000	0	-82	-3094	SLU 1	543970	10000	Si
-52	50	-	135	2650	2	0	0	SLU 1	48333	10000	1	-82	-3094	SLU 1	543970	10000	Si
-52	51	-	135	2750	2	0	0	SLU 1	48333	10000	2	-80	-3094	SLU 1	543970	10000	Si
-52	43	-	135	1700	2436	-161	1	SLD 13	48333	19.8	-8309	7005	-5984	SLD 1	543970	10000	Si
-52	44	-	135	1850	2434	-161	1	SLD 13	48333	19.81	-8303	7119	-5881	SLD 1	543970	10000	Si
-52	45	-	135	2000	2434	161	-1	SLD 15	48333	19.81	-8281	7229	-5766	SLD 1	543970	10000	Si
-52	46	-	135	2150	2436	161	-1	SLD 15	48333	19.8	-8275	7333	-5638	SLD 1	543970	10000	Si
-52	47	-	135	2350	1780	-137	1	SLD 13	48333	27.07	-7090	91408	-5433	SLD 1	543970	10000	Si
-52	48	-	135	2450	1779	-137	1	SLD 13	48333	27.09	-7089	91470	-5331	SLD 1	543970	10000	Si
-52	49	-	135	2550	1778	137	-1	SLD 15	48333	27.11	-7087	91529	-5225	SLD 1	543970	10000	Si
-52	50	-	135	2650	1779	137	-1	SLD 15	48333	27.09	-7065	91589	-5119	SLD 1	543970	10000	Si
-52	51	-	135	2750	1780	137	-1	SLD 15	48333	27.08	-7063	91645	-5010	SLD 1	543970	10000	Si
-52	43	-	135	1700	3842	-259	2	SLV FO 13	48333	12.55	-13411	79322	-8112	SLV FO 1	543970	10000	Si
-52	44	-	135	1850	3839	-259	2	SLV FO 13	48333	12.56	-13403	79510	-7944	SLV FO 1	543970	10000	Si
-52	45	-	135	2000	3839	259	-2	SLV FO 15	48333	12.56	-13362	79687	-7758	SLV FO 1	543970	10000	Si
-52	46	-	135	2150	3842	259	-2	SLV FO 15	48333	12.55	-13354	79851	-7554	SLV FO 1	543970	10000	Si
-52	47	-	135	2350	3960	-221	1	SLV FO 13	48333	12.19	-11446	203687	-8121	SLV FO 1	543970	10000	Si
-52	48	-	135	2450	3958	-221	2	SLV FO 13	48333	12.19	-11444	203791	-7958	SLV FO 1	543970	10000	Si
-52	49	-	135	2550	3956	-221	2	SLV FO 13	48333	12.2	-11440	203887	-7788	SLV FO 1	543970	10000	Si
-52	50	-	135	2650	3958	221	-2	SLV FO 15	48333	12.19	-11400	203983	-7617	SLV FO 1	543970	10000	Si
-52	51	-	135	2750	3960	221	-1	SLV FO 15	48333	12.19	-11397	204070	-7439	SLV FO 1	543970	10000	Si
-103	43	-	135	1700	-926	0	0	SLU 17	48333	52.2	-6	-204828	-2446	SLU 17	543970	2.44	Si
-103	44	-	135	1850	-926	0	0	SLU 18	48333	52.19	-1	-204839	-802	SLU 18	543970	2.44	Si
-103	45	-	135	2000	-926	0	0	SLU 18	48333	52.19	1	-204839	-802	SLU 18	543970	2.44	Si
-103	46	-	135	2150	-926	0	0	SLU 17	48333	52.2	6	-204828	-2446	SLU 17	543970	2.44	Si
-103	47	-	135	2350	-1	0	0	SLU 1	48333	10000	2	-272	22	SLU 18	543970	1832.55	Si
-103	48	-	135	2450	-1	0	0	SLU 1	48333	10000	2	-290	-1205	SLU 17	543970	1720.78	Si
-103	49	-	135	2550	-1	0	0	SLU 1	48333	10000	0	-291	-1205	SLU 17	543970	1716.42	Si
-103	50	-	135	2650	-1	0	0	SLU 1	48333	10000	-2	-290	-1205	SLU 17	543970	1720.78	Si
-103	51	-	135	2750	-1	0	0	SLU 1	48333	10000	-2	-272	19	SLU 18	543970	1832.45	Si
-103	43	-	135	1700	-842	56	0	SLD 13	48333	57.26	-12288	-186316	-1674	SLD 13	543970	2.67	Si
-103	44	-	135	1850	-842	56	1	SLD 13	48333	57.3	-12285	-186162	-1597	SLD 13	543970	2.68	Si
-103	45	-	135	2000	-842	-56	-1	SLD 15	48333	57.3	12285	-186162	-1597	SLD 15	543970	2.68	Si
-103	46	-	135	2150	-842	-56	0	SLD 15	48333	57.26	12288	-186317	-1674	SLD 15	543970	2.67	Si
-103	47	-	135	2350	-615	47	0	SLD 13	48333	78.31	-10479	-136127	-762	SLD 13	543970	3.66	Si
-103	48	-	135	2450	-615	47	0	SLD 13	48333	78.35	-10479	-136049	-687	SLD 13	543970	3.66	Si
-103	49	-	135	2550	-615	-48	0	SLD 15	48333	78.4	10508	-135959	-614	SLD 15	543970	3.66	Si
-103	50	-	135	2650	-615	-47	0	SLD 15	48333	78.35	10479	-136047	-687	SLD 15	543970	3.66	Si
-103	51	-	135	2750	-615	-47	0	SLD 15	48333	78.31	10479	-136124	-762	SLD 15	543970	3.66	Si
-103	43	-	135	1700	-1328	90	1	SLV FO 13	48333	36.3	-19819	-293843	-353	SLV FO 13	543970	1.7	Si
-103	44	-	135	1850	-1327	90	1	SLV FO 13	48333	36.33	-19819	-293598	-224	SLV FO 13	543970	1.7	Si
-103	45	-	135	2000	-1327	-90	-1	SLV FO 15	48333	36.33	19819	-293599	-224	SLV FO 15	543970	1.7	Si
-103	46	-	135	2150	-1328	-90	-1	SLV FO 15	48333	36.3	19819	-293845	-353	SLV FO 15	543970	1.7	Si
-103	47	-	135	2350	-1369	76	0	SLV FO 13	48333	35.25	-16905	-302827	913	SLV FO 13	543970	1.65	Si
-103	48	-	135	2450	-1368	76	1	SLV FO 13	48333	35.26	-16907	-302703	1035	SLV FO 13	543970	1.65	Si
-103	49	-	135	2550	-1368	-77	-1	SLV FO 15	48333	35.28	16963	-302558	1153	SLV FO 15	543970	1.65	Si
-103	50	-	135	2650	-1368	-76	-1	SLV FO 15	48333	35.26	16907	-302700	1035	SLV FO 15	543970	1.65	Si
-103	51	-	135	2750	-1369	-76	0	SLV FO 15	48333	35.25	16904	-302823	912	SLV FO 15	543970	1.65	Si
-155	43	-	135	1700	-926	0	0	SLU 17	48333	52.2	-4	-157066	-2486	SLU 17	543970	2.44	Si
-155	44	-	135	1850	-926	0	0	SLU 18	48333	52.19	-1	-157074	-842	SLU 18	543970	2.44	Si
-155	45	-	135	2000	-926	0	0	SLU 18	48333	52.19	1	-157074	-842	SLU 18	543970	2.44	Si
-155	46	-	135	2150	-926	0	0	SLU 17	48333	52.2	4	-157066	-2486	SLU 17	543970	2.44	Si
-155	47	-	135	2350	-1	0	0	SLU 1	48333	10000	1	-209	-18	SLU 18	543970	1832.55	Si
-155	48	-	135	2450	-1	0	0	SLU 1	48333	10000	2	-222	-1245	SLU 17	543970	1720.78	Si
-155	49	-	135	2550	-1	0	0	SLU 1	48333	10000	0	-223	-1245	SLU 17	543970	1716.42	Si
-155	50	-	135	2650	-1	0	0	SLU 1	48333	10000	-2	-222	-1245	SLU 17	543970	1720.78	Si
-155	51	-	135	2750	-1	0	0	SLU 1	48333	10000	-2	-209	-21	SLU 18	543970	1832.45	Si
-155	43	-	135	1700	-842	56	0	SLD 13	48333	57.26	-9422	-142870	-1705	SLD 13	543970	2.67	Si
-155	44	-	135	1850	-842	56	1	SLD 13	48333	57.3	-9420	-142752	-1628	SLD 13	543970	2.68	Si
-155	45	-	135	2000	-842	-56	-1	SLD 15	48333	57.3	9420	-142752	-1628	SLD 15	543970	2.68	Si
-155	46	-	135	2150	-842	-56	0	SLD 15	48333	57.26	9423	-142871	-1705	SLD 15	543970	2.67	Si
-155	47	-	135	2350	-615	47	0	SLD 13	48333	78.31	-8036	-104385	-793	SLD 13	543970	3.66	Si
-155	48	-	135	2450	-615	47	0	SLD 13	48333	78.35	-8036	-104324	-718	SLD 13	543970	3.66	Si
-155	49	-	135	2550	-615	-48	0	SLD 15	48333	78.4	8058	-104256	-645	SLD 15	543970	3.66	Si
-155	50	-	135	2650	-615	-47	0	SLD 15	48333	78.35	8036	-104323	-718	SLD 15	543970	3.66	Si
-155	51	-	135	2750	-615	-47	0	SLD 15	48333	78.31	8035	-104382	-793	SLD 15	543970	3.66	Si
-155	43	-	135	1700	-1328	90	1	SLV FO 13	48333	36.3	-15197	-225324	-384	SLV FO 13	543970	1.7	Si
-155	44	-	135	1850	-1327	90	1	SLV FO 13	48333	36.33	-15198	-225136	-255	SLV FO 13	543970	1.7	Si
-155	45	-	135	2000	-1327	-90	-1	SLV FO 15	48333	36.33	15198	-225137	-255	SLV FO 15	543970	1.7	Si
-155	46	-	135	2150	-1328	-90	-1	SLV FO 15	48333	36.3	15198	-225325	-384	SLV FO 15	543970	1.7	Si
-155	47	-	135	2350	-1369	76	0	SLV FO 13	48333	35.25	-12963	-232213	882	SLV FO 13	543970	1.65	Si
-155	48	-	135	2450	-1368	76	1	SLV FO 13	48333	35.26	-12965	-232118	1004	SLV FO 13	543970	1.65	Si
-155	49	-	135	2550	-1368	-77	-1	SLV FO 15	48333	35.28	13008	-232007	1122	SLV FO 15	543970	1.65	Si
-155																	

Interventi di miglioramento della diga di Cepparello nel Comune di Poggibonsi (SI)

ET.09.4 – Tabulati di calcolo_Canali fagatori con fondazioni su pali

Filo	Ind.	Xp	Yp	yR laterale	yR punta	Pl,d	Pp,d	Def.vol	Comb.	Cnd	N	Ed	Rd	C.S.	Verifica
50	-	135	2650.11	1.15	1.35	29147	24845		SLD 3	lungo	-5299	-5884	53993	9.18	Si
51	-	135	2750.11	1.15	1.35	29147	24845		SLD 3	lungo	-5402	-5986	53993	9.02	Si

Verifica di capacità portante per la famiglia SLV FO

Verifica di capacità portante verticale riferita al palo singolo

Fattore di correlazione ψ scelto in base alla conoscenza del sito = 1.7

Peso del palo = 584.2 * 1

Filo	Ind.	Xp	Yp	yR laterale	yR punta	Pl,d	Pp,d	Def.vol	Comb.	Cnd	N	Ed	Rd	C.S.	Verifica
43	-	135	1700.11	1.15	1.35	29147	24845		SLV FO 1	lungo	-8081	-8665	53993	6.23	Si
44	-	135	1850.11	1.15	1.35	29147	24845		SLV FO 1	lungo	-7913	-8497	53993	6.35	Si
45	-	135	2000.11	1.15	1.35	29147	24845		SLV FO 3	lungo	-7913	-8497	53993	6.35	Si
46	-	135	2150.11	1.15	1.35	29147	24845		SLV FO 3	lungo	-8081	-8665	53993	6.23	Si
47	-	135	2350.11	1.15	1.35	29147	24845		SLV FO 1	lungo	-8090	-8674	53993	6.22	Si
48	-	135	2450.11	1.15	1.35	29147	24845		SLV FO 1	lungo	-7927	-8511	53993	6.34	Si
49	-	135	2550.11	1.15	1.35	29147	24845		SLV FO 1	lungo	-7757	-8341	53993	6.47	Si
50	-	135	2650.11	1.15	1.35	29147	24845		SLV FO 3	lungo	-7927	-8511	53993	6.34	Si
51	-	135	2750.11	1.15	1.35	29147	24845		SLV FO 3	lungo	-8090	-8674	53993	6.22	Si

Verifica di capacità portante trasversale riferita al palo singolo

Fattore di correlazione ψ scelto in base alla conoscenza del sito = 1.7

Filo	Ind.	Xp	Yp	yR trasversale	LRF	Comb.	Cnd	Rd	Ed (T)	C.S.	Verifica
43	-	135	1700.11	1.3	1	SLV FO 13	D	6710.2	3850.9	1.74	Si
44	-	135	1850.11	1.3	1	SLV FO 13	D	6710.2	3847.7	1.74	Si
45	-	135	2000.11	1.3	1	SLV FO 15	D	6710.2	3847.7	1.74	Si
46	-	135	2150.11	1.3	1	SLV FO 15	D	6710.2	3850.9	1.74	Si
47	-	135	2350.11	1.3	1	SLV FO 13	D	6710.2	3965.8	1.69	Si
48	-	135	2450.11	1.3	1	SLV FO 13	D	6710.2	3964.2	1.69	Si
49	-	135	2550.11	1.3	1	SLV FO 15	D	6710.2	3962.3	1.69	Si
50	-	135	2650.11	1.3	1	SLV FO 15	D	6710.2	3964.1	1.69	Si
51	-	135	2750.11	1.3	1	SLV FO 15	D	6710.2	3965.7	1.69	Si

Parametri utilizzati nel calcolo

Filo	Ind.	Xp	Yp	Tipo	L.frs.	L.tr.lib.	L.tr.inf.	Coes.	Fi	P.spec	T max	Mecc.coll.	M.plast.sup.	Quota sup.	N sup.	M.plast.inf.	Quota inf.	N inf.
43	-	135	1700.11	TL	22	0	500		36	0.0014	14830	PC	2852219	-318.5				
44	-	135	1850.11	TL	22	0	500		36	0.0014	14830	PC	2852219	-318.5				
45	-	135	2000.11	TL	22	0	500		36	0.0014	14830	PC	2852219	-318.5				
46	-	135	2150.11	TL	22	0	500		36	0.0014	14830	PC	2852219	-318.5				
47	-	135	2350.11	TL	22	0	500		36	0.0014	14830	PC	2852219	-318.5				
48	-	135	2450.11	TL	22	0	500		36	0.0014	14830	PC	2852219	-318.5				
49	-	135	2550.11	TL	22	0	500		36	0.0014	14830	PC	2852219	-318.5				
50	-	135	2650.11	TL	22	0	500		36	0.0014	14830	PC	2852219	-318.5				
51	-	135	2750.11	TL	22	0	500		36	0.0014	14830	PC	2852219	-318.5				

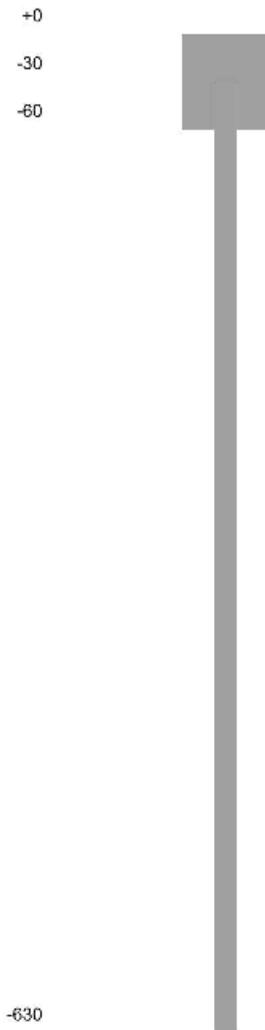
9 pali "Micropalo D139.7x10 perf 220" gruppo 6 "PALI DI VALLE SFIORATORE SX"

Verifiche effettuate secondo D.M. 17-01-18 (N.T.C.)

Geometria

Interventi di miglioramento della diga di Cepparello nel Comune di Poggibonsi (SI)

ET.09.4 – Tabulati di calcolo_Canali fugatori con fondazioni su pali



-630

Pali coinvolti

Palo a coordinate x,y: (378, 1700.1)[filo 52];(378, 1850.1)[filo 53];(378, 2000.1)[filo 54];(378, 2150.1)[filo 55];(378, 2350.1)[filo 56];(378, 2450.1)[filo 57];(378, 2550.1)[filo 58];(378, 2650.1)[filo 59];(378, 2750.1)[filo 60];

Caratteristiche geometriche

Tubo in acciaio EN10219 139.7x10

Diametro tubo 140 mm

Spessore tubo 10 mm

Lunghezza 600 cm

Caratteristiche dei materiali

Calcestruzzo C25/30

Acciaio S355

Verifiche secondo DM18

Posizione					Taglio					PressoFlessione					Verifica		
Quota	Filo	Ind.	Xp	Yp	Tx	Ty	Mt	Comb.	Vrd	C.S.tt	Mx	My	N	Comb.	Mrd	C.S.pf	
0	52	-	378	1700	3753	0	0	SLU 17	48333	12.88	0	0	-15570	SLU 1	543970	10000	Si
0	53	-	378	1850	3753	0	0	SLU 18	48333	12.88	0	0	-15980	SLU 1	543970	10000	Si
0	54	-	378	2000	3753	0	0	SLU 18	48333	12.88	0	0	-15980	SLU 1	543970	10000	Si
0	55	-	378	2150	3753	0	0	SLU 17	48333	12.88	0	0	-15570	SLU 1	543970	10000	Si
0	56	-	378	2350	1	0	0	SLU 1	48333	10000	0	0	-13731	SLU 1	543970	10000	Si
0	57	-	378	2450	1	0	0	SLU 1	48333	10000	0	0	-13697	SLU 1	543970	10000	Si
0	58	-	378	2550	1	0	0	SLU 1	48333	10000	0	0	-13690	SLU 1	543970	10000	Si
0	59	-	378	2650	1	0	0	SLU 1	48333	10000	0	0	-13697	SLU 1	543970	10000	Si
0	60	-	378	2750	1	0	0	SLU 1	48333	10000	0	0	-13731	SLU 1	543970	10000	Si
0	52	-	378	1700	3415	-228	2	SLD 13	48333	14.12	0	0	-16429	SLD 1	543970	10000	Si
0	53	-	378	1850	3412	-228	2	SLD 13	48333	14.14	0	0	-16453	SLD 1	543970	10000	Si
0	54	-	378	2000	3412	228	-2	SLD 15	48333	14.14	0	0	-15990	SLD 1	543970	10000	Si
0	55	-	378	2150	3415	228	-2	SLD 15	48333	14.12	0	0	-15011	SLD 1	543970	10000	Si
0	56	-	378	2350	2494	-194	2	SLD 13	48333	19.32	0	0	-15578	SLD 1	543970	10000	Si
0	57	-	378	2450	2492	-194	2	SLD 13	48333	19.34	0	0	-15162	SLD 1	543970	10000	Si
0	58	-	378	2550	2491	-194	2	SLD 13	48333	19.35	0	0	-14750	SLD 1	543970	10000	Si
0	59	-	378	2650	2492	194	-2	SLD 15	48333	19.34	0	0	-14328	SLD 1	543970	10000	Si
0	60	-	378	2750	2494	194	-2	SLD 15	48333	19.32	0	0	-13866	SLD 1	543970	10000	Si
0	52	-	378	1700	5385	-368	3	SLV FO 13	48333	8.95	0	0	-16773	SLV FO 1	543970	10000	Si
0	53	-	378	1850	5381	-368	3	SLV FO 13	48333	8.96	0	0	-16616	SLV FO 1	543970	10000	Si
0	54	-	378	2000	5381	368	-3	SLV FO 15	48333	8.96	0	0	-15870	SLV FO 1	543970	10000	Si
0	55	-	378	2150	5385	368	-3	SLV FO 15	48333	8.95	0	0	-14485	SLV FO 1	543970	10000	Si
0	56	-	378	2350	5549	-313	3	SLV FO 13	48333	8.7	0	0	-17299	SLV FO 1	543970	10000	Si
0	57	-	378	2450	5547	-313	3	SLV FO 13	48333	8.7	0	0	-16681	SLV FO 1	543970	10000	Si
0	58	-	378	2550	5544	-313	3	SLV FO 13	48333	8.7	0	0	-16028	SLV FO 1	543970	10000	Si
0	59	-	378	2650	5547	313	-3	SLV FO 15	48333	8.7	0	0	-15335	SLV FO 1	543970	10000	Si
0	60	-	378	2750	5549	313	-3	SLV FO 15	48333	8.7	0	0	-14535	SLV FO 1	543970	10000	Si
-62	52	-	378	1700	-192	0	0	SLU 17	48333	252.1	-9	-165606	-22587	SLU 17	530941	3.14	Si
-62	53	-	378	1850	-192	0	0	SLU 18	48333	252.1	-3	-165609	-23000	SLU 17	529192	3.13	Si

Interventi di miglioramento della diga di Cepparello nel Comune di Poggibonsi (SI)

ET.09.4 – Tabulati di calcolo_Canali fugatori con fondazioni su pali

Posizione					Taglio					PressoFlessione					Verifica		
Quota	Filo	Ind.	Xp	Yp	Tx	Ty	Mt	Comb.	Vrd	C.S.tt	Mx	My	N	Comb.	Mrd	C.S.pf	
-62	54	-	378	2000	-192	0	0	SLU 18	48333	252.1	3	-165609	-23000	SLU 17	529192	3.13	Si
-62	55	-	378	2150	-192	0	0	SLU 17	48333	252.1	9	-165606	-22587	SLU 17	530941	3.14	Si
-62	56	-	378	2350	0	0	0	SLU 1	48333	10000	-14	-71	-22980	SLU 17	529277	7207.79	Si
-62	57	-	378	2450	0	0	0	SLU 1	48333	10000	-8	-73	-22671	SLU 17	530586	7085.36	Si
-62	58	-	378	2550	0	0	0	SLU 1	48333	10000	0	-75	-22587	SLU 17	530941	6973.93	Si
-62	59	-	378	2650	0	0	0	SLU 1	48333	10000	8	-73	-22671	SLU 17	530586	7085.36	Si
-62	60	-	378	2750	0	0	0	SLU 1	48333	10000	14	-71	-22980	SLU 17	529277	7207.79	Si
-62	52	-	378	1700	-174	12	1	SLD 13	48333	276.48	-10055	-150669	-15672	SLD 13	543970	3.53	Si
-62	53	-	378	1850	-174	12	1	SLD 13	48333	276.71	-10053	-150541	-15519	SLD 13	543970	3.54	Si
-62	54	-	378	2000	-174	-12	-1	SLD 15	48333	276.71	10053	-150541	-15519	SLD 15	543970	3.54	Si
-62	55	-	378	2150	-174	-12	-1	SLD 15	48333	276.48	10055	-150670	-15672	SLD 15	543970	3.53	Si
-62	56	-	378	2350	-127	10	1	SLD 13	48333	378.26	-8568	-110040	-13217	SLD 13	543970	4.83	Si
-62	57	-	378	2450	-127	10	1	SLD 13	48333	378.5	-8565	-109970	-12703	SLD 13	543970	4.84	Si
-62	58	-	378	2550	-127	10	1	SLD 13	48333	378.75	8562	-109897	-12280	SLD 15	543970	4.84	Si
-62	59	-	378	2650	-127	-10	-1	SLD 15	48333	378.5	8565	-109968	-12703	SLD 15	543970	4.84	Si
-62	60	-	378	2750	-127	-10	-1	SLD 15	48333	378.27	8568	-110038	-12317	SLD 15	543970	4.83	Si
-62	52	-	378	1700	-275	19	2	SLV FO 13	48333	175.28	-16232	-237632	-16183	SLV FO 13	543970	2.24	Si
-62	53	-	378	1850	-275	19	2	SLV FO 13	48333	175.43	-16228	-237427	-15636	SLV FO 13	543970	2.24	Si
-62	54	-	378	2000	-275	-19	-2	SLV FO 15	48333	175.43	16228	-237427	-15636	SLV FO 15	543970	2.24	Si
-62	55	-	378	2150	-275	-19	-2	SLV FO 15	48333	175.28	16232	-237634	-16183	SLV FO 15	543970	2.24	Si
-62	56	-	378	2350	-283	16	2	SLV FO 13	48333	170.22	-13829	-244874	-12567	SLV FO 13	543970	2.17	Si
-62	57	-	378	2450	-283	16	2	SLV FO 13	48333	170.3	-13825	-244760	-11726	SLV FO 13	543970	2.18	Si
-62	58	-	378	2550	-283	16	2	SLV FO 13	48333	170.38	13820	-244643	-11040	SLV FO 15	543970	2.18	Si
-62	59	-	378	2650	-283	-16	-2	SLV FO 15	48333	170.3	13825	-244759	-11726	SLV FO 15	543970	2.18	Si
-62	60	-	378	2750	-283	-16	-2	SLV FO 15	48333	170.23	13829	-244870	-12568	SLV FO 15	543970	2.17	Si
-124	52	-	378	1700	-192	0	0	SLU 17	48333	252.1	-8	-153699	-22635	SLU 17	530737	3.14	Si
-124	53	-	378	1850	-192	0	0	SLU 18	48333	252.1	-3	-153702	-23048	SLU 17	528986	3.13	Si
-124	54	-	378	2000	-192	0	0	SLU 16	48333	252.1	3	-153702	-23048	SLU 17	528986	3.13	Si
-124	55	-	378	2150	-192	0	0	SLU 17	48333	252.1	8	-153699	-22635	SLU 17	530737	3.14	Si
-124	56	-	378	2350	0	0	0	SLU 1	48333	10000	-13	-65	-23028	SLU 17	529070	7204.98	Si
-124	57	-	378	2450	0	0	0	SLU 1	48333	10000	-8	-68	-22719	SLU 17	530381	7082.62	Si
-124	58	-	378	2550	0	0	0	SLU 1	48333	10000	0	-69	-22635	SLU 17	530737	6971.25	Si
-124	59	-	378	2650	0	0	0	SLU 1	48333	10000	8	-68	-22719	SLU 17	530381	7082.62	Si
-124	60	-	378	2750	0	0	0	SLU 1	48333	10000	13	-65	-23028	SLU 17	529070	7204.98	Si
-124	52	-	378	1700	-174	12	1	SLD 13	48333	276.48	-9332	-139836	-15709	SLD 13	543970	3.53	Si
-124	53	-	378	1850	-174	12	1	SLD 13	48333	276.71	-9330	-139717	-15556	SLD 13	543970	3.54	Si
-124	54	-	378	2000	-174	-12	-1	SLD 15	48333	276.71	9330	-139718	-15556	SLD 15	543970	3.54	Si
-124	55	-	378	2150	-174	-12	-1	SLD 15	48333	276.48	9332	-139837	-15709	SLD 15	543970	3.53	Si
-124	56	-	378	2350	-127	10	1	SLD 13	48333	378.26	-7952	-102129	-13254	SLD 13	543970	4.83	Si
-124	57	-	378	2450	-127	10	1	SLD 13	48333	378.5	-7950	-102063	-12741	SLD 13	543970	4.84	Si
-124	58	-	378	2550	-127	10	1	SLD 13	48333	378.5	7946	-101996	-12317	SLD 15	543970	4.84	Si
-124	59	-	378	2650	-127	-10	-1	SLD 15	48333	378.5	7950	-102062	-12741	SLD 15	543970	4.84	Si
-124	60	-	378	2750	-127	-10	-1	SLD 15	48333	378.27	7952	-102126	-13255	SLD 15	543970	4.83	Si
-124	52	-	378	1700	-275	19	2	SLV FO 13	48333	175.28	-15065	-220547	-16220	SLV FO 13	543970	2.24	Si
-124	53	-	378	1850	-275	19	2	SLV FO 13	48333	175.43	-15061	-220356	-15673	SLV FO 13	543970	2.24	Si
-124	54	-	378	2000	-275	-19	-2	SLV FO 15	48333	175.43	15061	-220356	-15673	SLV FO 15	543970	2.24	Si
-124	55	-	378	2150	-275	-19	-2	SLV FO 15	48333	175.28	15065	-220549	-16220	SLV FO 15	543970	2.24	Si
-124	56	-	378	2350	-283	16	2	SLV FO 13	48333	170.22	-12835	-227268	-12605	SLV FO 13	543970	2.17	Si
-124	57	-	378	2450	-283	16	2	SLV FO 13	48333	170.3	-12831	-227162	-11763	SLV FO 13	543970	2.18	Si
-124	58	-	378	2550	-283	16	2	SLV FO 13	48333	170.38	12827	-227054	-11077	SLV FO 15	543970	2.18	Si
-124	59	-	378	2650	-283	-16	-2	SLV FO 15	48333	170.3	12831	-227161	-11763	SLV FO 15	543970	2.18	Si
-124	60	-	378	2750	-283	-16	-2	SLV FO 15	48333	170.23	12834	-227264	-12605	SLV FO 15	543970	2.17	Si
-186	52	-	378	1700	-759	0	0	SLU 17	48333	63.65	-7	-135368	-12670	SLU 17	543970	3.78	Si
-186	53	-	378	1850	-759	0	0	SLU 18	48333	63.64	-3	-135371	-5432	SLU 18	543970	3.78	Si
-186	54	-	378	2000	-759	0	0	SLU 18	48333	63.64	3	-135371	-5433	SLU 18	543970	3.78	Si
-186	55	-	378	2150	-759	0	0	SLU 17	48333	63.65	7	-135368	-12670	SLU 17	543970	3.78	Si
-186	56	-	378	2350	0	0	0	SLU 1	48333	10000	-12	-58	-7526	SLU 18	543970	8681.73	Si
-186	57	-	378	2450	0	0	0	SLU 1	48333	10000	-7	-60	-12717	SLU 17	543970	8521.71	Si
-186	58	-	378	2550	0	0	0	SLU 1	48333	10000	0	-61	-12670	SLU 17	543970	8382.09	Si
-186	59	-	378	2650	0	0	0	SLU 1	48333	10000	7	-60	-12717	SLU 17	543970	8521.71	Si
-186	60	-	378	2750	0	0	0	SLU 1	48333	10000	12	-58	-7539	SLU 18	543970	8681.65	Si
-186	52	-	378	1700	-691	46	0	SLD 13	48333	69.8	-8219	-123159	-8787	SLD 13	543970	4.14	Si
-186	53	-	378	1850	-690	46	0	SLD 13	48333	69.86	-8217	-123054	-8701	SLD 13	543970	4.15	Si
-186	54	-	378	2000	-690	-46	0	SLD 15	48333	69.86	8217	-123054	-8701	SLD 15	543970	4.15	Si
-186	55	-	378	2150	-691	-46	0	SLD 15	48333	69.8	8219	-123160	-8787	SLD 15	543970	4.14	Si
-186	56	-	378	2350	-505	39	0	SLD 13	48333	95.49	-7004	-89948	-7404	SLD 13	543970	5.67	Si
-186	57	-	378	2450	-504	39	0	SLD 13	48333	95.56	-7001	-89890	-7114	SLD 13	543970	5.67	Si
-186	58	-	378	2550	-504	-39	0	SLD 15	48333	95.62	6998	-89831	-6875	SLD 15	543970	5.68	Si
-186	59	-	378	2650	-504	-39	0	SLD 15	48333	95.56	7001	-89889	-7114	SLD 15	543970	5.67	Si
-186	60	-	378	2750	-505	-39	0	SLD 15	48333	95.5	7004	-89946	-7404	SLD 15	543970	5.67	Si
-186	52	-	378	1700	-1090	74	0	SLV FO 13	48333	44.25	-13268	-194244	-9075	SLV FO 13	543970	2.63	Si
-186	53	-	378	1850	-1089	74	0	SLV FO 13	48333	44.29	-13265	-194075	-8767	SLV FO 13	543970	2.63	Si
-186	54	-	378	2000	-1089	-74	0	SLV FO 15	48333	44.29	13265	-194076	-8767	SLV FO 15	543970	2.63	Si
-186	55	-	378	2150	-1090	-74	0	SLV FO 15	48333	44.25	13268	-194245	-9075	SLV FO 15	543970	2.63	Si
-186	56	-	378	2350	-1123	63	0	SLV FO 13	48333	42.97	-11304	-200163	-7037	SLV FO 13	543970	2.55	Si
-186	57	-	378	2450	-1122	63	0	SLV FO 13	48333	42.99	-11301	-200070	-6563	SLV FO 13	543970	2.55	Si
-186	58	-	378	2550	-1122	-63	0	SL									

Interventi di miglioramento della diga di Cepparello nel Comune di Poggibonsi (SI)

ET.09.4 – Tabulati di calcolo_Canali fugatori con fondazioni su pali

Posizione					Taglio					Pressoflessione					Verifica		
Quota	Filo	Ind.	Xp	Yp	Tx	Ty	Mt	Comb.	Vrd	C.S.tt	Mx	My	N	Comb.	Mrd	C.S.pf	Verifica
-248	53	-	378	1850	-1089	74	0	SLV FO 13	48333	44.29	-8643	-126458	-8804	SLV FO 13	543970	2.63	Si
-248	54	-	378	2000	-1089	-74	0	SLV FO 15	48333	44.29	8643	-126458	-8804	SLV FO 15	543970	2.63	Si
-248	55	-	378	2150	-1090	-74	0	SLV FO 15	48333	44.25	8645	-126568	-9112	SLV FO 15	543970	2.63	Si
-248	56	-	378	2350	-1123	63	0	SLV FO 13	48333	42.97	-7366	-130424	-7075	SLV FO 13	543970	2.55	Si
-248	57	-	378	2450	-1122	63	0	SLV FO 13	48333	42.99	-7364	-130364	-6601	SLV FO 13	543970	2.55	Si
-248	58	-	378	2550	-1122	-63	0	SLV FO 15	48333	43.01	7361	-130301	-6214	SLV FO 15	543970	2.55	Si
-248	59	-	378	2650	-1122	-63	0	SLV FO 15	48333	42.99	7364	-130363	-6601	SLV FO 15	543970	2.55	Si
-248	60	-	378	2750	-1123	-63	0	SLV FO 15	48333	42.97	7365	-130422	-7075	SLV FO 15	543970	2.55	Si
-342	52	-	378	1700	-759	0	0	SLU 17	48333	63.65	-1	-17459	-12791	SLU 17	543970	3.78	Si
-342	53	-	378	1850	-759	0	0	SLU 18	48333	63.64	0	-17460	-5553	SLU 18	543970	3.78	Si
-342	54	-	378	2000	-759	0	0	SLU 18	48333	63.64	0	-17460	-5554	SLU 18	543970	3.78	Si
-342	55	-	378	2150	-759	0	0	SLU 17	48333	63.65	1	-17459	-12791	SLU 17	543970	3.78	Si
-342	56	-	378	2350	0	0	0	SLU 1	48333	10000	-2	-7	-7648	SLU 18	543970	8681.73	Si
-342	57	-	378	2450	0	0	0	SLU 1	48333	10000	-1	-8	-12839	SLU 17	543970	8521.71	Si
-342	58	-	378	2550	0	0	0	SLU 1	48333	10000	0	-8	-12791	SLU 17	543970	8382.09	Si
-342	59	-	378	2650	0	0	0	SLU 1	48333	10000	1	-8	-12839	SLU 17	543970	8521.71	Si
-342	60	-	378	2750	0	0	0	SLU 1	48333	10000	2	-7	-7660	SLU 18	543970	8681.65	Si
-342	52	-	378	1700	-691	46	0	SLD 13	48333	69.8	-1060	-15884	-8880	SLD 13	543970	4.14	Si
-342	53	-	378	1850	-690	46	0	SLD 13	48333	69.86	-1060	-15871	-8794	SLD 13	543970	4.15	Si
-342	54	-	378	2000	-690	-46	0	SLD 15	48333	69.86	1060	-15871	-8794	SLD 15	543970	4.15	Si
-342	55	-	378	2150	-691	-46	0	SLD 15	48333	69.8	1060	-15885	-8880	SLD 15	543970	4.14	Si
-342	56	-	378	2350	-505	39	0	SLD 13	48333	95.49	-903	-11601	-7497	SLD 13	543970	5.67	Si
-342	57	-	378	2450	-504	39	0	SLD 13	48333	95.56	-903	-11594	-7207	SLD 13	543970	5.67	Si
-342	58	-	378	2550	-504	-39	0	SLD 15	48333	95.62	903	-11586	-6969	SLD 15	543970	5.68	Si
-342	59	-	378	2650	-504	-39	0	SLD 15	48333	95.56	903	-11594	-7207	SLD 15	543970	5.67	Si
-342	60	-	378	2750	-505	-39	0	SLD 15	48333	95.5	903	-11601	-7497	SLD 15	543970	5.67	Si
-342	52	-	378	1700	-1090	74	0	SLV FO 13	48333	44.25	-1711	-25053	-9168	SLV FO 13	543970	2.63	Si
-342	53	-	378	1850	-1089	74	0	SLV FO 13	48333	44.29	-1711	-25031	-8860	SLV FO 13	543970	2.63	Si
-342	54	-	378	2000	-1089	-74	0	SLV FO 15	48333	44.29	1711	-25031	-8860	SLV FO 15	543970	2.63	Si
-342	55	-	378	2150	-1090	-74	0	SLV FO 15	48333	44.25	1711	-25053	-9168	SLV FO 15	543970	2.63	Si
-342	56	-	378	2350	-1123	63	0	SLV FO 13	48333	42.97	-1458	-25816	-7131	SLV FO 13	543970	2.55	Si
-342	57	-	378	2450	-1122	63	0	SLV FO 13	48333	42.99	-1458	-25804	-6657	SLV FO 13	543970	2.55	Si
-342	58	-	378	2550	-1122	-63	0	SLV FO 15	48333	43.01	1457	-25792	-6270	SLV FO 15	543970	2.55	Si
-342	59	-	378	2650	-1122	-63	0	SLV FO 15	48333	42.99	1458	-25804	-6657	SLV FO 15	543970	2.55	Si
-342	60	-	378	2750	-1123	-63	0	SLV FO 15	48333	42.97	1458	-25816	-7131	SLV FO 15	543970	2.55	Si
-404	52	-	378	1700	-87	0	0	SLU 17	48333	552.89	-1	-9731	-5683	SLU 17	543970	36.6	Si
-404	53	-	378	1850	-87	0	0	SLU 18	48333	552.88	0	-9731	-2436	SLU 18	543970	36.6	Si
-404	54	-	378	2000	-87	0	0	SLU 18	48333	552.88	0	-9731	-2437	SLU 18	543970	36.6	Si
-404	55	-	378	2150	-87	0	0	SLU 17	48333	552.89	1	-9731	-5683	SLU 17	543970	36.6	Si
-404	56	-	378	2350	0	0	0	SLU 1	48333	10000	0	-2	-3354	SLU 1	543970	10000	Si
-404	57	-	378	2450	0	0	0	SLU 1	48333	10000	0	-2	-3345	SLU 1	543970	10000	Si
-404	58	-	378	2550	0	0	0	SLU 1	48333	10000	0	-2	-3343	SLU 1	543970	10000	Si
-404	59	-	378	2650	0	0	0	SLU 1	48333	10000	0	-2	-3345	SLU 1	543970	10000	Si
-404	60	-	378	2750	0	0	0	SLU 1	48333	10000	0	-2	-3354	SLU 1	543970	10000	Si
-404	52	-	378	1700	-80	5	0	SLD 13	48333	606.36	-591	-8853	-3941	SLD 13	543970	40.14	Si
-404	53	-	378	1850	-79	5	0	SLD 13	48333	606.87	-591	-8846	-3902	SLD 13	543970	40.18	Si
-404	54	-	378	2000	-79	-5	0	SLD 15	48333	606.87	591	-8846	-3902	SLD 15	543970	40.18	Si
-404	55	-	378	2150	-80	-5	0	SLD 15	48333	606.35	591	-8853	-3941	SLD 15	543970	40.14	Si
-404	56	-	378	2350	-58	5	0	SLD 13	48333	829.57	-503	-6466	-3321	SLD 13	543970	54.92	Si
-404	57	-	378	2450	-58	5	0	SLD 13	48333	830.1	-503	-6462	-3191	SLD 13	543970	54.96	Si
-404	58	-	378	2550	-58	-5	0	SLD 15	48333	830.65	503	-6458	-3084	SLD 15	543970	54.99	Si
-404	59	-	378	2650	-58	-5	0	SLD 15	48333	830.11	503	-6462	-3191	SLD 15	543970	54.96	Si
-404	60	-	378	2750	-58	-5	0	SLD 15	48333	829.59	503	-6466	-3321	SLD 15	543970	54.92	Si
-404	52	-	378	1700	-125	9	0	SLV FO 13	48333	384.42	-954	-13963	-4070	SLV FO 13	543970	25.45	Si
-404	53	-	378	1850	-125	9	0	SLV FO 13	48333	384.75	-954	-13951	-3932	SLV FO 13	543970	25.47	Si
-404	54	-	378	2000	-125	-9	0	SLV FO 15	48333	384.75	954	-13951	-3932	SLV FO 15	543970	25.47	Si
-404	55	-	378	2150	-125	-9	0	SLV FO 15	48333	384.41	954	-13963	-4070	SLV FO 15	543970	25.45	Si
-404	56	-	378	2350	-129	7	0	SLV FO 13	48333	373.32	-813	-14389	-3156	SLV FO 13	543970	24.72	Si
-404	57	-	378	2450	-129	7	0	SLV FO 13	48333	373.49	-812	-14382	-2944	SLV FO 13	543970	24.73	Si
-404	58	-	378	2550	-129	-7	0	SLV FO 15	48333	373.67	812	-14375	-2770	SLV FO 15	543970	24.74	Si
-404	59	-	378	2650	-129	-7	0	SLV FO 15	48333	373.5	812	-14382	-2944	SLV FO 15	543970	24.73	Si
-404	60	-	378	2750	-129	-7	0	SLV FO 15	48333	373.33	813	-14389	-3156	SLV FO 15	543970	24.72	Si
-466	52	-	378	1700	-87	0	0	SLU 17	48333	552.89	0	-4302	-5731	SLU 17	543970	36.6	Si
-466	53	-	378	1850	-87	0	0	SLU 18	48333	552.88	0	-4302	-2485	SLU 18	543970	36.6	Si
-466	54	-	378	2000	-87	0	0	SLU 18	48333	552.88	0	-4302	-2485	SLU 18	543970	36.6	Si
-466	55	-	378	2150	-87	0	0	SLU 17	48333	552.89	0	-4302	-5731	SLU 17	543970	36.6	Si
-466	56	-	378	2350	0	0	0	SLU 1	48333	10000	0	-1	-3391	SLU 1	543970	10000	Si
-466	57	-	378	2450	0	0	0	SLU 1	48333	10000	0	-1	-3383	SLU 1	543970	10000	Si
-466	58	-	378	2550	0	0	0	SLU 1	48333	10000	0	-1	-3381	SLU 1	543970	10000	Si
-466	59	-	378	2650	0	0	0	SLU 1	48333	10000	0	-1	-3383	SLU 1	543970	10000	Si
-466	60	-	378	2750	0	0	0	SLU 1	48333	10000	0	-1	-3391	SLU 1	543970	10000	Si
-466	52	-	378	1700	-80	5	0	SLD 13	48333	606.36	-261	-3914	-3978	SLD 13	543970	40.14	Si
-466	53	-	378	1850	-79	5	0	SLD 13	48333	606.87	-261	-3911	-3940	SLD 13	543970	40.18	Si
-466	54	-	378	2000	-79	-5	0	SLD 15	48333	606.87	261	-3911	-3940	SLD 15	543970	40.18	Si
-466	55	-	378	2150	-80	-5	0	SLD 15	48333	606.35	261	-3914	-3978	SLD 15	543970	40.14	Si
-466	56	-	378	2350	-58	5	0	SLD 13	48333	829.57	-223	-2858	-3358	SLD 13	543970	54.92	Si
-466	57	-	378	2450	-58	5	0	SLD 13	48333	830.1	-223	-2857	-3228	SLD 13	543970	54.96	Si
-466	58	-	378	2550	-58	-5	0	SLD 15	48333	830.65	222	-2855	-312				

Interventi di miglioramento della diga di Cepparello nel Comune di Poggibonsi (SI)

ET.09.4 – Tabulati di calcolo_Canali fugatori con fondazioni su pali

Posizione					Taglio							PressoFlessione							Verifica
Quota	Filo	Ind.	Xp	Yp	Tx	Ty	Mt	Comb.	Vrd	C.S.tt	Mx	My	N	Comb.	Mrd	C.S.pf			
-528	52	-	378	1700	0	0	0	SLD 1	48333	10000	0	0	-128	SLD 1	543970	10000	Si		
-528	53	-	378	1850	0	0	0	SLD 1	48333	10000	0	0	-129	SLD 1	543970	10000	Si		
-528	54	-	378	2000	0	0	0	SLD 1	48333	10000	0	0	-124	SLD 1	543970	10000	Si		
-528	55	-	378	2150	0	0	0	SLD 1	48333	10000	0	0	-114	SLD 1	543970	10000	Si		
-528	56	-	378	2350	0	0	0	SLD 1	48333	10000	0	0	-120	SLD 1	543970	10000	Si		
-528	57	-	378	2450	0	0	0	SLD 1	48333	10000	0	0	-115	SLD 1	543970	10000	Si		
-528	58	-	378	2550	0	0	0	SLD 1	48333	10000	0	0	-111	SLD 1	543970	10000	Si		
-528	59	-	378	2650	0	0	0	SLD 1	48333	10000	0	0	-107	SLD 1	543970	10000	Si		
-528	60	-	378	2750	0	0	0	SLD 1	48333	10000	0	0	-102	SLD 1	543970	10000	Si		
-528	52	-	378	1700	0	0	0	SLV FO 1	48333	10000	0	0	-132	SLV FO 1	543970	10000	Si		
-528	53	-	378	1850	0	0	0	SLV FO 1	48333	10000	0	0	-130	SLV FO 1	543970	10000	Si		
-528	54	-	378	2000	0	0	0	SLV FO 1	48333	10000	0	0	-123	SLV FO 1	543970	10000	Si		
-528	55	-	378	2150	0	0	0	SLV FO 1	48333	10000	0	0	-108	SLV FO 1	543970	10000	Si		
-528	56	-	378	2350	0	0	0	SLV FO 1	48333	10000	0	0	-137	SLV FO 1	543970	10000	Si		
-528	57	-	378	2450	0	0	0	SLV FO 1	48333	10000	0	0	-131	SLV FO 1	543970	10000	Si		
-528	58	-	378	2550	0	0	0	SLV FO 1	48333	10000	0	0	-124	SLV FO 1	543970	10000	Si		
-528	59	-	378	2650	0	0	0	SLV FO 1	48333	10000	0	0	-117	SLV FO 1	543970	10000	Si		
-528	60	-	378	2750	0	0	0	SLV FO 1	48333	10000	0	0	-109	SLV FO 1	543970	10000	Si		
-590	52	-	378	1700	0	0	0	SLU 1	48333	10000	0	0	-157	SLU 1	543970	10000	Si		
-590	53	-	378	1850	0	0	0	SLU 1	48333	10000	0	0	-161	SLU 1	543970	10000	Si		
-590	54	-	378	2000	0	0	0	SLU 1	48333	10000	0	0	-161	SLU 1	543970	10000	Si		
-590	55	-	378	2150	0	0	0	SLU 1	48333	10000	0	0	-157	SLU 1	543970	10000	Si		
-590	56	-	378	2350	0	0	0	SLU 1	48333	10000	0	0	-138	SLU 1	543970	10000	Si		
-590	57	-	378	2450	0	0	0	SLU 1	48333	10000	0	0	-138	SLU 1	543970	10000	Si		
-590	58	-	378	2550	0	0	0	SLU 1	48333	10000	0	0	-138	SLU 1	543970	10000	Si		
-590	59	-	378	2650	0	0	0	SLU 1	48333	10000	0	0	-138	SLU 1	543970	10000	Si		
-590	60	-	378	2750	0	0	0	SLU 1	48333	10000	0	0	-138	SLU 1	543970	10000	Si		
-590	52	-	378	1700	0	0	0	SLD 1	48333	10000	0	0	-166	SLD 1	543970	10000	Si		
-590	53	-	378	1850	0	0	0	SLD 1	48333	10000	0	0	-166	SLD 1	543970	10000	Si		
-590	54	-	378	2000	0	0	0	SLD 1	48333	10000	0	0	-161	SLD 1	543970	10000	Si		
-590	55	-	378	2150	0	0	0	SLD 1	48333	10000	0	0	-151	SLD 1	543970	10000	Si		
-590	56	-	378	2350	0	0	0	SLD 1	48333	10000	0	0	-157	SLD 1	543970	10000	Si		
-590	57	-	378	2450	0	0	0	SLD 1	48333	10000	0	0	-153	SLD 1	543970	10000	Si		
-590	58	-	378	2550	0	0	0	SLD 1	48333	10000	0	0	-149	SLD 1	543970	10000	Si		
-590	59	-	378	2650	0	0	0	SLD 1	48333	10000	0	0	-144	SLD 1	543970	10000	Si		
-590	60	-	378	2750	0	0	0	SLD 1	48333	10000	0	0	-140	SLD 1	543970	10000	Si		
-590	52	-	378	1700	0	0	0	SLV FO 1	48333	10000	0	0	-169	SLV FO 1	543970	10000	Si		
-590	53	-	378	1850	0	0	0	SLV FO 1	48333	10000	0	0	-168	SLV FO 1	543970	10000	Si		
-590	54	-	378	2000	0	0	0	SLV FO 1	48333	10000	0	0	-160	SLV FO 1	543970	10000	Si		
-590	55	-	378	2150	0	0	0	SLV FO 1	48333	10000	0	0	-146	SLV FO 1	543970	10000	Si		
-590	56	-	378	2350	0	0	0	SLV FO 1	48333	10000	0	0	-174	SLV FO 1	543970	10000	Si		
-590	57	-	378	2450	0	0	0	SLV FO 1	48333	10000	0	0	-168	SLV FO 1	543970	10000	Si		
-590	58	-	378	2550	0	0	0	SLV FO 1	48333	10000	0	0	-162	SLV FO 1	543970	10000	Si		
-590	59	-	378	2650	0	0	0	SLV FO 1	48333	10000	0	0	-154	SLV FO 1	543970	10000	Si		
-590	60	-	378	2750	0	0	0	SLV FO 1	48333	10000	0	0	-146	SLV FO 1	543970	10000	Si		

Verifica di capacità portante per la famiglia SLU

Verifica di capacità portante verticale riferita al palo singolo

Fattore di correlazione ψ scelto in base alla conoscenza del sito = 1.7

Peso del palo = 701 * 1.3

Filo	Ind.	Xp	Yp	yR laterale	yR punta	Pl,d	Pp,d	Def.vol	Comb.	Cnd	N	Ed	Rd	C.S.	Verifica
52	-	378	1700.11	1.15	1.35	30756	24845		SLU 14	lungo	-46773	-47684	55601	1.17	Si
53	-	378	1850.11	1.15	1.35	30756	24845		SLU 14	lungo	-48160	-49071	55601	1.13	Si
54	-	378	2000.11	1.15	1.35	30756	24845		SLU 14	lungo	-48157	-49068	55601	1.13	Si
55	-	378	2150.11	1.15	1.35	30756	24845		SLU 14	lungo	-46759	-47671	55601	1.17	Si
56	-	378	2350.11	1.15	1.35	30756	24845		SLU 14	lungo	-37941	-38852	55601	1.43	Si
57	-	378	2450.11	1.15	1.35	30756	24845		SLU 14	lungo	-38142	-39053	55601	1.42	Si
58	-	378	2550.11	1.15	1.35	30756	24845		SLU 14	lungo	-38202	-39113	55601	1.42	Si
59	-	378	2650.11	1.15	1.35	30756	24845		SLU 14	lungo	-38116	-39027	55601	1.42	Si
60	-	378	2750.11	1.15	1.35	30756	24845		SLU 14	lungo	-37879	-38790	55601	1.43	Si

Verifica di capacità portante trasversale riferita al palo singolo

Fattore di correlazione ψ scelto in base alla conoscenza del sito = 1.7

Filo	Ind.	Xp	Yp	yR trasversale	LRf	Comb.	Cnd	Rd	Ed (T)	C.S.	Verifica
52	-	378	1700.11	1.3	1	SLU 17	D	9662.7	3753	2.57	Si
53	-	378	1850.11	1.3	1	SLU 18	D	9662.7	3753.1	2.57	Si
54	-	378	2000.11	1.3	1	SLU 18	D	9662.7	3753.1	2.57	Si
55	-	378	2150.11	1.3	1	SLU 17	D	9662.7	3753	2.57	Si
56	-	378	2350.11	1.3	1	SLU 18	D	9662.7	1.6	5915.58	Si
57	-	378	2450.11	1.3	1	SLU 17	D	9662.7	1.7	5806.54	Si
58	-	378	2550.11	1.3	1	SLU 17	D	9662.7	1.7	5711.41	Si
59	-	378	2650.11	1.3	1	SLU 17	D	9662.7	1.7	5806.54	Si
60	-	378	2750.11	1.3	1	SLU 18	D	9662.7	1.6	5915.52	Si

Parametri utilizzati nel calcolo

Filo	Ind.	Xp	Yp	Tipo	L.frs.	L.tr.lib.	L.tr.inf.	Coes.	Fi	P.spec	T max	Mecc.coll.	M.plast.sup.	Quota sup.	N sup.	M.plast.inf.	Quota inf.	N inf.
52	-	378	1700.11	TL	22	0	600		36	0.0014	21355	PC	4928634	-376.2				
53	-	378	1850.11	TL	22	0	600		36	0.0014	21355	PC	4928634	-376.2				
54	-	378	2000.11	TL	22	0	600		36	0.0014	21355	PC	4928634	-376.2				
55	-	378	2150.11	TL	22	0	600		36	0.0014	21355	PC	4928634	-376.2				
56	-	378	2350.11	TL	22	0	600		36	0.0014	21355	PC	4928634	-376.2				
57	-	378	2450.11	TL	22	0	600		36	0.0014	21355	PC	4928634	-376.2				
58	-	378	2550.11	TL	22	0	600		36	0.0014	21355	PC	4928634	-376.2				
59	-	378	2650.11	TL	22	0	600		36	0.0014	21355	PC	4928634	-376.2				
60	-	378	2750.11	TL	22	0	600		36	0.0014	21355	PC	4928634	-376.2				

Verifica di capacità portante per la famiglia SLD

Verifica di capacità portante verticale riferita al palo singolo

Fattore di correlazione ψ scelto in base alla conoscenza del sito = 1.7

Peso del palo = 701 * 1

Filo	Ind.	Xp	Yp	yR laterale	yR punta	Pl,d	Pp,d	Def.vol	Comb.	Cnd	N	Ed	Rd	C.S.	Verifica
52	-	378	1700.11	1.15	1.35	30756	24845		SLD 5	lungo	-17978	-18679	55601	2.98	Si
53	-	378	1850.11	1.15	1.35	30756	24845		SLD 5	lungo	-16824	-17525	55601	3.17	Si
54	-	378	2000.11	1.15	1.35	30756	24845		SLD 7	lungo	-16824	-17525	55601	3.17	Si
55	-	378	2150.11	1.15	1.35	30756	24845		SLD 7	lungo	-17978	-18679	55601	2.98	Si
56	-	378	2350.11	1.15	1.35	30756	24845		SLD 5	lungo	-16882	-17583	55601	3.16	Si
57	-	378	2450.11	1.15	1.35	30756	24845		SLD 5	lungo	-15401	-16102	55601		

Interventi di miglioramento della diga di Cepparello nel Comune di Poggibonsi (SI)

ET.09.4 – Tabulati di calcolo_Canali fagatori con fondazioni su pali

Filo	Ind.	Xp	Yp	yR laterale	yR punta	Pl,d	Pp,d	Def.vol	Comb.	Cnd	N	Ed	Rd	C.S.	Verifica
58	-	378	2550.11	1.15	1.35	30756	24845		SLD 1	lungo	-14750	-15451	55601	3.6	Si
59	-	378	2650.11	1.15	1.35	30756	24845		SLD 7	lungo	-15401	-16102	55601	3.45	Si
60	-	378	2750.11	1.15	1.35	30756	24845		SLD 7	lungo	-16882	-17583	55601	3.16	Si

Verifica di capacità portante per la famiglia SLV FO

Verifica di capacità portante verticale riferita al palo singolo

Fattore di correlazione ψ scelto in base alla conoscenza del sito = 1.7

Peso del palo = 701 * 1

Filo	Ind.	Xp	Yp	yR laterale	yR punta	Pl,d	Pp,d	Def.vol	Comb.	Cnd	N	Ed	Rd	C.S.	Verifica
52	-	378	1700.11	1.15	1.35	30756	24845		SLV FO 5	lungo	-19401	-20102	55601	2.77	Si
53	-	378	1850.11	1.15	1.35	30756	24845		SLV FO 5	lungo	-17303	-18004	55601	3.09	Si
54	-	378	2000.11	1.15	1.35	30756	24845		SLV FO 7	lungo	-17303	-18004	55601	3.09	Si
55	-	378	2150.11	1.15	1.35	30756	24845		SLV FO 7	lungo	-19401	-20102	55601	2.77	Si
56	-	378	2350.11	1.15	1.35	30756	24845		SLV FO 5	lungo	-18993	-19694	55601	2.82	Si
57	-	378	2450.11	1.15	1.35	30756	24845		SLV FO 1	lungo	-16681	-17382	55601	3.2	Si
58	-	378	2550.11	1.15	1.35	30756	24845		SLV FO 1	lungo	-16028	-16729	55601	3.32	Si
59	-	378	2650.11	1.15	1.35	30756	24845		SLV FO 3	lungo	-16681	-17382	55601	3.2	Si
60	-	378	2750.11	1.15	1.35	30756	24845		SLV FO 7	lungo	-18992	-19693	55601	2.82	Si

Verifica di capacità portante trasversale riferita al palo singolo

Fattore di correlazione ψ scelto in base alla conoscenza del sito = 1.7

Filo	Ind.	Xp	Yp	yR trasversale	LRF	Comb.	Cnd	Rd	Ed (T)	C.S.	Verifica
52	-	378	1700.11	1.3	1	SLV FO 13	D	9662.7	5397.8	1.79	Si
53	-	378	1850.11	1.3	1	SLV FO 13	D	9662.7	5393.2	1.79	Si
54	-	378	2000.11	1.3	1	SLV FO 15	D	9662.7	5393.2	1.79	Si
55	-	378	2150.11	1.3	1	SLV FO 15	D	9662.7	5397.9	1.79	Si
56	-	378	2350.11	1.3	1	SLV FO 13	D	9662.7	5558.2	1.74	Si
57	-	378	2450.11	1.3	1	SLV FO 13	D	9662.7	5555.7	1.74	Si
58	-	378	2550.11	1.3	1	SLV FO 15	D	9662.7	5553	1.74	Si
59	-	378	2650.11	1.3	1	SLV FO 15	D	9662.7	5555.6	1.74	Si
60	-	378	2750.11	1.3	1	SLV FO 15	D	9662.7	5558.2	1.74	Si

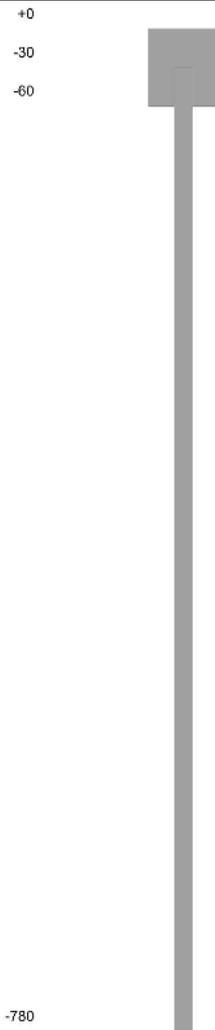
Parametri utilizzati nel calcolo

Filo	Ind.	Xp	Yp	Tipo	L.frs.	L.tr.lib.	L.tr.inf.	Coes.	Fi	P.spec	T max	Mecc.coll.	M.plast.sup.	Quota sup.	N sup.	M.plast.inf.	Quota inf.	N inf.
52	-	378	1700.11	TL	22	0	600		36	0.0014	21355	PC	4928634	-376.2				
53	-	378	1850.11	TL	22	0	600		36	0.0014	21355	PC	4928634	-376.2				
54	-	378	2000.11	TL	22	0	600		36	0.0014	21355	PC	4928634	-376.2				
55	-	378	2150.11	TL	22	0	600		36	0.0014	21355	PC	4928634	-376.2				
56	-	378	2350.11	TL	22	0	600		36	0.0014	21355	PC	4928634	-376.2				
57	-	378	2450.11	TL	22	0	600		36	0.0014	21355	PC	4928634	-376.2				
58	-	378	2550.11	TL	22	0	600		36	0.0014	21355	PC	4928634	-376.2				
59	-	378	2650.11	TL	22	0	600		36	0.0014	21355	PC	4928634	-376.2				
60	-	378	2750.11	TL	22	0	600		36	0.0014	21355	PC	4928634	-376.2				

9 pali "Micropalo D139.7x10 perf 220" gruppo 7 "PALI DI VALLE SFIORATORE SX"

Verifiche effettuate secondo D.M. 17-01-18 (N.T.C.)

Geometria



-780

Pali coinvolti

Palo a coordinate x,y: (622, 1700.1)[filo 61];(622, 1850.1)[filo 62];(622, 2000.1)[filo 63];(622, 2150.1)[filo 64];(622, 2350.1)[filo 65];(622, 2450.1)[filo 66];(622, 2550.1)[filo 67];(622, 2650.1)[filo 68];(622, 2750.1)[filo 69];

Caratteristiche geometriche

Tubo in acciaio EN10219 139.7x10

Diametro tubo 140 mm

Spessore tubo 10 mm

Lunghezza 750 cm

Caratteristiche dei materiali

Calcestruzzo C25/30

Acciaio S355

Verifiche secondo DM18

Posizione					Taglio							PressoFlessione					Verifica
Quota	Filo	Ind.	Xp	Yp	Tx	Ty	Mt	Comb.	Vrd	C.S.tt	Mx	My	N	Comb.	Mrd	C.S.pf	
0	61	-	622	1700	3196	0	0	SLU 18	48333	15.12	0	0	-4253	SLU 1	543970	10000	Si
0	62	-	622	1850	3196	0	0	SLU 17	48333	15.12	0	0	-4331	SLU 1	543970	10000	Si
0	63	-	622	2000	3196	0	0	SLU 17	48333	15.12	0	0	-4331	SLU 1	543970	10000	Si
0	64	-	622	2150	3196	0	0	SLU 18	48333	15.12	0	0	-4253	SLU 1	543970	10000	Si
0	65	-	622	2350	-1	0	0	SLU 1	48333	10000	0	0	-4141	SLU 1	543970	10000	Si
0	66	-	622	2450	-1	0	0	SLU 1	48333	10000	0	0	-4134	SLU 1	543970	10000	Si
0	67	-	622	2550	-1	0	0	SLU 1	48333	10000	0	0	-4131	SLU 1	543970	10000	Si
0	68	-	622	2650	-1	0	0	SLU 1	48333	10000	0	0	-4134	SLU 1	543970	10000	Si
0	69	-	622	2750	-1	0	0	SLU 1	48333	10000	0	0	-4141	SLU 1	543970	10000	Si
0	61	-	622	1700	2908	-196	1	SLD 13	48333	16.58	0	0	-3822	SLD 1	543970	10000	Si
0	62	-	622	1850	2905	-196	2	SLD 13	48333	16.6	0	0	-3775	SLD 1	543970	10000	Si
0	63	-	622	2000	2906	196	-2	SLD 15	48333	16.6	0	0	-3644	SLD 1	543970	10000	Si
0	64	-	622	2150	2908	196	-1	SLD 15	48333	16.58	0	0	-3423	SLD 1	543970	10000	Si
0	65	-	622	2350	-2124	166	-1	SLD 3	48333	22.68	0	0	-3993	SLD 1	543970	10000	Si
0	66	-	622	2450	-2123	166	-1	SLD 3	48333	22.7	0	0	-3855	SLD 1	543970	10000	Si
0	67	-	622	2550	-2121	167	-1	SLD 3	48333	22.71	0	0	-3732	SLD 1	543970	10000	Si
0	68	-	622	2650	-2123	-166	1	SLD 1	48333	22.7	0	0	-3616	SLD 1	543970	10000	Si
0	69	-	622	2750	-2124	-166	1	SLD 1	48333	22.68	0	0	-3509	SLD 1	543970	10000	Si
0	61	-	622	1700	4587	-316	2	SLV FO 13	48333	10.51	0	0	-3170	SLV FO 1	543970	10000	Si
0	62	-	622	1850	4583	-316	3	SLV FO 13	48333	10.52	0	0	-3055	SLV FO 1	543970	10000	Si
0	63	-	622	2000	4583	316	-3	SLV FO 15	48333	10.52	0	0	-2843	SLV FO 1	543970	10000	Si
0	64	-	622	2150	4587	316	-2	SLV FO 15	48333	10.51	0	0	-2526	SLV FO 1	543970	10000	Si
0	65	-	622	2350	-4727	268	-2	SLV FO 3	48333	10.21	0	0	-3673	SLV FO 1	543970	10000	Si
0	66	-	622	2450	-4725	268	-2	SLV FO 3	48333	10.21	0	0	-3451	SLV FO 1	543970	10000	Si
0	67	-	622	2550	-4723	-269	2	SLV FO 1	48333	10.22	0	0	-3253	SLV FO 1	543970	10000	Si
0	68	-	622	2650	-4725	-268	2	SLV FO 1	48333	10.21	0	0	-3066	SLV FO 1	543970	10000	Si
0	69	-	622	2750	-4727	-268	2	SLV FO 1	48333	10.21	0	0	-2893	SLV FO 1	543970	10000	Si
-78	61	-	622	1700	-746	0	0	SLU 18	48333	64.83	-7	-207958	-2036	SLU 18	543970	2.52	Si
-78	62	-	622	1850	-746	0	0	SLU 17	48333	64.83	-2	-207962	-5630	SLU 17	543970	2.52	Si

Interventi di miglioramento della diga di Cepparello nel Comune di Poggibonsi (SI)

ET.09.4 – Tabulati di calcolo_Canali fugatori con fondazioni su pali

Posizione					Taglio						PressoFlessione						Verifica
Quota	Filo	Ind.	Xp	Yp	Tx	Ty	Mt	Comb.	Vrd	C.S.tt	Mx	My	N	Comb.	Mrd	C.S.pf	
-78	63	-	622	2000	-746	0	0	SLU 17	48333	64.83	2	-207962	-5630	SLU 17	543970	2.52	Si
-78	64	-	622	2150	-746	0	0	SLU 18	48333	64.83	7	-207958	-2037	SLU 18	543970	2.52	Si
-78	65	-	622	2350	0	0	0	SLU 1	48333	10000	-18	82	-3649	SLU 18	543970	6240.74	Si
-78	66	-	622	2450	0	0	0	SLU 1	48333	10000	-10	85	-6217	SLU 17	543970	6100.57	Si
-78	67	-	622	2550	0	0	0	SLU 1	48333	10000	0	88	-6198	SLU 17	543970	5981.14	Si
-78	68	-	622	2650	0	0	0	SLU 1	48333	10000	10	85	-6217	SLU 17	543970	6100.57	Si
-78	69	-	622	2750	0	0	0	SLU 1	48333	10000	18	82	-3654	SLU 18	543970	6240.68	Si
-78	61	-	622	1700	-678	46	1	SLD 13	48333	71.08	-12736	-189237	-4124	SLD 13	543970	2.77	Si
-78	62	-	622	1850	-678	46	1	SLD 13	48333	71.14	-12734	-189075	-4071	SLD 13	543970	2.77	Si
-78	63	-	622	2000	-678	-46	-1	SLD 15	48333	71.14	12734	-189076	-4071	SLD 15	543970	2.77	Si
-78	64	-	622	2150	-678	-46	-1	SLD 15	48333	71.08	-12736	-189239	-4124	SLD 15	543970	2.76	Si
-78	65	-	622	2350	496	-39	-1	SLD 3	48333	97.23	10822	138238	-2838	SLD 3	543970	3.78	Si
-78	66	-	622	2450	495	-39	-1	SLD 3	48333	97.29	10826	138148	-2925	SLD 3	543970	3.78	Si
-78	67	-	622	2550	495	-39	-1	SLD 3	48333	97.36	10854	138056	-3020	SLD 3	543970	3.79	Si
-78	68	-	622	2650	495	39	1	SLD 1	48333	97.29	-10826	138146	-2925	SLD 1	543970	3.78	Si
-78	69	-	622	2750	496	39	1	SLD 1	48333	97.23	-10822	138235	-2838	SLD 1	543970	3.78	Si
-78	61	-	622	1700	-1070	74	1	SLV FO 13	48333	45.06	-20550	-298471	-4856	SLV FO 13	543970	1.75	Si
-78	62	-	622	1850	-1069	74	1	SLV FO 13	48333	45.1	-20547	-298208	-4725	SLV FO 13	543970	1.75	Si
-78	63	-	622	2000	-1069	-74	-1	SLV FO 15	48333	45.1	20547	-298209	-4725	SLV FO 15	543970	1.75	Si
-78	64	-	622	2150	-1070	-74	-1	SLV FO 15	48333	45.06	20550	-298473	-4856	SLV FO 15	543970	1.75	Si
-78	65	-	622	2350	1103	-63	-1	SLV FO 3	48333	43.76	17465	307624	-2334	SLV FO 3	543970	1.7	Si
-78	66	-	622	2450	1102	-63	-1	SLV FO 3	48333	43.78	17470	307479	-2475	SLV FO 3	543970	1.7	Si
-78	67	-	622	2550	1102	63	1	SLV FO 1	48333	43.8	17521	307331	-2629	SLV FO 3	543970	1.7	Si
-78	68	-	622	2650	1102	63	1	SLV FO 1	48333	43.78	-17470	307477	-2475	SLV FO 1	543970	1.7	Si
-78	69	-	622	2750	1103	63	1	SLV FO 1	48333	43.76	-17465	307619	-2334	SLV FO 1	543970	1.7	Si
-156	61	-	622	1700	-746	0	0	SLU 18	48333	64.83	-5	-149885	-2097	SLU 18	543970	2.52	Si
-156	62	-	622	1850	-746	0	0	SLU 17	48333	64.83	-2	-149888	-5690	SLU 17	543970	2.52	Si
-156	63	-	622	2000	-746	0	0	SLU 17	48333	64.83	2	-149888	-5690	SLU 17	543970	2.52	Si
-156	64	-	622	2150	-746	0	0	SLU 18	48333	64.83	5	-149885	-2098	SLU 18	543970	2.52	Si
-156	65	-	622	2350	0	0	0	SLU 1	48333	10000	-13	59	-3710	SLU 18	543970	6240.74	Si
-156	66	-	622	2450	0	0	0	SLU 1	48333	10000	-7	62	-6278	SLU 17	543970	6100.57	Si
-156	67	-	622	2550	0	0	0	SLU 1	48333	10000	0	63	-6259	SLU 17	543970	5981.14	Si
-156	68	-	622	2650	0	0	0	SLU 1	48333	10000	7	62	-6278	SLU 17	543970	6100.57	Si
-156	69	-	622	2750	0	0	0	SLU 1	48333	10000	13	59	-3715	SLU 18	543970	6240.68	Si
-156	61	-	622	1700	-678	46	1	SLD 13	48333	71.08	-9180	-136392	-4170	SLD 13	543970	2.77	Si
-156	62	-	622	1850	-678	46	1	SLD 13	48333	71.14	-9178	-136275	-4118	SLD 13	543970	2.77	Si
-156	63	-	622	2000	-678	-46	-1	SLD 15	48333	71.14	9178	-136276	-4118	SLD 15	543970	2.77	Si
-156	64	-	622	2150	-678	-46	-1	SLD 15	48333	71.08	9179	-136393	-4170	SLD 15	543970	2.76	Si
-156	65	-	622	2350	496	-39	-1	SLD 3	48333	97.23	7800	99634	-2884	SLD 3	543970	3.78	Si
-156	66	-	622	2450	495	-39	-1	SLD 3	48333	97.29	7803	99569	-2972	SLD 3	543970	3.78	Si
-156	67	-	622	2550	495	-39	-1	SLD 3	48333	97.36	7823	99503	-3067	SLD 3	543970	3.79	Si
-156	68	-	622	2650	495	39	1	SLD 1	48333	97.29	-7803	99568	-2972	SLD 1	543970	3.78	Si
-156	69	-	622	2750	496	39	1	SLD 1	48333	97.23	-7800	99632	-2885	SLD 1	543970	3.78	Si
-156	61	-	622	1700	-1070	74	1	SLV FO 13	48333	45.06	-14811	-215122	-4903	SLV FO 13	543970	1.75	Si
-156	62	-	622	1850	-1069	74	1	SLV FO 13	48333	45.1	-14809	-214933	-4772	SLV FO 13	543970	1.75	Si
-156	63	-	622	2000	-1069	-74	-1	SLV FO 15	48333	45.1	14809	-214933	-4772	SLV FO 15	543970	1.75	Si
-156	64	-	622	2150	-1070	-74	-1	SLV FO 15	48333	45.06	14811	-215123	-4903	SLV FO 15	543970	1.75	Si
-156	65	-	622	2350	1103	-63	-1	SLV FO 3	48333	43.76	12588	221719	-2381	SLV FO 3	543970	1.7	Si
-156	66	-	622	2450	1102	-63	-1	SLV FO 3	48333	43.78	12591	221615	-2522	SLV FO 3	543970	1.7	Si
-156	67	-	622	2550	1102	63	1	SLV FO 1	48333	43.8	12628	221508	-2676	SLV FO 3	543970	1.7	Si
-156	68	-	622	2650	1102	63	1	SLV FO 1	48333	43.78	-12591	221613	-2522	SLV FO 1	543970	1.7	Si
-156	69	-	622	2750	1103	63	1	SLV FO 1	48333	43.76	-12588	221716	-2381	SLV FO 1	543970	1.7	Si
-234	61	-	622	1700	-706	0	0	SLU 18	48333	68.47	-3	-93047	-1616	SLU 18	543970	4.73	Si
-234	62	-	622	1850	-706	0	0	SLU 17	48333	68.47	-1	-93048	-4442	SLU 17	543970	4.73	Si
-234	63	-	622	2000	-706	0	0	SLU 17	48333	68.47	1	-93048	-4442	SLU 17	543970	4.73	Si
-234	64	-	622	2150	-706	0	0	SLU 18	48333	68.47	3	-93047	-1617	SLU 18	543970	4.73	Si
-234	65	-	622	2350	0	0	0	SLU 1	48333	10000	-3	16	-2649	SLU 1	543970	10000	Si
-234	66	-	622	2450	0	0	0	SLU 1	48333	10000	-2	16	-2644	SLU 1	543970	10000	Si
-234	67	-	622	2550	0	0	0	SLU 1	48333	10000	0	17	-2643	SLU 1	543970	10000	Si
-234	68	-	622	2650	0	0	0	SLU 1	48333	10000	2	16	-2644	SLU 1	543970	10000	Si
-234	69	-	622	2750	0	0	0	SLU 1	48333	10000	3	16	-2649	SLU 1	543970	10000	Si
-234	61	-	622	1700	-642	43	0	SLD 13	48333	75.07	-5699	-84670	-3254	SLD 13	543970	5.18	Si
-234	62	-	622	1850	-642	43	0	SLD 13	48333	75.13	-5698	-84598	-3213	SLD 13	543970	5.19	Si
-234	63	-	622	2000	-642	-43	0	SLD 15	48333	75.13	5698	-84598	-3213	SLD 15	543970	5.19	Si
-234	64	-	622	2150	-642	-43	0	SLD 15	48333	75.07	5699	-84671	-3254	SLD 15	543970	5.18	Si
-234	65	-	622	2350	469	-37	0	SLD 3	48333	102.68	4842	61852	-2243	SLD 3	543970	7.09	Si
-234	66	-	622	2450	469	-37	0	SLD 3	48333	102.75	4844	61811	-2312	SLD 3	543970	7.09	Si
-234	67	-	622	2550	469	-37	0	SLD 3	48333	102.82	4856	61770	-2386	SLD 3	543970	7.1	Si
-234	68	-	622	2650	469	37	0	SLD 1	48333	102.75	-4844	61811	-2312	SLD 1	543970	7.1	Si
-234	69	-	622	2750	469	37	0	SLD 1	48333	102.69	-4842	61850	-2243	SLD 1	543970	7.09	Si
-234	61	-	622	1700	-1013	70	0	SLV FO 13	48333	47.59	-9195	-133545	-3830	SLV FO 13	543970	3.29	Si
-234	62	-	622	1850	-1012	70	0	SLV FO 13	48333	47.63	-9193	-133427	-3727	SLV FO 13	543970	3.29	Si
-234	63	-	622	2000	-1012	-70	0	SLV FO 15	48333	47.63	9193	-133428	-3727	SLV FO 15	543970	3.29	Si
-234	64	-	622	2150	-1013	-70	0	SLV FO 15	48333	47.59	9195	-133546	-3830	SLV FO 15	543970	3.29	Si
-234	65	-	622	2350	1044	-59	0	SLV FO 3	48333	46.21	7814	137640	-1847	SLV FO 3	543970	3.19	Si
-234	66	-	622	2450	1044	-59	0	SLV FO 3	48333	46.23	7817	137575	-1958	SLV FO 3	543970	3.19	Si
-234	67	-	622	2550	1043	-59	0	SLV FO 3	48333	46.25	7839	137509	-2079	SLV FO 3	543970	3.19	Si
-234	68	-	622	2650	1044	59											

Interventi di miglioramento della diga di Cepparello nel Comune di Poggibonsi (SI)

ET.09.4 – Tabulati di calcolo_Canali fuggatori con fondazioni su pali

Posizione					Taglio							PressoFlessione					Verifica
Quota	Filo	Ind.	Xp	Yp	Tx	Ty	Mt	Comb.	Vrd	C.S.tt	Mx	My	N	Comb.	Mrd	C.S.pf	
-312	62	-	622	1850	-1012	70	0	SLV FO 13	48333	47.63	-3760	-54574	-3774	SLV FO 13	543970	3.29	Si
-312	63	-	622	2000	-1012	-70	0	SLV FO 15	48333	47.63	3760	-54574	-3774	SLV FO 15	543970	3.29	Si
-312	64	-	622	2150	-1013	-70	0	SLV FO 15	48333	47.59	3761	-54622	-3877	SLV FO 15	543970	3.29	Si
-312	65	-	622	2350	1044	-59	0	SLV FO 3	48333	46.21	3196	56297	-1894	SLV FO 3	543970	3.19	Si
-312	66	-	622	2450	1044	-59	0	SLV FO 3	48333	46.23	3197	56271	-2005	SLV FO 3	543970	3.19	Si
-312	67	-	622	2550	1043	-59	0	SLV FO 3	48333	46.25	3206	56243	-2125	SLV FO 3	543970	3.19	Si
-312	68	-	622	2650	1044	59	0	SLV FO 1	48333	46.23	-3197	56270	-2005	SLV FO 1	543970	3.19	Si
-312	69	-	622	2750	1044	59	0	SLV FO 1	48333	46.21	-3196	56296	-1894	SLV FO 1	543970	3.19	Si
-428	61	-	622	1700	-125	0	0	SLU 18	48333	387.11	0	-1143	-1148	SLU 18	543970	49.75	Si
-428	62	-	622	1850	-125	0	0	SLU 17	48333	387.11	0	-1143	-3102	SLU 17	543970	49.75	Si
-428	63	-	622	2000	-125	0	0	SLU 17	48333	387.11	0	-1143	-3102	SLU 17	543970	49.75	Si
-428	64	-	622	2150	-125	0	0	SLU 18	48333	387.11	0	-1143	-1149	SLU 18	543970	49.75	Si
-428	65	-	622	2350	0	0	0	SLU 1	48333	10000	0	0	-1855	SLU 1	543970	10000	Si
-428	66	-	622	2450	0	0	0	SLU 1	48333	10000	0	0	-1852	SLU 1	543970	10000	Si
-428	67	-	622	2550	0	0	0	SLU 1	48333	10000	0	0	-1851	SLU 1	543970	10000	Si
-428	68	-	622	2650	0	0	0	SLU 1	48333	10000	0	0	-1852	SLU 1	543970	10000	Si
-428	69	-	622	2750	0	0	0	SLU 1	48333	10000	0	0	-1855	SLU 1	543970	10000	Si
-428	61	-	622	1700	-114	8	0	SLD 13	48333	424.45	-70	-1040	-2274	SLD 13	543970	54.55	Si
-428	62	-	622	1850	-114	8	0	SLD 13	48333	424.81	-70	-1039	-2245	SLD 13	543970	54.59	Si
-428	63	-	622	2000	-114	-8	0	SLD 15	48333	424.81	70	-1039	-2245	SLD 15	543970	54.59	Si
-428	64	-	622	2150	-114	-8	0	SLD 15	48333	424.45	70	-1040	-2274	SLD 15	543970	54.55	Si
-428	65	-	622	2350	83	-6	0	SLD 3	48333	580.58	59	760	-1575	SLD 3	543970	74.61	Si
-428	66	-	622	2450	83	-6	0	SLD 3	48333	580.95	60	759	-1622	SLD 3	543970	74.66	Si
-428	67	-	622	2550	83	-7	0	SLD 3	48333	581.33	60	759	-1674	SLD 3	543970	74.71	Si
-428	68	-	622	2650	83	6	0	SLD 1	48333	580.96	-60	759	-1622	SLD 1	543970	74.66	Si
-428	69	-	622	2750	83	6	0	SLD 1	48333	580.59	-59	760	-1575	SLD 1	543970	74.61	Si
-428	61	-	622	1700	-179	12	0	SLV FO 13	48333	269.08	-113	-1641	-2672	SLV FO 13	543970	34.58	Si
-428	62	-	622	1850	-179	12	0	SLV FO 13	48333	269.32	-113	-1639	-2601	SLV FO 13	543970	34.61	Si
-428	63	-	622	2000	-179	-12	0	SLV FO 15	48333	269.32	113	-1639	-2601	SLV FO 15	543970	34.61	Si
-428	64	-	622	2150	-179	-12	0	SLV FO 15	48333	269.08	113	-1641	-2672	SLV FO 15	543970	34.58	Si
-428	65	-	622	2350	185	-10	0	SLV FO 3	48333	261.27	96	1691	-1301	SLV FO 3	543970	33.58	Si
-428	66	-	622	2450	185	-10	0	SLV FO 3	48333	261.4	96	1690	-1378	SLV FO 3	543970	33.59	Si
-428	67	-	622	2550	185	-11	0	SLV FO 3	48333	261.52	96	1690	-1461	SLV FO 3	543970	33.61	Si
-428	68	-	622	2650	185	10	0	SLV FO 1	48333	261.4	-96	1690	-1378	SLV FO 1	543970	33.59	Si
-428	69	-	622	2750	185	10	0	SLV FO 1	48333	261.28	-96	1691	-1301	SLV FO 1	543970	33.58	Si
-506	61	-	622	1700	-125	0	0	SLU 18	48333	387.11	0	8582	-1209	SLU 18	543970	49.75	Si
-506	62	-	622	1850	-125	0	0	SLU 17	48333	387.11	0	8582	-3163	SLU 17	543970	49.75	Si
-506	63	-	622	2000	-125	0	0	SLU 17	48333	387.11	0	8582	-3163	SLU 17	543970	49.75	Si
-506	64	-	622	2150	-125	0	0	SLU 18	48333	387.11	0	8582	-1210	SLU 18	543970	49.75	Si
-506	65	-	622	2350	0	0	0	SLU 1	48333	10000	0	-1	-1902	SLU 1	543970	10000	Si
-506	66	-	622	2450	0	0	0	SLU 1	48333	10000	0	-2	-1899	SLU 1	543970	10000	Si
-506	67	-	622	2550	0	0	0	SLU 1	48333	10000	0	-2	-1898	SLU 1	543970	10000	Si
-506	68	-	622	2650	0	0	0	SLU 1	48333	10000	0	-2	-1899	SLU 1	543970	10000	Si
-506	69	-	622	2750	0	0	0	SLU 1	48333	10000	0	-1	-1902	SLU 1	543970	10000	Si
-506	61	-	622	1700	-114	8	0	SLD 13	48333	424.45	526	7810	-2321	SLD 13	543970	54.55	Si
-506	62	-	622	1850	-114	8	0	SLD 13	48333	424.81	526	7803	-2292	SLD 13	543970	54.59	Si
-506	63	-	622	2000	-114	-8	0	SLD 15	48333	424.81	-526	7803	-2292	SLD 15	543970	54.59	Si
-506	64	-	622	2150	-114	-8	0	SLD 15	48333	424.45	-526	7810	-2321	SLD 15	543970	54.55	Si
-506	65	-	622	2350	83	-6	0	SLD 3	48333	580.58	-447	-5705	-1622	SLD 3	543970	74.61	Si
-506	66	-	622	2450	83	-6	0	SLD 3	48333	580.95	-447	-5701	-1669	SLD 3	543970	74.66	Si
-506	67	-	622	2550	83	-7	0	SLD 3	48333	581.33	-448	-5698	-1721	SLD 3	543970	74.71	Si
-506	68	-	622	2650	83	6	0	SLD 1	48333	580.96	447	-5701	-1669	SLD 1	543970	74.66	Si
-506	69	-	622	2750	83	6	0	SLD 1	48333	580.59	447	-5705	-1622	SLD 1	543970	74.61	Si
-506	61	-	622	1700	-179	12	0	SLV FO 13	48333	269.08	848	12318	-2719	SLV FO 13	543970	34.58	Si
-506	62	-	622	1850	-179	12	0	SLV FO 13	48333	269.32	848	12307	-2648	SLV FO 13	543970	34.61	Si
-506	63	-	622	2000	-179	-12	0	SLV FO 15	48333	269.32	-848	12307	-2648	SLV FO 15	543970	34.61	Si
-506	64	-	622	2150	-179	-12	0	SLV FO 15	48333	269.08	-848	12318	-2719	SLV FO 15	543970	34.58	Si
-506	65	-	622	2350	185	-10	0	SLV FO 3	48333	261.27	-721	-12696	-1348	SLV FO 3	543970	33.58	Si
-506	66	-	622	2450	185	-10	0	SLV FO 3	48333	261.4	-721	-12690	-1424	SLV FO 3	543970	33.59	Si
-506	67	-	622	2550	185	-11	0	SLV FO 3	48333	261.52	-723	-12683	-1508	SLV FO 3	543970	33.61	Si
-506	68	-	622	2650	185	10	0	SLV FO 1	48333	261.4	721	-12689	-1424	SLV FO 1	543970	33.59	Si
-506	69	-	622	2750	185	10	0	SLV FO 1	48333	261.28	721	-12695	-1348	SLV FO 1	543970	33.58	Si
-584	61	-	622	1700	57	0	0	SLU 18	48333	855.23	0	4848	-667	SLU 18	543970	60.16	Si
-584	62	-	622	1850	57	0	0	SLU 17	48333	855.22	0	4848	-1778	SLU 17	543970	60.16	Si
-584	63	-	622	2000	57	0	0	SLU 17	48333	855.22	0	4848	-1778	SLU 17	543970	60.16	Si
-584	64	-	622	2150	57	0	0	SLU 18	48333	855.23	0	4848	-667	SLU 18	543970	60.16	Si
-584	65	-	622	2350	0	0	0	SLU 1	48333	10000	0	-1	-1066	SLU 1	543970	10000	Si
-584	66	-	622	2450	0	0	0	SLU 1	48333	10000	0	-1	-1064	SLU 1	543970	10000	Si
-584	67	-	622	2550	0	0	0	SLU 1	48333	10000	0	-1	-1063	SLU 1	543970	10000	Si
-584	68	-	622	2650	0	0	0	SLU 1	48333	10000	0	-1	-1064	SLU 1	543970	10000	Si
-584	69	-	622	2750	0	0	0	SLU 1	48333	10000	0	-1	-1066	SLU 1	543970	10000	Si
-584	61	-	622	1700	51	-3	0	SLD 13	48333	937.72	297	4412	-1304	SLD 13	543970	65.96	Si
-584	62	-	622	1850	51	-3	0	SLD 13	48333	938.52	297	4408	-1287	SLD 13	543970	66.02	Si
-584	63	-	622	2000	51	3	0	SLD 15	48333	938.52	-297	4408	-1287	SLD 15	543970	66.02	Si
-584	64	-	622	2150	51	3	0	SLD 15	48333	937.71	-297	4412	-1304	SLD 15	543970	65.96	Si
-584	65	-	622	2350	-38	3	0	SLD 3	48333	1282.65	-252	-3223	-906	SLD 3	543970	90.22	Si
-584	66	-	622	2450	-38	3	0	SLD 3	48333	1283.47	-252	-3221	-933	SLD 3	543970	90.28	Si
-584	67	-	622	2550	-38	3	0	SLD 3	48333	1284.3	-253	-3219	-962	SLD 3	543970	90.34	Si
-584	68	-	622	2650	-38	-3	0	SLD 1									

Interventi di miglioramento della diga di Cepparello nel Comune di Poggibonsi (SI)

ET.09.4 – Tabulati di calcolo_Canali fagatori con fondazioni su pali

Posizione						Taglio						Pressoflessione						Verifica
Quota	Filo	Ind.	Xp	Yp	Tx	Ty	Mt	Comb.	Vrd	C.S.tt	Mx	My	N	Comb.	Mrd	C.S.pf		
-662	61	-	622	1700	51	-3	0	SLD 13	48333	937.72	27	406	-1350	SLD 13	543970	65.96	Si	
-662	62	-	622	1850	51	-3	0	SLD 13	48333	938.52	27	406	-1334	SLD 13	543970	66.02	Si	
-662	63	-	622	2000	51	3	0	SLD 15	48333	938.52	-27	406	-1334	SLD 15	543970	66.02	Si	
-662	64	-	622	2150	51	3	0	SLD 15	48333	937.71	-27	406	-1350	SLD 15	543970	65.96	Si	
-662	65	-	622	2350	-38	3	0	SLD 3	48333	1282.65	-23	-297	-953	SLD 3	543970	90.22	Si	
-662	66	-	622	2450	-38	3	0	SLD 3	48333	1283.47	-23	-296	-980	SLD 3	543970	90.28	Si	
-662	67	-	622	2550	-38	3	0	SLD 3	48333	1284.3	-23	-296	-1009	SLD 3	543970	90.34	Si	
-662	68	-	622	2650	-38	-3	0	SLD 1	48333	1283.49	23	-296	-980	SLD 1	543970	90.28	Si	
-662	69	-	622	2750	-38	-3	0	SLD 1	48333	1282.67	23	-297	-953	SLD 1	543970	90.23	Si	
-662	61	-	622	1700	81	-6	0	SLV FO 13	48333	594.47	44	640	-1577	SLV FO 13	543970	41.82	Si	
-662	62	-	622	1850	81	-6	0	SLV FO 13	48333	594.99	44	640	-1536	SLV FO 13	543970	41.85	Si	
-662	63	-	622	2000	81	6	0	SLV FO 15	48333	594.99	-44	640	-1536	SLV FO 15	543970	41.85	Si	
-662	64	-	622	2150	81	6	0	SLV FO 15	48333	594.47	-44	640	-1577	SLV FO 15	543970	41.82	Si	
-662	65	-	622	2350	-84	5	0	SLV FO 3	48333	577.22	-37	-660	-797	SLV FO 3	543970	40.6	Si	
-662	66	-	622	2450	-84	5	0	SLV FO 3	48333	577.49	-37	-660	-841	SLV FO 3	543970	40.62	Si	
-662	67	-	622	2550	-84	5	0	SLV FO 3	48333	577.76	-38	-659	-888	SLV FO 3	543970	40.64	Si	
-662	68	-	622	2650	-84	-5	0	SLV FO 1	48333	577.49	37	-660	-841	SLV FO 1	543970	40.62	Si	
-662	69	-	622	2750	-84	-5	0	SLV FO 1	48333	577.23	37	-660	-797	SLV FO 1	543970	40.6	Si	
-740	61	-	622	1700	0	0	0	SLU 1	48333	10000	0	0	-299	SLU 1	543970	10000	Si	
-740	62	-	622	1850	0	0	0	SLU 1	48333	10000	0	0	-304	SLU 1	543970	10000	Si	
-740	63	-	622	2000	0	0	0	SLU 1	48333	10000	0	0	-304	SLU 1	543970	10000	Si	
-740	64	-	622	2150	0	0	0	SLU 1	48333	10000	0	0	-299	SLU 1	543970	10000	Si	
-740	65	-	622	2350	0	0	0	SLU 1	48333	10000	0	0	-292	SLU 1	543970	10000	Si	
-740	66	-	622	2450	0	0	0	SLU 1	48333	10000	0	0	-291	SLU 1	543970	10000	Si	
-740	67	-	622	2550	0	0	0	SLU 1	48333	10000	0	0	-291	SLU 1	543970	10000	Si	
-740	68	-	622	2650	0	0	0	SLU 1	48333	10000	0	0	-291	SLU 1	543970	10000	Si	
-740	69	-	622	2750	0	0	0	SLU 1	48333	10000	0	0	-292	SLU 1	543970	10000	Si	
-740	61	-	622	1700	0	0	0	SLD 1	48333	10000	0	0	-271	SLD 1	543970	10000	Si	
-740	62	-	622	1850	0	0	0	SLD 1	48333	10000	0	0	-268	SLD 1	543970	10000	Si	
-740	63	-	622	2000	0	0	0	SLD 1	48333	10000	0	0	-260	SLD 1	543970	10000	Si	
-740	64	-	622	2150	0	0	0	SLD 1	48333	10000	0	0	-245	SLD 1	543970	10000	Si	
-740	65	-	622	2350	0	0	0	SLD 1	48333	10000	0	0	-282	SLD 1	543970	10000	Si	
-740	66	-	622	2450	0	0	0	SLD 1	48333	10000	0	0	-273	SLD 1	543970	10000	Si	
-740	67	-	622	2550	0	0	0	SLD 1	48333	10000	0	0	-265	SLD 1	543970	10000	Si	
-740	68	-	622	2650	0	0	0	SLD 1	48333	10000	0	0	-258	SLD 1	543970	10000	Si	
-740	69	-	622	2750	0	0	0	SLD 1	48333	10000	0	0	-251	SLD 1	543970	10000	Si	
-740	61	-	622	1700	0	0	0	SLV FO 1	48333	10000	0	0	-229	SLV FO 1	543970	10000	Si	
-740	62	-	622	1850	0	0	0	SLV FO 1	48333	10000	0	0	-222	SLV FO 1	543970	10000	Si	
-740	63	-	622	2000	0	0	0	SLV FO 1	48333	10000	0	0	-208	SLV FO 1	543970	10000	Si	
-740	64	-	622	2150	0	0	0	SLV FO 1	48333	10000	0	0	-187	SLV FO 1	543970	10000	Si	
-740	65	-	622	2350	0	0	0	SLV FO 1	48333	10000	0	0	-261	SLV FO 1	543970	10000	Si	
-740	66	-	622	2450	0	0	0	SLV FO 1	48333	10000	0	0	-247	SLV FO 1	543970	10000	Si	
-740	67	-	622	2550	0	0	0	SLV FO 1	48333	10000	0	0	-234	SLV FO 1	543970	10000	Si	
-740	68	-	622	2650	0	0	0	SLV FO 1	48333	10000	0	0	-222	SLV FO 1	543970	10000	Si	
-740	69	-	622	2750	0	0	0	SLV FO 1	48333	10000	0	0	-211	SLV FO 1	543970	10000	Si	

Verifica di capacità portante per la famiglia SLU

Verifica di capacità portante verticale riferita al palo singolo

Fattore di correlazione ψ scelto in base alla conoscenza del sito = 1.7

Peso del palo = 876.2 * 1.3

Filo	Ind.	Xp	Yp	yR laterale	yR punta	Pl,d	Pp,d	Def.vol	Comb.	Cnd	N	Ed	Rd	C.S.	Verifica
61	-	622	1700.11	1.15	1.35	30654	24845		SLU 14	lungo	-13427	-14566	55499	3.81	Si
62	-	622	1850.11	1.15	1.35	30654	24845		SLU 14	lungo	-13693	-14832	55499	3.74	Si
63	-	622	2000.11	1.15	1.35	30654	24845		SLU 14	lungo	-13692	-14831	55499	3.74	Si
64	-	622	2150.11	1.15	1.35	30654	24845		SLU 14	lungo	-13423	-14562	55499	3.81	Si
65	-	622	2350.11	1.15	1.35	30654	24845		SLU 14	lungo	-11137	-12276	55499	4.52	Si
66	-	622	2450.11	1.15	1.35	30654	24845		SLU 14	lungo	-11192	-12331	55499	4.5	Si
67	-	622	2550.11	1.15	1.35	30654	24845		SLU 14	lungo	-11207	-12346	55499	4.5	Si
68	-	622	2650.11	1.15	1.35	30654	24845		SLU 14	lungo	-11184	-12323	55499	4.5	Si
69	-	622	2750.11	1.15	1.35	30654	24845		SLU 14	lungo	-11119	-12258	55499	4.53	Si

Verifica di capacità portante trasversale riferita al palo singolo

Fattore di correlazione ψ scelto in base alla conoscenza del sito = 1.7

Filo	Ind.	Xp	Yp	yR trasversale	LRF	Comb.	Cnd	Rd	Ed (T)	C.S.	Verifica
61	-	622	1700.11	1.3	1	SLU 18	D	8730.5	3195.7	2.73	Si
62	-	622	1850.11	1.3	1	SLU 17	D	8730.5	3195.7	2.73	Si
63	-	622	2000.11	1.3	1	SLU 17	D	8730.5	3195.7	2.73	Si
64	-	622	2150.11	1.3	1	SLU 18	D	8730.5	3195.7	2.73	Si
65	-	622	2350.11	1.3	1	SLU 18	D	8730.5	1.3	6760.91	Si
66	-	622	2450.11	1.3	1	SLU 17	D	8730.5	1.3	6609.05	Si
67	-	622	2550.11	1.3	1	SLU 17	D	8730.5	1.3	6479.67	Si
68	-	622	2650.11	1.3	1	SLU 17	D	8730.5	1.3	6609.05	Si
69	-	622	2750.11	1.3	1	SLU 18	D	8730.5	1.3	6760.84	Si

Parametri utilizzati nel calcolo

Filo	Ind.	Xp	Yp	Tipo	L.fr.s.	L.tr.lib.	L.tr.inf.	Coes.	Fi	P.spec	T max	Mecc.coll.	M.plast.sup.	Quota sup.	N sup.	M.plast.inf.	Quota inf.	N inf.
61	-	622	1700.11	TL	22	0	750	36	0.0014	19294	PLL	4232901	-359.1	-1175				
62	-	622	1850.11	TL	22	0	750	36	0.0014	19294	PLL	4232901	-359.1	-3106				
63	-	622	2000.11	TL	22	0	750	36	0.0014	19294	PLL	4232901	-359.1	-3106				
64	-	622	2150.11	TL	22	0	750	36	0.0014	19294	PLL	4232901	-359.1	-1175				
65	-	622	2350.11	TL	22	0	750	36	0.0014	19294	PLL	4232901	-359.1	-1175				
66	-	622	2450.11	TL	22	0	750	36	0.0014	19294	PLL	4232901	-359.1	-3106				
67	-	622	2550.11	TL	22	0	750	36	0.0014	19294	PLL	4232901	-359.1	-3106				
68	-	622	2650.11	TL	22	0	750	36	0.0014	19294	PLL	4232901	-359.1	-3106				
69	-	622	2750.11	TL	22	0	750	36	0.0014	19294	PLL	4232901	-359.1	-1175				

Verifica di capacità portante per la famiglia SLD

Verifica di capacità portante verticale riferita al palo singolo

Fattore di correlazione ψ scelto in base alla conoscenza del sito = 1.7

Peso del palo = 876.2 * 1

Filo	Ind.	Xp	Yp	yR laterale	yR punta	Pl,d	Pp,d	Def.vol	Comb.	Cnd	N	Ed	Rd	C.S.	Verifica
61	-	622	1700.11	1.15	1.35	30654	24845		SLD 9	lungo	-5108	-5984	55499	9.27	Si
62	-	622	1850.11	1.15	1.35	30654	24845		SLD 13	lungo	-5019	-5895	55499	9.41	Si
63	-	622	2000.11	1.15	1.35	30654	24845		SLD 15	lungo	-5019	-5895	55499	9.41	Si
64	-	622	2150.11	1.15	1.35	30654	24845		SLD 11	lungo	-5108	-5984	55499	9.27	Si
65	-	622	2350.11	1.15	1.35	30654	24845		SLD 9	lungo	-5064	-			

Interventi di miglioramento della diga di Cepparello nel Comune di Poggibonsi (SI)

ET.09.4 – Tabulati di calcolo_Canali fagatori con fondazioni su pali

Filo	Ind.	Xp	Yp	yR laterale	yR punta	Pl,d	Pp,d	Def.vol	Comb.	Cnd	N	Ed	Rd	C.S.	Verifica
68	-	622	2650.11	1.15	1.35	30654	24845		SLD 11	lungo	-4651	-5527	55499	10.04	Si
69	-	622	2750.11	1.15	1.35	30654	24845		SLD 11	lungo	-5064	-5940	55499	9.34	Si

Verifica di capacità portante per la famiglia SLV FO

Verifica di capacità portante verticale riferita al palo singolo

Fattore di correlazione ψ scelto in base alla conoscenza del sito = 1.7

Peso del palo = 876.2 * 1

Filo	Ind.	Xp	Yp	yR laterale	yR punta	Pl,d	Pp,d	Def.vol	Comb.	Cnd	N	Ed	Rd	C.S.	Verifica
61	-	622	1700.11	1.15	1.35	30654	24845		SLV FO 13	lungo	-5980	-6857	55499	8.09	Si
62	-	622	1850.11	1.15	1.35	30654	24845		SLV FO 13	lungo	-5820	-6696	55499	8.29	Si
63	-	622	2000.11	1.15	1.35	30654	24845		SLV FO 15	lungo	-5820	-6696	55499	8.29	Si
64	-	622	2150.11	1.15	1.35	30654	24845		SLV FO 15	lungo	-5980	-6857	55499	8.09	Si
65	-	622	2350.11	1.15	1.35	30654	24845		SLV FO 9	lungo	-5699	-6575	55499	8.44	Si
66	-	622	2450.11	1.15	1.35	30654	24845		SLV FO 13	lungo	-5202	-6078	55499	9.13	Si
67	-	622	2550.11	1.15	1.35	30654	24845		SLV FO 13	lungo	-5009	-5886	55499	9.43	Si
68	-	622	2650.11	1.15	1.35	30654	24845		SLV FO 15	lungo	-5201	-6078	55499	9.13	Si
69	-	622	2750.11	1.15	1.35	30654	24845		SLV FO 11	lungo	-5699	-6575	55499	8.44	Si

Verifica di capacità portante trasversale riferita al palo singolo

Fattore di correlazione ψ scelto in base alla conoscenza del sito = 1.7

Filo	Ind.	Xp	Yp	yR trasversale	LRF	Comb.	Cnd	Rd	Ed (T)	C.S.	Verifica
61	-	622	1700.11	1.3	1	SLV FO 13	D	8730.5	4597.4	1.9	Si
62	-	622	1850.11	1.3	1	SLV FO 13	D	8730.5	4593.4	1.9	Si
63	-	622	2000.11	1.3	1	SLV FO 15	D	8730.5	4593.4	1.9	Si
64	-	622	2150.11	1.3	1	SLV FO 15	D	8730.5	4597.5	1.9	Si
65	-	622	2350.11	1.3	1	SLV FO 3	D	8730.5	4734.8	1.84	Si
66	-	622	2450.11	1.3	1	SLV FO 3	D	8730.5	4732.6	1.84	Si
67	-	622	2550.11	1.3	1	SLV FO 3	D	8730.5	4730.4	1.85	Si
68	-	622	2650.11	1.3	1	SLV FO 1	D	8730.5	4732.6	1.84	Si
69	-	622	2750.11	1.3	1	SLV FO 1	D	8730.5	4734.8	1.84	Si

Parametri utilizzati nel calcolo

Filo	Ind.	Xp	Yp	Tipo	L.frs.	L.tr.lib.	L.tr.inf.	Coes.	Fi	P.spec	T max	Mecc.coll.	M.plast.sup.	Quota sup.	N sup.	M.plast.inf.	Quota inf.	N inf.
61	-	622	1700.11	TL	22	0	750		36	0.0014	19294	PLL	4232899	-359.1	-2412			
62	-	622	1850.11	TL	22	0	750		36	0.0014	19294	PLL	4232899	-359.1	-2412			
63	-	622	2000.11	TL	22	0	750		36	0.0014	19294	PLL	4232902	-359.1	-2412			
64	-	622	2150.11	TL	22	0	750		36	0.0014	19294	PLL	4232902	-359.1	-2412			
65	-	622	2350.11	TL	22	0	750		36	0.0014	19294	PLL	4232902	-359.1	-1304			
66	-	622	2450.11	TL	22	0	750		36	0.0014	19294	PLL	4232902	-359.1	-1304			
67	-	622	2550.11	TL	22	0	750		36	0.0014	19294	PLL	4232902	-359.1	-1304			
68	-	622	2650.11	TL	22	0	750		36	0.0014	19294	PLL	4232899	-359.1	-1304			
69	-	622	2750.11	TL	22	0	750		36	0.0014	19294	PLL	4232899	-359.1	-1304			

9 pali "Micropalo D139.7x10 perf 220" gruppo 8 "PALI DI VALLE SFIORATORE SX"

Verifiche effettuate secondo D.M. 17-01-18 (N.T.C.)

Geometria

varia

-930

Pali coinvolti

Palo a coordinate x,y: (865, 1700.1)[filo 70];(865, 1850.1)[filo 71];(865, 2000.1)[filo 72];(865, 2150.1)[filo 73];(865, 2350.1)[filo 74];(865, 2450.1)[filo 75];(865, 2550.1)[filo 76];(865, 2650.1)[filo 77];(865, 2750.1)[filo 78];

Caratteristiche geometriche

Tubo in acciaio EN10219 139.7x10

Diametro tubo 140 mm

Spessore tubo 10 mm

Lunghezza 900 cm

Caratteristiche dei materiali

Calcestruzzo C25/30

Acciaio S355

Verifiche secondo DM18

Posizione					Taglio					PressoFlessione					Verifica		
Quota	Filo	Ind.	Xp	Yp	Tx	Ty	Mt	Comb.	Vrd	C.S.tt	Mx	My	N	Comb.	Mrd	C.S.pf	
0	70	-	865	1700	2990	0	0	SLU 18	48333	16.16	0	0	-7547	SLU 1	543970	10000	Si
0	71	-	865	1850	2991	0	0	SLU 18	48333	16.16	0	0	-7561	SLU 1	543970	10000	Si
0	72	-	865	2000	2991	0	0	SLU 18	48333	16.16	0	0	-7561	SLU 1	543970	10000	Si
0	73	-	865	2150	2990	0	0	SLU 18	48333	16.16	0	0	-7547	SLU 1	543970	10000	Si
0	74	-	865	2350	-2	0	0	SLU 1	48333	10000	0	0	-6264	SLU 1	543970	10000	Si
0	75	-	865	2450	-2	0	0	SLU 1	48333	10000	0	0	-6262	SLU 1	543970	10000	Si
0	76	-	865	2550	-2	0	0	SLU 1	48333	10000	0	0	-6263	SLU 1	543970	10000	Si
0	77	-	865	2650	-2	0	0	SLU 1	48333	10000	0	0	-6262	SLU 1	543970	10000	Si
0	78	-	865	2750	-2	0	0	SLU 1	48333	10000	0	0	-6264	SLU 1	543970	10000	Si
0	70	-	865	1700	2722	-186	2	SLD 13	48333	17.72	0	0	-6534	SLD 1	543970	10000	Si
0	71	-	865	1850	2720	-186	2	SLD 13	48333	17.73	0	0	-6346	SLD 1	543970	10000	Si
0	72	-	865	2000	2720	186	-2	SLD 15	48333	17.73	0	0	-6147	SLD 1	543970	10000	Si
0	73	-	865	2150	2722	186	-2	SLD 15	48333	17.72	0	0	-5935	SLD 1	543970	10000	Si
0	74	-	865	2350	-1990	158	-1	SLD 3	48333	24.21	0	0	-3869	SLD 1	543970	10000	Si
0	75	-	865	2450	-1989	158	-1	SLD 3	48333	24.23	0	0	-3681	SLD 1	543970	10000	Si
0	76	-	865	2550	-1988	158	-1	SLD 3	48333	24.24	0	0	-3499	SLD 1	543970	10000	Si
0	77	-	865	2650	-1989	-158	1	SLD 1	48333	24.23	0	0	-3317	SLD 1	543970	10000	Si
0	78	-	865	2750	-1990	-158	1	SLD 1	48333	24.21	0	0	-3141	SLD 1	543970	10000	Si
0	70	-	865	1700	4293	-300	2	SLV FO 13	48333	11.23	0	0	-5496	SLV FO 1	543970	10000	Si
0	71	-	865	1850	4289	-300	3	SLV FO 13	48333	11.24	0	0	-5186	SLV FO 1	543970	10000	Si
0	72	-	865	2000	4289	300	-3	SLV FO 15	48333	11.24	0	0	-4863	SLV FO 1	543970	10000	Si
0	73	-	865	2150	4293	300	-2	SLV FO 15	48333	11.23	0	0	-4530	SLV FO 1	543970	10000	Si
0	74	-	865	2350	-4427	255	-1	SLV FO 3	48333	10.9	0	0	-769	SLV FO 1	543970	10000	Si
0	75	-	865	2450	-4425	255	-2	SLV FO 3	48333	10.9	0	0	-464	SLV FO 1	543970	10000	Si
0	76	-	865	2550	-4423	-254	2	SLV FO 1	48333	10.91	0	0	-171	SLV FO 1	543970	10000	Si
0	77	-	865	2650	-4425	-255	2	SLV FO 1	48333	10.9	0	0	124	SLV FO 1	543970	10000	Si
0	78	-	865	2750	-4427	-255	1	SLV FO 1	48333	10.9	0	0	406	SLV FO 1	543970	10000	Si
-94	70	-	865	1700	-829	0	0	SLU 18	48333	58.27	-11	-202422	-4457	SLU 18	543970	2.48	Si
-94	71	-	865	1850	-829	0	0	SLU 18	48333	58.27	-4	-202428	-4467	SLU 18	543970	2.48	Si

Interventi di miglioramento della diga di Cepparello nel Comune di Poggibonsi (SI)

ET.09.4 – Tabulati di calcolo_Canali fugatori con fondazioni su pali

Posizione				Taglio								PressoFlessione						Verifica
Quota	Filo	Ind.	Xp	Yp	Tx	Ty	Mt	Comb.	Vrd	C.S.tt	Mx	My	N	Comb.	Mrd	C.S.pf		
-94	72	-	865	2000	-829	0	0	SLU 18	48333	58.27	4	-202428	-4468	SLU 18	543970	2.48	Si	
-94	73	-	865	2150	-829	0	0	SLU 18	48333	58.27	11	-202422	-4459	SLU 18	543970	2.48	Si	
-94	74	-	865	2350	0	0	0	SLU 1	48333	10000	4	263	-2529	SLU 18	543970	1911.48	Si	
-94	75	-	865	2450	0	0	0	SLU 1	48333	10000	3	281	-5805	SLU 17	543970	1786	Si	
-94	76	-	865	2550	0	0	0	SLU 1	48333	10000	0	282	-5805	SLU 17	543970	1778.1	Si	
-94	77	-	865	2650	0	0	0	SLU 1	48333	10000	-3	281	-5805	SLU 17	543970	1786	Si	
-94	78	-	865	2750	0	0	0	SLU 1	48333	10000	-4	263	-2536	SLU 18	543970	1911.26	Si	
-94	70	-	865	1700	-755	52	1	SLD 13	48333	63.87	-12573	-184237	-7543	SLD 13	543970	2.72	Si	
-94	71	-	865	1850	-754	51	1	SLD 13	48333	63.93	-12567	-184082	-7390	SLD 13	543970	2.72	Si	
-94	72	-	865	2000	-754	-51	-1	SLD 15	48333	63.93	12567	-184083	-7390	SLD 15	543970	2.72	Si	
-94	73	-	865	2150	-755	-52	-1	SLD 15	48333	63.87	12572	-184238	-7543	SLD 15	543970	2.72	Si	
-94	74	-	865	2350	552	-44	0	SLD 3	48333	87.29	10683	134706	-2569	SLD 3	543970	3.72	Si	
-94	75	-	865	2450	552	-44	0	SLD 3	48333	87.34	10682	134626	-2714	SLD 3	543970	3.72	Si	
-94	76	-	865	2550	551	-44	-1	SLD 3	48333	87.4	10682	134536	-2865	SLD 3	543970	3.72	Si	
-94	77	-	865	2650	552	44	0	SLD 1	48333	87.34	-10682	134625	-2714	SLD 1	543970	3.72	Si	
-94	78	-	865	2750	552	44	0	SLD 1	48333	87.29	-10684	134703	-2569	SLD 1	543970	3.72	Si	
-94	70	-	865	1700	-1191	83	1	SLV FO 13	48333	40.49	-20291	-290593	-8704	SLV FO 13	543970	1.72	Si	
-94	71	-	865	1850	-1190	83	1	SLV FO 13	48333	40.53	-20284	-290342	-8451	SLV FO 13	543970	1.73	Si	
-94	72	-	865	2000	-1190	-83	-1	SLV FO 15	48333	40.53	20284	-290343	-8451	SLV FO 15	543970	1.73	Si	
-94	73	-	865	2150	-1191	-83	-1	SLV FO 15	48333	40.49	20290	-290596	-8704	SLV FO 15	543970	1.72	Si	
-94	74	-	865	2350	1228	-71	0	SLV FO 3	48333	39.3	17250	299667	363	SLV FO 3	543970	1.67	Si	
-94	75	-	865	2450	1227	-71	-1	SLV FO 3	48333	39.31	17247	299540	130	SLV FO 3	543970	1.67	Si	
-94	76	-	865	2550	1227	-71	-1	SLV FO 3	48333	39.33	17245	299394	-114	SLV FO 3	543970	1.67	Si	
-94	77	-	865	2650	1227	71	1	SLV FO 1	48333	39.31	-17247	299538	130	SLV FO 1	543970	1.67	Si	
-94	78	-	865	2750	1228	71	0	SLV FO 1	48333	39.3	-17250	299662	362	SLV FO 1	543970	1.67	Si	
-187	70	-	865	1700	-829	0	0	SLU 18	48333	58.27	-7	-124714	-4531	SLU 18	543970	2.48	Si	
-187	71	-	865	1850	-829	0	0	SLU 18	48333	58.27	-3	-124718	-4540	SLU 18	543970	2.48	Si	
-187	72	-	865	2000	-829	0	0	SLU 18	48333	58.27	3	-124716	-4541	SLU 18	543970	2.48	Si	
-187	73	-	865	2150	-829	0	0	SLU 18	48333	58.27	7	-124714	-4533	SLU 18	543970	2.48	Si	
-187	74	-	865	2350	0	0	0	SLU 1	48333	10000	3	162	-2602	SLU 18	543970	1911.48	Si	
-187	75	-	865	2450	0	0	0	SLU 1	48333	10000	2	173	-5878	SLU 17	543970	1786	Si	
-187	76	-	865	2550	0	0	0	SLU 1	48333	10000	0	174	-5878	SLU 17	543970	1778.1	Si	
-187	77	-	865	2650	0	0	0	SLU 1	48333	10000	-2	173	-5878	SLU 17	543970	1786	Si	
-187	78	-	865	2750	0	0	0	SLU 1	48333	10000	-3	162	-2609	SLU 18	543970	1911.26	Si	
-187	70	-	865	1700	-755	52	1	SLD 13	48333	63.87	-7746	-113510	-7599	SLD 13	543970	2.72	Si	
-187	71	-	865	1850	-754	51	1	SLD 13	48333	63.93	-7742	-113415	-7447	SLD 13	543970	2.72	Si	
-187	72	-	865	2000	-754	-51	-1	SLD 15	48333	63.93	7742	-113415	-7447	SLD 15	543970	2.72	Si	
-187	73	-	865	2150	-755	-52	-1	SLD 15	48333	63.87	7746	-113511	-7599	SLD 15	543970	2.72	Si	
-187	74	-	865	2350	552	-44	0	SLD 3	48333	87.29	6582	82994	-2625	SLD 3	543970	3.72	Si	
-187	75	-	865	2450	552	-44	0	SLD 3	48333	87.34	6581	82945	-2770	SLD 3	543970	3.72	Si	
-187	76	-	865	2550	551	-44	-1	SLD 3	48333	87.4	6581	82889	-2921	SLD 3	543970	3.72	Si	
-187	77	-	865	2650	552	44	0	SLD 1	48333	87.34	-6581	82944	-2770	SLD 1	543970	3.72	Si	
-187	78	-	865	2750	552	44	0	SLD 1	48333	87.29	-6582	82992	-2625	SLD 1	543970	3.72	Si	
-187	70	-	865	1700	-1191	83	1	SLV FO 13	48333	40.49	-12501	-179037	-8760	SLV FO 13	543970	1.72	Si	
-187	71	-	865	1850	-1190	83	1	SLV FO 13	48333	40.53	-12497	-178883	-8507	SLV FO 13	543970	1.73	Si	
-187	72	-	865	2000	-1190	-83	-1	SLV FO 15	48333	40.53	12497	-178883	-8507	SLV FO 15	543970	1.73	Si	
-187	73	-	865	2150	-1191	-83	-1	SLV FO 15	48333	40.49	12501	-179039	-8760	SLV FO 15	543970	1.72	Si	
-187	74	-	865	2350	1228	-71	0	SLV FO 3	48333	39.3	10628	184628	306	SLV FO 3	543970	1.67	Si	
-187	75	-	865	2450	1227	-71	-1	SLV FO 3	48333	39.31	10626	184550	73	SLV FO 3	543970	1.67	Si	
-187	76	-	865	2550	1227	-71	-1	SLV FO 3	48333	39.33	10625	184460	-170	SLV FO 3	543970	1.67	Si	
-187	77	-	865	2650	1227	71	1	SLV FO 1	48333	39.31	-10626	184548	73	SLV FO 1	543970	1.67	Si	
-187	78	-	865	2750	1228	71	0	SLV FO 1	48333	39.3	-10628	184625	306	SLV FO 1	543970	1.67	Si	
-281	70	-	865	1700	-645	0	0	SLU 18	48333	74.95	-3	-58278	-3607	SLU 18	543970	5.57	Si	
-281	71	-	865	1850	-645	0	0	SLU 18	48333	74.95	-1	-58280	-3615	SLU 18	543970	5.57	Si	
-281	72	-	865	2000	-645	0	0	SLU 18	48333	74.95	1	-58280	-3615	SLU 18	543970	5.57	Si	
-281	73	-	865	2150	-645	0	0	SLU 18	48333	74.95	3	-58278	-3609	SLU 18	543970	5.57	Si	
-281	74	-	865	2350	0	0	0	SLU 1	48333	10000	1	76	-2060	SLU 18	543970	4292.92	Si	
-281	75	-	865	2450	0	0	0	SLU 1	48333	10000	1	81	-4688	SLU 17	543970	4011.11	Si	
-281	76	-	865	2550	0	0	0	SLU 1	48333	10000	0	81	-4688	SLU 17	543970	3993.38	Si	
-281	77	-	865	2650	0	0	0	SLU 1	48333	10000	-1	81	-4688	SLU 17	543970	4011.11	Si	
-281	78	-	865	2750	0	0	0	SLU 1	48333	10000	-1	76	-2065	SLU 18	543970	4292.43	Si	
-281	70	-	865	1700	-587	40	0	SLD 13	48333	82.16	-3620	-53043	-6075	SLD 13	543970	6.11	Si	
-281	71	-	865	1850	-586	40	0	SLD 13	48333	82.23	-3618	-52998	-5953	SLD 13	543970	6.11	Si	
-281	72	-	865	2000	-586	-40	0	SLD 15	48333	82.23	3618	-52998	-5953	SLD 15	543970	6.11	Si	
-281	73	-	865	2150	-587	-40	0	SLD 15	48333	82.16	3620	-53043	-6075	SLD 15	543970	6.11	Si	
-281	74	-	865	2350	429	-34	0	SLD 3	48333	112.28	3076	38782	-2085	SLD 3	543970	8.34	Si	
-281	75	-	865	2450	429	-34	0	SLD 3	48333	112.35	3075	38760	-2201	SLD 3	543970	8.35	Si	
-281	76	-	865	2550	429	-34	0	SLD 3	48333	112.42	3075	39734	-2322	SLD 3	543970	8.36	Si	
-281	77	-	865	2650	429	34	0	SLD 1	48333	112.35	-3075	38759	-2201	SLD 1	543970	8.35	Si	
-281	78	-	865	2750	429	34	0	SLD 1	48333	112.28	-3076	38782	-2085	SLD 1	543970	8.35	Si	
-281	70	-	865	1700	-926	65	0	SLV FO 13	48333	52.08	-5842	-83663	-7007	SLV FO 13	543970	3.87	Si	
-281	71	-	865	1850	-925	65	0	SLV FO 13	48333	52.13	-5840	-83591	-6804	SLV FO 13	543970	3.87	Si	
-281	72	-	865	2000	-925	-65	0	SLV FO 15	48333	52.13	5840	-83591	-6804	SLV FO 15	543970	3.87	Si	
-281	73	-	865	2150	-926	-65	0	SLV FO 15	48333	52.08	5842	-83664	-7007	SLV FO 15	543970	3.87	Si	
-281	74	-	865	2350	955	-55	0	SLV FO 3	48333	50.55	4966	86276	267	SLV FO 3	543970	3.76	Si	
-281	75	-	865	2450	954	-55	0	SLV FO 3	48333	50.57	4965	86239	80	SLV FO 3	543970	3.76	Si	
-281	76	-	865	2550	954	-55	0	SLV FO 3	48333	50.59	4965	86197	-115	SLV FO 3	543970	3.76	Si	
-281	77	-	865	2650	954	55	0	SLV FO 1	48333</									

Interventi di miglioramento della diga di Cepparello nel Comune di Poggibonsi (SI)

ET.09.4 – Tabulati di calcolo_Canali fuggatori con fondazioni su pali

Quota	Posizione			Taglio					Pressoflessione						Verifica		
	Filo	Ind.	Xp	Yp	Tx	Ty	Mt	Comb.	Vrd	C.S.tt	Mx	My	N	Comb.		Mrd	C.S.pf
-375	71	-	865	1850	-107	7	0	SLV FO 13	48333	451.62	-248	-3543	-5184	SLV FO 13	543970	123.2	Si
-375	72	-	865	2000	-107	-7	0	SLV FO 15	48333	451.62	248	-3543	-5184	SLV FO 15	543970	123.19	Si
-375	73	-	865	2150	-107	-7	0	SLV FO 15	48333	451.23	248	-3546	-5339	SLV FO 15	543970	123.09	Si
-375	74	-	865	2350	110	-6	0	SLV FO 3	48333	437.91	211	3657	231	SLV FO 3	543970	119.45	Si
-375	75	-	865	2450	110	-6	0	SLV FO 3	48333	438.1	210	3655	88	SLV FO 3	543970	119.51	Si
-375	76	-	865	2550	110	-6	0	SLV FO 3	48333	438.31	210	3654	-62	SLV FO 3	543970	119.56	Si
-375	77	-	865	2650	110	6	0	SLV FO 1	48333	438.1	-210	3655	88	SLV FO 1	543970	119.51	Si
-375	78	-	865	2750	110	6	0	SLV FO 1	48333	437.92	-211	3657	231	SLV FO 1	543970	119.46	Si
-515	70	-	865	1700	-74	0	0	SLU 18	48333	649.36	0	7989	-2838	SLU 18	543970	177.13	Si
-515	71	-	865	1850	-74	0	0	SLU 18	48333	649.34	0	7990	-2844	SLU 18	543970	177.13	Si
-515	72	-	865	2000	-74	0	0	SLU 18	48333	649.34	0	7990	-2844	SLU 18	543970	177.13	Si
-515	73	-	865	2150	-74	0	0	SLU 18	48333	649.36	0	7989	-2839	SLU 18	543970	177.13	Si
-515	74	-	865	2350	0	0	0	SLU 1	48333	10000	0	-5	-3240	SLU 1	543970	10000	Si
-515	75	-	865	2450	0	0	0	SLU 1	48333	10000	0	-5	-3239	SLU 1	543970	10000	Si
-515	76	-	865	2550	0	0	0	SLU 1	48333	10000	0	-5	-3240	SLU 1	543970	10000	Si
-515	77	-	865	2650	0	0	0	SLU 1	48333	10000	0	-5	-3239	SLU 1	543970	10000	Si
-515	78	-	865	2750	0	0	0	SLU 1	48333	10000	0	-5	-3240	SLU 1	543970	10000	Si
-515	70	-	865	1700	-68	5	0	SLD 13	48333	711.8	496	7272	-4711	SLD 13	543970	194.17	Si
-515	71	-	865	1850	-68	5	0	SLD 13	48333	712.39	496	7266	-4617	SLD 13	543970	194.33	Si
-515	72	-	865	2000	-68	-5	0	SLD 15	48333	712.39	-496	7266	-4617	SLD 15	543970	194.33	Si
-515	73	-	865	2150	-68	-5	0	SLD 15	48333	711.79	-496	7272	-4711	SLD 15	543970	194.17	Si
-515	74	-	865	2350	50	-4	0	SLD 3	48333	972.73	-422	-5317	-1654	SLD 3	543970	265.35	Si
-515	75	-	865	2450	50	-4	0	SLD 3	48333	973.31	-422	-5314	-1744	SLD 3	543970	265.5	Si
-515	76	-	865	2550	49	-4	0	SLD 3	48333	973.96	-422	-5310	-1836	SLD 3	543970	265.68	Si
-515	77	-	865	2650	50	4	0	SLD 1	48333	973.32	422	-5314	-1744	SLD 1	543970	265.51	Si
-515	78	-	865	2750	50	4	0	SLD 1	48333	972.76	422	-5317	-1654	SLD 1	543970	265.35	Si
-515	70	-	865	1700	-107	7	0	SLV FO 13	48333	451.23	801	11469	-5424	SLV FO 13	543970	123.09	Si
-515	71	-	865	1850	-107	7	0	SLV FO 13	48333	451.62	801	11460	-5269	SLV FO 13	543970	123.2	Si
-515	72	-	865	2000	-107	-7	0	SLV FO 15	48333	451.62	-801	11460	-5269	SLV FO 15	543970	123.19	Si
-515	73	-	865	2150	-107	-7	0	SLV FO 15	48333	451.23	-801	11470	-5424	SLV FO 15	543970	123.09	Si
-515	74	-	865	2350	110	-6	0	SLV FO 3	48333	437.91	-681	-11828	147	SLV FO 3	543970	119.45	Si
-515	75	-	865	2450	110	-6	0	SLV FO 3	48333	438.1	-681	-11823	3	SLV FO 3	543970	119.51	Si
-515	76	-	865	2550	110	-6	0	SLV FO 3	48333	438.31	-681	-11817	-146	SLV FO 3	543970	119.56	Si
-515	77	-	865	2650	110	6	0	SLV FO 1	48333	438.1	681	-11822	3	SLV FO 1	543970	119.51	Si
-515	78	-	865	2750	110	6	0	SLV FO 1	48333	437.92	681	-11827	146	SLV FO 1	543970	119.46	Si
-609	70	-	865	1700	34	0	0	SLU 18	48333	1402.19	0	4913	-1952	SLU 18	543970	67.21	Si
-609	71	-	865	1850	34	0	0	SLU 18	48333	1402.15	0	4913	-1956	SLU 18	543970	67.21	Si
-609	72	-	865	2000	34	0	0	SLU 18	48333	1402.15	0	4913	-1956	SLU 18	543970	67.21	Si
-609	73	-	865	2150	34	0	0	SLU 18	48333	1402.19	0	4913	-1953	SLU 18	543970	67.21	Si
-609	74	-	865	2350	0	0	0	SLU 1	48333	10000	0	-3	-2235	SLU 1	543970	10000	Si
-609	75	-	865	2450	0	0	0	SLU 1	48333	10000	0	-3	-2234	SLU 1	543970	10000	Si
-609	76	-	865	2550	0	0	0	SLU 1	48333	10000	0	-3	-2234	SLU 1	543970	10000	Si
-609	77	-	865	2650	0	0	0	SLU 1	48333	10000	0	-3	-2234	SLU 1	543970	10000	Si
-609	78	-	865	2750	0	0	0	SLU 1	48333	10000	0	-3	-2235	SLU 1	543970	10000	Si
-609	70	-	865	1700	31	-2	0	SLD 13	48333	1537.02	305	4472	-3254	SLD 13	543970	73.67	Si
-609	71	-	865	1850	31	-2	0	SLD 13	48333	1538.3	305	4468	-3189	SLD 13	543970	73.73	Si
-609	72	-	865	2000	31	2	0	SLD 15	48333	1538.3	-305	4468	-3189	SLD 15	543970	73.73	Si
-609	73	-	865	2150	31	2	0	SLD 15	48333	1537.01	-305	4472	-3254	SLD 15	543970	73.67	Si
-609	74	-	865	2350	-23	2	0	SLD 3	48333	2100.47	-259	-3269	-1135	SLD 3	543970	100.68	Si
-609	75	-	865	2450	-23	2	0	SLD 3	48333	2101.71	-259	-3268	-1197	SLD 3	543970	100.74	Si
-609	76	-	865	2550	-23	2	0	SLD 3	48333	2103.11	-259	-3265	-1261	SLD 3	543970	100.8	Si
-609	77	-	865	2650	-23	-2	0	SLD 1	48333	2101.73	259	-3267	-1197	SLD 1	543970	100.74	Si
-609	78	-	865	2750	-23	-2	0	SLD 1	48333	2100.51	259	-3269	-1135	SLD 1	543970	100.68	Si
-609	70	-	865	1700	49	-3	0	SLV FO 13	48333	974.37	492	7053	-3749	SLV FO 13	543970	46.7	Si
-609	71	-	865	1850	49	-3	0	SLV FO 13	48333	975.21	492	7047	-3641	SLV FO 13	543970	46.74	Si
-609	72	-	865	2000	49	3	0	SLV FO 15	48333	975.2	-492	7047	-3641	SLV FO 15	543970	46.74	Si
-609	73	-	865	2150	49	3	0	SLV FO 15	48333	974.36	-492	7053	-3749	SLV FO 15	543970	46.7	Si
-609	74	-	865	2350	-51	3	0	SLV FO 3	48333	945.6	-419	-7273	114	SLV FO 3	543970	45.32	Si
-609	75	-	865	2450	-51	3	0	SLV FO 3	48333	946	-419	-7270	15	SLV FO 3	543970	45.34	Si
-609	76	-	865	2550	-51	3	0	SLV FO 3	48333	946.46	-419	-7267	-89	SLV FO 3	543970	45.36	Si
-609	77	-	865	2650	-51	-3	0	SLV FO 1	48333	946.01	419	-7270	15	SLV FO 1	543970	45.34	Si
-609	78	-	865	2750	-51	-3	0	SLV FO 1	48333	945.61	419	-7273	114	SLV FO 1	543970	45.32	Si
-703	70	-	865	1700	18	0	0	SLU 18	48333	2638.79	0	2211	-1092	SLU 18	543970	193.69	Si
-703	71	-	865	1850	18	0	0	SLU 18	48333	2638.71	0	2211	-1095	SLU 18	543970	193.68	Si
-703	72	-	865	2000	18	0	0	SLU 18	48333	2638.71	0	2211	-1095	SLU 18	543970	193.68	Si
-703	73	-	865	2150	18	0	0	SLU 18	48333	2638.79	0	2211	-1093	SLU 18	543970	193.69	Si
-703	74	-	865	2350	0	0	0	SLU 1	48333	10000	0	-1	-1259	SLU 1	543970	10000	Si
-703	75	-	865	2450	0	0	0	SLU 1	48333	10000	0	-1	-1259	SLU 1	543970	10000	Si
-703	76	-	865	2550	0	0	0	SLU 1	48333	10000	0	-1	-1259	SLU 1	543970	10000	Si
-703	77	-	865	2650	0	0	0	SLU 1	48333	10000	0	-1	-1259	SLU 1	543970	10000	Si
-703	78	-	865	2750	0	0	0	SLU 1	48333	10000	0	-1	-1259	SLU 1	543970	10000	Si
-703	70	-	865	1700	17	-1	0	SLD 13	48333	2892.53	137	2012	-1842	SLD 13	543970	212.31	Si
-703	71	-	865	1850	17	-1	0	SLD 13	48333	2894.95	137	2011	-1805	SLD 13	543970	212.49	Si
-703	72	-	865	2000	17	1	0	SLD 15	48333	2894.94	-137	2011	-1805	SLD 15	543970	212.49	Si
-703	73	-	865	2150	17	1	0	SLD 15	48333	2892.51	-137	2012	-1842	SLD 15	543970	212.31	Si
-703	74	-	865	2350	-12	1	0	SLD 3	48333	3952.89	-117	-1471	-631	SLD 3	543970	290.14	Si
-703	75	-	865	2450	-12	1	0	SLD 3	48333	3955.22	-117	-1470	-666	SLD 3	543970	290.31	Si
-703	76	-	865	2550	-12	1	0	SLD 3	48333	3957.85	-117	-1469	-703	SLD 3	543970	290.5	Si
-703	77	-	865	2650	-12	-1	0	SLD 1	48333								

Interventi di miglioramento della diga di Cepparello nel Comune di Poggibonsi (SI)

ET.09.4 – Tabulati di calcolo_Canali fuggatori con fondazioni su pali

Posizione					Taglio							Pressoflessione							Verifica
Quota	Filo	Ind.	Xp	Yp	Tx	Ty	Mt	Comb.	Vrd	C.S.tt	Mx	My	N	Comb.	Mrd	C.S.pf			
-796	70	-	865	1700	17	-1	0	SLD 13	48333	2892.53	31	450	-1898	SLD 13	543970	212.31	Si		
-796	71	-	865	1850	17	-1	0	SLD 13	48333	2894.95	31	450	-1861	SLD 13	543970	212.49	Si		
-796	72	-	865	2000	17	1	0	SLD 15	48333	2894.94	-31	450	-1861	SLD 15	543970	212.49	Si		
-796	73	-	865	2150	17	1	0	SLD 15	48333	2892.51	-31	450	-1898	SLD 15	543970	212.31	Si		
-796	74	-	865	2350	-12	1	0	SLD 3	48333	3952.89	-26	-329	-687	SLD 3	543970	290.14	Si		
-796	75	-	865	2450	-12	1	0	SLD 3	48333	3955.22	-26	-329	-722	SLD 3	543970	290.31	Si		
-796	76	-	865	2550	-12	1	0	SLD 3	48333	3957.85	-26	-329	-759	SLD 3	543970	290.5	Si		
-796	77	-	865	2650	-12	-1	0	SLD 1	48333	3955.26	26	-329	-722	SLD 1	543970	290.31	Si		
-796	78	-	865	2750	-12	-1	0	SLD 1	48333	3952.97	26	-329	-687	SLD 1	543970	290.15	Si		
-796	70	-	865	1700	26	-2	0	SLV FO 13	48333	1833.67	50	710	-2181	SLV FO 13	543970	134.59	Si		
-796	71	-	865	1850	26	-2	0	SLV FO 13	48333	1835.25	50	710	-2119	SLV FO 13	543970	134.71	Si		
-796	72	-	865	2000	26	2	0	SLV FO 15	48333	1835.25	-50	710	-2119	SLV FO 15	543970	134.71	Si		
-796	73	-	865	2150	26	2	0	SLV FO 15	48333	1833.66	-50	710	-2181	SLV FO 15	543970	134.59	Si		
-796	74	-	865	2350	-27	2	0	SLV FO 3	48333	1779.53	-42	-733	27	SLV FO 3	543970	130.62	Si		
-796	75	-	865	2450	-27	2	0	SLV FO 3	48333	1780.28	-42	-732	-30	SLV FO 3	543970	130.67	Si		
-796	76	-	865	2550	-27	2	0	SLV FO 3	48333	1781.15	-42	-732	-89	SLV FO 3	543970	130.74	Si		
-796	77	-	865	2650	-27	-2	0	SLV FO 1	48333	1780.3	42	-732	-30	SLV FO 1	543970	130.67	Si		
-796	78	-	865	2750	-27	-2	0	SLV FO 1	48333	1779.56	42	-733	27	SLV FO 1	543970	130.62	Si		
-890	70	-	865	1700	0	0	0	SLU 1	48333	10000	0	0	-425	SLU 1	543970	10000	Si		
-890	71	-	865	1850	0	0	0	SLU 1	48333	10000	0	0	-426	SLU 1	543970	10000	Si		
-890	72	-	865	2000	0	0	0	SLU 1	48333	10000	0	0	-426	SLU 1	543970	10000	Si		
-890	73	-	865	2150	0	0	0	SLU 1	48333	10000	0	0	-425	SLU 1	543970	10000	Si		
-890	74	-	865	2350	0	0	0	SLU 1	48333	10000	0	0	-357	SLU 1	543970	10000	Si		
-890	75	-	865	2450	0	0	0	SLU 1	48333	10000	0	0	-357	SLU 1	543970	10000	Si		
-890	76	-	865	2550	0	0	0	SLU 1	48333	10000	0	0	-357	SLU 1	543970	10000	Si		
-890	77	-	865	2650	0	0	0	SLU 1	48333	10000	0	0	-357	SLU 1	543970	10000	Si		
-890	78	-	865	2750	0	0	0	SLU 1	48333	10000	0	0	-357	SLU 1	543970	10000	Si		
-890	70	-	865	1700	0	0	0	SLD 1	48333	10000	0	0	-371	SLD 1	543970	10000	Si		
-890	71	-	865	1850	0	0	0	SLD 1	48333	10000	0	0	-361	SLD 1	543970	10000	Si		
-890	72	-	865	2000	0	0	0	SLD 1	48333	10000	0	0	-351	SLD 1	543970	10000	Si		
-890	73	-	865	2150	0	0	0	SLD 1	48333	10000	0	0	-340	SLD 1	543970	10000	Si		
-890	74	-	865	2350	0	0	0	SLD 1	48333	10000	0	0	-230	SLD 1	543970	10000	Si		
-890	75	-	865	2450	0	0	0	SLD 1	48333	10000	0	0	-220	SLD 1	543970	10000	Si		
-890	76	-	865	2550	0	0	0	SLD 1	48333	10000	0	0	-211	SLD 1	543970	10000	Si		
-890	77	-	865	2650	0	0	0	SLD 1	48333	10000	0	0	-201	SLD 1	543970	10000	Si		
-890	78	-	865	2750	0	0	0	SLD 1	48333	10000	0	0	-192	SLD 1	543970	10000	Si		
-890	70	-	865	1700	0	0	0	SLV FO 1	48333	10000	0	0	-316	SLV FO 1	543970	10000	Si		
-890	71	-	865	1850	0	0	0	SLV FO 1	48333	10000	0	0	-300	SLV FO 1	543970	10000	Si		
-890	72	-	865	2000	0	0	0	SLV FO 1	48333	10000	0	0	-283	SLV FO 1	543970	10000	Si		
-890	73	-	865	2150	0	0	0	SLV FO 1	48333	10000	0	0	-265	SLV FO 1	543970	10000	Si		
-890	74	-	865	2350	0	0	0	SLV FO 1	48333	10000	0	0	-66	SLV FO 1	543970	10000	Si		
-890	75	-	865	2450	0	0	0	SLV FO 1	48333	10000	0	0	-50	SLV FO 1	543970	10000	Si		
-890	76	-	865	2550	0	0	0	SLV FO 1	48333	10000	0	0	-34	SLV FO 1	543970	10000	Si		
-890	77	-	865	2650	0	0	0	SLV FO 1	48333	10000	0	0	-18	SLV FO 1	543970	10000	Si		
-890	78	-	865	2750	0	0	0	SLV FO 1	48333	10000	0	0	-3	SLV FO 1	543970	10000	Si		

Verifica di capacità portante per la famiglia SLU

Verifica di capacità portante verticale riferita al palo singolo

Fattore di correlazione ψ scelto in base alla conoscenza del sito = 1.7

Peso del palo = 1051.5 * 1.3

Filo	Ind.	Xp	Yp	yR laterale	yR punta	Pl.d	Pp.d	Def.vol	Comb.	Cnd	N	Ed	Rd	C.S.	Verifica
70	-	865	1700.11	1.15	1.35	31002	24845		SLU 14	lungo	-25265	-26632	55847	2.1	Si
71	-	865	1850.11	1.15	1.35	31002	24845		SLU 14	lungo	-25312	-26679	55847	2.09	Si
72	-	865	2000.11	1.15	1.35	31002	24845		SLU 14	lungo	-25310	-26677	55847	2.09	Si
73	-	865	2150.11	1.15	1.35	31002	24845		SLU 14	lungo	-25260	-26627	55847	2.1	Si
74	-	865	2350.11	1.15	1.35	31002	24845		SLU 14	lungo	-22703	-24070	55847	2.32	Si
75	-	865	2450.11	1.15	1.35	31002	24845		SLU 14	lungo	-22707	-24074	55847	2.32	Si
76	-	865	2550.11	1.15	1.35	31002	24845		SLU 14	lungo	-22703	-24070	55847	2.32	Si
77	-	865	2650.11	1.15	1.35	31002	24845		SLU 14	lungo	-22696	-24063	55847	2.32	Si
78	-	865	2750.11	1.15	1.35	31002	24845		SLU 14	lungo	-22680	-24047	55847	2.32	Si

Verifica di capacità portante trasversale riferita al palo singolo

Fattore di correlazione ψ scelto in base alla conoscenza del sito = 1.7

Filo	Ind.	Xp	Yp	yR trasversale	LRF	Comb.	Cnd	Rd	Ed (T)	C.S.	Verifica
70	-	865	1700.11	1.3	1	SLU 18	D	16849.6	2990.5	5.63	Si
71	-	865	1850.11	1.3	1	SLU 18	D	16849.6	2990.6	5.63	Si
72	-	865	2000.11	1.3	1	SLU 18	D	16849.6	2990.6	5.63	Si
73	-	865	2150.11	1.3	1	SLU 18	D	16849.6	2990.5	5.63	Si
74	-	865	2350.11	1.3	1	SLU 18	D	16849.6	3.9	4341.97	Si
75	-	865	2450.11	1.3	1	SLU 17	D	16849.6	4.2	4056.94	Si
76	-	865	2550.11	1.3	1	SLU 17	D	16849.6	4.2	4039	Si
77	-	865	2650.11	1.3	1	SLU 17	D	16849.6	4.2	4056.94	Si
78	-	865	2750.11	1.3	1	SLU 18	D	16849.6	3.9	4341.47	Si

Parametri utilizzati nel calcolo

Filo	Ind.	Xp	Yp	Tipo	L.frs.	L.tr.lib.	L.tr.inf.	Coes.	Fi	P.spec	T max	Mecc.coll.	M.plast.sup.	Quota sup.	N sup.	M.plast.inf.	Quota inf.	N inf.
70	-	865	1700.11	TL	22	0	900		36	0.0014	37238	PLL	11349149	-487.2	-1886			
71	-	865	1850.11	TL	22	0	900		36	0.0014	37238	PLL	11349149	-487.2	-1886			
72	-	865	2000.11	TL	22	0	900		36	0.0014	37238	PLL	11349149	-487.2	-1886			
73	-	865	2150.11	TL	22	0	900		36	0.0014	37238	PLL	11349149	-487.2	-1886			
74	-	865	2350.11	TL	22	0	900		36	0.0014	37238	PLL	11349149	-487.2	-1886			
75	-	865	2450.11	TL	22	0	900		36	0.0014	37238	PLL	11349149	-487.2	-3813			
76	-	865	2550.11	TL	22	0	900		36	0.0014	37238	PLL	11349149	-487.2	-3813			
77	-	865	2650.11	TL	22	0	900		36	0.0014	37238	PLL	11349149	-487.2	-3813			
78	-	865	2750.11	TL	22	0	900		36	0.0014	37238	PLL	11349149	-487.2	-1886			

Verifica di capacità portante per la famiglia SLD

Verifica di capacità portante verticale riferita al palo singolo

Fattore di correlazione ψ scelto in base alla conoscenza del sito = 1.7

Peso del palo = 1051.5 * 1

Filo	Ind.	Xp	Yp	yR laterale	yR punta	Pl.d	Pp.d	Def.vol	Comb.	Cnd	N	Ed	Rd	C.S.	Verifica
70	-	865	1700.11	1.15	1.35	31002	24845		SLD 13	lungo	-9159	-10211	55847	5.47	Si
71	-	865	1850.11	1.15	1.35	31002	24845		SLD 13	lungo	-8975	-10027	55847	5.57	Si
72	-	865	2000.11	1.15	1.35	31002	24845		SLD 15	lungo	-8975	-10027	55847	5.57	Si
73	-	865	2150.11	1.15	1.35	31002	24845		SLD 15	lungo	-9159	-10211	55847	5.47</	

Interventi di miglioramento della diga di Cepparello nel Comune di Poggibonsi (SI)

ET.09.4 – Tabulati di calcolo_Canali fuggatori con fondazioni su pali

Filo	Ind.	Xp	Yp	yR laterale	yR punta	Pl,d	Pp,d	Def.vol	Comb.	Cnd	N	Ed	Rd	C.S.	Verifica
76	-	865	2550.11	1.15	1.35	31002	24845		SLD 13	lungo	-9026	-10078	55847	5.54	Si
77	-	865	2650.11	1.15	1.35	31002	24845		SLD 15	lungo	-9208	-10259	55847	5.44	Si
78	-	865	2750.11	1.15	1.35	31002	24845		SLD 15	lungo	-9387	-10438	55847	5.35	Si

Verifica di capacità portante per la famiglia SLV FO

Verifica di capacità portante verticale riferita al palo singolo

Fattore di correlazione ψ scelto in base alla conoscenza del sito = 1.7

Peso del palo = 1051.5 * 1

Filo	Ind.	Xp	Yp	yR laterale	yR punta	Pl,d	Pp,d	Def.vol	Comb.	Cnd	N	Ed	Rd	C.S.	Verifica
70	-	865	1700.11	1.15	1.35	31002	24845		SLV FO 13	lungo	-10564	-11616	55847	4.81	Si
71	-	865	1850.11	1.15	1.35	31002	24845		SLV FO 13	lungo	-10258	-11310	55847	4.94	Si
72	-	865	2000.11	1.15	1.35	31002	24845		SLV FO 15	lungo	-10258	-11310	55847	4.94	Si
73	-	865	2150.11	1.15	1.35	31002	24845		SLV FO 15	lungo	-10564	-11616	55847	4.81	Si
74	-	865	2350.11	1.15	1.35	31002	24845		SLV FO 13	lungo	-12934	-13985	55847	3.99	Si
75	-	865	2450.11	1.15	1.35	31002	24845		SLV FO 13	lungo	-12648	-13700	55847	4.08	Si
76	-	865	2550.11	1.15	1.35	31002	24845		SLV FO 13	lungo	-12355	-13406	55847	4.17	Si
77	-	865	2650.11	1.15	1.35	31002	24845		SLV FO 15	lungo	-12648	-13700	55847	4.08	Si
78	-	865	2750.11	1.15	1.35	31002	24845		SLV FO 15	lungo	-12933	-13985	55847	3.99	Si

Verifica di capacità portante trasversale riferita al palo singolo

Fattore di correlazione ψ scelto in base alla conoscenza del sito = 1.7

Filo	Ind.	Xp	Yp	yR trasversale	LRF	Comb.	Cnd	Rd	Ed (T)	C.S.	Verifica
70	-	865	1700.11	1.3	1	SLV FO 13	D	16849.6	4303.5	3.92	Si
71	-	865	1850.11	1.3	1	SLV FO 13	D	16849.6	4299.8	3.92	Si
72	-	865	2000.11	1.3	1	SLV FO 15	D	16849.6	4299.8	3.92	Si
73	-	865	2150.11	1.3	1	SLV FO 15	D	16849.6	4303.6	3.92	Si
74	-	865	2350.11	1.3	1	SLV FO 3	D	16849.6	4434.5	3.8	Si
75	-	865	2450.11	1.3	1	SLV FO 3	D	16849.6	4432.6	3.8	Si
76	-	865	2550.11	1.3	1	SLV FO 3	D	16849.6	4430.4	3.8	Si
77	-	865	2650.11	1.3	1	SLV FO 1	D	16849.6	4432.6	3.8	Si
78	-	865	2750.11	1.3	1	SLV FO 1	D	16849.6	4434.4	3.8	Si

Parametri utilizzati nel calcolo

Filo	Ind.	Xp	Yp	Tipo	L.frs.	L.tr.lib.	L.tr.inf.	Coes.	Fi	P.spec	T max	Mecc.coll.	M.plast.sup.	Quota sup.	N sup.	M.plast.inf.	Quota inf.	N inf.
70	-	865	1700.11	TL	22	0	900		36	0.0014	37238	PLL	11349148	-487.2	-4529			
71	-	865	1850.11	TL	22	0	900		36	0.0014	37238	PLL	11349148	-487.2	-4529			
72	-	865	2000.11	TL	22	0	900		36	0.0014	37238	PLL	11349150	-487.2	-4529			
73	-	865	2150.11	TL	22	0	900		36	0.0014	37238	PLL	11349150	-487.2	-4529			
74	-	865	2350.11	TL	22	0	900		36	0.0014	37238	PLL	11349150	-487.2	168			
75	-	865	2450.11	TL	22	0	900		36	0.0014	37238	PLL	11349150	-487.2	168			
76	-	865	2550.11	TL	22	0	900		36	0.0014	37238	PLL	11349150	-487.2	168			
77	-	865	2650.11	TL	22	0	900		36	0.0014	37238	PLL	11349148	-487.2	168			
78	-	865	2750.11	TL	22	0	900		36	0.0014	37238	PLL	11349148	-487.2	168			

9 pali "Micropalo D139.7x10 perf 220" gruppo 10 "PALI DI MONTE SFIORATORE DX"

Verifiche effettuate secondo D.M. 17-01-18 (N.T.C.)

Geometria

varia

-630

Pali coinvolti

Palo a coordinate x,y: (3766.9, 350.1)[filo 112];(3766.9, 500.1)[filo 113];(3766.9, 650.1)[filo 114];(3766.9, 800.1)[filo 115];(3766.9, 950.1)[filo 116];(3766.9, 1100.1)[filo 117];(3766.9, 1250.1)[filo 118];(3766.9, 1400.1)[filo 119];(3766.9, 1550.1)[filo 120];

Caratteristiche geometriche

Tubo in acciaio EN10219 139.7x10

Diametro tubo 140 mm

Spessore tubo 10 mm

Lunghezza 600 cm

Caratteristiche dei materiali

Calcestruzzo C25/30

Acciaio S355

Verifiche secondo DM18

Posizione					Taglio							PressoFlessione						Verifica
Quota	Filo	Ind.	Xp	Yp	Tx	Ty	Mt	Comb.	Vrd	C.S.tt	Mx	My	N	Comb.	Mrd	C.S.pf		
0	112	-	3767	350	-455	-1	0	SLU 18	48333	106.25	0	0	-15866	SLU 1	543970	10000	Si	
0	113	-	3767	500	-455	0	0	SLU 18	48333	106.3	0	0	-15994	SLU 1	543970	10000	Si	
0	114	-	3767	650	-455	0	0	SLU 18	48333	106.29	0	0	-16065	SLU 1	543970	10000	Si	
0	115	-	3767	800	-455	0	0	SLU 18	48333	106.27	0	0	-16109	SLU 1	543970	10000	Si	
0	116	-	3767	950	-455	0	0	SLU 18	48333	106.25	0	0	-16124	SLU 1	543970	10000	Si	
0	117	-	3767	1100	-455	1	0	SLU 18	48333	106.22	0	0	-16110	SLU 1	543970	10000	Si	
0	118	-	3767	1250	-455	1	0	SLU 18	48333	106.19	0	0	-16068	SLU 1	543970	10000	Si	
0	119	-	3767	1400	-455	1	0	SLU 18	48333	106.14	0	0	-15999	SLU 1	543970	10000	Si	
0	120	-	3767	1550	-456	1	1	SLU 18	48333	106.04	0	0	-15872	SLU 1	543970	10000	Si	
0	112	-	3767	350	-227	-829	-4	SLD 5	48334	56.25	0	0	-18175	SLD 1	543970	10000	Si	
0	113	-	3767	500	-222	-829	-3	SLD 5	48333	56.35	0	0	-18214	SLD 1	543970	10000	Si	
0	114	-	3767	650	-217	-828	-3	SLD 5	48333	56.44	0	0	-18181	SLD 1	543970	10000	Si	
0	115	-	3767	800	-212	-828	-3	SLD 5	48333	56.55	0	0	-18121	SLD 1	543970	10000	Si	
0	116	-	3767	950	-207	828	3	SLD 7	48333	56.6	0	0	-18032	SLD 1	543970	10000	Si	
0	117	-	3767	1100	-212	829	3	SLD 7	48333	56.51	0	0	-17910	SLD 1	543970	10000	Si	
0	118	-	3767	1250	-217	829	3	SLD 7	48333	56.42	0	0	-17756	SLD 1	543970	10000	Si	
0	119	-	3767	1400	-222	829	3	SLD 7	48333	56.33	0	0	-17567	SLD 1	543970	10000	Si	
0	120	-	3767	1550	-227	829	4	SLD 7	48333	56.23	0	0	-17298	SLD 1	543970	10000	Si	
0	112	-	3767	350	-316	-1337	-6	SLV FO 5	48334	35.18	0	0	-20422	SLV FO 1	539782	10000	Si	
0	113	-	3767	500	-308	-1337	-5	SLV FO 5	48334	35.23	0	0	-20418	SLV FO 1	539798	10000	Si	
0	114	-	3767	650	-300	-1337	-5	SLV FO 5	48334	35.27	0	0	-20325	SLV FO 1	540166	10000	Si	
0	115	-	3767	800	-293	-1336	-5	SLV FO 5	48334	35.33	0	0	-20204	SLV FO 1	540645	10000	Si	
0	116	-	3767	950	-285	1337	5	SLV FO 7	48333	35.36	0	0	-20051	SLV FO 1	541244	10000	Si	
0	117	-	3767	1100	-293	1337	5	SLV FO 7	48333	35.31	0	0	-19863	SLV FO 1	541977	10000	Si	
0	118	-	3767	1250	-300	1337	6	SLV FO 7	48333	35.27	0	0	-19637	SLV FO 1	542851	10000	Si	
0	119	-	3767	1400	-308	1337	6	SLV FO 7	48333	35.22	0	0	-19371	SLV FO 1	543873	10000	Si	
0	120	-	3767	1550	-316	1337	6	SLV FO 7	48333	35.17	0	0	-19003	SLV FO 1	543970	10000	Si	
-62	112	-	3767	350	23	0	0	SLU 18	48333	2079.78	-29	20074	-14578	SLU 18	543970	26.57	Si	

Interventi di miglioramento della diga di Cepparello nel Comune di Poggibonsi (SI)

ET.09.4 – Tabulati di calcolo_Canali fagatori con fondazioni su pali

Posizione					Taglio							PressoFlessione					Verifica
Quota	Filo	Ind.	Xp	Yp	Tx	Ty	Mt	Comb.	Vrd	C.S.tt	Mx	My	N	Comb.	Mrd	C.S.pf	
-62	113	-	3767	500	23	0	0	SLU 18	48333	2080.79	-19	20064	-14718	SLU 18	543970	26.59	Si
-62	114	-	3767	650	23	0	0	SLU 18	48333	2080.67	-8	20065	-14789	SLU 18	543970	26.58	Si
-62	115	-	3767	800	23	0	0	SLU 18	48333	2080.31	2	20069	-14831	SLU 18	543970	26.58	Si
-62	116	-	3767	950	23	0	0	SLU 18	48333	2079.85	13	20073	-14846	SLU 18	543970	26.57	Si
-62	117	-	3767	1100	23	0	0	SLU 18	48333	2079.29	24	20079	-14833	SLU 18	543970	26.57	Si
-62	118	-	3767	1250	23	0	0	SLU 18	48333	2078.61	34	20085	-14793	SLU 18	543970	26.56	Si
-62	119	-	3767	1400	23	0	0	SLU 18	48333	2077.71	45	20094	-14725	SLU 18	543970	26.55	Si
-62	120	-	3767	1550	23	0	0	SLU 18	48333	2075.69	56	20113	-14587	SLU 18	543970	26.52	Si
-62	112	-	3767	350	12	42	-2	SLD 5	48333	1101.2	-36569	10006	-17381	SLD 5	543970	14.07	Si
-62	113	-	3767	500	11	42	-2	SLD 5	48333	1103.04	-36563	9783	-17140	SLD 5	543970	14.09	Si
-62	114	-	3767	650	11	42	-2	SLD 5	48333	1104.82	-36557	9569	-16852	SLD 5	543970	14.12	Si
-62	115	-	3767	800	11	42	-2	SLD 5	48333	1106.91	-36538	9358	-16549	SLD 5	543970	14.14	Si
-62	116	-	3767	950	11	-42	2	SLD 7	48333	1108.01	36553	9146	-16224	SLD 7	543970	14.16	Si
-62	117	-	3767	1100	11	-42	2	SLD 7	48333	1106.24	36561	9359	-16550	SLD 7	543970	14.13	Si
-62	118	-	3767	1250	11	-42	2	SLD 7	48333	1104.47	36568	9573	-16854	SLD 7	543970	14.11	Si
-62	119	-	3767	1400	11	-42	2	SLD 7	48333	1102.67	36575	9789	-17143	SLD 7	543970	14.09	Si
-62	120	-	3767	1550	12	-42	3	SLD 7	48333	1100.82	36580	10014	-17384	SLD 7	543970	14.06	Si
-62	112	-	3767	350	16	68	-4	SLV FO 5	48334	688.6	-59004	13947	-18827	SLV FO 5	543970	8.8	Si
-62	113	-	3767	500	16	68	-4	SLV FO 5	48333	689.57	-58999	13593	-18365	SLV FO 5	543970	8.81	Si
-62	114	-	3767	650	15	68	-3	SLV FO 5	48333	690.5	-58993	13249	-17860	SLV FO 5	543970	8.82	Si
-62	115	-	3767	800	15	68	-3	SLV FO 5	48333	691.64	-58967	12907	-17345	SLV FO 5	543970	8.84	Si
-62	116	-	3767	950	15	-68	4	SLV FO 7	48333	692.2	58991	12564	-16811	SLV FO 7	543970	8.84	Si
-62	117	-	3767	1100	15	-68	4	SLV FO 7	48333	691.27	58999	12908	-17346	SLV FO 7	543970	8.83	Si
-62	118	-	3767	1250	15	-68	4	SLV FO 7	48333	690.35	59006	13250	-17861	SLV FO 7	543970	8.82	Si
-62	119	-	3767	1400	16	-68	4	SLV FO 7	48333	689.41	59011	13596	-18367	SLV FO 7	543970	8.81	Si
-62	120	-	3767	1550	16	-68	4	SLV FO 7	48333	688.45	59016	13951	-18829	SLV FO 7	543970	8.8	Si
-124	112	-	3767	350	23	0	0	SLU 18	48333	2079.78	-27	18631	-14626	SLU 18	543970	26.57	Si
-124	113	-	3767	500	23	0	0	SLU 18	48333	2080.79	-18	18622	-14766	SLU 18	543970	26.59	Si
-124	114	-	3767	650	23	0	0	SLU 18	48333	2080.67	-7	18623	-14837	SLU 18	543970	26.58	Si
-124	115	-	3767	800	23	0	0	SLU 18	48333	2080.31	2	18626	-14880	SLU 18	543970	26.58	Si
-124	116	-	3767	950	23	0	0	SLU 18	48333	2079.85	12	18630	-14895	SLU 18	543970	26.57	Si
-124	117	-	3767	1100	23	0	0	SLU 18	48333	2079.29	22	18635	-14882	SLU 18	543970	26.57	Si
-124	118	-	3767	1250	23	0	0	SLU 18	48333	2078.61	32	18641	-14842	SLU 18	543970	26.56	Si
-124	119	-	3767	1400	23	0	0	SLU 18	48333	2077.71	42	18649	-14774	SLU 18	543970	26.55	Si
-124	120	-	3767	1550	23	0	0	SLU 18	48333	2075.69	52	18667	-14636	SLU 18	543970	26.52	Si
-124	112	-	3767	350	12	42	-2	SLD 5	48333	1101.2	-33939	9287	-17418	SLD 5	543970	14.07	Si
-124	113	-	3767	500	11	42	-2	SLD 5	48333	1103.04	-33935	9080	-17177	SLD 5	543970	14.09	Si
-124	114	-	3767	650	11	42	-2	SLD 5	48333	1104.82	-33929	8881	-16890	SLD 5	543970	14.12	Si
-124	115	-	3767	800	11	42	-2	SLD 5	48333	1106.91	-33911	8685	-16586	SLD 5	543970	14.14	Si
-124	116	-	3767	950	11	-42	2	SLD 7	48333	1108.01	33925	8488	-16261	SLD 7	543970	14.16	Si
-124	117	-	3767	1100	11	-42	2	SLD 7	48333	1106.24	33932	8686	-16587	SLD 7	543970	14.13	Si
-124	118	-	3767	1250	11	-42	2	SLD 7	48333	1104.47	33939	8885	-16891	SLD 7	543970	14.11	Si
-124	119	-	3767	1400	11	-42	2	SLD 7	48333	1102.67	33945	9085	-17180	SLD 7	543970	14.09	Si
-124	120	-	3767	1550	12	-42	3	SLD 7	48333	1100.82	33950	9294	-17422	SLD 7	543970	14.06	Si
-124	112	-	3767	350	16	68	-4	SLV FO 5	48334	688.6	-54761	12945	-18864	SLV FO 5	543970	8.8	Si
-124	113	-	3767	500	16	68	-4	SLV FO 5	48333	689.57	-54757	12616	-18403	SLV FO 5	543970	8.81	Si
-124	114	-	3767	650	15	68	-3	SLV FO 5	48333	690.5	-54752	12296	-17897	SLV FO 5	543970	8.82	Si
-124	115	-	3767	800	15	68	-3	SLV FO 5	48333	691.64	-54728	11979	-17382	SLV FO 5	543970	8.84	Si
-124	116	-	3767	950	15	-68	4	SLV FO 7	48333	692.2	54750	11660	-16849	SLV FO 7	543970	8.84	Si
-124	117	-	3767	1100	15	-68	4	SLV FO 7	48333	691.27	54757	11980	-17383	SLV FO 7	543970	8.83	Si
-124	118	-	3767	1250	15	-68	4	SLV FO 7	48333	690.35	54763	12298	-17899	SLV FO 7	543970	8.82	Si
-124	119	-	3767	1400	16	-68	4	SLV FO 7	48333	689.41	54769	12619	-18405	SLV FO 7	543970	8.81	Si
-124	120	-	3767	1550	16	-68	4	SLV FO 7	48333	688.45	54773	12948	-18867	SLV FO 7	543970	8.8	Si
-186	112	-	3767	350	92	0	0	SLU 18	48333	525.06	-24	16409	-8157	SLU 18	543970	31.17	Si
-186	113	-	3767	500	92	0	0	SLU 18	48333	525.32	-16	16401	-8236	SLU 18	543970	31.19	Si
-186	114	-	3767	650	92	0	0	SLU 18	48333	525.28	-7	16402	-8276	SLU 18	543970	31.19	Si
-186	115	-	3767	800	92	0	0	SLU 18	48333	525.19	2	16404	-8300	SLU 18	543970	31.18	Si
-186	116	-	3767	950	92	0	0	SLU 18	48333	525.08	11	16408	-8308	SLU 18	543970	31.17	Si
-186	117	-	3767	1100	92	0	0	SLU 18	48333	524.94	19	16413	-8301	SLU 18	543970	31.17	Si
-186	118	-	3767	1250	92	0	0	SLU 18	48333	524.76	28	16418	-8278	SLU 18	543970	31.15	Si
-186	119	-	3767	1400	92	0	0	SLU 18	48333	524.54	37	16425	-8240	SLU 18	543970	31.14	Si
-186	120	-	3767	1550	92	0	0	SLU 18	48333	524.03	45	16441	-8162	SLU 18	543970	31.11	Si
-186	112	-	3767	350	46	168	0	SLD 5	48333	278.01	-29892	8179	-9750	SLD 5	543970	16.51	Si
-186	113	-	3767	500	45	168	0	SLD 5	48333	278.47	-29887	7997	-9614	SLD 5	543970	16.53	Si
-186	114	-	3767	650	44	168	0	SLD 5	48333	278.92	-29882	7822	-9452	SLD 5	543970	16.56	Si
-186	115	-	3767	800	43	168	0	SLD 5	48333	279.45	-29866	7649	-9281	SLD 5	543970	16.59	Si
-186	116	-	3767	950	42	-168	0	SLD 7	48333	279.73	29879	7476	-9098	SLD 7	543970	16.61	Si
-186	117	-	3767	1100	43	-168	0	SLD 7	48333	279.28	29885	7650	-9281	SLD 7	543970	16.58	Si
-186	118	-	3767	1250	44	-168	0	SLD 7	48333	278.83	29891	7825	-9453	SLD 7	543970	16.55	Si
-186	119	-	3767	1400	45	-168	0	SLD 7	48333	278.38	29897	8002	-9616	SLD 7	543970	16.53	Si
-186	120	-	3767	1550	46	-168	0	SLD 7	48333	277.91	29901	8185	-9752	SLD 7	543970	16.5	Si
-186	112	-	3767	350	64	271	0	SLV FO 5	48333	173.84	-48230	11401	-10565	SLV FO 5	543970	10.32	Si
-186	113	-	3767	500	62	271	0	SLV FO 5	48333	174.09	-48226	11111	-10304	SLV FO 5	543970	10.34	Si
-186	114	-	3767	650	61	271	0	SLV FO 5	48333	174.32	-48222	10830	-10020	SLV FO 5	543970	10.35	Si
-186	115	-	3767	800	59	270	0	SLV FO 5	48333	174.61	-48201	10551	-9729	SLV FO 5	543970	10.37	Si
-186	116	-	3767	950	58	-271	0	SLV FO 7	48333	174.75	48220	10270	-9429	SLV FO 7	543970	10	

Interventi di miglioramento della diga di Cepparello nel Comune di Poggibonsi (SI)

ET.09.4 – Tabulati di calcolo_Canali fuggatori con fondazioni su pali

Posizione					Taglio							PressoFlessione							Verifica
Quota	Filo	Ind.	Xp	Yp	Tx	Ty	Mt	Comb.	Vrd	C.S.tt	Mx	My	N	Comb.	Mrd	C.S.pf			
-248	112	-	3767	350	64	271	0	SLV FO 5	48333	173.84	-31426	7429	-10602	SLV FO 5	543970	10.32	Si		
-248	113	-	3767	500	62	271	0	SLV FO 5	48333	174.09	-31424	7240	-10342	SLV FO 5	543970	10.34	Si		
-248	114	-	3767	650	61	271	0	SLV FO 5	48333	174.32	-31421	7057	-10057	SLV FO 5	543970	10.35	Si		
-248	115	-	3767	800	59	270	0	SLV FO 5	48333	174.61	-31407	6875	-9767	SLV FO 5	543970	10.37	Si		
-248	116	-	3767	950	58	-271	0	SLV FO 7	48333	174.75	31420	6692	-9466	SLV FO 7	543970	10.37	Si		
-248	117	-	3767	1100	59	-271	0	SLV FO 7	48333	174.52	31424	6875	-9767	SLV FO 7	543970	10.36	Si		
-248	118	-	3767	1250	61	-271	0	SLV FO 7	48333	174.29	31428	7057	-10058	SLV FO 7	543970	10.35	Si		
-248	119	-	3767	1400	62	-271	0	SLV FO 7	48333	174.05	31431	7242	-10343	SLV FO 7	543970	10.33	Si		
-248	120	-	3767	1550	64	-271	0	SLV FO 7	48333	173.81	31433	7431	-10603	SLV FO 7	543970	10.32	Si		
-342	112	-	3767	350	92	0	0	SLU 18	48333	525.06	-3	2116	-8278	SLU 18	543970	31.17	Si		
-342	113	-	3767	500	92	0	0	SLU 18	48333	525.32	-2	2115	-8357	SLU 18	543970	31.19	Si		
-342	114	-	3767	650	92	0	0	SLU 18	48333	525.28	-1	2115	-8397	SLU 18	543970	31.19	Si		
-342	115	-	3767	800	92	0	0	SLU 18	48333	525.19	0	2116	-8421	SLU 18	543970	31.18	Si		
-342	116	-	3767	950	92	0	0	SLU 18	48333	525.08	1	2116	-8430	SLU 18	543970	31.17	Si		
-342	117	-	3767	1100	92	0	0	SLU 18	48333	524.94	3	2117	-8422	SLU 18	543970	31.17	Si		
-342	118	-	3767	1250	92	0	0	SLU 18	48333	524.76	4	2118	-8400	SLU 18	543970	31.15	Si		
-342	119	-	3767	1400	92	0	0	SLU 18	48333	524.54	5	2118	-8361	SLU 18	543970	31.14	Si		
-342	120	-	3767	1550	92	0	0	SLU 18	48333	524.03	6	2120	-8284	SLU 18	543970	31.11	Si		
-342	112	-	3767	350	46	168	0	SLD 5	48333	278.01	-3855	1055	-9843	SLD 5	543970	16.51	Si		
-342	113	-	3767	500	45	168	0	SLD 5	48333	278.47	-3855	1031	-9707	SLD 5	543970	16.53	Si		
-342	114	-	3767	650	44	168	0	SLD 5	48333	278.92	-3854	1009	-9545	SLD 5	543970	16.56	Si		
-342	115	-	3767	800	43	168	0	SLD 5	48333	279.45	-3852	987	-9374	SLD 5	543970	16.59	Si		
-342	116	-	3767	950	42	-168	0	SLD 7	48333	279.73	3854	964	-9191	SLD 7	543970	16.61	Si		
-342	117	-	3767	1100	43	-168	0	SLD 7	48333	279.28	3854	987	-9375	SLD 7	543970	16.58	Si		
-342	118	-	3767	1250	44	-168	0	SLD 7	48333	278.83	3855	1009	-9546	SLD 7	543970	16.55	Si		
-342	119	-	3767	1400	45	-168	0	SLD 7	48333	278.38	3856	1032	-9709	SLD 7	543970	16.53	Si		
-342	120	-	3767	1550	46	-168	0	SLD 7	48333	277.91	3856	1056	-9845	SLD 7	543970	16.5	Si		
-342	112	-	3767	350	64	271	0	SLV FO 5	48333	173.84	-6221	1470	-10658	SLV FO 5	543970	10.32	Si		
-342	113	-	3767	500	62	271	0	SLV FO 5	48333	174.09	-6220	1433	-10398	SLV FO 5	543970	10.34	Si		
-342	114	-	3767	650	61	271	0	SLV FO 5	48333	174.32	-6219	1397	-10113	SLV FO 5	543970	10.35	Si		
-342	115	-	3767	800	59	270	0	SLV FO 5	48333	174.61	-6217	1361	-9823	SLV FO 5	543970	10.37	Si		
-342	116	-	3767	950	58	-271	0	SLV FO 7	48333	174.75	6219	1325	-9522	SLV FO 7	543970	10.37	Si		
-342	117	-	3767	1100	59	-271	0	SLV FO 7	48333	174.52	6220	1361	-9823	SLV FO 7	543970	10.36	Si		
-342	118	-	3767	1250	61	-271	0	SLV FO 7	48333	174.29	6221	1397	-10114	SLV FO 7	543970	10.35	Si		
-342	119	-	3767	1400	62	-271	0	SLV FO 7	48333	174.05	6221	1433	-10399	SLV FO 7	543970	10.33	Si		
-342	120	-	3767	1550	64	-271	0	SLV FO 7	48333	173.81	6222	1471	-10659	SLV FO 7	543970	10.32	Si		
-404	112	-	3767	350	11	0	0	SLU 18	48333	4561.25	-2	1180	-3658	SLU 18	543970	301.97	Si		
-404	113	-	3767	500	11	0	0	SLU 18	48333	4563.47	-1	1179	-3694	SLU 18	543970	302.12	Si		
-404	114	-	3767	650	11	0	0	SLU 18	48333	4563.2	0	1179	-3712	SLU 18	543970	302.1	Si		
-404	115	-	3767	800	11	0	0	SLU 18	48333	4562.42	0	1179	-3722	SLU 18	543970	302.05	Si		
-404	116	-	3767	950	11	0	0	SLU 18	48333	4561.4	1	1180	-3726	SLU 18	543970	301.98	Si		
-404	117	-	3767	1100	11	0	0	SLU 18	48333	4560.17	1	1180	-3723	SLU 18	543970	301.9	Si		
-404	118	-	3767	1250	11	0	0	SLU 18	48333	4558.68	2	1180	-3713	SLU 18	543970	301.8	Si		
-404	119	-	3767	1400	11	0	0	SLU 18	48333	4556.71	3	1181	-3696	SLU 18	543970	301.67	Si		
-404	120	-	3767	1550	11	0	0	SLU 18	48333	4552.29	3	1182	-3661	SLU 18	543970	301.38	Si		
-404	112	-	3767	350	5	19	0	SLD 5	48333	2415.08	-2149	588	-4373	SLD 5	543970	159.89	Si		
-404	113	-	3767	500	5	19	0	SLD 5	48333	2419.1	-2148	575	-4312	SLD 5	543970	160.15	Si		
-404	114	-	3767	650	5	19	0	SLD 5	48333	2423.01	-2148	562	-4239	SLD 5	543970	160.41	Si		
-404	115	-	3767	800	5	19	0	SLD 5	48333	2427.61	-2147	550	-4163	SLD 5	543970	160.72	Si		
-404	116	-	3767	950	5	-19	0	SLD 7	48333	2430.04	2148	537	-4080	SLD 7	543970	160.88	Si		
-404	117	-	3767	1100	5	-19	0	SLD 7	48333	2426.14	2148	550	-4163	SLD 7	543970	160.62	Si		
-404	118	-	3767	1250	5	-19	0	SLD 7	48333	2422.26	2149	563	-4240	SLD 7	543970	160.36	Si		
-404	119	-	3767	1400	5	-19	0	SLD 7	48333	2418.31	2149	575	-4313	SLD 7	543970	160.1	Si		
-404	120	-	3767	1550	5	-19	0	SLD 7	48333	2414.26	2149	588	-4374	SLD 7	543970	159.83	Si		
-404	112	-	3767	350	7	31	0	SLV FO 5	48333	1510.19	-3467	820	-4738	SLV FO 5	543970	99.98	Si		
-404	113	-	3767	500	7	31	0	SLV FO 5	48333	1512.31	-3467	799	-4622	SLV FO 5	543970	100.12	Si		
-404	114	-	3767	650	7	31	0	SLV FO 5	48333	1514.36	-3466	779	-4494	SLV FO 5	543970	100.26	Si		
-404	115	-	3767	800	7	31	0	SLV FO 5	48333	1516.85	-3465	758	-4364	SLV FO 5	543970	100.42	Si		
-404	116	-	3767	950	7	-31	0	SLV FO 7	48333	1518.09	3466	738	-4229	SLV FO 7	543970	100.5	Si		
-404	117	-	3767	1100	7	-31	0	SLV FO 7	48333	1516.07	3467	758	-4364	SLV FO 7	543970	100.37	Si		
-404	118	-	3767	1250	7	-31	0	SLV FO 7	48333	1514.05	3467	779	-4494	SLV FO 7	543970	100.24	Si		
-404	119	-	3767	1400	7	-31	0	SLV FO 7	48333	1511.99	3468	799	-4622	SLV FO 7	543970	100.1	Si		
-404	120	-	3767	1550	7	-31	0	SLV FO 7	48333	1509.87	3468	820	-4739	SLV FO 7	543970	99.96	Si		
-466	112	-	3767	350	11	0	0	SLU 18	48333	4561.25	-1	521	-3707	SLU 18	543970	301.97	Si		
-466	113	-	3767	500	11	0	0	SLU 18	48333	4563.47	0	521	-3742	SLU 18	543970	302.12	Si		
-466	114	-	3767	650	11	0	0	SLU 18	48333	4563.2	0	521	-3760	SLU 18	543970	302.1	Si		
-466	115	-	3767	800	11	0	0	SLU 18	48333	4562.42	0	521	-3771	SLU 18	543970	302.05	Si		
-466	116	-	3767	950	11	0	0	SLU 18	48333	4561.4	0	521	-3775	SLU 18	543970	301.98	Si		
-466	117	-	3767	1100	11	0	0	SLU 18	48333	4560.17	1	522	-3772	SLU 18	543970	301.9	Si		
-466	118	-	3767	1250	11	0	0	SLU 18	48333	4558.68	1	522	-3761	SLU 18	543970	301.8	Si		
-466	119	-	3767	1400	11	0	0	SLU 18	48333	4556.71	1	522	-3744	SLU 18	543970	301.67	Si		
-466	120	-	3767	1550	11	0	0	SLU 18	48333	4552.29	1	522	-3709	SLU 18	543970	301.38	Si		
-466	112	-	3767	350	5	19	0	SLD 5	48333	2415.08	-950	260	-4410	SLD 5	543970	159.89	Si		
-466	113	-	3767	500	5	19	0	SLD 5	48333	2419.1	-950	254	-4349	SLD 5	543970	160.15	Si		
-466	114	-	3767	650	5	19	0	SLD 5	48333	2423.01	-950	249	-4277	SLD 5	543970	160.41	Si		
-466	115	-	3767	800	5	19	0	SLD 5	48333	2427.61	-949	243	-4200	SLD 5	543970	160.72	Si		
-466	116	-	3767	950	5	-19	0	SLD 7	48333	2430.04	950	238	-4118						

Interventi di miglioramento della diga di Cepparello nel Comune di Poggibonsi (SI)

ET.09.4 – Tabulati di calcolo_Canali fagatori con fondazioni su pali

Posizione					Taglio							PressoFlessione						Verifica
Quota	Filo	Ind.	Xp	Yp	Tx	Ty	Mt	Comb.	Vrd	C.S.tt	Mx	My	N	Comb.	Mrd	C.S.pf	Verifica	
-528	120	-	3767	1550	0	0	0	SLU 1	48333	10000	0	0	-123	SLU 1	543970	10000	Si	
-528	112	-	3767	350	0	0	0	SLD 1	48333	10000	0	0	-146	SLD 1	543970	10000	Si	
-528	113	-	3767	500	0	0	0	SLD 1	48333	10000	0	0	-146	SLD 1	543970	10000	Si	
-528	114	-	3767	650	0	0	0	SLD 1	48333	10000	0	0	-146	SLD 1	543970	10000	Si	
-528	115	-	3767	800	0	0	0	SLD 1	48333	10000	0	0	-146	SLD 1	543970	10000	Si	
-528	116	-	3767	950	0	0	0	SLD 1	48333	10000	0	0	-145	SLD 1	543970	10000	Si	
-528	117	-	3767	1100	0	0	0	SLD 1	48333	10000	0	0	-143	SLD 1	543970	10000	Si	
-528	118	-	3767	1250	0	0	0	SLD 1	48333	10000	0	0	-142	SLD 1	543970	10000	Si	
-528	119	-	3767	1400	0	0	0	SLD 1	48333	10000	0	0	-140	SLD 1	543970	10000	Si	
-528	120	-	3767	1550	0	0	0	SLD 1	48333	10000	0	0	-137	SLD 1	543970	10000	Si	
-528	112	-	3767	350	0	0	0	SLV FO 1	48333	10000	0	0	-169	SLV FO 1	543970	10000	Si	
-528	113	-	3767	500	0	0	0	SLV FO 1	48333	10000	0	0	-169	SLV FO 1	543970	10000	Si	
-528	114	-	3767	650	0	0	0	SLV FO 1	48333	10000	0	0	-168	SLV FO 1	543970	10000	Si	
-528	115	-	3767	800	0	0	0	SLV FO 1	48333	10000	0	0	-167	SLV FO 1	543970	10000	Si	
-528	116	-	3767	950	0	0	0	SLV FO 1	48333	10000	0	0	-165	SLV FO 1	543970	10000	Si	
-528	117	-	3767	1100	0	0	0	SLV FO 1	48333	10000	0	0	-163	SLV FO 1	543970	10000	Si	
-528	118	-	3767	1250	0	0	0	SLV FO 1	48333	10000	0	0	-161	SLV FO 1	543970	10000	Si	
-528	119	-	3767	1400	0	0	0	SLV FO 1	48333	10000	0	0	-158	SLV FO 1	543970	10000	Si	
-528	120	-	3767	1550	0	0	0	SLV FO 1	48333	10000	0	0	-154	SLV FO 1	543970	10000	Si	
-590	112	-	3767	350	0	0	0	SLU 1	48333	10000	0	0	-160	SLU 1	543970	10000	Si	
-590	113	-	3767	500	0	0	0	SLU 1	48333	10000	0	0	-161	SLU 1	543970	10000	Si	
-590	114	-	3767	650	0	0	0	SLU 1	48333	10000	0	0	-162	SLU 1	543970	10000	Si	
-590	115	-	3767	800	0	0	0	SLU 1	48333	10000	0	0	-162	SLU 1	543970	10000	Si	
-590	116	-	3767	950	0	0	0	SLU 1	48333	10000	0	0	-163	SLU 1	543970	10000	Si	
-590	117	-	3767	1100	0	0	0	SLU 1	48333	10000	0	0	-162	SLU 1	543970	10000	Si	
-590	118	-	3767	1250	0	0	0	SLU 1	48333	10000	0	0	-162	SLU 1	543970	10000	Si	
-590	119	-	3767	1400	0	0	0	SLU 1	48333	10000	0	0	-161	SLU 1	543970	10000	Si	
-590	120	-	3767	1550	0	0	0	SLU 1	48333	10000	0	0	-160	SLU 1	543970	10000	Si	
-590	112	-	3767	350	0	0	0	SLD 1	48333	10000	0	0	-183	SLD 1	543970	10000	Si	
-590	113	-	3767	500	0	0	0	SLD 1	48333	10000	0	0	-184	SLD 1	543970	10000	Si	
-590	114	-	3767	650	0	0	0	SLD 1	48333	10000	0	0	-183	SLD 1	543970	10000	Si	
-590	115	-	3767	800	0	0	0	SLD 1	48333	10000	0	0	-183	SLD 1	543970	10000	Si	
-590	116	-	3767	950	0	0	0	SLD 1	48333	10000	0	0	-182	SLD 1	543970	10000	Si	
-590	117	-	3767	1100	0	0	0	SLD 1	48333	10000	0	0	-181	SLD 1	543970	10000	Si	
-590	118	-	3767	1250	0	0	0	SLD 1	48333	10000	0	0	-179	SLD 1	543970	10000	Si	
-590	119	-	3767	1400	0	0	0	SLD 1	48333	10000	0	0	-177	SLD 1	543970	10000	Si	
-590	120	-	3767	1550	0	0	0	SLD 1	48333	10000	0	0	-174	SLD 1	543970	10000	Si	
-590	112	-	3767	350	0	0	0	SLV FO 1	48333	10000	0	0	-206	SLV FO 1	543970	10000	Si	
-590	113	-	3767	500	0	0	0	SLV FO 1	48333	10000	0	0	-206	SLV FO 1	543970	10000	Si	
-590	114	-	3767	650	0	0	0	SLV FO 1	48333	10000	0	0	-205	SLV FO 1	543970	10000	Si	
-590	115	-	3767	800	0	0	0	SLV FO 1	48333	10000	0	0	-204	SLV FO 1	543970	10000	Si	
-590	116	-	3767	950	0	0	0	SLV FO 1	48333	10000	0	0	-202	SLV FO 1	543970	10000	Si	
-590	117	-	3767	1100	0	0	0	SLV FO 1	48333	10000	0	0	-201	SLV FO 1	543970	10000	Si	
-590	118	-	3767	1250	0	0	0	SLV FO 1	48333	10000	0	0	-198	SLV FO 1	543970	10000	Si	
-590	119	-	3767	1400	0	0	0	SLV FO 1	48333	10000	0	0	-196	SLV FO 1	543970	10000	Si	
-590	120	-	3767	1550	0	0	0	SLV FO 1	48333	10000	0	0	-192	SLV FO 1	543970	10000	Si	

Verifica di capacità portante per la famiglia SLU

Verifica di capacità portante verticale riferita al palo singolo

Fattore di correlazione ψ scelto in base alla conoscenza del sito = 1.7

Peso del palo = 701 * 1.3

Filo	Ind.	Xp	Yp	yR laterale	yR punta	Pl.d	Pp.d	Def.vol	Comb.	Cnd	N	Ed	Rd	C.S.	Verifica
112	-	3766.89	350.11	1.15	1.35	30756	24845		SLU 14	lungo	-40311	-41223	55601	1.35	Si
113	-	3766.89	500.11	1.15	1.35	30756	24845		SLU 14	lungo	-40602	-41514	55601	1.34	Si
114	-	3766.89	650.11	1.15	1.35	30756	24845		SLU 14	lungo	-40763	-41675	55601	1.33	Si
115	-	3766.89	800.11	1.15	1.35	30756	24845		SLU 14	lungo	-40862	-41773	55601	1.33	Si
116	-	3766.89	950.11	1.15	1.35	30756	24845		SLU 14	lungo	-40896	-41807	55601	1.33	Si
117	-	3766.89	1100.11	1.15	1.35	30756	24845		SLU 14	lungo	-40862	-41774	55601	1.33	Si
118	-	3766.89	1250.11	1.15	1.35	30756	24845		SLU 14	lungo	-40764	-41675	55601	1.33	Si
119	-	3766.89	1400.11	1.15	1.35	30756	24845		SLU 14	lungo	-40604	-41515	55601	1.34	Si
120	-	3766.89	1550.11	1.15	1.35	30756	24845		SLU 14	lungo	-40314	-41225	55601	1.35	Si

Verifica di capacità portante trasversale riferita al palo singolo

Fattore di correlazione ψ scelto in base alla conoscenza del sito = 1.7

Filo	Ind.	Xp	Yp	yR trasversale	LRF	Comb.	Cnd	Rd	Ed (T)	C.S.	Verifica
112	-	3766.89	350.11	1.3	1	SLU 18	D	9662.7	454.9	21.24	Si
113	-	3766.89	500.11	1.3	1	SLU 18	D	9662.7	454.7	21.25	Si
114	-	3766.89	650.11	1.3	1	SLU 18	D	9662.7	454.7	21.25	Si
115	-	3766.89	800.11	1.3	1	SLU 18	D	9662.7	454.8	21.25	Si
116	-	3766.89	950.11	1.3	1	SLU 18	D	9662.7	454.9	21.24	Si
117	-	3766.89	1100.11	1.3	1	SLU 18	D	9662.7	455	21.24	Si
118	-	3766.89	1250.11	1.3	1	SLU 18	D	9662.7	455.2	21.23	Si
119	-	3766.89	1400.11	1.3	1	SLU 18	D	9662.7	455.4	21.22	Si
120	-	3766.89	1550.11	1.3	1	SLU 18	D	9662.7	455.8	21.2	Si

Parametri utilizzati nel calcolo

Filo	Ind.	Xp	Yp	Tipo	L.frs.	L.tr.lib.	L.tr.inf.	Coes.	Fi	P.spec	T max	Mecc.coll.	M.plast.sup.	Quota sup.	N sup.	M.plast.inf.	Quota inf.	N inf.
112	-	3766.89	350.11	TL	22	0	600		36	0.0014	21355	PC	4928634	-376.2				
113	-	3766.89	500.11	TL	22	0	600		36	0.0014	21355	PC	4928634	-376.2				
114	-	3766.89	650.11	TL	22	0	600		36	0.0014	21355	PC	4928634	-376.2				
115	-	3766.89	800.11	TL	22	0	600		36	0.0014	21355	PC	4928634	-376.2				
116	-	3766.89	950.11	TL	22	0	600		36	0.0014	21355	PC	4928634	-376.2				
117	-	3766.89	1100.11	TL	22	0	600		36	0.0014	21355	PC	4928634	-376.2				
118	-	3766.89	1250.11	TL	22	0	600		36	0.0014	21355	PC	4928634	-376.2				
119	-	3766.89	1400.11	TL	22	0	600		36	0.0014	21355	PC	4928634	-376.2				
120	-	3766.89	1550.11	TL	22	0	600		36	0.0014	21355	PC	4928634	-376.2				

Verifica di capacità portante per la famiglia SLD

Verifica di capacità portante verticale riferita al palo singolo

Fattore di correlazione ψ scelto in base alla conoscenza del sito = 1.7

Peso del palo = 701 * 1

Filo	Ind.	Xp	Yp	yR laterale	yR punta	Pl.d	Pp.d	Def.vol	Comb.	Cnd	N	Ed	Rd	C.S.	Verifica
112	-	3766.89	350.11	1.15	1.35	30756	24845		SLD 1	lungo	-18175	-18876	55601	2.95	Si
113	-	3766.89	500.11	1.15	1.35	30756	24845		SLD 1	lungo	-18214	-18915	55601	2.94	Si
114	-	3766.89	650.11	1.15	1.35	30756	24845		SLD 1	lungo	-18181	-188			

Interventi di miglioramento della diga di Cepparello nel Comune di Poggibonsi (SI)

ET.09.4 – Tabulati di calcolo_Canali fugatori con fondazioni su pali

Filo	Ind.	Xp	Yp	yR laterale	yR punta	Pl,d	Pp,d	Def.vol	Comb.	Cnd	N	Ed	Rd	C.S.	Verifica
118	-	3766.89	1250.11	1.15	1.35	30756	24845		SLD 3	lungo	-18181	-18882	55601	2.94	Si
119	-	3766.89	1400.11	1.15	1.35	30756	24845		SLD 3	lungo	-18214	-18915	55601	2.94	Si
120	-	3766.89	1550.11	1.15	1.35	30756	24845		SLD 3	lungo	-18175	-18876	55601	2.95	Si

Verifica di capacità portante per la famiglia SLV FO

Verifica di capacità portante verticale riferita al palo singolo

Fattore di correlazione ψ scelto in base alla conoscenza del sito = 1.7

Peso del palo = 701 * 1

Filo	Ind.	Xp	Yp	yR laterale	yR punta	Pl,d	Pp,d	Def.vol	Comb.	Cnd	N	Ed	Rd	C.S.	Verifica
112	-	3766.89	350.11	1.15	1.35	30756	24845		SLV FO 1	lungo	-20422	-21123	55601	2.63	Si
113	-	3766.89	500.11	1.15	1.35	30756	24845		SLV FO 1	lungo	-20418	-21119	55601	2.63	Si
114	-	3766.89	650.11	1.15	1.35	30756	24845		SLV FO 1	lungo	-20325	-21026	55601	2.64	Si
115	-	3766.89	800.11	1.15	1.35	30756	24845		SLV FO 1	lungo	-20204	-20905	55601	2.66	Si
116	-	3766.89	950.11	1.15	1.35	30756	24845		SLV FO 3	lungo	-20051	-20752	55601	2.68	Si
117	-	3766.89	1100.11	1.15	1.35	30756	24845		SLV FO 3	lungo	-20203	-20904	55601	2.66	Si
118	-	3766.89	1250.11	1.15	1.35	30756	24845		SLV FO 3	lungo	-20323	-21024	55601	2.64	Si
119	-	3766.89	1400.11	1.15	1.35	30756	24845		SLV FO 3	lungo	-20415	-21116	55601	2.63	Si
120	-	3766.89	1550.11	1.15	1.35	30756	24845		SLV FO 3	lungo	-20419	-21120	55601	2.63	Si

Verifica di capacità portante trasversale riferita al palo singolo

Fattore di correlazione ψ scelto in base alla conoscenza del sito = 1.7

Filo	Ind.	Xp	Yp	yR trasversale	LRF	Comb.	Cnd	Rd	Ed (T)	C.S.	Verifica
112	-	3766.89	350.11	1.3	1	SLV FO 5	D	9662.7	1374	7.03	Si
113	-	3766.89	500.11	1.3	1	SLV FO 5	D	9662.7	1372.1	7.04	Si
114	-	3766.89	650.11	1.3	1	SLV FO 5	D	9662.7	1370.2	7.05	Si
115	-	3766.89	800.11	1.3	1	SLV FO 5	D	9662.7	1368	7.06	Si
116	-	3766.89	950.11	1.3	1	SLV FO 7	D	9662.7	1366.9	7.07	Si
117	-	3766.89	1100.11	1.3	1	SLV FO 7	D	9662.7	1368.7	7.06	Si
118	-	3766.89	1250.11	1.3	1	SLV FO 7	D	9662.7	1370.5	7.05	Si
119	-	3766.89	1400.11	1.3	1	SLV FO 7	D	9662.7	1372.4	7.04	Si
120	-	3766.89	1550.11	1.3	1	SLV FO 7	D	9662.7	1374.3	7.03	Si

Parametri utilizzati nel calcolo

Filo	Ind.	Xp	Yp	Tipo	L.frs.	L.tr.lib.	L.tr.inf.	Coes.	Fi	P.spec	T max	Mecc.coll.	M.plast.sup.	Quota sup.	N sup.	M.plast.inf.	Quota inf.	N inf.
112	-	3766.89	350.11	TL	22	0	600		36	0.0014	21355	PC	4928634	-376.2				
113	-	3766.89	500.11	TL	22	0	600		36	0.0014	21355	PC	4928634	-376.2				
114	-	3766.89	650.11	TL	22	0	600		36	0.0014	21355	PC	4928634	-376.2				
115	-	3766.89	800.11	TL	22	0	600		36	0.0014	21355	PC	4928634	-376.2				
116	-	3766.89	950.11	TL	22	0	600		36	0.0014	21355	PC	4928634	-376.2				
117	-	3766.89	1100.11	TL	22	0	600		36	0.0014	21355	PC	4928634	-376.2				
118	-	3766.89	1250.11	TL	22	0	600		36	0.0014	21355	PC	4928634	-376.2				
119	-	3766.89	1400.11	TL	22	0	600		36	0.0014	21355	PC	4928634	-376.2				
120	-	3766.89	1550.11	TL	22	0	600		36	0.0014	21355	PC	4928634	-376.2				

27 pali "Micropalo D139.7x10 perf 220" gruppo 9 "PALI DI MONTE SFIORATORE DX"

Verifiche effettuate secondo D.M. 17-01-18 (N.T.C.)

Geometria

varia

-780

Pali coinvolti

Palo a coordinate x,y: (2931.9, 350.1)[filo 85];(3488.9, 1400.1)[filo 110];(3209.9, 1400.1)[filo 101];(3488.9, 1250.1)[filo 109];(3209.9, 1250.1)[filo 100];(2931.9, 1550.1)[filo 93];(2931.9, 1400.1)[filo 92];(2931.9, 1250.1)[filo 91];(2931.9, 1100.1)[filo 90];(3488.9, 1100.1)[filo 108];(3209.9, 1100.1)[filo 99];(3488.9, 950.1)[filo 107];(3209.9, 1550.1)[filo 102];(3209.9, 950.1)[filo 98];(3488.9, 800.1)[filo 106];(3209.9, 800.1)[filo 97];(2931.9, 800.1)[filo 88];(3488.9, 650.1)[filo 105];(3209.9, 650.1)[filo 96];(2931.9, 650.1)[filo 87];(3488.9, 500.1)[filo 104];(3209.9, 500.1)[filo 95];(2931.9, 500.1)[filo 86];(3488.9, 350.1)[filo 103];(3209.9, 350.1)[filo 94];(2931.9, 950.1)[filo 89];(3488.9, 1550.1)[filo 111];

Caratteristiche geometriche

Tubo in acciaio EN10219 139.7x10

Diametro tubo 140 mm

Spessore tubo 10 mm

Lunghezza 750 cm

Caratteristiche dei materiali

Calcestruzzo C25/30

Acciaio S355

Verifiche secondo DM18

Posizione					Taglio							PressoFlessione					Verifica
Quota	Filo	Ind.	Xp	Yp	Tx	Ty	Mt	Comb.	Vrd	C.S.tt	Mx	My	N	Comb.	Mrd	C.S.pf	
0	100	-	3210	1250	-386	0	0	SLU 18	48333	125.14	0	0	-6644	SLU 1	543970	10000	Si
0	101	-	3210	1400	-386	0	0	SLU 18	48333	125.1	0	0	-6583	SLU 1	543970	10000	Si
0	102	-	3210	1550	-386	0	0	SLU 18	48333	125.07	0	0	-6491	SLU 1	543970	10000	Si
0	103	-	3489	350	-387	0	0	SLU 18	48333	125.04	0	0	-4378	SLU 1	543970	10000	Si
0	104	-	3489	500	-387	0	0	SLU 18	48333	125.05	0	0	-4473	SLU 1	543970	10000	Si
0	105	-	3489	650	-387	0	0	SLU 18	48333	125.05	0	0	-4530	SLU 1	543970	10000	Si
0	106	-	3489	800	-387	0	0	SLU 18	48333	125.03	0	0	-4560	SLU 1	543970	10000	Si
0	107	-	3489	950	-387	0	0	SLU 18	48333	125	0	0	-4568	SLU 1	543970	10000	Si
0	108	-	3489	1100	-387	0	0	SLU 18	48333	124.97	0	0	-4559	SLU 1	543970	10000	Si
0	109	-	3489	1250	-387	0	0	SLU 18	48333	124.92	0	0	-4529	SLU 1	543970	10000	Si
0	110	-	3489	1400	-387	0	0	SLU 18	48333	124.87	0	0	-4472	SLU 1	543970	10000	Si
0	111	-	3489	1550	-387	0	0	SLU 18	48333	124.8	0	0	-4377	SLU 1	543970	10000	Si
0	85	-	2932	350	-385	-1	0	SLU 18	48333	125.57	0	0	-9011	SLU 1	543970	10000	Si
0	86	-	2932	500	-385	-1	0	SLU 18	48333	125.52	0	0	-9034	SLU 1	543970	10000	Si
0	87	-	2932	650	-385	0	0	SLU 18	48333	125.49	0	0	-9049	SLU 1	543970	10000	Si
0	88	-	2932	800	-385	0	0	SLU 18	48333	125.47	0	0	-9058	SLU 1	543970	10000	Si
0	89	-	2932	950	-385	0	0	SLU 18	48333	125.44	0	0	-9061	SLU 1	543970	10000	Si
0	90	-	2932	1100	-385	0	0	SLU 18	48333	125.41	0	0	-9057	SLU 1	543970	10000	Si
0	91	-	2932	1250	-386	0	0	SLU 18	48333	125.37	0	0	-9048	SLU 1	543970	10000	Si
0	92	-	2932	1400	-386	0	0	SLU 18	48333	125.34	0	0	-9034	SLU 1	543970	10000	Si
0	93	-	2932	1550	-386	0	0	SLU 18	48333	125.32	0	0	-9010	SLU 1	543970	10000	Si
0	94	-	3210	350	-386	0	0	SLU 18	48333	125.31	0	0	-6493	SLU 1	543970	10000	Si
0	95	-	3210	500	-386	0	0	SLU 18	48333	125.29	0	0	-6585	SLU 1	543970	10000	Si
0	96	-	3210	650	-386	0	0	SLU 18	48333	125.26	0	0	-6645	SLU 1	543970	10000	Si
0	97	-	3210	800	-386	0	0	SLU 18	48333	125.24	0	0	-6677	SLU 1	543970	10000	Si

Interventi di miglioramento della diga di Cepparello nel Comune di Poggibonsi (SI)

ET.09.4 – Tabulati di calcolo_Canali fagatori con fondazioni su pali

Posizione					Taglio						PressoFlessione						Verifica
Quota	Filo	Ind.	Xp	Yp	Tx	Ty	Mt	Comb.	Vrd	C.S.tt	Mx	My	N	Comb.	Mrd	C.S.pf	
0	98	-	3210	950	-386	0	0	SLU 18	48333	125.21	0	0	-6687	SLU 1	543970	10000	Si
0	99	-	3210	1100	-386	0	0	SLU 18	48333	125.18	0	0	-6677	SLU 1	543970	10000	Si
0	100	-	3210	1250	-184	690	2	SLD 7	48333	67.67	0	0	-5591	SLD 1	543970	10000	Si
0	101	-	3210	1400	-189	690	2	SLD 7	48333	67.56	0	0	-5506	SLD 1	543970	10000	Si
0	102	-	3210	1550	-193	690	2	SLD 7	48333	67.46	0	0	-5372	SLD 1	543970	10000	Si
0	103	-	3489	350	-193	-698	-3	SLD 5	48333	66.77	0	0	-3172	SLD 1	543970	10000	Si
0	104	-	3489	500	-189	-698	-3	SLD 5	48333	66.88	0	0	-3269	SLD 1	543970	10000	Si
0	105	-	3489	650	-185	-698	-3	SLD 5	48333	66.98	0	0	-3310	SLD 1	543970	10000	Si
0	106	-	3489	800	-180	-698	-3	SLD 5	48333	67.08	0	0	-3321	SLD 1	543970	10000	Si
0	107	-	3489	950	-176	698	3	SLD 7	48333	67.16	0	0	-3315	SLD 1	543970	10000	Si
0	108	-	3489	1100	-180	698	3	SLD 7	48333	67.07	0	0	-3293	SLD 1	543970	10000	Si
0	109	-	3489	1250	-185	698	3	SLD 7	48333	66.97	0	0	-3252	SLD 1	543970	10000	Si
0	110	-	3489	1400	-189	698	3	SLD 7	48333	66.87	0	0	-3176	SLD 1	543970	10000	Si
0	111	-	3489	1550	-193	698	3	SLD 7	48333	66.76	0	0	-3039	SLD 1	543970	10000	Si
0	85	-	2932	350	-192	-683	-2	SLD 5	48333	68.08	0	0	-9558	SLD 1	543970	10000	Si
0	86	-	2932	500	-188	-683	-2	SLD 5	48333	68.18	0	0	-9542	SLD 1	543970	10000	Si
0	87	-	2932	650	-184	-683	-3	SLD 5	48333	68.29	0	0	-9516	SLD 1	543970	10000	Si
0	88	-	2932	800	-180	-683	-3	SLD 5	48333	68.4	0	0	-9485	SLD 1	543970	10000	Si
0	89	-	2932	950	-176	-683	-2	SLD 5	48333	68.5	0	0	-9449	SLD 1	543970	10000	Si
0	90	-	2932	1100	-180	683	3	SLD 7	48333	68.45	0	0	-9405	SLD 1	543970	10000	Si
0	91	-	2932	1250	-184	683	3	SLD 7	48333	68.31	0	0	-9356	SLD 1	543970	10000	Si
0	92	-	2932	1400	-188	683	3	SLD 7	48333	68.2	0	0	-9299	SLD 1	543970	10000	Si
0	93	-	2932	1550	-192	683	2	SLD 7	48333	68.1	0	0	-9231	SLD 1	543970	10000	Si
0	94	-	3210	350	-192	-690	-2	SLD 5	48333	67.46	0	0	-5557	SLD 1	543970	10000	Si
0	95	-	3210	500	-188	-690	-2	SLD 5	48333	67.56	0	0	-5639	SLD 1	543970	10000	Si
0	96	-	3210	650	-184	-690	-2	SLD 5	48333	67.66	0	0	-5676	SLD 1	543970	10000	Si
0	97	-	3210	800	-180	-690	-2	SLD 5	48333	67.76	0	0	-5684	SLD 1	543970	10000	Si
0	98	-	3210	950	-176	-690	-2	SLD 5	48333	67.85	0	0	-5672	SLD 1	543970	10000	Si
0	99	-	3210	1100	-180	690	3	SLD 7	48333	67.77	0	0	-5643	SLD 1	543970	10000	Si
0	100	-	3210	1250	-256	1114	4	SLV FO 7	48333	42.3	0	0	-4595	SLV FO 1	543970	10000	Si
0	101	-	3210	1400	-262	1114	4	SLV FO 7	48333	42.25	0	0	-4494	SLV FO 1	543970	10000	Si
0	102	-	3210	1550	-269	1114	4	SLV FO 7	48333	42.19	0	0	-4332	SLV FO 1	543970	10000	Si
0	103	-	3489	350	-269	-1126	-4	SLV FO 5	48334	41.75	0	0	-1994	SLV FO 1	543970	10000	Si
0	104	-	3489	500	-262	-1126	-4	SLV FO 5	48334	41.81	0	0	-2100	SLV FO 1	543970	10000	Si
0	105	-	3489	650	-256	-1126	-4	SLV FO 5	48334	41.86	0	0	-2132	SLV FO 1	543970	10000	Si
0	106	-	3489	800	-249	-1126	-4	SLV FO 5	48334	41.92	0	0	-2131	SLV FO 1	543970	10000	Si
0	107	-	3489	950	-242	1126	4	SLV FO 7	48333	41.96	0	0	-2115	SLV FO 1	543970	10000	Si
0	108	-	3489	1100	-249	1126	4	SLV FO 7	48333	41.91	0	0	-2086	SLV FO 1	543970	10000	Si
0	109	-	3489	1250	-256	1126	4	SLV FO 7	48333	41.86	0	0	-2038	SLV FO 1	543970	10000	Si
0	110	-	3489	1400	-262	1126	4	SLV FO 7	48333	41.81	0	0	-1950	SLV FO 1	543970	10000	Si
0	111	-	3489	1550	-269	1126	4	SLV FO 7	48333	41.75	0	0	-1780	SLV FO 1	543970	10000	Si
0	85	-	2932	350	-268	-1103	-4	SLV FO 5	48334	42.59	0	0	-9842	SLV FO 1	543970	10000	Si
0	86	-	2932	500	-262	-1103	-4	SLV FO 5	48334	42.64	0	0	-9802	SLV FO 1	543970	10000	Si
0	87	-	2932	650	-255	-1103	-4	SLV FO 5	48334	42.7	0	0	-9751	SLV FO 1	543970	10000	Si
0	88	-	2932	800	-249	-1103	-4	SLV FO 5	48334	42.76	0	0	-9694	SLV FO 1	543970	10000	Si
0	89	-	2932	950	-242	-1103	-4	SLV FO 5	48334	42.82	0	0	-9633	SLV FO 1	543970	10000	Si
0	90	-	2932	1100	-249	1102	4	SLV FO 7	48333	42.79	0	0	-9565	SLV FO 1	543970	10000	Si
0	91	-	2932	1250	-255	1102	4	SLV FO 7	48333	42.71	0	0	-9491	SLV FO 1	543970	10000	Si
0	92	-	2932	1400	-262	1102	4	SLV FO 7	48333	42.65	0	0	-9408	SLV FO 1	543970	10000	Si
0	93	-	2932	1550	-268	1103	4	SLV FO 7	48333	42.59	0	0	-9313	SLV FO 1	543970	10000	Si
0	94	-	3210	350	-269	-1114	-4	SLV FO 5	48334	42.19	0	0	-4629	SLV FO 1	543970	10000	Si
0	95	-	3210	500	-262	-1114	-4	SLV FO 5	48334	42.24	0	0	-4708	SLV FO 1	543970	10000	Si
0	96	-	3210	650	-256	-1114	-4	SLV FO 5	48334	42.3	0	0	-4732	SLV FO 1	543970	10000	Si
0	97	-	3210	800	-249	-1114	-4	SLV FO 5	48334	42.35	0	0	-4724	SLV FO 1	543970	10000	Si
0	98	-	3210	950	-242	-1114	-4	SLV FO 5	48334	42.4	0	0	-4698	SLV FO 1	543970	10000	Si
0	99	-	3210	1100	-249	1114	4	SLV FO 7	48333	42.35	0	0	-4657	SLV FO 1	543970	10000	Si
-78	100	-	3210	1250	90	0	0	SLU 18	48333	536.4	0	25134	-403	SLU 18	543970	20.87	Si
-78	101	-	3210	1400	90	0	0	SLU 18	48333	536.23	3	25142	-374	SLU 18	543970	20.86	Si
-78	102	-	3210	1550	90	0	0	SLU 18	48333	536.09	5	25149	-301	SLU 18	543970	20.85	Si
-78	103	-	3489	350	90	0	0	SLU 18	48333	536	-11	25153	572	SLU 18	543970	20.85	Si
-78	104	-	3489	500	90	0	0	SLU 18	48333	536.02	-8	25152	488	SLU 18	543970	20.85	Si
-78	105	-	3489	650	90	0	0	SLU 18	48333	536	-5	25153	460	SLU 18	543970	20.85	Si
-78	106	-	3489	800	90	0	0	SLU 18	48333	535.92	0	25157	452	SLU 18	543970	20.85	Si
-78	107	-	3489	950	90	0	0	SLU 18	48333	535.81	5	25162	450	SLU 18	543970	20.84	Si
-78	108	-	3489	1100	90	0	0	SLU 18	48333	535.66	11	25169	452	SLU 18	543970	20.84	Si
-78	109	-	3489	1250	90	0	0	SLU 18	48333	535.47	15	25178	461	SLU 18	543970	20.83	Si
-78	110	-	3489	1400	90	0	0	SLU 18	48333	535.23	18	25189	491	SLU 18	543970	20.82	Si
-78	111	-	3489	1550	90	0	0	SLU 18	48333	534.94	21	25203	575	SLU 18	543970	20.81	Si
-78	85	-	2932	350	90	0	0	SLU 18	48333	538.25	-41	25048	-3743	SLU 18	543970	20.94	Si
-78	86	-	2932	500	90	0	0	SLU 18	48333	538.04	-35	25058	-3756	SLU 18	543970	20.93	Si
-78	87	-	2932	650	90	0	0	SLU 18	48333	537.91	-29	25064	-3763	SLU 18	543970	20.92	Si
-78	88	-	2932	800	90	0	0	SLU 18	48333	537.81	-24	25068	-3767	SLU 18	543970	20.92	Si
-78	89	-	2932	950	90	0	0	SLU 18	48333	537.68	-18	25075	-3768	SLU 18	543970	20.91	Si
-78	90	-	2932	1100	90	0	0	SLU 18	48333	537.54	-12	25081	-3767	SLU 18	543970	20.91	Si
-78	91	-	2932	1250	90	0	0	SLU 18	48333	537.38	-7	25088	-3762	SLU 18	543970	20.9	Si
-78	92	-	2932	1400	90	0	0	SLU 18	48333	537.24	-1	25095	-3755	SLU 18	543970	20.9	Si
-78	93	-	2932	1550	90	0	0	SLU 18	48333	537.18	5	25098	-3741	SLU 18	543970	20.9	Si
-78	94	-	3210	350	90	0	0	SLU 18	48333	537.15	-18	25099	-305	SLU 18	543970	20.89	Si
-78	95	-	3210	500	90	0	0	SLU 18	48333	537.03	-16	25105	-376	SLU 18	543970	20.89	Si
-78	96	-	3210	650	90	0	0	SLU 18	48333	536.93	-13	25109	-40				

Interventi di miglioramento della diga di Cepparello nel Comune di Poggibonsi (SI)

ET.09.4 – Tabulati di calcolo_Canali fuggatori con fondazioni su pali

Posizione					Taglio					PressoFlessione					Verifica		
Quota	Filo	Ind.	Xp	Yp	Tx	Ty	Mt	Comb.	Vrd	C.S.tt	Mx	My	N	Comb.	Mrd	C.S.pf	
-78	88	-	2932	800	42	159	-1	SLD 5	48333	293.18	-44464	11730	-7574	SLD 5	543970	11.4	Si
-78	89	-	2932	950	41	159	-1	SLD 5	48333	293.64	-44458	11468	-7469	SLD 5	543970	11.42	Si
-78	90	-	2932	1100	42	-159	1	SLD 7	48333	293.41	-44427	11731	-7574	SLD 7	543970	11.41	Si
-78	91	-	2932	1250	43	-159	1	SLD 7	48333	292.81	44453	11997	-7676	SLD 7	543970	11.39	Si
-78	92	-	2932	1400	44	-159	1	SLD 7	48333	292.34	44458	12260	-7776	SLD 7	543970	11.37	Si
-78	93	-	2932	1550	45	-159	1	SLD 7	48333	291.89	44460	12518	-7870	SLD 7	543970	11.35	Si
-78	94	-	3210	350	45	161	-1	SLD 5	48333	289.16	-44910	12526	-5275	SLD 5	543970	11.25	Si
-78	95	-	3210	500	44	161	-1	SLD 5	48333	289.59	-44910	12265	-5283	SLD 5	543970	11.26	Si
-78	96	-	3210	650	43	161	-1	SLD 5	48333	290.02	-44910	12002	-5268	SLD 5	543970	11.28	Si
-78	97	-	3210	800	42	161	-1	SLD 5	48333	290.45	-44909	11738	-5234	SLD 5	543970	11.3	Si
-78	98	-	3210	950	41	161	-1	SLD 5	48333	290.82	-44916	11476	-5185	SLD 5	543970	11.31	Si
-78	99	-	3210	1100	42	-161	1	SLD 7	48333	290.48	44903	11740	-5233	SLD 7	543970	11.3	Si
-78	100	-	3210	1250	60	-260	2	SLV FO 7	48333	181.32	72472	16630	-5101	SLV FO 7	543970	7.05	Si
-78	101	-	3210	1400	61	-260	2	SLV FO 7	48333	181.08	72472	17058	-5156	SLV FO 7	543970	7.04	Si
-78	102	-	3210	1550	63	-260	2	SLV FO 7	48333	180.84	72471	17482	-5188	SLV FO 7	543970	7.03	Si
-78	103	-	3489	350	63	263	-2	SLV FO 5	48333	178.97	-73269	17505	-3229	SLV FO 5	543970	6.96	Si
-78	104	-	3489	500	61	263	-2	SLV FO 5	48333	179.21	-73269	17066	-3229	SLV FO 5	543970	6.97	Si
-78	105	-	3489	650	60	263	-2	SLV FO 5	48333	179.44	-73269	16634	-3199	SLV FO 5	543970	6.98	Si
-78	106	-	3489	800	58	263	-2	SLV FO 5	48333	179.67	-73267	16205	-3156	SLV FO 5	543970	6.99	Si
-78	107	-	3489	950	57	-263	2	SLV FO 7	48333	179.87	73274	15773	-3102	SLV FO 7	543970	7	Si
-78	108	-	3489	1100	58	-263	2	SLV FO 7	48333	179.66	73272	16205	-3155	SLV FO 7	543970	6.99	Si
-78	109	-	3489	1250	60	-263	2	SLV FO 7	48333	179.43	73274	16636	-3199	SLV FO 7	543970	6.98	Si
-78	110	-	3489	1400	61	-263	2	SLV FO 7	48333	179.2	73274	17070	-3228	SLV FO 7	543970	6.97	Si
-78	111	-	3489	1550	63	-263	2	SLV FO 7	48333	178.96	73273	17510	-3228	SLV FO 7	543970	6.96	Si
-78	85	-	2932	350	63	257	-2	SLV FO 5	48333	182.54	-71763	17461	-8188	SLV FO 5	543970	7.1	Si
-78	86	-	2932	500	61	257	-2	SLV FO 5	48333	182.79	-71762	17045	-8024	SLV FO 5	543970	7.11	Si
-78	87	-	2932	650	60	257	-2	SLV FO 5	48333	183.03	-71759	16623	-7856	SLV FO 5	543970	7.12	Si
-78	88	-	2932	800	58	257	-2	SLV FO 5	48333	183.28	-71755	16197	-7686	SLV FO 5	543970	7.13	Si
-78	89	-	2932	950	57	257	-2	SLV FO 5	48333	183.52	-71749	15773	-7514	SLV FO 5	543970	7.14	Si
-78	90	-	2932	1100	58	-257	2	SLV FO 7	48333	183.41	71702	16197	-7686	SLV FO 7	543970	7.13	Si
-78	91	-	2932	1250	60	-257	2	SLV FO 7	48333	183.08	71741	16624	-7856	SLV FO 7	543970	7.12	Si
-78	92	-	2932	1400	61	-257	2	SLV FO 7	48333	182.83	71744	17048	-8024	SLV FO 7	543970	7.11	Si
-78	93	-	2932	1550	63	-257	2	SLV FO 7	48333	182.58	71746	17466	-8187	SLV FO 7	543970	7.1	Si
-78	94	-	3210	350	63	260	-2	SLV FO 5	48333	180.84	-72476	17478	-5188	SLV FO 5	543970	7.03	Si
-78	95	-	3210	500	61	260	-2	SLV FO 5	48333	181.07	-72477	17055	-5156	SLV FO 5	543970	7.04	Si
-78	96	-	3210	650	60	260	-2	SLV FO 5	48333	181.31	-72478	16628	-5101	SLV FO 5	543970	7.05	Si
-78	97	-	3210	800	58	260	-2	SLV FO 5	48333	181.54	-72477	16202	-5030	SLV FO 5	543970	7.06	Si
-78	98	-	3210	950	57	260	-2	SLV FO 5	48333	181.73	-72491	15778	-4946	SLV FO 5	543970	7.07	Si
-78	99	-	3210	1100	58	-260	2	SLV FO 7	48333	181.55	72471	16202	-5029	SLV FO 7	543970	7.06	Si
-156	100	-	3210	1250	90	0	0	SLU 18	48333	536.4	0	18115	-463	SLU 18	543970	20.87	Si
-156	101	-	3210	1400	90	0	0	SLU 18	48333	536.23	2	18121	-434	SLU 18	543970	20.86	Si
-156	102	-	3210	1550	90	0	0	SLU 18	48333	536.09	4	18126	-362	SLU 18	543970	20.85	Si
-156	103	-	3489	350	90	0	0	SLU 18	48333	536	-8	18129	511	SLU 18	543970	20.85	Si
-156	104	-	3489	500	90	0	0	SLU 18	48333	536.02	-6	18128	427	SLU 18	543970	20.85	Si
-156	105	-	3489	650	90	0	0	SLU 18	48333	536	-4	18129	399	SLU 18	543970	20.85	Si
-156	106	-	3489	800	90	0	0	SLU 18	48333	535.92	0	18131	391	SLU 18	543970	20.85	Si
-156	107	-	3489	950	90	0	0	SLU 18	48333	535.81	4	18135	389	SLU 18	543970	20.84	Si
-156	108	-	3489	1100	90	0	0	SLU 18	48333	535.66	8	18140	391	SLU 18	543970	20.84	Si
-156	109	-	3489	1250	90	0	0	SLU 18	48333	535.47	11	18147	400	SLU 18	543970	20.83	Si
-156	110	-	3489	1400	90	0	0	SLU 18	48333	535.23	13	18155	430	SLU 18	543970	20.82	Si
-156	111	-	3489	1550	90	0	0	SLU 18	48333	534.94	15	18165	514	SLU 18	543970	20.81	Si
-156	85	-	2932	350	90	0	0	SLU 18	48333	538.25	-29	18053	-3803	SLU 18	543970	20.94	Si
-156	86	-	2932	500	90	0	0	SLU 18	48333	538.04	-25	18060	-3817	SLU 18	543970	20.93	Si
-156	87	-	2932	650	90	0	0	SLU 18	48333	537.91	-21	18065	-3824	SLU 18	543970	20.92	Si
-156	88	-	2932	800	90	0	0	SLU 18	48333	537.81	-17	18068	-3828	SLU 18	543970	20.92	Si
-156	89	-	2932	950	90	0	0	SLU 18	48333	537.68	-13	18072	-3829	SLU 18	543970	20.91	Si
-156	90	-	2932	1100	90	0	0	SLU 18	48333	537.54	-9	18077	-3827	SLU 18	543970	20.91	Si
-156	91	-	2932	1250	90	0	0	SLU 18	48333	537.38	-5	18082	-3823	SLU 18	543970	20.9	Si
-156	92	-	2932	1400	90	0	0	SLU 18	48333	537.24	-1	18087	-3816	SLU 18	543970	20.9	Si
-156	93	-	2932	1550	90	0	0	SLU 18	48333	537.18	3	18089	-3802	SLU 18	543970	20.9	Si
-156	94	-	3210	350	90	0	0	SLU 18	48333	537.15	-13	18090	-365	SLU 18	543970	20.89	Si
-156	95	-	3210	500	90	0	0	SLU 18	48333	537.03	-11	18094	-437	SLU 18	543970	20.89	Si
-156	96	-	3210	650	90	0	0	SLU 18	48333	536.93	-9	18098	-465	SLU 18	543970	20.89	Si
-156	97	-	3210	800	90	0	0	SLU 18	48333	536.83	-7	18101	-474	SLU 18	543970	20.88	Si
-156	98	-	3210	950	90	0	0	SLU 18	48333	536.71	-5	18105	-475	SLU 18	543970	20.88	Si
-156	99	-	3210	1100	90	0	0	SLU 18	48333	536.57	-2	18110	-473	SLU 18	543970	20.87	Si
-156	100	-	3210	1250	43	-161	1	SLD 7	48333	290.05	32365	8653	-5314	SLD 7	543970	11.28	Si
-156	101	-	3210	1400	44	-161	1	SLD 7	48333	289.61	32365	8845	-5329	SLD 7	543970	11.27	Si
-156	102	-	3210	1550	45	-161	1	SLD 7	48333	289.18	32365	9035	-5321	SLD 7	543970	11.25	Si
-156	103	-	3489	350	45	163	-1	SLD 5	48333	286.22	-32722	9046	-3463	SLD 5	543970	11.13	Si
-156	104	-	3489	500	44	163	-1	SLD 5	48333	286.66	-32722	8849	-3492	SLD 5	543970	11.15	Si
-156	105	-	3489	650	43	163	-1	SLD 5	48333	287.09	-32721	8656	-3491	SLD 5	543970	11.17	Si
-156	106	-	3489	800	42	163	-1	SLD 5	48333	287.52	-32720	8464	-3473	SLD 5	543970	11.18	Si
-156	107	-	3489	950	41	-163	1	SLD 7	48333	287.89	32723	8272	-3443	SLD 7	543970	11.2	Si
-156	108	-	3489	1100	42	-163	1	SLD 7	48333	287.49	32723	8465	-3473	SLD 7	543970	11.18	Si
-156	109	-	3489	1250	43	-163	1	SLD 7	48333	287.06	32725	8659	-3490	SLD 7	543970	11.17	Si
-156	110	-	3489	1400	44	-163	1	SLD 7	48333	286.62	32725	8854	-3491</				

Interventi di miglioramento della diga di Cepparello nel Comune di Poggibonsi (SI)

ET.09.4 – Tabulati di calcolo_Canali fuggatori con fondazioni su pali

Posizione					Taglio							PressoFlessione					Verifica
Quota	Filo	Ind.	Xp	Yp	Tx	Ty	Mt	Comb.	Vrd	C.S.tt	Mx	My	N	Comb.	Mrd	C.S.pf	
-156	105	-	3489	650	60	263	-2	SLV FO 5	48333	179.44	-52808	11989	-3246	SLV FO 5	543970	6.98	Si
-156	106	-	3489	800	58	263	-2	SLV FO 5	48333	179.67	-52807	11680	-3203	SLV FO 5	543970	6.99	Si
-156	107	-	3489	950	57	-263	2	SLV FO 7	48333	179.87	52812	11368	-3149	SLV FO 7	543970	7	Si
-156	108	-	3489	1100	58	-263	2	SLV FO 7	48333	179.66	52810	11680	-3202	SLV FO 7	543970	6.99	Si
-156	109	-	3489	1250	60	-263	2	SLV FO 7	48333	179.43	52812	11990	-3246	SLV FO 7	543970	6.98	Si
-156	110	-	3489	1400	61	-263	2	SLV FO 7	48333	179.2	52812	12303	-3275	SLV FO 7	543970	6.97	Si
-156	111	-	3489	1550	63	-263	2	SLV FO 7	48333	178.96	52811	12620	-3275	SLV FO 7	543970	6.96	Si
-156	85	-	2932	350	63	257	-2	SLV FO 5	48333	182.54	-51723	12585	-8235	SLV FO 5	543970	7.1	Si
-156	86	-	2932	500	61	257	-2	SLV FO 5	48333	182.79	-51722	12285	-8071	SLV FO 5	543970	7.11	Si
-156	87	-	2932	650	60	257	-2	SLV FO 5	48333	183.03	-51720	11981	-7903	SLV FO 5	543970	7.12	Si
-156	88	-	2932	800	58	257	-2	SLV FO 5	48333	183.28	-51717	11674	-7733	SLV FO 5	543970	7.13	Si
-156	89	-	2932	950	57	257	-2	SLV FO 5	48333	183.52	-51713	11369	-7561	SLV FO 5	543970	7.14	Si
-156	90	-	2932	1100	58	-257	2	SLV FO 7	48333	183.41	51679	11674	-7733	SLV FO 7	543970	7.13	Si
-156	91	-	2932	1250	60	-257	2	SLV FO 7	48333	183.08	51707	11982	-7902	SLV FO 7	543970	7.12	Si
-156	92	-	2932	1400	61	-257	2	SLV FO 7	48333	182.83	51709	12287	-8070	SLV FO 7	543970	7.11	Si
-156	93	-	2932	1550	63	-257	2	SLV FO 7	48333	182.58	51710	12588	-8234	SLV FO 7	543970	7.1	Si
-156	94	-	3210	350	63	260	-2	SLV FO 5	48333	180.84	-52237	12597	-5235	SLV FO 5	543970	7.03	Si
-156	95	-	3210	500	61	260	-2	SLV FO 5	48333	181.07	-52238	12292	-5203	SLV FO 5	543970	7.04	Si
-156	96	-	3210	650	60	260	-2	SLV FO 5	48333	181.31	-52238	11985	-5148	SLV FO 5	543970	7.05	Si
-156	97	-	3210	800	58	260	-2	SLV FO 5	48333	181.54	-52238	11677	-5076	SLV FO 5	543970	7.06	Si
-156	98	-	3210	950	57	260	-2	SLV FO 5	48333	181.73	-52247	11372	-4993	SLV FO 5	543970	7.07	Si
-156	99	-	3210	1100	58	-260	2	SLV FO 7	48333	181.55	52233	11677	-5076	SLV FO 7	543970	7.06	Si
-234	100	-	3210	1250	85	0	0	SLU 18	48333	566.48	0	11246	-332	SLU 18	543970	39.12	Si
-234	101	-	3210	1400	85	0	0	SLU 18	48333	566.3	1	11249	-309	SLU 18	543970	39.1	Si
-234	102	-	3210	1550	85	0	0	SLU 18	48333	566.16	2	11252	-252	SLU 18	543970	39.09	Si
-234	103	-	3489	350	85	0	0	SLU 18	48333	566.05	-5	11254	435	SLU 18	543970	39.09	Si
-234	104	-	3489	500	85	0	0	SLU 18	48333	566.09	-4	11254	369	SLU 18	543970	39.09	Si
-234	105	-	3489	650	85	0	0	SLU 18	48333	566.06	-2	11254	346	SLU 18	543970	39.09	Si
-234	106	-	3489	800	85	0	0	SLU 18	48333	565.98	0	11256	340	SLU 18	543970	39.08	Si
-234	107	-	3489	950	85	0	0	SLU 18	48333	565.86	2	11258	339	SLU 18	543970	39.07	Si
-234	108	-	3489	1100	85	0	0	SLU 18	48333	565.7	5	11261	341	SLU 18	543970	39.06	Si
-234	109	-	3489	1250	85	0	0	SLU 18	48333	565.51	7	11265	348	SLU 18	543970	39.05	Si
-234	110	-	3489	1400	86	0	0	SLU 18	48333	565.25	8	11270	371	SLU 18	543970	39.03	Si
-234	111	-	3489	1550	86	0	0	SLU 18	48333	564.94	9	11277	437	SLU 18	543970	39.01	Si
-234	85	-	2932	350	85	0	0	SLU 18	48333	568.43	-18	11207	-2958	SLU 18	543970	39.25	Si
-234	86	-	2932	500	85	0	0	SLU 18	48333	568.21	-16	11212	-2969	SLU 18	543970	39.24	Si
-234	87	-	2932	650	85	0	0	SLU 18	48333	568.08	-13	11214	-2974	SLU 18	543970	39.23	Si
-234	88	-	2932	800	85	0	0	SLU 18	48333	567.97	-11	11216	-2977	SLU 18	543970	39.22	Si
-234	89	-	2932	950	85	0	0	SLU 18	48333	567.83	-8	11219	-2978	SLU 18	543970	39.21	Si
-234	90	-	2932	1100	85	0	0	SLU 18	48333	567.69	-6	11222	-2977	SLU 18	543970	39.2	Si
-234	91	-	2932	1250	85	0	0	SLU 18	48333	567.52	-3	11225	-2973	SLU 18	543970	39.19	Si
-234	92	-	2932	1400	85	0	0	SLU 18	48333	567.37	0	11228	-2967	SLU 18	543970	39.18	Si
-234	93	-	2932	1550	85	0	0	SLU 18	48333	567.31	2	11229	-2956	SLU 18	543970	39.17	Si
-234	94	-	3210	350	85	0	0	SLU 18	48333	567.28	-8	11230	-254	SLU 18	543970	39.17	Si
-234	95	-	3210	500	85	0	0	SLU 18	48333	567.14	-7	11233	-310	SLU 18	543970	39.16	Si
-234	96	-	3210	650	85	0	0	SLU 18	48333	567.04	-6	11235	-333	SLU 18	543970	39.15	Si
-234	97	-	3210	800	85	0	0	SLU 18	48333	566.94	-4	11237	-340	SLU 18	543970	39.15	Si
-234	98	-	3210	950	85	0	0	SLU 18	48333	566.81	-3	11239	-341	SLU 18	543970	39.14	Si
-234	99	-	3210	1100	85	0	0	SLU 18	48333	566.66	-1	11242	-339	SLU 18	543970	39.13	Si
-234	100	-	3210	1250	41	-152	0	SLD 7	48333	306.31	20092	5372	-4153	SLD 7	543970	21.15	Si
-234	101	-	3210	1400	42	-152	0	SLD 7	48333	305.86	20092	5491	-4166	SLD 7	543970	21.12	Si
-234	102	-	3210	1550	43	-152	0	SLD 7	48333	305.4	20092	5609	-4159	SLD 7	543970	21.09	Si
-234	103	-	3489	350	43	154	-1	SLD 5	48333	302.28	-20313	5616	-2698	SLD 5	543970	20.87	Si
-234	104	-	3489	500	42	154	-1	SLD 5	48333	302.74	-20313	5493	-2720	SLD 5	543970	20.9	Si
-234	105	-	3489	650	41	154	-1	SLD 5	48333	303.19	-20313	5373	-2720	SLD 5	543970	20.94	Si
-234	106	-	3489	800	40	154	-1	SLD 5	48333	303.64	-20312	5254	-2706	SLD 5	543970	20.97	Si
-234	107	-	3489	950	39	-154	1	SLD 7	48333	304.04	20314	5135	-2682	SLD 7	543970	20.99	Si
-234	108	-	3489	1100	40	-154	1	SLD 7	48333	303.61	20314	5255	-2706	SLD 7	543970	20.96	Si
-234	109	-	3489	1250	41	-154	1	SLD 7	48333	303.16	20315	5375	-2719	SLD 7	543970	20.93	Si
-234	110	-	3489	1400	42	-154	1	SLD 7	48333	302.7	20315	5497	-2720	SLD 7	543970	20.9	Si
-234	111	-	3489	1550	43	-154	1	SLD 7	48333	302.23	20315	5620	-2697	SLD 7	543970	20.87	Si
-234	85	-	2932	350	42	151	0	SLD 5	48333	308.18	-19900	5597	-6201	SLD 5	543970	21.28	Si
-234	86	-	2932	500	42	151	0	SLD 5	48333	308.65	-19899	5482	-6126	SLD 5	543970	21.31	Si
-234	87	-	2932	650	41	151	0	SLD 5	48333	309.13	-19897	5366	-6048	SLD 5	543970	21.35	Si
-234	88	-	2932	800	40	151	0	SLD 5	48333	309.62	-19895	5248	-5967	SLD 5	543970	21.38	Si
-234	89	-	2932	950	39	151	0	SLD 5	48333	310.11	-19892	5131	-5884	SLD 5	543970	21.41	Si
-234	90	-	2932	1100	40	-151	0	SLD 7	48333	309.86	19878	5249	-5967	SLD 7	543970	21.4	Si
-234	91	-	2932	1250	41	-151	0	SLD 7	48333	309.23	19890	5368	-6048	SLD 7	543970	21.35	Si
-234	92	-	2932	1400	42	-151	0	SLD 7	48333	308.74	19892	5486	-6126	SLD 7	543970	21.32	Si
-234	93	-	2932	1550	42	-151	0	SLD 7	48333	308.26	19893	5601	-6200	SLD 7	543970	21.29	Si
-234	94	-	3210	350	43	152	0	SLD 5	48333	305.38	-20094	5604	-4159	SLD 5	543970	21.09	Si
-234	95	-	3210	500	42	152	0	SLD 5	48333	305.83	-20094	5488	-4166	SLD 5	543970	21.12	Si
-234	96	-	3210	650	41	152	0	SLD 5	48333	306.29	-20094	5370	-4154	SLD 5	543970	21.15	Si
-234	97	-	3210	800	40	152	0	SLD 5	48333	306.74	-20094	5252	-4127	SLD 5	543970	21.18	Si
-234	98	-	3210	950	39	152	0	SLD 5	48333	307.13	-20097	5135	-4089	SLD 5	543970	21.21	Si
-234	99	-	3210	1100	40	-152	0	SLD 7	48333	306.77	20091	5253	-4127	SLD 7	543970	21.18	Si
-234	100	-	3210	1250	56	-246	1	SLV FO 7	48333	191.49	32426	7441	-4022				

Interventi di miglioramento della diga di Cepparello nel Comune di Poggibonsi (SI)

ET.09.4 – Tabulati di calcolo_Canali fugadori con fondazioni su pali

Posizione					Taglio					PressoFlessione					Verifica		
Quota	Filo	Ind.	Xp	Yp	Tx	Ty	Mt	Comb.	Vrd	C.S.tt	Mx	My	N	Comb.	Mrd	C.S.pf	
-234	95	-	3210	500	58	246	-1	SLV FO 5	48333	191.23	-32429	7631	-4066	SLV FO 5	543970	13.2	Si
-234	96	-	3210	650	56	246	-1	SLV FO 5	48333	191.47	-32429	7440	-4023	SLV FO 5	543970	13.22	Si
-234	97	-	3210	800	55	246	-1	SLV FO 5	48333	191.72	-32428	7249	-3967	SLV FO 5	543970	13.24	Si
-234	98	-	3210	950	54	246	-1	SLV FO 5	48333	191.92	-32434	7060	-3901	SLV FO 5	543970	13.25	Si
-234	99	-	3210	1100	55	-246	1	SLV FO 7	48333	191.73	32426	7249	-3966	SLV FO 7	543970	13.24	Si
-312	100	-	3210	1250	85	0	0	SLU 18	48333	566.48	0	4600	-392	SLU 18	543970	39.12	Si
-312	101	-	3210	1400	85	0	0	SLU 18	48333	566.3	0	4601	-370	SLU 18	543970	39.1	Si
-312	102	-	3210	1550	85	0	0	SLU 18	48333	566.16	1	4602	-313	SLU 18	543970	39.09	Si
-312	103	-	3489	350	85	0	0	SLU 18	48333	566.05	-2	4603	374	SLU 18	543970	39.09	Si
-312	104	-	3489	500	85	0	0	SLU 18	48333	566.09	-2	4603	308	SLU 18	543970	39.09	Si
-312	105	-	3489	650	85	0	0	SLU 18	48333	566.06	-1	4603	285	SLU 18	543970	39.09	Si
-312	106	-	3489	800	85	0	0	SLU 18	48333	565.98	0	4604	279	SLU 18	543970	39.08	Si
-312	107	-	3489	950	85	0	0	SLU 18	48333	565.86	1	4605	278	SLU 18	543970	39.07	Si
-312	108	-	3489	1100	85	0	0	SLU 18	48333	565.7	2	4606	280	SLU 18	543970	39.06	Si
-312	109	-	3489	1250	85	0	0	SLU 18	48333	565.51	3	4608	287	SLU 18	543970	39.05	Si
-312	110	-	3489	1400	86	0	0	SLU 18	48333	565.25	3	4610	310	SLU 18	543970	39.03	Si
-312	111	-	3489	1550	86	0	0	SLU 18	48333	564.94	4	4612	376	SLU 18	543970	39.01	Si
-312	85	-	2932	350	85	0	0	SLU 18	48333	568.43	-7	4584	-3019	SLU 18	543970	39.25	Si
-312	86	-	2932	500	85	0	0	SLU 18	48333	568.21	-6	4586	-3029	SLU 18	543970	39.24	Si
-312	87	-	2932	650	85	0	0	SLU 18	48333	568.08	-5	4587	-3035	SLU 18	543970	39.23	Si
-312	88	-	2932	800	85	0	0	SLU 18	48333	567.97	-4	4588	-3038	SLU 18	543970	39.22	Si
-312	89	-	2932	950	85	0	0	SLU 18	48333	567.83	-3	4589	-3039	SLU 18	543970	39.21	Si
-312	90	-	2932	1100	85	0	0	SLU 18	48333	567.69	-2	4590	-3038	SLU 18	543970	39.2	Si
-312	91	-	2932	1250	85	0	0	SLU 18	48333	567.52	-1	4591	-3034	SLU 18	543970	39.19	Si
-312	92	-	2932	1400	85	0	0	SLU 18	48333	567.37	0	4593	-3028	SLU 18	543970	39.18	Si
-312	93	-	2932	1550	85	0	0	SLU 18	48333	567.31	1	4593	-3017	SLU 18	543970	39.17	Si
-312	94	-	3210	350	85	0	0	SLU 18	48333	567.28	-3	4593	-315	SLU 18	543970	39.17	Si
-312	95	-	3210	500	85	0	0	SLU 18	48333	567.14	-3	4594	-371	SLU 18	543970	39.16	Si
-312	96	-	3210	650	85	0	0	SLU 18	48333	567.04	-2	4595	-394	SLU 18	543970	39.15	Si
-312	97	-	3210	800	85	0	0	SLU 18	48333	566.94	-2	4596	-401	SLU 18	543970	39.15	Si
-312	98	-	3210	950	85	0	0	SLU 18	48333	566.81	-1	4597	-402	SLU 18	543970	39.14	Si
-312	99	-	3210	1100	85	0	0	SLU 18	48333	566.66	-1	4598	-400	SLU 18	543970	39.13	Si
-312	100	-	3210	1250	41	-152	0	SLD 7	48333	306.31	8218	2197	-4200	SLD 7	543970	21.15	Si
-312	101	-	3210	1400	42	-152	0	SLD 7	48333	305.86	8218	2246	-4212	SLD 7	543970	21.12	Si
-312	102	-	3210	1550	43	-152	0	SLD 7	48333	305.4	8218	2294	-4206	SLD 7	543970	21.09	Si
-312	103	-	3489	350	43	154	-1	SLD 5	48333	302.28	-8308	2297	-2745	SLD 5	543970	20.87	Si
-312	104	-	3489	500	42	154	-1	SLD 5	48333	302.74	-8308	2247	-2767	SLD 5	543970	20.9	Si
-312	105	-	3489	650	41	154	-1	SLD 5	48333	303.19	-8308	2198	-2767	SLD 5	543970	20.94	Si
-312	106	-	3489	800	40	154	-1	SLD 5	48333	303.64	-8308	2149	-2753	SLD 5	543970	20.97	Si
-312	107	-	3489	950	39	-154	1	SLD 7	48333	304.04	8309	2100	-2729	SLD 7	543970	20.99	Si
-312	108	-	3489	1100	40	-154	1	SLD 7	48333	303.61	8309	2149	-2753	SLD 7	543970	20.96	Si
-312	109	-	3489	1250	41	-154	1	SLD 7	48333	303.16	8309	2199	-2766	SLD 7	543970	20.93	Si
-312	110	-	3489	1400	42	-154	1	SLD 7	48333	302.7	8309	2248	-2767	SLD 7	543970	20.9	Si
-312	111	-	3489	1550	43	-154	1	SLD 7	48333	302.23	8309	2299	-2744	SLD 7	543970	20.87	Si
-312	85	-	2932	350	42	151	0	SLD 5	48333	308.18	-8139	2289	-6247	SLD 5	543970	21.28	Si
-312	86	-	2932	500	42	151	0	SLD 5	48333	308.65	-8139	2242	-6173	SLD 5	543970	21.31	Si
-312	87	-	2932	650	41	151	0	SLD 5	48333	309.13	-8138	2195	-6095	SLD 5	543970	21.35	Si
-312	88	-	2932	800	40	151	0	SLD 5	48333	309.62	-8137	2147	-6014	SLD 5	543970	21.38	Si
-312	89	-	2932	950	39	151	0	SLD 5	48333	310.11	-8136	2099	-5931	SLD 5	543970	21.41	Si
-312	90	-	2932	1100	40	-151	0	SLD 7	48333	309.86	8130	2147	-6014	SLD 7	543970	21.4	Si
-312	91	-	2932	1250	41	-151	0	SLD 7	48333	309.23	8135	2196	-6095	SLD 7	543970	21.35	Si
-312	92	-	2932	1400	42	-151	0	SLD 7	48333	308.74	8136	2244	-6173	SLD 7	543970	21.32	Si
-312	93	-	2932	1550	42	-151	0	SLD 7	48333	308.26	8136	2291	-6247	SLD 7	543970	21.29	Si
-312	94	-	3210	350	43	152	0	SLD 5	48333	305.38	-8219	2292	-4206	SLD 5	543970	21.09	Si
-312	95	-	3210	500	42	152	0	SLD 5	48333	305.83	-8219	2245	-4213	SLD 5	543970	21.12	Si
-312	96	-	3210	650	41	152	0	SLD 5	48333	306.29	-8219	2196	-4201	SLD 5	543970	21.15	Si
-312	97	-	3210	800	40	152	0	SLD 5	48333	306.74	-8219	2148	-4174	SLD 5	543970	21.18	Si
-312	98	-	3210	950	39	152	0	SLD 5	48333	307.13	-8220	2100	-4136	SLD 5	543970	21.21	Si
-312	99	-	3210	1100	40	-152	0	SLD 7	48333	306.77	8218	2148	-4174	SLD 7	543970	21.18	Si
-312	100	-	3210	1250	56	-246	1	SLV FO 7	48333	191.49	13263	3043	-4069	SLV FO 7	543970	13.22	Si
-312	101	-	3210	1400	58	-246	1	SLV FO 7	48333	191.24	13263	3122	-4113	SLV FO 7	543970	13.21	Si
-312	102	-	3210	1550	59	-246	1	SLV FO 7	48333	190.99	13263	3199	-4138	SLV FO 7	543970	13.19	Si
-312	103	-	3489	350	59	249	-1	SLV FO 5	48333	189.01	-13409	3203	-2597	SLV FO 5	543970	13.05	Si
-312	104	-	3489	500	58	249	-1	SLV FO 5	48333	189.26	-13409	3123	-2598	SLV FO 5	543970	13.07	Si
-312	105	-	3489	650	56	249	-1	SLV FO 5	48333	189.51	-13409	3044	-2574	SLV FO 5	543970	13.09	Si
-312	106	-	3489	800	55	249	-1	SLV FO 5	48333	189.75	-13408	2966	-2540	SLV FO 5	543970	13.1	Si
-312	107	-	3489	950	54	-249	1	SLV FO 7	48333	189.96	13410	2887	-2498	SLV FO 7	543970	13.12	Si
-312	108	-	3489	1100	55	-249	1	SLV FO 7	48333	189.73	13409	2966	-2540	SLV FO 7	543970	13.1	Si
-312	109	-	3489	1250	56	-249	1	SLV FO 7	48333	189.49	13410	3044	-2574	SLV FO 7	543970	13.08	Si
-312	110	-	3489	1400	58	-249	1	SLV FO 7	48333	189.25	13410	3124	-2597	SLV FO 7	543970	13.07	Si
-312	111	-	3489	1550	59	-249	1	SLV FO 7	48333	188.99	13409	3204	-2597	SLV FO 7	543970	13.05	Si
-312	85	-	2932	350	59	244	-1	SLV FO 5	48333	192.78	-13133	3195	-6497	SLV FO 5	543970	13.31	Si
-312	86	-	2932	500	58	244	-1	SLV FO 5	48333	193.04	-13133	3119	-6368	SLV FO 5	543970	13.33	Si
-312	87	-	2932	650	56	244	-1	SLV FO 5	48333	193.3	-13132	3042	-6236	SLV FO 5	543970	13.35	Si
-312	88	-	2932	800	55	244	-1	SLV FO 5	48333	193.56	-13132	2964	-6102	SLV FO 5	543970	13.37	Si
-312	89	-	2932	950	54	244	-1	SLV FO 5	48333	193.82	-13130	2887	-5967	SLV FO 5	543970	13.38	Si
-312	90	-	2932	1100	55	-243	1	SLV FO 7	48333	193.69	13122	2964	-6102	SLV FO 7	543970	13.37	Si

Interventi di miglioramento della diga di Cepparello nel Comune di Poggibonsi (SI)

ET.09.4 – Tabulati di calcolo_Canali fagatori con fondazioni su pali

Posizione						Taglio						PressoFlessione						Verifica
Quota	Filo	Ind.	Xp	Yp	Tx	Ty	Mt	Comb.	Vrd	C.S.tt	Mx	My	N	Comb.	Mrd	C.S.pf		
-428	85	-	2932	350	15	0	0	SLU 18	48333	3213.95	0	138	-2076	SLU 18	543970	413.03	Si	
-428	86	-	2932	500	15	0	0	SLU 18	48333	3212.72	0	138	-2084	SLU 18	543970	412.87	Si	
-428	87	-	2932	650	15	0	0	SLU 18	48333	3211.95	0	138	-2087	SLU 18	543970	412.77	Si	
-428	88	-	2932	800	15	0	0	SLU 18	48333	3211.33	0	138	-2090	SLU 18	543970	412.69	Si	
-428	89	-	2932	950	15	0	0	SLU 18	48333	3210.55	0	138	-2090	SLU 18	543970	412.59	Si	
-428	90	-	2932	1100	15	0	0	SLU 18	48333	3209.75	0	138	-2089	SLU 18	543970	412.48	Si	
-428	91	-	2932	1250	15	0	0	SLU 18	48333	3208.77	0	138	-2087	SLU 18	543970	412.36	Si	
-428	92	-	2932	1400	15	0	0	SLU 18	48333	3207.95	0	138	-2083	SLU 18	543970	412.25	Si	
-428	93	-	2932	1550	15	0	0	SLU 18	48333	3207.6	0	138	-2075	SLU 18	543970	412.21	Si	
-428	94	-	3210	350	15	0	0	SLU 18	48333	3207.42	0	138	-207	SLU 18	543970	412.19	Si	
-428	95	-	3210	500	15	0	0	SLU 18	48333	3206.67	0	138	-246	SLU 18	543970	412.09	Si	
-428	96	-	3210	650	15	0	0	SLU 18	48333	3206.1	0	138	-261	SLU 18	543970	412.02	Si	
-428	97	-	3210	800	15	0	0	SLU 18	48333	3205.51	0	138	-266	SLU 18	543970	411.94	Si	
-428	98	-	3210	950	15	0	0	SLU 18	48333	3204.79	0	138	-267	SLU 18	543970	411.85	Si	
-428	99	-	3210	1100	15	0	0	SLU 18	48333	3203.92	0	138	-265	SLU 18	543970	411.74	Si	
-428	100	-	3210	1250	7	-27	0	SLD 7	48333	1731.93	247	66	-2896	SLD 7	543970	222.57	Si	
-428	101	-	3210	1400	7	-27	0	SLD 7	48333	1729.33	247	67	-2904	SLD 7	543970	222.24	Si	
-428	102	-	3210	1550	8	-27	0	SLD 7	48333	1726.73	247	69	-2899	SLD 7	543970	221.9	Si	
-428	103	-	3489	350	8	27	0	SLD 5	48333	1709.09	-250	69	-1889	SLD 5	543970	219.63	Si	
-428	104	-	3489	500	7	27	0	SLD 5	48333	1711.7	-250	67	-1905	SLD 5	543970	219.97	Si	
-428	105	-	3489	650	7	27	0	SLD 5	48333	1714.26	-250	66	-1905	SLD 5	543970	220.3	Si	
-428	106	-	3489	800	7	27	0	SLD 5	48333	1716.8	-250	65	-1895	SLD 5	543970	220.63	Si	
-428	107	-	3489	950	7	-27	0	SLD 7	48333	1719.07	250	63	-1878	SLD 7	543970	220.92	Si	
-428	108	-	3489	1100	7	-27	0	SLD 7	48333	1716.62	250	65	-1895	SLD 7	543970	220.6	Si	
-428	109	-	3489	1250	7	-27	0	SLD 7	48333	1714.06	250	66	-1904	SLD 7	543970	220.27	Si	
-428	110	-	3489	1400	7	-27	0	SLD 7	48333	1711.48	250	68	-1904	SLD 7	543970	219.94	Si	
-428	111	-	3489	1550	8	-27	0	SLD 7	48333	1708.85	250	69	-1889	SLD 7	543970	219.6	Si	
-428	85	-	2932	350	8	27	0	SLD 5	48333	1742.45	-245	69	-4311	SLD 5	543970	223.92	Si	
-428	86	-	2932	500	7	27	0	SLD 5	48333	1745.11	-244	67	-4260	SLD 5	543970	224.26	Si	
-428	87	-	2932	650	7	27	0	SLD 5	48333	1747.86	-244	66	-4206	SLD 5	543970	224.62	Si	
-428	88	-	2932	800	7	27	0	SLD 5	48333	1750.62	-244	64	-4150	SLD 5	543970	224.97	Si	
-428	89	-	2932	950	7	27	0	SLD 5	48333	1753.37	-244	63	-4093	SLD 5	543970	225.33	Si	
-428	90	-	2932	1100	7	-27	0	SLD 7	48333	1751.99	244	64	-4150	SLD 7	543970	225.15	Si	
-428	91	-	2932	1250	7	-27	0	SLD 7	48333	1748.4	244	66	-4206	SLD 7	543970	224.69	Si	
-428	92	-	2932	1400	7	-27	0	SLD 7	48333	1745.62	244	67	-4260	SLD 7	543970	224.33	Si	
-428	93	-	2932	1550	8	-27	0	SLD 7	48333	1742.92	244	69	-4311	SLD 7	543970	223.98	Si	
-428	94	-	3210	350	8	27	0	SLD 5	48333	1726.64	-247	69	-2900	SLD 5	543970	221.89	Si	
-428	95	-	3210	500	7	27	0	SLD 5	48333	1729.21	-247	67	-2904	SLD 5	543970	222.22	Si	
-428	96	-	3210	650	7	27	0	SLD 5	48333	1731.77	-247	66	-2896	SLD 5	543970	222.55	Si	
-428	97	-	3210	800	7	27	0	SLD 5	48333	1734.33	-247	65	-2877	SLD 5	543970	222.88	Si	
-428	98	-	3210	950	7	27	0	SLD 5	48333	1736.52	-247	63	-2851	SLD 5	543970	223.16	Si	
-428	99	-	3210	1100	7	-27	0	SLD 7	48333	1734.52	247	65	-2877	SLD 7	543970	222.9	Si	
-428	100	-	3210	1250	10	-44	0	SLV FO 7	48333	1082.68	398	91	-2805	SLV FO 7	543970	139.14	Si	
-428	101	-	3210	1400	10	-44	0	SLV FO 7	48333	1081.28	398	94	-2835	SLV FO 7	543970	138.95	Si	
-428	102	-	3210	1550	10	-44	0	SLV FO 7	48333	1079.86	398	96	-2852	SLV FO 7	543970	138.77	Si	
-428	103	-	3489	350	11	44	0	SLV FO 5	48333	1068.67	-403	96	-1787	SLV FO 5	543970	137.33	Si	
-428	104	-	3489	500	10	44	0	SLV FO 5	48333	1070.09	-403	94	-1788	SLV FO 5	543970	137.52	Si	
-428	105	-	3489	650	10	44	0	SLV FO 5	48333	1071.47	-403	91	-1771	SLV FO 5	543970	137.69	Si	
-428	106	-	3489	800	10	44	0	SLV FO 5	48333	1072.84	-403	89	-1748	SLV FO 5	543970	137.87	Si	
-428	107	-	3489	950	9	-44	0	SLV FO 7	48333	1074.05	403	87	-1718	SLV FO 7	543970	138.03	Si	
-428	108	-	3489	1100	10	-44	0	SLV FO 7	48333	1072.77	403	89	-1748	SLV FO 7	543970	137.86	Si	
-428	109	-	3489	1250	10	-44	0	SLV FO 7	48333	1071.4	403	91	-1771	SLV FO 7	543970	137.69	Si	
-428	110	-	3489	1400	10	-44	0	SLV FO 7	48333	1070.01	403	94	-1787	SLV FO 7	543970	137.51	Si	
-428	111	-	3489	1550	11	-44	0	SLV FO 7	48333	1068.59	403	96	-1787	SLV FO 7	543970	137.32	Si	
-428	85	-	2932	350	10	43	0	SLV FO 5	48333	1089.99	-395	96	-4484	SLV FO 5	543970	140.07	Si	
-428	86	-	2932	500	10	43	0	SLV FO 5	48333	1091.44	-395	94	-4395	SLV FO 5	543970	140.26	Si	
-428	87	-	2932	650	10	43	0	SLV FO 5	48333	1092.92	-394	91	-4303	SLV FO 5	543970	140.45	Si	
-428	88	-	2932	800	10	43	0	SLV FO 5	48333	1094.39	-394	89	-4211	SLV FO 5	543970	140.64	Si	
-428	89	-	2932	950	9	43	0	SLV FO 5	48333	1095.85	-394	87	-4117	SLV FO 5	543970	140.83	Si	
-428	90	-	2932	1100	10	-43	0	SLV FO 7	48333	1095.16	394	89	-4211	SLV FO 7	543970	140.74	Si	
-428	91	-	2932	1250	10	-43	0	SLV FO 7	48333	1093.17	394	91	-4303	SLV FO 7	543970	140.48	Si	
-428	92	-	2932	1400	10	-43	0	SLV FO 7	48333	1091.69	394	94	-4394	SLV FO 7	543970	140.29	Si	
-428	93	-	2932	1550	10	-43	0	SLV FO 7	48333	1090.22	394	96	-4483	SLV FO 7	543970	140.1	Si	
-428	94	-	3210	350	10	44	0	SLV FO 5	48333	1079.8	-398	96	-2853	SLV FO 5	543970	138.76	Si	
-428	95	-	3210	500	10	44	0	SLV FO 5	48333	1081.21	-398	94	-2835	SLV FO 5	543970	138.95	Si	
-428	96	-	3210	650	10	44	0	SLV FO 5	48333	1082.6	-398	91	-2805	SLV FO 5	543970	139.13	Si	
-428	97	-	3210	800	10	44	0	SLV FO 5	48333	1083.99	-398	89	-2767	SLV FO 5	543970	139.3	Si	
-428	98	-	3210	950	9	44	0	SLV FO 5	48333	1085.13	-399	87	-2721	SLV FO 5	543970	139.45	Si	
-428	99	-	3210	1100	10	-44	0	SLV FO 7	48333	1084.07	398	89	-2766	SLV FO 7	543970	139.31	Si	
-506	100	-	3210	1250	15	0	0	SLU 18	48333	3202.93	0	-1037	-321	SLU 18	543970	411.61	Si	
-506	101	-	3210	1400	15	0	0	SLU 18	48333	3201.92	0	-1038	-305	SLU 18	543970	411.48	Si	
-506	102	-	3210	1550	15	0	0	SLU 18	48333	3201.09	0	-1038	-266	SLU 18	543970	411.37	Si	
-506	103	-	3489	350	15	0	0	SLU 18	48333	3200.51	0	-1038	209	SLU 18	543970	411.3	Si	
-506	104	-	3489	500	15	0	0	SLU 18	48333	3200.68	0	-1038	163	SLU 18	543970	411.32	Si	
-506	105	-	3489	650	15	0	0	SLU 18	48333	3200.56	0	-1038	148	SLU 18	543970	411.3	Si	
-506	106	-	3489	800	15	0	0	SLU 18	48333	3200.09	0	-1038	143	SLU 18	543970	411.24	Si	
-506	107	-	3489	950	15	0	0	SLU 18	48333	3199.39	0	-1038	143	SLU 18	543970	411.15	Si	
-506	108	-	3489	1100	15	0	0	SLU 18	48333	3198.51	0	-1039	144</					

Interventi di miglioramento della diga di Cepparello nel Comune di Poggibonsi (SI)

ET.09.4 – Tabulati di calcolo_Canali fagatori con fondazioni su pali

Posizione					Taglio							PressoFlessione				Verifica	
Quota	Filo	Ind.	Xp	Yp	Tx	Ty	Mt	Comb.	Vrd	C.S.tt	Mx	My	N	Comb.	Mrd	C.S.pf	
-506	102	-	3210	1550	8	-27	0	SLD 7	48333	1726.73	-1853	-517	-2946	SLD 7	543970	221.9	Si
-506	103	-	3489	350	8	27	0	SLD 5	48333	1709.09	1874	-518	-1936	SLD 5	543970	219.63	Si
-506	104	-	3489	500	7	27	0	SLD 5	48333	1711.7	1874	-507	-1952	SLD 5	543970	219.97	Si
-506	105	-	3489	650	7	27	0	SLD 5	48333	1714.26	1874	-496	-1951	SLD 5	543970	220.3	Si
-506	106	-	3489	800	7	27	0	SLD 5	48333	1716.8	1874	-485	-1942	SLD 5	543970	220.63	Si
-506	107	-	3489	950	7	-27	0	SLD 7	48333	1719.07	-1874	-474	-1925	SLD 7	543970	220.92	Si
-506	108	-	3489	1100	7	-27	0	SLD 7	48333	1716.62	-1874	-485	-1942	SLD 7	543970	220.6	Si
-506	109	-	3489	1250	7	-27	0	SLD 7	48333	1714.06	-1874	-496	-1951	SLD 7	543970	220.27	Si
-506	110	-	3489	1400	7	-27	0	SLD 7	48333	1711.48	-1874	-507	-1951	SLD 7	543970	219.94	Si
-506	111	-	3489	1550	8	-27	0	SLD 7	48333	1708.85	-1874	-518	-1936	SLD 7	543970	219.6	Si
-506	85	-	2932	350	8	27	0	SLD 5	48333	1742.45	1835	-516	-4358	SLD 5	543970	223.92	Si
-506	86	-	2932	500	7	27	0	SLD 5	48333	1745.11	1835	-506	-4307	SLD 5	543970	224.26	Si
-506	87	-	2932	650	7	27	0	SLD 5	48333	1747.86	1835	-495	-4253	SLD 5	543970	224.62	Si
-506	88	-	2932	800	7	27	0	SLD 5	48333	1750.62	1835	-484	-4197	SLD 5	543970	224.97	Si
-506	89	-	2932	950	7	27	0	SLD 5	48333	1753.37	1835	-473	-4139	SLD 5	543970	225.33	Si
-506	90	-	2932	1100	7	-27	0	SLD 7	48333	1751.99	-1833	-484	-4197	SLD 7	543970	225.15	Si
-506	91	-	2932	1250	7	-27	0	SLD 7	48333	1748.4	-1835	-495	-4252	SLD 7	543970	224.69	Si
-506	92	-	2932	1400	7	-27	0	SLD 7	48333	1745.62	-1835	-506	-4307	SLD 7	543970	224.33	Si
-506	93	-	2932	1550	8	-27	0	SLD 7	48333	1742.92	-1835	-517	-4358	SLD 7	543970	223.98	Si
-506	94	-	3210	350	8	27	0	SLD 5	48333	1726.64	1853	-517	-2947	SLD 5	543970	221.89	Si
-506	95	-	3210	500	7	27	0	SLD 5	48333	1729.21	1853	-506	-2951	SLD 5	543970	222.22	Si
-506	96	-	3210	650	7	27	0	SLD 5	48333	1731.77	1853	-495	-2943	SLD 5	543970	222.55	Si
-506	97	-	3210	800	7	27	0	SLD 5	48333	1734.33	1853	-484	-2924	SLD 5	543970	222.88	Si
-506	98	-	3210	950	7	27	0	SLD 5	48333	1736.52	1854	-474	-2898	SLD 5	543970	223.16	Si
-506	99	-	3210	1100	7	-27	0	SLD 7	48333	1734.52	-1853	-484	-2924	SLD 7	543970	222.9	Si
-506	100	-	3210	1250	10	-44	0	SLV FO 7	48333	1082.68	-2991	-686	-2852	SLV FO 7	543970	139.14	Si
-506	101	-	3210	1400	10	-44	0	SLV FO 7	48333	1081.28	-2991	-704	-2882	SLV FO 7	543970	138.95	Si
-506	102	-	3210	1550	10	-44	0	SLV FO 7	48333	1079.86	-2991	-721	-2899	SLV FO 7	543970	138.77	Si
-506	103	-	3489	350	11	44	0	SLV FO 5	48333	1068.67	3024	-722	-1834	SLV FO 5	543970	137.33	Si
-506	104	-	3489	500	10	44	0	SLV FO 5	48333	1070.09	3024	-704	-1834	SLV FO 5	543970	137.52	Si
-506	105	-	3489	650	10	44	0	SLV FO 5	48333	1071.47	3024	-686	-1818	SLV FO 5	543970	137.69	Si
-506	106	-	3489	800	10	44	0	SLV FO 5	48333	1072.84	3024	-669	-1794	SLV FO 5	543970	137.87	Si
-506	107	-	3489	950	9	-44	0	SLV FO 7	48333	1074.05	-3024	-651	-1765	SLV FO 7	543970	138.03	Si
-506	108	-	3489	1100	10	-44	0	SLV FO 7	48333	1072.77	-3024	-669	-1794	SLV FO 7	543970	137.86	Si
-506	109	-	3489	1250	10	-44	0	SLV FO 7	48333	1071.4	-3024	-687	-1818	SLV FO 7	543970	137.69	Si
-506	110	-	3489	1400	10	-44	0	SLV FO 7	48333	1070.01	-3024	-704	-1834	SLV FO 7	543970	137.51	Si
-506	111	-	3489	1550	11	-44	0	SLV FO 7	48333	1068.59	-3024	-723	-1834	SLV FO 7	543970	137.32	Si
-506	85	-	2932	350	10	43	0	SLV FO 5	48333	1089.99	2962	-721	-4531	SLV FO 5	543970	140.07	Si
-506	86	-	2932	500	10	43	0	SLV FO 5	48333	1091.44	2962	-703	-4442	SLV FO 5	543970	140.26	Si
-506	87	-	2932	650	10	43	0	SLV FO 5	48333	1092.92	2961	-686	-4350	SLV FO 5	543970	140.45	Si
-506	88	-	2932	800	10	43	0	SLV FO 5	48333	1094.39	2961	-668	-4258	SLV FO 5	543970	140.64	Si
-506	89	-	2932	950	9	43	0	SLV FO 5	48333	1095.85	2961	-651	-4164	SLV FO 5	543970	140.83	Si
-506	90	-	2932	1100	10	-43	0	SLV FO 7	48333	1095.16	-2959	-668	-4258	SLV FO 7	543970	140.74	Si
-506	91	-	2932	1250	10	-43	0	SLV FO 7	48333	1093.17	-2961	-686	-4350	SLV FO 7	543970	140.48	Si
-506	92	-	2932	1400	10	-43	0	SLV FO 7	48333	1091.69	-2961	-704	-4441	SLV FO 7	543970	140.29	Si
-506	93	-	2932	1550	10	-43	0	SLV FO 7	48333	1090.22	-2961	-721	-4530	SLV FO 7	543970	140.1	Si
-506	94	-	3210	350	10	44	0	SLV FO 5	48333	1079.8	2991	-721	-2899	SLV FO 5	543970	138.76	Si
-506	95	-	3210	500	10	44	0	SLV FO 5	48333	1081.21	2991	-704	-2882	SLV FO 5	543970	138.95	Si
-506	96	-	3210	650	10	44	0	SLV FO 5	48333	1082.6	2991	-686	-2852	SLV FO 5	543970	139.13	Si
-506	97	-	3210	800	10	44	0	SLV FO 5	48333	1083.99	2991	-669	-2813	SLV FO 5	543970	139.3	Si
-506	98	-	3210	950	9	44	0	SLV FO 5	48333	1085.13	2992	-651	-2768	SLV FO 5	543970	139.45	Si
-506	99	-	3210	1100	10	-44	0	SLV FO 7	48333	1084.07	-2991	-669	-2813	SLV FO 7	543970	139.31	Si
-584	100	-	3210	1250	-7	0	0	SLU 18	48333	7076.11	0	-586	-162	SLU 18	543970	497.74	Si
-584	101	-	3210	1400	-7	0	0	SLU 18	48333	7073.88	0	-586	-153	SLU 18	543970	497.59	Si
-584	102	-	3210	1550	-7	0	0	SLU 18	48333	7072.05	0	-586	-131	SLU 18	543970	497.46	Si
-584	103	-	3489	350	-7	0	0	SLU 18	48333	7070.76	0	-586	139	SLU 18	543970	497.37	Si
-584	104	-	3489	500	-7	0	0	SLU 18	48333	7071.15	0	-586	113	SLU 18	543970	497.39	Si
-584	105	-	3489	650	-7	0	0	SLU 18	48333	7070.88	0	-586	104	SLU 18	543970	497.37	Si
-584	106	-	3489	800	-7	0	0	SLU 18	48333	7069.84	0	-587	102	SLU 18	543970	497.3	Si
-584	107	-	3489	950	-7	0	0	SLU 18	48333	7068.3	0	-587	101	SLU 18	543970	497.19	Si
-584	108	-	3489	1100	-7	0	0	SLU 18	48333	7066.35	0	-587	102	SLU 18	543970	497.06	Si
-584	109	-	3489	1250	-7	0	0	SLU 18	48333	7063.9	0	-587	105	SLU 18	543970	496.88	Si
-584	110	-	3489	1400	-7	0	0	SLU 18	48333	7060.69	0	-587	114	SLU 18	543970	496.66	Si
-584	111	-	3489	1550	-7	0	0	SLU 18	48333	7056.82	0	-588	140	SLU 18	543970	496.39	Si
-584	85	-	2932	350	-7	0	0	SLU 18	48333	7100.47	1	-584	-1195	SLU 18	543970	499.46	Si
-584	86	-	2932	500	-7	0	0	SLU 18	48333	7097.74	1	-584	-1199	SLU 18	543970	499.26	Si
-584	87	-	2932	650	-7	0	0	SLU 18	48333	7096.04	1	-584	-1201	SLU 18	543970	499.14	Si
-584	88	-	2932	800	-7	0	0	SLU 18	48333	7094.67	1	-584	-1202	SLU 18	543970	499.05	Si
-584	89	-	2932	950	-7	0	0	SLU 18	48333	7092.94	0	-585	-1202	SLU 18	543970	498.93	Si
-584	90	-	2932	1100	-7	0	0	SLU 18	48333	7091.17	0	-585	-1202	SLU 18	543970	498.8	Si
-584	91	-	2932	1250	-7	0	0	SLU 18	48333	7089.02	0	-585	-1201	SLU 18	543970	498.65	Si
-584	92	-	2932	1400	-7	0	0	SLU 18	48333	7087.21	0	-585	-1198	SLU 18	543970	498.52	Si
-584	93	-	2932	1550	-7	0	0	SLU 18	48333	7086.43	0	-585	-1194	SLU 18	543970	498.47	Si
-584	94	-	3210	350	-7	0	0	SLU 18	48333	7086.04	0	-585	-132	SLU 18	543970	498.44	Si
-584	95	-	3210	500	-7	0	0	SLU 18	48333	7084.38	0	-585	-154	SLU 18	543970	498.32	Si
-584	96	-	3210	650	-7	0	0	SLU 18	48333	7083.1	0	-585	-163	SLU 18	543970	498.23	Si
-584	97	-	3210	800	-7	0	0	SLU 18	48333	7081.8	0	-586	-165	SLU 18	543970	498.14	Si
-584	98	-	3210	950	-7	0	0</										

Interventi di miglioramento della diga di Cepparello nel Comune di Poggibonsi (SI)

ET.09.4 – Tabulati di calcolo_Canali fuggatori con fondazioni su pali

Posizione					Taglio							PressoFlessione					Verifica
Quota	Filo	Ind.	Xp	Yp	Tx	Ty	Mt	Comb.	Vrd	C.S.tt	Mx	My	N	Comb.	Mrd	C.S.pf	
-584	92	-	2932	1400	-3	12	0	SLD 7	48333	3856.53	-1036	-286	-2432	SLD 7	543970	271.27	Si
-584	93	-	2932	1550	-3	12	0	SLD 7	48333	3850.56	-1037	-292	-2461	SLD 7	543970	270.85	Si
-584	94	-	3210	350	-3	-12	0	SLD 5	48333	3814.6	1047	-292	-1659	SLD 5	543970	268.32	Si
-584	95	-	3210	500	-3	-12	0	SLD 5	48333	3820.27	1047	-286	-1662	SLD 5	543970	268.72	Si
-584	96	-	3210	650	-3	-12	0	SLD 5	48333	3825.94	1047	-280	-1657	SLD 5	543970	269.12	Si
-584	97	-	3210	800	-3	-12	0	SLD 5	48333	3831.59	1047	-274	-1647	SLD 5	543970	269.52	Si
-584	98	-	3210	950	-3	-12	0	SLD 5	48333	3836.42	1047	-268	-1632	SLD 5	543970	269.86	Si
-584	99	-	3210	1100	-3	12	0	SLD 7	48333	3832	-1047	-274	-1647	SLD 7	543970	269.55	Si
-584	100	-	3210	1250	-5	20	0	SLV FO 7	48333	2391.93	-1690	-388	-1605	SLV FO 7	543970	168.25	Si
-584	101	-	3210	1400	-5	20	0	SLV FO 7	48333	2388.82	-1690	-398	-1623	SLV FO 7	543970	168.03	Si
-584	102	-	3210	1550	-5	20	0	SLV FO 7	48333	2385.69	-1690	-408	-1632	SLV FO 7	543970	167.81	Si
-584	103	-	3489	350	-5	-20	0	SLV FO 5	48333	2360.96	1708	-408	-1027	SLV FO 5	543970	166.07	Si
-584	104	-	3489	500	-5	-20	0	SLV FO 5	48333	2364.1	1708	-398	-1027	SLV FO 5	543970	166.29	Si
-584	105	-	3489	650	-5	-20	0	SLV FO 5	48333	2367.16	1708	-388	-1018	SLV FO 5	543970	166.51	Si
-584	106	-	3489	800	-4	-20	0	SLV FO 5	48333	2370.18	1708	-378	-1004	SLV FO 5	543970	166.72	Si
-584	107	-	3489	950	-4	20	0	SLV FO 7	48333	2372.87	-1708	-368	-988	SLV FO 7	543970	166.91	Si
-584	108	-	3489	1100	-4	20	0	SLV FO 7	48333	2370.02	-1708	-378	-1004	SLV FO 7	543970	166.71	Si
-584	109	-	3489	1250	-5	20	0	SLV FO 7	48333	2367	-1708	-388	-1018	SLV FO 7	543970	166.5	Si
-584	110	-	3489	1400	-5	20	0	SLV FO 7	48333	2363.93	-1708	-398	-1027	SLV FO 7	543970	166.28	Si
-584	111	-	3489	1550	-5	20	0	SLV FO 7	48333	2360.79	-1708	-408	-1027	SLV FO 7	543970	166.06	Si
-584	85	-	2932	350	-5	-20	0	SLV FO 5	48333	2408.07	1673	-407	-2560	SLV FO 5	543970	169.39	Si
-584	86	-	2932	500	-5	-20	0	SLV FO 5	48333	2411.28	1673	-397	-2509	SLV FO 5	543970	169.61	Si
-584	87	-	2932	650	-5	-20	0	SLV FO 5	48333	2414.54	1673	-388	-2457	SLV FO 5	543970	169.84	Si
-584	88	-	2932	800	-4	-20	0	SLV FO 5	48333	2417.79	1673	-378	-2405	SLV FO 5	543970	170.07	Si
-584	89	-	2932	950	-4	-19	0	SLV FO 5	48333	2421.01	1673	-368	-2351	SLV FO 5	543970	170.3	Si
-584	90	-	2932	1100	-4	19	0	SLV FO 7	48333	2419.49	-1672	-378	-2404	SLV FO 7	543970	170.19	Si
-584	91	-	2932	1250	-5	19	0	SLV FO 7	48333	2415.11	-1673	-388	-2457	SLV FO 7	543970	169.88	Si
-584	92	-	2932	1400	-5	19	0	SLV FO 7	48333	2411.83	-1673	-397	-2509	SLV FO 7	543970	169.65	Si
-584	93	-	2932	1550	-5	19	0	SLV FO 7	48333	2408.59	-1673	-407	-2559	SLV FO 7	543970	169.42	Si
-584	94	-	3210	350	-5	-20	0	SLV FO 5	48333	2385.55	1690	-407	-1633	SLV FO 5	543970	167.8	Si
-584	95	-	3210	500	-5	-20	0	SLV FO 5	48333	2388.66	1690	-398	-1623	SLV FO 5	543970	168.02	Si
-584	96	-	3210	650	-5	-20	0	SLV FO 5	48333	2391.75	1690	-388	-1606	SLV FO 5	543970	168.24	Si
-584	97	-	3210	800	-4	-20	0	SLV FO 5	48333	2394.81	1690	-378	-1584	SLV FO 5	543970	168.45	Si
-584	98	-	3210	950	-4	-20	0	SLV FO 5	48333	2397.33	1690	-368	-1558	SLV FO 5	543970	168.63	Si
-584	99	-	3210	1100	-4	20	0	SLV FO 7	48333	2395	-1690	-378	-1584	SLV FO 7	543970	168.47	Si
-662	100	-	3210	1250	-7	0	0	SLU 18	48333	7076.11	0	-54	-223	SLU 18	543970	497.74	Si
-662	101	-	3210	1400	-7	0	0	SLU 18	48333	7073.88	0	-54	-214	SLU 18	543970	497.59	Si
-662	102	-	3210	1550	-7	0	0	SLU 18	48333	7072.05	0	-54	-192	SLU 18	543970	497.46	Si
-662	103	-	3489	350	-7	0	0	SLU 18	48333	7070.76	0	-54	78	SLU 18	543970	497.37	Si
-662	104	-	3489	500	-7	0	0	SLU 18	48333	7071.15	0	-54	52	SLU 18	543970	497.39	Si
-662	105	-	3489	650	-7	0	0	SLU 18	48333	7070.88	0	-54	43	SLU 18	543970	497.37	Si
-662	106	-	3489	800	-7	0	0	SLU 18	48333	7069.84	0	-54	41	SLU 18	543970	497.3	Si
-662	107	-	3489	950	-7	0	0	SLU 18	48333	7068.3	0	-54	40	SLU 18	543970	497.19	Si
-662	108	-	3489	1100	-7	0	0	SLU 18	48333	7066.35	0	-54	41	SLU 18	543970	497.06	Si
-662	109	-	3489	1250	-7	0	0	SLU 18	48333	7063.9	0	-54	44	SLU 18	543970	496.88	Si
-662	110	-	3489	1400	-7	0	0	SLU 18	48333	7060.69	0	-54	53	SLU 18	543970	496.66	Si
-662	111	-	3489	1550	-7	0	0	SLU 18	48333	7056.82	0	-54	79	SLU 18	543970	496.39	Si
-662	85	-	2932	350	-7	0	0	SLU 18	48333	7100.47	0	-54	-1255	SLU 18	543970	499.46	Si
-662	86	-	2932	500	-7	0	0	SLU 18	48333	7097.74	0	-54	-1260	SLU 18	543970	499.26	Si
-662	87	-	2932	650	-7	0	0	SLU 18	48333	7096.04	0	-54	-1262	SLU 18	543970	499.14	Si
-662	88	-	2932	800	-7	0	0	SLU 18	48333	7094.67	0	-54	-1263	SLU 18	543970	499.05	Si
-662	89	-	2932	950	-7	0	0	SLU 18	48333	7092.94	0	-54	-1263	SLU 18	543970	498.93	Si
-662	90	-	2932	1100	-7	0	0	SLU 18	48333	7091.17	0	-54	-1263	SLU 18	543970	498.8	Si
-662	91	-	2932	1250	-7	0	0	SLU 18	48333	7089.02	0	-54	-1261	SLU 18	543970	498.65	Si
-662	92	-	2932	1400	-7	0	0	SLU 18	48333	7087.21	0	-54	-1259	SLU 18	543970	498.52	Si
-662	93	-	2932	1550	-7	0	0	SLU 18	48333	7086.43	0	-54	-1255	SLU 18	543970	498.47	Si
-662	94	-	3210	350	-7	0	0	SLU 18	48333	7086.04	0	-54	-193	SLU 18	543970	498.44	Si
-662	95	-	3210	500	-7	0	0	SLU 18	48333	7084.38	0	-54	-215	SLU 18	543970	498.32	Si
-662	96	-	3210	650	-7	0	0	SLU 18	48333	7083.1	0	-54	-224	SLU 18	543970	498.23	Si
-662	97	-	3210	800	-7	0	0	SLU 18	48333	7081.8	0	-54	-226	SLU 18	543970	498.14	Si
-662	98	-	3210	950	-7	0	0	SLU 18	48333	7080.23	0	-54	-227	SLU 18	543970	498.03	Si
-662	99	-	3210	1100	-7	0	0	SLU 18	48333	7078.3	0	-54	-226	SLU 18	543970	497.9	Si
-662	100	-	3210	1250	-3	12	0	SLD 7	48333	3826.28	-96	-26	-1704	SLD 7	543970	269.15	Si
-662	101	-	3210	1400	-3	12	0	SLD 7	48333	3820.54	-96	-26	-1709	SLD 7	543970	268.74	Si
-662	102	-	3210	1550	-3	12	0	SLD 7	48333	3814.79	-96	-27	-1706	SLD 7	543970	268.34	Si
-662	103	-	3489	350	-3	-12	0	SLD 5	48333	3775.82	97	-27	-1132	SLD 5	543970	265.6	Si
-662	104	-	3489	500	-3	-12	0	SLD 5	48333	3781.6	97	-26	-1141	SLD 5	543970	266	Si
-662	105	-	3489	650	-3	-12	0	SLD 5	48333	3787.26	97	-26	-1140	SLD 5	543970	266.4	Si
-662	106	-	3489	800	-3	-12	0	SLD 5	48333	3792.87	97	-25	-1135	SLD 5	543970	266.8	Si
-662	107	-	3489	950	-3	12	0	SLD 7	48333	3797.87	-97	-25	-1126	SLD 7	543970	267.15	Si
-662	108	-	3489	1100	-3	12	0	SLD 7	48333	3792.47	-97	-25	-1135	SLD 7	543970	266.77	Si
-662	109	-	3489	1250	-3	12	0	SLD 7	48333	3786.82	-97	-26	-1140	SLD 7	543970	266.37	Si
-662	110	-	3489	1400	-3	12	0	SLD 7	48333	3781.12	-97	-26	-1140	SLD 7	543970	265.97	Si
-662	111	-	3489	1550	-3	12	0	SLD 7	48333	3775.29	-97	-27	-1132	SLD 7	543970	265.56	Si
-662	85	-	2932	350	-3	-12	0	SLD 5	48333	3849.53	95	-27	-2508	SLD 5	543970	270.78	Si
-662	86	-	2932	500	-3	-12	0	SLD 5	48333	3855.4	95	-26	-2479	SLD 5	543970	271.19	Si
-662	87	-	2932	650	-3	-12	0	SLD 5	48333	3861.48	95	-26	-2448	SLD 5	543970	271.62	Si
-662	88	-	2932	800	-3	-12	0	SLD 5	48333	3867.58	95	-25	-2417	SLD 5	543970	272.05	Si
-662																	

Interventi di miglioramento della diga di Cepparello nel Comune di Poggibonsi (SI)

ET.09.4 – Tabulati di calcolo_Canali fuggatori con fondazioni su pali

Posizione					Taglio							PressoFlessione					Verifica
Quota	Filo	Ind.	Xp	Yp	Tx	Ty	Mt	Comb.	Vrd	C.S.tt	Mx	My	N	Comb.	Mrd	C.S.pf	
-662	109	-	3489	1250	-5	20	0	SLV FO 7	48333	2367	-157	-36	-1065	SLV FO 7	543970	166.5	Si
-662	110	-	3489	1400	-5	20	0	SLV FO 7	48333	2363.93	-157	-37	-1074	SLV FO 7	543970	166.28	Si
-662	111	-	3489	1550	-5	20	0	SLV FO 7	48333	2360.79	-157	-38	-1074	SLV FO 7	543970	166.06	Si
-662	85	-	2932	350	-5	-20	0	SLV FO 5	48333	2408.07	154	-37	-2607	SLV FO 5	543970	169.39	Si
-662	86	-	2932	500	-5	-20	0	SLV FO 5	48333	2411.28	154	-37	-2554	SLV FO 5	543970	169.61	Si
-662	87	-	2932	650	-5	-20	0	SLV FO 5	48333	2414.54	154	-36	-2504	SLV FO 5	543970	169.84	Si
-662	88	-	2932	800	-4	-20	0	SLV FO 5	48333	2417.79	154	-35	-2451	SLV FO 5	543970	170.07	Si
-662	89	-	2932	950	-4	-19	0	SLV FO 5	48333	2421.01	154	-34	-2398	SLV FO 5	543970	170.3	Si
-662	90	-	2932	1100	-4	19	0	SLV FO 7	48333	2419.49	-154	-35	-2451	SLV FO 7	543970	170.19	Si
-662	91	-	2932	1250	-5	19	0	SLV FO 7	48333	2415.11	-154	-36	-2504	SLV FO 7	543970	169.88	Si
-662	92	-	2932	1400	-5	19	0	SLV FO 7	48333	2411.83	-154	-37	-2556	SLV FO 7	543970	169.65	Si
-662	93	-	2932	1550	-5	19	0	SLV FO 7	48333	2408.59	-154	-37	-2606	SLV FO 7	543970	169.42	Si
-662	94	-	3210	350	-5	-20	0	SLV FO 5	48333	2385.55	155	-37	-1679	SLV FO 5	543970	167.8	Si
-662	95	-	3210	500	-5	-20	0	SLV FO 5	48333	2388.66	155	-37	-1670	SLV FO 5	543970	168.02	Si
-662	96	-	3210	650	-5	-20	0	SLV FO 5	48333	2391.75	155	-36	-1652	SLV FO 5	543970	168.24	Si
-662	97	-	3210	800	-4	-20	0	SLV FO 5	48333	2394.81	155	-35	-1630	SLV FO 5	543970	168.45	Si
-662	98	-	3210	950	-4	-20	0	SLV FO 5	48333	2397.33	156	-34	-1605	SLV FO 5	543970	168.63	Si
-662	99	-	3210	1100	-4	20	0	SLV FO 7	48333	2395	-155	-35	-1630	SLV FO 7	543970	168.47	Si
-740	100	-	3210	1250	0	0	0	SLU 1	48333	10000	0	0	-453	SLU 1	543970	10000	Si
-740	101	-	3210	1400	0	0	0	SLU 1	48333	10000	0	0	-449	SLU 1	543970	10000	Si
-740	102	-	3210	1550	0	0	0	SLU 1	48333	10000	0	0	-443	SLU 1	543970	10000	Si
-740	103	-	3489	350	0	0	0	SLU 1	48333	10000	0	0	-307	SLU 1	543970	10000	Si
-740	104	-	3489	500	0	0	0	SLU 1	48333	10000	0	0	-313	SLU 1	543970	10000	Si
-740	105	-	3489	650	0	0	0	SLU 1	48333	10000	0	0	-317	SLU 1	543970	10000	Si
-740	106	-	3489	800	0	0	0	SLU 1	48333	10000	0	0	-319	SLU 1	543970	10000	Si
-740	107	-	3489	950	0	0	0	SLU 1	48333	10000	0	0	-319	SLU 1	543970	10000	Si
-740	108	-	3489	1100	0	0	0	SLU 1	48333	10000	0	0	-319	SLU 1	543970	10000	Si
-740	109	-	3489	1250	0	0	0	SLU 1	48333	10000	0	0	-317	SLU 1	543970	10000	Si
-740	110	-	3489	1400	0	0	0	SLU 1	48333	10000	0	0	-313	SLU 1	543970	10000	Si
-740	111	-	3489	1550	0	0	0	SLU 1	48333	10000	0	0	-307	SLU 1	543970	10000	Si
-740	85	-	2932	350	0	0	0	SLU 1	48333	10000	0	0	-606	SLU 1	543970	10000	Si
-740	86	-	2932	500	0	0	0	SLU 1	48333	10000	0	0	-607	SLU 1	543970	10000	Si
-740	87	-	2932	650	0	0	0	SLU 1	48333	10000	0	0	-608	SLU 1	543970	10000	Si
-740	88	-	2932	800	0	0	0	SLU 1	48333	10000	0	0	-609	SLU 1	543970	10000	Si
-740	89	-	2932	950	0	0	0	SLU 1	48333	10000	0	0	-609	SLU 1	543970	10000	Si
-740	90	-	2932	1100	0	0	0	SLU 1	48333	10000	0	0	-609	SLU 1	543970	10000	Si
-740	91	-	2932	1250	0	0	0	SLU 1	48333	10000	0	0	-608	SLU 1	543970	10000	Si
-740	92	-	2932	1400	0	0	0	SLU 1	48333	10000	0	0	-607	SLU 1	543970	10000	Si
-740	93	-	2932	1550	0	0	0	SLU 1	48333	10000	0	0	-606	SLU 1	543970	10000	Si
-740	94	-	3210	350	0	0	0	SLU 1	48333	10000	0	0	-443	SLU 1	543970	10000	Si
-740	95	-	3210	500	0	0	0	SLU 1	48333	10000	0	0	-449	SLU 1	543970	10000	Si
-740	96	-	3210	650	0	0	0	SLU 1	48333	10000	0	0	-453	SLU 1	543970	10000	Si
-740	97	-	3210	800	0	0	0	SLU 1	48333	10000	0	0	-455	SLU 1	543970	10000	Si
-740	98	-	3210	950	0	0	0	SLU 1	48333	10000	0	0	-456	SLU 1	543970	10000	Si
-740	99	-	3210	1100	0	0	0	SLU 1	48333	10000	0	0	-455	SLU 1	543970	10000	Si
-740	100	-	3210	1250	0	0	0	SLD 1	48333	10000	0	0	-385	SLD 1	543970	10000	Si
-740	101	-	3210	1400	0	0	0	SLD 1	48333	10000	0	0	-380	SLD 1	543970	10000	Si
-740	102	-	3210	1550	0	0	0	SLD 1	48333	10000	0	0	-371	SLD 1	543970	10000	Si
-740	103	-	3489	350	0	0	0	SLD 1	48333	10000	0	0	-229	SLD 1	543970	10000	Si
-740	104	-	3489	500	0	0	0	SLD 1	48333	10000	0	0	-235	SLD 1	543970	10000	Si
-740	105	-	3489	650	0	0	0	SLD 1	48333	10000	0	0	-238	SLD 1	543970	10000	Si
-740	106	-	3489	800	0	0	0	SLD 1	48333	10000	0	0	-239	SLD 1	543970	10000	Si
-740	107	-	3489	950	0	0	0	SLD 1	48333	10000	0	0	-238	SLD 1	543970	10000	Si
-740	108	-	3489	1100	0	0	0	SLD 1	48333	10000	0	0	-237	SLD 1	543970	10000	Si
-740	109	-	3489	1250	0	0	0	SLD 1	48333	10000	0	0	-234	SLD 1	543970	10000	Si
-740	110	-	3489	1400	0	0	0	SLD 1	48333	10000	0	0	-229	SLD 1	543970	10000	Si
-740	111	-	3489	1550	0	0	0	SLD 1	48333	10000	0	0	-221	SLD 1	543970	10000	Si
-740	85	-	2932	350	0	0	0	SLD 1	48333	10000	0	0	-641	SLD 1	543970	10000	Si
-740	86	-	2932	500	0	0	0	SLD 1	48333	10000	0	0	-640	SLD 1	543970	10000	Si
-740	87	-	2932	650	0	0	0	SLD 1	48333	10000	0	0	-638	SLD 1	543970	10000	Si
-740	88	-	2932	800	0	0	0	SLD 1	48333	10000	0	0	-636	SLD 1	543970	10000	Si
-740	89	-	2932	950	0	0	0	SLD 1	48333	10000	0	0	-634	SLD 1	543970	10000	Si
-740	90	-	2932	1100	0	0	0	SLD 1	48333	10000	0	0	-631	SLD 1	543970	10000	Si
-740	91	-	2932	1250	0	0	0	SLD 1	48333	10000	0	0	-628	SLD 1	543970	10000	Si
-740	92	-	2932	1400	0	0	0	SLD 1	48333	10000	0	0	-624	SLD 1	543970	10000	Si
-740	93	-	2932	1550	0	0	0	SLD 1	48333	10000	0	0	-620	SLD 1	543970	10000	Si
-740	94	-	3210	350	0	0	0	SLD 1	48333	10000	0	0	-383	SLD 1	543970	10000	Si
-740	95	-	3210	500	0	0	0	SLD 1	48333	10000	0	0	-388	SLD 1	543970	10000	Si
-740	96	-	3210	650	0	0	0	SLD 1	48333	10000	0	0	-391	SLD 1	543970	10000	Si
-740	97	-	3210	800	0	0	0	SLD 1	48333	10000	0	0	-391	SLD 1	543970	10000	Si
-740	98	-	3210	950	0	0	0	SLD 1	48333	10000	0	0	-390	SLD 1	543970	10000	Si
-740	99	-	3210	1100	0	0	0	SLD 1	48333	10000	0	0	-388	SLD 1	543970	10000	Si
-740	100	-	3210	1250	0	0	0	SLV FO 1	48333	10000	0	0	-321	SLV FO 1	543970	10000	Si
-740	101	-	3210	1400	0	0	0	SLV FO 1	48333	10000	0	0	-314	SLV FO 1	543970	10000	Si
-740	102	-	3210	1550	0	0	0	SLV FO 1	48333	10000	0	0	-304	SLV FO 1	543970	10000	Si
-740	103	-	3489	350	0	0	0	SLV FO 1	48333	10000	0	0	-153	SLV FO 1	543970	10000	Si
-740	104	-	3489	500	0	0	0	SLV FO 1	48333	10000	0	0	-160	SLV FO 1	543970	10000	Si
-740	105	-	3489	650	0	0	0	SLV FO 1	48333	10000	0	0	-162	SLV FO 1	543970	10000	Si
-740	106	-	3489	800	0	0	0	SLV FO 1	48333	10000	0	0	-162	SLV FO 1	543970	10000	Si
-740	107	-	3489	950	0	0	0	SLV FO 1	48333	10000	0	0	-161	SLV FO 1	543970	10000	Si
-740	108	-	3489	1100	0	0	0	SLV FO 1	48333	10000	0	0	-159	SLV FO 1	543970	10000	Si
-740	109	-	3489</														

Interventi di miglioramento della diga di Cepparello nel Comune di Poggibonsi (SI)

ET.09.4 – Tabulati di calcolo_Canali fagatori con fondazioni su pali

Posizione					Taglio					PressoFlessione					Verifica		
Quota	Filo	Ind.	Xp	Yp	Tx	Ty	Mt	Comb.	Vrd	C.S.tt	Mx	My	N	Comb.	Mrd	C.S.pf	Verifica
-740	99	-	3210	1100	0	0	0	SLV FO 1	48333	10000	0	0	-325	SLV FO 1	543970	10000	Si

Verifica di capacità portante per la famiglia SLU

Verifica di capacità portante verticale riferita al palo singolo

Fattore di correlazione ψ scelto in base alla conoscenza del sito = 1.7

Peso del palo = 876.2 * 1.3

Filo	Ind.	Xp	Yp	yR laterale	yR punta	Pl,d	Pp,d	Def.vol	Comb.	Cnd	N	Ed	Rd	C.S.	Verifica
85	-	2931.89	350.11	1.15	1.35	30654	24845		SLU 14	lungo	-29592	-30731	55499	1.81	Si
86	-	2931.89	500.11	1.15	1.35	30654	24845		SLU 14	lungo	-29664	-30803	55499	1.8	Si
87	-	2931.89	650.11	1.15	1.35	30654	24845		SLU 14	lungo	-29709	-30848	55499	1.8	Si
88	-	2931.89	800.11	1.15	1.35	30654	24845		SLU 14	lungo	-29737	-30876	55499	1.8	Si
89	-	2931.89	950.11	1.15	1.35	30654	24845		SLU 14	lungo	-29746	-30885	55499	1.8	Si
90	-	2931.89	1100.11	1.15	1.35	30654	24845		SLU 14	lungo	-29735	-30875	55499	1.8	Si
91	-	2931.89	1250.11	1.15	1.35	30654	24845		SLU 14	lungo	-29707	-30846	55499	1.8	Si
92	-	2931.89	1400.11	1.15	1.35	30654	24845		SLU 14	lungo	-29660	-30799	55499	1.8	Si
93	-	2931.89	1550.11	1.15	1.35	30654	24845		SLU 14	lungo	-29587	-30727	55499	1.81	Si
94	-	3209.89	350.11	1.15	1.35	30654	24845		SLU 14	lungo	-23231	-24370	55499	2.28	Si
95	-	3209.89	500.11	1.15	1.35	30654	24845		SLU 14	lungo	-23487	-24626	55499	2.25	Si
96	-	3209.89	650.11	1.15	1.35	30654	24845		SLU 14	lungo	-23671	-24811	55499	2.24	Si
97	-	3209.89	800.11	1.15	1.35	30654	24845		SLU 14	lungo	-23775	-24914	55499	2.23	Si
98	-	3209.89	950.11	1.15	1.35	30654	24845		SLU 14	lungo	-23809	-24948	55499	2.22	Si
99	-	3209.89	1100.11	1.15	1.35	30654	24845		SLU 14	lungo	-23776	-24915	55499	2.23	Si
100	-	3209.89	1250.11	1.15	1.35	30654	24845		SLU 14	lungo	-23674	-24813	55499	2.24	Si
101	-	3209.89	1400.11	1.15	1.35	30654	24845		SLU 14	lungo	-23491	-24630	55499	2.25	Si
102	-	3209.89	1550.11	1.15	1.35	30654	24845		SLU 14	lungo	-23237	-24376	55499	2.28	Si
103	-	3488.89	350.11	1.15	1.35	30654	24845		SLU 14	lungo	-16415	-17554	55499	3.16	Si
104	-	3488.89	500.11	1.15	1.35	30654	24845		SLU 14	lungo	-16655	-17794	55499	3.12	Si
105	-	3488.89	650.11	1.15	1.35	30654	24845		SLU 14	lungo	-16825	-17964	55499	3.09	Si
106	-	3488.89	800.11	1.15	1.35	30654	24845		SLU 14	lungo	-16921	-18060	55499	3.07	Si
107	-	3488.89	950.11	1.15	1.35	30654	24845		SLU 14	lungo	-16951	-18090	55499	3.07	Si
108	-	3488.89	1100.11	1.15	1.35	30654	24845		SLU 14	lungo	-16922	-18061	55499	3.07	Si
109	-	3488.89	1250.11	1.15	1.35	30654	24845		SLU 14	lungo	-16827	-17966	55499	3.09	Si
110	-	3488.89	1400.11	1.15	1.35	30654	24845		SLU 14	lungo	-16658	-17797	55499	3.12	Si
111	-	3488.89	1550.11	1.15	1.35	30654	24845		SLU 14	lungo	-16421	-17560	55499	3.16	Si

Verifica di capacità portante trasversale riferita al palo singolo

Fattore di correlazione ψ scelto in base alla conoscenza del sito = 1.7

Filo	Ind.	Xp	Yp	yR trasversale	LRf	Comb.	Cnd	Rd	Ed (T)	C.S.	Verifica
85	-	2931.89	350.11	1.3	1	SLU 18	D	8730.5	384.9	22.68	Si
86	-	2931.89	500.11	1.3	1	SLU 18	D	8730.5	385.1	22.67	Si
87	-	2931.89	650.11	1.3	1	SLU 18	D	8730.5	385.2	22.67	Si
88	-	2931.89	800.11	1.3	1	SLU 18	D	8730.5	385.2	22.66	Si
89	-	2931.89	950.11	1.3	1	SLU 18	D	8730.5	385.3	22.66	Si
90	-	2931.89	1100.11	1.3	1	SLU 18	D	8730.5	385.4	22.65	Si
91	-	2931.89	1250.11	1.3	1	SLU 18	D	8730.5	385.5	22.65	Si
92	-	2931.89	1400.11	1.3	1	SLU 18	D	8730.5	385.6	22.64	Si
93	-	2931.89	1550.11	1.3	1	SLU 18	D	8730.5	385.7	22.64	Si
94	-	3209.89	350.11	1.3	1	SLU 18	D	8730.5	385.7	22.64	Si
95	-	3209.89	500.11	1.3	1	SLU 18	D	8730.5	385.8	22.63	Si
96	-	3209.89	650.11	1.3	1	SLU 18	D	8730.5	385.9	22.63	Si
97	-	3209.89	800.11	1.3	1	SLU 18	D	8730.5	385.9	22.62	Si
98	-	3209.89	950.11	1.3	1	SLU 18	D	8730.5	386	22.62	Si
99	-	3209.89	1100.11	1.3	1	SLU 18	D	8730.5	386.1	22.61	Si
100	-	3209.89	1250.11	1.3	1	SLU 18	D	8730.5	386.2	22.6	Si
101	-	3209.89	1400.11	1.3	1	SLU 18	D	8730.5	386.4	22.6	Si
102	-	3209.89	1550.11	1.3	1	SLU 18	D	8730.5	386.5	22.59	Si
103	-	3488.89	350.11	1.3	1	SLU 18	D	8730.5	386.5	22.59	Si
104	-	3488.89	500.11	1.3	1	SLU 18	D	8730.5	386.5	22.59	Si
105	-	3488.89	650.11	1.3	1	SLU 18	D	8730.5	386.5	22.59	Si
106	-	3488.89	800.11	1.3	1	SLU 18	D	8730.5	386.6	22.58	Si
107	-	3488.89	950.11	1.3	1	SLU 18	D	8730.5	386.7	22.58	Si
108	-	3488.89	1100.11	1.3	1	SLU 18	D	8730.5	386.8	22.57	Si
109	-	3488.89	1250.11	1.3	1	SLU 18	D	8730.5	386.9	22.57	Si
110	-	3488.89	1400.11	1.3	1	SLU 18	D	8730.5	387.1	22.55	Si
111	-	3488.89	1550.11	1.3	1	SLU 18	D	8730.5	387.3	22.54	Si

Parametri utilizzati nel calcolo

Filo	Ind.	Xp	Yp	Tipo	L.frs.	L.tr.lib.	L.tr.inf.	Coos.	Fi	P.spec	T max	Mecc.coll.	M.plast.sup.	Quota sup.	N sup.	M.plast.inf.	Quota inf.	N inf.
85	-	2931.89	350.11	TL	22	0	750		36	0.0014	19294	PLL	4232901	-359.1	268			
86	-	2931.89	500.11	TL	22	0	750		36	0.0014	19294	PLL	4232901	-359.1	268			
87	-	2931.89	650.11	TL	22	0	750		36	0.0014	19294	PLL	4232901	-359.1	268			
88	-	2931.89	800.11	TL	22	0	750		36	0.0014	19294	PLL	4232901	-359.1	268			
89	-	2931.89	950.11	TL	22	0	750		36	0.0014	19294	PLL	4232901	-359.1	268			
90	-	2931.89	1100.11	TL	22	0	750		36	0.0014	19294	PLL	4232901	-359.1	268			
91	-	2931.89	1250.11	TL	22	0	750		36	0.0014	19294	PLL	4232901	-359.1	268			
92	-	2931.89	1400.11	TL	22	0	750		36	0.0014	19294	PLL	4232901	-359.1	268			
93	-	2931.89	1550.11	TL	22	0	750		36	0.0014	19294	PLL	4232901	-359.1	268			
94	-	3209.89	350.11	TL	22	0	750		36	0.0014	19294	PLL	4232901	-359.1	268			
95	-	3209.89	500.11	TL	22	0	750		36	0.0014	19294	PLL	4232901	-359.1	268			
96	-	3209.89	650.11	TL	22	0	750		36	0.0014	19294	PLL	4232901	-359.1	268			
97	-	3209.89	800.11	TL	22	0	750		36	0.0014	19294	PLL	4232901	-359.1	268			
98	-	3209.89	950.11	TL	22	0	750		36	0.0014	19294	PLL	4232901	-359.1	268			
99	-	3209.89	1100.11	TL	22	0	750		36	0.0014	19294	PLL	4232901	-359.1	268			
100	-	3209.89	1250.11	TL	22	0	750		36	0.0014	19294	PLL	4232901	-359.1	268			
101	-	3209.89	1400.11	TL	22	0	750		36	0.0014	19294	PLL	4232901	-359.1	268			
102	-	3209.89	1550.11	TL	22	0	750		36	0.0014	19294	PLL	4232901	-359.1	268			
103	-	3488.89	350.11	TL	22	0	750		36	0.0014	19294	PLL	4232901	-359.1	268			
104	-	3488.89	500.11	TL	22	0	750		36	0.0014	19294	PLL	4232901	-359.1	268			
105	-	3488.89	650.11	TL	22	0	750		36	0.0014	19294	PLL	4232901	-359.1	268			
106	-	3488.89	800.11	TL	22	0	750		36	0.0014	19294	PLL	4232901	-359.1	268			
107	-	3488.89	950.11	TL	22	0	750		36	0.0014	19294	PLL	4232901	-359.1	268			
108	-	3488.89	1100.11	TL	22	0	750		36	0.0014	19294	PLL	4232901	-359.1	268			
109	-	3488.89	1250.11	TL	22	0	750		36	0.0014	19294	PLL	4232901	-359.1	268			
110	-	3488.89	1400.11	TL	22	0	750		36	0.0014	19294	PLL	4232901	-359.1	268			
111	-	3488.89	1550.11	TL	22	0	750		36	0.0014	19294	PLL	4232901	-359.1	268			

Interventi di miglioramento della diga di Cepparello nel Comune di Poggibonsi (SI)

ET.09.4 – Tabulati di calcolo_Canali fagatori con fondazioni su pali

Verifica di capacità portante per la famiglia SLD

Verifica di capacità portante verticale riferita al palo singolo

Fattore di correlazione ψ scelto in base alla conoscenza del sito = 1.7

Peso del palo = 876.2 * 1

Filo	Ind.	Xp	Yp	yR laterale	yR punta	Pl,d	Pp,d	Def.vol	Comb.	Cnd	N	Ed	Rd	C.S.	Verifica
85	-	2931.89	350.11	1.15	1.35	30654	24845		SLD 5	lungo	-9670	-10546	55499	5.26	Si
86	-	2931.89	500.11	1.15	1.35	30654	24845		SLD 5	lungo	-9554	-10431	55499	5.32	Si
87	-	2931.89	650.11	1.15	1.35	30654	24845		SLD 1	lungo	-9516	-10393	55499	5.34	Si
88	-	2931.89	800.11	1.15	1.35	30654	24845		SLD 1	lungo	-9485	-10361	55499	5.36	Si
89	-	2931.89	950.11	1.15	1.35	30654	24845		SLD 1	lungo	-9449	-10325	55499	5.38	Si
90	-	2931.89	1100.11	1.15	1.35	30654	24845		SLD 3	lungo	-9485	-10361	55499	5.36	Si
91	-	2931.89	1250.11	1.15	1.35	30654	24845		SLD 3	lungo	-9516	-10392	55499	5.34	Si
92	-	2931.89	1400.11	1.15	1.35	30654	24845		SLD 7	lungo	-9554	-10430	55499	5.32	Si
93	-	2931.89	1550.11	1.15	1.35	30654	24845		SLD 7	lungo	-9669	-10545	55499	5.26	Si
94	-	3209.89	350.11	1.15	1.35	30654	24845		SLD 13	lungo	-7613	-8490	55499	6.54	Si
95	-	3209.89	500.11	1.15	1.35	30654	24845		SLD 13	lungo	-7664	-8540	55499	6.5	Si
96	-	3209.89	650.11	1.15	1.35	30654	24845		SLD 13	lungo	-7699	-8575	55499	6.47	Si
97	-	3209.89	800.11	1.15	1.35	30654	24845		SLD 13	lungo	-7711	-8588	55499	6.46	Si
98	-	3209.89	950.11	1.15	1.35	30654	24845		SLD 13	lungo	-7702	-8578	55499	6.47	Si
99	-	3209.89	1100.11	1.15	1.35	30654	24845		SLD 15	lungo	-7711	-8587	55499	6.46	Si
100	-	3209.89	1250.11	1.15	1.35	30654	24845		SLD 15	lungo	-7697	-8573	55499	6.47	Si
101	-	3209.89	1400.11	1.15	1.35	30654	24845		SLD 15	lungo	-7661	-8537	55499	6.5	Si
102	-	3209.89	1550.11	1.15	1.35	30654	24845		SLD 15	lungo	-7610	-8486	55499	6.54	Si
103	-	3488.89	350.11	1.15	1.35	30654	24845		SLD 13	lungo	-5717	-6594	55499	8.42	Si
104	-	3488.89	500.11	1.15	1.35	30654	24845		SLD 13	lungo	-5770	-6646	55499	8.35	Si
105	-	3488.89	650.11	1.15	1.35	30654	24845		SLD 13	lungo	-5808	-6684	55499	8.3	Si
106	-	3488.89	800.11	1.15	1.35	30654	24845		SLD 13	lungo	-5825	-6702	55499	8.28	Si
107	-	3488.89	950.11	1.15	1.35	30654	24845		SLD 15	lungo	-5822	-6698	55499	8.29	Si
108	-	3488.89	1100.11	1.15	1.35	30654	24845		SLD 15	lungo	-5825	-6701	55499	8.28	Si
109	-	3488.89	1250.11	1.15	1.35	30654	24845		SLD 15	lungo	-5806	-6683	55499	8.31	Si
110	-	3488.89	1400.11	1.15	1.35	30654	24845		SLD 15	lungo	-5767	-6644	55499	8.35	Si
111	-	3488.89	1550.11	1.15	1.35	30654	24845		SLD 15	lungo	-5715	-6591	55499	8.42	Si

Verifica di capacità portante per la famiglia SLV FO

Verifica di capacità portante verticale riferita al palo singolo

Fattore di correlazione ψ scelto in base alla conoscenza del sito = 1.7

Peso del palo = 876.2 * 1

Filo	Ind.	Xp	Yp	yR laterale	yR punta	Pl,d	Pp,d	Def.vol	Comb.	Cnd	N	Ed	Rd	C.S.	Verifica
85	-	2931.89	350.11	1.15	1.35	30654	24845		SLV FO 5	lungo	-10059	-10935	55499	5.08	Si
86	-	2931.89	500.11	1.15	1.35	30654	24845		SLV FO 5	lungo	-9858	-10734	55499	5.17	Si
87	-	2931.89	650.11	1.15	1.35	30654	24845		SLV FO 1	lungo	-9751	-10627	55499	5.22	Si
88	-	2931.89	800.11	1.15	1.35	30654	24845		SLV FO 1	lungo	-9694	-10571	55499	5.25	Si
89	-	2931.89	950.11	1.15	1.35	30654	24845		SLV FO 1	lungo	-9633	-10510	55499	5.28	Si
90	-	2931.89	1100.11	1.15	1.35	30654	24845		SLV FO 3	lungo	-9694	-10570	55499	5.25	Si
91	-	2931.89	1250.11	1.15	1.35	30654	24845		SLV FO 3	lungo	-9749	-10626	55499	5.22	Si
92	-	2931.89	1400.11	1.15	1.35	30654	24845		SLV FO 7	lungo	-9857	-10733	55499	5.17	Si
93	-	2931.89	1550.11	1.15	1.35	30654	24845		SLV FO 7	lungo	-10058	-10934	55499	5.08	Si
94	-	3209.89	350.11	1.15	1.35	30654	24845		SLV FO 13	lungo	-8654	-9530	55499	5.82	Si
95	-	3209.89	500.11	1.15	1.35	30654	24845		SLV FO 13	lungo	-8676	-9552	55499	5.81	Si
96	-	3209.89	650.11	1.15	1.35	30654	24845		SLV FO 13	lungo	-8696	-9572	55499	5.8	Si
97	-	3209.89	800.11	1.15	1.35	30654	24845		SLV FO 13	lungo	-8697	-9574	55499	5.8	Si
98	-	3209.89	950.11	1.15	1.35	30654	24845		SLV FO 13	lungo	-8676	-9552	55499	5.81	Si
99	-	3209.89	1100.11	1.15	1.35	30654	24845		SLV FO 15	lungo	-8696	-9573	55499	5.8	Si
100	-	3209.89	1250.11	1.15	1.35	30654	24845		SLV FO 15	lungo	-8694	-9570	55499	5.8	Si
101	-	3209.89	1400.11	1.15	1.35	30654	24845		SLV FO 15	lungo	-8673	-9549	55499	5.81	Si
102	-	3209.89	1550.11	1.15	1.35	30654	24845		SLV FO 15	lungo	-8650	-9527	55499	5.83	Si
103	-	3488.89	350.11	1.15	1.35	30654	24845		SLV FO 13	lungo	-6976	-7852	55499	7.07	Si
104	-	3488.89	500.11	1.15	1.35	30654	24845		SLV FO 13	lungo	-6995	-7871	55499	7.05	Si
105	-	3488.89	650.11	1.15	1.35	30654	24845		SLV FO 13	lungo	-7022	-7898	55499	7.03	Si
106	-	3488.89	800.11	1.15	1.35	30654	24845		SLV FO 13	lungo	-7033	-7909	55499	7.02	Si
107	-	3488.89	950.11	1.15	1.35	30654	24845		SLV FO 15	lungo	-7022	-7898	55499	7.03	Si
108	-	3488.89	1100.11	1.15	1.35	30654	24845		SLV FO 15	lungo	-7032	-7908	55499	7.02	Si
109	-	3488.89	1250.11	1.15	1.35	30654	24845		SLV FO 15	lungo	-7020	-7896	55499	7.03	Si
110	-	3488.89	1400.11	1.15	1.35	30654	24845		SLV FO 15	lungo	-6993	-7869	55499	7.05	Si
111	-	3488.89	1550.11	1.15	1.35	30654	24845		SLV FO 15	lungo	-6973	-7849	55499	7.07	Si

Verifica di capacità portante trasversale riferita al palo singolo

Fattore di correlazione ψ scelto in base alla conoscenza del sito = 1.7

Filo	Ind.	Xp	Yp	yR trasversale	LRF	Comb.	Cnd	Rd	Ed (T)	C.S.	Verifica
85	-	2931.89	350.11	1.3	1	SLV FO 5	D	8730.5	1135	7.69	Si
86	-	2931.89	500.11	1.3	1	SLV FO 5	D	8730.5	1133.4	7.7	Si
87	-	2931.89	650.11	1.3	1	SLV FO 5	D	8730.5	1131.9	7.71	Si
88	-	2931.89	800.11	1.3	1	SLV FO 5	D	8730.5	1130.4	7.72	Si
89	-	2931.89	950.11	1.3	1	SLV FO 5	D	8730.5	1128.9	7.73	Si
90	-	2931.89	1100.11	1.3	1	SLV FO 7	D	8730.5	1129.6	7.73	Si
91	-	2931.89	1250.11	1.3	1	SLV FO 7	D	8730.5	1131.6	7.71	Si
92	-	2931.89	1400.11	1.3	1	SLV FO 7	D	8730.5	1133.2	7.7	Si
93	-	2931.89	1550.11	1.3	1	SLV FO 7	D	8730.5	1134.7	7.69	Si
94	-	3209.89	350.11	1.3	1	SLV FO 5	D	8730.5	1145.7	7.62	Si
95	-	3209.89	500.11	1.3	1	SLV FO 5	D	8730.5	1144.2	7.63	Si
96	-	3209.89	650.11	1.3	1	SLV FO 5	D	8730.5	1142.7	7.64	Si
97	-	3209.89	800.11	1.3	1	SLV FO 5	D	8730.5	1141.2	7.65	Si
98	-	3209.89	950.11	1.3	1	SLV FO 5	D	8730.5	1140	7.66	Si
99	-	3209.89	1100.11	1.3	1	SLV FO 7	D	8730.5	1141.1	7.65	Si
100	-	3209.89	1250.11	1.3	1	SLV FO 7	D	8730.5	1142.6	7.64	Si
101	-	3209.89	1400.11	1.3	1	SLV FO 7	D	8730.5	1144.1	7.63	Si
102	-	3209.89	1550.11	1.3	1	SLV FO 7	D	8730.5	1145.6	7.62	Si
103	-	3488.89	350.11	1.3	1	SLV FO 5	D	8730.5	1157.6	7.54	Si
104	-	3488.89	500.11	1.3	1	SLV FO 5	D	8730.5	1156.1	7.55	Si
105	-	3488.89	650.11	1.3	1	SLV FO 5	D	8730.5	1154.6	7.56	Si
106	-	3488.89	800.11	1.3	1	SLV FO 5	D	8730.5	1153.1	7.57	Si
107	-	3488.89	950.11	1.3	1	SLV FO 7	D	8730.5	1151.8	7.58	Si
108	-	3488.89	1100.11	1.3	1	SLV FO 7	D	8730.5	1153.2	7.57	Si
109	-	3488.89	1250.11	1.3	1	SLV FO 7	D	8730.5	1154.6	7.56	Si
110	-	3488.89	1400.11	1.3	1	SLV FO 7	D	8730.5	1156.1	7.55	Si
111	-	3488.89	1550.11	1.3	1	SLV FO 7	D	8730.5	1157.7	7.54	Si

Interventi di miglioramento della diga di Cepparello nel Comune di Poggibonsi (SI)

ET.09.4 – Tabulati di calcolo_Canali fagatori con fondazioni su pali

Parametri utilizzati nel calcolo

Filo	Ind.	Xp	Yp	Tipo	L.frs.	L.tr.lib.	L.tr.inf.	Coes.	Fi	P.spec	T max	Mecc.coll.	M.plast.sup.	Quota sup.	N sup.	M.plast.inf.	Quota inf.	N inf.
85	-	2931.89	350.11	TL	22	0	750		36	0.0014	19294	PLL	4232903	-359.1	-1790			
86	-	2931.89	500.11	TL	22	0	750		36	0.0014	19294	PLL	4232903	-359.1	-1790			
87	-	2931.89	650.11	TL	22	0	750		36	0.0014	19294	PLL	4232903	-359.1	-1790			
88	-	2931.89	800.11	TL	22	0	750		36	0.0014	19294	PLL	4232903	-359.1	-1790			
89	-	2931.89	950.11	TL	22	0	750		36	0.0014	19294	PLL	4232903	-359.1	-1790			
90	-	2931.89	1100.11	TL	22	0	750		36	0.0014	19294	PLL	4232898	-359.1	-1790			
91	-	2931.89	1250.11	TL	22	0	750		36	0.0014	19294	PLL	4232898	-359.1	-1790			
92	-	2931.89	1400.11	TL	22	0	750		36	0.0014	19294	PLL	4232898	-359.1	-1790			
93	-	2931.89	1550.11	TL	22	0	750		36	0.0014	19294	PLL	4232898	-359.1	-1790			
94	-	3209.89	350.11	TL	22	0	750		36	0.0014	19294	PLL	4232903	-359.1	-1790			
95	-	3209.89	500.11	TL	22	0	750		36	0.0014	19294	PLL	4232903	-359.1	-1790			
96	-	3209.89	650.11	TL	22	0	750		36	0.0014	19294	PLL	4232903	-359.1	-1790			
97	-	3209.89	800.11	TL	22	0	750		36	0.0014	19294	PLL	4232903	-359.1	-1790			
98	-	3209.89	950.11	TL	22	0	750		36	0.0014	19294	PLL	4232903	-359.1	-1790			
99	-	3209.89	1100.11	TL	22	0	750		36	0.0014	19294	PLL	4232898	-359.1	-1790			
100	-	3209.89	1250.11	TL	22	0	750		36	0.0014	19294	PLL	4232898	-359.1	-1790			
101	-	3209.89	1400.11	TL	22	0	750		36	0.0014	19294	PLL	4232898	-359.1	-1790			
102	-	3209.89	1550.11	TL	22	0	750		36	0.0014	19294	PLL	4232898	-359.1	-1790			
103	-	3488.89	350.11	TL	22	0	750		36	0.0014	19294	PLL	4232903	-359.1	-1790			
104	-	3488.89	500.11	TL	22	0	750		36	0.0014	19294	PLL	4232903	-359.1	-1790			
105	-	3488.89	650.11	TL	22	0	750		36	0.0014	19294	PLL	4232903	-359.1	-1790			
106	-	3488.89	800.11	TL	22	0	750		36	0.0014	19294	PLL	4232903	-359.1	-1790			
107	-	3488.89	950.11	TL	22	0	750		36	0.0014	19294	PLL	4232898	-359.1	-1790			
108	-	3488.89	1100.11	TL	22	0	750		36	0.0014	19294	PLL	4232898	-359.1	-1790			
109	-	3488.89	1250.11	TL	22	0	750		36	0.0014	19294	PLL	4232898	-359.1	-1790			
110	-	3488.89	1400.11	TL	22	0	750		36	0.0014	19294	PLL	4232898	-359.1	-1790			
111	-	3488.89	1550.11	TL	22	0	750		36	0.0014	19294	PLL	4232898	-359.1	-1790			

36 pali "Micropalo D139.7x10 perf 220" gruppo 11 "PALI DI VALLE SFIORATORE DX"

Verifiche effettuate secondo D.M. 17-01-18 (N.T.C.)

Geometria

varia



-780

Pali coinvolti

Palo a coordinate x,y: (3061.9, 1700.1)[filo 125];(3254.9, 2450.1)[filo 139];(3061.9, 2450.1)[filo 130];(3641.9, 2450.1)[filo 157];(3641.9, 2550.1)[filo 158];(3061.9, 2550.1)[filo 131];(3254.9, 2350.1)[filo 138];(3448.9, 2450.1)[filo 148];(3641.9, 2650.1)[filo 159];(3061.9, 2750.1)[filo 133];(3448.9, 2550.1)[filo 149];(3254.9, 2550.1)[filo 140];(3448.9, 2650.1)[filo 150];(3254.9, 2650.1)[filo 141];(3061.9, 2650.1)[filo 132];(3641.9, 2750.1)[filo 160];(3448.9, 2350.1)[filo 147];(3061.9, 2350.1)[filo 129];(3641.9, 2350.1)[filo 156];(3448.9, 1700.1)[filo 143];(3254.9, 1700.1)[filo 134];(3641.9, 1850.1)[filo 153];(3061.9, 1850.1)[filo 126];(3448.9, 1850.1)[filo 144];(3254.9, 1850.1)[filo 135];(3641.9, 1700.1)[filo 152];(3641.9, 2000.1)[filo 154];(3448.9, 2000.1)[filo 145];(3254.9, 2000.1)[filo 151]

Interventi di miglioramento della diga di Cepparello nel Comune di Poggibonsi (SI)

ET.09.4 – Tabulati di calcolo_Canali fugadori con fondazioni su pali

136];(3641.9, 2150.1)[filo 155];(3061.9, 2150.1)[filo 128];(3448.9, 2150.1)[filo 146];(3254.9, 2150.1)[filo 137];(3061.9, 2000.1)[filo 127];(3448.9, 2750.1)[filo 151];(3254.9, 2750.1)[filo 142];

Caratteristiche geometriche

Tubo in acciaio EN10219 139.7x10

Diametro tubo 140 mm

Spessore tubo 10 mm

Lunghezza 750 cm

Caratteristiche dei materiali

Calcestruzzo C25/30

Acciaio S355

Verifiche secondo DM18

Quota	Posizione				Taglio					PressoFlessione					Verifica			
	Filo	Ind.	Xp	Yp	Tx	Ty	Mt	Comb.	Vrd	C.S.tt	Mx	My	N	Comb.		Mrd	C.S.pf	
0	125	-	3062	1700	-3153	0	0	0	SLU 18	48333	15.33	0	0	-7312	SLU 1	543970	10000	Si
0	126	-	3062	1850	-3153	0	0	0	SLU 18	48333	15.33	0	0	-7322	SLU 1	543970	10000	Si
0	127	-	3062	2000	-3153	0	0	0	SLU 18	48333	15.33	0	0	-7322	SLU 1	543970	10000	Si
0	128	-	3062	2150	-3153	0	0	0	SLU 18	48333	15.33	0	0	-7312	SLU 1	543970	10000	Si
0	129	-	3062	2350	2	0	0	0	SLU 1	48333	10000	0	0	-6347	SLU 1	543970	10000	Si
0	130	-	3062	2450	2	0	0	0	SLU 1	48333	10000	0	0	-6338	SLU 1	543970	10000	Si
0	131	-	3062	2550	2	0	0	0	SLU 1	48333	10000	0	0	-6338	SLU 1	543970	10000	Si
0	132	-	3062	2650	2	0	0	0	SLU 1	48333	10000	0	0	-6338	SLU 1	543970	10000	Si
0	133	-	3062	2750	2	0	0	0	SLU 1	48333	10000	0	0	-6347	SLU 1	543970	10000	Si
0	134	-	3255	1700	-3154	0	0	0	SLU 18	48333	15.33	0	0	-6949	SLU 1	543970	10000	Si
0	135	-	3255	1850	-3154	0	0	0	SLU 17	48333	15.33	0	0	-6996	SLU 1	543970	10000	Si
0	136	-	3255	2000	-3154	0	0	0	SLU 17	48333	15.33	0	0	-6996	SLU 1	543970	10000	Si
0	137	-	3255	2150	-3154	0	0	0	SLU 18	48333	15.33	0	0	-6949	SLU 1	543970	10000	Si
0	138	-	3255	2350	1	0	0	0	SLU 1	48333	10000	0	0	-7938	SLU 1	543970	10000	Si
0	139	-	3255	2450	1	0	0	0	SLU 1	48333	10000	0	0	-7896	SLU 1	543970	10000	Si
0	140	-	3255	2550	1	0	0	0	SLU 1	48333	10000	0	0	-7884	SLU 1	543970	10000	Si
0	141	-	3255	2650	1	0	0	0	SLU 1	48333	10000	0	0	-7896	SLU 1	543970	10000	Si
0	142	-	3255	2750	1	0	0	0	SLU 1	48333	10000	0	0	-7938	SLU 1	543970	10000	Si
0	143	-	3449	1700	-3155	0	0	0	SLU 17	48333	15.32	0	0	-7046	SLU 1	543970	10000	Si
0	144	-	3449	1850	-3155	0	0	0	SLU 18	48333	15.32	0	0	-7090	SLU 1	543970	10000	Si
0	145	-	3449	2000	-3155	0	0	0	SLU 18	48333	15.32	0	0	-7090	SLU 1	543970	10000	Si
0	146	-	3449	2150	-3155	0	0	0	SLU 17	48333	15.32	0	0	-7046	SLU 1	543970	10000	Si
0	147	-	3449	2350	-1	0	0	0	SLU 1	48333	10000	0	0	-7940	SLU 1	543970	10000	Si
0	148	-	3449	2450	-1	0	0	0	SLU 1	48333	10000	0	0	-7898	SLU 1	543970	10000	Si
0	149	-	3449	2550	-1	0	0	0	SLU 1	48333	10000	0	0	-7886	SLU 1	543970	10000	Si
0	150	-	3449	2650	-1	0	0	0	SLU 1	48333	10000	0	0	-7898	SLU 1	543970	10000	Si
0	151	-	3449	2750	-1	0	0	0	SLU 1	48333	10000	0	0	-7940	SLU 1	543970	10000	Si
0	152	-	3642	1700	-3156	0	1	0	SLU 17	48333	15.31	0	0	-7208	SLU 1	543970	10000	Si
0	153	-	3642	1850	-3156	0	0	0	SLU 17	48333	15.31	0	0	-7217	SLU 1	543970	10000	Si
0	154	-	3642	2000	-3156	0	0	0	SLU 17	48333	15.31	0	0	-7217	SLU 1	543970	10000	Si
0	155	-	3642	2150	-3156	0	-1	0	SLU 17	48333	15.31	0	0	-7208	SLU 1	543970	10000	Si
0	156	-	3642	2350	-2	0	0	0	SLU 1	48333	10000	0	0	-6356	SLU 1	543970	10000	Si
0	157	-	3642	2450	-2	0	0	0	SLU 1	48333	10000	0	0	-6348	SLU 1	543970	10000	Si
0	158	-	3642	2550	-2	0	0	0	SLU 1	48333	10000	0	0	-6347	SLU 1	543970	10000	Si
0	159	-	3642	2650	-2	0	0	0	SLU 1	48333	10000	0	0	-6348	SLU 1	543970	10000	Si
0	160	-	3642	2750	-2	0	0	0	SLU 1	48333	10000	0	0	-6356	SLU 1	543970	10000	Si
0	125	-	3062	1700	-2893	195	-1	0	SLD 3	48333	16.67	0	0	-9324	SLD 1	543970	10000	Si
0	126	-	3062	1850	-2890	195	-1	0	SLD 3	48333	16.69	0	0	-9097	SLD 1	543970	10000	Si
0	127	-	3062	2000	-2889	-200	2	0	SLD 1	48333	16.69	0	0	-8858	SLD 1	543970	10000	Si
0	128	-	3062	2150	-2891	-199	1	0	SLD 1	48333	16.68	0	0	-8606	SLD 1	543970	10000	Si
0	129	-	3062	2350	2722	-193	0	0	SLD 13	48333	17.71	0	0	-11602	SLD 1	543970	10000	Si
0	130	-	3062	2450	2721	-193	1	0	SLD 13	48333	17.72	0	0	-11307	SLD 1	543970	10000	Si
0	131	-	3062	2550	2720	194	-1	0	SLD 15	48333	17.73	0	0	-11015	SLD 1	543970	10000	Si
0	132	-	3062	2650	2721	194	-1	0	SLD 15	48333	17.72	0	0	-10723	SLD 1	543970	10000	Si
0	133	-	3062	2750	2721	194	0	0	SLD 15	48333	17.72	0	0	-10433	SLD 1	543970	10000	Si
0	134	-	3255	1700	-2893	198	-1	0	SLD 3	48333	16.67	0	0	-8052	SLD 1	543970	10000	Si
0	135	-	3255	1850	-2890	198	-1	0	SLD 3	48333	16.68	0	0	-7872	SLD 1	543970	10000	Si
0	136	-	3255	2000	-2890	-199	2	0	SLD 1	48333	16.69	0	0	-7654	SLD 1	543970	10000	Si
0	137	-	3255	2150	-2891	-199	2	0	SLD 1	48333	16.68	0	0	-7393	SLD 1	543970	10000	Si
0	138	-	3255	2350	2720	-195	0	0	SLD 13	48333	17.72	0	0	-9510	SLD 1	543970	10000	Si
0	139	-	3255	2450	2719	-194	1	0	SLD 13	48333	17.73	0	0	-9209	SLD 1	543970	10000	Si
0	140	-	3255	2550	2718	195	-1	0	SLD 15	48333	17.74	0	0	-8934	SLD 1	543970	10000	Si
0	141	-	3255	2650	2719	195	-1	0	SLD 15	48333	17.73	0	0	-8679	SLD 1	543970	10000	Si
0	142	-	3255	2750	2719	195	0	0	SLD 15	48333	17.73	0	0	-8443	SLD 1	543970	10000	Si
0	143	-	3449	1700	-2893	201	-1	0	SLD 3	48333	16.66	0	0	-7179	SLD 1	543970	10000	Si
0	144	-	3449	1850	-2891	201	-1	0	SLD 3	48333	16.68	0	0	-6985	SLD 1	543970	10000	Si
0	145	-	3449	2000	-2890	-199	2	0	SLD 1	48333	16.68	0	0	-6766	SLD 1	543970	10000	Si
0	146	-	3449	2150	-2892	-199	2	0	SLD 1	48333	16.68	0	0	-6517	SLD 1	543970	10000	Si
0	147	-	3449	2350	-2720	196	0	0	SLD 3	48333	17.72	0	0	-7436	SLD 1	543970	10000	Si
0	148	-	3449	2450	-2719	196	-1	0	SLD 3	48333	17.73	0	0	-7114	SLD 1	543970	10000	Si
0	149	-	3449	2550	-2718	196	-1	0	SLD 3	48333	17.74	0	0	-6837	SLD 1	543970	10000	Si
0	150	-	3449	2650	-2719	-195	1	0	SLD 1	48333	17.73	0	0	-6583	SLD 1	543970	10000	Si
0	151	-	3449	2750	-2719	-195	0	0	SLD 1	48333	17.73	0	0	-6366	SLD 1	543970	10000	Si
0	152	-	3642	1700	-2894	204	0	0	SLD 3	48333	16.66	0	0	-5355	SLD 1	543970	10000	Si
0	153	-	3642	1850	-2892	204	-1	0	SLD 3	48333	16.67	0	0	-5116	SLD 1	543970	10000	Si
0	154	-	3642	2000	-2891	-199	2	0	SLD 1	48333	16.68	0	0	-4875	SLD 1	543970	10000	Si
0	155	-	3642	2150	-2893	-199	0	0	SLD 1	48333	16.67	0	0	-4630	SLD 1	543970	10000	Si
0	156	-	3642	2350	-2722	198	0	0	SLD 3	48333	17.71	0	0	-2274	SLD 1	543970	10000	Si
0	157	-	3642	2450	-2721	198	-1	0	SLD 3	48333	17.72	0	0	-1965	SLD 1	543970	10000	Si
0	158	-	3642	2550	-2720	198	-1	0	SLD 3	48333	17.73	0	0	-1671	SLD 1	543970	10000	Si
0	159	-	3642	2650	-2721	-196	1	0	SLD 1	48333	17.72	0	0	-1378	SLD 1	543970	10000	Si
0	160	-	3642	2750	-2721	-196	0	0	SLD 1	48333	17.72	0	0	-1097	SLD 1	543970	10000	Si
0	125	-	3062	1700	-4563	314	-1	0	SLV FO 3	48333	10.57	0	0	-11166	SLV FO 1	543970	10000	Si
0	126	-	3062	1850	-4559	314	-1											

Interventi di miglioramento della diga di Cepparello nel Comune di Poggibonsi (SI)

ET.09.4 – Tabulati di calcolo_Canali fuggatori con fondazioni su pali

Posizione					Taglio							PressoFlessione					Verifica
Quota	Filo	Ind.	Xp	Yp	Tx	Ty	Mt	Comb.	Vrd	C.S.tt	Mx	My	N	Comb.	Mrd	C.S.pf	
0	137	-	3255	2150	-4561	-322	3	SLV FO 1	48333	10.57	0	0	-8115	SLV FO 1	543970	10000	Si
0	138	-	3255	2350	6113	-314	0	SLV FO 13	48333	7.9	0	0	-11116	SLV FO 1	543970	10000	Si
0	139	-	3255	2450	6111	-314	1	SLV FO 13	48333	7.9	0	0	-10662	SLV FO 1	543970	10000	Si
0	140	-	3255	2550	6109	315	-2	SLV FO 15	48333	7.9	0	0	-10226	SLV FO 1	543970	10000	Si
0	141	-	3255	2650	6110	315	-1	SLV FO 15	48333	7.9	0	0	-9808	SLV FO 1	543970	10000	Si
0	142	-	3255	2750	6112	315	0	SLV FO 15	48333	7.9	0	0	-9394	SLV FO 1	543970	10000	Si
0	143	-	3449	1700	-4564	324	-1	SLV FO 3	48333	10.56	0	0	-7288	SLV FO 1	543970	10000	Si
0	144	-	3449	1850	-4560	324	-1	SLV FO 3	48333	10.57	0	0	-6937	SLV FO 1	543970	10000	Si
0	145	-	3449	2000	-4559	-321	3	SLV FO 1	48333	10.58	0	0	-6583	SLV FO 1	543970	10000	Si
0	146	-	3449	2150	-4561	-321	3	SLV FO 1	48333	10.57	0	0	-6220	SLV FO 1	543970	10000	Si
0	147	-	3449	2350	-6113	316	0	SLV FO 3	48333	7.9	0	0	-6486	SLV FO 1	543970	10000	Si
0	148	-	3449	2450	-6111	316	-1	SLV FO 3	48333	7.9	0	0	-5986	SLV FO 1	543970	10000	Si
0	149	-	3449	2550	-6109	-315	2	SLV FO 1	48333	7.9	0	0	-5545	SLV FO 1	543970	10000	Si
0	150	-	3449	2650	-6110	-315	1	SLV FO 1	48333	7.9	0	0	-5129	SLV FO 1	543970	10000	Si
0	151	-	3449	2750	-6112	-315	0	SLV FO 1	48333	7.9	0	0	-4760	SLV FO 1	543970	10000	Si
0	152	-	3642	1700	-4566	329	0	SLV FO 3	48333	10.56	0	0	-3145	SLV FO 1	543970	10000	Si
0	153	-	3642	1850	-4561	329	-1	SLV FO 3	48333	10.57	0	0	-2751	SLV FO 1	543970	10000	Si
0	154	-	3642	2000	-4560	-321	3	SLV FO 1	48333	10.57	0	0	-2361	SLV FO 1	543970	10000	Si
0	155	-	3642	2150	-4563	-321	0	SLV FO 1	48333	10.57	0	0	-1975	SLV FO 1	543970	10000	Si
0	156	-	3642	2350	-6115	319	0	SLV FO 3	48333	7.89	0	0	3116	SLV FO 1	543970	10000	Si
0	157	-	3642	2450	-6113	319	-1	SLV FO 3	48333	7.9	0	0	3612	SLV FO 1	543970	10000	Si
0	158	-	3642	2550	-6111	319	-1	SLV FO 3	48333	7.9	0	0	4087	SLV FO 1	543970	10000	Si
0	159	-	3642	2650	-6113	-317	2	SLV FO 1	48333	7.9	0	0	4560	SLV FO 1	543970	10000	Si
0	160	-	3642	2750	-6114	-317	0	SLV FO 1	48333	7.89	0	0	5014	SLV FO 1	543970	10000	Si
-78	125	-	3062	1700	736	0	0	SLU 18	48333	65.71	-13	205169	-5096	SLU 18	543970	2.56	Si
-78	126	-	3062	1850	736	0	0	SLU 18	48333	65.71	-6	205175	-5102	SLU 18	543970	2.56	Si
-78	127	-	3062	2000	736	0	0	SLU 18	48333	65.71	3	205176	-5102	SLU 18	543970	2.56	Si
-78	128	-	3062	2150	736	0	0	SLU 18	48333	65.71	10	205171	-5096	SLU 18	543970	2.56	Si
-78	129	-	3062	2350	0	0	0	SLU 1	48333	10000	22	-276	-3025	SLU 18	543970	1892.5	Si
-78	130	-	3062	2450	-1	0	0	SLU 1	48333	10000	11	-309	-5895	SLU 17	543970	1696.64	Si
-78	131	-	3062	2550	-1	0	0	SLU 1	48333	10000	3	-313	-5893	SLU 17	543970	1672.79	Si
-78	132	-	3062	2650	-1	0	0	SLU 1	48333	10000	-5	-311	-5895	SLU 17	543970	1685.71	Si
-78	133	-	3062	2750	0	0	0	SLU 1	48333	10000	-16	-281	-3025	SLU 18	543970	1866.28	Si
-78	134	-	3255	1700	736	0	0	SLU 18	48333	65.69	-8	205223	-4511	SLU 18	543970	2.56	Si
-78	135	-	3255	1850	736	0	0	SLU 17	48333	65.69	-3	205228	-8989	SLU 17	543970	2.56	Si
-78	136	-	3255	2000	736	0	0	SLU 17	48333	65.69	2	205229	-8989	SLU 17	543970	2.56	Si
-78	137	-	3255	2150	736	0	0	SLU 18	48333	65.69	8	205225	-4511	SLU 18	543970	2.56	Si
-78	138	-	3255	2350	0	0	0	SLU 1	48333	10000	-25	-82	-8147	SLU 18	543970	6101.93	Si
-78	139	-	3255	2450	0	0	0	SLU 1	48333	10000	-14	-92	-11320	SLU 17	543970	5645.6	Si
-78	140	-	3255	2550	0	0	0	SLU 1	48333	10000	1	-97	-11289	SLU 17	543970	5395.6	Si
-78	141	-	3255	2650	0	0	0	SLU 1	48333	10000	16	-94	-11320	SLU 17	543970	5499.5	Si
-78	142	-	3255	2750	0	0	0	SLU 1	48333	10000	-48	108	-12974	SLU 2	543970	4443.29	Si
-78	143	-	3449	1700	736	0	0	SLU 17	48333	65.67	-10	205290	-8542	SLU 17	543970	2.55	Si
-78	144	-	3449	1850	736	0	0	SLU 18	48333	65.67	-3	205297	-4105	SLU 18	543970	2.55	Si
-78	145	-	3449	2000	736	0	0	SLU 18	48333	65.67	4	205298	-4105	SLU 18	543970	2.55	Si
-78	146	-	3449	2150	736	0	0	SLU 17	48333	65.67	11	205292	-8542	SLU 17	543970	2.55	Si
-78	147	-	3449	2350	0	0	0	SLU 1	48333	10000	48	-108	-12976	SLU 2	543970	4444.74	Si
-78	148	-	3449	2450	0	0	0	SLU 1	48333	10000	-16	94	-11322	SLU 17	543970	5502.03	Si
-78	149	-	3449	2550	0	0	0	SLU 1	48333	10000	-1	97	-11291	SLU 17	543970	5399.57	Si
-78	150	-	3449	2650	0	0	0	SLU 1	48333	10000	13	92	-11322	SLU 17	543970	5648.09	Si
-78	151	-	3449	2750	0	0	0	SLU 1	48333	10000	25	82	-8148	SLU 18	543970	6099.77	Si
-78	152	-	3642	1700	736	0	0	SLU 17	48333	65.64	-1	205388	-6555	SLU 17	543970	2.55	Si
-78	153	-	3642	1850	736	0	0	SLU 17	48333	65.64	0	205402	-6557	SLU 17	543970	2.55	Si
-78	154	-	3642	2000	736	0	0	SLU 17	48333	65.64	3	205403	-6557	SLU 17	543970	2.55	Si
-78	155	-	3642	2150	736	0	0	SLU 17	48333	65.64	3	205390	-6555	SLU 17	543970	2.55	Si
-78	156	-	3642	2350	0	0	0	SLU 1	48333	10000	14	282	-3031	SLU 18	543970	1860.46	Si
-78	157	-	3642	2450	1	0	0	SLU 1	48333	10000	6	311	-5903	SLU 17	543970	1687.8	Si
-78	158	-	3642	2550	1	0	0	SLU 1	48333	10000	-3	312	-5901	SLU 17	543970	1678.47	Si
-78	159	-	3642	2650	1	0	0	SLU 1	48333	10000	-12	308	-5903	SLU 17	543970	1698.82	Si
-78	160	-	3642	2750	0	0	0	SLU 1	48333	10000	-21	277	-3031	SLU 18	543970	1886.53	Si
-78	125	-	3062	1700	675	-45	0	SLD 3	48333	71.46	12671	188231	-7000	SLD 3	543970	2.78	Si
-78	126	-	3062	1850	674	-45	0	SLD 3	48333	71.53	12677	188062	-7207	SLD 3	543970	2.78	Si
-78	127	-	3062	2000	674	47	1	SLD 1	48333	71.53	-12983	188024	-7207	SLD 1	543970	2.78	Si
-78	128	-	3062	2150	674	47	0	SLD 1	48333	71.5	-12977	188117	-7002	SLD 1	543970	2.78	Si
-78	129	-	3062	2350	-635	45	0	SLD 13	48333	75.93	-12537	-177123	-1818	SLD 13	543970	2.95	Si
-78	130	-	3062	2450	-635	45	0	SLD 13	48333	75.95	-12543	-177061	-1567	SLD 13	543970	2.95	Si
-78	131	-	3062	2550	-634	-45	-1	SLD 15	48333	75.98	12657	-176982	-1328	SLD 15	543970	2.96	Si
-78	132	-	3062	2650	-635	-45	-1	SLD 15	48333	75.96	12654	-177043	-1567	SLD 15	543970	2.95	Si
-78	133	-	3062	2750	-635	-45	0	SLD 15	48333	75.94	12648	-177086	-1818	SLD 15	543970	2.95	Si
-78	134	-	3255	1700	675	-46	0	SLD 3	48333	71.45	12860	188251	-6010	SLD 3	543970	2.78	Si
-78	135	-	3255	1850	674	-46	0	SLD 3	48333	71.52	12862	188078	-6224	SLD 3	543970	2.78	Si
-78	136	-	3255	2000	674	46	1	SLD 1	48333	71.53	-12968	188040	-6224	SLD 1	543970	2.78	Si
-78	137	-	3255	2150	674	46	1	SLD 1	48333	71.49	-12966	188137	-6011	SLD 1	543970	2.78	Si
-78	138	-	3255	2350	-635	45	0	SLD 13	48333	75.97	-12658	-177006	-6044	SLD 13	543970	2.96	Si
-78	139	-	3255	2450	-634	45	0	SLD 13	48333	76.01	-12652	-176930	-5781	SLD 13	543970	2.96	Si
-78	140	-	3255	2550	-634	-45	-1	SLD 15	48333	76.04	12683	-176852	-5555	SLD 15	543970	2.96	Si
-78	141	-	3255	2650	-634	-45	0	SLD 15	48333	76.01	12690	-176911	-5781	SLD 15	543970	2.96	Si
-78	142	-	3255	2750	-634	-46	0	SLD 15	48333	75.99	12696	-176969	-6043	SLD 15	543970	2.96	Si
-																	

Interventi di miglioramento della diga di Cepparello nel Comune di Poggibonsi (SI)

ET.09.4 – Tabulati di calcolo_Canali fugadori con fondazioni su pali

Quota	Posizione					Taglio					PressoFlessione					Verifica	
	Filo	Ind.	Xp	Yp	Tx	Ty	Mt	Comb.	Vrd	C.S.tt	Mx	My	N	Comb.	Mrd		C.S.pf
-78	127	-	3062	2000	1063	75	1	SLV FO 1	48333	45.34	-20957	296611	-8473	SLV FO 1	543970	1.76	Si
-78	128	-	3062	2150	1064	75	0	SLV FO 1	48333	45.32	-20951	296763	-8146	SLV FO 1	543970	1.76	Si
-78	129	-	3062	2350	-1427	73	0	SLV FO 13	48333	33.84	-20233	-397926	2585	SLV FO 13	543970	1.32	Si
-78	130	-	3062	2450	-1426	73	0	SLV FO 13	48333	33.85	-20243	-397828	2990	SLV FO 13	543970	1.32	Si
-78	131	-	3062	2550	-1426	-73	-1	SLV FO 15	48333	33.86	20426	-397700	3376	SLV FO 15	543970	1.32	Si
-78	132	-	3062	2650	-1426	-73	-1	SLV FO 15	48333	33.85	20420	-397798	2990	SLV FO 15	543970	1.32	Si
-78	133	-	3062	2750	-1426	-73	0	SLV FO 15	48333	33.84	20409	-397865	2587	SLV FO 15	543970	1.32	Si
-78	134	-	3255	1700	1065	-74	0	SLV FO 3	48333	45.29	20755	296969	-6600	SLV FO 3	543970	1.76	Si
-78	135	-	3255	1850	1064	-74	0	SLV FO 3	48333	45.33	20759	296689	-6915	SLV FO 3	543970	1.76	Si
-78	136	-	3255	2000	1063	75	1	SLV FO 1	48333	45.34	-20931	296629	-6915	SLV FO 1	543970	1.76	Si
-78	137	-	3255	2150	1064	75	1	SLV FO 1	48333	45.31	-20927	296787	-6601	SLV FO 1	543970	1.76	Si
-78	138	-	3255	2350	-1426	73	0	SLV FO 13	48333	33.85	-20424	-397778	-5267	SLV FO 13	543970	1.32	Si
-78	139	-	3255	2450	-1426	73	0	SLV FO 13	48333	33.86	-20418	-397655	-4859	SLV FO 13	543970	1.32	Si
-78	140	-	3255	2550	-1425	-73	-1	SLV FO 15	48333	33.87	20470	-397529	-4499	SLV FO 15	543970	1.32	Si
-78	141	-	3255	2650	-1425	-73	0	SLV FO 15	48333	33.86	20478	-397625	-4859	SLV FO 15	543970	1.32	Si
-78	142	-	3255	2750	-1426	-73	0	SLV FO 15	48333	33.85	20485	-397717	-5267	SLV FO 15	543970	1.32	Si
-78	143	-	3449	1700	1065	-76	0	SLV FO 3	48333	45.28	21065	297017	-5053	SLV FO 3	543970	1.76	Si
-78	144	-	3449	1850	1064	-76	0	SLV FO 3	48333	45.32	21071	296738	-5349	SLV FO 3	543970	1.76	Si
-78	145	-	3449	2000	1064	75	1	SLV FO 1	48333	45.33	-20910	296678	-5349	SLV FO 1	543970	1.76	Si
-78	146	-	3449	2150	1064	75	1	SLV FO 1	48333	45.31	-20905	296835	-5052	SLV FO 1	543970	1.76	Si
-78	147	-	3449	2350	1426	-74	0	SLV FO 3	48333	33.85	20568	397782	-3860	SLV FO 3	543970	1.32	Si
-78	148	-	3449	2450	1426	-74	0	SLV FO 3	48333	33.86	20575	397657	-4161	SLV FO 3	543970	1.32	Si
-78	149	-	3449	2550	1425	-74	-1	SLV FO 3	48333	33.87	20583	397528	-4501	SLV FO 3	543970	1.32	Si
-78	150	-	3449	2650	1425	74	0	SLV FO 1	48333	33.86	-20519	397625	-4161	SLV FO 1	543970	1.32	Si
-78	151	-	3449	2750	1426	74	0	SLV FO 1	48333	33.85	-20512	397718	-3859	SLV FO 1	543970	1.32	Si
-78	152	-	3642	1700	1065	-77	0	SLV FO 3	48333	45.26	21392	297102	-1586	SLV FO 3	543970	1.76	Si
-78	153	-	3642	1850	1064	-77	0	SLV FO 3	48333	45.3	21391	296831	-1900	SLV FO 3	543970	1.76	Si
-78	154	-	3642	2000	1064	75	2	SLV FO 1	48333	45.32	-20907	296771	-1900	SLV FO 1	543970	1.76	Si
-78	155	-	3642	2150	1064	75	0	SLV FO 1	48333	45.29	-20908	296920	-1584	SLV FO 1	543970	1.76	Si
-78	156	-	3642	2350	1427	-75	0	SLV FO 3	48333	33.83	20783	397934	4124	SLV FO 3	543970	1.32	Si
-78	157	-	3642	2450	1426	-74	-1	SLV FO 3	48333	33.84	20775	397831	3754	SLV FO 3	543970	1.32	Si
-78	158	-	3642	2550	1426	-74	-1	SLV FO 3	48333	33.85	20768	397698	3368	SLV FO 3	543970	1.32	Si
-78	159	-	3642	2650	1426	74	1	SLV FO 1	48333	33.85	-20606	397799	3755	SLV FO 1	543970	1.32	Si
-78	160	-	3642	2750	1426	74	0	SLV FO 1	48333	33.84	-20614	397870	4126	SLV FO 1	543970	1.32	Si
-156	125	-	3062	1700	736	0	0	SLU 18	48333	65.71	-9	147875	-5157	SLU 18	543970	2.56	Si
-156	126	-	3062	1850	736	0	0	SLU 18	48333	65.71	-4	147879	-5163	SLU 18	543970	2.56	Si
-156	127	-	3062	2000	736	0	0	SLU 18	48333	65.71	2	147880	-5163	SLU 18	543970	2.56	Si
-156	128	-	3062	2150	736	0	0	SLU 18	48333	65.71	8	147876	-5157	SLU 18	543970	2.56	Si
-156	129	-	3062	2350	0	0	0	SLU 1	48333	10000	16	-199	-3086	SLU 18	543970	1892.5	Si
-156	130	-	3062	2450	-1	0	0	SLU 1	48333	10000	8	-223	-5956	SLU 17	543970	1696.64	Si
-156	131	-	3062	2550	-1	0	0	SLU 1	48333	10000	2	-226	-5954	SLU 17	543970	1672.79	Si
-156	132	-	3062	2650	-1	0	0	SLU 1	48333	10000	-4	-224	-5956	SLU 17	543970	1685.71	Si
-156	133	-	3062	2750	0	0	0	SLU 1	48333	10000	-12	-202	-3086	SLU 18	543970	1866.28	Si
-156	134	-	3255	1700	736	0	0	SLU 18	48333	65.69	-6	147914	-4572	SLU 18	543970	2.56	Si
-156	135	-	3255	1850	736	0	0	SLU 17	48333	65.69	-2	147917	-9050	SLU 17	543970	2.56	Si
-156	136	-	3255	2000	736	0	0	SLU 17	48333	65.69	2	147918	-9050	SLU 17	543970	2.56	Si
-156	137	-	3255	2150	736	0	0	SLU 18	48333	65.69	5	147915	-4571	SLU 18	543970	2.56	Si
-156	138	-	3255	2350	0	0	0	SLU 1	48333	10000	-18	-59	-8208	SLU 18	543970	6101.93	Si
-156	139	-	3255	2450	0	0	0	SLU 1	48333	10000	-10	-66	-11381	SLU 17	543970	5645.6	Si
-156	140	-	3255	2550	0	0	0	SLU 1	48333	10000	1	-70	-11350	SLU 17	543970	5395.6	Si
-156	141	-	3255	2650	0	0	0	SLU 1	48333	10000	11	-68	-11381	SLU 17	543970	5499.5	Si
-156	142	-	3255	2750	0	0	0	SLU 1	48333	10000	-34	78	-13021	SLU 2	543970	4443.29	Si
-156	143	-	3449	1700	736	0	0	SLU 17	48333	65.67	-8	147962	-8603	SLU 17	543970	2.55	Si
-156	144	-	3449	1850	736	0	0	SLU 18	48333	65.67	-2	147967	-4166	SLU 18	543970	2.55	Si
-156	145	-	3449	2000	736	0	0	SLU 18	48333	65.67	3	147968	-4166	SLU 18	543970	2.55	Si
-156	146	-	3449	2150	736	0	0	SLU 17	48333	65.67	8	147963	-8603	SLU 17	543970	2.55	Si
-156	147	-	3449	2350	0	0	0	SLU 1	48333	10000	34	-78	-13023	SLU 2	543970	4444.74	Si
-156	148	-	3449	2450	0	0	0	SLU 1	48333	10000	-11	68	-11383	SLU 17	543970	5502.03	Si
-156	149	-	3449	2550	0	0	0	SLU 1	48333	10000	-1	70	-11352	SLU 17	543970	5399.57	Si
-156	150	-	3449	2650	0	0	0	SLU 1	48333	10000	10	66	-11383	SLU 17	543970	5648.09	Si
-156	151	-	3449	2750	0	0	0	SLU 1	48333	10000	18	59	-8209	SLU 18	543970	6099.77	Si
-156	152	-	3642	1700	736	0	0	SLU 17	48333	65.64	0	148033	-6616	SLU 17	543970	2.55	Si
-156	153	-	3642	1850	736	0	0	SLU 17	48333	65.64	0	148043	-6618	SLU 17	543970	2.55	Si
-156	154	-	3642	2000	736	0	0	SLU 17	48333	65.64	2	148043	-6618	SLU 17	543970	2.55	Si
-156	155	-	3642	2150	736	0	0	SLU 17	48333	65.64	2	148034	-6616	SLU 17	543970	2.55	Si
-156	156	-	3642	2350	0	0	0	SLU 1	48333	10000	10	203	-3092	SLU 18	543970	1860.46	Si
-156	157	-	3642	2450	1	0	0	SLU 1	48333	10000	4	224	-5964	SLU 17	543970	1687.8	Si
-156	158	-	3642	2550	1	0	0	SLU 1	48333	10000	-2	225	-5962	SLU 17	543970	1678.47	Si
-156	159	-	3642	2650	1	0	0	SLU 1	48333	10000	-9	222	-5964	SLU 17	543970	1698.82	Si
-156	160	-	3642	2750	0	0	0	SLU 1	48333	10000	-15	200	-3092	SLU 18	543970	1886.53	Si
-156	125	-	3062	1700	675	-45	0	SLD 3	48333	71.46	9133	135667	-7047	SLD 3	543970	2.78	Si
-156	126	-	3062	1850	674	-45	0	SLD 3	48333	71.53	9137	135545	-7254	SLD 3	543970	2.78	Si
-156	127	-	3062	2000	674	47	1	SLD 1	48333	71.53	-9357	135518	-7254	SLD 1	543970	2.78	Si
-156	128	-	3062	2150	674	47	0	SLD 1	48333	71.5	-9353	135585	-7048	SLD 1	543970	2.78	Si
-156	129	-	3062	2350	-635	45	0	SLD 13	48333	75.93	-9036	-127660	-1865	SLD 13	543970	2.95	Si
-156	130	-	3062	2450	-635	45	0	SLD 13	48333	75.95	-9040	-127616	-1614	SLD 13	543970	2.95	Si
-156	131	-	3062	2550	-634												

Interventi di miglioramento della diga di Cepparello nel Comune di Poggibonsi (SI)

ET.09.4 – Tabulati di calcolo_Canali fuggatori con fondazioni su pali

Posizione					Taglio							PressoFlessione							Verifica
Quota	Filo	Ind.	Xp	Yp	Tx	Ty	Mt	Comb.	Vrd	C.S.tt	Mx	My	N	Comb.	Mrd	C.S.pf			
-156	153	-	3642	1850	675	-48	0	SLD 3	48333	71.47	9551	135627	-4001	SLD 3	543970	2.78	Si		
-156	154	-	3642	2000	674	46	1	SLD 1	48333	71.49	-9336	135600	-4000	SLD 1	543970	2.78	Si		
-156	155	-	3642	2150	675	46	0	SLD 1	48333	71.46	-9334	135668	-3800	SLD 1	543970	2.78	Si		
-156	156	-	3642	2350	635	-46	0	SLD 3	48333	75.91	9280	127664	-915	SLD 3	543970	2.95	Si		
-156	157	-	3642	2450	635	-46	0	SLD 3	48333	75.94	9277	127618	-1144	SLD 3	543970	2.95	Si		
-156	158	-	3642	2550	634	-46	0	SLD 3	48333	75.98	9275	127558	-1383	SLD 3	543970	2.96	Si		
-156	159	-	3642	2650	635	46	1	SLD 1	48333	75.95	-9201	127604	-1143	SLD 1	543970	2.95	Si		
-156	160	-	3642	2750	635	46	0	SLD 1	48333	75.93	-9205	127636	-914	SLD 1	543970	2.95	Si		
-156	125	-	3062	1700	1065	-73	0	SLV FO 3	48333	45.29	14742	214023	-8191	SLV FO 3	543970	1.76	Si		
-156	126	-	3062	1850	1064	-73	0	SLV FO 3	48333	45.34	14747	213824	-8519	SLV FO 3	543970	1.76	Si		
-156	127	-	3062	2000	1063	-75	1	SLV FO 1	48333	45.34	-15105	213781	-8519	SLV FO 1	543970	1.76	Si		
-156	128	-	3062	2150	1064	75	0	SLV FO 1	48333	45.32	-15100	213891	-8193	SLV FO 1	543970	1.76	Si		
-156	129	-	3062	2350	-1427	73	0	SLV FO 13	48333	33.84	-14583	-286804	2539	SLV FO 13	543970	1.32	Si		
-156	130	-	3062	2450	-1426	73	0	SLV FO 13	48333	33.85	-14590	-286733	2943	SLV FO 13	543970	1.32	Si		
-156	131	-	3062	2550	-1426	-73	-1	SLV FO 15	48333	33.86	14722	-286641	3329	SLV FO 15	543970	1.32	Si		
-156	132	-	3062	2650	-1426	-73	-1	SLV FO 15	48333	33.85	14717	-286712	2943	SLV FO 15	543970	1.32	Si		
-156	133	-	3062	2750	-1426	-73	0	SLV FO 15	48333	33.84	14710	-286760	2540	SLV FO 15	543970	1.32	Si		
-156	134	-	3255	1700	1065	-74	0	SLV FO 3	48333	45.29	14959	214040	-6647	SLV FO 3	543970	1.76	Si		
-156	135	-	3255	1850	1064	-74	0	SLV FO 3	48333	45.33	14962	213837	-6962	SLV FO 3	543970	1.76	Si		
-156	136	-	3255	2000	1063	75	1	SLV FO 1	48333	45.34	-15086	213794	-6962	SLV FO 1	543970	1.76	Si		
-156	137	-	3255	2150	1064	75	1	SLV FO 1	48333	45.31	-15083	213908	-6647	SLV FO 1	543970	1.76	Si		
-156	138	-	3255	2350	-1426	73	0	SLV FO 13	48333	33.85	-14721	-286697	-5314	SLV FO 13	543970	1.32	Si		
-156	139	-	3255	2450	-1426	73	0	SLV FO 13	48333	33.86	-14716	-286609	-4906	SLV FO 13	543970	1.32	Si		
-156	140	-	3255	2550	-1425	-73	-1	SLV FO 15	48333	33.87	14754	-286518	-4546	SLV FO 15	543970	1.32	Si		
-156	141	-	3255	2650	-1425	-73	0	SLV FO 15	48333	33.86	14760	-286587	-4906	SLV FO 15	543970	1.32	Si		
-156	142	-	3255	2750	-1426	-73	0	SLV FO 15	48333	33.85	14764	-286653	-5313	SLV FO 15	543970	1.32	Si		
-156	143	-	3449	1700	1065	-76	0	SLV FO 3	48333	45.28	15183	214074	-5100	SLV FO 3	543970	1.76	Si		
-156	144	-	3449	1850	1064	-76	0	SLV FO 3	48333	45.32	15187	213873	-5396	SLV FO 3	543970	1.76	Si		
-156	145	-	3449	2000	1064	75	1	SLV FO 1	48333	45.33	-15071	213830	-5396	SLV FO 1	543970	1.76	Si		
-156	146	-	3449	2150	1064	75	1	SLV FO 1	48333	45.31	-15067	213943	-5099	SLV FO 1	543970	1.76	Si		
-156	147	-	3449	2350	1426	-74	0	SLV FO 3	48333	33.85	14824	286700	-3906	SLV FO 3	543970	1.32	Si		
-156	148	-	3449	2450	1426	-74	0	SLV FO 3	48333	33.86	14829	286610	-4208	SLV FO 3	543970	1.32	Si		
-156	149	-	3449	2550	1425	-74	-1	SLV FO 3	48333	33.87	14835	286517	-4547	SLV FO 3	543970	1.32	Si		
-156	150	-	3449	2650	1425	74	0	SLV FO 1	48333	33.86	-14789	286587	-4208	SLV FO 1	543970	1.32	Si		
-156	151	-	3449	2750	1426	74	0	SLV FO 1	48333	33.85	-14784	286654	-3906	SLV FO 1	543970	1.32	Si		
-156	152	-	3642	1700	1065	-77	0	SLV FO 3	48333	45.26	15418	214136	-1633	SLV FO 3	543970	1.76	Si		
-156	153	-	3642	1850	1064	-77	0	SLV FO 3	48333	45.3	15418	213940	-1947	SLV FO 3	543970	1.76	Si		
-156	154	-	3642	2000	1064	75	2	SLV FO 1	48333	45.32	-15069	213897	-1947	SLV FO 1	543970	1.76	Si		
-156	155	-	3642	2150	1064	75	0	SLV FO 1	48333	45.29	-15069	214004	-1631	SLV FO 1	543970	1.76	Si		
-156	156	-	3642	2350	1427	-75	0	SLV FO 3	48333	33.83	14979	286810	4078	SLV FO 3	543970	1.32	Si		
-156	157	-	3642	2450	1426	-74	-1	SLV FO 3	48333	33.84	14974	286735	3707	SLV FO 3	543970	1.32	Si		
-156	158	-	3642	2550	1426	-74	-1	SLV FO 3	48333	33.85	14969	286639	3321	SLV FO 3	543970	1.32	Si		
-156	159	-	3642	2650	1426	74	1	SLV FO 1	48333	33.85	-14852	286712	3708	SLV FO 1	543970	1.32	Si		
-156	160	-	3642	2750	1426	74	0	SLV FO 1	48333	33.84	-14857	286764	4079	SLV FO 1	543970	1.32	Si		
-234	125	-	3062	1700	696	0	0	SLU 18	48333	69.4	-6	91799	-4022	SLU 18	543970	4.79	Si		
-234	126	-	3062	1850	696	0	0	SLU 18	48333	69.39	-2	91802	-4027	SLU 18	543970	4.79	Si		
-234	127	-	3062	2000	696	0	0	SLU 18	48333	69.39	1	91802	-4027	SLU 18	543970	4.79	Si		
-234	128	-	3062	2150	696	0	0	SLU 18	48333	69.4	5	91800	-4022	SLU 18	543970	4.79	Si		
-234	129	-	3062	2350	0	0	0	SLU 1	48333	10000	10	-124	-2394	SLU 18	543970	3547.92	Si		
-234	130	-	3062	2450	0	0	0	SLU 1	48333	10000	5	-138	-4651	SLU 17	543970	3180.73	Si		
-234	131	-	3062	2550	0	0	0	SLU 1	48333	10000	1	-140	-4649	SLU 17	543970	3136.03	Si		
-234	132	-	3062	2650	0	0	0	SLU 1	48333	10000	-2	-139	-4651	SLU 17	543970	3160.25	Si		
-234	133	-	3062	2750	0	0	0	SLU 1	48333	10000	-7	-126	-2394	SLU 18	543970	3498.76	Si		
-234	134	-	3255	1700	697	0	0	SLU 18	48333	69.38	-4	91823	-3562	SLU 18	543970	4.79	Si		
-234	135	-	3255	1850	697	0	0	SLU 17	48333	69.38	-1	91825	-7083	SLU 17	543970	4.79	Si		
-234	136	-	3255	2000	697	0	0	SLU 17	48333	69.38	1	91825	-7083	SLU 17	543970	4.79	Si		
-234	137	-	3255	2150	697	0	0	SLU 18	48333	69.38	3	91824	-3562	SLU 18	543970	4.79	Si		
-234	138	-	3255	2350	0	0	0	SLU 1	48333	10000	-5	-18	-5088	SLU 1	543970	10000	Si		
-234	139	-	3255	2450	0	0	0	SLU 1	48333	10000	-2	-19	-5061	SLU 1	543970	10000	Si		
-234	140	-	3255	2550	0	0	0	SLU 1	48333	10000	0	-20	-5054	SLU 1	543970	10000	Si		
-234	141	-	3255	2650	0	0	0	SLU 1	48333	10000	3	-19	-5061	SLU 1	543970	10000	Si		
-234	142	-	3255	2750	0	0	0	SLU 1	48333	10000	-21	48	-10214	SLU 2	543970	8329.94	Si		
-234	143	-	3449	1700	697	0	0	SLU 17	48333	69.36	-5	91853	-6732	SLU 17	543970	4.79	Si		
-234	144	-	3449	1850	697	0	0	SLU 18	48333	69.35	-2	91856	-3243	SLU 18	543970	4.79	Si		
-234	145	-	3449	2000	697	0	0	SLU 18	48333	69.35	2	91856	-3243	SLU 18	543970	4.79	Si		
-234	146	-	3449	2150	697	0	0	SLU 17	48333	69.36	5	91854	-6732	SLU 17	543970	4.79	Si		
-234	147	-	3449	2350	0	0	0	SLU 1	48333	10000	21	-48	-10215	SLU 2	543970	8332.68	Si		
-234	148	-	3449	2450	0	0	0	SLU 1	48333	10000	-3	19	-5062	SLU 1	543970	10000	Si		
-234	149	-	3449	2550	0	0	0	SLU 1	48333	10000	0	20	-5055	SLU 1	543970	10000	Si		
-234	150	-	3449	2650	0	0	0	SLU 1	48333	10000	2	19	-5062	SLU 1	543970	10000	Si		
-234	151	-	3449	2750	0	0	0	SLU 1	48333	10000	5	18	-5089	SLU 1	543970	10000	Si		
-234	152	-	3642	1700	697	0	0	SLU 17	48333	69.32	0	91897	-5169	SLU 17	543970	4.79	Si		
-234	153	-	3642	1850	697	0	0	SLU 17	48333	69.32	0	91903	-5171	SLU 17	543970	4.79	Si		
-234	154	-	3642	2000	697	0	0	SLU 17	48333	69.32	1	91903	-5171	SLU 17	543970	4.79	Si		
-234	155	-	3642	2150	697	0	0	SLU 17	48333	69.32	1	91898	-5169	SLU 17	543970	4.79	Si		
-234	156	-	3642	2350	0	0	0	SLU 1	48333	10000	6	126	-2399	SLU 18	543970	3487.85	Si		
-234	157	-	3642	2450															

Interventi di miglioramento della diga di Cepparello nel Comune di Poggibonsi (SI)

ET.09.4 – Tabulati di calcolo_Canali fagatori con fondazioni su pali

Posizione					Taglio					PressoFlessione					Verifica		
Quota	Filo	Ind.	Xp	Yp	Tx	Ty	Mt	Comb.	Vrd	C.S.tt	Mx	My	N	Comb.	Mrd	C.S.pf	
-234	143	-	3449	1700	639	-44	0	SLD 3	48333	75.44	5839	84245	-4176	SLD 3	543970	5.21	Si
-234	144	-	3449	1850	639	-44	0	SLD 3	48333	75.51	5841	84167	-4335	SLD 3	543970	5.21	Si
-234	145	-	3449	2000	638	-44	0	SLD 1	48333	75.53	-5797	84150	-4335	SLD 1	543970	5.22	Si
-234	146	-	3449	2150	639	44	0	SLD 1	48333	75.49	-5795	84194	-4175	SLD 1	543970	5.21	Si
-234	147	-	3449	2350	601	-43	0	SLD 3	48333	80.23	5701	79199	-4079	SLD 3	543970	5.54	Si
-234	148	-	3449	2450	601	-43	0	SLD 3	48333	80.26	5703	79164	-4218	SLD 3	543970	5.54	Si
-234	149	-	3449	2550	600	-43	0	SLD 3	48333	80.3	5706	79128	-4381	SLD 3	543970	5.54	Si
-234	150	-	3449	2650	601	43	0	SLD 1	48333	80.27	-5688	79155	-4218	SLD 1	543970	5.54	Si
-234	151	-	3449	2750	601	43	0	SLD 1	48333	80.25	-5685	79181	-4078	SLD 1	543970	5.54	Si
-234	152	-	3642	1700	639	-45	0	SLD 3	48333	75.41	5928	84272	-2964	SLD 3	543970	5.21	Si
-234	153	-	3642	1850	639	-45	0	SLD 3	48333	75.48	5929	84195	-3121	SLD 3	543970	5.21	Si
-234	154	-	3642	2000	639	44	0	SLD 1	48333	75.5	-5796	84179	-3120	SLD 1	543970	5.21	Si
-234	155	-	3642	2150	639	44	0	SLD 1	48333	75.46	-5795	84221	-2963	SLD 1	543970	5.21	Si
-234	156	-	3642	2350	601	-44	0	SLD 3	48333	80.17	5761	79252	-694	SLD 3	543970	5.54	Si
-234	157	-	3642	2450	601	-44	0	SLD 3	48333	80.2	5759	79223	-874	SLD 3	543970	5.54	Si
-234	158	-	3642	2550	601	-44	0	SLD 3	48333	80.24	5757	79187	-1062	SLD 3	543970	5.54	Si
-234	159	-	3642	2650	601	43	0	SLD 1	48333	80.21	-5712	79215	-874	SLD 1	543970	5.54	Si
-234	160	-	3642	2750	601	43	0	SLD 1	48333	80.19	-5714	79235	-694	SLD 1	543970	5.54	Si
-234	125	-	3062	1700	1008	-69	0	SLV FO 3	48333	47.84	9152	132862	-6416	SLV FO 3	543970	3.3	Si
-234	126	-	3062	1850	1007	-69	0	SLV FO 3	48333	47.88	9155	132739	-6673	SLV FO 3	543970	3.31	Si
-234	127	-	3062	2000	1007	71	1	SLV FO 1	48333	47.88	-9377	132713	-6674	SLV FO 1	543970	3.31	Si
-234	128	-	3062	2150	1007	71	0	SLV FO 1	48333	47.86	-9374	132781	-6417	SLV FO 1	543970	3.3	Si
-234	129	-	3062	2350	-1351	69	0	SLV FO 13	48333	35.73	-9053	-178044	2021	SLV FO 13	543970	2.47	Si
-234	130	-	3062	2450	-1350	69	0	SLV FO 13	48333	35.74	-9057	-178000	2339	SLV FO 13	543970	2.47	Si
-234	131	-	3062	2550	-1350	-69	0	SLV FO 15	48333	35.75	9139	-177943	2643	SLV FO 15	543970	2.47	Si
-234	132	-	3062	2650	-1350	-69	0	SLV FO 15	48333	35.75	9136	-177987	2340	SLV FO 15	543970	2.47	Si
-234	133	-	3062	2750	-1351	-69	0	SLV FO 15	48333	35.74	9132	-178017	2022	SLV FO 15	543970	2.47	Si
-234	134	-	3255	1700	1008	-70	0	SLV FO 3	48333	47.83	9286	132873	-5201	SLV FO 3	543970	3.3	Si
-234	135	-	3255	1850	1007	-70	0	SLV FO 3	48333	47.87	9288	132747	-5449	SLV FO 3	543970	3.31	Si
-234	136	-	3255	2000	1007	71	1	SLV FO 1	48333	47.88	-9365	132721	-5449	SLV FO 1	543970	3.31	Si
-234	137	-	3255	2150	1007	71	1	SLV FO 1	48333	47.86	-9364	132791	-5202	SLV FO 1	543970	3.3	Si
-234	138	-	3255	2350	-1350	69	0	SLV FO 13	48333	35.75	-9139	-177978	-4153	SLV FO 13	543970	2.47	Si
-234	139	-	3255	2450	-1350	69	0	SLV FO 13	48333	35.76	-9136	-177923	-3833	SLV FO 13	543970	2.47	Si
-234	140	-	3255	2550	-1349	-69	0	SLV FO 15	48333	35.77	9159	-177866	-3549	SLV FO 15	543970	2.47	Si
-234	141	-	3255	2650	-1350	-70	0	SLV FO 15	48333	35.76	9163	-177909	-3832	SLV FO 15	543970	2.47	Si
-234	142	-	3255	2750	-1350	-70	0	SLV FO 15	48333	35.75	9166	-177950	-4153	SLV FO 15	543970	2.47	Si
-234	143	-	3449	1700	1008	-72	0	SLV FO 3	48333	47.82	9425	132894	-3985	SLV FO 3	543970	3.3	Si
-234	144	-	3449	1850	1007	-72	0	SLV FO 3	48333	47.86	9428	132769	-4218	SLV FO 3	543970	3.3	Si
-234	145	-	3449	2000	1007	71	1	SLV FO 1	48333	47.87	-9356	132743	-4218	SLV FO 1	543970	3.31	Si
-234	146	-	3449	2150	1008	71	1	SLV FO 1	48333	47.85	-9353	132813	-3984	SLV FO 1	543970	3.3	Si
-234	147	-	3449	2350	1350	-70	0	SLV FO 3	48333	35.75	9203	177980	-3046	SLV FO 3	543970	2.47	Si
-234	148	-	3449	2450	1350	-70	0	SLV FO 3	48333	35.76	9206	177924	-3284	SLV FO 3	543970	2.47	Si
-234	149	-	3449	2550	1349	-70	0	SLV FO 3	48333	35.77	9209	177866	-3551	SLV FO 3	543970	2.47	Si
-234	150	-	3449	2650	1350	70	0	SLV FO 1	48333	35.76	-9181	177909	-3284	SLV FO 1	543970	2.47	Si
-234	151	-	3449	2750	1350	70	0	SLV FO 1	48333	35.75	-9178	177951	-3046	SLV FO 1	543970	2.47	Si
-234	152	-	3642	1700	1009	-73	0	SLV FO 3	48333	47.8	9572	132933	-1259	SLV FO 3	543970	3.3	Si
-234	153	-	3642	1850	1008	-73	0	SLV FO 3	48333	47.84	9571	132811	-1506	SLV FO 3	543970	3.3	Si
-234	154	-	3642	2000	1007	71	1	SLV FO 1	48333	47.86	-9354	132784	-1505	SLV FO 1	543970	3.3	Si
-234	155	-	3642	2150	1008	71	0	SLV FO 1	48333	47.83	-9355	132851	-1257	SLV FO 1	543970	3.3	Si
-234	156	-	3642	2350	1351	-71	0	SLV FO 3	48333	35.73	9299	178048	3232	SLV FO 3	543970	2.47	Si
-234	157	-	3642	2450	1350	-71	0	SLV FO 3	48333	35.74	9295	178002	2940	SLV FO 3	543970	2.47	Si
-234	158	-	3642	2550	1350	-70	0	SLV FO 3	48333	35.75	9292	177942	2637	SLV FO 3	543970	2.47	Si
-234	159	-	3642	2650	1350	70	0	SLV FO 1	48333	35.74	-9220	177987	2941	SLV FO 1	543970	2.47	Si
-234	160	-	3642	2750	1351	70	0	SLV FO 1	48333	35.74	-9223	178019	3233	SLV FO 1	543970	2.47	Si
-312	125	-	3062	1700	696	0	0	SLU 18	48333	69.4	-2	37547	-4083	SLU 18	543970	4.79	Si
-312	126	-	3062	1850	696	0	0	SLU 18	48333	69.39	-1	37548	-4088	SLU 18	543970	4.79	Si
-312	127	-	3062	2000	696	0	0	SLU 18	48333	69.39	1	37548	-4088	SLU 18	543970	4.79	Si
-312	128	-	3062	2150	696	0	0	SLU 18	48333	69.4	2	37547	-4083	SLU 18	543970	4.79	Si
-312	129	-	3062	2350	0	0	0	SLU 1	48333	10000	4	-51	-2455	SLU 18	543970	3547.92	Si
-312	130	-	3062	2450	0	0	0	SLU 1	48333	10000	2	-57	-4712	SLU 17	543970	3180.73	Si
-312	131	-	3062	2550	0	0	0	SLU 1	48333	10000	1	-57	-4710	SLU 17	543970	3136.03	Si
-312	132	-	3062	2650	0	0	0	SLU 1	48333	10000	-1	-57	-4712	SLU 17	543970	3160.25	Si
-312	133	-	3062	2750	0	0	0	SLU 1	48333	10000	-3	-51	-2455	SLU 18	543970	3498.76	Si
-312	134	-	3255	1700	697	0	0	SLU 18	48333	69.38	-2	37557	-3623	SLU 18	543970	4.79	Si
-312	135	-	3255	1850	697	0	0	SLU 17	48333	69.38	-1	37558	-7144	SLU 17	543970	4.79	Si
-312	136	-	3255	2000	697	0	0	SLU 17	48333	69.38	0	37558	-7144	SLU 17	543970	4.79	Si
-312	137	-	3255	2150	697	0	0	SLU 18	48333	69.38	1	37557	-3623	SLU 18	543970	4.79	Si
-312	138	-	3255	2350	0	0	0	SLU 1	48333	10000	-2	-7	-5135	SLU 1	543970	10000	Si
-312	139	-	3255	2450	0	0	0	SLU 1	48333	10000	-1	-8	-5108	SLU 1	543970	10000	Si
-312	140	-	3255	2550	0	0	0	SLU 1	48333	10000	0	-8	-5100	SLU 1	543970	10000	Si
-312	141	-	3255	2650	0	0	0	SLU 1	48333	10000	1	-8	-5108	SLU 1	543970	10000	Si
-312	142	-	3255	2750	0	0	0	SLU 1	48333	10000	-9	20	-10261	SLU 2	543970	8329.94	Si
-312	143	-	3449	1700	697	0	0	SLU 17	48333	69.36	-2	37569	-6793	SLU 17	543970	4.79	Si
-312	144	-	3449	1850	697	0	0	SLU 18	48333	69.35	-1	37571	-3304	SLU 18	543970	4.79	Si
-312	145	-	3449	2000	697	0	0	SLU 18	48333	69.35	1	37571	-3304	SLU 18	543970	4.79	Si
-312	146	-	3449	2150	697	0	0	SLU 17	48333	69.36	2	37570	-6793	SLU 17	543970	4.79	Si
-312	147	-	3449	2350	0	0</											

Interventi di miglioramento della diga di Cepparello nel Comune di Poggibonsi (SI)

ET.09.4 – Tabulati di calcolo_Canali fuggatori con fondazioni su pali

Posizione						Taglio						PressoFlessione						Verifica
Quota	Filo	Ind.	Xp	Yp	Tx	Ty	Mt	Comb.	Vrd	C.S.tt	Mx	My	N	Comb.	Mrd	C.S.pf		
-312	133	-	3062	2750	-601	-43	0	SLD 15	48333	80.2	2315	-32408	-1488	SLD 15	543970	5.54	Si	
-312	134	-	3255	1700	639	-44	0	SLD 3	48333	75.46	2353	34451	-4784	SLD 3	543970	5.21	Si	
-312	135	-	3255	1850	638	-44	0	SLD 3	48333	75.53	2354	34419	-4952	SLD 3	543970	5.22	Si	
-312	136	-	3255	2000	638	44	0	SLD 1	48333	75.54	-2373	34412	-4952	SLD 1	543970	5.22	Si	
-312	137	-	3255	2150	639	44	0	SLD 1	48333	75.5	-2373	34430	-4785	SLD 1	543970	5.21	Si	
-312	138	-	3255	2350	-601	43	0	SLD 13	48333	80.23	-2316	-32393	-4811	SLD 13	543970	5.54	Si	
-312	139	-	3255	2450	-601	43	0	SLD 13	48333	80.27	-2315	-32379	-4604	SLD 13	543970	5.54	Si	
-312	140	-	3255	2550	-600	-43	0	SLD 15	48333	80.3	2321	-32365	-4426	SLD 15	543970	5.54	Si	
-312	141	-	3255	2650	-601	-43	0	SLD 15	48333	80.28	2322	-32376	-4604	SLD 15	543970	5.54	Si	
-312	142	-	3255	2750	-601	-43	0	SLD 15	48333	80.25	2323	-32386	-4811	SLD 15	543970	5.54	Si	
-312	143	-	3449	1700	639	-44	0	SLD 3	48333	75.44	2388	34458	-4222	SLD 3	543970	5.21	Si	
-312	144	-	3449	1850	639	-44	0	SLD 3	48333	75.51	2389	34426	-4382	SLD 3	543970	5.21	Si	
-312	145	-	3449	2000	638	44	0	SLD 1	48333	75.53	-2371	34419	-4382	SLD 1	543970	5.22	Si	
-312	146	-	3449	2150	639	44	0	SLD 1	48333	75.49	-2370	34437	-4222	SLD 1	543970	5.21	Si	
-312	147	-	3449	2350	601	-43	0	SLD 3	48333	80.23	2332	32394	-4125	SLD 3	543970	5.54	Si	
-312	148	-	3449	2450	601	-43	0	SLD 3	48333	80.26	2333	32379	-4265	SLD 3	543970	5.54	Si	
-312	149	-	3449	2550	600	-43	0	SLD 3	48333	80.3	2334	32365	-4427	SLD 3	543970	5.54	Si	
-312	150	-	3449	2650	601	43	0	SLD 1	48333	80.27	-2326	32376	-4265	SLD 1	543970	5.54	Si	
-312	151	-	3449	2750	601	43	0	SLD 1	48333	80.25	-2325	32386	-4125	SLD 1	543970	5.54	Si	
-312	152	-	3642	1700	639	-45	0	SLD 3	48333	75.41	2425	34468	-3011	SLD 3	543970	5.21	Si	
-312	153	-	3642	1850	639	-45	0	SLD 3	48333	75.48	2425	34437	-3167	SLD 3	543970	5.21	Si	
-312	154	-	3642	2000	639	44	0	SLD 1	48333	75.5	-2371	34430	-3167	SLD 1	543970	5.21	Si	
-312	155	-	3642	2150	639	44	0	SLD 1	48333	75.46	-2370	34448	-3010	SLD 1	543970	5.21	Si	
-312	156	-	3642	2350	601	-44	0	SLD 3	48333	80.17	2356	32415	-741	SLD 3	543970	5.54	Si	
-312	157	-	3642	2450	601	-44	0	SLD 3	48333	80.2	2356	32404	-921	SLD 3	543970	5.54	Si	
-312	158	-	3642	2550	601	-44	0	SLD 3	48333	80.24	2355	32389	-1109	SLD 3	543970	5.54	Si	
-312	159	-	3642	2650	601	43	0	SLD 1	48333	80.21	-2336	32400	-921	SLD 1	543970	5.54	Si	
-312	160	-	3642	2750	601	43	0	SLD 1	48333	80.19	-2337	32408	-740	SLD 1	543970	5.54	Si	
-312	125	-	3062	1700	1008	-69	0	SLV FO 3	48333	47.84	3743	54343	-6462	SLV FO 3	543970	3.3	Si	
-312	126	-	3062	1850	1007	-69	0	SLV FO 3	48333	47.88	3744	54292	-6720	SLV FO 3	543970	3.31	Si	
-312	127	-	3062	2000	1007	71	1	SLV FO 1	48333	47.88	-3835	54282	-6721	SLV FO 1	543970	3.31	Si	
-312	128	-	3062	2150	1007	71	0	SLV FO 1	48333	47.86	-3834	54309	-6464	SLV FO 1	543970	3.3	Si	
-312	129	-	3062	2350	-1351	69	0	SLV FO 13	48333	35.73	-3703	-72823	1975	SLV FO 13	543970	2.47	Si	
-312	130	-	3062	2450	-1350	69	0	SLV FO 13	48333	35.74	-3705	-72805	2293	SLV FO 13	543970	2.47	Si	
-312	131	-	3062	2550	-1350	-69	0	SLV FO 15	48333	35.75	3738	-72781	2596	SLV FO 15	543970	2.47	Si	
-312	132	-	3062	2650	-1350	-69	0	SLV FO 15	48333	35.75	3737	-72799	2293	SLV FO 15	543970	2.47	Si	
-312	133	-	3062	2750	-1351	-69	0	SLV FO 15	48333	35.74	3735	-72812	1976	SLV FO 15	543970	2.47	Si	
-312	134	-	3255	1700	1008	-70	0	SLV FO 3	48333	47.83	3798	54347	-5248	SLV FO 3	543970	3.3	Si	
-312	135	-	3255	1850	1007	-70	0	SLV FO 3	48333	47.87	3799	54296	-5496	SLV FO 3	543970	3.31	Si	
-312	136	-	3255	2000	1007	71	1	SLV FO 1	48333	47.88	-3831	54285	-5496	SLV FO 1	543970	3.31	Si	
-312	137	-	3255	2150	1007	71	1	SLV FO 1	48333	47.86	-3830	54314	-5249	SLV FO 1	543970	3.3	Si	
-312	138	-	3255	2350	-1350	69	0	SLV FO 13	48333	35.75	-3738	-72796	-4200	SLV FO 13	543970	2.47	Si	
-312	139	-	3255	2450	-1350	69	0	SLV FO 13	48333	35.76	-3737	-72773	-3879	SLV FO 13	543970	2.47	Si	
-312	140	-	3255	2550	-1349	-69	0	SLV FO 15	48333	35.77	3746	-72750	-3596	SLV FO 15	543970	2.47	Si	
-312	141	-	3255	2650	-1350	-70	0	SLV FO 15	48333	35.76	3748	-72768	-3879	SLV FO 15	543970	2.47	Si	
-312	142	-	3255	2750	-1350	-70	0	SLV FO 15	48333	35.75	3749	-72785	-4200	SLV FO 15	543970	2.47	Si	
-312	143	-	3449	1700	1008	-72	0	SLV FO 3	48333	47.82	3855	54356	-4032	SLV FO 3	543970	3.3	Si	
-312	144	-	3449	1850	1007	-72	0	SLV FO 3	48333	47.86	3856	54305	-4265	SLV FO 3	543970	3.3	Si	
-312	145	-	3449	2000	1007	71	1	SLV FO 1	48333	47.87	-3827	54294	-4265	SLV FO 1	543970	3.31	Si	
-312	146	-	3449	2150	1008	71	1	SLV FO 1	48333	47.85	-3826	54323	-4031	SLV FO 1	543970	3.3	Si	
-312	147	-	3449	2350	1350	-70	0	SLV FO 3	48333	35.75	3764	72796	-3093	SLV FO 3	543970	2.47	Si	
-312	148	-	3449	2450	1350	-70	0	SLV FO 3	48333	35.76	3765	72774	-3331	SLV FO 3	543970	2.47	Si	
-312	149	-	3449	2550	1349	-70	0	SLV FO 3	48333	35.77	3767	72750	-3597	SLV FO 3	543970	2.47	Si	
-312	150	-	3449	2650	1350	70	0	SLV FO 1	48333	35.76	-3755	72768	-3331	SLV FO 1	543970	2.47	Si	
-312	151	-	3449	2750	1350	70	0	SLV FO 1	48333	35.75	-3754	72785	-3093	SLV FO 1	543970	2.47	Si	
-312	152	-	3642	1700	1009	-73	0	SLV FO 3	48333	47.8	3915	54371	-1306	SLV FO 3	543970	3.3	Si	
-312	153	-	3642	1850	1008	-73	0	SLV FO 3	48333	47.84	3915	54322	-1553	SLV FO 3	543970	3.3	Si	
-312	154	-	3642	2000	1007	71	1	SLV FO 1	48333	47.86	-3826	54311	-1552	SLV FO 1	543970	3.3	Si	
-312	155	-	3642	2150	1008	71	0	SLV FO 1	48333	47.83	-3826	54338	-1304	SLV FO 1	543970	3.3	Si	
-312	156	-	3642	2350	1351	-71	0	SLV FO 3	48333	35.73	3803	72824	3185	SLV FO 3	543970	2.47	Si	
-312	157	-	3642	2450	1350	-71	0	SLV FO 3	48333	35.74	3802	72805	2893	SLV FO 3	543970	2.47	Si	
-312	158	-	3642	2550	1350	-70	0	SLV FO 3	48333	35.75	3801	72781	2590	SLV FO 3	543970	2.47	Si	
-312	159	-	3642	2650	1350	70	0	SLV FO 1	48333	35.74	-3771	72800	2894	SLV FO 1	543970	2.47	Si	
-312	160	-	3642	2750	1351	70	0	SLV FO 1	48333	35.74	-3772	72813	3186	SLV FO 1	543970	2.47	Si	
-428	125	-	3062	1700	123	0	0	SLU 18	48333	392.38	0	1128	-2812	SLU 18	543970	50.42	Si	
-428	126	-	3062	1850	123	0	0	SLU 18	48333	392.36	0	1128	-2816	SLU 18	543970	50.42	Si	
-428	127	-	3062	2000	123	0	0	SLU 18	48333	392.36	0	1128	-2816	SLU 18	543970	50.42	Si	
-428	128	-	3062	2150	123	0	0	SLU 18	48333	392.37	0	1128	-2812	SLU 18	543970	50.42	Si	
-428	129	-	3062	2350	0	0	0	SLU 1	48333	10000	0	-1	-2835	SLU 1	543970	10000	Si	
-428	130	-	3062	2450	0	0	0	SLU 1	48333	10000	0	-1	-2831	SLU 1	543970	10000	Si	
-428	131	-	3062	2550	0	0	0	SLU 1	48333	10000	0	-1	-2831	SLU 1	543970	10000	Si	
-428	132	-	3062	2650	0	0	0	SLU 1	48333	10000	0	-1	-2831	SLU 1	543970	10000	Si	
-428	133	-	3062	2750	0	0	0	SLU 1	48333	10000	0	-1	-2835	SLU 1	543970	10000	Si	
-428	134	-	3255	1700	123	0	0	SLU 18	48333	392.27	0	1128	-2494	SLU 18	543970	50.41	Si	
-428	135	-	3255	1850	123	0	0	SLU 17	48333	392.26	0	1128	-4929	SLU 17	543970	50.41	Si	
-428	136	-	3255	2000	123	0	0	SLU 17	48333	392.26	0	1128	-4929	SLU 17	543970	50.41	Si	
-428	137	-	3255	2150	123	0												

Interventi di miglioramento della diga di Cepparello nel Comune di Poggibonsi (SI)

ET.09.4 – Tabulati di calcolo_Canali fugadori con fondazioni su pali

Posizione					Taglio							PressoFlessione						Verifica
Quota	Filo	Ind.	Xp	Yp	Tx	Ty	Mt	Comb.	Vrd	C.S.tt	Mx	My	N	Comb.	Mrd	C.S.pf		
-428	159	-	3642	2650	0	0	0	SLU 1	48333	10000	0	1	-2835	SLU 1	543970	10000	Si	
-428	160	-	3642	2750	0	0	0	SLU 1	48333	10000	0	1	-2839	SLU 1	543970	10000	Si	
-428	125	-	3062	1700	113	-8	0	SLD 3	48333	426.72	70	1035	-3838	SLD 3	543970	54.84	Si	
-428	126	-	3062	1850	113	-8	0	SLD 3	48333	427.1	70	1034	-3950	SLD 3	543970	54.89	Si	
-428	127	-	3062	2000	113	8	0	SLD 1	48333	427.14	-71	1034	-3950	SLD 1	543970	54.89	Si	
-428	128	-	3062	2150	113	8	0	SLD 1	48333	426.93	-71	1034	-3839	SLD 1	543970	54.86	Si	
-428	129	-	3062	2350	-106	8	0	SLD 13	48333	453.37	-69	-974	-1021	SLD 13	543970	58.26	Si	
-428	130	-	3062	2450	-106	8	0	SLD 13	48333	453.53	-69	-973	-884	SLD 13	543970	58.28	Si	
-428	131	-	3062	2550	-106	-8	0	SLD 15	48333	453.71	70	-973	-754	SLD 15	543970	58.31	Si	
-428	132	-	3062	2650	-106	-8	0	SLD 15	48333	453.55	70	-973	-884	SLD 15	543970	58.29	Si	
-428	133	-	3062	2750	-106	-8	0	SLD 15	48333	453.44	70	-974	-1020	SLD 15	543970	58.27	Si	
-428	134	-	3255	1700	113	-8	0	SLD 3	48333	426.64	71	1035	-3300	SLD 3	543970	54.83	Si	
-428	135	-	3255	1850	113	-8	0	SLD 3	48333	427.03	71	1034	-3416	SLD 3	543970	54.88	Si	
-428	136	-	3255	2000	113	8	0	SLD 1	48333	427.1	-71	1034	-3416	SLD 1	543970	54.89	Si	
-428	137	-	3255	2150	113	8	0	SLD 1	48333	426.88	-71	1034	-3300	SLD 1	543970	54.86	Si	
-428	138	-	3255	2350	-106	8	0	SLD 13	48333	453.65	-70	-973	-3318	SLD 13	543970	58.3	Si	
-428	139	-	3255	2450	-106	8	0	SLD 13	48333	453.84	-70	-973	-3175	SLD 13	543970	58.32	Si	
-428	140	-	3255	2550	-106	-8	0	SLD 15	48333	454.04	70	-972	-3052	SLD 15	543970	58.35	Si	
-428	141	-	3255	2650	-106	-8	0	SLD 15	48333	453.88	70	-973	-3175	SLD 15	543970	58.33	Si	
-428	142	-	3255	2750	-106	-8	0	SLD 15	48333	453.73	70	-973	-3318	SLD 15	543970	58.31	Si	
-428	143	-	3449	1700	113	-8	0	SLD 3	48333	426.53	72	1035	-2911	SLD 3	543970	54.81	Si	
-428	144	-	3449	1850	113	-8	0	SLD 3	48333	426.93	72	1034	-3021	SLD 3	543970	54.86	Si	
-428	145	-	3449	2000	113	8	0	SLD 1	48333	427.03	-71	1034	-3021	SLD 1	543970	54.88	Si	
-428	146	-	3449	2150	113	8	0	SLD 1	48333	426.81	-71	1034	-2911	SLD 1	543970	54.85	Si	
-428	147	-	3449	2350	106	-8	0	SLD 3	48333	453.62	70	973	-2844	SLD 3	543970	58.3	Si	
-428	148	-	3449	2450	106	-8	0	SLD 3	48333	453.82	70	973	-2940	SLD 3	543970	58.32	Si	
-428	149	-	3449	2550	106	-8	0	SLD 3	48333	454.02	70	972	-3053	SLD 3	543970	58.35	Si	
-428	150	-	3449	2650	106	8	0	SLD 1	48333	453.88	-70	973	-2940	SLD 1	543970	58.33	Si	
-428	151	-	3449	2750	106	8	0	SLD 1	48333	453.73	-70	973	-2844	SLD 1	543970	58.31	Si	
-428	152	-	3642	1700	113	-8	0	SLD 3	48333	426.37	73	1035	-2073	SLD 3	543970	54.79	Si	
-428	153	-	3642	1850	113	-8	0	SLD 3	48333	426.75	73	1034	-2182	SLD 3	543970	54.84	Si	
-428	154	-	3642	2000	113	8	0	SLD 1	48333	426.88	-71	1034	-2181	SLD 1	543970	54.86	Si	
-428	155	-	3642	2150	113	8	0	SLD 1	48333	426.67	-71	1035	-2073	SLD 1	543970	54.83	Si	
-428	156	-	3642	2350	106	-8	0	SLD 3	48333	453.3	71	974	-504	SLD 3	543970	58.25	Si	
-428	157	-	3642	2450	106	-8	0	SLD 3	48333	453.46	71	973	-628	SLD 3	543970	58.27	Si	
-428	158	-	3642	2550	106	-8	0	SLD 3	48333	453.67	71	973	-758	SLD 3	543970	58.3	Si	
-428	159	-	3642	2650	106	8	0	SLD 1	48333	453.53	-70	973	-628	SLD 1	543970	58.28	Si	
-428	160	-	3642	2750	106	8	0	SLD 1	48333	453.42	-70	974	-503	SLD 1	543970	58.27	Si	
-428	125	-	3062	1700	178	-12	0	SLV FO 3	48333	270.46	112	1632	-4460	SLV FO 3	543970	34.76	Si	
-428	126	-	3062	1850	178	-12	0	SLV FO 3	48333	270.71	112	1631	-4638	SLV FO 3	543970	34.79	Si	
-428	127	-	3062	2000	178	13	0	SLV FO 1	48333	270.74	-115	1631	-4639	SLV FO 1	543970	34.79	Si	
-428	128	-	3062	2150	178	13	0	SLV FO 1	48333	270.6	-115	1631	-4461	SLV FO 1	543970	34.77	Si	
-428	129	-	3062	2350	-239	12	0	SLV FO 13	48333	202.05	-111	-2188	1374	SLV FO 13	543970	25.96	Si	
-428	130	-	3062	2450	-239	12	0	SLV FO 13	48333	202.1	-111	-2187	1594	SLV FO 13	543970	25.97	Si	
-428	131	-	3062	2550	-239	-12	0	SLV FO 15	48333	202.16	112	-2186	1804	SLV FO 15	543970	25.98	Si	
-428	132	-	3062	2650	-239	-12	0	SLV FO 15	48333	202.11	112	-2187	1594	SLV FO 15	543970	25.97	Si	
-428	133	-	3062	2750	-239	-12	0	SLV FO 15	48333	202.07	112	-2187	1375	SLV FO 15	543970	25.97	Si	
-428	134	-	3255	1700	178	-12	0	SLV FO 3	48333	270.42	114	1633	-3620	SLV FO 3	543970	34.75	Si	
-428	135	-	3255	1850	178	-12	0	SLV FO 3	48333	270.68	114	1631	-3792	SLV FO 3	543970	34.78	Si	
-428	136	-	3255	2000	178	13	0	SLV FO 1	48333	270.72	-115	1631	-3792	SLV FO 1	543970	34.79	Si	
-428	137	-	3255	2150	178	13	0	SLV FO 1	48333	270.58	-115	1632	-3621	SLV FO 1	543970	34.77	Si	
-428	138	-	3255	2350	-239	12	0	SLV FO 13	48333	202.12	-112	-2187	-2896	SLV FO 13	543970	25.97	Si	
-428	139	-	3255	2450	-239	12	0	SLV FO 13	48333	202.18	-112	-2186	-2674	SLV FO 13	543970	25.98	Si	
-428	140	-	3255	2550	-239	-12	0	SLV FO 15	48333	202.24	113	-2185	-2478	SLV FO 15	543970	25.99	Si	
-428	141	-	3255	2650	-239	-12	0	SLV FO 15	48333	202.19	113	-2186	-2674	SLV FO 15	543970	25.98	Si	
-428	142	-	3255	2750	-239	-12	0	SLV FO 15	48333	202.15	113	-2186	-2895	SLV FO 15	543970	25.98	Si	
-428	143	-	3449	1700	178	-13	0	SLV FO 3	48333	270.36	116	1633	-2779	SLV FO 3	543970	34.74	Si	
-428	144	-	3449	1850	178	-13	0	SLV FO 3	48333	270.61	116	1631	-2940	SLV FO 3	543970	34.78	Si	
-428	145	-	3449	2000	178	13	0	SLV FO 1	48333	270.68	-115	1631	-2940	SLV FO 1	543970	34.78	Si	
-428	146	-	3449	2150	178	13	0	SLV FO 1	48333	270.54	-115	1632	-2779	SLV FO 1	543970	34.77	Si	
-428	147	-	3449	2350	239	-12	0	SLV FO 3	48333	202.11	113	2187	-2130	SLV FO 3	543970	25.97	Si	
-428	148	-	3449	2450	239	-12	0	SLV FO 3	48333	202.17	113	2186	-2295	SLV FO 3	543970	25.98	Si	
-428	149	-	3449	2550	239	-12	0	SLV FO 3	48333	202.24	113	2185	-2479	SLV FO 3	543970	25.99	Si	
-428	150	-	3449	2650	239	12	0	SLV FO 1	48333	202.19	-113	2186	-2294	SLV FO 1	543970	25.98	Si	
-428	151	-	3449	2750	239	12	0	SLV FO 1	48333	202.14	-113	2186	-2130	SLV FO 1	543970	25.98	Si	
-428	152	-	3642	1700	178	-13	0	SLV FO 3	48333	270.26	118	1633	-894	SLV FO 3	543970	34.73	Si	
-428	153	-	3642	1850	178	-13	0	SLV FO 3	48333	270.51	118	1632	-1065	SLV FO 3	543970	34.76	Si	
-428	154	-	3642	2000	178	13	0	SLV FO 1	48333	270.59	-115	1631	-1065	SLV FO 1	543970	34.77	Si	
-428	155	-	3642	2150	178	13	0	SLV FO 1	48333	270.46	-115	1632	-893	SLV FO 1	543970	34.76	Si	
-428	156	-	3642	2350	239	-12	0	SLV FO 3	48333	202.03	114	2188	2211	SLV FO 3	543970	25.96	Si	
-428	157	-	3642	2450	239	-12	0	SLV FO 3	48333	202.08	114	2187	2009	SLV FO 3	543970	25.97	Si	
-428	158	-	3642	2550	239	-12	0	SLV FO 3	48333	202.15	114	2186	1799	SLV FO 3	543970	25.98	Si	
-428	159	-	3642	2650	239	12	0	SLV FO 1	48333	202.1	-113	2187	2010	SLV FO 1	543970	25.97	Si	
-428	160	-	3642	2750	239	12	0	SLV FO 1	48333	202.06	-113	2187	2211	SLV FO 1	543970	25.97	Si	
-506	125	-	3062	1700	123	0	0	SLU 18	48333	392.38	1	-8467	-2873	SLU 18	543970	50.42	Si	
-506	126	-	3062	1850	123	0	0	SLU 18	48333	392.36	0	-8468	-2877	SLU 18	543970	50.42	Si	
-506	127	-	3062	2000	123	0	0	SLU 18	48333	392.36	0	-8468	-2877	SLU 18				

Interventi di miglioramento della diga di Cepparello nel Comune di Poggibonsi (SI)

ET.09.4 – Tabulati di calcolo_Canali fuggatori con fondazioni su pali

Posizione					Taglio							PressoFlessione							Verifica
Quota	Filo	Ind.	Xp	Yp	Tx	Ty	Mt	Comb.	Vrd	C.S.tt	Mx	My	N	Comb.	Mrd	C.S.pf			
-506	149	-	3449	2550	0	0	0	SLU 1	48333	10000	0	-2	-3566	SLU 1	543970	10000	Si		
-506	150	-	3449	2650	0	0	0	SLU 1	48333	10000	0	-2	-3571	SLU 1	543970	10000	Si		
-506	151	-	3449	2750	0	0	0	SLU 1	48333	10000	0	-2	-3590	SLU 1	543970	10000	Si		
-506	152	-	3642	1700	123	0	0	SLU 17	48333	391.96	0	-8476	-3666	SLU 17	543970	50.37	Si		
-506	153	-	3642	1850	123	0	0	SLU 17	48333	391.93	0	-8477	-3668	SLU 17	543970	50.37	Si		
-506	154	-	3642	2000	123	0	0	SLU 17	48333	391.93	0	-8477	-3668	SLU 17	543970	50.37	Si		
-506	155	-	3642	2150	123	0	0	SLU 17	48333	391.95	0	-8476	-3666	SLU 17	543970	50.37	Si		
-506	156	-	3642	2350	0	0	0	SLU 1	48333	10000	0	-6	-2886	SLU 1	543970	10000	Si		
-506	157	-	3642	2450	0	0	0	SLU 1	48333	10000	0	-6	-2882	SLU 1	543970	10000	Si		
-506	158	-	3642	2550	0	0	0	SLU 1	48333	10000	0	-6	-2882	SLU 1	543970	10000	Si		
-506	159	-	3642	2650	0	0	0	SLU 1	48333	10000	0	-6	-2882	SLU 1	543970	10000	Si		
-506	160	-	3642	2750	0	0	0	SLU 1	48333	10000	0	-5	-2886	SLU 1	543970	10000	Si		
-506	125	-	3062	1700	113	-8	0	SLD 3	48333	426.72	-523	-7768	-3885	SLD 3	543970	54.84	Si		
-506	126	-	3062	1850	113	-8	0	SLD 3	48333	427.1	-523	-7761	-3997	SLD 3	543970	54.89	Si		
-506	127	-	3062	2000	113	8	0	SLD 1	48333	427.14	536	-7760	-3997	SLD 1	543970	54.89	Si		
-506	128	-	3062	2150	113	8	0	SLD 1	48333	426.93	536	-7764	-3886	SLD 1	543970	54.86	Si		
-506	129	-	3062	2350	-106	8	0	SLD 13	48333	453.37	517	7310	-1067	SLD 13	543970	58.26	Si		
-506	130	-	3062	2450	-106	8	0	SLD 13	48333	453.53	518	7307	-931	SLD 13	543970	58.28	Si		
-506	131	-	3062	2550	-106	-8	0	SLD 15	48333	453.71	-522	7304	-801	SLD 15	543970	58.31	Si		
-506	132	-	3062	2650	-106	-8	0	SLD 15	48333	453.55	-522	7306	-931	SLD 15	543970	58.29	Si		
-506	133	-	3062	2750	-106	-8	0	SLD 15	48333	453.44	-522	7308	-1067	SLD 15	543970	58.27	Si		
-506	134	-	3255	1700	113	-8	0	SLD 3	48333	426.64	-531	-7769	-3346	SLD 3	543970	54.83	Si		
-506	135	-	3255	1850	113	-8	0	SLD 3	48333	427.03	-531	-7762	-3463	SLD 3	543970	54.88	Si		
-506	136	-	3255	2000	113	8	0	SLD 1	48333	427.1	535	-7760	-3463	SLD 1	543970	54.89	Si		
-506	137	-	3255	2150	113	8	0	SLD 1	48333	426.88	535	-7764	-3347	SLD 1	543970	54.86	Si		
-506	138	-	3255	2350	-106	8	0	SLD 13	48333	453.65	522	7305	-3365	SLD 13	543970	58.3	Si		
-506	139	-	3255	2450	-106	8	0	SLD 13	48333	453.84	522	7302	-3222	SLD 13	543970	58.32	Si		
-506	140	-	3255	2550	-106	-8	0	SLD 15	48333	454.04	-523	7299	-3099	SLD 15	543970	58.35	Si		
-506	141	-	3255	2650	-106	-8	0	SLD 15	48333	453.88	-524	7301	-3222	SLD 15	543970	58.33	Si		
-506	142	-	3255	2750	-106	-8	0	SLD 15	48333	453.73	-524	7303	-3365	SLD 15	543970	58.31	Si		
-506	143	-	3449	1700	113	-8	0	SLD 3	48333	426.53	-539	-7771	-2958	SLD 3	543970	54.81	Si		
-506	144	-	3449	1850	113	-8	0	SLD 3	48333	426.93	-539	-7763	-3068	SLD 3	543970	54.86	Si		
-506	145	-	3449	2000	113	8	0	SLD 1	48333	427.03	535	-7762	-3068	SLD 1	543970	54.88	Si		
-506	146	-	3449	2150	113	8	0	SLD 1	48333	426.81	535	-7766	-2958	SLD 1	543970	54.85	Si		
-506	147	-	3449	2350	106	-8	0	SLD 3	48333	453.62	-526	-7305	-2891	SLD 3	543970	58.3	Si		
-506	148	-	3449	2450	106	-8	0	SLD 3	48333	453.82	-526	-7302	-2987	SLD 3	543970	58.32	Si		
-506	149	-	3449	2550	106	-8	0	SLD 3	48333	454.02	-526	-7299	-3100	SLD 3	543970	58.35	Si		
-506	150	-	3449	2650	106	8	0	SLD 1	48333	453.88	525	-7301	-2987	SLD 1	543970	58.33	Si		
-506	151	-	3449	2750	106	8	0	SLD 1	48333	453.73	524	-7303	-2891	SLD 1	543970	58.31	Si		
-506	152	-	3642	1700	113	-8	0	SLD 3	48333	426.37	-547	-7773	-2120	SLD 3	543970	54.79	Si		
-506	153	-	3642	1850	113	-8	0	SLD 3	48333	426.75	-547	-7766	-2228	SLD 3	543970	54.84	Si		
-506	154	-	3642	2000	113	8	0	SLD 1	48333	426.88	535	-7764	-2228	SLD 1	543970	54.86	Si		
-506	155	-	3642	2150	113	8	0	SLD 1	48333	426.67	534	-7768	-2119	SLD 1	543970	54.83	Si		
-506	156	-	3642	2350	106	-8	0	SLD 3	48333	453.3	-531	-7310	-551	SLD 3	543970	58.25	Si		
-506	157	-	3642	2450	106	-8	0	SLD 3	48333	453.46	-531	-7307	-675	SLD 3	543970	58.27	Si		
-506	158	-	3642	2550	106	-8	0	SLD 3	48333	453.67	-531	-7304	-805	SLD 3	543970	58.3	Si		
-506	159	-	3642	2650	106	8	0	SLD 1	48333	453.53	527	-7307	-675	SLD 1	543970	58.28	Si		
-506	160	-	3642	2750	106	8	0	SLD 1	48333	453.42	527	-7308	-550	SLD 1	543970	58.27	Si		
-506	125	-	3062	1700	178	-12	0	SLV FO 3	48333	270.46	-844	-12255	-4507	SLV FO 3	543970	34.76	Si		
-506	126	-	3062	1850	178	-12	0	SLV FO 3	48333	270.71	-844	-12243	-4685	SLV FO 3	543970	34.79	Si		
-506	127	-	3062	2000	178	13	0	SLV FO 1	48333	270.74	865	-12241	-4685	SLV FO 1	543970	34.79	Si		
-506	128	-	3062	2150	178	13	0	SLV FO 1	48333	270.6	865	-12247	-4508	SLV FO 1	543970	34.77	Si		
-506	129	-	3062	2350	-239	12	0	SLV FO 13	48333	202.05	835	16422	1327	SLV FO 13	543970	25.96	Si		
-506	130	-	3062	2450	-239	12	0	SLV FO 13	48333	202.1	835	16418	1547	SLV FO 13	543970	25.97	Si		
-506	131	-	3062	2550	-239	-12	0	SLV FO 15	48333	202.16	-843	16413	1757	SLV FO 15	543970	25.98	Si		
-506	132	-	3062	2650	-239	-12	0	SLV FO 15	48333	202.11	-843	16417	1547	SLV FO 15	543970	25.97	Si		
-506	133	-	3062	2750	-239	-12	0	SLV FO 15	48333	202.07	-842	16420	1328	SLV FO 15	543970	25.97	Si		
-506	134	-	3255	1700	178	-12	0	SLV FO 3	48333	270.42	-857	-12256	-3667	SLV FO 3	543970	34.75	Si		
-506	135	-	3255	1850	178	-12	0	SLV FO 3	48333	270.68	-857	-12244	-3839	SLV FO 3	543970	34.78	Si		
-506	136	-	3255	2000	178	13	0	SLV FO 1	48333	270.72	864	-12242	-3839	SLV FO 1	543970	34.79	Si		
-506	137	-	3255	2150	178	13	0	SLV FO 1	48333	270.58	864	-12248	-3668	SLV FO 1	543970	34.77	Si		
-506	138	-	3255	2350	-239	12	0	SLV FO 13	48333	202.12	843	16416	-2942	SLV FO 13	543970	25.97	Si		
-506	139	-	3255	2450	-239	12	0	SLV FO 13	48333	202.18	843	16411	-2721	SLV FO 13	543970	25.98	Si		
-506	140	-	3255	2550	-239	-12	0	SLV FO 15	48333	202.24	-845	16406	-2525	SLV FO 15	543970	25.99	Si		
-506	141	-	3255	2650	-239	-12	0	SLV FO 15	48333	202.19	-845	16410	-2721	SLV FO 15	543970	25.98	Si		
-506	142	-	3255	2750	-239	-12	0	SLV FO 15	48333	202.15	-845	16414	-2942	SLV FO 15	543970	25.98	Si		
-506	143	-	3449	1700	178	-13	0	SLV FO 3	48333	270.36	-869	-12258	-2826	SLV FO 3	543970	34.74	Si		
-506	144	-	3449	1850	178	-13	0	SLV FO 3	48333	270.61	-870	-12246	-2987	SLV FO 3	543970	34.78	Si		
-506	145	-	3449	2000	178	13	0	SLV FO 1	48333	270.68	863	-12244	-2987	SLV FO 1	543970	34.78	Si		
-506	146	-	3449	2150	178	13	0	SLV FO 1	48333	270.54	863	-12250	-2826	SLV FO 1	543970	34.77	Si		
-506	147	-	3449	2350	239	-12	0	SLV FO 3	48333	202.11	-849	-16416	-2177	SLV FO 3	543970	25.97	Si		
-506	148	-	3449	2450	239	-12	0	SLV FO 3	48333	202.17	-849	-16411	-2341	SLV FO 3	543970	25.98	Si		
-506	149	-	3449	2550	239	-12	0	SLV FO 3	48333	202.24	-849	-16406	-2526	SLV FO 3	543970	25.99	Si		
-506	150	-	3449	2650	239	12	0	SLV FO 1	48333	202.19	847	-16410	-2341	SLV FO 1	543970	25.98	Si		
-506	151	-	3449	2750	239	12	0	SLV FO 1	48333	202.14	847	-16414	-2177	SLV FO 1	543970	25.98	Si		
-506	152	-	3642	1700	178	-13	0	SLV FO 3	48333	270.26	-883	-12261	-941	SLV FO 3	543970	34.73	Si		
-506	153	-	3642	1850	178	-13	0	SLV FO 3	48333	270.51	-883	-12250	-1112	SL					

Interventi di miglioramento della diga di Cepparello nel Comune di Poggibonsi (SI)

ET.09.4 – Tabulati di calcolo_Canali fuggatori con fondazioni su pali

Posizione					Taglio							PressoFlessione					Verifica
Quota	Filo	Ind.	Xp	Yp	Tx	Ty	Mt	Comb.	Vrd	C.S.tt	Mx	My	N	Comb.	Mrd	C.S.pf	
-584	139	-	3255	2450	0	0	0	SLU 1	48333	10000	0	1	-2014	SLU 1	543970	10000	Si
-584	140	-	3255	2550	0	0	0	SLU 1	48333	10000	0	1	-2011	SLU 1	543970	10000	Si
-584	141	-	3255	2650	0	0	0	SLU 1	48333	10000	0	1	-2014	SLU 1	543970	10000	Si
-584	142	-	3255	2750	0	0	0	SLU 1	48333	10000	0	1	-2024	SLU 1	543970	10000	Si
-584	143	-	3449	1700	-56	0	0	SLU 17	48333	866.35	0	-4786	-2678	SLU 17	543970	60.94	Si
-584	144	-	3449	1850	-56	0	0	SLU 18	48333	866.32	0	-4786	-1307	SLU 18	543970	60.94	Si
-584	145	-	3449	2000	-56	0	0	SLU 18	48333	866.31	0	-4786	-1307	SLU 18	543970	60.94	Si
-584	146	-	3449	2150	-56	0	0	SLU 17	48333	866.34	0	-4786	-2678	SLU 17	543970	60.94	Si
-584	147	-	3449	2350	0	0	0	SLU 1	48333	10000	0	-1	-2025	SLU 1	543970	10000	Si
-584	148	-	3449	2450	0	0	0	SLU 1	48333	10000	0	-1	-2014	SLU 1	543970	10000	Si
-584	149	-	3449	2550	0	0	0	SLU 1	48333	10000	0	-1	-2011	SLU 1	543970	10000	Si
-584	150	-	3449	2650	0	0	0	SLU 1	48333	10000	0	-1	-2014	SLU 1	543970	10000	Si
-584	151	-	3449	2750	0	0	0	SLU 1	48333	10000	0	-1	-2025	SLU 1	543970	10000	Si
-584	152	-	3642	1700	-56	0	0	SLU 17	48333	865.93	0	-4788	-2064	SLU 17	543970	60.91	Si
-584	153	-	3642	1850	-56	0	0	SLU 17	48333	865.87	0	-4789	-2064	SLU 17	543970	60.91	Si
-584	154	-	3642	2000	-56	0	0	SLU 17	48333	865.87	0	-4789	-2064	SLU 17	543970	60.91	Si
-584	155	-	3642	2150	-56	0	0	SLU 17	48333	865.93	0	-4788	-2064	SLU 17	543970	60.91	Si
-584	156	-	3642	2350	0	0	0	SLU 1	48333	10000	0	-3	-1625	SLU 1	543970	10000	Si
-584	157	-	3642	2450	0	0	0	SLU 1	48333	10000	0	-3	-1623	SLU 1	543970	10000	Si
-584	158	-	3642	2550	0	0	0	SLU 1	48333	10000	0	-3	-1623	SLU 1	543970	10000	Si
-584	159	-	3642	2650	0	0	0	SLU 1	48333	10000	0	-3	-1623	SLU 1	543970	10000	Si
-584	160	-	3642	2750	0	0	0	SLU 1	48333	10000	0	-3	-1625	SLU 1	543970	10000	Si
-584	125	-	3062	1700	-51	3	0	SLD 3	48333	942.73	-295	-4388	-2193	SLD 3	543970	66.31	Si
-584	126	-	3062	1850	-51	3	0	SLD 3	48333	943.57	-296	-4384	-2256	SLD 3	543970	66.37	Si
-584	127	-	3062	2000	-51	-4	0	SLD 1	48333	943.66	303	-4384	-2257	SLD 1	543970	66.38	Si
-584	128	-	3062	2150	-51	-4	0	SLD 1	48333	943.19	303	-4386	-2193	SLD 1	543970	66.35	Si
-584	129	-	3062	2350	48	-3	0	SLD 13	48333	1001.62	292	4129	-591	SLD 13	543970	70.45	Si
-584	130	-	3062	2450	48	-3	0	SLD 13	48333	1001.96	292	4128	-513	SLD 13	543970	70.48	Si
-584	131	-	3062	2550	48	3	0	SLD 15	48333	1002.36	-295	4126	-439	SLD 15	543970	70.51	Si
-584	132	-	3062	2650	48	3	0	SLD 15	48333	1002.02	-295	4128	-513	SLD 15	543970	70.48	Si
-584	133	-	3062	2750	48	3	0	SLD 15	48333	1001.78	-295	4129	-591	SLD 15	543970	70.47	Si
-584	134	-	3255	1700	-51	3	0	SLD 3	48333	942.57	-300	-4389	-1887	SLD 3	543970	66.3	Si
-584	135	-	3255	1850	-51	3	0	SLD 3	48333	943.43	-300	-4385	-1953	SLD 3	543970	66.36	Si
-584	136	-	3255	2000	-51	-4	0	SLD 1	48333	943.58	302	-4384	-1953	SLD 1	543970	66.37	Si
-584	137	-	3255	2150	-51	-4	0	SLD 1	48333	943.1	302	-4386	-1887	SLD 1	543970	66.34	Si
-584	138	-	3255	2350	48	-3	0	SLD 13	48333	1002.23	295	4127	-1897	SLD 13	543970	70.5	Si
-584	139	-	3255	2450	48	-3	0	SLD 13	48333	1002.66	295	4125	-1816	SLD 13	543970	70.53	Si
-584	140	-	3255	2550	48	3	0	SLD 15	48333	1003.08	-296	4123	-1746	SLD 15	543970	70.56	Si
-584	141	-	3255	2650	48	3	0	SLD 15	48333	1002.74	-296	4125	-1816	SLD 15	543970	70.53	Si
-584	142	-	3255	2750	48	3	0	SLD 15	48333	1002.42	-296	4126	-1897	SLD 15	543970	70.51	Si
-584	143	-	3449	1700	-51	4	0	SLD 3	48333	942.32	-304	-4390	-1666	SLD 3	543970	66.28	Si
-584	144	-	3449	1850	-51	4	0	SLD 3	48333	943.19	-304	-4386	-1728	SLD 3	543970	66.35	Si
-584	145	-	3449	2000	-51	-4	0	SLD 1	48333	943.41	302	-4385	-1728	SLD 1	543970	66.36	Si
-584	146	-	3449	2150	-51	-4	0	SLD 1	48333	942.93	302	-4387	-1666	SLD 1	543970	66.33	Si
-584	147	-	3449	2350	-48	3	0	SLD 3	48333	1002.17	-297	-4127	-1628	SLD 3	543970	70.49	Si
-584	148	-	3449	2450	-48	3	0	SLD 3	48333	1002.61	-297	-4125	-1682	SLD 3	543970	70.52	Si
-584	149	-	3449	2550	-48	3	0	SLD 3	48333	1003.06	-297	-4123	-1746	SLD 3	543970	70.56	Si
-584	150	-	3449	2650	-48	-3	0	SLD 1	48333	1002.74	296	-4125	-1682	SLD 1	543970	70.53	Si
-584	151	-	3449	2750	-48	-3	0	SLD 1	48333	1002.41	296	-4126	-1628	SLD 1	543970	70.51	Si
-584	152	-	3642	1700	-51	4	0	SLD 3	48333	941.96	-309	-4391	-1190	SLD 3	543970	66.26	Si
-584	153	-	3642	1850	-51	4	0	SLD 3	48333	942.81	-309	-4387	-1251	SLD 3	543970	66.32	Si
-584	154	-	3642	2000	-51	-4	0	SLD 1	48333	943.1	302	-4386	-1251	SLD 1	543970	66.34	Si
-584	155	-	3642	2150	-51	-4	0	SLD 1	48333	942.63	302	-4388	-1189	SLD 1	543970	66.31	Si
-584	156	-	3642	2350	-48	3	0	SLD 3	48333	1001.45	-300	-4130	-297	SLD 3	543970	70.44	Si
-584	157	-	3642	2450	-48	3	0	SLD 3	48333	1001.81	-300	-4128	-368	SLD 3	543970	70.47	Si
-584	158	-	3642	2550	-48	3	0	SLD 3	48333	1002.28	-300	-4126	-442	SLD 3	543970	70.5	Si
-584	159	-	3642	2650	-48	-3	0	SLD 1	48333	1001.97	298	-4128	-368	SLD 1	543970	70.48	Si
-584	160	-	3642	2750	-48	-3	0	SLD 1	48333	1001.71	298	-4129	-297	SLD 1	543970	70.46	Si
-584	125	-	3062	1700	-81	6	0	SLV FO 3	48333	597.52	-477	-6923	-2546	SLV FO 3	543970	42.03	Si
-584	126	-	3062	1850	-81	6	0	SLV FO 3	48333	598.07	-477	-6917	-2647	SLV FO 3	543970	42.07	Si
-584	127	-	3062	2000	-81	-6	0	SLV FO 1	48333	598.12	489	-6915	-2648	SLV FO 1	543970	42.07	Si
-584	128	-	3062	2150	-81	-6	0	SLV FO 1	48333	597.82	488	-6919	-2547	SLV FO 1	543970	42.05	Si
-584	129	-	3062	2350	108	-5	0	SLV FO 13	48333	446.37	472	9277	770	SLV FO 13	543970	31.4	Si
-584	130	-	3062	2450	108	-6	0	SLV FO 13	48333	446.48	472	9275	895	SLV FO 13	543970	31.41	Si
-584	131	-	3062	2550	108	6	0	SLV FO 15	48333	446.61	-476	9272	1014	SLV FO 15	543970	31.42	Si
-584	132	-	3062	2650	108	6	0	SLV FO 15	48333	446.5	-476	9274	895	SLV FO 15	543970	31.41	Si
-584	133	-	3062	2750	108	6	0	SLV FO 15	48333	446.43	-476	9276	770	SLV FO 15	543970	31.4	Si
-584	134	-	3255	1700	-81	6	0	SLV FO 3	48333	597.44	-484	-6924	-2069	SLV FO 3	543970	42.02	Si
-584	135	-	3255	1850	-81	6	0	SLV FO 3	48333	598	-484	-6917	-2166	SLV FO 3	543970	42.06	Si
-584	136	-	3255	2000	-81	-6	0	SLV FO 1	48333	598.09	488	-6916	-2166	SLV FO 1	543970	42.07	Si
-584	137	-	3255	2150	-81	-6	0	SLV FO 1	48333	597.78	488	-6919	-2069	SLV FO 1	543970	42.05	Si
-584	138	-	3255	2350	108	-6	0	SLV FO 13	48333	446.53	476	9274	-1657	SLV FO 13	543970	31.41	Si
-584	139	-	3255	2450	108	-6	0	SLV FO 13	48333	446.66	476	9271	-1531	SLV FO 13	543970	31.42	Si
-584	140	-	3255	2550	108	6	0	SLV FO 15	48333	446.8	-477	9268	-1420	SLV FO 15	543970	31.43	Si
-584	141	-	3255	2650	108	6	0	SLV FO 15	48333	446.7	-477	9270	-1531	SLV FO 15	543970	31.42	Si
-584	142	-	3255	2750	108	6	0	SLV FO 15	48333	446.59	-478	9272	-1657	SLV FO 15	543970	31.41	Si
-584	143	-	3449	1700	-81	6	0	SLV FO 3	48333	597.3	-491	-6925	-1591	SLV FO 3	543970	42.01	Si
-584	144	-	3449	1850	-81	6	0	SLV FO 3	48333	597.85	-491	-6918	-1682	SLV FO 3	5439		

Interventi di miglioramento della diga di Cepparello nel Comune di Poggibonsi (SI)

ET.09.4 – Tabulati di calcolo_Canali fuggatori con fondazioni su pali

Posizione					Taglio						PressoFlessione						Verifica
Quota	Filo	Ind.	Xp	Yp	Tx	Ty	Mt	Comb.	Vrd	C.S.tt	Mx	My	N	Comb.	Mrd	C.S.pf	
-662	129	-	3062	2350	0	0	0	SLU 1	48333	10000	0	0	-1669	SLU 1	543970	10000	Si
-662	130	-	3062	2450	0	0	0	SLU 1	48333	10000	0	0	-1667	SLU 1	543970	10000	Si
-662	131	-	3062	2550	0	0	0	SLU 1	48333	10000	0	0	-1667	SLU 1	543970	10000	Si
-662	132	-	3062	2650	0	0	0	SLU 1	48333	10000	0	0	-1667	SLU 1	543970	10000	Si
-662	133	-	3062	2750	0	0	0	SLU 1	48333	10000	0	0	-1669	SLU 1	543970	10000	Si
-662	134	-	3255	1700	-56	0	0	SLU 18	48333	866.63	0	-440	-1493	SLU 18	543970	60.96	Si
-662	135	-	3255	1850	-56	0	0	SLU 17	48333	866.61	0	-440	-2877	SLU 17	543970	60.96	Si
-662	136	-	3255	2000	-56	0	0	SLU 17	48333	866.61	0	-440	-2877	SLU 17	543970	60.96	Si
-662	137	-	3255	2150	-56	0	0	SLU 18	48333	866.62	0	-440	-1493	SLU 18	543970	60.96	Si
-662	138	-	3255	2350	0	0	0	SLU 1	48333	10000	0	0	-2071	SLU 1	543970	10000	Si
-662	139	-	3255	2450	0	0	0	SLU 1	48333	10000	0	0	-2060	SLU 1	543970	10000	Si
-662	140	-	3255	2550	0	0	0	SLU 1	48333	10000	0	0	-2058	SLU 1	543970	10000	Si
-662	141	-	3255	2650	0	0	0	SLU 1	48333	10000	0	0	-2060	SLU 1	543970	10000	Si
-662	142	-	3255	2750	0	0	0	SLU 1	48333	10000	0	0	-2071	SLU 1	543970	10000	Si
-662	143	-	3449	1700	-56	0	0	SLU 17	48333	866.35	0	-440	-2739	SLU 17	543970	60.94	Si
-662	144	-	3449	1850	-56	0	0	SLU 18	48333	866.32	0	-440	-1368	SLU 18	543970	60.94	Si
-662	145	-	3449	2000	-56	0	0	SLU 18	48333	866.31	0	-440	-1368	SLU 18	543970	60.94	Si
-662	146	-	3449	2150	-56	0	0	SLU 17	48333	866.34	0	-440	-2739	SLU 17	543970	60.94	Si
-662	147	-	3449	2350	0	0	0	SLU 1	48333	10000	0	0	-2072	SLU 1	543970	10000	Si
-662	148	-	3449	2450	0	0	0	SLU 1	48333	10000	0	0	-2061	SLU 1	543970	10000	Si
-662	149	-	3449	2550	0	0	0	SLU 1	48333	10000	0	0	-2058	SLU 1	543970	10000	Si
-662	150	-	3449	2650	0	0	0	SLU 1	48333	10000	0	0	-2061	SLU 1	543970	10000	Si
-662	151	-	3449	2750	0	0	0	SLU 1	48333	10000	0	0	-2072	SLU 1	543970	10000	Si
-662	152	-	3642	1700	-56	0	0	SLU 17	48333	865.93	0	-441	-2125	SLU 17	543970	60.91	Si
-662	153	-	3642	1850	-56	0	0	SLU 17	48333	865.87	0	-441	-2125	SLU 17	543970	60.91	Si
-662	154	-	3642	2000	-56	0	0	SLU 17	48333	865.87	0	-441	-2125	SLU 17	543970	60.91	Si
-662	155	-	3642	2150	-56	0	0	SLU 17	48333	865.93	0	-441	-2125	SLU 17	543970	60.91	Si
-662	156	-	3642	2350	0	0	0	SLU 1	48333	10000	0	0	-1672	SLU 1	543970	10000	Si
-662	157	-	3642	2450	0	0	0	SLU 1	48333	10000	0	0	-1670	SLU 1	543970	10000	Si
-662	158	-	3642	2550	0	0	0	SLU 1	48333	10000	0	0	-1669	SLU 1	543970	10000	Si
-662	159	-	3642	2650	0	0	0	SLU 1	48333	10000	0	0	-1670	SLU 1	543970	10000	Si
-662	160	-	3642	2750	0	0	0	SLU 1	48333	10000	0	0	-1672	SLU 1	543970	10000	Si
-662	125	-	3062	1700	-51	3	0	SLD 3	48333	942.73	-27	-404	-2239	SLD 3	543970	66.31	Si
-662	126	-	3062	1850	-51	3	0	SLD 3	48333	943.57	-27	-403	-2303	SLD 3	543970	66.37	Si
-662	127	-	3062	2000	-51	-4	0	SLD 1	48333	943.66	28	-403	-2303	SLD 1	543970	66.38	Si
-662	128	-	3062	2150	-51	-4	0	SLD 1	48333	943.19	28	-404	-2240	SLD 1	543970	66.35	Si
-662	129	-	3062	2350	48	-3	0	SLD 13	48333	1001.62	27	380	-638	SLD 13	543970	70.45	Si
-662	130	-	3062	2450	48	-3	0	SLD 13	48333	1001.96	27	380	-560	SLD 13	543970	70.48	Si
-662	131	-	3062	2550	48	3	0	SLD 15	48333	1002.36	-27	380	-486	SLD 15	543970	70.51	Si
-662	132	-	3062	2650	48	3	0	SLD 15	48333	1002.02	-27	380	-560	SLD 15	543970	70.48	Si
-662	133	-	3062	2750	48	3	0	SLD 15	48333	1001.78	-27	380	-638	SLD 15	543970	70.47	Si
-662	134	-	3255	1700	-51	3	0	SLD 3	48333	942.57	-28	-404	-1933	SLD 3	543970	66.3	Si
-662	135	-	3255	1850	-51	3	0	SLD 3	48333	943.43	-28	-404	-1999	SLD 3	543970	66.36	Si
-662	136	-	3255	2000	-51	-4	0	SLD 1	48333	943.58	28	-403	-1999	SLD 1	543970	66.37	Si
-662	137	-	3255	2150	-51	-4	0	SLD 1	48333	943.1	28	-404	-1934	SLD 1	543970	66.34	Si
-662	138	-	3255	2350	48	-3	0	SLD 13	48333	1002.23	27	380	-1944	SLD 13	543970	70.5	Si
-662	139	-	3255	2450	48	-3	0	SLD 13	48333	1002.66	27	380	-1863	SLD 13	543970	70.53	Si
-662	140	-	3255	2550	48	3	0	SLD 15	48333	1003.08	-27	379	-1793	SLD 15	543970	70.56	Si
-662	141	-	3255	2650	48	3	0	SLD 15	48333	1002.74	-27	380	-1863	SLD 15	543970	70.53	Si
-662	142	-	3255	2750	48	3	0	SLD 15	48333	1002.42	-27	380	-1944	SLD 15	543970	70.51	Si
-662	143	-	3449	1700	-51	4	0	SLD 3	48333	942.32	-28	-404	-1713	SLD 3	543970	66.28	Si
-662	144	-	3449	1850	-51	4	0	SLD 3	48333	943.19	-28	-404	-1775	SLD 3	543970	66.35	Si
-662	145	-	3449	2000	-51	-4	0	SLD 1	48333	943.41	28	-404	-1775	SLD 1	543970	66.36	Si
-662	146	-	3449	2150	-51	-4	0	SLD 1	48333	942.93	28	-404	-1712	SLD 1	543970	66.33	Si
-662	147	-	3449	2350	-48	3	0	SLD 3	48333	1002.17	-27	-380	-1674	SLD 3	543970	70.49	Si
-662	148	-	3449	2450	-48	3	0	SLD 3	48333	1002.61	-27	-380	-1729	SLD 3	543970	70.52	Si
-662	149	-	3449	2550	-48	3	0	SLD 3	48333	1003.06	-27	-379	-1793	SLD 3	543970	70.56	Si
-662	150	-	3449	2650	-48	-3	0	SLD 1	48333	1002.74	27	-380	-1729	SLD 1	543970	70.53	Si
-662	151	-	3449	2750	-48	-3	0	SLD 1	48333	1002.41	27	-380	-1674	SLD 1	543970	70.51	Si
-662	152	-	3642	1700	-51	4	0	SLD 3	48333	941.96	-28	-404	-1236	SLD 3	543970	66.26	Si
-662	153	-	3642	1850	-51	4	0	SLD 3	48333	942.81	-28	-404	-1298	SLD 3	543970	66.32	Si
-662	154	-	3642	2000	-51	-4	0	SLD 1	48333	943.1	28	-404	-1298	SLD 1	543970	66.34	Si
-662	155	-	3642	2150	-51	-4	0	SLD 1	48333	942.63	28	-404	-1236	SLD 1	543970	66.31	Si
-662	156	-	3642	2350	-48	3	0	SLD 3	48333	1001.45	-28	-380	-344	SLD 3	543970	70.44	Si
-662	157	-	3642	2450	-48	3	0	SLD 3	48333	1001.81	-28	-380	-415	SLD 3	543970	70.47	Si
-662	158	-	3642	2550	-48	3	0	SLD 3	48333	1002.28	-28	-380	-489	SLD 3	543970	70.5	Si
-662	159	-	3642	2650	-48	-3	0	SLD 1	48333	1001.97	27	-380	-415	SLD 1	543970	70.48	Si
-662	160	-	3642	2750	-48	-3	0	SLD 1	48333	1001.71	27	-380	-344	SLD 1	543970	70.46	Si
-662	125	-	3062	1700	-81	6	0	SLV FO 3	48333	597.52	-44	-637	-2593	SLV FO 3	543970	42.03	Si
-662	126	-	3062	1850	-81	6	0	SLV FO 3	48333	598.07	-44	-636	-2694	SLV FO 3	543970	42.07	Si
-662	127	-	3062	2000	-81	-6	0	SLV FO 1	48333	598.12	45	-636	-2694	SLV FO 1	543970	42.07	Si
-662	128	-	3062	2150	-81	-6	0	SLV FO 1	48333	597.82	45	-637	-2594	SLV FO 1	543970	42.05	Si
-662	129	-	3062	2350	108	-5	0	SLV FO 13	48333	446.37	43	854	723	SLV FO 13	543970	31.4	Si
-662	130	-	3062	2450	108	-6	0	SLV FO 13	48333	446.48	43	854	848	SLV FO 13	543970	31.41	Si
-662	131	-	3062	2550	108	6	0	SLV FO 15	48333	446.61	-44	853	968	SLV FO 15	543970	31.42	Si
-662	132	-	3062	2650	108	6	0	SLV FO 15	48333	446.5	-44	853	848	SLV FO 15	543970	31.41	Si
-662	133	-	3062	2750	108	6	0	SLV FO 15	48333	446.43	-44	854	723	SLV FO 15	543970	31.4	Si
-662	134	-	3255	1700	-81	6	0	SLV FO 3	48333	597.44	-45	-637	-2116	SLV FO 3	543970	42.02	Si
-662	135	-	3255	1850	-81	6	0	SLV FO 3	48333	598	-45	-637	-2213	SLV FO 3	543970	42.	

Interventi di miglioramento della diga di Cepparello nel Comune di Poggibonsi (SI)

ET.09.4 – Tabulati di calcolo_Canali fuggatori con fondazioni su pali

Posizione					Taglio						PressoFlessione					Verifica	
Quota	Filo	Ind.	Xp	Yp	Tx	Ty	Mt	Comb.	Vrd	C.S.tt	Mx	My	N	Comb.	Mrd	C.S.pf	
-662	155	-	3642	2150	-81	-6	0	SLV FO 1	48333	597.51	45	-637	-566	SLV FO 1	543970	42.03	Si
-662	156	-	3642	2350	-108	6	0	SLV FO 3	48333	446.33	-45	-854	1199	SLV FO 3	543970	31.4	Si
-662	157	-	3642	2450	-108	6	0	SLV FO 3	48333	446.45	-45	-854	1084	SLV FO 3	543970	31.4	Si
-662	158	-	3642	2550	-108	6	0	SLV FO 3	48333	446.6	-45	-853	965	SLV FO 3	543970	31.41	Si
-662	159	-	3642	2650	-108	-6	0	SLV FO 1	48333	446.49	44	-853	1084	SLV FO 1	543970	31.41	Si
-662	160	-	3642	2750	-108	-6	0	SLV FO 1	48333	446.41	44	-854	1199	SLV FO 1	543970	31.4	Si
-740	125	-	3062	1700	0	0	0	SLU 1	48333	10000	0	0	-496	SLU 1	543970	10000	Si
-740	126	-	3062	1850	0	0	0	SLU 1	48333	10000	0	0	-497	SLU 1	543970	10000	Si
-740	127	-	3062	2000	0	0	0	SLU 1	48333	10000	0	0	-497	SLU 1	543970	10000	Si
-740	128	-	3062	2150	0	0	0	SLU 1	48333	10000	0	0	-496	SLU 1	543970	10000	Si
-740	129	-	3062	2350	0	0	0	SLU 1	48333	10000	0	0	-434	SLU 1	543970	10000	Si
-740	130	-	3062	2450	0	0	0	SLU 1	48333	10000	0	0	-433	SLU 1	543970	10000	Si
-740	131	-	3062	2550	0	0	0	SLU 1	48333	10000	0	0	-433	SLU 1	543970	10000	Si
-740	132	-	3062	2650	0	0	0	SLU 1	48333	10000	0	0	-433	SLU 1	543970	10000	Si
-740	133	-	3062	2750	0	0	0	SLU 1	48333	10000	0	0	-434	SLU 1	543970	10000	Si
-740	134	-	3255	1700	0	0	0	SLU 1	48333	10000	0	0	-473	SLU 1	543970	10000	Si
-740	135	-	3255	1850	0	0	0	SLU 1	48333	10000	0	0	-476	SLU 1	543970	10000	Si
-740	136	-	3255	2000	0	0	0	SLU 1	48333	10000	0	0	-476	SLU 1	543970	10000	Si
-740	137	-	3255	2150	0	0	0	SLU 1	48333	10000	0	0	-473	SLU 1	543970	10000	Si
-740	138	-	3255	2350	0	0	0	SLU 1	48333	10000	0	0	-536	SLU 1	543970	10000	Si
-740	139	-	3255	2450	0	0	0	SLU 1	48333	10000	0	0	-534	SLU 1	543970	10000	Si
-740	140	-	3255	2550	0	0	0	SLU 1	48333	10000	0	0	-533	SLU 1	543970	10000	Si
-740	141	-	3255	2650	0	0	0	SLU 1	48333	10000	0	0	-534	SLU 1	543970	10000	Si
-740	142	-	3255	2750	0	0	0	SLU 1	48333	10000	0	0	-536	SLU 1	543970	10000	Si
-740	143	-	3449	1700	0	0	0	SLU 1	48333	10000	0	0	-479	SLU 1	543970	10000	Si
-740	144	-	3449	1850	0	0	0	SLU 1	48333	10000	0	0	-482	SLU 1	543970	10000	Si
-740	145	-	3449	2000	0	0	0	SLU 1	48333	10000	0	0	-482	SLU 1	543970	10000	Si
-740	146	-	3449	2150	0	0	0	SLU 1	48333	10000	0	0	-479	SLU 1	543970	10000	Si
-740	147	-	3449	2350	0	0	0	SLU 1	48333	10000	0	0	-536	SLU 1	543970	10000	Si
-740	148	-	3449	2450	0	0	0	SLU 1	48333	10000	0	0	-534	SLU 1	543970	10000	Si
-740	149	-	3449	2550	0	0	0	SLU 1	48333	10000	0	0	-533	SLU 1	543970	10000	Si
-740	150	-	3449	2650	0	0	0	SLU 1	48333	10000	0	0	-534	SLU 1	543970	10000	Si
-740	151	-	3449	2750	0	0	0	SLU 1	48333	10000	0	0	-536	SLU 1	543970	10000	Si
-740	152	-	3642	1700	0	0	0	SLU 1	48333	10000	0	0	-489	SLU 1	543970	10000	Si
-740	153	-	3642	1850	0	0	0	SLU 1	48333	10000	0	0	-490	SLU 1	543970	10000	Si
-740	154	-	3642	2000	0	0	0	SLU 1	48333	10000	0	0	-490	SLU 1	543970	10000	Si
-740	155	-	3642	2150	0	0	0	SLU 1	48333	10000	0	0	-489	SLU 1	543970	10000	Si
-740	156	-	3642	2350	0	0	0	SLU 1	48333	10000	0	0	-434	SLU 1	543970	10000	Si
-740	157	-	3642	2450	0	0	0	SLU 1	48333	10000	0	0	-434	SLU 1	543970	10000	Si
-740	158	-	3642	2550	0	0	0	SLU 1	48333	10000	0	0	-434	SLU 1	543970	10000	Si
-740	159	-	3642	2650	0	0	0	SLU 1	48333	10000	0	0	-434	SLU 1	543970	10000	Si
-740	160	-	3642	2750	0	0	0	SLU 1	48333	10000	0	0	-434	SLU 1	543970	10000	Si
-740	125	-	3062	1700	0	0	0	SLD 1	48333	10000	0	0	-626	SLD 1	543970	10000	Si
-740	126	-	3062	1850	0	0	0	SLD 1	48333	10000	0	0	-611	SLD 1	543970	10000	Si
-740	127	-	3062	2000	0	0	0	SLD 1	48333	10000	0	0	-596	SLD 1	543970	10000	Si
-740	128	-	3062	2150	0	0	0	SLD 1	48333	10000	0	0	-579	SLD 1	543970	10000	Si
-740	129	-	3062	2350	0	0	0	SLD 1	48333	10000	0	0	-773	SLD 1	543970	10000	Si
-740	130	-	3062	2450	0	0	0	SLD 1	48333	10000	0	0	-754	SLD 1	543970	10000	Si
-740	131	-	3062	2550	0	0	0	SLD 1	48333	10000	0	0	-735	SLD 1	543970	10000	Si
-740	132	-	3062	2650	0	0	0	SLD 1	48333	10000	0	0	-716	SLD 1	543970	10000	Si
-740	133	-	3062	2750	0	0	0	SLD 1	48333	10000	0	0	-697	SLD 1	543970	10000	Si
-740	134	-	3255	1700	0	0	0	SLD 1	48333	10000	0	0	-544	SLD 1	543970	10000	Si
-740	135	-	3255	1850	0	0	0	SLD 1	48333	10000	0	0	-532	SLD 1	543970	10000	Si
-740	136	-	3255	2000	0	0	0	SLD 1	48333	10000	0	0	-518	SLD 1	543970	10000	Si
-740	137	-	3255	2150	0	0	0	SLD 1	48333	10000	0	0	-501	SLD 1	543970	10000	Si
-740	138	-	3255	2350	0	0	0	SLD 1	48333	10000	0	0	-638	SLD 1	543970	10000	Si
-740	139	-	3255	2450	0	0	0	SLD 1	48333	10000	0	0	-618	SLD 1	543970	10000	Si
-740	140	-	3255	2550	0	0	0	SLD 1	48333	10000	0	0	-601	SLD 1	543970	10000	Si
-740	141	-	3255	2650	0	0	0	SLD 1	48333	10000	0	0	-584	SLD 1	543970	10000	Si
-740	142	-	3255	2750	0	0	0	SLD 1	48333	10000	0	0	-569	SLD 1	543970	10000	Si
-740	143	-	3449	1700	0	0	0	SLD 1	48333	10000	0	0	-487	SLD 1	543970	10000	Si
-740	144	-	3449	1850	0	0	0	SLD 1	48333	10000	0	0	-475	SLD 1	543970	10000	Si
-740	145	-	3449	2000	0	0	0	SLD 1	48333	10000	0	0	-461	SLD 1	543970	10000	Si
-740	146	-	3449	2150	0	0	0	SLD 1	48333	10000	0	0	-445	SLD 1	543970	10000	Si
-740	147	-	3449	2350	0	0	0	SLD 1	48333	10000	0	0	-504	SLD 1	543970	10000	Si
-740	148	-	3449	2450	0	0	0	SLD 1	48333	10000	0	0	-483	SLD 1	543970	10000	Si
-740	149	-	3449	2550	0	0	0	SLD 1	48333	10000	0	0	-465	SLD 1	543970	10000	Si
-740	150	-	3449	2650	0	0	0	SLD 1	48333	10000	0	0	-449	SLD 1	543970	10000	Si
-740	151	-	3449	2750	0	0	0	SLD 1	48333	10000	0	0	-435	SLD 1	543970	10000	Si
-740	152	-	3642	1700	0	0	0	SLD 1	48333	10000	0	0	-370	SLD 1	543970	10000	Si
-740	153	-	3642	1850	0	0	0	SLD 1	48333	10000	0	0	-354	SLD 1	543970	10000	Si
-740	154	-	3642	2000	0	0	0	SLD 1	48333	10000	0	0	-339	SLD 1	543970	10000	Si
-740	155	-	3642	2150	0	0	0	SLD 1	48333	10000	0	0	-323	SLD 1	543970	10000	Si
-740	156	-	3642	2350	0	0	0	SLD 1	48333	10000	0	0	-171	SLD 1	543970	10000	Si
-740	157	-	3642	2450	0	0	0	SLD 1	48333	10000	0	0	-151	SLD 1	543970	10000	Si
-740	158	-	3642	2550	0	0	0	SLD 1	48333	10000	0	0	-132	SLD 1	543970	10000	Si
-740	159	-	3642	2650	0	0	0	SLD 1	48333	10000	0	0	-113	SLD 1	543970	10000	Si
-740	160	-	3642	2750	0	0	0	SLD 1	48333	10000	0	0	-95	SLD 1	543970	10000	Si
-740	125	-	3062	1700	0	0	0	SLV FO 1	48333	10000	0	0	-744	SLV FO 1	543970	10000	Si
-740	126	-	3062	1850	0	0	0	SLV FO 1	48333	10000	0	0	-720	SLV FO 1	543970	10000	Si
-740	127	-	3062	2000	0	0	0	SLV FO 1	48333	10000	0	0	-696	SLV FO 1	543970	10000	Si
-740	128	-	3062	2150	0	0	0	SLV FO 1	48333</								

Interventi di miglioramento della diga di Cepparello nel Comune di Poggibonsi (SI)

ET.09.4 – Tabulati di calcolo_Canali fuggatori con fondazioni su pali

Filo	Ind.	Xp	Yp	Tipo	L.frs.	L.tr.lib.	L.tr.inf.	Coes.	Fi	P.spec	T max	Mecc.coll.	M.plast.sup.	Quota sup.	N sup.	M.plast.inf.	Quota inf.	N inf.
157	-	3641.89	2450.11	TL	22	0	750		36	0.0014	19294	PLL	4232901	-359.1	2208			
158	-	3641.89	2550.11	TL	22	0	750		36	0.0014	19294	PLL	4232901	-359.1	2208			
159	-	3641.89	2650.11	TL	22	0	750		36	0.0014	19294	PLL	4232901	-359.1	2209			
160	-	3641.89	2750.11	TL	22	0	750		36	0.0014	19294	PLL	4232901	-359.1	2209			